

目 录

諸 論

第一章 無線電設備的使用条件及对它的要求

§ 1—1 無線電設備的使用条件及其对设备工作的影响	(5)
§ 1—2 对無線電設備的一般要求	(18)
§ 1—3 無線電工業的現代發展趨勢	(15)

第二章 表面复蓋

§ 2—1 概述	(17)
§ 2—2 用燒漆法金屬化	(19)
§ 2—3 电鍍及化學复蓋	(30)
§ 2—4 油漆	(45)

第三章 浸漬、灌注、蘸漬和密封

§ 3—1 引言	(49)
§ 3—2 浸漬、灌注和蘸漬用的材料	(51)
§ 3—3 浸漬、灌注和蘸漬的工艺	(52)
§ 3—4 浸漬、灌注和蘸漬的質量檢驗	(61)
§ 3—5 密封的外壳和絕緣子	(62)
§ 3—6 無線電零件和部件的密封方法	(67)
§ 3—7 無線电器材总体的密封	(69)
§ 3—8 密封品質的試驗	(74)
§ 3—9 各种防潮方法的应用范围	(75)

第四章 塑料零件

§ 4—1 概述	(77)
§ 4—2 制造塑料零件所应用的材料	(77)
§ 4—3 制造塑料制品的工艺	(84)
§ 4—4 塑料零件的設計	(91)

第五章 陶瓷零件

§ 5—1 概述	(103)
----------------	---------

§ 5—2 制造陶瓷零件所应用的材料.....	(103)
§ 5—3 制造陶瓷制品的工艺.....	(108)
§ 5—4 陶瓷零件的设计.....	(145)
§ 5—5 陶瓷装置零件的绝缘计算.....	(155)

第六章 磁性零件

§ 6—1 应用于磁路中的磁介质.....	(161)
§ 6—2 用磁介质制造铁芯.....	(162)
§ 6—3 铁淦氧磁路的制造.....	(167)
§ 6—4 铁淦氧零件的机械加工方法.....	(172)
§ 6—5 铁淦氧磁路的质量检验.....	(173)
§ 6—6 铁淦氧矿物的应用范围.....	(173)

第七章 电感线圈

§ 7—1 电感线圈的基本参数.....	(177)
§ 7—2 电感线圈的结构.....	(178)
§ 7—3 电感线圈的制造工艺.....	(191)
§ 7—4 电感线圈绕组的类型及线圈几何尺寸的计算.....	(197)
§ 7—5 无屏蔽无芯子电感线圈的计算.....	(203)
§ 7—6 线圈导线的高频电阻及导线直径的选择.....	(209)
§ 7—7 电感线圈的固有电容.....	(216)
§ 7—8 电感线圈的品质因数及线圈尺寸的选择.....	(219)
§ 7—9 互感及耦合系数的计算.....	(220)
§ 7—10 屏蔽电感线圈的计算.....	(226)
§ 7—11 具有芯子线圈的计算.....	(229)
§ 7—12 可变电感线圈——变电器.....	(241)
§ 7—13 米波发射机的回路线圈.....	(251)
§ 7—14 高频扼流圈.....	(266)
§ 7—15 电感线圈的稳定性.....	(269)
§ 7—16 电感线圈的自动温度补偿及高温度稳定性线圈的结构.....	(274)
§ 7—17 电感线圈的测试.....	(276)

第八章 变压器及低频扼流圈

§ 8—1 磁路的结构及其主要尺寸.....	(279)
§ 8—2 磁路的制造工艺.....	(284)
§ 8—3 线包的结构.....	(303)
§ 8—4 线包的制造工艺.....	(322)
§ 8—5 变压器及低频扼流圈的总体结构.....	(328)

§ 8—6 变压器和低频扼流圈的绕组电感及磁路参量.....	(344)
§ 8—7 低频扼流圈的设计.....	(353)
§ 8—8 电源变压器的设计.....	(357)
§ 8—9 低频变压器的设计.....	(364)
§ 8—10 宽波段变压器.....	(374)
§ 8—11 脉冲变压器及其设计.....	(375)
§ 8—12 变压器和低频扼流圈的测试.....	(401)

第九章 电阻器

§ 9—1 电阻器的基本参量.....	(424)
§ 9—2 线绕电阻器.....	(433)
§ 9—3 非线绕电阻器.....	(459)
§ 9—4 电阻器的选用.....	(490)

第十章 固定电容器

§10—1 固定电容器的应用及类别.....	(491)
§10—2 电容器的基本参量.....	(491)
§10—3 气体介质固定电容器.....	(498)
§10—4 液体介质固定电容器.....	(502)
§10—5 固体无机介质电容器.....	(502)
§10—6 固体有机介质电容器.....	(516)
§10—7 电解电容器及其计算.....	(523)

第十一章 可变电容器

§11—1 可变电容器的分类及其主要参量.....	(531)
§11—2 可变电容器的结构零件的设计和制造工艺.....	(534)
§11—3 电容器组件的装配.....	(544)
§11—4 可变电容器的计算.....	(548)
§11—5 空气可变电容器的温度稳定性.....	(556)
§11—6 固体和液体介质的可变电容器.....	(556)
§11—7 微调电容器.....	(566)
§11—8 可变电容器的测试.....	(568)

緒論

無線電技术是近代科学技术的重大成就之一，它在人类生活中起着愈来愈大的作用，目前已很难說，那一个科学技术領域中沒有采用無線電設備或电子設備的。例如：在原子物理学，半导体物理学，地球物理学，星际旅行，天文学，以及現代医学等領域中，都广泛地采用了無線電电子设备。

由于無線電技术的飞躍發展，除了有悠久历史的無線電通訊及广播以外，新的科学技术部門，如電視，無線電定位，無線電导航，無線電天文学，自动控制学，电子計算机，以及遙控机械学等都相繼出現了。

尖端科学的發展与無線電技术的發展是密切相关的。因此，一个国家的科学技术水平，在很大程度上决定于無線電电子设备在各科学領域中广泛应用的程度。共产主义社会的重要特征之一是拥有最高度的科学技术水平，为此，在我們社会主义国家中，对無線電工业的發展給予極大的重視。苏联和东欧社会主义国家已掌握了最先进的無線電电子技术，最近苏联星际旅行方面的巨大成就就是最有力的証明。在我国，解放前的無線電工业几乎是空白点，然而，在解放后不久的时间內，由于党的重視和正确領導，已有了惊人的發展，这是大家所共知的事实，目前，在这方面提出了振奋人心的指标，在最近几年內，我們将以飞躍的速度赶上并超过世界的先进水平，几年之后，我們的無線電工业将是一个完整的强大的体系。

無線電技术迅速發展的原因，是由于現代的無線電电子设备可以完成非常复杂功能；例如：雷达站或导航系統完成人类感覺器官的功能，而計算设备，自动系統完成人的大脑中有关形式邏輯的机能。这样复杂的功能使得無線電设备大大地复杂化，它必須由大量零件組成，例如：近代轰炸机的無線電设备包括100个以上电子管，高射炮控制系统具有500个电子管及两万多个零件，即使是最普通的广播收音机也包括几百个零件，因而要制造出完整的無線電设备或系統，包括了很大的工作量。

首先，必須制造出多种多样的材料，特別是性能要求十分高的特殊材料（例如：耐高温低温及适应特殊环境的介質材料等）。其次，必須进行零件、元件及部件的結構設計及制造，再进行电路設計及計算，以及进行整个设备的結構設計，装配、調整、調諧及試驗等。如此大量的工作，仅靠一个部門来完成是困难的，同时也是不合理的。为此，除了把完整的無線電体系作了橫的分工（例如，分为雷达、导航、電視、通訊、測量等）之外，还須进行縱的分工（例如，分为电子管制造，元件零件的制造及整机的制造等）。

無線電设备的設計及制造专业就是在这种分工的基础上建立起来的，对这一类专业的高等技术干部來說，除了应当了解电路的設計及計算以外，还应当能合理地选择材料及标准元件，設計及制造非标准元件，設計整个设备的結構和制造工艺，以及能够进行

整机的調試工作。此外，还应当能用社会主义經濟观点来分析技术問題和具有組織生产的能力。

按照教學大綱規定，這門課程的任务包括選擇标准件，設計及制造非标准元件，整机结构的設計与制造，以及它們的調整、調試等。毫無疑問，这是一个十分艰巨的任务，也是一个極其重要的任务。

但是，直到目前为止，仍有一些人对這門課程沒有給予应有的重視，他們沒有完全擺脫旧社会傳統的迷信理論的圈子。在旧社会里，我国几乎沒有自己的無線電工業，人們获得了一点知識，而找不到服务的对象，沒有条件与生产实际結合。另一方面，資产阶级及其学者，总是提倡把知識壟斷起来，把“理論”知識看成是爭夺名位的資本，極力把理論神秘化，企圖在人們中間造成这样的印象，掌握了理論的人是高級的，而生产实践是低級的卑賤的，这是典型的資产阶级学术观点，是極端錯誤的。因此，在我們學習這門課程的时候，要特別提出与这种观点作斗争。然而，这不等于貶低理論的作用和重要性，而是要理論結合实际，为生产服务；把理論計算，結構設計和工艺制造緊密地結合起来。

事实上，目前阶段，結構設計和制造工艺对無線電工業的發展起着極为重要的作用，对不少的设备和元件來說，原理方面的問題早已解决，但由于結構和工艺所碰到的困难而沒有最終地把设备制造出来。

资本主义国家里，繞路理論和計算公式是公开的，但結構和工艺問題却为資本家所专利而不予公开。

目前，对無線设备最重要的要求是设备工作的可靠性，在技术方面，提高设备工作可靠性的方法，几乎绝大部分都属于結構和工艺方面的具体措施。

在無線电设备的制造过程中，电路計算，結構設計，制造工艺等，很难截然分开。比方說，計算超高頻振蕩器时，如果没有考慮到各元件的結構及制造的可能性，那么，这个設計的价值是極其微小的。不少元件，例如小型和超小型元件，超高頻元件等，計算只能决定一个粗糙的数量級，不能达到必需的准确度，为了制造出合格的元件，还必須具有实际經驗，以及对各种結構和工艺进行实际試驗。因为，在这种情况下，結構及工艺所引起的寄生因素起着重要的作用，然而在計算时很难进行准确的估計，即使在一般元件、部件以及设备的制造过程中，結構和工艺同样影响其性能和參量，只是程度上的差別而已。关于这一点，在今后的學習和工作中，我們将有更深入的体会。

另外，大家知道，一个合理的产品設計，不仅在于它具有良好的电性能，而且还要具有經濟性，正如总路綫所指出的一样，不仅要好，而且要省。一个只懂得理論，而沒有实际經驗，不掌握有关結構和工艺方面知識的技术干部，我們很难相信他会設計制造出一个合理的产品。

基于上述理由，对一个技术干部來說，必須具备理論計算，結構設計和制造工艺等全面知識，重視理論而不重視結構工艺的观点，是毫無根据的。

大家知道，結構設計和制造工艺是相当复杂的問題，因此要很好的解决这个問題，不但应具有广泛的基础理論知識(如物理、化学等)，而且应具有足够丰富的实际經驗。由于时间和条件的限制，本課程只能着重地提供掌握解决这些問題所必需的，但也是極

其重要的基本知識，按教學大綱規定，本課程的內容和具體要求如下：

1. **標準零件**，如塑料零件，陶瓷零件，固定電容器及電阻器等，這一大類零件已標準化，由專業性工廠生產，一般不需進行設計，只需在產品規格中選用，因此，只重點討論它們的用途、分類、基本參量；各類型零件及元件的特性及使用場合；簡要工藝特徵等，以便掌握選用標準零件及元件的原則。並不要求深入掌握其製造工藝和結構設計。

2. **非標準元件**，其中包括：可變電容器，電感線圈，變壓器及低頻扼流圈，脈冲延遲線，米波及分米波迴路元件，壓電元件，超高頻系統元件，以及某些接觸元件等。這一大類元件，由於使用場合以及使用上對它所提出的要求是多樣化的，絕大部分未能標準化，因而不可能在專業性工廠中進行大量生產，設計設備時，必須按不同的使用場合和電路上的具體要求進行設計和製造。因此，這是本課程的重點內容，這裡除討論上述非標準件的內容以外，將較深入地討論其結構設計原則，計算方法，製造工藝，以及測試驗方法等。

3. **無線電設備製造中的常用工藝及特殊工藝**，其中包括表面塗復、浸漬、灌注，印刷電路工藝等，這也是相當重要的一部分，但由於內容十分廣泛（其中還應用到深入的化工方面的知識），因此，只能重點地掌握其用途、作用、分類，各種工藝方法的特點（優缺點）和使用場合的比較，典型工藝的詳細過程及其檢驗方法等。

4. **無線電設備的結構、安裝、調整、調諧**，這一部分應密切結合專業課程進行具體的深入討論。這也是本課程的重要部分。

此外，如無線電設備的使用條件及對它的要求以及環境試驗等，是為以上各部分服務的內容，不了解這一部分，就不可能正確地設計和製造出好的元件和設備，也不可能正確地鑑定元件及設備的質量。

總的來說，本課程所包括的內容十分廣泛，因此，學習時，要求同學們掌握重點，明確各章的不同目的要求，做到有的放矢。

本課程內容中的絕大部分，都從解決具體的，實際的技術問題出發，因此，我們必須特別強調理論聯繫實際的學習方法，把課堂的學習與實驗，生產勞動和科研等方面密切地聯繫起來，也就是應用所學到的知識來解決和分析實踐過程中所碰到的具體問題，並把實踐中積累的零星知識加以綜合和系統化。



第一章

無線電設備的使用条件及对它的要求

§1—1 無線電設備的使用条件及其对设备工作的影响

現代無線電設備的用途極為廣泛，其使用的環境和條件也極為多樣，其中包括在大陸及島嶼上的任何角落、在海洋、在水下、在高空（甚至是大氣層以外的宇宙空間），或者在汽車、船艦、飛機、火箭等上面使用，經受着十分複雜的環境和條件的影響，這就可能引起設備及元件零件性能的顯著變壞甚至完全失效，因此，使用條件便成為設計設備元件的零件結構的主要依據，因為設計的原則一方面要滿足使用要求，另一方面也要盡量照顧結構的工藝性及經濟性。

影响设备工作的因素包括气候因素和机械因素两类。現分別討論如下：

I. 气候因素及其对無線電設備工作的影响

气候因素包括：温度、湿度、气压、空气中化学成分、灰塵、霉菌和昆虫等。

無線電設備的裝配、調諧、校正和技術檢驗是在正常環境的條件下進行的，也就是溫度為15—25°C，相對濕度為50—70%，大氣壓力為720—780毫米水銀柱以及潔淨空氣（塵埃很少，無有害氣體等）情況下進行的。但無線電設備常常在非正常環境情況下使用，此時，可能使設備工作受到影響，茲分別討論如下：

1. 温度

地球上不同地區的溫度是不同的，溫度最低的地方可達-70°C左右，最高的地方可達+60°C，在我國地面領域內溫度的變化大致為-40°C到+42°C。

在同一地點昼夜气温的變化也會影響設備使用，不同地區一昼夜間溫度的變化範圍大致為：

赤道	15°C
極區	20°C
溫帶	25°C
沙漠	40°C

大氣中的溫度也隨海拔高度而變化，其粗略的關係見圖1—101。

在太陽長時間直接照射的情況下，設備上的溫度比周圍气温高30—35°C。

高空中的大氣極為稀薄，空氣對流散熱效率極低，裝有無線電設備的客體將以積累形式接受日光照射的熱能，而當客體以高速度在高空中運動時，客體表面與空氣將摩擦生熱。在這種情況下可使客體上無線電設備的某部分變熱（甚至達數百度），這種溫度的升高雖與大氣溫度無關（只決定於客體的特性和運動速度），但也嚴重地影響設備的工作。

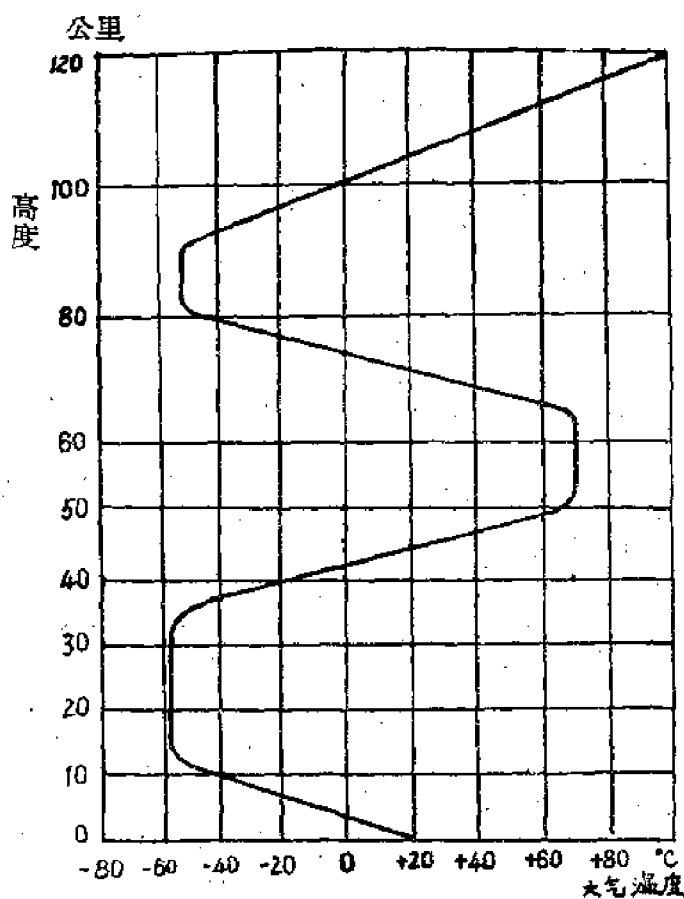


图1-101 大气温度与海拔高度关系曲线

作。例如，炮弹弹壁温度与其飞行速度的关系（如图1-102所示，它说明物体以高速度飞行时，其表面温度因摩擦而升高的严重性。

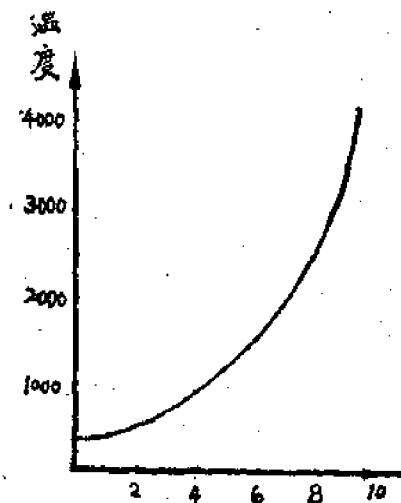


图1-102 炮弹温度与其飞行速度的关系曲线

此外，無線電設備工作時溫度的升高，也可能來自它本身的某些元件，如電子管，電阻，變壓器，電容器等所損耗的有功功率，在功率大，尺寸小，以及密封設備中尤為顯著。

溫度的變化對無線電設備工作的影响首先是熱膨脹所引起的。當由熱脹系數不同的材料所製成的零件裝配在一起時，溫度的變化，可能發生以下現象。

- 1) 配合間隙和調整間隙的變化。當間隙減小時，使活動機構中的相對運動產生困難，甚至完全不能運動。或者，當間隙增大時產生不允許的松動。
- 2) 減弱零件和部件的緊固。
- 3) 造成很大的應力，以致使零件變形。
- 4) 固定在不同基體上的零件產生不允許的位移，因而使元件的參量改變；例如可變電容器片間距離的改變引起電容量的改變。
- 5) 由於零件或連接導線間距離變化和導體本身變形而引起高頻電路中耦合電容或耦合電感的改變。
- 6) 在抗拉力極限較低和導熱性較低的材料製成的大型零件中，當經受溫度劇烈變化（熱衝擊）時，由於局部膨脹而在表面或內部產生裂口，在數次“熱衝擊”後將完全損壞。

其次，溫度的變化也會引起材料各種物理性能的變化。

例如金屬的導電率，絕緣材料的體電阻率，表面電阻率，介電常數，介質損耗，抗電強度等的變化。溫度的增高，會加速某些絕緣材料的老化，因而引起材料某些參量永久性的變化。而所有這些材料參量的變化都將引起元件參量的改變。在複雜的使用條件下，工作溫度可能高於某些材料的熔化或軟化溫度。

如上所述，熱膨脹，材料物理性能的變化等，都引起設備零件及元件參量的改變，而零件及元件的參量改變直接影響設備的正常工作，為此，在考慮溫度的影響時，常以零件元件參量與溫度的關係為依據。

元件及零件參量與溫度變化的關係可能是線性的及非線性的；循環性的及非循環性的。

在線性和循環性變化的範圍內，其關係可用溫度系數表示，其定義如下式：

$$\alpha_x = \frac{\Delta x}{x \cdot \Delta t} \quad [1^\circ\text{C}] \quad (1-101, a)$$

式中： α_x ——參量 x 的溫度系數，

Δt ——在測量參量 x 的改變時，相應的溫度變動。

x ——在起始溫度時的參量值。

Δx ——參量 x 的變動。

當溫度升高使參量值增大時， α_x 是正的，而溫度升高使參量值減小時， α_x 是負的。

當參量與溫度的關係為循環性，但為非線性時（可以為任意函數）， α_x 值完全依賴於函數性質，隨溫度的不同而具有不同的數值，一定溫度下的 α_x 為

$$\alpha_x = \frac{1}{x} \frac{dx}{dt} \quad [1^\circ\text{C}] \quad (1-101, b)$$

在这情况下，为了粗略地估計温度的影响，可用在工作溫度範圍內的平均 β_x 值表示。

当參量与温度的关系为非循环性时，可用溫度不稳定系数表示，其定义为：

$$\beta_x = \frac{x_1 - x_2}{x_1} \quad (1-102)$$

式中： β_x ——參量 x 的溫度不稳定系数；

x_1 ——參量 x 的起始值；

x_2 ——經過溫度变化后回到起始溫度时的參量值。

通常在提出 β_x 值时，应說明在那一个溫度变化範圍內測得的。

为减少溫度影响，一般可采用以下措施：

1) 选择綫脹溫度系数小老化性小的材料（如陶瓷、殷鋼等），以及尽可能选择相同的材料，或綫脹溫度系数很相近的材料来制造元件。也可采用消除应力的热处理（对金屬零件）或人工老化（对于介質材料零件）的方法。

2) 采用溫度补偿。

3) 采用各种防热措施。

4) 設計設備结构时，正确地配置元件及零件，重要元件和易受溫度影响的元件应远离严重發熱的元件，必要时采用絕热装置。

5) 对于溫度特別敏感以及稳定性要求很高的元件或部件可采用恒温裝置。

2. 濕度

濕度的来源，通常是空气中的水蒸氣，它是在大气中的微小水粒（直徑約為 0.001--0.1微米）。在不同溫度下，1立方厘米空气的飽和含水量为：

-20°C时	0.001克
0°C时	0.005克
+20°C时	0.017克
+40°C时	0.051克
+60°C时	0.130克

超过了以上含量时，为过饱和，此时，水气就凝結为直徑不大于 0.01 毫米的小水滴，形成霧或云，或者在物体的表面結成水珠，显然溫度的下降是使空气中水汽凝結的原因之一。相反，如果物体的溫度增高，則物体本身的水份蒸發，而不易受空气中水汽的作用。

在大气中，較短时期内相对濕度保持一定的数值，不同地区的相对濕度是不同的，例如：赤道地区平均为95%，温带地区平均为65—75%，沙漠地区平均为不高于 5%，靠近海洋、湖泊和河流的地方，或水面上，經常达到飽和状态。無線電設備可能处于这种条件之下，有时也处于过饱和的大气（云或霧）之中，此外，还可能受到雨雪飞沫形式的水点的作用，甚至直接放到水中去。

水本身是一种导电率相当高的偶極电介質，不能認為是好的絕緣体，同时，水也是一种化学性能活躍的物質，因此，任何的天然水或空气中的潮气都是含有多种物質的各种盐、酸、碱、盐基、胶質和其他化合物的水溶液。水能使这些杂质的分子呈离子状

态，因此，其导电率更高。水的介电性能按杂质含量不同而有很大的差别。可能具有如下数值。

介电常数	79—81
体积电阻率	10^4 — 10^7 欧·厘米
$\text{tg}\delta$, 当频率为50赫时	∞
$\text{tg}\delta$, 当频率为 10^7 赫时	0.2—0.5
$\text{tg}\delta$, 当频率为 10^9 赫时	0.01—0.03

经过特殊的测量发现，处于相对湿度为65—80%的空气中所有物体都复盖着水的微粒或薄膜（0.001—0.01微米），饱和湿度的大气中，水膜厚度可达几十微米。如果是多孔性物质，水就从外表面逐渐渗入材料内部。水渗入材料的速度与湿度及温度成正比。在温度变化的过程中，水在材料的细孔中沿热传导的方向移动。

湿度对无线电设备的影响是由上述现象的作用所引起的，表现为以下几方面：

- 1) 吸潮材料（如纸、厚纸板，含有劣质填料的塑料等）的膨胀，因而引起不可逆的变形；
- 2) 引起金属的腐蚀；
- 3) 降低了介质材料的绝缘性能，如减小了表面电阻、体积电阻，增加了损耗，降低了抗电强度等；
- 4) 改变了元件的参数，主要是与绝缘材料的 ϵ 值，介质耗损，体电阻率以及与尺寸改变有关的参数。

减小潮气对无线电设备工作影响，可用以下方法：

- 1) 选择不吸潮的介质材料（如陶瓷、硅有机塑料）和耐腐蚀的材料（如不锈钢、青铜）来制作零件、元件。当采用不同金属零件组成元件部件时，注意使接触的材料间不要组成电化偶；
- 2) 采用不吸潮材料涂复，浸渍和灌封，以及采用耐腐蚀的表面涂复；
- 3) 对设备、元件或部件进行完全的或不完全的密封，并在密封空间兼放吸潮剂（如硅胶）。

3. 压力

大气压力随高度的增高而降低，气压与海拔高度的关系如表1—1所示。

表1—1 气压与海拔高度的关系

高 度(公里)	空气压力(毫巴)*	高 度(公里)	空气压力(毫巴)*
0	1000	80	0.03
10	269	100	0.004
20	55	200	9×10^{-7}
30	12	300	3×10^{-10}
50	1.8		

* 1毫巴约等于0.75毫米水银柱

在特殊情况下，无线电设备需要在水或其他液体中使用。根据浸入的深度不同，设备受到不同的外部压力，在水中每10米深度增加1个大气压的压力，即1公斤/平方厘米。

压力对设备的影响表现为：

- 1) 空气密度的变化引起介电性能的变化。
 (i) 空气介电系数 ϵ 的改变，因而引起与空气 ϵ 有关的元件参数的变化，如空气电容器电容量的改变等。
 (ii) 空气抗电强度的变化。表 1—2 列出间隙击穿电压与压力关系的某些数据：

表 1—2 隙击穿电压与气压的关系

压 力 毫米水银柱	间隙击穿电压(千伏)			
	10 毫米	5 毫米	1 毫米	0.5 毫米
750	22	16	5	2
600	18.7	13.5	4.2	1.7
450	15	11.8	3.4	1.35
300	11.2	8.8	2.6	1
150	8	6.2	1.8	0.7
100	5.2	4	1.4	0.45
50	3.1	2.4	0.8	0.25

在高空中工作的无线电设备的非密封组件中，处于高压的元件间的间隙必须比正常大气压下的允许间隙增大许多倍，其倍数称“间隙加大系数”，间隙加大系数与海拔高度的关系曲线如图 1—103 所示。

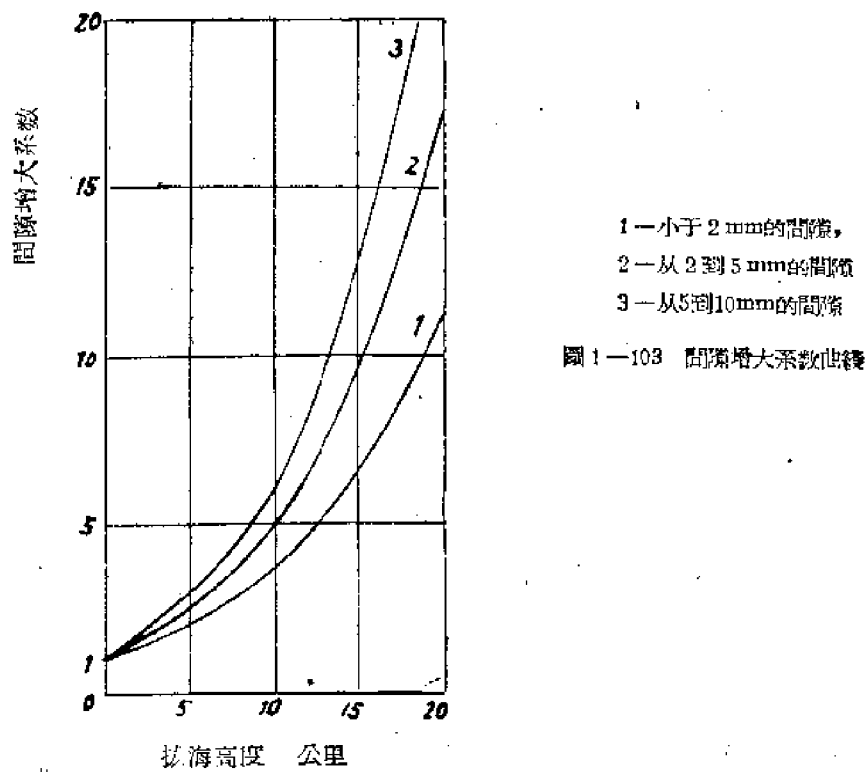


图 1—103 间隙加大系数曲线

間隙的增大将使设备的尺寸和重量增加。

2) 引起密封机壳的变形。密封机壳内部通常打入1.5—2大气压的气体，在高空时受强大的内部压力，在很深的水里可能受外部压力。

3) 依靠对流的散热能力下降，例如在10公里高空中，依靠对流的散热能力将比地面降低一倍。在高度为30公里的散热几乎全部依靠热辐射。

克服这种影响，通常采用以下方法：

- (i) 設备的完全密封。
- (ii) 对元件或部件采用环氧树脂灌封。
- (iii) 采用具有加固筋的壳体。
- (iv) 强迫的內部和外部風冷，加裝散熱片。

4. 空气中的化学成份和灰塵

在工業区的空气含有較大成份的盐、酸、碱、汽油等的物质所散發的气体，当设备的表面凝聚有潮气时，这些物质溶解于水膜中会加速腐蚀，海面上和海岸地区空气中的盐份更为严重。

空气中的灰塵含量可达 $20\text{--}60\text{mm}^3/\text{m}^3$ 。灰塵沉积于可动的机构中，会增加它们的磨损，沉积于元件表面上的灰尘可促使潮气凝結在表面上，因而降低了其絕緣性能。

减小空气中的化学成份和灰塵对设备影响的方法是适当地选择材料来涂复设备，或把它密封起来。

5. 微机体和昆虫

热带和亚热带气候条件（較高的湿度，有利的温度）促使菌类植物（霉菌）及昆虫的繁殖。

霉菌复盖在另件的表面，会使抗电强度降低和介質损耗增加，促使腐蚀的加强。使本身含有微机体的某些材料损坏等等。

昆虫进入设备内部，凹穴，裂縫及各种縫隙中筑巢将使机件堵塞。某些热带昆虫如白蟻等能吞食有机材料。

防止微机体和昆虫影响的方法是选择适当的结构材料，采用特殊涂复及有机藥剂的浸漬，其中最有效的为：磷一氯汞苯酚和氯汞苯等两种。采用密封并在密封机箱内打入1.5—2大气压的气体也可保护设备不受昆虫的侵入以及霉菌的繁殖。

6. 辐射

如前所述，日光的直接照射会使设备变热，除此之外，日光中的紫外綫輻射使材料产生化学变化（如使油漆、顏料和大部分的塑料氧化），因而使保护層剥落，褪色和开裂。也会促使材料老化，如軟橡胶在日光的长期照射后会变硬并裂开。

放射性輻射也促使化学成份的变化和使空气游离。

防止其影响的方法是选择不受其影响的材料，以及隔絕輻射的直接作用。

II. 机械因素及其对無線电设备工作的影响：

無線电设备在使用、运输和儲存中要經受各种类型的机械作用，这些作用，按他的原因，可分为二类：

- 1. 正常工作所引起的。如調諧机构，操縱机构，旋轉天綫系統等；

2. 由于设备所处的使用条件所引起的。其中包括偶然性碰撞，振动，冲击等。

1. 正常使用的机械作用

机务員操縱設備的动作和工作时自动傳动机械作用主要是摩擦，长期摩擦将引起活动机构零件的磨损。在固定工作的状态下，这种磨损只引起设备寿命的某些縮短。在活动客体上，由于具有附加的振动和冲击，操縱設備的条件变坏了，特別在緊張的环境（如戰場上）下操縱，錯誤操縱的可能性增加了。在这种情况下，设备的調諧和操縱机构可能在不正常机械应力下受到损坏。为了避免这种危險性，最好在設計操縱机构时取安全系数足够大的机械强度。

2. 震动和冲击

汽車、船艦、飞机、火箭等活動客体上的無線電設備都經受了强大的振动和冲击；例如汽車设备一般經受頻率为200—500赫的震动，动态过負荷可达几十个g，一般船只中的振动頻率为几赫到几十赫，快速船艦为100—500赫，飞机中約为500赫和震幅达1毫米，噴氣式飞机中可达1000赫，而火箭起飞时，其动态过負荷可达几十个g等等。当设备、零件或组件的机械震动頻率与客体的振动頻率相符时，将产生諧振現象，其振幅可以增大10—15倍之多。

任何设备，零件及元件在运输和使用时，都可能經受偶然性的碰撞和跌落，这时，也經受震动和冲击。例如75千克的物体由60厘米的高度跌落，可以达16.g的加速度。

冲击是运动状态的剧烈变化或突然变化，冲击作用下，设备內部的結構零件受到很大的动态过負荷，以致引起机械上的破坏。震动可看作是交变方向的，时常發生的冲击作用。

震动对设备工作的影响表現为：坚固性的减弱或破坏；材料在交变負荷下疲劳而降低零件强度以致破坏；改变设备工作状态（例如失諧）；引起微音效应等。

减小冲击和振动的影响可采用如下方法：

1) 采用減震裝置

2) 采用加固結構和附加的緊固制動构件；安装时采用防止产生局部应力的措施（如在陶瓷等脆性零件与金屬間用軟性物質垫衬）。

3) 选择慣性小的零件，在选择零件元件时应了解其冲击負荷和震动負荷方面的使用条件，和它本身的自然諧振頻率，并使零件、元件的自然諧振頻率在客体振动頻率范围以外。

4) 在結構零件的强度計算时采用較大的安全系数；

为了在强度計算时考虑这些因素，应将这些机械作用折算为作用力的形式；

在震动情况下，已知震动頻率f（赫）和振幅S（毫米）則设备的最大加速J（g）可按下式計算：

$$J(g) = \frac{a}{g} = \frac{\omega^2 S}{g} = \frac{4 \pi^2 f^2 S}{9810} \quad [g] \quad (1-103)$$

式內 a 表示设备的圆周加速度，

g 是重力加速度（=9810毫米/秒²），

ω 是角速度。

最大加速瞬間，設備或元件重心形成的力N₁（公斤）為：

$$N_1 = P J \quad (\text{公斤}) \quad (1-104)$$

其中P表示設備或元件的重量（公斤）。

在衝擊的情況下，已知衝擊的瞬時速度U（厘米/秒）和衝擊過程的位移S'（即彈性和永久變形總和，厘米），則最大加速度J（g）可按下式計算：

$$J(g) = \frac{a'}{g} = \frac{1}{g} \cdot \frac{1}{2} \cdot \frac{U^2}{S'} = \frac{U^2}{2 \times 981 S'} \approx \frac{U^2}{2 \times 10^3 S'} \quad (1-05)$$

式中a'為設備的加速度。

力的計算可按(1-104)式進行。

總之，以上所述使用條件常常同時作用到零件，元件，和整個設備上，必須作綜合的考慮。

元件，設備的必要的結構特徵和工藝特徵是由使用條件確定的，設計者在設計前最好亲自到使用的環境中去体会和測試，以便具體地深入地了解這些條件。

為了保證其影響在允許的限度以內，製造好的設備應抽一定數量的樣品作環境試驗。這在第二十章內再詳細分析。

§1-2 對無線電設備的一般要求

對無線電設備的要求包括技術性的，使用的，工藝性及經濟性的。只有綜合地滿足上述要求的設計方案，才是最好的方案。實現上述各方面要求，往往碰到很多矛盾和困難，要求設計者採用折中方法靈活地加以解決。為此，設計者對這些要求必須有所了解。

技術性的要求一般屬於保證設備的電性能方面的，在電路設計之前按不同設備的具體的功能提出，在不同的專業課程中將提到，這裡只就使用的和工藝經濟性的要求進行討論。

I. 工作的可靠性

所謂“設備工作可靠性”是在規定的設備所處的使用條件下，規定的使用時間內，無線電設備保持正常工作（參量在規定範圍內）的能力。

基於現代無線電設備已使用在極為重要的場合，可靠性問題在最近階段已提到極重要的地位，人們對它進行了大量的研究工作，提出了很多提高可靠性的方法，其中有從概率的控制出發的，也有從技術措施出發的。

為了提高可靠性，要求在設備設計和製造中做到：

1. 使用可靠性高的零件及元件；
2. 最大限度地簡化設備（因為在其他條件相同時，設備愈複雜，元件愈多，則可靠性愈低）；
3. 零件及元件在額定條件下工作；
4. 安裝控制儀表和自動的控制裝置來測定及自動恢復主要元件部件偏離額定狀態所引起的失效（例如各種指針式儀表，熔斷保險器及電流電壓過荷繼電器等）。以便能迅速地進行操縱和檢修；

5. 采用自動閉鎖裝置來保證維護操作的正確和迅速。避免發生事故和過早陳老，或者降低其工作性能；
6. 配置備份元件和部件，使部件標準化和採用可快速裝拆的連接結構。以便于用快速更換方法排除故障；
7. 严格遵守生产工艺規程；
8. 對設備進行預先的老練和檢驗。

II. 使用的經濟性

無線電設備使用及維護中的費用總數往往大大地超過設備的造價，有時，降低設備的造價會使維護費用增高，但維護費的多少與設備的電路及其造價的關係並不是很大的，因此在設計無線電設備時，有必要也有可能不僅力求降低設備的造價，而且要考慮到使用的高度經濟性。

為了提高使用的經濟性，要求在設計和製造設備時，考慮如下幾方面：

1. 減小電源的電能消耗；
2. 尽量減小備份零件、元件及部件的數量；
3. 進行預防性及恢復性檢修時，應該簡便而不要求技術熟悉程度很高的人員；
4. 設備的操作簡單方便，不要求高級技術人員；
5. 設備的重量和尺寸尽可能小，其形狀便於包裝和裝置到活動客體上，以減少運輸費用和減小活動客體的重負荷。（減小活動客體上無線電設備的重量的尺寸的意義，不僅在於減少動力消耗費用，更重要的是增加活動客體上可能裝載完成多種功用的設備的能力以及增加飛行路程）。

III. 制造的工艺性和經濟性。

在設計製造大量生產或批量生產的無線電設備時，注意製造工藝可能性，工藝過程的簡單化以及製造成本的降低具有很大的意義。為了這些目的，應該做到：

1. 元件、部件和整機的結構的簡單化和合理化。設計結構時，應略去其中不必要的部分，力求每一個零件、元件，甚至是其中的構件都有一定的功能。並正確規定其電氣上和機械上的公差和表面加工光潔度；
2. 尽量採用普通品種材料以及標準化的零件、元件和部件，採用已掌握的結構，在設計新的元件部件或整機結構工藝時，應該尽可能與已掌握的原有結構工藝相類似甚至保持不變，以便能縮短掌握設計製造時間，利用現有設備，保證高的可靠性，以及促進原理性設備的發展（集中精力來搞尖端）；
3. 選擇高生產率的加工方法（如沖壓方法、機械化自動化裝配和印制裝配等）；
4. 保證合理利用生產設備，工具，模具，夾具，以及合理利用原材料的可能性（盡量利用不昂貴的）；
5. 生產操作及調整技術簡單，要求勞動力的技術熟練程度低和勞動量消耗小；
6. 生產准备工作簡單，所需的生產面積小。

上述關於對無線電設備要求的幾個方面仅仅是一般性的要求，在具體的情況下，可能還有某些特殊的要求，這方面將在討論具體的元件和設備時提出。即使在這些一般性要求中，我們已清楚看到它們之間存在着錯綜複雜的矛盾。其中主要是可靠性和工藝經

济性之間的矛盾。是否能合理地順利地解决这些矛盾，有賴于設計者是否具有正确的設計思想和是否具备足够的結構設計和制造工艺方面的知識和經驗。为了获得这些条件，除了掌握馬列主义的觀点和方法以外，还要在学好这門課（掌握基本的結構 工艺 知識）的基础上，不断地在实际工作中积累丰富的知識和經驗。

§ 1—3 无线电工業的現代发展趋势。

基于無線电电子設備应用愈来愈广泛，以及要求它所完成的功能愈来愈复杂，基于現代無線电电子設備可能在愈来愈复杂的和愈恶劣的条件下工作，以及对它的要求（特別是可靠性和减小重量与尺寸的要求）愈来愈高。現代的無線电结构設計及制造工艺水平以惊人的速度在發展着。目前，在無線电工業領域內正在实现着如下發展趋势：

I. 設備、零件、元件及部件的小型化和微小型化。

对裝置在高空活动的客体如飞机、炮彈、火箭中的無線电設備來說，小型化和微小型化的任务特別迫切。

II. 零件、元件及部件的进一步标准化和規格化。

如前节所述，这一点無論对提高設设备工作可靠性以及工艺性和經濟性都具有重要意义。

III. 設備、零件、元件及部件生产专业 化。

即設立生产一个类型或有限种类产品的工厂，如专门的电容器厂、电阻器厂、陶瓷零件厂、广播收音机厂、電視接收机厂、測量仪器厂、雷达厂，等等。这样可以进行大規模生产，因此，利用专用的（即使是复杂的）自动流水生产所带来的經濟效果，完全可补偿专用设备的高昂费用。生产的專業化，只有在标准化程度很高的前提下才可能普遍实现。

IV. 生产的机械化和自动化（特別是装配的机械化和自动化）。

其突出的优点是生产率高，能解放減輕人的劳动以及保証产品質量。

所有这些趋势的实现，都可以提高我国無線电工業的技术水平。但應該指出：我国原有的無線电工業是落后的，因此，为了多、快、好、省地达到这一目标，党正确地提出了一整套两条腿走路的方針，在要求大型企業进行專業性生产同时，还要求他們进行綜合性，多品种生产，在尙未能机械化、自动化的地方，要求土法先上馬。我們應結合党的政策方針，正确地理解以上的發展趋向。



第二章

表面复蓋

§2-1 概 述

I. 表面复蓋的功用：

各式各样的表面复蓋方法在电訊工業中得到了广泛的运用，这是因为它可以改善零件或整机的表面性能，从而提高了零件或整机的质量。其次，由于使用很薄一层貴重材料的复蓋，常常就可以使从較差材料制得的零件或整机具有貴重材料的性能，因而可以节约大量貴重材料，有很大的經濟价值。

我們知道，金屬零件的表面受潮气作用后，多多少少会發生腐蝕現象，这种腐蝕現象在鋼鐵制品上特別明显。制品表面受腐蝕后不仅使表面遭到損害，而且还要使制品的机械强度下降，从而影响到整个机器工作的可靠性。除此之外，电訊器材中，某些金屬制品上的腐蝕还会导致絕緣体的漏电，有时甚至会引起綫路上产生短路現象。譬如，如果空气可变电容器的極片是鋼板做的，極片上一旦有了腐蝕現象，就有可能引起动片和定片間的短接。有时，金屬上受空气中潮气的作用而产生的氧化物，还会在絕緣材料的表面上端行扩散开来，这时不管在設备中用多么优良的絕緣材料，設设备的工作能力一定会逐渐变劣，有时甚至因此完全丧失了工作能力。由此可見，保护电訊器材不被腐蝕是表面复蓋一个十分重要的任务。

很多种表面复蓋的方式可以提高制品表面的机械强度，例如鋼制零件表面的滲氮，鋅制零件的陽極化处理，都能提高零件的机械强度。又如，金屬零件鍍以鉻層，就能增加零件表面層的硬度，因此，在实用中很多零件（象电容器的轉軸、蝸杆、齒軸、摩擦傳动机构等等）为了提高它們的机械性能，都要施以技术性鍍鉻。

有些表面复蓋可以提高器件的电气性能，例如，为了减小高頻电路中的損耗和提高电路的品質，常常把連接用导綫，振蕩回路中裸銅線做的綫圈，电容器極片，空腔諧振电路和其他諧振系統內的机件都施以鍍銀。此外，如在有些無線电發射机中由于使用了鐵制骨架和隔离屏，从而引起了很大的發射电力損耗。如果在这些骨架和隔离屏上复蓋上一層0.05—0.1毫米厚的銅層，則損耗就会显著的降低。

絕緣材料上施以提高表面絕緣电阻的表面处理，也是常見不鮮的，象在硬橡皮或塑料制的絕緣制品表面上，經過仔細的抛光后，就会具有很大的表面絕緣电阻。这是因为抛光的表面具有良好的防止潮气和污秽影响的能力。

有时为使鋼制、銅制或鍍鉻的器件易于軟銹，常常在进行銹接前，对它們施以热鍍錫或电鍍錫錫合金的表面复蓋。

为使陶瓷、玻璃、云母和石英等絕緣制品，具有接受軟銹的性能或需要在它們表面

做上金屬電極，這時，就必須把它们加以金屬化。燒滲銀這項復蓋工藝即可使它們獲得良好的銀層。

為使金屬制品具有良好的防銹蝕性或者欲使某些制品具有美丽的外觀，常常采用油漆復蓋工藝。

由以上極為簡單的敘述，我們已經可以看出各種表面復蓋工藝，在無線電工業中的重要性。因而一個設計師必須很好的懂得這方面的知識。

II、表面復蓋的分類：

在電訊工業中所採用的表面復蓋，常按其基本功用或涂復的方法加以分類。

按其基本功用可分成以下三類：

1. 保護性的。

其主要功用是保護電訊器件在良好、一般、惡劣及海上等運用條件下工作時不被腐蝕。銻件鍍鎳是保護性復蓋最典型的例子。

2. 保護—裝飾性的。

除保護電訊器件不被腐蝕外，這類復蓋還給予器件以美觀的外表，各類裝飾性油漆復蓋就是這類復蓋很好的例子。

3. 特殊復蓋。

其基本功用是为了給予器件表面以特殊的性質，或者是使器件能在特定的環境中正常的工作。例如：鍍銀是为了提高射頻零件的表面電導率，磷酸鹽處理是为了使變壓器用硅鋼片獲得一層良好的絕緣層等等。

按照復蓋的方法可分成以下四類：

1. 金屬非電鍍復蓋。

熱鍍錫鋅料或電鍍鋅料，用噴濺法或燒滲法來金屬化等均屬此類。

2. 金屬及非金屬的化學復蓋。

其中包括化學鍍銀及鍍銅，金屬器件的鈍化，磷化和硝化等。

3. 金屬及非金屬的電鍍復蓋。

其中包括各種類型的金屬電鍍，以及對鋁及其合金的電化學氧化處理等。

4. 油漆復蓋。

III、使用條件的說明

由於復蓋種類的選擇應根據產品和產品上各個零件的工作條件，所以，為了能正確的選擇復蓋的種類和所需厚度，設計者必需熟悉機器和儀器安裝地方的環境情況，必需完全了解在這種環境下的工業鍋爐廢氣和其他廢氣的情況，產品內外的零件處於何種溫度範圍，及周圍的相對濕度，以及在某些特殊情況下還必須知道產品要在機器哪一部分安裝，外界的腐蝕介質浸入這一範圍的情況如何。根據在實際使用中常遇到的情況，以及為使人們對於複雜的使用條件具有明確的和統一的標準。所以，在無線電工業中，已把各種使用條件，劃分為良好的、一般的、惡劣的、海上的和特殊的等五種類型。各類條件的特性如表 2-1 所述。

表 2-1

使用条件的类型及其特性說明表

使 用 条 件	条 件 的 特 性
良 好 条 件	密閉的、有暖氣及有通風的室中，其周圍環境中沒有工業鍋爐及其他廢氣。在居民住所、俱樂部和其他場所安裝的無線電零件和儀器，以及實驗室中的測量儀器（化學方面的實驗室除外）都處於這類條件下。在海上、大船上、空中工作的有絕對和永久密封及熱絕緣的機器零件亦屬此類。
一 般 条 件	有小量的廢氣和海水蒸氣汙染的環境；相對濕度可以定期到98%；溫度在-50到+60°C之間。未密封，但不透水的，在戶外大氣條件下工作的零件（在上面指出的允許濕度和溫度下）無雨雪及含水蒸氣的大氣直接影響，在汽車、坦克、飛機的內艙，以及大量廢氣和海水蒸氣難于浸入的室內使用的機器零件。
惡 異 条 件	大量廢氣汙染的，並可能有雨和雪直接影響的環境，相對濕度達98%；溫度在±70°C之間，在直接有雨和雪影響的天然大氣條件下工作的非密封機器的零件；在接近海水蒸氣或大量廢氣聚集的區域中，安裝的機器零件。
海 上 条 件	在海船上的機械中，其外部零件會受到海水的直接影響，內部零件處於海水蒸氣飽和的大氣中。
特 殊 条 件	由個別情況決定的條件。

§2-2 用燒滲法金屬化

I. 燒滲銀

1. 簡述：

在無線電器材中所應用的陶瓷、玻璃、云母和石英等制品。常常需要在它們的表面上敷上一層金屬。根據工作條件和用途，希望所敷上的金屬具有以下性質。

- 1) 和基礎材料結合牢靠。
- 2) 能夠進行銲接加工。
- 3) 有高的導電率。
- 4) 化學成份的時間穩定性高。

用在陶瓷、玻璃、云母和石英上燒滲銀的方法來金屬化。可以很好的滿足以上要求。

燒滲銀的方法，就是用焙燒的方法使金屬銀滲透到基礎材料的表面層中去，由這些基礎材料所製得的零件經燒滲銀後可獲得某些特別的性質。例如：在陶瓷骨架或玻璃管上用燒滲法所獲得的銀層，具有與陶瓷或玻璃相近的線膨脹系數，這個性質就使我們可以解決製造高穩定性電感線圈的問題。在陶瓷、玻璃和石英上燒滲銀層後，即可以進行軟銲加工，在云母片兩面燒滲銀，可以製得高穩定性的云母電容器。用燒滲銀的方法還可以製造需要具有高穩定參數的印制電路。

2. 銀膏的配制：

燒滲銀的本質就是把銀膏中含銀的化合物 (Ag_2CO_3 或 Ag_2O) 在一定的溫度下還原成金屬銀，並且借銀膏中的助熔劑使金屬銀與陶瓷、玻璃、云母和石英的表面牢靠的燒

结合起来。

銀膏是由碳酸銀 (Ag_2CO_3) 細粉或氯化銀 (Ag_2O)，加助熔剂和胶合剂混合組成。

助熔剂：其作用是增加金屬銀和基础材料表面層結合的亲和力。在一定的温度下，金屬銀同助熔剂形成一种胶体溶液，而助熔剂渗入到陶瓷中之后，又同陶瓷一道熔化为玻璃状的变态組織，这时，金屬銀即可渗透到陶瓷的表面层中去。在冷却后，就获得了銀和陶瓷間具有很大机械强度的結合。

胶合剂：其作用是賦予銀膏在不同基础材料表面上，能够粘着的能力。此外，胶合剂还給予銀膏以适合需要的稠密度，以保証敷挂基础材料上的圖形，在銀膏干固的过程中不会产生变形。胶合剂并不直接参与燒滲的作用，它应当在30°C以前，完全燒尽不留一点灰份。在胶合剂燒尽的过程中，将会在陶瓷和燒滲銀層間形成許多微小的“孔洞”，这些“孔洞”使燒滲銀層和陶瓷的結合在高温时丧失其密封性，因此，当用在陶瓷上燒滲銀的方法作密封时，另件的最高工作温度不应超过85°C。

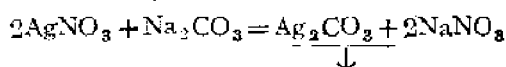
最广泛采用的助熔剂是氧化鋅 (Bi_2O_3) 和硼酸鉛 (PbB_4O_7)；胶合剂是用上等松香和潔淨的松节油配制而成的，其近似的化学分子式是 $\text{C}_{16}\text{H}_{18}$ 。

銀膏的配制工艺，乃是将上述三种成份长时间混拌的过程，其目的是要获得在成份上非常均匀的，顆粒極細的机械混合物。

現将銀膏的具体配制方法叙述于后：

配 制 碳 酸 銀

配制碳酸銀的原始材料是硝酸銀 (AgNO_3)。先把硝酸銀的水溶液加热到60+70°C之間，同时，加几滴酚酞試剂的酒精溶液。与此同时，还要准备碳酸鈉 (Na_2CO_3) 的水溶液，配制的比例是把一份（重量計）碳酸鈉，溶解在四分（重量計）水中，仔細滤去一切机械性的汚物，然后，不断地吸取少量的碳酸鈉換到硝酸銀中，直到显示出自玫瑰色为止。这两种溶液起着下列的反应：



在这个化学反应的过程中，碳酸銀就沉淀到底下，至于混合这两种溶液的手續，所以要这样繁复的理由，是在于不使混合溶液中有过量的碳酸鈉，这些过量的碳酸鈉是很难从沉淀下来的碳酸銀中洗滌除掉的。

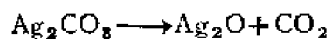
待化学反应終了后，把沉淀液加热煮沸一至一个半小时，而后冷却到室內温度。冷却了的沉淀液，要經过多層滤紙的过滤；若要加速过滤的过程，可以利用吸水泵，不过，这时滤紙就要放在細麻布上，以消除在过滤过程中，可能發生的滤紙撕裂情况。

从这里所得到的沉淀物，先用开水，然后再用70—80°C的蒸餾水洗滌，一直到洗滌的水中不復呈鹼性反应时为止。檢驗这个反应，可以随时用酚酞試剂来鑑定；凡是未被洗净殘留在碳酸銀中的鹼，能和松香—松节油質的胶合剂發生皂合，这会使銀膏变濃稠的。

洗滌好的沉淀物，再重新过滤，而后放在恒温器中，加热到120—140°C，烘干6—

8 小时。

从上面所述方法得来的碳酸銀是黃色的，但是，一經烘干就几乎变成了黑色。这是因为一部分沉淀已分解为氧化銀 (Ag_2O) 和二氧化碳 (CO_2) 的緣故。化学反应是：



助熔剂和它的配制法

最通行的助熔剂成分，如表 2—2 所列。配制助熔剂的手續中，包括磨碎，混合各成份和放在球磨中磨細，最后以每平方公分 2000—2500 孔的篩子篩过。

經常在陶瓷电容器上，會發生一种“閃爍”現象。产生这閃爍現象的根源之一，就是氧化鋁作祟，因此陶瓷的电容器上最好用只含有硼酸鉛的助熔剂。

配 制 胶 合 剂

胶合剂是用二份（以重量計）最上等的松香和三份清淨的松节油配成的。松香要清除偶然的机械性污物。然后放在瓷臼中捣成細粉，再同松节油調和。配制时，可以加热到 70—85°C 来加速溶解的过程。

待松香完全溶解在松节油中后，再补充松节油，使它的比重等于 0.934 至 0.936（在 20°C 时）。胶合剂达到了这个比重时，就表明它已配制好，也就是具备了制造技术所要求的稠密度。

配 制 銀 齋

配制銀齋所需要的成份，是依燒到何种基础材料上为轉移的。表 2—2 所列举的配合成分，是从实验中得来的。

表 2—2 各类銀齋配方一覽表

銀齋的用途	銀的化合物		助 熔 剂		胶 合 剂				涂敷的方法
	氯 Ag_2CO_3	銀 化 Ag_2 氯 解 解	鐵 Bi_2O_3	鉛 PbO_2	松 香	松 节 油	量 量	起 器 油 油	
				$\text{C}_{10}\text{H}_{16}$		稠	甲		
用于陶瓷	58.5	—	1.0	2.2	13.3	25.0	—	—	用毛笔涂敷
用于陶瓷	63.0	—	1.0	2.0	4.6	16.4	6.5	6.5	用专门的机器和工具涂敷
用于玻璃和石英	59.0	—	—	2.5	19.0	25.5	—	—	用毛笔涂敷
用于云母	41.5	—	—	2.5	21.0	35.0	—	—	用喷漆法涂敷
用于陶瓷	—	52.0	1.0	2.2	14.0	22.8	4.0	4.0	用专门的机器和工具涂敷

注：蓖麻油和电容器油都是用于調整銀齋稠密度用的附加物。

按上面配方中的成分配好的原料，装到陶瓷桶的球磨机中去磨细；每次装载的量不要超过桶内容量的 $\frac{1}{3}$ 。同时，在这装量中加入“小鹅卵石”或瓷质小球。这些卵石或瓷球的总重量，约同配料的重量相等。实验证明，球磨中采用大小相等的卵石或瓷球（直径为1.5厘米—4厘米），所得的结果较好。

球磨的桶应当用盖子盖严，经过检查桶盖的严密性后，就开动机器，让它不断地旋转70—75小时，要获得均匀、细致的银膏粉料，作这样长时间的研磨是完全必要的。因为银膏的各成分，尤其是助熔剂材料，研磨得越细，烧渗所得银层与基础材料就附着得越牢靠。

为了要防止银膏因松节油中容易挥发的成分蒸發，或者因周围空气慢慢的氧化作用而变得浓稠，银膏应当保存在严密封盖的陶瓷质的或玻璃质的容器内。

配制好的银膏是一种含有若干种原素混合物的胶体溶液。由于这些原素的比重不相同，银膏在长期保存后，其中比重大的原素，就沉积到容器的底部，因此，在使用这银膏之前，必须就在这个容器内仔细地调匀，临用时，再掬取一份用量，放在瓷臼中研磨，以消除在保存时间内可能结成一团的现象。

3. 烧渗前的表面准备和银膏的涂敷方法。

在烧渗银层以前，基础材料必须顺序受到表面清洁和涂敷银膏的加工。

1) 表面的清洁：

经过这道工序应当除尽基础材料表面上的有机和无机的污秽（如油腻、树脂、胶料、酸、碱、泥土、灰尘等），否则将会使银膏涂敷不上去或使银膏涂敷不均匀，不連續。从而影响烧渗银层的质量。

选用那一种清洁方法，主要决定于基础材料的尺寸、数量和材料的种类。

在实验室中或小量生产中，对于表面不大的陶瓷，玻璃或石英制材料，可以用酒精或汽油洗净。

对于大量生产的陶瓷材料，则可放在70—80°C的肥皂水中用超声波清洗，然后，放在110—120°C的烘箱中烘干。另一特别有效的方法就是把陶瓷材料放在电炉中加热到500—600°C，这时陶瓷材料表面上的污秽即可全部烧尽。

云母片一般是用酒精清洗。

2) 涂敷银膏：

在陶瓷、玻璃、云母和石英上涂敷银膏有以下五种方法：

- (i) 用软质毛笔（如黄狼毛或灰鼠毛）涂刷。
- (ii) 喷溅法。
- (iii) 浸没法。
- (iv) 用专用机器涂敷。
- (v) 印制法。

毛笔涂刷法：先用专用的繪圖仪器在坯料表面上繪出所需图形，然后，用毛笔蘸银膏加以描涂，或者用鑄空样板来直接涂刷，該法耗劳动量大，所以一般仅在小量生产中用来涂敷表面积不大的坯料。

噴灑法：这种施工方法同噴漆法很相似，亦是用噴槍来进行涂敷，如果在坯料的全部表面上都要涂敷銀膏，則無任何輔助工具，如果需要涂敷成一定的圖形，則必須使用鏤空样板。

噴灑法無論用于小量、成批或大量生产，生产效率都很高，但原料損耗較大，因此，噴灑法最好能在具有銀膏收捕設備的風洞內來施工。

沉浸法：一般說來，沉浸法应用的范围很窄，因为他仅能涂敷一些尺寸不大，形状简单的流线型零件，而且，不易获得很均匀的涂敷層。

用专用机器涂敷：用专用的机器来涂敷最大的特点就是生产效率特別高，凡欲在平板上、圆柱体上以及球体上复制线条时，采用这个方法均是很合理的。可是，这个方法需要配备有較昂貴复杂的机器，所以只有在成批或大量生产中应用才有利。

現在，用来涂敷銀膏的机器，类型异常繁多，圖2—201表示两种实用的例子，說明

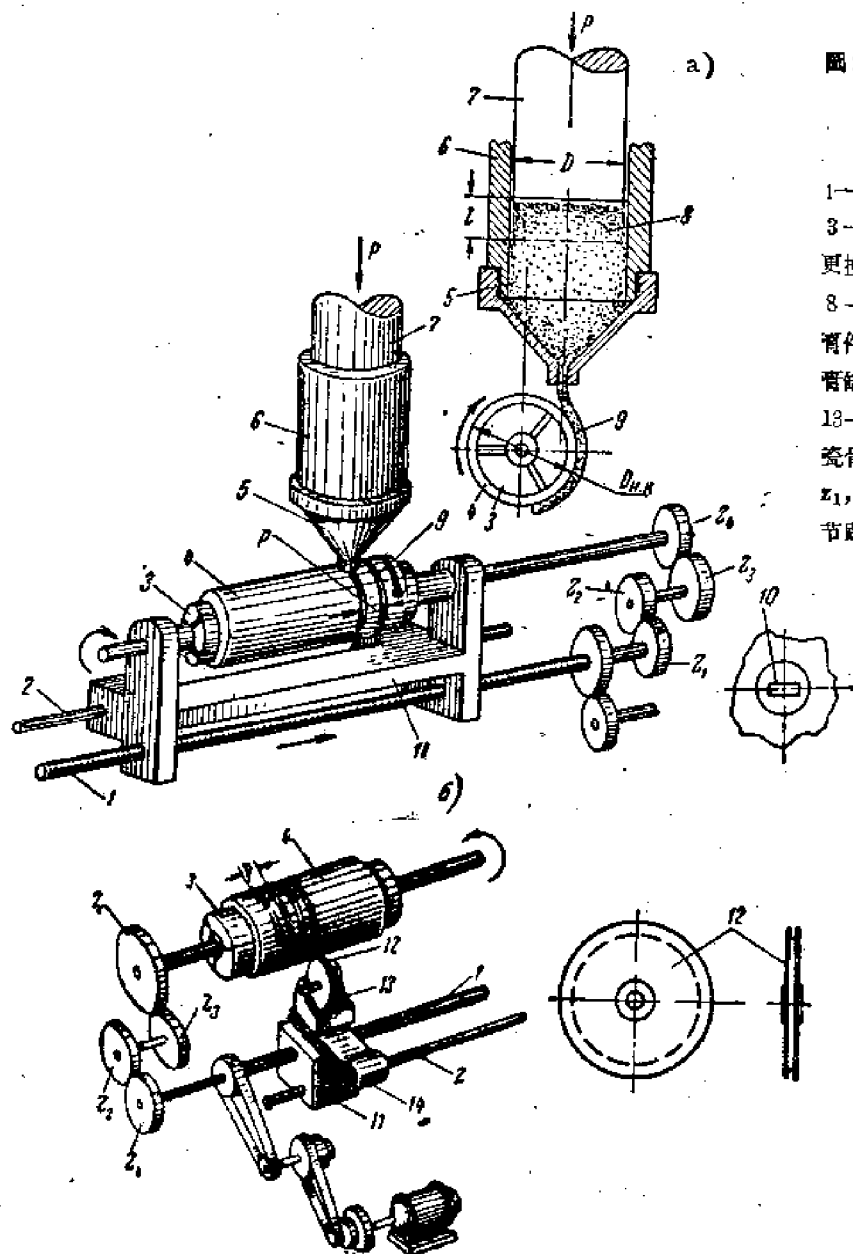


圖 2—201 用來在圓柱陶瓷骨架
上涂敷銀膏的機器的
運動圖 (a,b)

- 1—行走螺旋杆 2—行走导軌
- 3—支承杆 4—陶瓷骨架 5—可
更換的嘴子 6—圓柱桶 7—活塞
- 8—銀膏 9—从嘴孔中压出的銀
膏件 10—嘴子上的孔口 11—銀
膏缸座架 12—帶沟槽的黃銅輪子
- 13—銀膏缸 14—使黃銅銅子和陶
瓷骨架壓緊的彈簧
- z_1, z_3, z_5, z_4 —搭配各種螺旋
節距用的變換齒輪

在圓柱形陶瓷骨架上涂敷銀膏的方法。

印制法：印制法就是应用特制的模型和鏤空鋼板来施工的，因該法亦需專門的机器设备，故也較适合用于大量生产中。

4. 在陶瓷上燒滲銀層

在单件和小量生产中，可以采用能燒到 900°C 的馬福炉来对陶瓷进行燒滲銀，成批和大量生产时，则应用有温度自动调节装置的隧道炉。圖2—202所表示的是一种臥式隧道炉的结构简图。

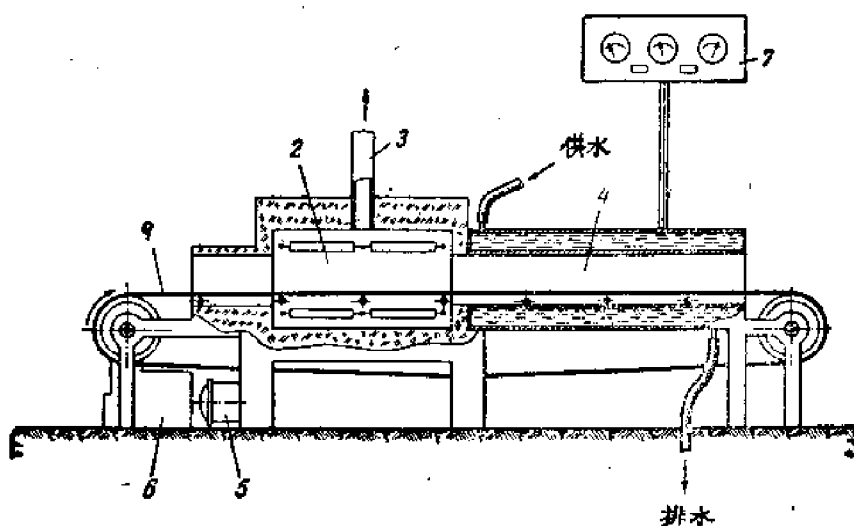


圖2—202 用来燒滲銀的臥式隧道炉

- | | |
|---------------|----------------|
| 1—鎳鉻綫做的傳送帶 | 2—燒滲室 |
| 3—通風管 | 4—具有水套的冷却区 |
| 5—電動機 | 6—改變傳送帶運動速度的機構 |
| 7—自動控制燒滲狀態的儀表 | |

燒滲銀的过程能够用圖2—203来表示。

为了获得完善的燒滲銀層，每个陶瓷零件，至少应当燒滲两次。第二次燒滲的目的，是为了消除由于第一次涂敷銀膏不均匀所造成的缺陷，同时也为了增加銀層的厚度，一次燒滲銀層的厚度只有 $7-17$ 微米，第二次燒滲所得銀層的厚度可达 $3-20$ 微米，銀層和陶瓷間的结合力，最佳能达180公斤/平方公分，燒滲所得銀層的导电率不及金屬銀优良，这是因为燒滲銀層是多孔性結晶組織的緣故。

燒滲所得銀層在溫度升到 200°C 时，有能为錫熔解的特性，所以，当需要在燒滲銀

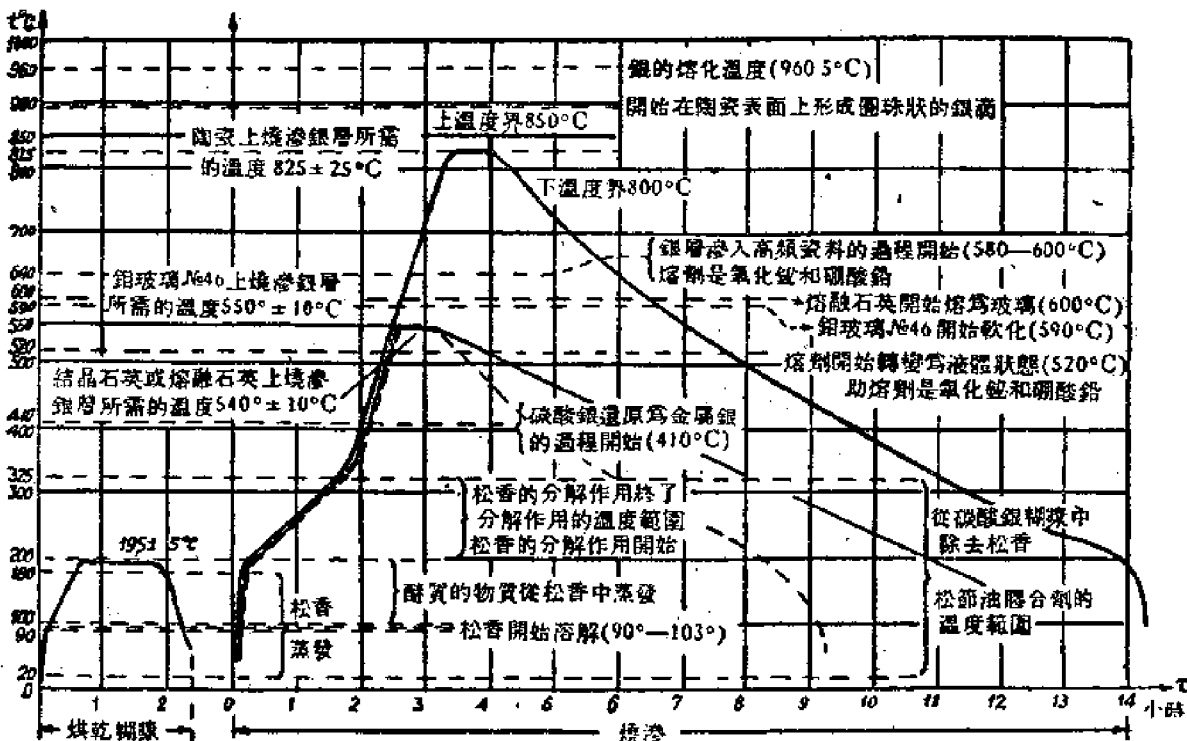


图 2-203 陶瓷、玻璃、石英基座上的碳酸银糊的烘烧和烧渗操作情况。

层上进行软焊加工时，为了消除锡对银层的有害作用，建议采用以下两种办法。

- 1) 用低温锡（如锡焊料）进行焊接，但用低温锡是得不到牢固的机械结合的。
- 2) 较好的办法是，先对烧渗银层进行酸性镀紫铜，然后用普通锡进行焊接。

经过焊接后，陶瓷和银层的结合力在温度从-40—+85°C时为50—70公斤/平方公分。

5. 在玻璃石英及云母上烧渗银层。

玻璃上的烧渗法

玻璃上烧渗银层的施工程序，很多地方是和前面所述用于陶瓷中的操作法相同。在这里，也是依靠助熔剂，起着活躍的作用，来把银渗透到玻璃的表面层中去，并且同它结合起来。

对于玻璃，可以允许使用助熔剂份量较少的银膏，并且，助熔剂仅由硼酸铅一种或分制成。这样做的原因，是能提高玻璃上烧渗银面的导电率。

烧渗的手續，是先把玻璃的表面作涂抹银膏前的处理。事前处理包括用棉纱团擦去表面上的污秽，并且用酒精洗净。小型零件在酒精中浸泡约20—30秒鐘，洗净后的零件放在空气中干燥，然后，用前面叙述过的任何一种方法来涂抹银膏。

在玻璃上烧渗银的状态，已指出在图2-203中。最高的烧渗温度决定于玻璃的软化温度，并且规定它比软化温度更低30°C。这样，即使温度的公差是±10°C，也不致于使玻璃变形。例如46号钼玻璃的软化温度是590°C，于是最大的加热温度应当在540—560°C范围内，换句话说，烧渗温度应该规定为550±10°C。

冷却时的技术規程完全决定于玻璃的种类和对玻璃所要求的燐火程度。玻璃在燒滲后冷却所需的时间，假如沒有特殊的要求，一般地要比陶瓷和石英所需的时间为短。

玻璃上接触到助熔剂的地方，总是染有很弱的颜色，而且助熔剂中杂质越多时（尤其是含有鐵和别的金属的杂质），颜色也越深。

燒滲銀層上，电镀保护性銅層的方法，也与陶瓷相同。

圖2—204中的各种电感綫圈，就是在玻璃管上燒滲銀層的制品。

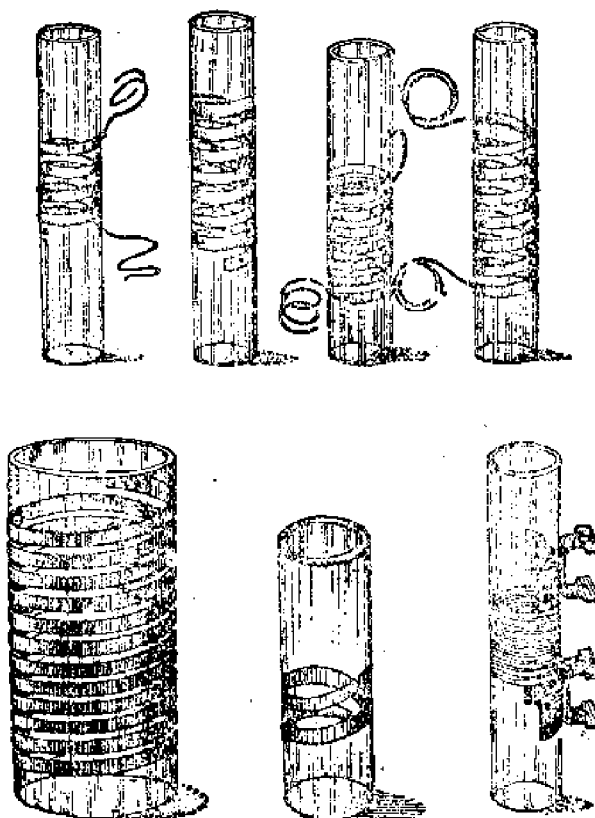


圖2—204 在玻璃管上燒滲銀層制成的电感綫圈。

石英上的燒滲法：

晶体的石英或水晶以及熔融石英的热張系数很小，在無綫電工程上是个很有价值的絕緣材料。它的主要介質性能，实际上不受頻率的影响，所以，扩大石英在近代無綫電器材中的应用范用，是有很大的实际利益的，为此，在石英上渗入同石英表面坚固地结合的金属是完全必要的。把这个任务具体化起来，就得到在石英上燒滲銀層的实施規程。

虽然，晶体石英和熔融石英的熔点很高(1710°C)，但是，燒滲时所用的温度是允許低到 530 — 550°C 的范围内，因为这个温度已經足够从碳酸銀或氧化銀中还原出金属銀来，并紧密地結合在石英表面上。而且，对于熔融石英來說，上面所指定的温度还是一个加热的界限，如果超越了这个界限，譬如，提升到 600°C 或以上时，石英将發生“透明消

失”現象。这就連帶着損耗了一部分優良的特性，例如，提高了透氣性。

塗抹銀膏前的處理工作，是在酒精中洗淨污穢。塗抹銀膏可以用筆刷法，也可以用噴濺法。石英上所用的銀膏成分，如表2—2所列。至于燒滲操作的技術規程，可以參考圖2—203。

云母上的燒滲法：

在高穩定性云母電容器的生產中，採用在云母上燒滲銀層一法是很流行的。在云母片的兩面，各滲透一層銀面，可以做到讓極片完全貼伏在介質上，而沒有空氣或別的東西夾雜在它們之間，從而，電容器受溫度的影響而變改電容量的程度，將只由云母的物理常數來決定了。

云母上燒滲銀層的施工技術有它固有的特點，這個特點完全是由云母的特性和片子微薄的厚度所決定的。

在云母上塗抹銀膏；只能應用夾框以噴濺法來實現（圖2—205）

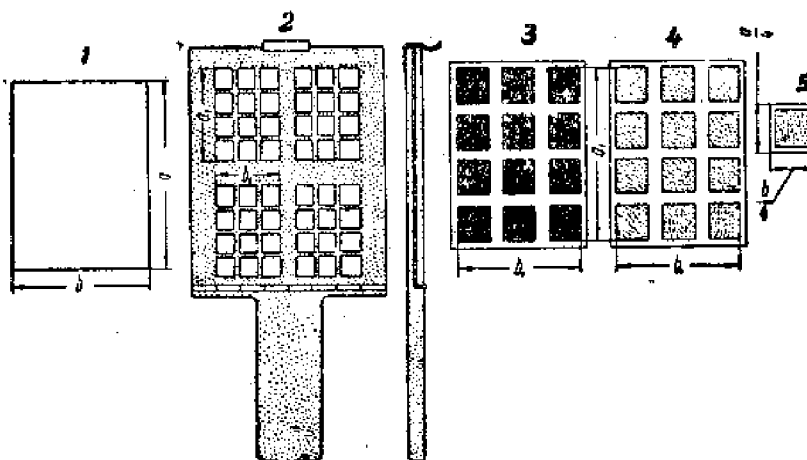


圖2—205 用于製造云母電容器的云母片上燒滲銀的工藝過程。

- 1—包含12塊電容器疊片的云母片
- 2—可裝四塊云母片的鐵空夾框
- 3—塗敷了含碳酸銀銀膏的云母片
- 4—燒滲后的云母片
- 5—經裁切后的電容器疊片

施工時，云母片就夾在夾框之間，云母片的兩面是都需要塗抹銀膏的。云母片被窗格板上格子遮蓋着的部分是塗不到銀膏的。製造云母電容器所用的云母片的大小，自4到40平方厘米，每一种面積大小的云母片，要各有專用的夾框。窗格板上窗孔的大小和數量，決定於電容器極片的大小。

小電容量電容器的云母片尺寸不大，可以把很多塊彙集在一塊不小于20平方厘米的云母片上，待燒滲完竣後，再裁切為單個的小塊。雖然，這樣的制法需要價格比較高昂的大張云母片，但是，在生產上相對的仍屬有利，因為，這樣可以免去對大量小塊的

云母片來各个裝夾的繁復加工。

塗抹銀膏要在特殊的有抽氣設備和銀膏收捕器的風洞中（圖2—206）操作。塗抹層的均勻情況和塗層的厚薄，需要在檢視中來判斷，為了這個目的，風洞上裝有電燈。

用噴撒法來塗抹銀膏，由於散霧的關係，損耗很大，所以在風洞內裝有用法蘭絨袋子做成的收捕器。堆積在法蘭絨袋子上的銀膏，可用振動的方法取下再用。

由於云母片上的銀膏層是非常薄的，所以燒滲前的烘干手續，就沒有再施行的必要了。云母片在塗好銀膏後，就可以立即進入燒滲操作（圖2—206）。云母片放在傳送帶1上，不斷地送入電爐的隧道中進行燒滲。隧道的全程中有兩個加熱區域，各用自動溫度調節器控制著加熱溫度。在第一個加熱區域中，溫度逐漸均勻地從150°C升到500°C，而在第二個加熱區域中則保持在500—520°C之間。

全部過程需要十分鐘行畢。在這個時間內傳送帶的行動速度是每分鐘0.4公尺。在這全程中完成燒盡膠合劑，還原成金屬銀並和云母的表面層緊密結合，而且滲入到每面表面層下3—5公微的深度等幾項任務。這裡要指出的是，我們不希望金屬銀滲入得更深，因為這將招致云母片（只有20到70公微厚）擊穿電壓降低的惡果。

銀面凸出云母片表面的厚度，一般每面只有1—3公微。

II. 燒滲混合物

前面已經指出，當溫度很高時，燒滲銀層和陶瓷間的結合，就喪失其真空密封性。為了要得到在高溫條件下仍能與陶瓷保持真空般密封結合的金屬層，最有前途的方法是在陶瓷表面上燒滲金屬細粉和金屬化合物的混合物。

混合物由以下成份組成：

原料名稱	按重量所占百分數
矽化鐵粉末	45
氧化鎳	35
氧化鉻	5
氟化鈉	3
氧化鋁	2

燒滲的簡要工藝過程如下：

1. 把除矽化鐵粉末外的其他所有原料放入振動式或滾動式球磨機中，磨碎到通過1000孔/平方厘米的篩子時，只有0.5%的剩餘物為止。

2. 配制膠合劑：膠合劑由一分重量的虫胶和四份重量的酒精混合而成。

3. 把第一道工序所得混合物、矽化鐵粉末及膠合劑（其中干燥的虫胶按重量為整個混合物的10%）放入球磨機中長時間的研磨混合，以獲得均勻研細的膏漿。

4. 涂敷膏漿：用毛筆涂敷或噴槍噴敷。

5. 干燥：在1.5小時內，從50°C升至200°C。

6. 燒滲：在真空度為0.5毫米水銀柱的真空爐中進行燒滲。燒滲的溫度為1100—1150°C。

燒滲所得金屬層，具有不銹合金鋼的性質，並且具有良好的鍍錫性。

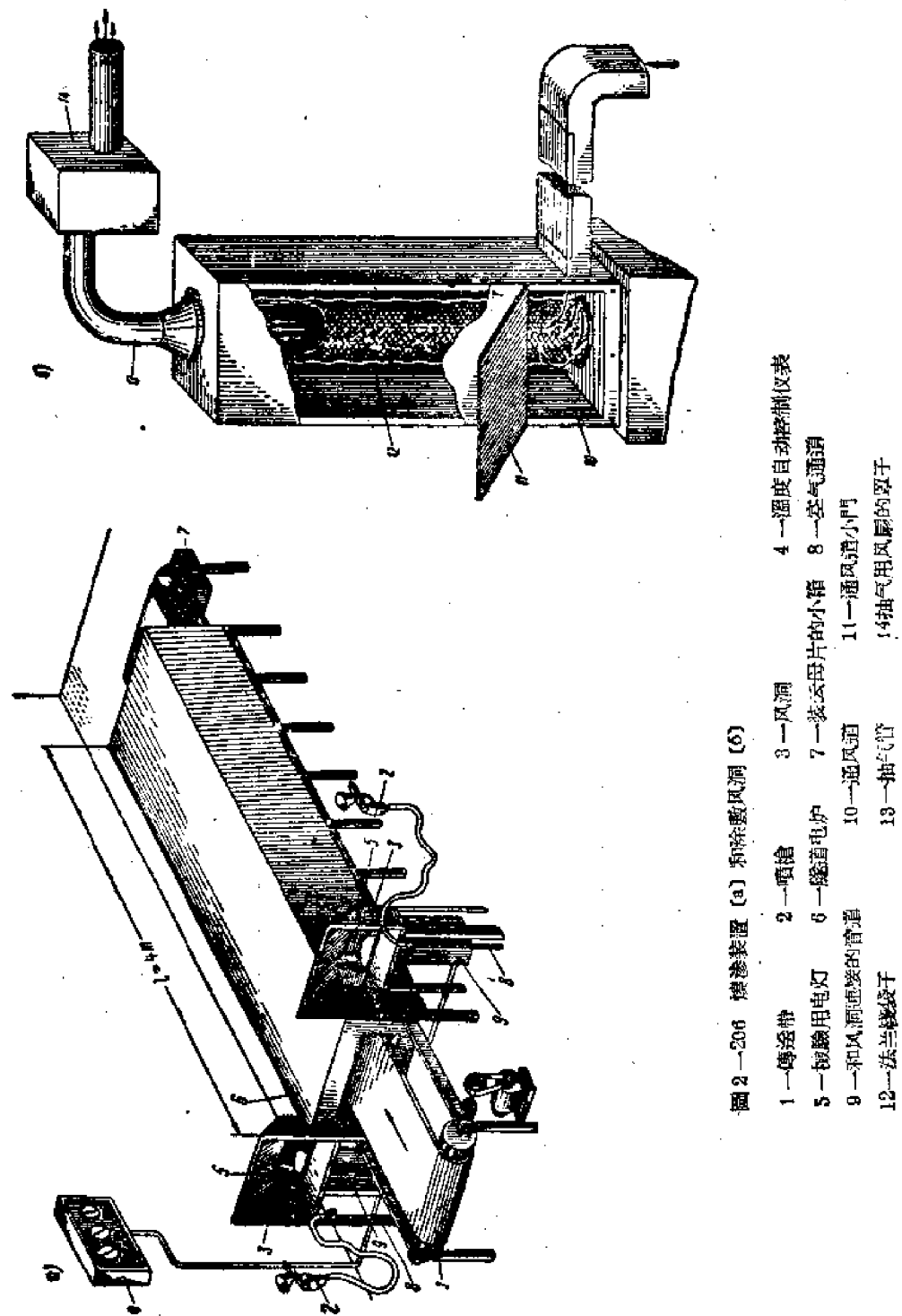


圖 2—266 漢達裝置 (a) 和流動風洞 (b)

1—導流帶	2—貯倉	3—風洞	4—溫度自動控制儀表
5—檢驗用電燈	6—絲質電爐	7—裝灰母片的小箱	8—空氣通道
9—和風洞連接的管道	10—通風道	11—通風道小門	14—抽氣用風扇的罩子
12—法蘭螺栓子	13—抽氣管		

§2—3 电镀及化学复盖

I. 与金属复盖有关的金属特性。

在这一节里，我們所碰到的绝大多数复盖都是金属复盖，因此，为了对这些复盖能更好的了解，并进行选择，有必要首先闡述一些与金属复盖有关的金属特性。

1. 金属复盖的保护特性：

在金属零件上镀其他金属来保护金属零件的方法，与金属在一定介质中的电化特性有关。金属在一定介质中，有一定力量能轉变为溶液，这就是金属电化特性之一。金属的这种力量以电化学电位值表示。金属的电化学电位越负，则轉变为溶液的力量越大。

在镀层金属中有細孔时，电解液则可渗入镀层与金属零件之間，此时，即可把底层金属和镀层金属視為有一定电位差的短路电池。

电位负的金属是陽極，它是能溶解的電極，比有較正电位的陰極容易毀坏。金属的电化学电位系列如表 2—3 所示。

表 2—3 金屬电化學电位系列

金 屬	化學符号	標準單位	金 屬	化學符号	標準單位
鋰	Li	-3.02	錫	Sn	-0.14
鉀	K	-2.92	鉻	Pb	-0.13
鈉	Ka	-2.71	氫	H	0.00
镁	Mg	-1.55	鎘	Sb	+0.10
鋁	Al	-1.30	銻	Bi	+0.20
錳	Mn	-1.10	砷	As	+0.30
鋅	Zn	-0.76	銅	Cu	+0.34
鉻	Cr	-0.56	鎳	Rh	+0.68
鐵	Fe	-0.44	銀	Ag	+0.81
鍍	Cd	-0.40	汞	Hg	+0.86
鉻	Co	-0.26	金	Au	+1.50
鎳	Ni	-0.25			

如果在一定介质中镀层金属的电化学电位负于零件的电化电位时，镀层为陽極，陽極镀层被破坏后，可以借电化学关系来保护零件，反之，如果镀层金属的电位正于零件，则镀层为陰極，陰極镀层只能借机械的关系来保护零件金属，而当镀层的完整性被破坏后，反会加速零件金属的腐蝕。

陽極镀层的保护特性及工作期限基本上决定于它的厚度，而陰極镀层的保护特性则决定于它的厚度和镀层多孔的情况。

2. 金属和合金的耐锈性

由于金属和合金的物理化学性质不同而具有各种不同的耐锈性。金属和合金的耐锈

性如表 2—4 所列。根据此表，設計时就可以决定何种金属零件需要加以保护性涂复，何种金属零件無需进行保护性涂复。例如：磷青铜和不锈钢制得的零件，在任何使用条件下，都無需加以保护性涂复，而碳素钢和低合金钢等，如不进行保护性涂复，则不能使用。

表 2—4 金屬和合金的耐銹性

金屬与合金的名称					耐銹特性
鐵合金	鋁合金	鎳合金	鋅合金	銅合金	
需要热处理 18Cr 8Ni 不锈钢	—	—	—	銻青铜 鎳青铜 磷青铜	非常稳定，在良好条件、一般条件和恶劣条件，不需要采用任何保护涂复。
需要热处理的含铬不锈钢 (12—15% Cr)。	高度純潔的铝	—	—	銅，黃銅含錫的青銅	稳定性較小，在良好和一般条件下沒有保护涂复时可以采用。
含銅鋼	鋁硅合金	—	—	—	輕微腐蝕，在一般和恶劣条件，需要某些补充保护。
碳素钢和低合金钢	經過天然老化的杜拉铝	鑄鐵合金	含有鋅，鋁和鎳的合金	—	可以腐蝕，沒有保护層时，不能采用。
含有硫氯化物及气体的铁	含大量銅鋁和鉄的合金	經常采用的一种鎳合金	—	—	腐蝕性特別強，須有严格保护的条件下才可以采用。

3. 允許和不允許的电化偶。

在电訊设备中，由不同金属制成的零件常常相互接触（如用金属零件装合成部件或整机），这就导致了电化偶的形成，它可能会加速金属零件的腐蝕。

工作在一般条件，恶劣条件及海上条件下的金属零件，其允許和不允許的电化偶分別見表 2—5 和表 2—6。

表 2—5 不允許的金属电化偶表

主体金属和合金	补助金属与合金可以与主体金属合成电化偶者
鋁和鋁合金	銅及銅合金，銀，金，鉑，鈀，鎳，錫，鎳，鉻。
鐵鋁合金	合金鋼及非合金鋼，鎳，銅，鉛，錫，錫鉛合金，金，銀，鉑，鎳，鎳。
鉻和鉻合金	銅及銅合金，銀，金，鉑，鈀，鎳。
普通銅，錫，鉛，錫鉛合金，鎳	銅，銀，金，鉑，鈀，鎳。

表 2-6

允許的金屬電化偶表

主体金屬与合金	与主体金屬和合金可以形成电化偶的金屬与合金
鋁和鋁合金	鎂和鎂合金，鋅和鋅合金，鎳，普通鋼。
鎂和鎂合金	鋁和鋁合金，鋅和鋅合金，鎳。
鋅和鋅合金	鋁和鋁合金，鎳鉻合金鋼及普通鋼，鎂鉛合金，錫鉛合金，鎔。鎢，鉛
銅和銅合金，銀，金，夢，鉛，鎳。	這些金屬及合金間的任何配合，以及與鉻，鎳，高合金鋼之配合。
銅及銅合金，銀	當钎焊時，與錫鉛合金間的任何配合。
鉻，鎳，合金鋼及普通鋼，錫，鉛，錫鉛合金，鎔。	這些金屬與合金間的任何配合。
普通鋼	與帶有潤滑油操作的銅合金的配合。

當按照結構圖連接金屬零件時，當某些零件必須形成不允許的電化偶，而又不可能採用保護塗復時，則在零件之間應當放入絕緣墊片。

II. 電鍍和化學塗復的選擇。

根據實際使用和實驗的結果，對於各種電鍍和化學塗復的特性及應用範圍，在國家標準中都作了詳細的規定和說明。因而，設計者欲能正確的選擇所需塗復種類，必須熟知國家標準中的規定和說明。為此，下面特從國家標準中摘列出鍍鋅、鍍銀和鎔的化學氧化等幾種塗復的規定和說明（表 2-7），作為設計者熟知國家標準的參考。

除上述三種電鍍塗復外，在電訊工業中，還用到其他一系列電鍍和化學塗復，現將它們的特徵和應用範圍簡述如下。

鍍鎔：在一般條件下使用設備時，鍍鎔屬陰極塗復，故其保護性能不如鍍鋅好。

在海洋蒸氣飽和的環境中和在海水中使用時，鍍鎔和陽極塗復是一樣的。而且在這些條件下比鍍鋅耐久，鍍鎔性柔軟，彈性高，容易焊接，如果嚴格的遵守熔接規程，則可熔接。

鎔鹽有毒並很缺乏，所以僅在海洋氣候條件下才選用鍍鎔。由於鎔具有潤滑性能，故在需要緊密裝配的、重要而精確的零件上可選用鍍鎔。

在有硫化物的環境中，不允許採用鍍鎔。在封閉的整機中，尤其在密封的整機中，塗過阿立夫油或浸過干性油的零件，鍍鎔是不耐久的。這時，必須將零件再塗上熱干燥清漆。

鍍鎳：是保護裝飾性塗復，對鋼質制品是陰極保護，故只有在良好條件下，並具有大的塗層厚度（12-15微米）時，才可能用作保護塗復。對銅及銅合金鍍鎳則是陽極保護，故具有良好的保護性能。

鎳具有很好的接受拋光特性，故可給予零件以美麗的外觀。

鎳塗復的硬度接近於熟鐵的硬度，因此，鎳塗復的耐久性要比鍍鋅好得多。鎳塗復

电鍍和化學塗層的分類：特性、應用範圍和標記

涂 复 种 种 类		鍍 錫 暗 鮮				鍍 鋼 鮮 不 鍍 化 呈 紅 色				鍍 銀 化 成 淡 綠 色					
圖紙的涂復 標 記	使用条件別 类	良 好	一 般	恶 劣	良 好	一 般	恶 劣	良 一 般	恶 劣	良 好	恶 劣	良 好	恶 劣	良 好	恶 劣
塗 复 层 厚 度 (微米)	塗 記 号	8.11.10	3.11.20	3.11.35	3.12.10	3.12.20	3.12.35	3.61.16	3.61.10	3.61.07	2.57	2.57	余硝化 纖維漆或特 種底漆。	優	惡
應 用 涂 複 的	塗 複	7—10	15—20	30—35	7—10	15—20	30—35	鍍12—15	銀7—10	銀4—7	—	—	—	—	—
一 般 范 國	一 般	紅色鍍錫，对于无特殊修飾要求而在潮氣下使用的 或要油漆的零件是可靠的防銹塗覆。 当部件連接需要電氣接觸點的条件下（特別在超短 波裝置中）的零件和組件以及裝配時沒錫的零件適用 鍍錫（不鍍化呈紅色）。				用于導 在螺絲 件下工作 的通電裝 觸零件。				用于導 高頻電流 下工作的 配導線和 母線。				用于代替電化學氧化 來涂復形状复杂的零件 和部件。	
特 殊 件	特 殊	为了防蝕，广播设备无須塗覆。有外螺紋和內螺紋 的零件，在涂复后，留有密实的涂覆層时，允許用螺 紋扳牙和絲錐來加工。 要求油漆的零件和部件的鍍錫在各种使用条件下， 其厚度均为7—10微米。				板標需要，在某些特 殊情況下，銀層的厚度 可增大或減少并将其記 入標記內。				標的名稱和標記在 圖紙中有說明。				標的名稱和標記在 圖紙中有說明。	

能抵抗碱及弱酸溶液的作用，但不易焊接和涂漆。

对于钢制零件常把涂复作成多层的，即先镀铜再镀镍，以提高保护性能。

镀铜：由于铜和铁的电化电位差很大，所以镀铜不能用来作为单独防护黑色金属零件生锈用。

镀层有中等硬度，能经受弯曲、引伸和扩孔，新镀层上容易镀锡、焊接和抛光。镀层具有高度附着力，所以在多层保护中作为底层。在空气中镀层容易氧化和变黑。

镀黄铜：镀黄铜就是在零件表面上镀以铜锌合金的过程。

镀黄铜很少被用作装饰涂复，只有零件在良好条件下才使用，镀后须进行抛光及表面氧化。

镀黄铜大都被用作特殊目的涂复，如将镀黄铜用来在将钢制零件压入橡皮时，使易于附着于橡皮。

镀金的一般厚度为2—5微米。

镀铬：属于保护涂复和特殊涂复。对于黑色金属：镀铬是阴极保护，而对于铜及铜合金则是阳极保护。

镀铬层具有良好的附着力，很高的硬度，耐磨性和耐热性。

铬层能良好地抛光，甚至在高温时(400—500°C)亦不失去光泽。

由于镀铬电解液的扩散性能很差，所以形状复杂的零件上镀铬是困难的。

对于传导电流的零件，不采用镀铬，因为铬具有较大的比电阻。

为提高镀层的保护性能，对于钢制零件，一般使用多层涂复——铜、镍、铬。对于铜制零件，有时亦采用多层涂复——镍、铬。

用PbC—20型铅锡合金电镀：属于特殊涂复，对于钢制零件是阴极保护，对于铜及铜合金则是阳极保护。

镀层具有与基础金属良好的附着力、良好的弹性和在一般及海上条件下的化学稳定性。

该种电镀常用于既要进行焊接又须防蚀的零件中。

铝及其合金的电化学氧化：属于保护涂复和特殊涂复类。所得铝的氧化膜具有良好抗蚀能力，具有高的硬度和电绝缘性能。

由于薄膜与基础金属具有牢固的附着力，并能牢固的涂上油漆，故常用作油漆前的打底。

化学镀银和镀铜：在印刷电路的生产中(参见第十八章)，得到了广泛的应用。在涂复前先对绝缘基础零件进行表面准备(经受脱脂和喷砂加工)，然后将绝缘基础零件沉入涂复用金属盐溶液中，当金属从金属盐溶液中还原出来后即沉积到零件的表面上。

通常在用化学法涂复金属薄膜后，还须进行电镀加厚。

氧化：在零件表面形成原始金属的氧化薄膜的过程，称为氧化。薄膜的厚度约为1微米。在氧化时零件的尺寸不改变。

钢制零件的氧化膜是黑色的。钢及铜零件的氧化，仅用在不具有焊缝的制品中作为装饰的目的。涂复的抗蚀性很弱。

钝化：是形成氧化薄膜的过程。零件钝化后在外表上得到虹的颜色，它属于保护性

涂复。

磷酸盐化：即是在钢的零件表面形成磷酸盐薄膜的化学过程。薄膜的表面粗糙，具有高的吸附作用，故可作为油漆前的打底层。

磷酸盐化实际上不改变零件的尺寸。磷酸盐薄膜不导电，不能焊接，不能经受冲击及不允许在摩擦的状态下工作，所以磷酸盐处理是不用来作最终涂复的。

硝化：是用氮来使钢饱和的扩散过程，它在较高温度（600—700°C）的气态媒介中进行。

硝化是钢在工业大气、河水中抗蚀性很好的保护物，但不适用于海上条件下工作的零件。它能很好的抵抗弱碱溶液的作用，并具有较高的磨损强度。

从上所述，可以看出，一个设计者欲能正确地选择复盖的种类和加工处理的方法，必须知道：

1. 制造零件的材料（见表 2—7）；
2. 金属复盖的保护特性及复盖所要达到的要求；
3. 使用条件（见表 2—1 和表 2—7）；
4. 各种金属的耐锈性（见表 2—4）；
5. 允许和不允许的电化偶（见表 2—5 和 2—6）；
6. 一切电镀层都不是均匀的。

零件的内部涂层一般均比外部涂层薄，而未穿通的孔及深孔处，很难或不能涂复。这些地方建议喷油漆或涂复磁漆。

7. 有缝隙的组件（如由螺丝连接、搭接及铆接等方法装合成的组件）一般不宜采用电镀涂复，因为电解液流入缝内就很难全部清除，当存放或使用时就要吸收潮气，使产生腐蝕現象。

对于气焊或电焊連結的组件，建议采用磷化酸油漆。在具有电气接触或制品表面在工作中需要受到摩擦的情况下，采用在电镀后，接缝处用油漆或磁漆涂复的方式。

8. 用型砂或硬模法铸造的黑色和有色金属零件不允许作防腐蚀或保护——装饰用的金属电镀。

9. 带有螺纹和三级精度的零件，送去表面处理时，不应有很厚的氧化层。因为在去除了很厚的氧化层以后，将使螺纹或零件的精度遭到破坏。

10. 送表面处理的零件应预先考虑到公差配合問題，因为电镀前的处理会使零件外部尺寸减小，而电镀会使零件外部尺寸加大。由于镀层厚度很难精密控制，所以对于要求公差配合特别严格的零件，一般应该用无须电镀涂复的金属来制造。

III. 复盖的工艺

1. 复盖前的表面准备：

表面准备的好坏，直接影响着零件复盖的质量，如果准备工序进行得不好，就可能涂复不上或涂复层与基体金属间附着不牢固。

各种准备工序的特征和应用范围如表 2—8 所列。

2. 电镀及化学涂复工序：

各种电镀和化学涂复的工艺，都已为国家标准化了。此处我们仅列出最常用到的

表 2—8

准备工序的特征、应用范围和标记

材料名称	工序名称	工 序 特 性	工 序 标 记	应 用 范 围
	化学去油	除去零件表面油污的工序称为去油。油脂分两类。 （1）动物及植物油脂，可用碱溶液去除。 （2）用有机溶剂可以溶解的矿物油。因此去油这道工序总是要在有机溶液和碱溶液中进行。	0.1	用作零件表面去油： （1）在金属涂复前或在涂漆前施行。 （2）作为退火，回火，焊接，油淬火等工序之前的中间工序的加工。
钢 铜 及 其 合 金	电去 化 学 油	电化学去油就是借助电流在碱溶液中去油。 这种方法比用化学方法在碱溶液中去油的效果较好。	0.2	用途同上。
	化 学 腐 蝕	除去金属零件表面氧化物和露出底层金属的方法称为腐蚀。 去除氧化物可用化学方法或电化学方法。在很多情况下，电化学方法比化学方法效果更大。腐蚀后零件表面重新氧化的倾向很大，特别是非合金钢制零件更是如此，所以涂复前对零件进行腐蚀必须将零件放入镀槽内之前进行。在其他情况下必须用防锈溶液（钝化）进行最后加工或将零件表面涂油。 进行腐蚀时零件厚度可能减薄，对于氧化层紧密的零件更是如此。金属被腐蚀常常从零件尖锐的边角开始。	0.3	采用本工序是为了除去很大的氧化层，该氧化层是在进行金属和化学涂复前，零件在空气中自然氧化而形成的，采用本工序亦为了松散大部分热处理及所形成的氧化层。 在某些情况下，化学腐蚀用作在切螺纹、熔铸或钎焊前的中间加工用。 采用化学腐蚀是为了在涂复前除去合金钢与有色金属零件表面上的氧化物，同时也作为零件不进行涂复时的最后工序。 装配结构不应采用腐蚀。 有机械加工面，螺纹或焊接的零件和部件不应有很大的氧化层。
铝 及 其 合 金	阳 极 腐 蝕	挂在阳极上的零件腐蚀过程称为阳极腐蚀。 采用阳极腐蚀的方法与采用化学腐蚀的方法相同，可以达到腐蚀表面的作用。经过阳极腐蚀后，表面便成粗糙，这样就可能更好的与镀层联结起来。 电化学腐蚀比化学腐蚀效果大，腐蚀大零件时尤其显著。	0.5	采用本工序是为了除去大部分的氧化层，该氧化层是零件在空气中自然氧化而成的，本工序尤适于在无阳极的，简单的和中等复杂的零件上施行。 对装配结构与部件不采用腐蚀。
	化学浸酸	从金属表面除去氧化物薄膜的过程称为浸酸，与腐蚀相比，则浸酸是个时间较短的工序。	0.7	采用本工艺是为了另件放入镀槽前，从它的表面去除氧化薄膜。 （1）在化学腐蚀后进行。 （2）代替腐蚀（另件表面有氧化薄膜时）。 铝及其合金不采用。
	电 化 学 浸 酸	电化学浸酸是借助于电流进行酸洗的过程。 电化学方法与化学方法相比，电化学浸酸的效果更好，后者能保证镀层与另件表面更好的附着。	0.6	

表 2—8 (續)

材料 名称	工 序 名 称	工 序 特 性	工 序 标 記	应 用 范 围
銅 及 其 合 金	机 械 磨 光	<p>磨光是一种机械工序，用該工序可以从另件表面消除大的粗糙情形，以及消除綫紋創傷及不平的現象。經磨光后表面平整光滑。</p> <p>在进行磨光时，材料的厚度和另件的尺寸可能减少，尖锐的边和角可能磨平，孔可能扩大的这些情况都是根据另件表面(加工精度)和结构的情况而定。</p>	0.10	<p>采用本工序是为了除去另件表面較大的粗糙，綫紋，創伤以及不平的現象，主要是对有光澤保护裝飾涂复(鍍銀，鉻)前进行。</p> <p>在某些个别情况下，根据工艺师和設計師的意見可将它作为单独的工序。例如：磨光联合的表面，磨滑动的表面等。在某些情況下，另件尚为毛坯即加以磨光(例如另件尚为片状时)。</p> <p>单独工序的質量，其磨光另件表面光潔度，应符合圖紙的規定。</p> <p>送进車間的涂复另件，其表面光潔度应不低于6級。</p>
鋁 及 其 合 金	机 械 抛 光	<p>抛光是一种机械工序，經抛光后表面有光澤。抛光对材料厚度的損耗很小，1~3微米。</p> <p>用特种砂輪机进行磨光和抛光。</p> <p>机械磨光和抛光是所有各种表面处理中最費錢的方法。所以采用时必須在技术上应做到合理正确。</p>	0.11	<p>用于最后平整表面及在光澤涂复时底層金属表面的准备，以及涂复精加工。在表面情况良好时，抛光可做为一单独的工序采用。</p> <p>机械抛光应用在銅及有色金属另件，当对表面精加工有特殊要求时，作为最后的工序。</p> <p>进行抛光另件的表面，其光潔度的級別，按国家标准应附合圖紙的規定。</p> <p>另件抛光的表面光潔度，应不低于10級。</p>
銅 及 其 合 金	电 化 学 抛 光	<p>从另件上去掉細致的粗糙表面，并借助电流在特种溶液中使另件表面具有光澤而采用的电化学的过程称为电化学抛光。</p> <p>目前抛光技术仅可除去金属表面層的細紋，它并不能代替磨光。</p> <p>在电化学抛光时，同时可抛大量和各种形状的另件，但用机械抛光时，一次只能抛一个另件或小批另件，而且抛复杂形状的另件时就很困难。</p>	0.12	<p>用于除去另件表面上的細紋，并使其具有光澤，以及代替机械抛光。</p>

表 2—8 (續)

材料 名称	工 序 名 称	工 序 特 性	工 序 标 記	应 用 范 围
鐵、銅 及 其 合 金	噴 砂 加 工	<p>用壓縮空氣使零件表面受到干砂流打击而除去氧化物的工序称为噴砂加工。</p> <p>經過噴砂使零件表面去掉不平小凹痕及輕微的裂傷，使表面粗糙均勻且無光澤。</p> <p>噴砂加工保證金屬零件和涂层之間有良好的附着性。</p> <p>該項加工的缺点是：由各種軟質黃銅，鋁及類似金屬制的零件與部件的外形有打坏的可能。</p>	0.13	<p>在進行保護和特種無光澤涂復前，例如鍍鋅，鍍鋅，磷酸鹽化以及油漆涂復前，做為準備零件時普遍采用的方法。</p> <p>對於有鉛焊及熔錫鍍的零件加工，以及對熱軋或熱沖制的，經過熱處理的零件，使用噴砂加工特別適合。</p>
鐵、銅 及 其 合 金	刷 光	<p>用旋轉金屬刷進行表面加工稱為刷光。刷光可除去油污，但不能除去機械缺陷：如划痕、凹陷。</p> <p>用軟金屬（鋅、鎔、銀）的電鍍，在刷光後具有少許光澤。</p>	0.14	<p>用金屬刷刷光是为了去掉腐蝕後的腐蝕渣，和松散的氧化物，以便使涂层光滑和具有少許光澤（鋅、鎔、銀）。</p>
鐵、銅 及 其 合 金	滾 光	<p>滾光就是零件在鼓形滾筒里的加工。</p> <p>依靠零件間彼此的磨擦和與研磨料之間的磨擦來進行清潔表面和除去表面的不平整。</p>	0.15	<p>細小零件涂復前大都用該法處理，或作不需涂復零件的獨立最後工序，以及清洗零件的表面。</p> <p>有陽螺紋和有銳邊的零件，以及用軟合金做的薄壁零件不應滾光，以免改變其尺寸。</p>
鐵、銅 及 其 合 金				

表2-9

艺工的鍍鋅件質另鋼

表2-9 (續)

工步編號	工序和工步 名 称	设备名称	电 解 液 成 分			工 作 条 件			特 殊 条 件		
			成 分 名 称	成 分 化 学 式	成 分 含 量 公 升 / 克	混 合 物 容 积	溫 度 °C	電 流 密 度 安 / 公 寸²	電 壓 (伏)	時 間	視 鍍 鑄 厚 度 而 定
II 1	在氧化电解液中进行氯化鍍鉻时需要抽风。	硫酸鉻 鋅明矾或 硫酸鋁	ZrSO ₄ ·0.7H ₂ O KAl(SO ₄) ₂ · 12H ₂ O Al ₂ (SO ₄) ₃ · 18H ₂ O	200—250	30—4	15—25	3—5	3—4	視 鍍 鑄 厚 度 而 定	在 鍍 形 槽 中 鍍 鑄 時 電 流 密 度 为 0.5—0.7 安 / 平 方 公 尺， 因 此 箔 器 器 头 上 的 電 壓 不 小 于 12 伏。	在這形槽中加光亮剂，建議將金屬鉻錳放在網袋、網轉布中，不為的金屬錳錳及鋅錳錳在鍋內，並換生錳錳及鋅錳錳在鍋內，以便在其中放小塊的剩餘陽極。
II 2	在回收槽中洗滌	磷酸鈉 II 2.6—2.7 磷酸二氫鈉	ZnSO ₄ ·10 H ₂ O C ₆ H ₅ (SO ₃ Na) ₂	50—100 1—2	—	15—25	—	—	—	10—15秒	3.12 在氧化槽中得到無光澤後5分鐘，在電流密度為6—20安/平 方 公 尺，溫度為40—45°C，時間為10:1。
III 3	用噴水清洗	帶零件振动裝置及淋水龙头的固定槽	—	—	—	自來水	—	—	—	10—15秒	3.12 在氧化槽中得到無光澤後5分鐘，在電流密度為6—20安/平 方 公 尺，溫度為40—45°C，時間為10:1。

表 2-9 (續)

工序編號	工步名稱	設備名稱	電解液成 分			工作條件			特殊條件
			成分 名稱	成分 公 式	成分含量 克/公升	混合物積 容	溫度 溫。C	電流密度 安/公寸	
III 1	鐵屑浸洗	固定槽	硝酸	HNO ₃	20-30	—	15-25 自来水溫	—	2-3秒
II 2	用噴水清洗	帶零件振動裝置及淋水龍頭的固定槽	—	—	—	—	—	—	10-15秒
III 3	用噴水清洗	—	—	—	—	—	70-95	—	10-15秒
III 4	干燥	有熱空氣循環的干燥箱或離心機	—	—	—	—	—	—	—
III 5	從夾具上卸下	工作台	—	—	—	—	—	—	—
IV 1	檢驗	工作台	—	—	—	—	—	—	技術要求 NE9.014.001

鋼質制品上鍍鋅和銅質制品上鍍銀的工藝過程，作為典型的例子。

銅質零件的鍍鋅工藝：如表 2—9 所述：

銅質零件的鍍銀工藝：首先根據零件表面情況和對鍍層的要求選擇表 2—8 中所述的有關準備工序把零件的表面準備好，然後送去電鍍。為了去除零件在存放或運送過程中，其表面可能形成的很薄的氧化膜，在電鍍前應把零件放入濃度為 50 克/公升的鹽酸中腐蝕，隨後用噴水沖洗乾淨。

為了使銀能牢固的鍍在鍍件上，應將鍍件先在 AgCN 與 KCN 的水溶液中汞齊化，使鍍件表面產生一薄層水銀膜，這層水銀膜能使電鍍的銀層牢固的附着在鍍件上。

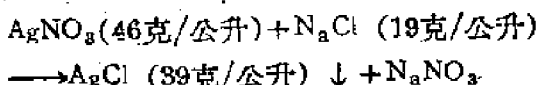
汞齊化後，應用噴水將鍍件洗淨，然後才可放入電鍍槽液中進行電鍍。

一般最常採用的氯化鍍液，其配方和工作規範如表 2—10 所列：

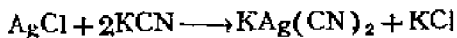
表 2—10 鍍銀用氯化鍍液的配方和工作規範

成份名稱	化學分子式	含量 (克/公升)	電壓 (伏)	電流密度 (安/公寸 ²)	溫度 °C
氯化銀	AgCl	39			
氯化鉀	KCN	70	2—2.5	0.1—0.5	18—25
碳酸鉀	K_2CO_3	38			

其中氯化銀與氯化鉀是電鍍液的主要成份，碳酸鉀是提高電鍍液導電率的，它們在配制氯化鍍液過程中變化情況如下：

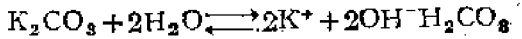


AgCl 是白乳黃色的沉淀，待完全沉淀後，用虹吸管將溶液吸出，再將剩在器皿底的 AgCl 沉淀，用水清洗 2—3 次，最後移置於配制好的 KCN 溶液中，此時化變結果產生了絡鹽銀氯化鉀。其反應如下：



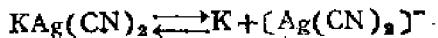
按反應式，每 39/公升的 AgCl ，只須加 35 克/公升的 KCN 即能反應完全了。但鍍銀液需要很豐富的 K^+ 及 CN^- 禹子，所以實際上，往往在鍍銀液中加入的 KCN 數量為反應所需量的兩倍。

在電鍍液中的 K_2CO_3 與水化合後，就產生了 KOH ，結果就使電鍍液的導電率提高了，它的反應是：

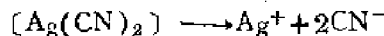


由於 K^+ 和 OH^- 禹子的作用，使鍍液的導電率提高了，從而就加快了電鍍的速度。

在電鍍過程尚未開始進行時，鍍槽內的絡鹽是經常處於游離狀態的，該情況可用下式表示：



电镀开始后，银氰的负离子即向镀槽正极游离，并自行分离，如下式所示：



这时，银正离子即向负极（镀件）游离，在镀件上放电，并沉积在镀件上，如下式所示：



这样，镀件上就镀上了一层银。

镀液中的KCN之值，随着电镀过程的进行将逐渐减少。所以，电镀液应经常校正，即应经常添加KCN以作补充，这样才能保证镀液始终处于良好的工作状态。

IV. 涂复质量的检验：

对于电镀和化学涂复采用以下的检验方法：

1. 涂复外形的检验：一般都是用肉眼来断定的。

2. 涂复层与基础金属间的附着强度一般可以用下列方法来进行：

1) 在零件表面上刻上交叉伤痕(深到基础金属)的方法：如果在伤痕交叉的地方，复盖层不掉皮和不起壳则附着被认为是良好的。

2) 反复曲折片状材料成90°的角度，直到折断为止。如果涂复层与主体金属的连接长度为折断处长度的90%，则附着力被认为是良好的。

3) 用金属线试验的方法：它是把金属线环绕在和金属线直径相等的圆轴上，一般可环绕10—15匝，如果不发生涂复的裂痕，附着被认为是良好的。

3. 确定涂敷厚度的方法：

1) 定期液流法：涂复层在特定溶液的作用下被溶解，由于溶液的细流按照规定的速度和力量流到被试验零件的表面上。所以涂复层的厚度即可根据在试验处涂复层被溶解掉所花费时间的长短来算出，该法的精确度为±10%。

2) 容量液流法(按照耗用溶液的容积)。涂复的地段在溶液的作用下被溶解。溶液按照规定的速度和力量流出，并以细流形式流到被试验零件的涂复表面上。厚度的计算是根据在试验地段涂复层被溶解尽所耗用的溶液容积来进行的。该法的精确度为±15%。

3) 点滴法：是在涂复地段上，经过一定时间间隔，連續加上溶液点滴，同时使每一点滴在涂复层上保持一定的时间，于是涂复地段被溶液点滴所溶解。涂复厚度的计算是根据所耗用的点滴数来进行，该法精确度为±20%。

4) 退镀法：是在不会损伤主体金属的溶液中，除去要决定厚度的涂复层。根据所除去涂复层的重量和所除去的涂复层的面积来确定平均的厚度。

5) 在用磁性金属制成的零件上，非磁性涂复层的厚度可以利用 TII0—1型仪器(具有电磁发送器)的原理来测量。(即镀层厚度测试仪)

4. 涂复层多孔性的确定方法。

1) 印迹法：

在制品表面上紧贴上一张被溶液湿润的过滤用纸，这种溶液和主体金属离子化合时，可以在纸上显示颜色。根据在一平方厘米上出现点迹的数量来确定多孔性。

2) 浸染法：与印迹法的区别是用含有相应试剂的明胶溶液来代替过滤用纸。

§2-4 油漆

油漆复盖就是在零件表面上涂上一层或数层完整的油漆薄膜，这些薄膜在一定的温度下烘干或自然凉干。

这层漆膜可以保护零件不受腐蚀，也可给零件美丽的外表和必要的颜色标记。

一般说来，油漆复盖层在化学稳定性上，是比金属复盖层高的，因此具有更好的抗腐蚀性，从工艺观点出发考虑，对于表面面积很大的机件，油漆要比电镀或某些化学复盖方便得多。这些都是油漆复盖得到极广泛使用的原因。

油漆复盖的缺点是：它的机械强度比一般金属复盖层要小得多，并且油漆复盖层无法获得金属复盖层的某些特性（导电性，可焊接性等）。因此它的应用范围受到一定的限制，一般说来，油漆复盖常用于符合下列条件的器件中：

1. 不会受到很大的机械作用。
2. 没有摩擦或滑动的表面。
3. 不要求准确的公差及配合。
4. 机械装合时，不要求进行导电。
5. 不需要进行焊接。
6. 一般说来，不应受到高于200°C的加热（一些专用的耐热油漆，不受此限制）。

I. 油漆的种类：

从选用的观点出发，可大致把油漆按用途分成以下几类：

1. 浸渍用油漆：

常用的有环氧树脂绝缘清漆，沥青型绝缘清漆等。用于变压器、电机绕组的浸渍。

2. 保护、标志及绝缘用油漆：

包括涂复电阻器用的各种电阻漆及涂复电容器用的各种电容器磁漆等，常用浸渍或喷溅的方法进行涂复施工。

3. 保护、装饰用油漆：

包括各种类型的磁漆、硝基漆、清漆、玻璃漆、皱纹漆、锤纹漆及防锈漆等。常用刷涂、喷漆、沉浸或滚压法进行涂复施工。

4. 专用油漆：

如专为硅钢片绝缘层用的硅钢片清漆，专为生产漆包线用的漆包线漆及专为胶木化的用的胶木漆等。

上面提到的各种油漆施工工艺和电镀及化学涂复一样，也已经标准化了，所以，在这里只做简要的介绍。

II. 油漆涂复工艺：

油漆涂复的工艺过程包含以下几项操作：

对油漆表面的准备、打底、磨光、油漆和干燥等。

1. 对油漆表面的准备，包括：

- 1) 用金属刷或喷砂加工来清洁表面。亦可用磨光砂纸清洁。
- 2) 腐蚀，随后应中和和清洗。

3) 去油。

2. 打底: 零件的表面准备好以后就进行打底, 它是保证涂复层与基础材料间有良好的附着力的工序。打底以后就进行干燥, 然后用油灰填平零件表面的缝隙。用油灰平底是为了填塞不平的粗糙的伤痕。平底以后把制品干燥和磨光。

3. 磨光: 表面是用下面的研磨料来磨光: 天然的浮石、刚玉、金刚砂(后面两种主要是做成磨光砂纸的形式)。磨光可以有干的和湿的(带水的)。

磨光结束后, 表面被清洗和烘干。

在高质量的涂复操作时, 打底和磨光要反复进行 2—3 次。

4. 油漆: 在磨光好的表面上涂复油漆。

5. 干燥: 干燥最常用热空气或红外线来进行。

在大多数的情况下, 最终的涂复油漆层要涂复和干燥好几次。(亦即重复步骤 4 及 5, 好几次)。

油漆是在专门的油漆室中(装置有良好的通风设备)进行。涂复的方法列于表 2—11 中。

表 2—11 油漆涂复的方法

方 法	应 用 范 围	优 点 和 缺 点
用小刷油漆	各式各样的制品	简单并可以油漆任何尺寸的制品。 劳动量大和不高的生产率
用沉浸法油漆	尺寸不大的流线型制品	简单和高的生产率
空气的喷雾(喷涂)	各种形状和尺寸的制品	高的涂复质量, 高的生产效率, 但涂料的损耗和溶剂的损耗均较大, 且须设置装有鼓风设备的专用小室
用液压法油漆(用橡皮的驱动)	用平板材料做成的零件(特别适合用于在涂层表面需要做出美丽的花纹处)	用以对于形状不复杂的零件

最近日益广泛地采用在高压电场中的喷漆的方法。这种方法可以使油漆过程自动化, 减少油漆的耗费大约为 30—50%, 并且可以获得较均匀的涂层。

这个方法的实质是: 在电极系统中, 其中一极是需要油漆的制品, 而另一极是起晕的电极, 一般都是在起晕电极的电极网上加上负电压, 而把正电压加于制品。

油漆从喷雾器喷入电场中后, 油漆的微粒即得到负电荷。这时, 微粒就沿着电力线运动, 最后落附于正电位的制品表面上。

在这部设备工作时所要求的电流, 当电压为 100—130 千伏时, 不超过 5 毫安。所以, 电能的耗费是非常小。

最后, 我们把油漆工艺过程的程序列于表 2—12 中供参考。

表2-12

用油漆来涂复零件

操 作	設 备	在 $t=100-120^{\circ}\text{C}$ 时的干燥时间 (小时)	材 料
清潔	噴砂设备	—	
去油	工作台	—	白节油
打底	噴射小室	—	M-138号打底漆
干燥	烘箱	0.6	—
局部平底	工作台	—	平底 AM
干燥	烘箱	1.0	—
砂磨	工作台	—	砂布
平底	工作台	—	AM 平底料
整个的第一次干燥	干燥箱	1.0	—
砂磨	工作台	—	砂布
平底	工作台	—	平底料
第二次干燥	烘箱	1.0	—
磨光	工作台	—	砂布
打底	噴射小室	—	M-138号打底漆
干燥	烘箱	0.6	—
第一次油漆	噴射小室	—	相应色彩的油質磁 漆
干燥	烘箱	1.5-2.5	
輕磨光	工作台	—	浮石粉砂布
第二次油漆	噴射小室	—	相应色彩的油質漆
干燥	烘箱	1.5-2.5	—



第三章

浸漬、灌注、蘸漬和密封

§3—1 引言

从第一章所述，我們已經知道，潮气对無綫電零件、部件和整机有着相当大的危害作用。为了防护潮气对于無綫電零件、部件和整机的影响，常采取下列工艺措施：

1. 浸漬；
2. 灌注；
3. 蘸漬；
4. 塑料压封；
5. 密封。

浸漬：将絕緣材料的裂縫、空隙、小孔、毛細管和結構間的空档，以及零件和部件結構單元間的空隙（如繞組匝間的間隙），用不吸湿的電絕緣材料填滿的工艺措施叫浸漬。

浸漬除能防潮外，还可以：

1. 提高纖維絕緣材料的抗電強度。因为纖維絕緣材料的擊穿电压主要决定于材料間的空气。用絕緣性高的浸漬材料代替空气就使制品的抗電強度提高了。
2. 提高零件、元件、器件的機械強度，因为用浸漬材料可把線匝、繞組、磁路片等固定起来，消除相互間的位移和變壓器的“嗡嗡”声。
3. 提高纖維絕緣材料的熱穩定性，延緩了因干燥过度所致的熱破壞時間。
4. 改善了傳熱性。纖維材料因細孔中充滿空气所以傳熱性很小，浸漬后由于浸漬材料傳熱性較高，就改善了冷却的条件，使能經受更大程度的加热。
5. 提高了化學穩定性，如所用的浸漬材料在酸、碱、氯、氨等蒸汽中是化學稳定的，就可使設備的壽命延長。

但浸漬也增加了繞組的固有分布电容，这对某些繞圈來說是不希望的。然而对制造固定电容器却是需要的，这时就应采用介电常数高的浸漬材料。

灌注：在零件、元件、器件与封闭或不封闭的外壳壁間的空間，用电絕緣材料或混合物填沒的工艺措施叫灌注。

灌注的防潮性能是由灌注材料或混合物的物理性能，灌注層的厚度，通过灌注層的引綫數量等因素决定的。最后一項因素是由于灌注材料与引綫間因綫膨脹系数的差异，形成了毛細管。为了延长潮气沿这毛細管而浸入的路程，可将引綫做成弯曲的形状見圖

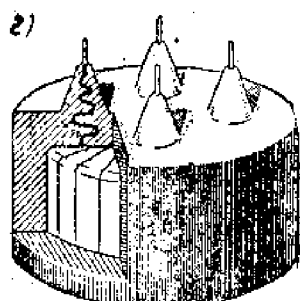


圖3—101 加長在防潮層中引出線的方法

和浸漬配合使用，灌注的防潮性可顯著提高。

蘸漬：在零件、元件或器件的表面上，復蓋一層不透水的或憎水性的電絕緣材料叫蘸漬。

作為蘸漬用的材料，應有一定的粘附力，它防潮的程度由材料的物理性能決定。薄的蘸漬層增高繞組的固有分布電容不大，因此蘸漬常用来提高高頻線圈的防潮性能。

為了提高耐濕性，浸漬、灌注、蘸漬可以單獨使用或任意配合着使用，這由無線電設備的用途和使用條件決定。

塑料壓封：為了提高零件和元件的防潮性能可將它壓在塑料中，用塑料壓封是蘸漬的特殊情況。

必須指出，上述幾種方法都不能完全消除潮氣的侵入，這是由於用來防潮的材料有着多孔的結構，氣孔的尺寸超過了水分子的有效直徑。在引線處是防潮層最薄弱的地方，因為相鄰材料間線膨脹系數的差異，就形成了毛細管，使潮氣很容易滲透到零件和部件的內部。但是上述各項工藝措施在相當大的程度上，使零件和部件的防潮性能得到了提高，所以，在無線電工業中，它們仍然得到了非常廣泛的應用。

密封：這是防護潮氣長時期影響的最有效辦法。密封時，將零件、元件或一些複雜的裝置安裝在不透氣的外殼—密封盒中。在這外殼上有電和機械的引出端，電引出端是用各種形式的瓷或玻璃的絕緣子，機械引出端是在密封盒外面控制密封盒裡面的調諧機構或傳動系統用的如圖(3—102所示)

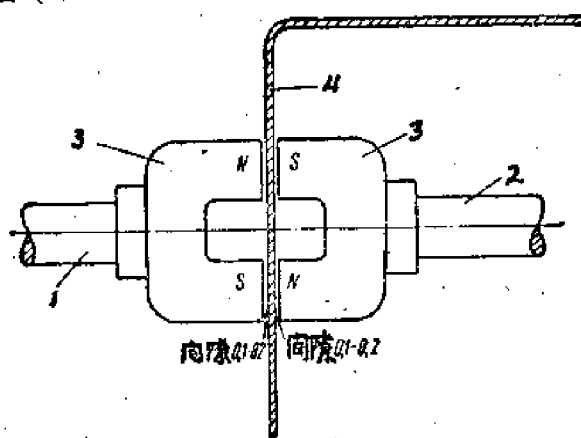


圖3—102 控制密封外殼內傳動系統的機構

1—外半軸；2—內半軸；3—永久磁鐵；4—用非磁性金屬作的密封外殼。

除密封外，無線電設備中還用了各種形式的密閉結構措施，它們可在短時期內防止外界氣候因素的影響。如壁和壁之間的隙縫，軸穿過壁時，軸和壁間的隙縫等，可用橡皮，浸過油的皮革或細毛氈等填塞起來（見圖3—103）

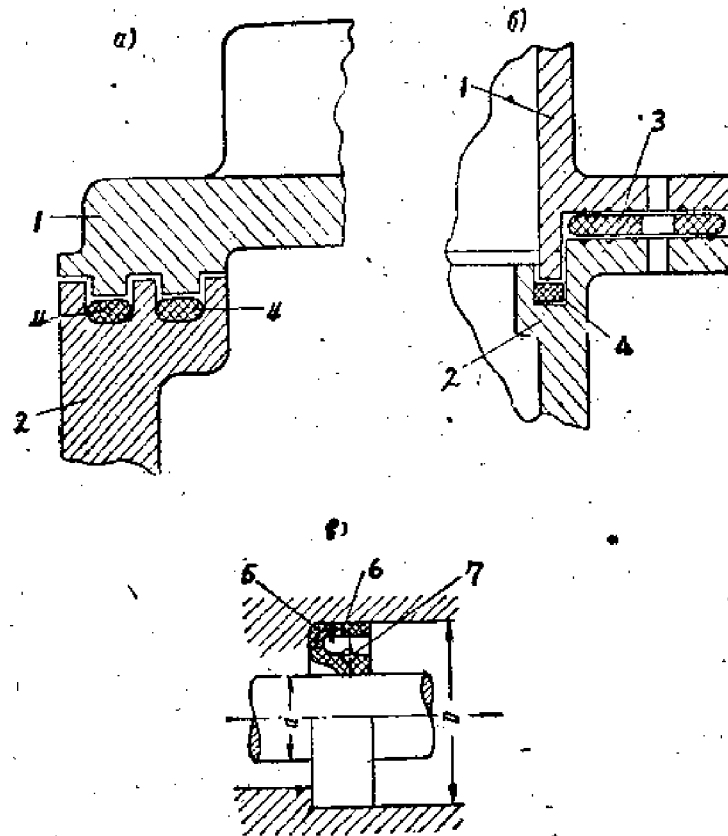


圖3—103用橡皮墊封的方法

- a ——用帶形橡皮墊封的結構
- b ——用平板形和帶形橡皮墊封進行双重密封的結構
- c ——軸和壁之間的密封結構
- 1 ——壳盖
- 2 ——壳身
- 3 ——橡皮垫片
- 4 ——橡皮带
- 5 ——橡皮轴套
- 6 ——锥形环圈
- 7 ——螺旋形彈簧

密封和密閉的質量，由工作溫度的範圍、氣壓降低的程度決定。如氣壓的變化只是由於地理條件的差異，在 760 ± 30 公厘水銀柱間，此時對密封盒和密閉的機械強度不提出特別的要求，如外界氣壓降低很多使密封盒受到大的機械負荷，這時就要求密封的結構有大的機械強度。

§3—2 浸漬、灌注和薰漬用的材料

用作浸漬的材料應有比較小的分子尺寸和粘性。為了減小材料的粘性常加入溶劑

(如石油类碳氢化合物，芳香类碳氢化合物，酒精、松节油、醚等），稀释剂（如汽油、苯、酒精等挥发性较高的物质）或将浸渍材料加热。用高分子物质作蘸渍材料，即使粘性很少也不易浸入制品的细孔和毛细管中。

按照制品的使用条件和用途，可用不同的浸渍、灌注、蘸渍材料。如：

变压器油：用来浸渍和灌注在密封外壳中的高压变压器，由于要通过油的循环来散热，所以油的粘性应小。

蓖麻油：用来浸渍纸电容器和灌注有橡皮零件的器材。

电容器油和凡士林油：绝缘性能高，可浸渍和灌注高压电容器。

漆清一油清漆：可用以浸渍各种工作于低频，不长期经受高湿度作用的线圈。这类漆中耐湿性最高的447号漆用得最广。

1154号漆青油清漆：耐热性高，也不受油的溶解，用作高压变压器的浸渍剂，可显著提高绕组的绝缘电阻，结合用变压器油的灌注可保证具有特别高的防潮性。

以合成的热固性树脂为主的许多混合物（如酚醛树脂、乙烯甲醛树脂、苯乙烯醇酸树脂、环氧树脂、丙烯酸树脂等），浸渍和灌注工作于低频的制品。将浸渍与灌注或蘸浸结合使用可提高浸渍制品的防潮性。

BJ-7 漆和聚苯乙烯漆：用来浸渍和蘸渍高频电感线圈。

CB-1 漆：用于印制电路的防潮、浸渍线圈及机械加工后的纸胶板和布胶板。

各种蜡状材料及其混合物（如纯地蜡、石蜡、纯地蜡—松香混合物，纯地蜡—松香—石英砂混合物等），可作浸渍，灌注和蘸渍的材料。浸渍和同时灌注主要是和密封的或不密封的外壳结合使用的，蘸渍是用以提高工作温度不大的高频线圈的防潮性。

§3—3 浸渍、灌注和蘸渍的工艺

I. 干燥：

在浸渍、灌注和蘸渍处理前，须要预先进行干燥，以除去绝缘材料细孔、毛细管和零件及部件的结构空隙中的潮气，否则，在浸渍时将会把潮气封闭在制品的内部，从而使制品的质量变坏。

用树脂和涂料进行浸渍、灌注和蘸渍以后，亦需进行干燥，以除去材料中的稀释剂和溶剂。

干燥的物理本质是除去制造产品所用材料中的潮气。

除去潮气的速度，可用下式表示：

$$\frac{dM}{dt} = b \Delta CS \quad (3-301)$$

其中： $\Delta C = P_s - P_0$ ；

$\frac{dM}{dt}$ —— 从制品表面上除去潮气的速度。

b —— 除潮系数，它与去除潮气的气体力学条件，以及液体的物理性质有关。

S —— 制品的表面积。

P_s ——在材料表面上水蒸气的压力。

P_0 ——周围环境中的水蒸气压力。

由此可见，当周围环境中的水蒸气压力愈小时，从物体表面除去水份的速度则愈大。所以，最好能在真空中进行干燥。很显然，如果真空气度愈高，则干燥的速度亦愈大。上述分析对于去除稀释剂和溶剂的情况，也是正确的。

真空干燥还有一个很大的优点，就是它使水液气化的温度降低了。例如，当真空气度为10毫米水银柱时，水液的气化温度则降到 $+15^{\circ}\text{C}$ 。

但是，干燥不能仅认为只是表面蒸发现象。干燥的速度还决定于潮气从制品内部向外面移动的速度，在被干燥的制品中，潮气总是由湿度较高的区域移向湿度较低的区域，潮气移动的速度，正比于湿度的梯度，如果再加上与湿度梯度同向的温度梯度，则潮气移动的速度将会显著的增大。

所以真空干燥时总是要加热的，但用一般的加热方法在制品中建立的温度梯度是和湿度梯度的方向相反的（即在制品的表面上温度较高）。为了在制品内部建立较高的温度，使温度梯度和湿度梯度的方向一致，在某些情况下，可在变压器线圈内部放一个通电流加热的绕组，或者在线圈骨架的内孔，放一个电加热器，这样可缩短干燥时间二分之一。如热量只能从外面传近去，则可利用热扩散效应，即先将制品整个加热，然后再冷却其表面，使潮气的移动加速，这方法对浸渍大型零件和元件的加速干燥特别有效。

干燥可在下述设备中进行：

1. 空气自然对流的干燥箱：用电、蒸汽或气体加热，温度可达 200°C ，主要缺点是箱内温度不均匀，空气运动速度小，溶剂和稀释剂的蒸汽和敞开的电加热器接触时，有爆炸的危险。

2. 自动调整温度的恒温箱：温度也可到达 200°C ，箱内各点温度均匀，但只能干燥小型制品，此外由于是空气自然循环，增加了干燥所需的时间，所以不适用于生产条件。

3. 强制空气循环的干燥箱：用加热空气的强制循环，不仅能缩短干燥过程，使干燥箱内温度均匀，对含成膜成分的氧化聚合特别有利，这种干燥箱的温度可达 $180\text{--}200^{\circ}\text{C}$ ，可自动调整到 $\pm 5^{\circ}\text{C}$ 的准确度。图3—301所示是这种干燥箱的结构形式。

4. 用红外线的干燥装置：用于干燥经过浸渍和灌注后敷在制品表面上的薄漆膜，当用这种方法来去除被浸渍制品内部的稀释剂和溶剂时，常常给出相反的结果，因为，当用这种方法干燥时，将会在制品表面上先形成一层妨碍内部挥发性物质顺利挥发的薄膜，红外线干燥装置的示意图如图3—302所示。

干燥后的制品应立刻进行浸渍、灌注或蘸渍，以防潮气再浸入制品内部。为此，现在常使干燥和浸渍，灌注或蘸渍的操作，在同一个装置中完成，这种装置就是最常采用的真空—浸渍装置。制品在此设备中先真空干燥，然后就在真空的条件下浸渍、蘸渍或连同灌注的浸渍，所以它能够避免干燥过的制品在大气中再受潮湿的作用。

5. 真空—干燥箱：在制品受到浸渍以后，可用它来去除浸渍材料中的稀释剂和溶剂。箱中的真空气度可达到0.1毫米水银柱，如果再配合着加热，则可使被浸渍制品干燥的过程大大缩短。真空—干燥箱的示意图如图3—303所示。

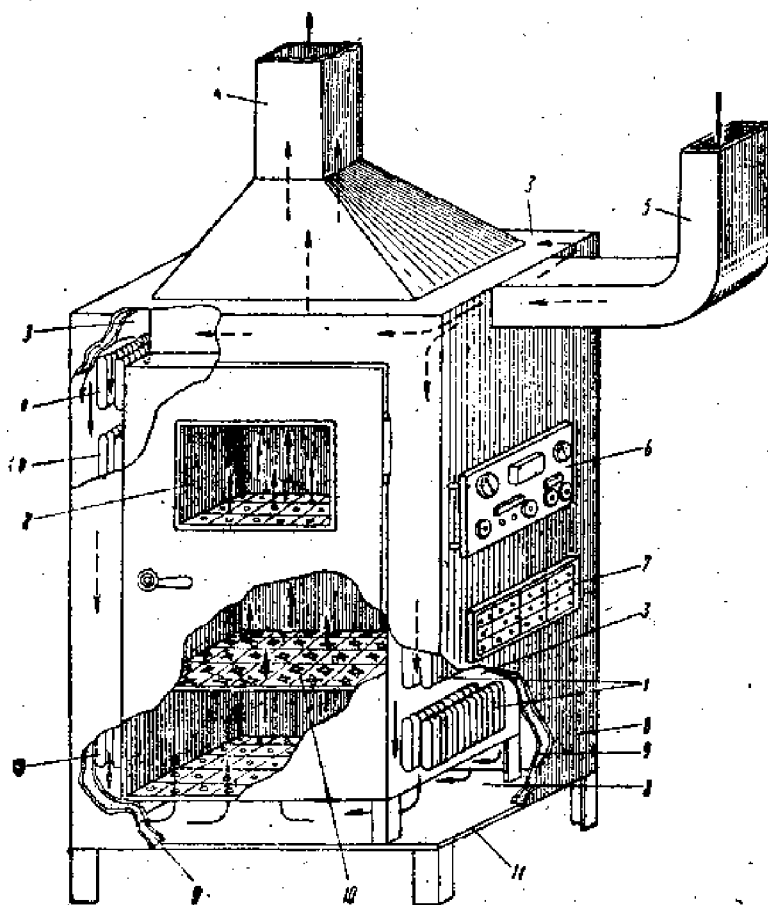


图3—301强制空气循环的干燥箱

- | | |
|---------------------|---------------------|
| 1——加热空气用的电加热器 | 7——接线板(为了供电给在箱内的设备) |
| 2——窥窗 | 8——干燥箱的外壳 |
| 3——装有加热器空气通道 | 9——绝热材料 |
| 4——进风管 | 10——金属板做的格栅架 |
| 5——进风管 | 11——箱底 |
| 6——自动控制干燥状态的
控制盘 | |

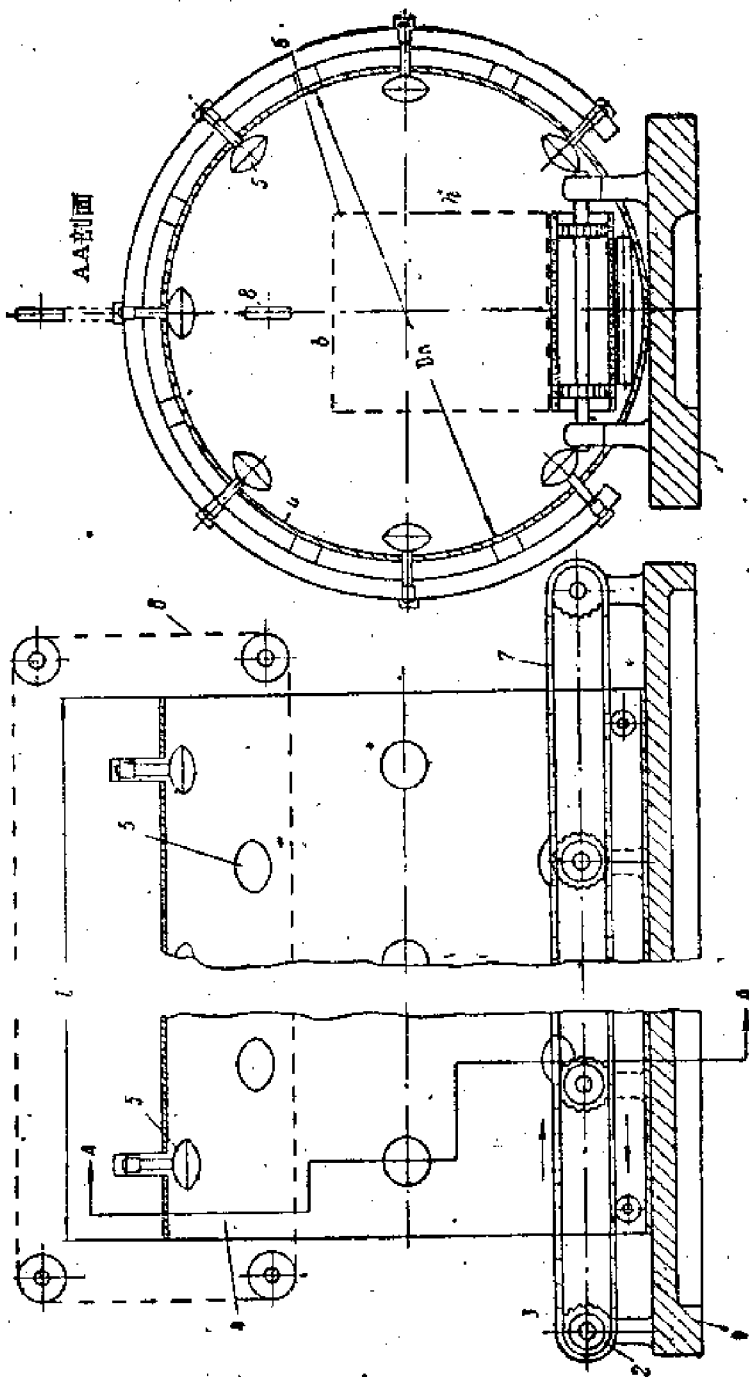


图3—302 具有传送带的红外烘干设备

- 1——基座
- 2——传送带
- 3——放置产品的位置
- 4——反射表面
- 5——红外探灯泡
- 6——放置在传送带上的大尺寸产品
- 7——卸出烘干后产品的位置
- 8——挂起另件的传送带

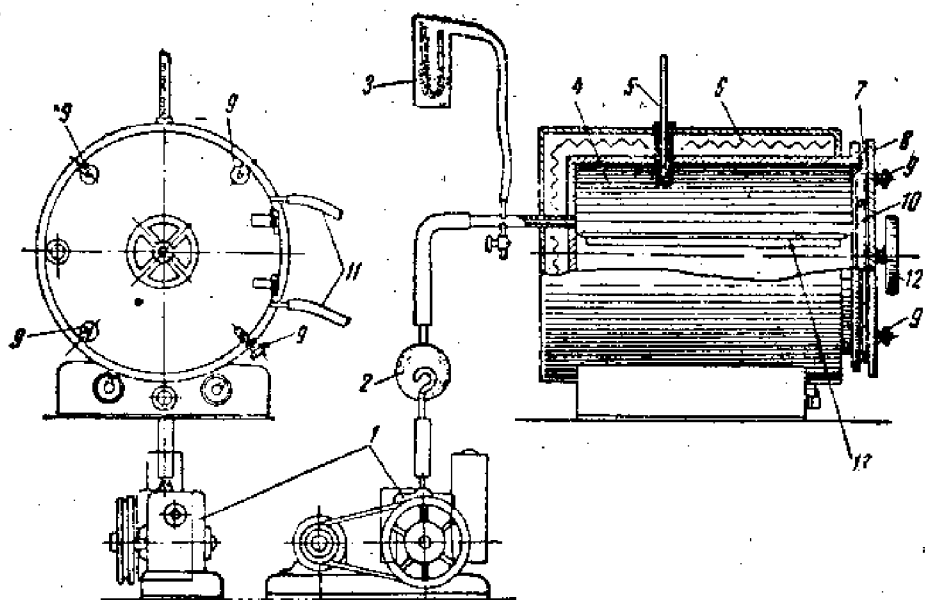


圖3—303 真空——干燥箱

- | | |
|------------------------|----------------|
| 1 —— 真空泵 | 8 —— 盖子 |
| 2 —— 水蒸汽和揮發物質的凝
聚裝置 | 9 —— 壓緊蓋子的螺母 |
| 3 —— 水銀壓力計 | 10 —— 水套 |
| 4 —— 密封的干燥室 | 11 —— 進水和出水的管子 |
| 5 —— 溫度計 | 12 —— 打開密封室的手柄 |
| 6 —— 電熱器 | 13 —— 可拆式的架子 |
| 7 —— 密封衬墊 | |

II. 浸漬

浸漬的方式有三种：

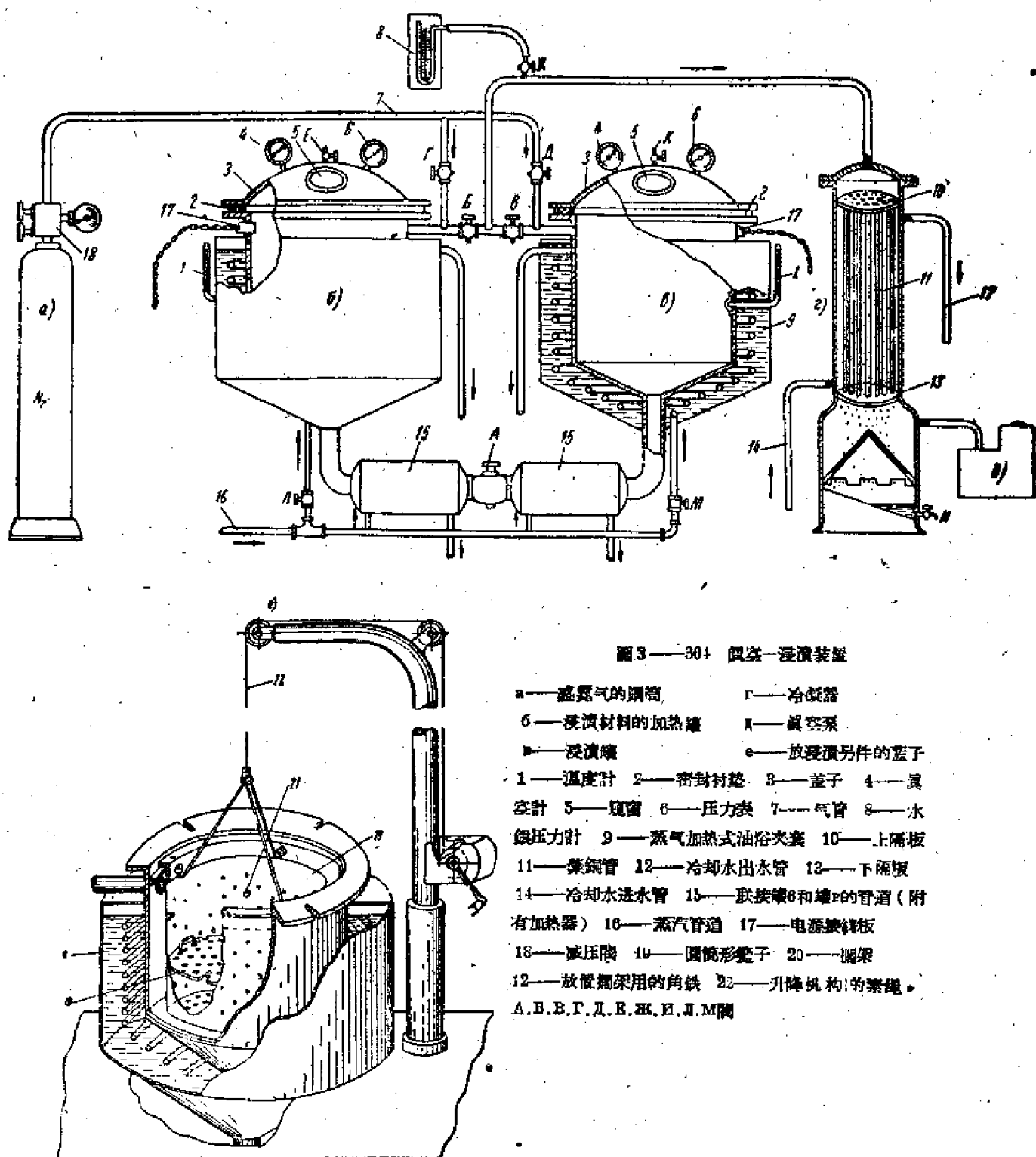
1. 敞開式浸漬（在大氣壓力下浸漬）：适用于溶劑揮發性比較大的浸漬料，如含苯占總重量90%的聚苯乙烯漆。浸漬過程是：先把制品放入溫度為 $20 \pm 5^{\circ}\text{C}$ 的漆液中浸漬，然後進行干燥，干燥的溫度不應超過 40°C ，時間為15—20小時，這樣可免除制品表面聚合膜發生裂紋。

這種浸漬只是利用了液體靜壓力，故不能將制品浸透，制品內部仍然保存着潮氣，所以這種浸漬的應用是有限的。

2. 真空浸漬：與真空干燥在一個真空浸漬設備中進行，浸漬的質量和真空干燥時的真空程度有關，在生產條件下，剩餘壓力約1—2毫米水銀柱，這時在制品內部的氣孔、隙縫中建立了低的壓力，除去了很大部分潮氣，有助於浸漬料的浸入。但由於浸漬料中揮發物質的氣化降低了真空度，使壓力超過20—40毫米水銀柱，同時提高了浸漬料的粘度。

真空浸漬開始後，真空泵的工作時間不必超過10分鐘，因為這對去除在浸漬料中的氣泡已足夠了。

真空浸漬装置的示意圖如圖 3—304 所示：



3. 循环浸渍：在浸渍粘度較大的材料或具有填充料的混合物时，除了抽空外，还必须充以3—5个大气压的压力，充气所用气体應該是惰性气体（如氮气），而不能用压缩空气，因为，它会引起浸渍用材料和混合物的剧烈氧化。

在真空和加压轮流作用下进行浸渍的方法，称之为循环浸渍。加压的目的是为了把粘度較大的浸渍材料压挤到制品的内部去，这对抗湿性要求較高的制品特別重要。不断抽空的目的是为了去除浸渍材料中的气泡和充入罐内的氮气，以改善制品的質量。

循环浸渍的全部工艺过程与时间的关系，如圖3—305所示。

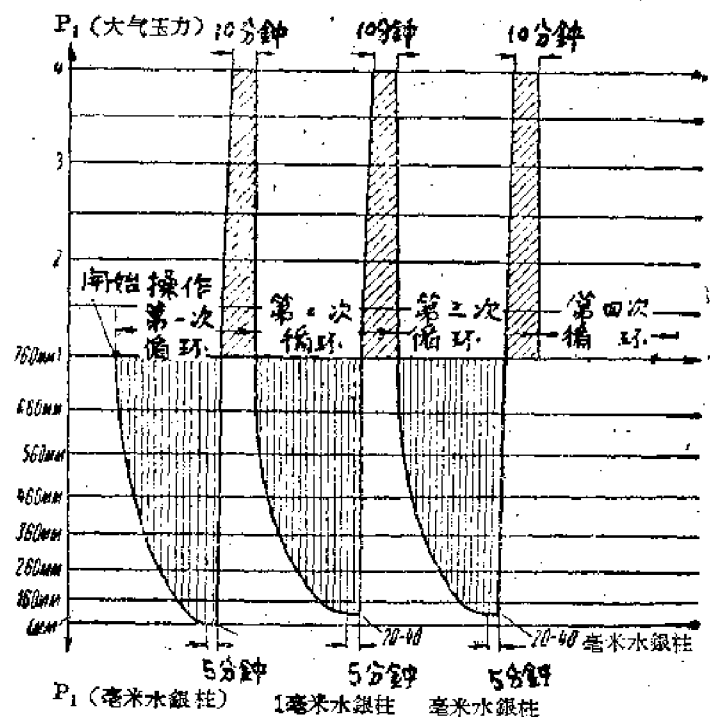


图3—305循环浸渍过程的說明圖

循环浸渍是由2次至6次或者更多次的循环次数組成，实际所需循环次数的多少，决定于被浸渍制品的尺寸和它的結構特点，一次循环大約需要一小时。

当使用两个罐子中（圖3—304）的任意一个来放置和加热浸渍材料时，另一个則作为真空干燥和浸渍制品用。

浸渍时的温度状态，决定于浸渍材料的物理性質、制品中絕緣材料的性質和繞組用导线絕緣層材料的热稳定性等。

浸渍材料在罐子中的最高水平，应比通向冷凝器的管子低150—200毫米。否则在真空浸渍的过程中，由于会在浸渍材料上面激起浪花和泡沫，从而使浸渍材料跑入真空泵中。但是同时考慮到，浸渍材料的水平应比被浸渍的制品高50毫米。

罐子B和C具有完全相同的結構，可以輪流用它们来进行浸渍操作，这样能使生产效率得到很大的提高，当正在罐子B中进行浸渍操作时，即可在罐子C中裝入制品，并进行真空干燥，当在罐子B中完成浸渍后，即可把浸渍材料从罐子B中轉移到罐子C中，

这时在罐子 6 中即开始了浸渍操作，在罐子 5 卸出浸渍好的制品后，又可装入新的制品并对制品进行真空干燥，在此时间內，罐子 5 中正浸渍着制品，一直如此轮流下去。

浸渍需要密封的部件或整机的过程，也就是用浸渍材料灌注密封外壳中剩余空间的过程。这种操作的特点，可以用对低频变压器和扼流圈（它们均安装在密封用的外壳中）浸渍地蜡的操作来说明，熔化的地蜡从工艺孔或壳口进入外壳内，为了提高罐子工作空间的利用率，密封用外壳应该很紧凑的安放在专门的筐子中，安放外壳时应注意使工艺孔朝上，先在温度为110—115°C的条件下，进行两小时的真空干燥，并在以后全部的循环过程中保持此温度（110—115°C）不变，干燥以后就进行三次循环浸渍（约需3小时）。然后把地蜡从浸渍制品的罐中移入另一罐中（这道操作约需一小时），这样，浸渍和灌注密封外壳的全部工艺过程，约需六小时（其中考虑了装、卸制品所需的时间）。

浸渍好的部件，取出后放在工作台上（应注意使工艺孔朝上），然后焊封工艺孔，焊封的温度应比制品在工作时可能受到的最高温度高20°C，最后将外壳表面上残余的地蜡用破布蘸溶液（苯、丙酮等）擦洗干净。

III. 浸渍和灌注的典型工艺过程举例（浸渍和灌注环氧树脂）：

环氧树脂能用来提高零件、部件和设备的防潮性，环氧树脂及其化合物对各种金属及其他材料有很高的粘附力，该性质可保证在环氧树脂与制品表面接合的界面间，几乎不会因为具有不同的线膨胀系数而形成毛细管和细孔，并且环氧树脂及其化合物对潮气的作用具有很高的稳定性，所以用环氧树脂浸渍或灌注的制品，可以在很好的在热带运用条件下工作。

环氧树脂化合物的种类是极多的，按其工艺特征可分成两类：第一类是无须加热即可凝固的化合物；第二类是需要加热才能凝固的化合物。

1. 无须加热的灌注工艺：该工艺过程可用灌注脉冲变压器的环氧树脂化合物（按重量含100份环氧树脂，10份氮六环，20份磷苯二甲酸丁酯）来说明，该化合物应在配成后40分钟内用完，因为如果超过了这段时间化合物将迅速的变质，为了灌注脉冲变压器，常使用带盖子的用塑料粉压制的薄壁外壳，灌注的工艺程序如下：

- 1) 首先在薄壁外壳的内部涂上一层准备好的化合物；
- 2) 在所涂化合物变质以后，放入具有黄铜引出线的脉冲变压器；
- 3) 用专门的注射器进行灌注；
- 4) 在温度为20°C的条件下，保持24小时，以使化合物完全硬化；
- 5) 去除已硬化化合物表面上的毛刺；
- 6) 装上壳盖（用胶合或螺钉固定的方法）。

2. 需要加热的灌注工艺：所使用的混合物，按重量含100份环氧树脂、100或200份石英粉、 $2.28 \times K$ 份顺丁烯二酸酐（此处K——树脂的环氧数，一般写明在材料的说明书中）。

石英粉应能通过10000孔/厘米²的筛子，并须在马福炉中以700°C的温度，煅烧2小时，待其冷却到110°±10°C时，即可倒入装有环氧树脂的金属器皿中，然后进行仔细的搅拌，搅拌均匀后放到真空——干燥箱中，先在温度为120°±10°C和气压为100毫米水

銀柱的条件干燥 1 小时，然后把气压降到20—30毫米水銀柱，并一直保持此条件，直到把化合物中的气泡去除干净为止。

順丁烯二酸酐加入的方法是：先把順丁烯二酸酐装入玻璃环中，并在温度为 $60^{\circ}\text{C} \pm 5^{\circ}\text{C}$ 的水槽中使其溶化，然后倒进上述配好的混合物中，使混合物冷却到 $90^{\circ}\text{C} \pm 5^{\circ}\text{C}$ 即可使用，具有順丁烯二酸酐的化合物只允许保存一昼夜。

含有100份石英粉的化合物是用来灌注环形变压器和低压线圈的，而含200份石英粉的化合物则是用来灌注高压变压器线圈的。

灌注的工艺如下：

- 1) 灌注用模子的准备；
- 2) 在正常气压下干燥制品；
- 3) 在真空条件下灌注制品；
- 4) 化合物的聚合；
- 5) 檢驗。

先用苯或其他溶液擦净模子的内表面，然后在擦净的模中放入制品并在 $105 \pm 5^{\circ}\text{C}$ 的温度下干燥 2 小时。干燥可在普通具有鼓風装置的烘箱中进行。在干燥进行了一段时间后，即可将加热到 $105 \pm 5^{\circ}\text{C}$ 的化合物灌入模内。然后移入真空——干燥箱中，把箱子的温度升到 $105 \pm 5^{\circ}\text{C}$ ，并抽真空至20—50毫米水銀柱，保持此真空度 5—10分钟，以后化合物中的气泡能全部消除，最后把带有制品的模子移入普通的烘箱中，在正常气压下进行聚合，聚合的温度状态为，在 $120 \pm 5^{\circ}\text{C}$ 保持 2 小时，再在 $140 \pm 5^{\circ}\text{C}$ 保持 2 小时。

从模子中取出制品，并在温度不低于 120°C 的条件下去除毛刺，待制品冷却到室温后就进行外观检验，以发现毛刺、胶盖和气孔等缺陷，胶盖的出現是因为部分化合物在规定的聚合工艺步骤之前，就发生了聚合所引起的。

在圖 3—306 中示出了脉冲变压器的结构，其绕组被安置在两个环形的铁淦氧磁芯

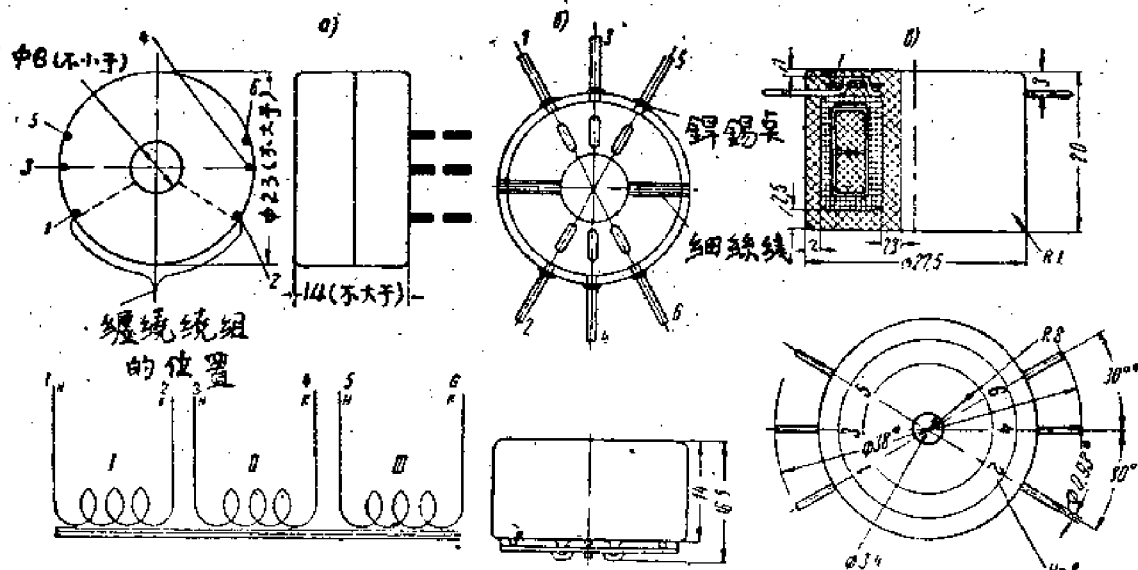


圖 3—306 用环氧树脂临时化合物灌注须防潮的脉冲变压器

—— 电路图空 6——具有引出线的线圈空 8——灌注后的变压器。

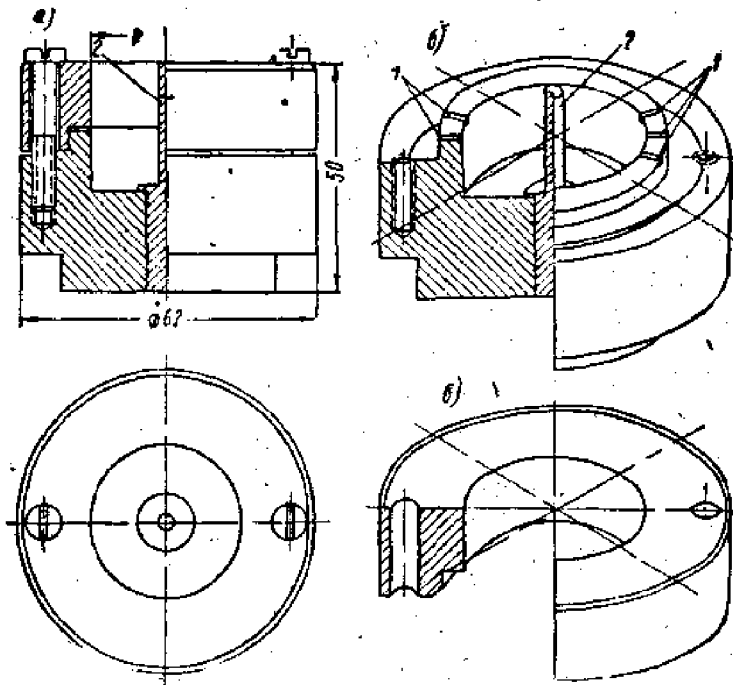


圖3—307 用环氧樹脂混合物灌注脈沖變壓器的模子

- 1—模子的全貌
- 2—模身
- 3—模蓋
- 1—为了引出变压器六根引出线的凹槽
- 2—定位銷

中，为了提高防潮性，須用环氧樹脂化合物进行灌注，灌注用的模子如圖3—307所示。

环氧樹脂化合物聚合时發生的收縮，将使鐵淦氧磁路受到压力，从而使其导磁率发生变化，于是綫圈的电感量亦将随之发生变化。

为了不使磁路受压，在纏繞繞組前，应在磁路表面上涂复一层厚0.5—0.7毫米的彈性材料。

§3—4 浸漬、灌注和薰漬的质量檢驗

浸漬，灌注和薰漬完成后，应根据技术条件的規定进行电气的、气象的和机械的檢驗。

1. 繩組或綫圈的电气檢驗項目：

- 1) 断路檢驗；
- 2) 匝間短路檢驗；
- 3) 繩組和外殼間的絕緣電阻值；
- 4) 損耗；
- 5) 繩組間的分布電容量；
- 6) 品質因數。

2. 氣象試驗：

总的要求是：在技术条件规定的作用温度范围内，浸渍，灌注和薰渍的性质不应发生变化，特别重要的是，在负的极限温度下不应该开裂，在最高温度时不应该软化。

在潮湿箱中放置48小时后，测量其绝缘电阻值，与潮湿试验前的数值进行比较，并根据技术条件的规定，确定其是否合格。

3. 机械试验：

主要是检验它们的机械强度、弹性、附着力，以及与振动、冲击作用有关的特性。

为了研究浸渍的深度、干燥的程度等，常常允许拆散一些制品。

关于浸渍材料填满空间的程度，可用X射线装置来进行检验。

§ 3—5 密封的外壳和绝缘子

制造密封外壳的材料，可以用不透潮气的黑色和有色金属、陶瓷、玻璃等。用软钢带料做的金属外壳，应用最广，在不能用铁磁金属的场合，外壳可用铜带或黄铜带料制成，在掌握了超声波焊接和用冷塑性变形连接金属的地方，也可用铝的带料做外壳，当密封大尺寸的制品时，可用含矽的铝合金，以铸造的方法来制造外壳。对于一些电参数要求很稳定的小型零件和元件，可以用陶瓷外壳来密封。至于用玻璃做密封外壳，则很少应用。

各种常用金属和陶瓷外壳的结构，分别如图3—501和3—502所示。

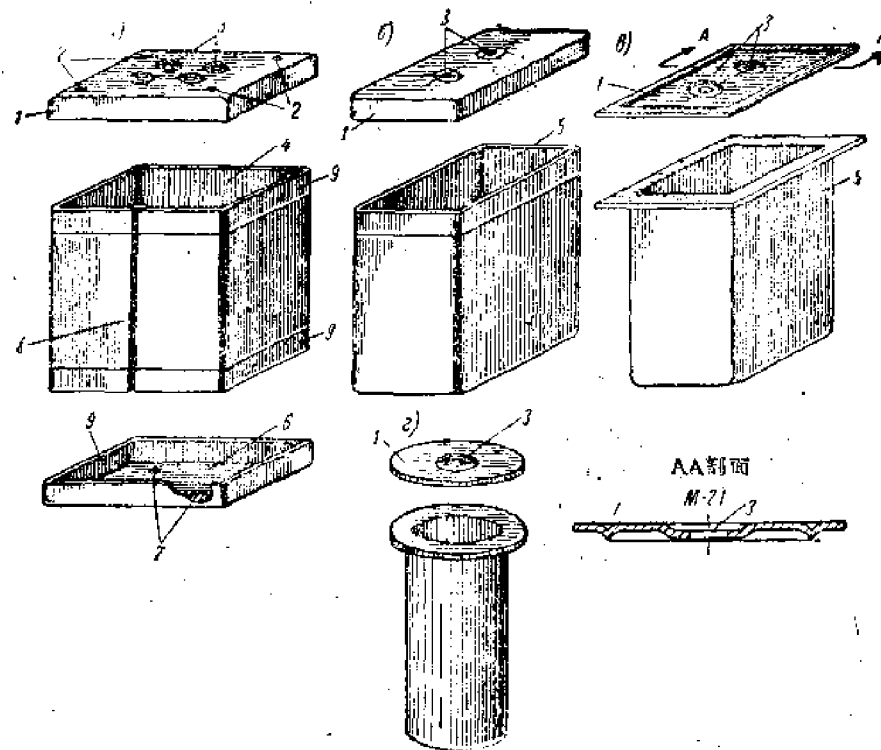


图3—501 密封用金属外壳

a——装配式外壳，6和9——用引伸法制成的外壳，r——用冲

挤压法制成的外壳（所用的材料是：黄铜，紫铜，铝）

1——盖子 2——为了装固被密封制品的孔眼 3——安装绝缘孔的高孔

4——壳壁 5——壳身（壁和底） 6——壳底 7——工艺孔

8——焊缝 9——镀镍的部位

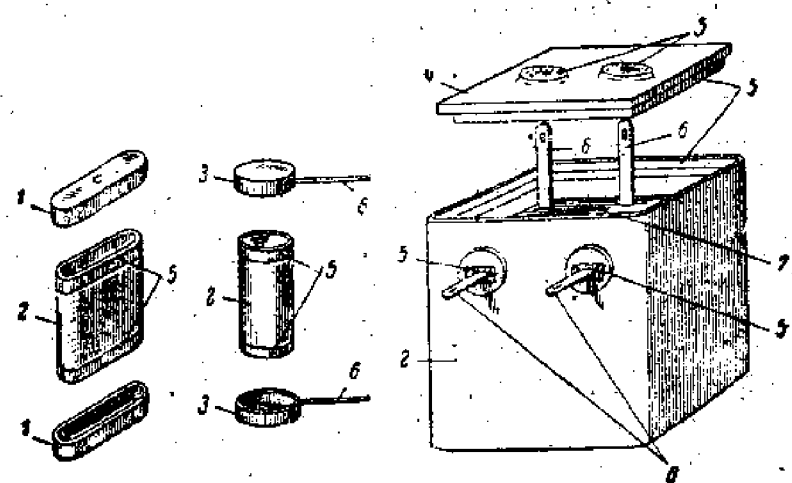


圖3—502 密封用陶瓷外壳

1——具有引出線用孔的金屬蓋 2——壳身 3——兼作引出線用的金屬蓋 4——陶瓷蓋 5——用燒漆法復蓋上銀屬的陶瓷表面 6——引出線 7——被密封的制品

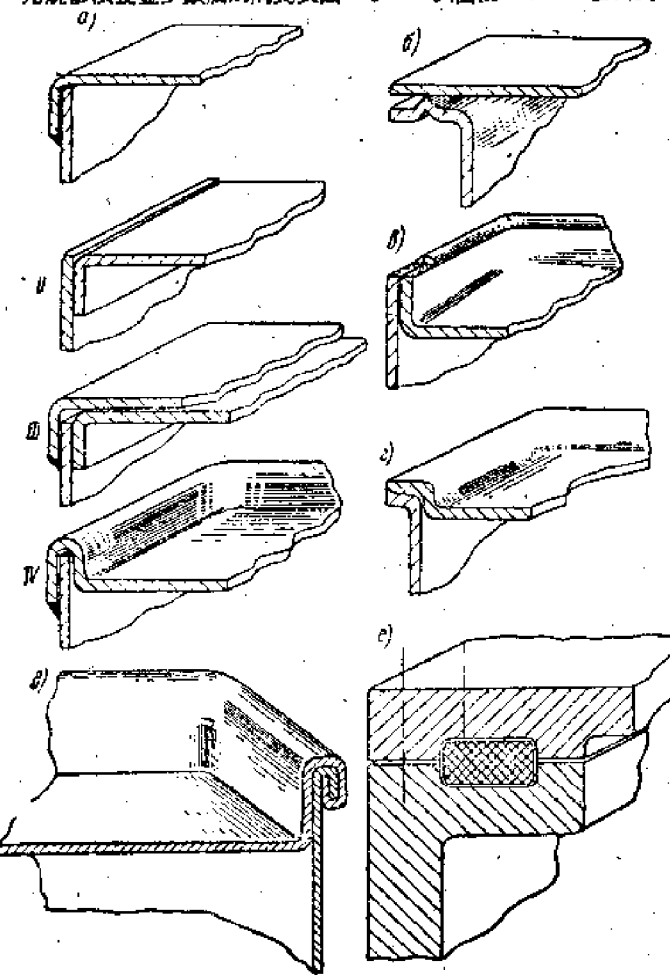


圖3—503 金属外壳各结构的密封接合法

●——焊接 I——外盖型, II——内盖型, III——夹紧接合法, IV——铆接接合法
●——凸焊接合法 ■——电弧焊接法 △——锯边接合法 ▲——卷边接合法
■——用橡皮垫密封的方法

外壳的形状决定于制品的结构特点，而后者与制品的用途、工作条件及密封的方法有关。

在制造金属外壳时，重要的问题是，将外壳的几个部分牢固地、不透湿气地连接起来，使其密封性能长期不受破坏。

可以用各种方法，将构成外壳的零件，密封地联结起来，如图3—503所示。

对于用软钢、黄铜、铜的带料做的外壳，可以用易熔焊料（IIOC—40）来焊接，用这种方法连接起来的密封盒，能保持密封的温度范围，是自 -40°C 到 $+85^{\circ}\text{C}$ 。

同样的材料，如用凸焊或电弧焊，则保持密封的温度范围可自 -80°C 到 $+160^{\circ}\text{C}$ 。凸焊的方法如图3—504所示：

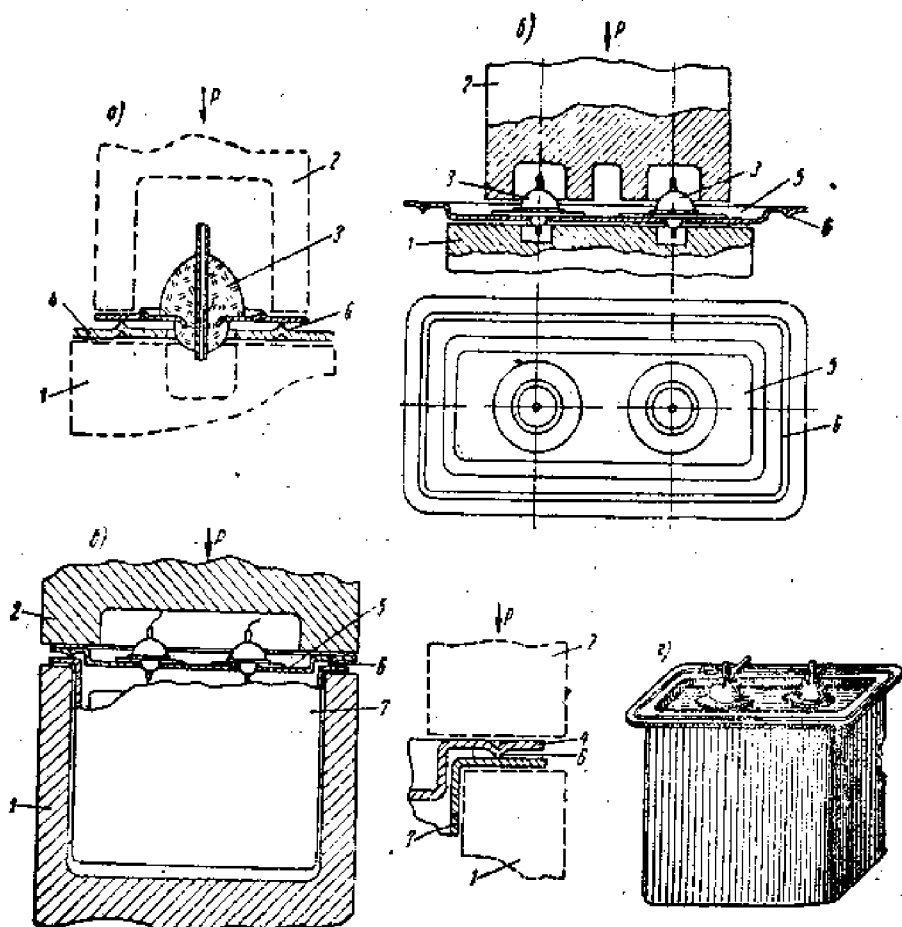


图3—504 凸焊法

1——把垫圈式绝缘子焊到壳盖上的工艺程序说明图

6——同时把两个绝缘子焊到壳盖上的方法

7——壳盖和壳身的焊接

F——密封电容器的外形。

1——下电板

5——壳盖

2——上电板

6——凸尖

3——绝缘子

7——壳身

4——壳盖的一部分

对于用鋁的帶料做的密封外殼，如用金屬的冷塑性變形來連接，保持密封的溫度範圍也可自 -80°C 到 $+160^{\circ}\text{C}$ 。冷塑性變形的方法如圖3—505所示：

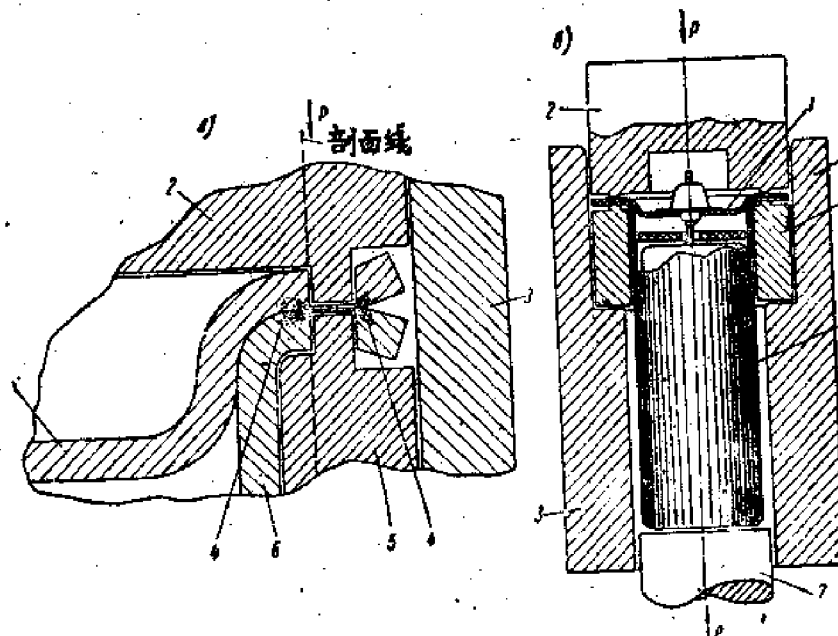


圖3—505 用金屬塑性變形的特種行密封焊接（冷焊）

- 2—冷壓圓筒形外殼的說明圖，
- 5—焊圓筒形外殼的裝置。
- 1—壳盖
- 5—下模
- 2—上模
- 6—壳身
- 3—基座
- 7—上推軸
- 4—冷壓的周邊

厚度為 0.1 — 0.2 毫米的軟鋼帶料，如用墊入塑性材料後一起滾卷的方法來製造外殼，則保持密封的溫度範圍較小，約自 -50°C 到 $+5^{\circ}\text{C}$ 。

當用含矽的鋁合金或青銅用鑄造方法做外殼，並用真空橡皮做密閉衬墊，則保持密封的溫度範圍更小，約自 -40°C 到 $+50^{\circ}\text{C}$ 。

作為引出端用的絕緣子，有玻璃的、玻璃陶瓷的和陶瓷的幾種，如圖3—506所示。

玻璃絕緣子：其上有鐵鎳合金作的管和盤，由於鐵鎳合金（Fe—54%，Ni—28%，Co—18%）的線溫度膨脹系數 4.6×10^{-6} 和用作絕緣子的玻璃的線溫度膨脹系數（ 4.5 — 4.8 ） $\times 10^{-6}$ 很接近，因此，能得到良好的密封。合金做的盤是用來將絕緣子焊到外殼上去的，而管子作密封的引出頭。

在焊接過程中，溫度的劇烈變化，就在玻璃中引起了內壓力，在環境溫度的劇烈變化下就使玻璃開裂。

玻璃陶瓷絕緣子是在玻璃和合金盤間加上陶瓷套墊，使能經受溫度的劇烈變化。

陶瓷絕緣子的端面用燒滲銀的方法金屬化後，就可與密封外殼焊起來，絕緣子的中心有對穿的孔，以便焊接引出端。

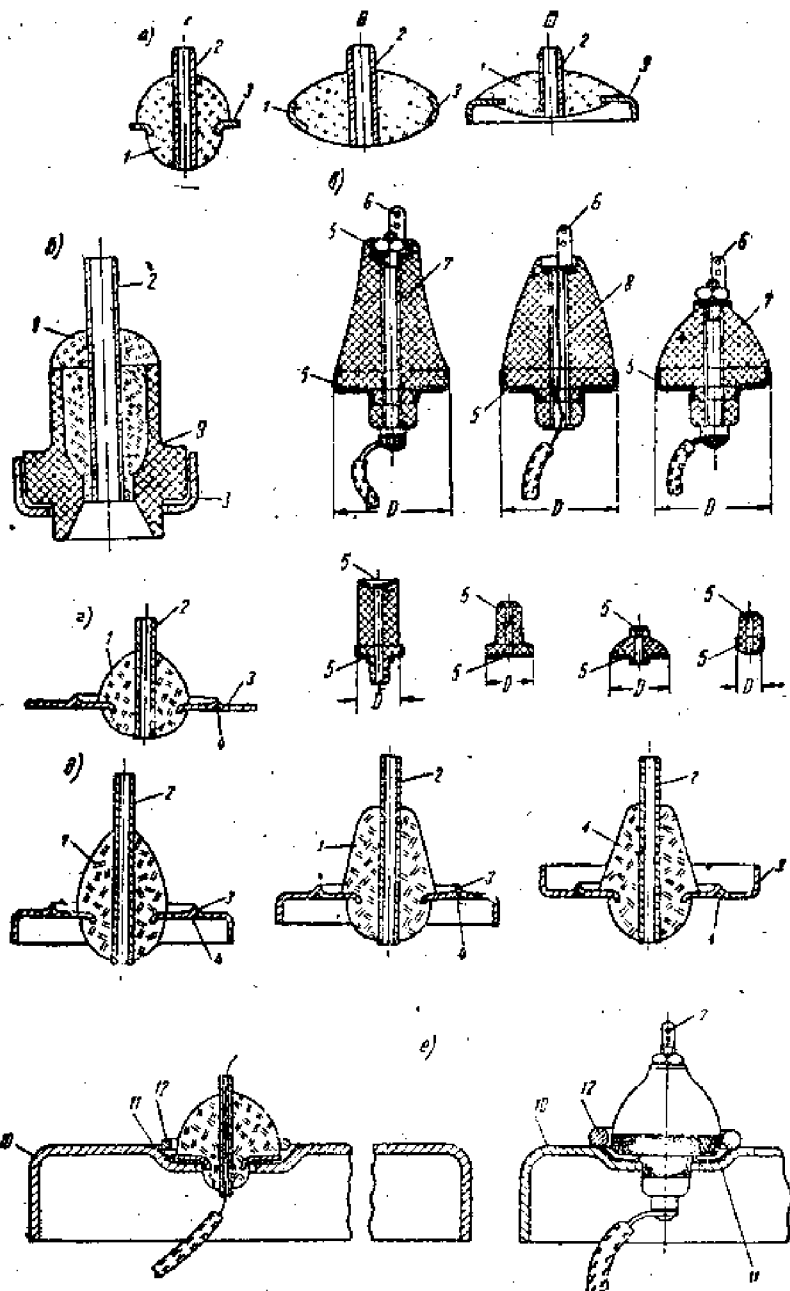


圖 3—503 密封用穿通式絕緣子

- a—用焊接方法來固定的玻璃絕緣子： I—墊盤式， II—圓筒式， III—罩蓋式。
- b—用焊接方法來固定的玻璃陶瓷絕緣子
- c—用焊接方法來固定的陶瓷絕緣子
- d—用凸焊法來固定的整圈式玻璃絕緣子
- e—用點焊法來固定的罩蓋式玻璃絕緣子
- f—玻璃絕緣子和陶瓷絕緣子的焊接方法
- 1—玻璃絕緣子 7—載流埠
2—穿通管 8—空心鉗釘
3—凸緣 9—陶瓷絕緣子
4—凹不 10—壳盖
5—複蓋在陶瓷上的銀層 11—複蓋有錫膏的高孔表面
6—焊片 12—易熔焊錫環

§ 3—6 无线电零件和部件的密封方法

凡是重量不太大的无线电元件，例如分段式油浸纸质电容器，可以用电工压纸板来衬垫，然后装到盒壳中去。如果元件的重量很大，象低频变压器，就必须固定得很坚固，而且，这些元件大部分都是固定在盖子上。盖子的构造，要依靠增加厚度的方法来加固。固定变压器和低频扼流圈的方法，用得最普遍的是利用絆子，如圖3—301。

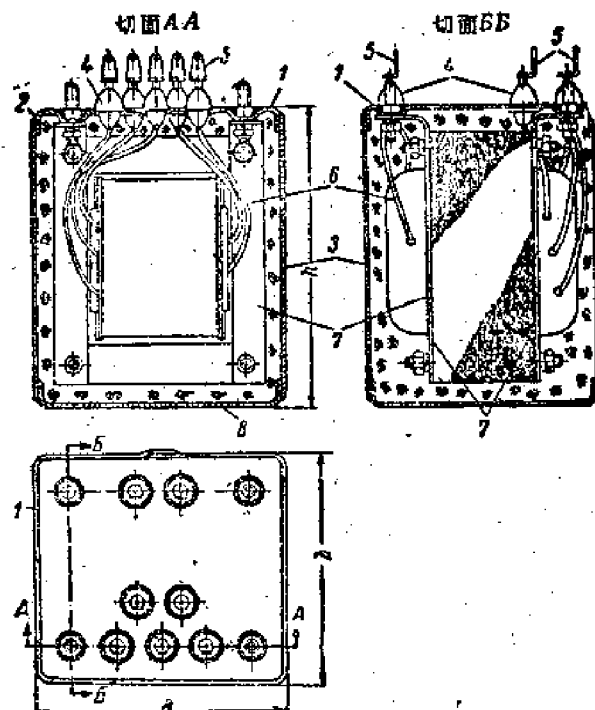


圖3—301 变压器和低频扼流圈安装在密封壳中的方法

1—盖子；2—壁板和盖子的焊接处；3—盒壳的壁板；4—玻璃绝缘子；
5—焊片；6—出线头；7—固定变压器在盖子上用的紗子；8—施工小孔

密封焊接玻璃绝缘子上的管子和陶瓷绝缘子上的孔，有好几种方法：当绝缘子上的孔不大时，密封总是同固定密封件出线头合并着完成的，这时出线头上要括去一小段绝缘皮层，松开合股的导线束，剥离一部分数量导线，让剩下的部分适足以穿过玻璃绝缘子上的管子或陶瓷绝缘子中心的孔。多余的导线可以剪去，剩下的导线搓成绞线，这样就更容易穿过绝缘子上的小孔了。假使机件是固定在盒壳的壳身上的，那末，合上盖子时，出线头的导线应当先穿出绝缘子（圖3—602a）。

待盖子合上后，把出线头焊好，并且，同时也将密封焊没了绝缘子上的孔（圖3—602b）。用出线头的绞线完全堵塞绝缘子上的孔，是非常有利于实现严密的密封焊接的，而且，还能节约焊锡的消耗量。

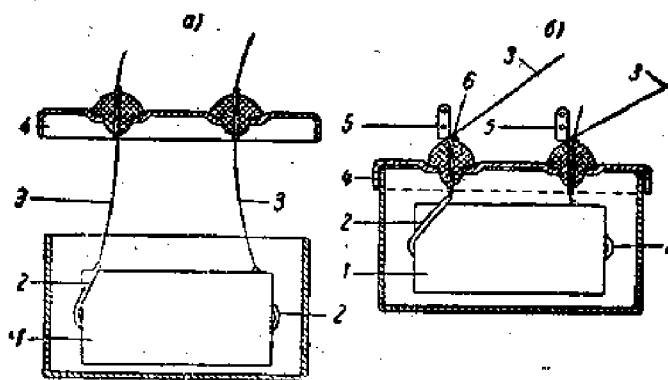


圖 3—603 出線頭固定在絕緣子上小孔的方法

- 3——出線頭的絞線穿過絕緣子上小孔的情形。
- 6——密封焊沒管子上小孔，並且，固定住出線頭絞線的情形。
- 1——密封件； 2——出線頭； 3——出線頭的絞合導線； 4——蓋子；
- 5——焊片； 6——密封焊接處和絞線剪斷處。

大型絕緣子上的孔，直徑比較大，在這裡為了要便利密封焊沒這孔和把出線頭固定住，可以在絕緣子的孔中，插一個空心鉗釘或圓頭螺栓。穿在絕緣子上的空心鉗釘套上焊片後，就把它滾輾擴張開來，壓住焊片，同時自己也就固定在絕緣子上。螺栓露出在絕緣子孔上部的部分，可以直接焊在絕緣子孔四周圍的銀層上，以構成所需的密密封形狀。至於固定出線頭的方法，則在絕緣子帶空心鉗釘的構造中，把絞線的絕緣皮層刮去，穿過鉗釘孔，並且焊牢在絕緣子的上部。假使絕緣子是帶有螺栓的，那末，出線頭就焊在螺栓的圓頭上。當焊接鉗釘在絕緣子的銀層上時，焊錫熔化後就均勻流在絕緣子上的沉孔中，同時就把絕緣子孔密封住。

鉗釘焊接到絕緣子上的一道手續，應當在絕緣子焊接到蓋子上以前完成。然而，密封焊接螺栓，最好是在絕緣子已經焊在蓋子上之後來完成。逢到密封件用絆子固定在帶有絕緣子的蓋子的情形時，出線頭的固定方法，可以從上面所述的方法中挑選最適合所用絕緣子類型的一種來實施。在這一種構造中，焊接出線頭比較簡便，因為在這裡，蓋子和密封件間的相對位置是不變的。

在檢查了出線頭焊接點的機械強度、電氣接觸情況和孔的密封焊沒情況之後，就可以把蓋子焊接到盒殼的壁板上。為了要提高密封的質量，提高線卷的絕緣電阻和改善發散因電氣的損耗而產生的熱量的條件，可以把密封件先行浸漬，而在盒殼中灌注浸漬材料或灌注浸漬混合料，來填滿盒內的空檔。

假使按照工作的條件，不需要浸漬和灌注，那末，把密封件安裝在密封外殼中，放到烘箱中烤干，然后再把施工小孔焊沒。

防護盒蓋不受侵蝕，除用電鍍或鋅層一法外，也可以塗敷油漆或清漆。

裝合低頻變壓器的順序如圖3—603。

無線電器材中，另外一些密封零件的例子如圖3—604所示。

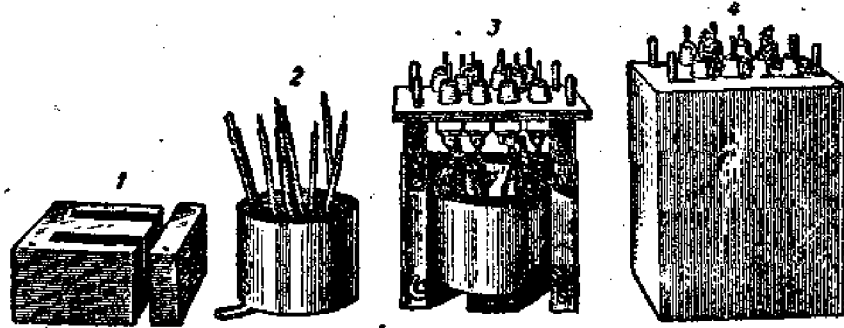


圖3—603 密封的低頻變壓器的結構原件

- 1——由山形鐵片和1形鐵片組成的鐵芯;
- 2——繞在骨架上的綫圈;
- 3——裝成的變壓器;
- 4——變壓器密封在盒殼中（蓋子和底都是平焊的，全身用油漆塗蓋）。

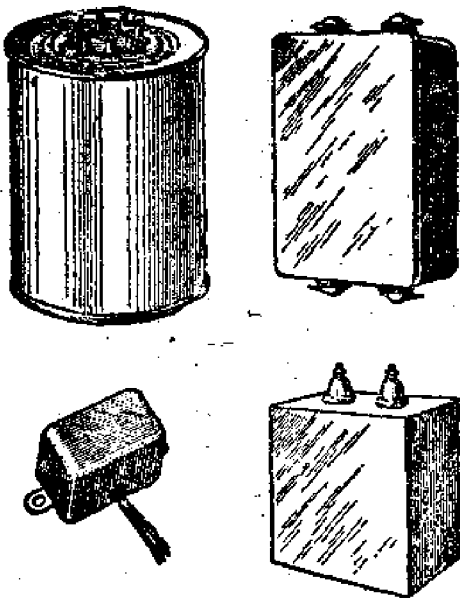


圖3—604 無線器材中密封零件的例子

§3—7 無線器材总体的密封

当我们把个别密封的无线电零件和部件，蒐集在一个公共的机架式底座上，就成为一个具有很多密封盒壳的无线电设备总体（图3—701）。无线电设备一經密封措施后，在重量和尺寸方面，无疑是会增加的。此外，同一个无线电设备总体上，还装有一些没有防御气候和大气压力作用能力的零件，所以，依旧会改变它的电气参数，以致机器工作不正常。因此，把整个无线电设备封闭在一个密封盒子内，不单是比较合理的解决了支支碎碎地去防御那些外界的影响，而且，相对地还能把总体减到最小重量和最小尺寸，以及简化了制造技术。

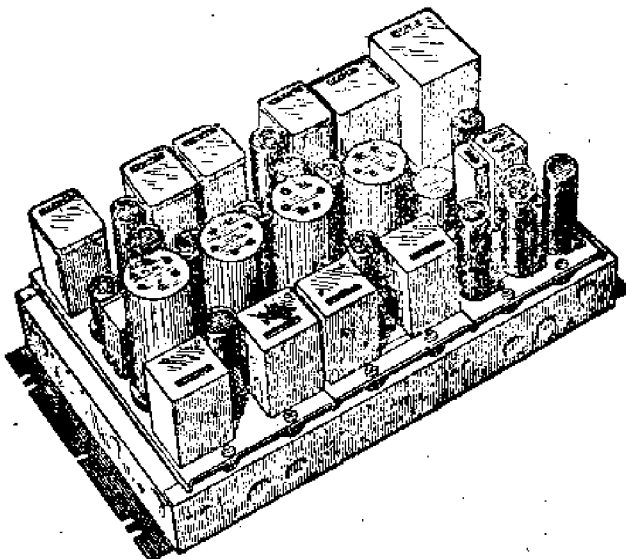


圖3—701帶有密封部件的無線電設備的一般樣子

可是，把無線電設備总体整个地密封起来，直到現在还只能在有限的范围内应用，而且，还只能在运用中不再揭开机器（譬如更换真空管和修理）的条件下，才能达到这个目的。因为，机器一經打开，就很快的从周围空气中吸取潮气。而要恢复密封状态，却只能在制造工厂中来操作。

指定来容纳整个机器的密封盒子，可能有各种形状，一般还有好些玻璃質或陶瓷質絕緣子，要分別裝在密封盒子的蓋子上、底上或壁板上。

在密封的盒壳中充以氮气或六氟化硫气后，所得密封效果的質量很高。

要把氮气或六氟化硫气充到密閉的盒子中，須要利用盒子上带瓣閥的施工小孔（圖3—702）。这个特殊构造乃是在密封盒壳的蓋子、底或壁板上冲出一个沉孔；沉孔的中央再冲出施工小孔8。在沉孔的底上，垫衬一薄的圓形軟性橡皮垫片，垫片的中心部切开几条交叉縫7，这个橡皮垫片就是双向作用的瓣閥。假使盒子內气体的压力和外界大气压力平衡时，瓣閥就处在关闭状态。在橡皮垫片上，再垫以橡皮垫圈5和黃銅网片；網片上再擗上一个熔点約為70°C的易熔合金（25%的錫、12.5%的鉛、50%的鐵和12.5%的鎘）制做的环圈。沉孔的四壁則附有螺紋。

产生密封的技术施工程序，是在圖3—703所示的设备上进行的。在这个设备中，包括有储氮气的鋼瓶1，减压节門2、吸湿器3、真空罐11和真空泵10。在真空罐的外圍有水浴鍋12，并且，經由水管14和15分別輸送冷水和热水。水浴鍋是以热絕緣材料13制成的，在真空罐11的蓋子4上，备有压力表5、溫度計6、真空表8和控制罐內压力的节門（罐內的压力可是大气压力或是真空）；真空泵上还备有水銀压力表9。

施工的程序如下：把装合得坚固的结构元件装到盒壳中，以施工小孔朝上的方向放进其空罐內，加热到40—50°C，然后，把真空罐的蓋子盖严，开动真空泵，打开閥6，使真空罐內的压力降低到1公厘水銀柱，此时，温度应保持在40—50°C。

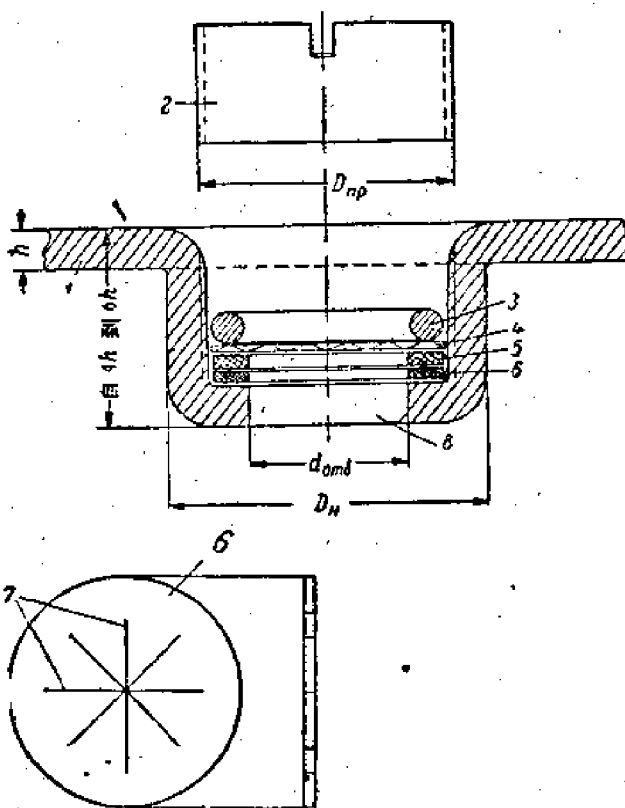


圖3—702 密封盒壳上施工小孔壁附設的閘閥

1—密封盒壳的底、蓋子或墊板；2—螺絲塞頭；3—易熔合金環，
4—黃銅鋼片；5—橡皮圈；6—雙向作用橡皮閘閥；7—閘上的切開縫，
8—施工小孔。

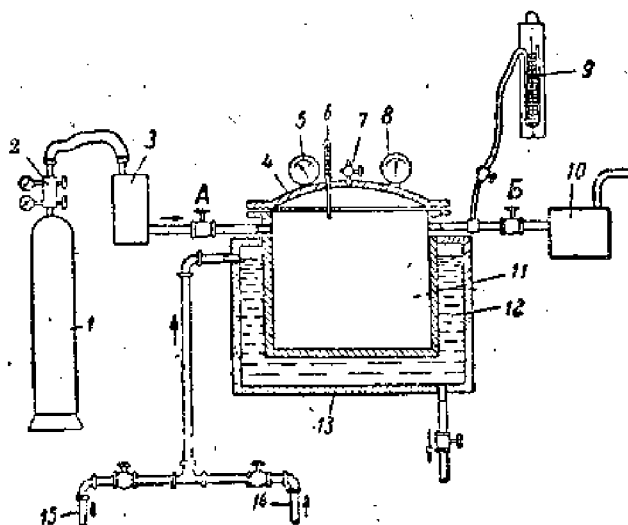


圖3—703 在密封盒子內充氮氣或六氯化硫氣的設備

真空烘干手續要延續一至二个小时（看密封件的大小），真空泵要不断地工作，来协助驅除密封件內的潮气。待真空烘干操作終了后，关闭閥 E，同时，借减压节門把氮气的压力降低到1.5个气压。

然后打开閥 A，使真空罐慢慢地充满氮气。氮气經過吸湿器时，器內的氯化钙或矽酸疊胶質吸收氮气中所含潮气，干燥的氮气就充满在真空罐內，也同时充满在密封盒壳內。这道手續进行得要徐緩，約須半小时到一个半小时之久；目的是使氮气有充分的时间，在吸湿器中除去潮气，从而提高密封的質量。进入真空罐內的氮气所含湿度，一般不得超过4—5%。待真空罐內的氮气压力达到1—1.5气压后，就把閥 A 关闭，接着打开閥 7。降低罐內的压力到大气压力后，就重新关闭閥 7。

繼之，把通到水浴鍋中的热水，提高到足以使罐內的温度达到90—95°C的高度。这时置在施工小孔的孔窩（圖3—702）中的易熔合金，因受热而熔化；熔化的合金流到黃銅網片的上部表面上，但不致經由网片上的小眼流下去。密封件在封口温度(90—95°C)，停留的时间不得多于半分鐘到一分鐘，因而在达到这个时间后，从速把水浴鍋的热水放去，而通进冷水，使罐內的温度降到15—20°C。这样之后就可以打开罐蓋，取出密封件，并且用带螺絲的塞子 2 盖住施工小孔。这塞子要一直旋下，直到它的带槽平面和盒子平面齐平为止。

焊死塞子后，密封的施工程序即告完成。密封盒壳的内部，则仍保持着施工过程中所賦予的压力（等于大气压力）。从实际的气象学來說，密封盒內的压力，不应小于730公厘和大于780公厘水銀柱。如果要比照着大气压力来增高或降低密封盒壳內部的压力，可以在真空罐內充气时，調節充入氮气的数量。密封盒壳內的压力大小，应当标明在塞子上。

若是要把几个气压的高压气体密封在盒子內，就需要采用圖3—704所示的设备，这个设备包括：氮气瓶 1、减压节門 2、吸湿器 3 和真空泵 7。凡是要求充高压气体的密封外壳，一定要具备三个管口，其中只有管子 4 是带有閥的，其余两个管子都是带着龙头的。

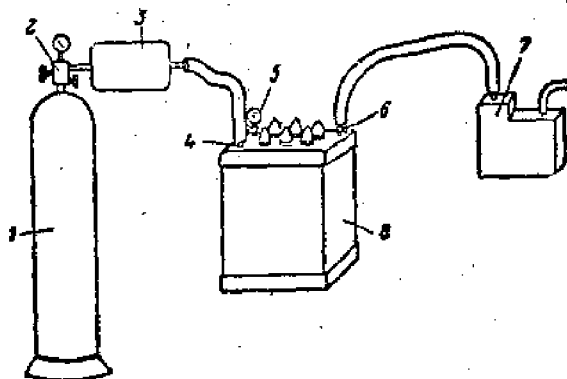


圖3—704 以超大气压密封在盒子中的方法

技术施工程序是：首先作真空烘干；这时要把密封的盒子暨内部的构件，一并放进

有自动温度控制器的烘炉中，加热到80—100°C，待真空干燥操作終了后，把管子6关闭，并且，讓氮气慢慢地經過吸湿器灌进盒壳中去，待压力表所指示盒內的压力达到所要求的大小后，就把管子4和6上的橡皮管拔去，盖上带螺旋的帽罩，并且，仔細地把它們焊死。安装压力表5的管子带有閥，这样在运用中，不需使用压力表时，有可能把它取下，压力表取下后，管口务須仔細焊沒。

假使充氮气前，不把整个密封盒子暨內部构件进行真空干燥，那末，盒內构件的材料一定吸有潮气，日后逢到外界环境的低温冷却作用时，这潮气就会分离出来，凝結在密封盒壳的内部表面上。此后，如果又遇到因外在的原因，而提高温度或者由于机器在工作中發散热量时，又会惹起这凝結的水重新蒸發，于是，内部构件中的吸湿材料，首先就吸收这水蒸汽，一直到同盒內空間湿度达到均衡状态为止。这种样子的潮气轉移現象，在密封盒壳內是到处都会發生的。这种有害的現象，是可能減低到最小程度的，这只要延长真空干燥的時間和仔細地干燥所充进去的氮气即可。密封盒壳內的湿度如果不超过5%，是不会对机器的正常工作有任何影响的。

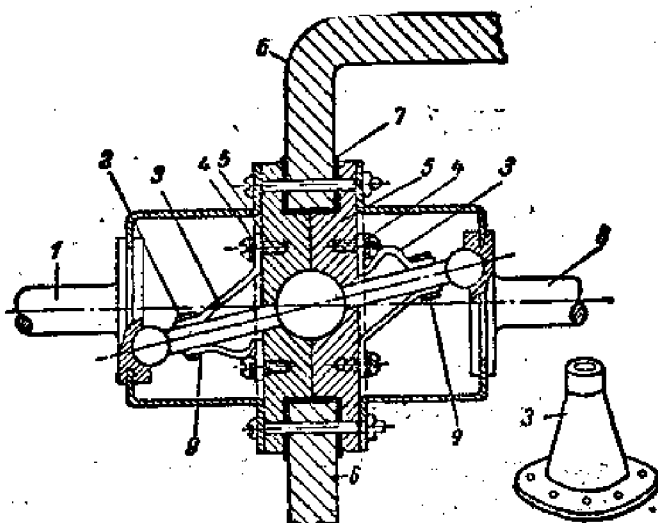


圖3—705 調節密封盒內的压力机构

1—外軸头；2—軸；3—真空气橡皮制的封套；4—彈簧垫圈；
5—垫块；6—密封盒壳的壁板；7—密封衬垫；8—内軸头；
9—拧紧封密管頭头的緊圈。

如果要不伤害密封性而又能对机器进行調整，或降低盒内部的压力，则可以采用圖3—705所示的机构。这个机构在实用中，能够不管内外压力的差別是多大，始終保持高度的密封性。

这个机构的作用原理：是当轉动外軸头1时，联络在内外軸头之間的軸2，就跟着扭轉；这个軸扭轉的道路，恰好形成两个有共同頂点O的圓錐体。内軸头8因軸2的扭轉，遂被带动而旋轉。盒壳內的密封性，因有真空气橡皮制的封套3的保障，是不致改变的。这些封套的凸緣是用热丁二烯粘在垫塊5上，橡皮封套的頸部，也用热丁

二烯粘在軸 2 的兩頭上。軸 2 作扭轉運動時，封套有彈性的變形，所以不會損害到密封性。

§3—8 密封品質的試驗

只有把盒殼的全部結構元件仔細地接合好，才能獲得所期待的密封性。因此，在製造盒殼的各個結構元件的過程中，要對密封接合處作密封品質的試驗。

蓋子在焊好絕緣子後，要在水槽中經受壓力試驗。試驗的裝置如圖3—801所示。

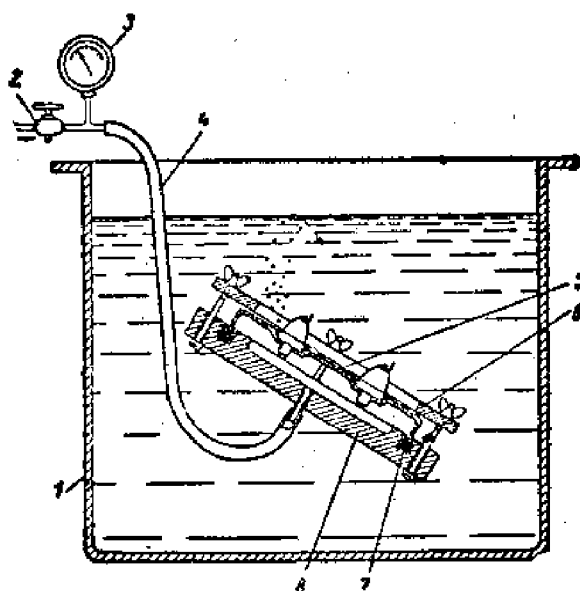


圖 3—801 密封盒蓋的密封試驗

1——水槽；2——空氣管進口閥；3——壓力表；4——橡皮管；
5——焊有絕緣子的蓋子；6——壓板；7——橡皮塞；8——底板。

盒殼的盒身，如果是由底和壁板焊接而成的，也要經過空氣壓力的試驗，操作的方法和上述的相同，但試驗夾具上應備有堵塞施工小孔的裝置。

另外還有一種試驗的方法，是利用煤油能滲透過最微細孔眼的本領，來檢查密封性。試驗時把煤油注在盒身或蓋子的試品中，經過三四小時之後，從蓋子或盒身的另外一面，就可以看出密封接合不佳的地方，即使是極微細的煤油滲透痕迹，用紫外線來檢查，也能看得很明顯。

已經制成的密封件，也要經過壓力的試驗，這項試驗要在圖3—802所示的設備中進行。

試驗的方法是把密封件的試品 1，浸沉在玻璃油箱或水箱 3 中，在這玻璃箱外，再蓋一玻璃罩 2，罩內的空氣如果經由下部的管子抽出後，由於罩內空氣稀薄，壓力減小的效果，創造了使密封件內部殘余空氣或氣體外逸的條件，即使密封性的損傷極微小，也是能檢查得出來的，凡是有氣泡漂起的現象，就證明是密封性不佳。

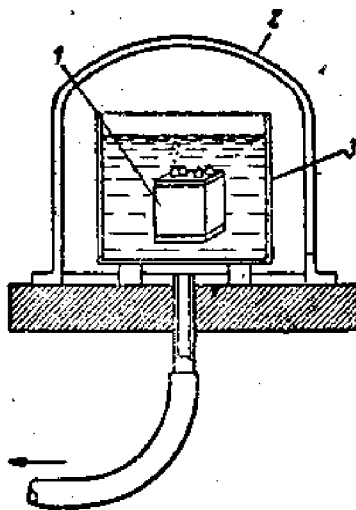


圖3—802 密封件的品質試驗

代替浸沉在水內的鑿定法，也可以把盒子上所有封口的地方都塗一層矿物油，凡是有气体从盒子中逸出的地方，就会在油膜处产生气泡，所以就能很方便地檢查出来密封性不佳的地方。

密封性方面的瑕疵，也能够在矿物油（变压器油）中，用加热法来查出。从盒子上密封性不佳的地方逸出的空气或气体，就将变成气泡，漂出油的表面。試驗时的温度不要超过 $110-115^{\circ}\text{C}$ 。

在烤箱中加热檢驗，也应用得很广泛。这时，試品要放在一張紙上，加热后，如果紙上留有污点，就可以确定密封性的品質不佳。

在运用中遇到气压發生变化时，会加速大气压力的空气从有瑕疵的封口处潛入盒壳内部；充滿了氮气或六氧化硫气的盒壳內，如果出現了氧气，則它对于某种化学物質所起的作用，也能用来指示密封性的品質。

§ 3—9 各种防潮方法的应用范围

在相对湿度为60—65%的正常环境湿度下，气压范围是720—790毫米水銀柱，温度在 -40°C 到 $+50^{\circ}\text{C}$ 内平緩变化时，并不提出增强防潮性的要求，浸漬、灌注、蘸漬只是用来提高絕緣的抗电强度、提高耐热性、提高机械强度、改善散热的条件等，这时可用符合技术要求的任何一种材料来浸漬、灌注和蘸漬。

如气压范围相同，但设备使用于相对湿度到80%，温度范围自 -50°C 到 $+70^{\circ}\text{C}$ 的場合，就可用蜡状材料，或用以其为主的混合物。

当温度范围加寬到自 -60°C 至 100°C ，要在相对湿度为70—85%的条件下防潮，就要用漆来浸漬。

使用条件的温度范围自 -60°C 到 $+120^{\circ}\text{C}$ ，相对湿度达90%时，必須用热固性混合物来防潮。

当温度范围加宽到自-60°C到+140°C时，短期作用的湿度等于相对湿度95±3%，经常处于40°C到45°C的环境温度下(热带的使用条件)，就必须应用以环氧树脂为主的混合物。

如要长期经受相对湿度到95±3%的高湿度影响，使用在气压很低的条件下，就要用密封。

第四章

塑料零件

§ 4—1 概述

塑料制品日益广泛应用于电讯工业中，这是因为在很多情况下塑料的特性比其他材料的特性高得多。例如：氯有机塑料在耐化学性能方面高于金和铂，同时是超高频介质。某些类型的玻璃塑料在拉断强度方面超过了碳素钢等。

塑料的优越性能，保证了它广泛地应用于无线电工业中。塑料广泛地用作绝缘材料及细工材料。在很多情况下，塑料的装置零件的质量比陶瓷装置零件的高。层状塑料广泛地应用于印制电路技术中。高频塑料广泛地应用于分米波段范围内（如带状波导管），并用作高频电缆的绝缘。由塑料来制造的外壳制品，种类是很多的。制造电容器用的膜状与片状塑料，在无线电工业中得到了广泛的应用。为了减少环境温度对无线电设备的影响，而用树脂注入零件、部件及组件也得到了更广泛的应用。

除了塑料有好的特性而得到广泛的应用外，用塑料制造零件的方法也比较简单，这也促进了塑料的应用。

§ 4—2 制造塑料零件所应用的材料

按照加工方法或应用，塑料的可以如下分类：

1. 粉状压塑材料：

热固性的——在压力和热的作用下变成为柔软状态，加温至一定温度时，塑料复固。热固性塑料是不可逆的，所以，不能进行重作。

热塑料的——也是在压力和热的作用下变成柔软状态，但压模降温后，变固，如果再升至一定温度时，又变软。所以热塑性塑料的制品可以反复进行很多次加工。

2. 薄板状的和层状的压塑材料。

3. 膜状材料。

4. 铸造树脂。

现在我们讨论上列的材料。

1. 粉状压塑材料：

粉状压塑材料可以分为两大类，低频用的及高频用的，表示如表 4—1 及表 4—2。

表 4—1 内，酚甲醛树脂或酚氨基甲酸酯树脂加木粉及矿物粉当做填料，所以制成的压塑粉可用于用热压法来制造接线板，线圈骨架，绝缘垫圈等零件。用酚甲醛树脂加木

表 4-1

低频压塑粉的特性

胶合剂 (树脂)	压塑粉的成份 填料	压塑的状态			收縮 % 每1毫米厚度 (分钟)	密度 克/厘米 ³	吸水性 % 每1毫米厚度 (分钟)	邵氏 硬度 °C	冲击强度 千克厘米/厘米 ²	制品的 特性 tgδ	击穿电场 强度/毫米 千伏
		压 力 千克/厘米 ²	温 度 °C	每1毫米厚度 (分钟)							
酚甲醛及甲酚甲醛 混台物	矿物粉及木粉	300	155	1	0.6-1	1.4	0.25	100	4.2	0.09	13
酚氨基甲酸酯	木粉及矿物粉	300	160	2.5	0.6-1	1.4	0.25	100	4.2	0.09	13
酚氨基甲酸酯	云母、石英粉	200	180	2.5	0.4-0.65	1.9	0.68	100	3	0.01	12
酚氨基甲酸酯	云母、石英粉	300	200	2.5	0.5-0.8	1.9	0.68	100	4	0.02	12
酚氨基甲酸酯	铝及木粉	450	175	1.6	4	1.84	0.8	200	18	0.2	9
酚甲醛树脂	石棉	450	175	1	0.6-1	1.35	0.4	110	34	0.1	12
酚甲醛树脂	矿物粉及木粉	300	190	—	—	1.5-1.75	—	12	2.5	—	—
酚甲醛树脂	木粉	500	—	—	—	—	—	—	—	—	—
酚甲醛树脂	云母	—	—	—	0.6-0.85	1.4	—	110	8	0.2-0.3	12
乙酸基碱性	高岭土	300	150	—	—	1.1	0.8	49	20	—	—
酚甲醛树脂	重晶石	—	—	—	—	0.9	1.5	0.12	110	4.5	—
酚甲醛树脂	玻璃棉纱	350	160	1	—	0.8	1.45	0.4	110	9	>0.1
酚甲醛树脂	石棉	—	—	—	—	0.3	1.85	1.0	200	21	—
三聚氯胺甲基树脂	酚甲醛树脂	350	160	2.5	—	1	1.6	0.1	130	4	0.05-0.7
脲甲醛树脂	硫酸纤维	280	140	1.5	—	0.8	1.4	1	100	5	0.02
聚甲基丙烯酸甲脂 100%	—	110-300	140-100	3-5	0.1-0.6	1.2	0.5	60	5	0.97	20

表 4—2

高聚塑料的特性及其压塑的状态

压塑状态及成品特性	测 值 单 位	压 塑						粉 粉			名 称		
		聚乙 酚	聚苯乙 酚	聚乙 烯	聚丙 烯	聚乙 烯	聚丙 烯	聚丙 烯	聚丙 烯	聚丙 烯	聚丙 烯	聚丙 烯	聚丙 烯
压塑时的压力	千克/厘米 ²	70—40	400	100—250	—	—	—	200	500—700	—	—	—	—
压塑温度	°C	120—160	135—150	180	0.4—0.5	0.5—0.8	—	150—160	600	—	—	—	—
收缩	%	2—2.5	0.2—0.8	0.4—0.5	1.07	1.38—1.4	1.2	1.0	1.2—1.25	2.6	—	—	—
密度	克/厘米 ³	0.92—0.85	1.05—1.07	1.07	—	—	—	—	—	—	—	—	—
吸水性	%	0—0.01	0.05	0.03—0.2	—	—	—	0.06	0.3	—	—	—	—
马氏软化温度	°C	104—120	90	115—130	100—150	130	95	450	—	—	70	—	—
导热度×10 ⁴	卡/厘米·秒·°C	6.2	1.9—3.2	—	6	—	—	—	—	—	0	1.4	—
线膨胀温度系数	1/°C	10 ⁻⁴	10 ⁻⁴	7×10 ⁻⁵	5.5×10 ⁻⁵	—	—	5.7×10 ⁻⁵	7×10 ⁻⁴	—	—	—	—
中击强度	千克·厘米/厘米 ²	—	6	24	10	15	2	—	—	—	—	—	—
拉断时伸长	百分比	127—193	350—600	320—520	310—390	500	600—700	420—350	—	—	—	—	—
抗断强度	欧·厘米	300—500	1—5	—	—	—	—	—	—	—	—	—	—
拉断时电阻	—	10 ¹⁵ —10 ¹⁷	10 ¹⁶ —10 ¹⁷	—	10 ¹⁵ —10 ¹⁶	10 ¹⁶	10 ¹² —10 ¹³	10 ¹⁵	—	—	1.1—1.9·10 ¹⁸	1.2·10 ¹⁸	—
50赫时介电系数	—	—	—	—	—	—	—	—	—	—	—	—	—
当10 ⁶ 赫时介电系数	—	—	—	—	—	—	—	—	—	—	—	—	—
当50赫时tgδ	—	—	—	—	—	—	—	—	—	—	—	—	—
当10 ⁶ 赫时tgδ	—	—	—	—	—	—	—	—	—	—	—	—	—
当10 ⁶ 赫时tgδ	—	—	—	—	—	—	—	—	—	—	—	—	—
击穿电场强度	千伏/毫米	40	20—50	15	不大于50	35	25	15	25—27	—	13	—	—

粉当做填料所制成的压塑粉用来制造不要求有高绝缘的零件，如旋扭、圆盘、盖子、接扭等。用酚氨基甲醛加石英粉或云母粉当做填料所制的压塑粉可用来制造大的装置零件、电子管座、电感线圈的骨架等等。用酚甲醛树脂加石棉粉所制成的压塑粉可用来制造要求有较高耐热性的零件。用酚醛树脂加云母当做填料的压塑粉用来制造电子管底以及多甲基改脂酸树脂（一种有介电性质的有机玻璃）用来制造窥视玻璃，信号灯罩、刻度盘等。

以上是热固性塑料粉的应用。现在再讲高频塑料的特性（表4—2）。

高频塑料是用来制造没有填料的零件的，例如：聚乙烯应用于制造高频电缆，聚苯乙烯，聚二氯乙烯，硬橡胶应用于制造高频装置零件，四氟乙烯及四氟乙烯塑料应用于厘米波技术中等。

2. 层状压塑材料：

应用于无线电工业上的层状压塑料，有低胶板、布胶板、玻璃布胶板等。工业所出产的纸胶板及布胶板有板状的，管状的及圆柱形的。按照应用频率来给它们分类，它们共有13种，厚度是自0.2到50毫米，见附表4—3所列。

表4—3 纸胶板的类型

纸胶板的牌号	编号	纸胶板的用途	频段
A	1	工作于当周围环境的温度自-60到+70°C时的变压器油中；	低
Б	2	同上，但是沿着层的方向具有较高的电强度；	频
В	3	工作于周围环境的温度自-60到+70°C时的空气及变压器油中；	率
Вс	4	用做渗透材料用，工作于周围环境的温度-60至+70°C的空气中；	下
Г	5	工作于周围环境的温度自-60至+70°C时的较高温度的情况下；	
Д	6	当板座材料用，工作于周围环境的温度自-60至+70°C时的空气中	
Ав	7	当周围环境的温度自-40至+60°C时，工作于一般用途的无线电设备中；	高
Бв	8	当周围环境的温度自-60至+70°C时，工作于电话装置中；	频
Вв	9	当周围环境的温度自-60至+70°C时，工作于高频装置及电话装置中；	率
Гв	10	当周围环境的温度自-60至+70°C时，工作于高频装置中；	下
Дв	11	当周围环境的温度自-60至+70°C时，作板座材料，工作于高频装置中。	

这些纸胶板的基本特性列于表4—4中：

表4—4 紙胶板的基本特性

特 性 名 称	指 标
1. 比重	1.25—1.40
2. 抗拉断極限强度(千克/厘米 ²)	700—2000
3. 垂直于塑料層靜止弯曲的極限强度(千克/厘米 ²)	800—2500
4. 垂直压缩塑料管时的極限强度(千克/厘米 ²)	1500—2500
5. 弹性模数×10 ⁵ (千克/厘米 ²)	0.28—2.1
6. 垂直于塑料層的比冲击强度(千克/厘米 ²)	13—40
7. 布氏硬度(千克/毫米 ²)	25—40
8. 24小时內的吸水量(克/公分 ²)	0.5—0.7
9. 馬氏耐热度(°C)	150—180
10. 热容量(卡/克度)	0.3—0.4
11. 导热度×10 ⁻⁴ (卡/厘米·秒·°C)	5—8
12. 線膨脹溫度系数×10 ⁻⁶ (1°C)	1.7—2.5
13. 比容积电阻(欧厘米)	10 ¹⁰ —10 ¹³
14. 平均击穿电场强度(千伏/毫米)	12—30

布胶板类似紙胶板的材料，但它是用布做的（一般是粗白洋布或平織布）。与紙胶板比較布胶板的絕緣性能低得多，而且在潮湿大气里它的絕緣性能是急剧下降的。布胶板的厚度，一般是自0.5—50毫米。常用的布胶板如表4—5所列出的。

表4—5 电工布胶板的类型

布胶板的牌号	編号	主 要 的 用 途
A	1	当做結構与絕緣材料用，工作于当周围媒質溫度自-60至+70°C时的变压器油中。
B	2	当做結構与絕緣材料用，工作于当周围媒質溫度自-60至+70°C时的空气中。
B ₄	8	当做絕緣材料用，工作于当周围媒質溫度自-60至+70°C时的无线电设备的空气中。
Г	4	当做板座材料用，工作于当周围媒質溫度自-60至+70°C。
CT	5	当做电工玻璃板用，工作于当周围媒質溫度自-60至+125°C时的空气中。

这些布胶板的基本特性皆詳列于表4—6中。

表 4-6

数 种 层 状 酚 醛 塑 料 布 胶 板 的 特 性

指 标	塑 料		的 基 体		木胶合板
	棉 布	玻 璃 布	石 棉 布	玻 璃 布	
比重	1.3—1.4	1.6—1.84	1.6—1.3	1.6—1.48	1.02—1.48
抗拉断裂极限强度 (千克·厘米 ²)	500—1200	900—2400	650—1180	650—1180	1500—3500
弹性模数 $\times 10^3$ (千克/厘米 ²)	0.24—1.05	0.7—1.4	0.2—1.05	0.2—1.05	3
抗压强度 (千克/厘米 ²)	1400—3000	2300—3300	160—3150	160—3150	1200—3000
抗静止弯曲极限强度 (千克/厘米 ²)	800—2000	1100—2300	700—1400	700—1400	1700—3000
抗切削极限强度 (千克/厘米 ²)	880—1045	1300	590—1025	590—1025	—
比容积密度 (千克厘米 ⁻³ /厘米 ²)	20—64	32—63	15—40	15—40	30—100
布氏硬度 (千克/毫米 ²)	25—45	—	25—45	25—45	30—97
导热度 $\times 10^{-4}$ (卡/厘米·秒·°C)	120—160	170—1800	160—250	160—250	150—170
热容量 (卡/克·°C)	5—8	5—8	—	—	6—10
线膨胀温度系数 $\times 10^{-5}$ (1°C)	6.3—0.4	—	—	—	0.4—0.6
压表电阻 (欧)	3—4	—	—	—	—
比容积电阻 (欧·厘米)	10 ⁹ —10 ¹¹	10 ¹⁰ —10 ¹²	10 ⁹	10 ⁹	—
50周时介质损耗角的正切值	10 ¹² —10 ¹³	10 ¹⁰ —10 ¹³	10 ⁹	10 ⁹	10 ⁹ —10 ¹¹
10 ⁶ 赫时介值损耗角的正切值	—	0.04	0.3—0.6	0.3—0.6	0.04
当50赫时的介质系数 ϵ	0.02—0.08	0.01—0.02	—	—	0.04—0.07
当10 ⁶ 赫时的介质系数 ϵ	5—10	5.4—5.6	25	25	5—6
电气强度 (千伏/毫米) (与厚度有关)	4.5—7	3.7—5.7	—	—	7—8
吸水度 (24小时内) %	4—24	12—26	0.6—2	0.6—2	8—12
当压力为37—44千克/厘米 ² 时的摩擦系数	0.3—1.0	0.03—0.06	0.3—2	0.3—2	0.4—11
当压力为10千克/厘米 ² 时的摩擦系数	—	—	—	—	0.014—0.035
			0.5—0.7	0.5—0.7	0.06—0.09

4. 膜状材料:

膜状材料，广泛地用作为电容器的介質絕緣材料。現在我們來討論數種膜狀材料的特性：

醋酸纖維素膜：

厚度…… 0.085 ± 0.015 毫米

$\text{tg}\delta$ (当 10^6 赫时) …… 0.035

t° …… $20^{\circ} \pm 5^{\circ}\text{C}$

ϵ (当 10^6 赫时) …… $3.4 - 4.21$

击穿电场强度……62千伏/毫米

軟化温度…… 80°C

聚苯乙烯膜：

厚度…… $0.02 \pm 0.008; 0.05 \pm 0.001$ 毫米

$\text{tg}\delta$ (当 10^6 赫时) …… $5 \sim 6 \times 10^{-4}$

ϵ …… 2.75

击穿电场强度……100千伏/毫米

軟化温度…… $80^{\circ} - 90^{\circ}\text{C}$

聚乙烯膜：

厚度……自 $0.03 - 0.2$ 毫米

击穿电场强度…… $50 \sim 80$ 千伏/毫米

軟化温度…… $100 - 110^{\circ}\text{C}$

具有高的耐寒性 (-60°C)

聚四氟乙烯塑料膜：

$\text{tg}\delta$ (当 10^6 赫时) …… $2 \cdot 10^{-4}$

ϵ (当 10^6 赫时) …… $1.9 - 2.2$

击穿电场强度……100千伏/毫米

它是耐冷的最好材料。

聚乙烯苯二甲脂膜：

$\text{tg}\delta$ (当50赫时) …… $2 - 6 \cdot 10^{-3}$

ϵ (当50赫时) …… $3 - 3.4$

击穿电场强度…… $80 - 120$ 千伏/毫米

4. 鑄造树脂：

鑄造树脂由于有高的耐湿性，耐水性，密封性及在动态負荷情况下有高的可靠性，最近已开始广泛地采用。

現在我們來討論某些类型的澆篩材料。

混合物 KTMС—1，KTMС—2是以聚醚树脂为基体的（前者是硬的，后者有較高的可塑性及耐寒性）。在硬化状态下具有下列特性：

电气强度…… $21 - 29$ 千伏/毫米

比容积电阻…… $10^{14} - 10^{15}$ 欧·厘米

t_{g5} (当50赫时) 0.014—0.025
 δ 3.7—4.3
 线膨胀温度系数 $9 - 10 \cdot 10^{-5} \text{ }^{\circ}\text{C}^{-1}$

环氧树脂(硬化的)：

击穿电场强度 30千伏/毫米
 比容积电阻 $10^{13} - 10^{15}$ 欧·厘米
 t_{g6} (当 $10^6 - 10^8$ 赫时) 0.02—0.03
 δ (当 $10^6 - 10^8$ 赫时) 3.5—3.8
 环氧树脂——聚脂树脂的复合物：
 击穿电场强度 0—25千伏/毫米
 比容积电阻 10^{15} 欧·厘米
 t_{g6} 0.002—0.004

MBK—1及MBK—3型的丙稀酸盐混合物：(前者是硬的，后者是橡胶状的)(在硬化状态下)

	MBK—1	MEK—3
击穿电压:	20—25	15—18 (千伏/毫米)
比容积电阻	$10^{13} - 10^{14}$	$10^{12} - 10^{13}$ (欧·厘米)
t_{g6} :	0.05—0.07	0.04—0.06
δ :	3.1—3.5	4.5—5.2

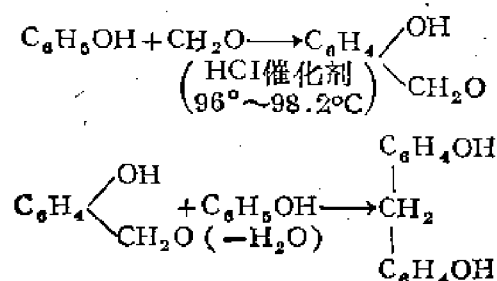
§4—3 制造塑料制品的工艺(以酚醛树脂的塑料为例)

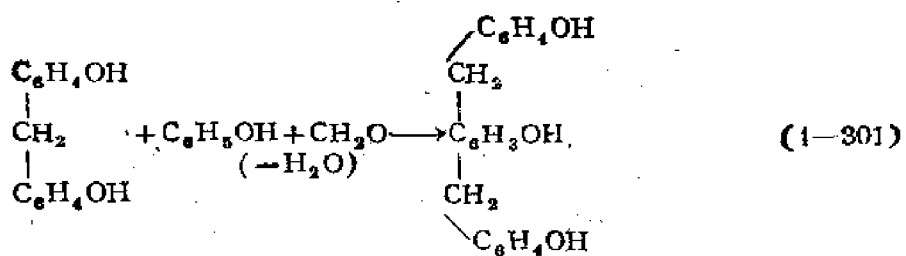
I. 原料:

已經指出，塑料零件是用压塑粉用冲压或铸造的方法来制造的，或者利用层状塑料用机械加工的方法来制造的。用塑料制造出的零件的質量，决定于压塑粉的成分，配制压塑粉的工艺，及零件的制造工艺。压塑粉由树脂、填料，硬化剂或树脂硬化加速剂、潤滑剂、染料等所配制的。压料粉的配制，是利用专门設備来加工的复杂过程。現在简单地討論一下压塑粉配制的原料及过程。

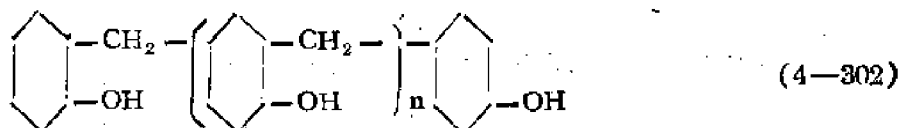
树脂：(未压塑前的酚醛树脂)

树脂是任何压塑材料的基体，它的特性基本上决定了塑料成品的特性。在制造酚醛树脂时(未压塑前)，采用苯酚及甲醛为基体，并加少量盐酸当做催化剂。在加温至 98°C 时，化变应是：



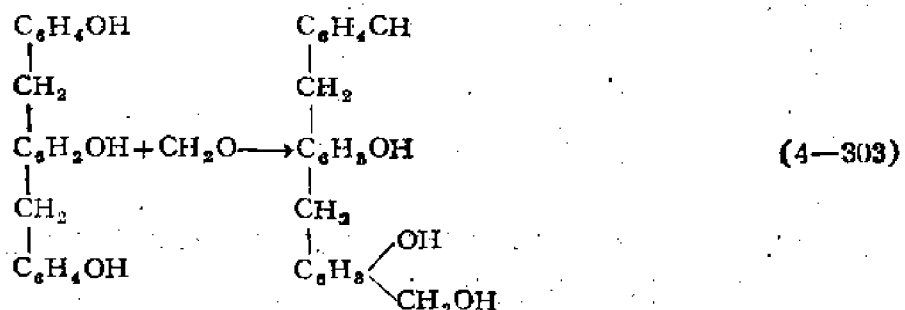


(4-301) 式內最終一步，就是綫性酚醛樹脂的基本因素，它的結構式。



(4-302) 式就表示用酚醛樹脂做成的塑料粉還沒有壓塑成塑料零件時的結構，此時的化學名稱叫做綫型酚醛樹脂，它是壓塑粉中的主要成分。

如果在綫性酚醛樹脂里加大甲醛的量，則可溶性酚醛樹脂就形成了，如：



(4-303) 式右端就是可溶性的酚醛樹脂，它所以成為可溶性的，就是因為在它的結構里存在了一個很活潑的 OH，及一個亞甲基醇 CH₂OH。

在製造樹脂時，應用酸性的或鹼性的催化劑。當應用酸性催化劑時，得到所謂綫型的酚醛樹脂，當應用鹼性催化劑時，得到所謂可溶性的酚醛樹脂。應當指出——用可溶性的酚醛樹脂作為基体制成的壓塑粉，通常具有最好的電氣絕緣性能。

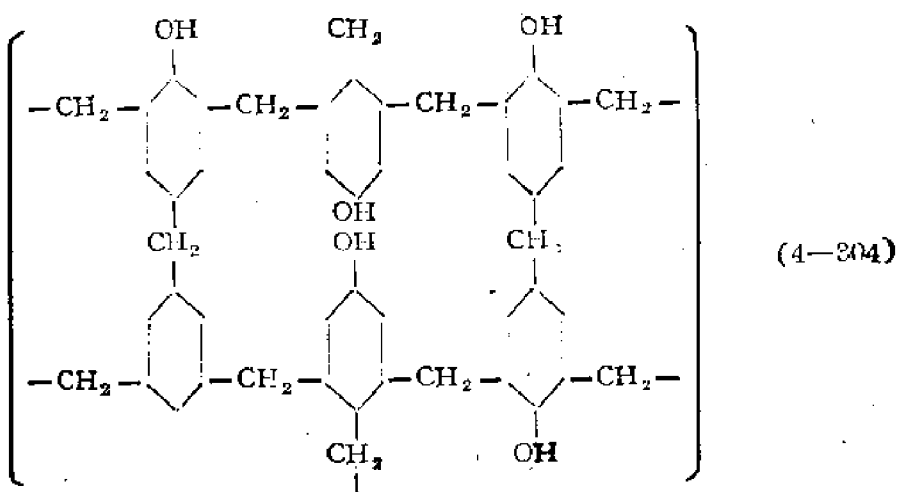
填料：

最常用木粉、短纖維石棉、云母、石英粉等作為填料。礦物填料的應用，稍微增加了塑料制品的耐濕性。

填料可以在某種程度上改變塑料的性能。

樹脂硬化的硬化劑或促進劑：

為了將綫型酚醛樹脂變成熱固性的塑料，採用硬化劑六亞甲基四胺 [(CH₂)₆N₄]，加到塑料粉里去，在壓塑塑料粉成為塑料零件時，則綫型酚醛樹脂，即變為體型的樹脂，這就使樹脂變固了，它的結構式，應如 (4-304) 式表示：



此结构式，是目前研究酚醛塑料零件得到的一个最可能的結構，它的分子量高达1270。这个結構式表示酚醛树脂做成的塑料零件里变固了。由这个結構再不能变回原綫型酚醛树脂去。

在可溶酚醛塑料中采用使热固性可溶酚醛塑胶加速硬化的专门物质，除六亚甲基四胺外，也可采用碱土金属的氧化物、氯化镁及氯化钙。

潤滑剂：

潤滑剂加入塑料粉的成分中去，是为了改善它的可塑性，并为了使被压塑的制品不附着于压模的表面。此外，大家还認為潤滑剂会减少压塑材料粒間的摩擦，即塑料粉中加入了潤滑剂后，在压縮时，可以提高材料的流动性和可塑性。混脂酸、硬脂及硬脂酸盐都可用来做为潤滑剂。

染料：

染料的应用，使压塑材料有各种不同的颜色等。对于染料所提出的基本要求，是耐热性、耐光性、转动稳定性等（转动的意义，是使染料的粒子跑到塑料制品的表面上）。在生产中应用大量有机的及無机的染料。

其他的补充料：

为了得到發光的塑料（例如：为了度盘装置）在压塑材料的成分中加入螢光粉的激励剂。

II. 線型酚醛压塑粉的生产：

線型酚醛压塑粉可以用干制法（輥轧及螺旋推进法）及湿制法（乳胶体輥制法）来配制。現在線型酚醛树脂压塑粉主要是用干制法来制造的。

我們來討論線型酚醛树脂压塑粉的制造作为例子。（表4—7）

圖4—301表示用連續輥轧法生产压塑粉的示意圖。

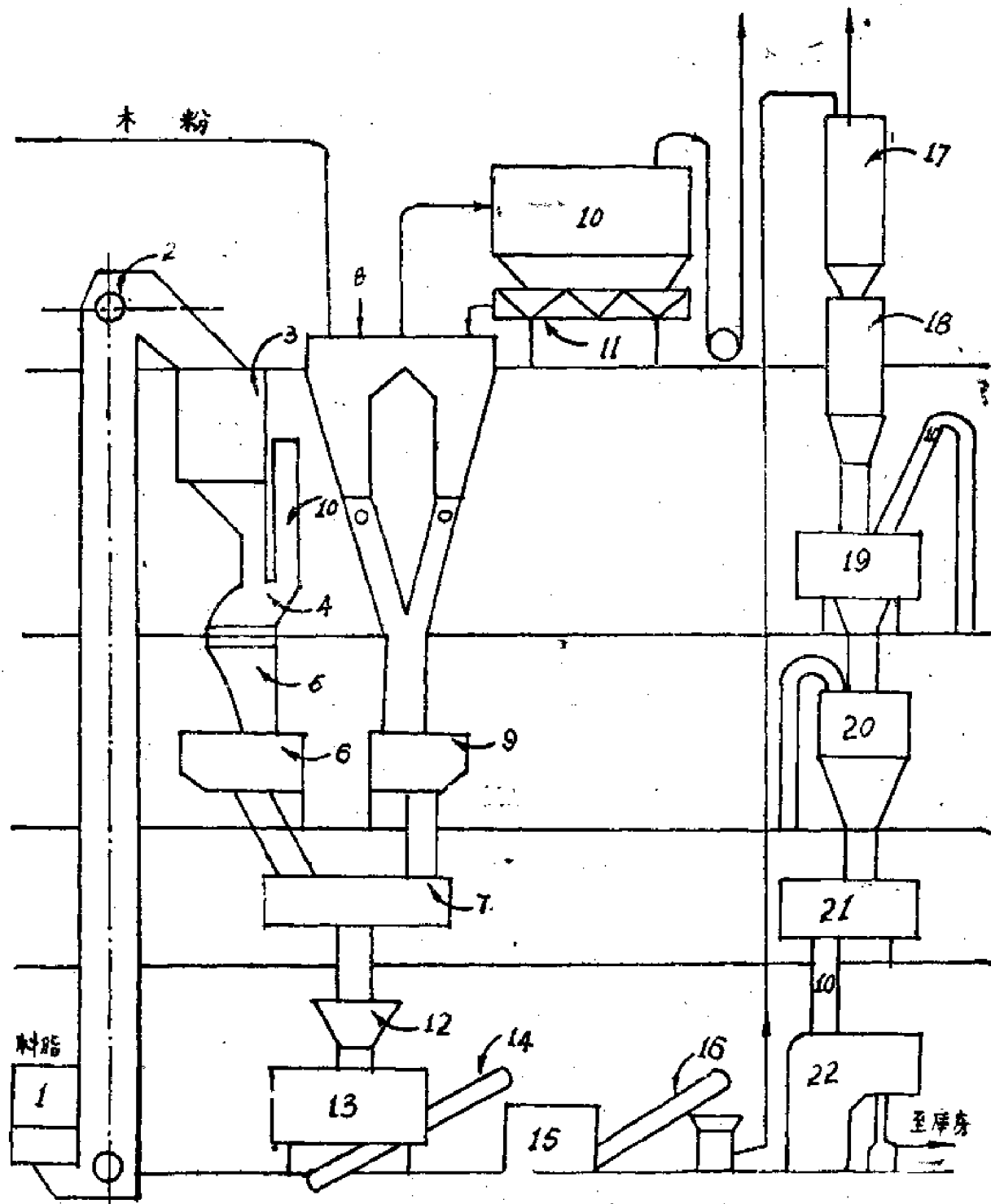


圖4—301 用連續輥軋法制生產壓製粉的示意圖

- | | |
|-------------------------|----------------|
| 1, 15. 齒牙破碎机 | 11. 螺旋推进器 |
| 2. 翻斗提升机 | 13. 輪子 |
| 3, 5, 8, 12, 18, 20. 漏斗 | 14, 16. 傳送帶 |
| 4. 冲击动作式磨碎机 | 17. 旋風分离器 |
| 6, 9. 自动天平 | 19. 篓型粉碎机型的磨碎机 |
| 7. 拌合机 | 21. 分批的拌合机 |
| 10. 袋式炉气器 | 22. 定量包装机 |

表4—7 酚醛树脂压塑粉的配方

序号	名称	重量比	用途
1	酚甲醛树脂	4.8	树脂
2	木粉	43.6	填料
3	六亚甲基四胺	6.5	硬化剂
4	普鲁士红	4.4	填料
5	基胶墨	1.1	染料
6	熟石灰或氧化镁	0.9	硬化剂
7	混脂酸或硬脂	0.7	润滑剂

图4—301 示意图的工作进行如下：

树脂在齿牙式破碎机1中预先压碎后，用翻斗提升机2送到漏斗3中，从那里自动地进入冲击动作式磨碎机4中去进行最终的磨碎。磨碎的树脂从漏斗5经过自动天平6周期地装到容量为20立方米的拌合机7。翻斗提升机及磨碎机4中的空气，经过袋式滤气器10而进入小室中，被滤气器阻拦住的树脂再倒入磨碎机中去。用气动把木粉送到漏斗3中去，自流地送到天平9中去，再周期地装到拌合机7中去。傳送木粉的空气从漏斗8经过袋式滤气器出来，而被袋式滤气器阻拦的木粉依靠螺旋推进器11再回到漏斗8中去。

磨碎的压塑粉的其他成分直接装到拌合机7中去。

在结束混合过程后，成分的混合物经过漏斗12进入到辊子13中去。

在辊子上由于温度及压力的作用，使填料和其他成分被混合的树脂所浸渍。

从辊子上切成带料的碾压过的压塑材料由傳送带14送到破碎机15中去。在傳送带14上由于空气的吹洗也使压塑材料冷却。磨碎的压塑材料用傳送带16送到管道中去，然后经过旋风分离器17及漏斗18自流地送到磨碎机19中去。压塑材料从放在磨碎机下的漏斗20中出来，倒入拌合机21中去，在这里将各批合并并标准化。最后一个操作是在定量包装机22上将压塑粉定量包装成小的包装。

III. 可溶酚醛树脂压塑粉：

可溶酚醛树脂压塑粉的生产，也可以用干制法及湿制法来实现，较常用的是干制法。生产可溶酚醛树脂压塑粉的设备和生产线型酚醛树脂压塑粉的设备相似。可溶酚醛树脂压塑粉的配方作为例子表示如附表(4—8)。

表4—8 可熔性酚醛树脂压塑粉的配方

序号	成 分 的 名 称	重 量 比
1	酚甲醛树脂	25.8 (以干的重量来计算)
2	甲酚甲醛树脂	25.8 (同 上)
3	木粉	40.8 (同 上)
4	六亚甲基四胺	1.0
5	混脂酸	1.4
6	普鲁士红	4.4
7	氨水	到甲醛完全胶合为止

IV. 层状塑料的生产:

纸胶板、布胶板和玻璃布胶板的制造工艺是相似的。因此我們只討論紙胶板的生产。

为了制造纸胶板，纸的浸渍是在水平浸渍机上进行的。水平浸渍机的示意圖示于图(4—302)中。

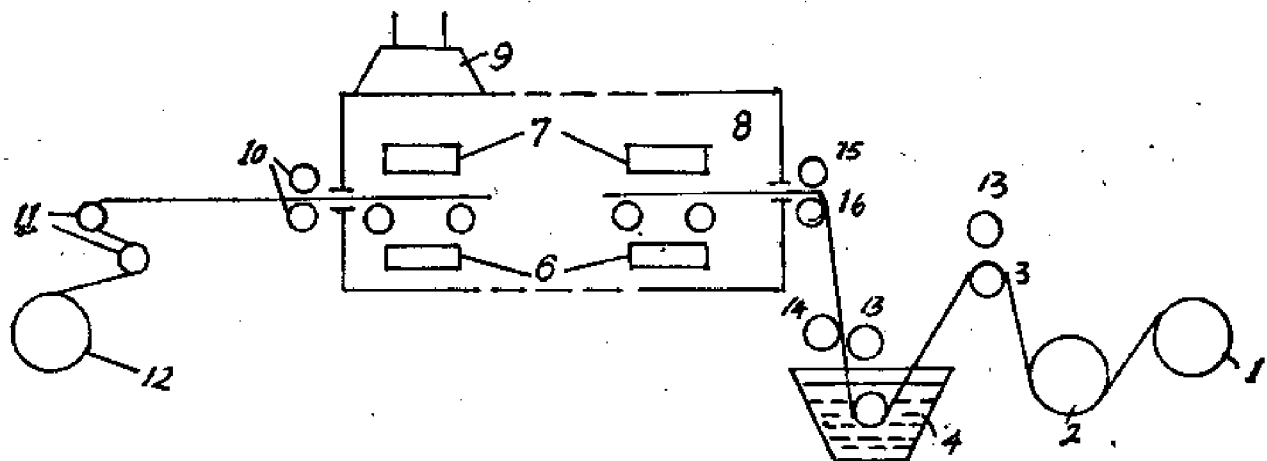


圖4—302 水平浸渍机的示意圖

- | | |
|------------|------------------|
| 1. 原始填料的辊軸 | 8. 浸渍机的烘干室 |
| 2. 烘干油 | 9. 排气罩 |
| 3. 导向軸 | 10. 主动軸 |
| 4. 浸渍槽 | 11. 調整辊 |
| 5. 浸渍槽的軸 | 12. 已浸渍过填料的紙的收集管 |
| 6. 支持軸 | 13.14. 挤压軸 |
| 7. 蒸汽螺旋管 | 15.16. 壓力軸 |

水平浸渍机的工作原理如下：

填料（对于纸胶板來說是紙）从辊軸1繞过烘干軸2及导向軸3跑到浸渍槽4中去。多余的漆被挤压軸13、14从填料上挤出来。从浸渍槽中出来，填料跑到水平的烘干室8中去，在这里被軸6所支持住。軸10是主动的，而在必要时，軸15、16和軸10同步的旋转。用蒸汽的螺旋状管7来加热烘干室。

浸渍后的紙切成塊状，叠放起来，再压制成为纸胶板。在叠放以前，为了清除剩余的揮發性物質要預先进行烘干。

纸胶板的压制，是当温度为160—165°C，压力不超过100公斤/厘米²时，在層压冲床上进行的。在冲床下的持续时间是每一毫米板厚为3—7分鐘。在冲压持续时间后，将被压制的板料冷却，冷却时，为了避免由于存在于其中的揮發性物質而产生材料的膨胀所以不除去压力。

V. 获得塑料制品的方法:

为了获得塑料制品，采用以下的基本方法：

- 1) 壓塑;
- 2) 壓鑄;
- 3) 無壓力鑄造;
- 4) 机械加工;

1. 壓塑

压制塑料制品，是利用压模和冲床（液压式的或机械的）来进行的。进行压制的办法是根据所采用的压塑粉的特性，在热的或者冷的压模中压制。这是压塑热固性塑料粉的办法。

热塑性压塑粉的制品是在冷却到温度为10—60°C以后才取出。这样就降低了劳动生产率，因此加工热塑性压塑粉时，常用压铸法进行。

2. 壓鑄:

压铸是在专门的铸造机上实现的，铸造机的示意图示于图4—303。

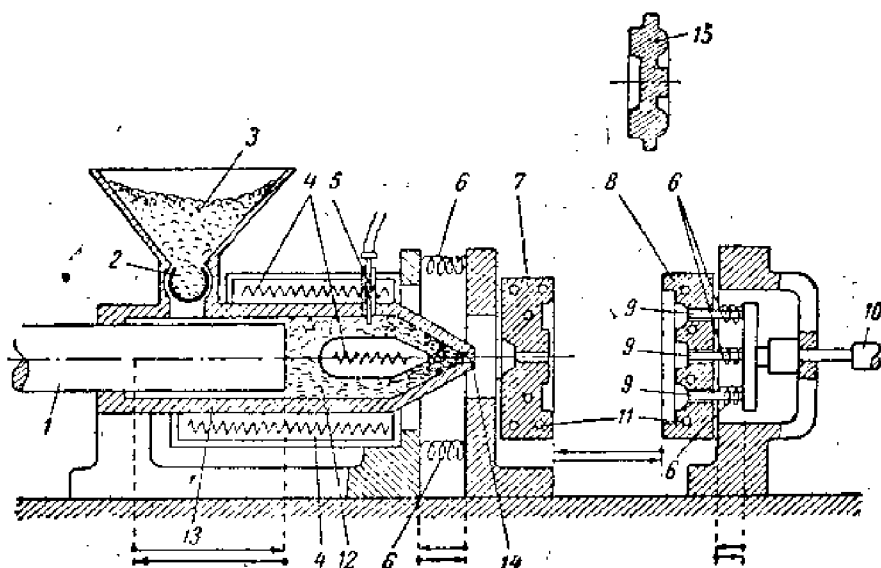


圖4——303 壓鑄法制造热塑性物質的铸造机略圖

- | | |
|-----------|------------------|
| 1. 檉杆 | 10. 支柱式推器 |
| 2. 定量裝置 | 11. 在模子內使水流動冷卻的槽 |
| 3. 盛料漏斗 | 12. 裝料室 |
| 4. 加熱器 | 13. 圓柱體空腔 |
| 5. 自動調溫器 | 14. 圓筒形折臂 |
| 6. 弹簧 | 15. 壓制零件 |
| 7. 模子的一半 | |
| 8. 模子的另一半 | |
| 9. 浇嘴 | |

机器是按下列方式来进行工作的：压塑粉倒入漏斗3中，从那里经过定量装置2送入圆柱体空腔13中。槓杆1的运动，把压塑粉送到加热器4中。为了加速材料的加热，

在圆柱体中装置有芯子，由于它把材料变成薄层，从而就加速了加热过程。

当撞杆再往后运动时，就把软化了的材料在压力作用下通过嘴子14送入冷的铸型7和8中，那里由于是低温，因而就迅速的被凝固。此后，铸型被拆开，而借助于推出器10把制品推出。

根据材料性能来决定是把铸型预热到40—60°C或者是用水冷却到15—20°C。为了冷却和预热，在铸型中装置了专门的水管，用作冷却和加热的水流过水管。

3. 无压力的铸造：

无压力的铸造，很少用来制造零件。这样的铸造法是被用来用树脂灌注组件和部件的，目的是为了密封。

4. 机械加工：

为了获得制品而进行的塑料机械加工，很少区别于金属加工，主要区别是仅改变切削工具磨锐的角度，所以对纸胶板、布胶板、玻璃布胶板和其他塑料的机械加工，可完全采用金属加工的办法来做。

§4—4 塑料零件的设计

在设计塑料零件时，必须遵循零件设计的一般原则，并且必须考虑到塑料的材料特性和塑料零件工艺制造的特点。

I. 零件的形状：

零件的形状，应该做成使零件很容易的从压模中取出。在设计零件时，还应该考虑到压模制造的复杂性，因此零件的形状应该简单。

II. 斜度：

为了保证零件能从型模中取出，外壁和内壁应该具有一定的结构斜度。对于热压，建议用下面的斜度最小值（见表4—9）。

表4—9 建议的斜度

制品的高度	不大于10	10—100	100—200	大于200
斜度	10:100	2.5:100	1:100	0.5:100

在冷压时斜度应做成(5÷10):100。

III. 壁厚：

塑料零件最小壁厚，决定于它的机械强度和塑料的流动性。

对于酚醛塑料型的热压塑料零件，不推荐采用小于1.5毫米的壁厚，在冷压时，壁厚应取4—6毫米。为了减少弯曲和其他的缺陷，应该尽可能做到相同的壁厚和务必做到平滑的过渡（参见图4—401和4—402）。

薄壁制品，可以利用加固筋来加固，这些加固筋应该被安置得与压塑的轴向平行着。

具有加固筋零件结构的例子示于图4—403。



图4—401 具有相同和不同壁厚的制品

- a) 不正确的
- b) 正确的

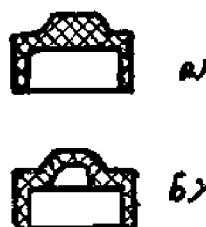


图4—402 具有相同和不相同壁厚的制品

- a) 不正确的
- b) 正确的

a6切面

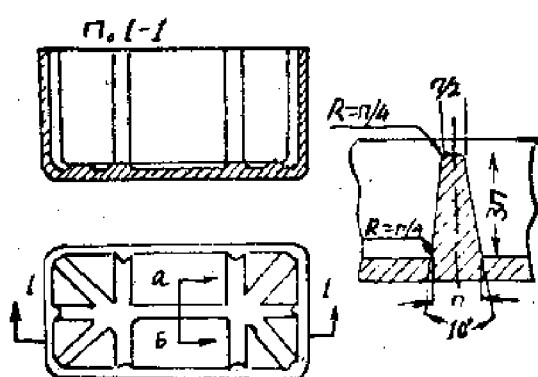


图4—403 具有加固筋的空心塑料零件的结构

在不必要有加固筋的地方，空心制品的壁推荐不做成平面的，而做成有少許凸出的弧形。

IV. 孔洞：

在設計孔洞时，应照顧到压模的强度和遵循圖(4—404)中的建議。

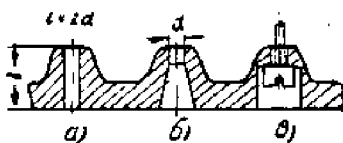


圖4—404 孔洞的结构形状

- a) 对于这种孔洞，压模心子的强度是不足的，因而心子可能损坏。
- b) 对于这种孔洞，压模心子比较坚固一些，因为压模心子的半径增大了。
- c) 这个孔大大的增强压模的强度。

对于用木粉作为填料的热压塑料，推荐最大的比例是 $\frac{H}{T} = 2.5$ (參見圖4—405)。

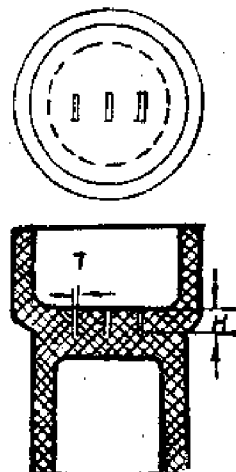


圖4—405。在塑料制品中粗而深的“死孔”

对于具有碎棉布填料的塑料 $\frac{H}{T} \leq 2$ 。

对于用压塑和铸压方法允許 $\frac{H}{T} \leq 6$ 。

为了防止孔和零件边缘之间的间隔的断裂，同样也为了防止“死孔”底的变曲，应遵循表4—10中的建議(圖4—406)。

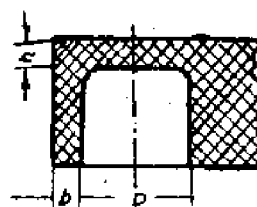


圖4—406 在塑料制品中間隔“死孔”底的厚度

表 4—10 孔洞間的厚度，孔洞与边缘间的留边厚度及死孔底厚的最小值

D (毫米)	厚度的最小值 (毫米)	
	間 隔 b	死 孔 底 h
不大于 3	1.0	1.0
3—6	1.5	2.0
6—10	2.5	2.5
10—18	3.5	3.0
18—30	4.0	4.0
30—50	5.0	5.0

对于具有螺紋的孔洞，留边的数值应增加到1.25倍。用作打孔的凸部應該向零件里移动少許（示于圖4—407）。

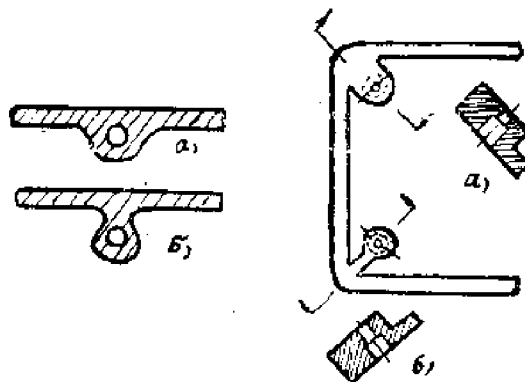


圖 4—407 安置在零件邊緣用作为打孔的凸部的形状
a) 不正确的 b) 正确的

V. 圆角半径和螺纹：

已經指出在塑料零件上具有尖角和尖锐边缘是不希望的。

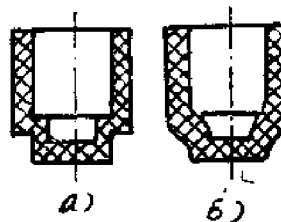


圖 4—408 具有尖角和尖锐边缘以及圆角和圆滑边缘的制品
a) 不正确的 b) 正确的

对于热压塑料，推荐采用的最小圆角半径是0.8毫米，在冷压时是2—3毫米。也不允许采用要求凸模有尖锐边缘形状的零件结构（圖4—409）。

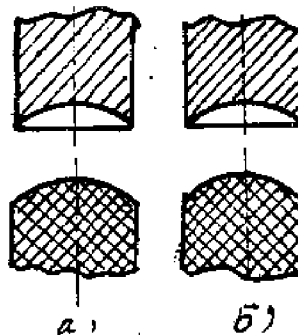


圖4—409 具有凸起的制品
a) 不正确的, b) 正确的,

在设计有螺纹的制品时，应该周密考虑到螺丝能自由的旋入和旋出，在此情况下，螺纹应该只采用大的。

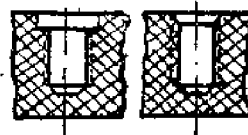


圖4—410 螺纹孔洞入口部分的正确形状

在细螺纹的情况下，以及如果按照使用条件的需要常常进行旋进旋出的情况，建议采用嵌入金属螺纹。

VI. 滚纹和刻槽：

压塑时在塑料零件上很容易获得滚纹。纹齿形应该做成半圆形的断面，安置得与压塑的中心轴向平行（圖4—411和圖4—412）。

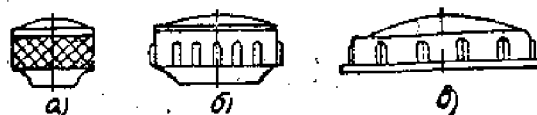


圖4—411 塑料零件的滚纹及刻槽的形式
a) 不正确的 b) 正确的 c) 正确的

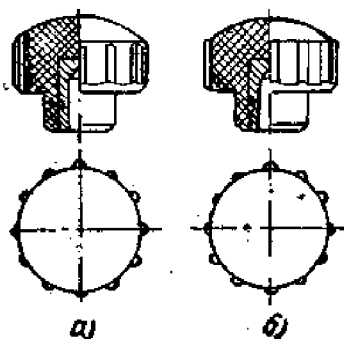


圖4—412 塑料零件上的刻槽形式
a) 正确的 b) 不正确的

VII. 塑料零件的加固（如塑料件內加放金屬嵌件等）：

为了塑料零件的加固，应采用以下措施：

- 当塑料部件与其他零件或部件必须有牢靠的螺纹件連結时，要应用螺紋衬套或者是用带有螺紋部分的心杆来加固塑料（圖4—413）。

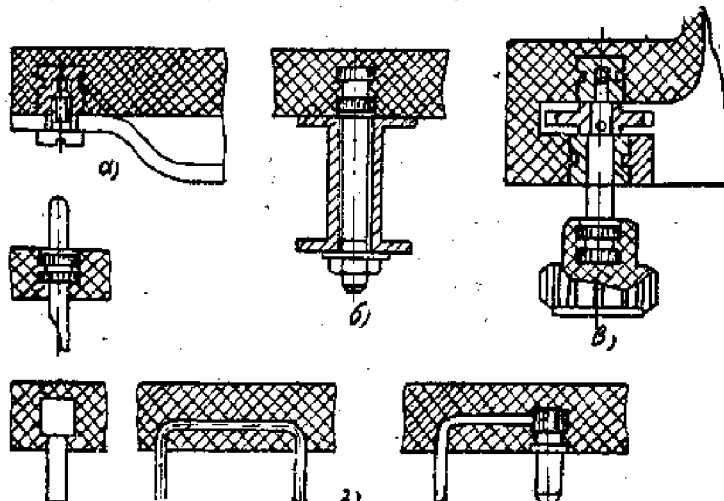


圖5——413 加固的塑料零件

- a) 用螺紋衬套来加固的， b) 用具有轴承功用的零件来加固的，
- c) 用心杆和螺紋加固的， d) 用导线的嵌件來加固的。

- 如果按结构考虑，在塑料中要求装置轴承或者轴。

- 如果在塑料中要求装上电气接点。

用作提高机械强度而在塑料零件里加金属嵌件，只是在特别情况下才能允许这样做，因为塑料和金属具有不同的温度膨胀系数（参见表4—11），当存在有温度的变化

表4—11 各种材料的线膨胀温度系数 $10^{-5}/^{\circ}\text{C}$ (0°和100°C之間)

材 料	系 数 数 值
具有石棉或者玻璃纖維的酚醛塑料	1—3
具有木粉的酚醛塑料	3—5
聚苯乙烯	7—10
醋酸纖維素	10—16
乙焼纖維素	10—14
銅	1.65
黃銅	1.84
鉛	2.38
銻	1.2
銀	1.97
玻璃	0.85—1.07
陶瓷	0.1—0.4

而使材料变化时，将会导致零件产生断裂和裂纹。

为了改善被加固过的塑料，必须：

1. 使嵌件的截面小于壁的截面。
2. 嵌件应该放置得离开制品的边缘和表面远一些。

为了把嵌件紧固在塑料中，嵌件的表面应做有小槽或滚花（图4—414）与（图4—415）。

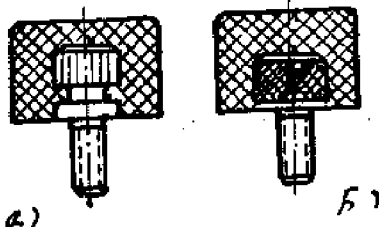


图4—414 与滚纹配合的槽(a)及嵌件的斜方纹(b)

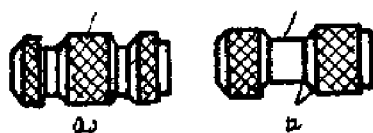


图4—415 具有小槽的金属嵌件
a) 不正确的 b) 正确的

建议用下面的小槽的尺寸比值以及它们在被压入部分中的位置（图4—416）。

$$d_1 = 0.8D$$

$$d = 0.75D$$

a $\geq 0.25D$ (但不小于1毫米)

b $\geq 0.25D$ (但不小于1毫米)

c $\geq 0.25D$ (但不小于1.5毫米)

其中 D 是嵌件被压部分的最大直径（在滚纹前）。

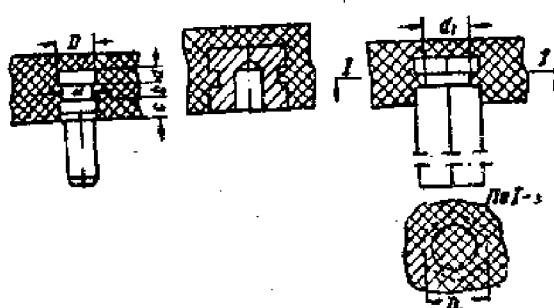


图4—416 塑料零件的加固部分的尺寸

在杆状的长的嵌件的情况下，不应该沿着嵌件的长度上做有几个小槽，因为这样会由于塑料和金属有不同的热膨胀系数而导致在塑料中有相当大的应力。这时滚花做成直

織的（圖4—417）。



圖4——417 杆狀嵌件的正確結構

被推荐的沒有小槽的金屬嵌件的結構，示于圖4—418中，嵌件高度对直徑的比例不應該取得大于4。

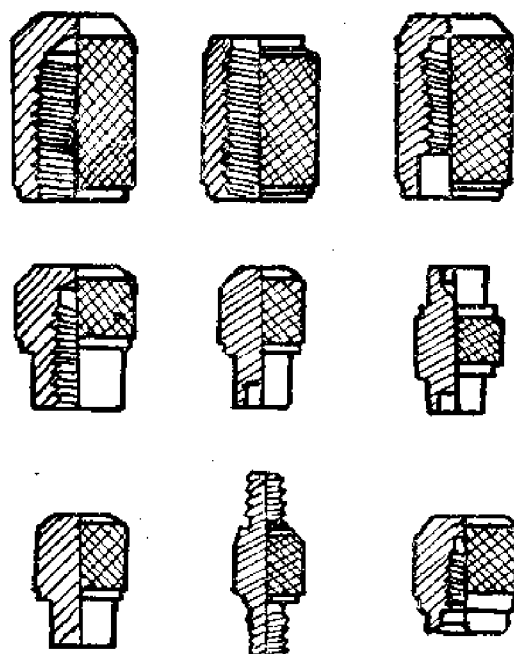


圖4——418 金屬嵌件的結構

由于有引起应力的危險性，應該避免用大的薄板形嵌件，而且還應該把嵌件安置得和表面之一齊平（圖4—419和圖4—420）。

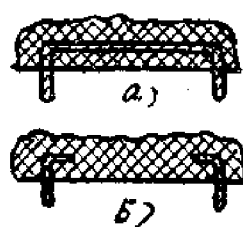


圖4——419 在塑料中的薄板形嵌件

a) 不正确的 b) 正确的

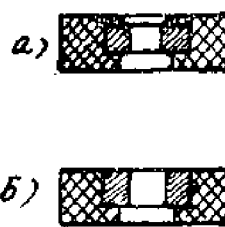


圖4——420 靠近制品表面的嵌件

a) 不正确的 b) 正确的

根据制品机械强度来考虑，被安置在凸起部分或轮毂中嵌件的高度应该大于凸起部的高度（图4—421）。对于螺纹嵌件压入部分，应具有比螺钉大的直径（图4—422）而对凸起部分的长度，为避免歪斜应该不小于2—3倍螺钉的直径。



图4—421 在凸起部中的嵌件

a) 不正确的 b) 正确的

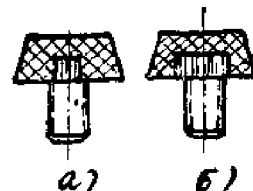


图4—422 螺纹的嵌件

a) 不正确的 b) 正确的

不应采用安置得与压塑中心轴有角度的嵌件（图4—423），在这些情况下，必须进行鑽孔并在必要的情况下进行攻螺纹或者采用专门的自动攻螺纹的螺钉。



图4—423. 与压塑中心轴有角度的螺纹孔

a) 不正确的 b) 正确的

在塑料零件与其他零件相联接时，结合的衔接处，不应该做在塑料上而应该做在嵌件的端面上（图4—424）。

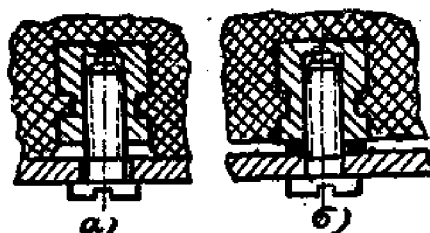


图4—424 塑料零件和其他零件的结合

a) 在紧固时，螺纹套管将被拔去

b) 衔接处不在塑料上，而在套管端面上（为防止拔出套管用的）

鋁片嵌件为能紧固地与塑料件接合，焊片嵌件上应做有孔洞，切口或折弯（圖4—425）。在金屬焊片的厚度小于0.5毫米时，建議不采用孔洞而用切口，在塑料件壁厚小时，则用折弯。

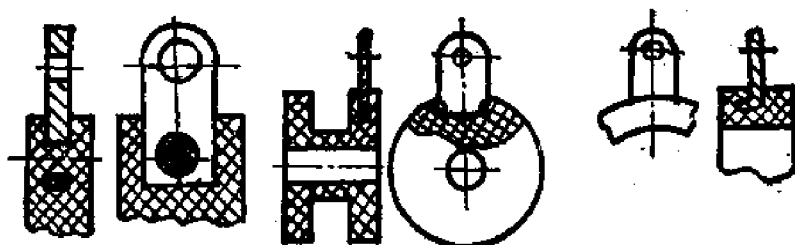


圖4—425 在塑料中鋁片嵌件的緊固

在嵌金屬嵌件处，塑料層厚度的最小数值列举在表4—12中。

表4—12 壓入金屬嵌件处的塑料層厚度的最小数值(尺寸用毫米)

D	b	c
不大于 4	0.8	1.5
4—8	1.5	2.0
8—12	2.0	3.0
12—16	2.5	4.0
16—25	3.0	5.0

在非圆形嵌件的情况下，塑料最小允许的厚度应该增加。

在大的金属嵌件压入到塑料中时，有时预先在嵌件上涂复薄的一层耐热橡胶，它可以补偿热膨胀系数的差值，采用橡胶和“格里夫搭”漆涂复嵌件，也是为了获得嵌件与塑料件间的密封。

III. 塑料零件制造的准确度：

已压塑好的制品的尺寸，照例总是小于压模腹腔工作部分的相应尺寸，这是由于塑料在凝固和冷却过程中具有收缩的性能。收缩的大小决定于采用的压塑材料（它的线膨胀系数，及湿度等），压塑状态和制品的壁厚。

因此为了降低收缩，建议进行压塑粉预先烘干。制品在压模中进行冷却。

压塑制品尺寸的准确度，对于小型制品是在四级范围内，而对于大型制品是七级。

在表4—13中列举了对于热压制品公差的大约数值，而在图4—426上是对于获得

压模成形部分的标称尺寸的制品和标称尺寸的加工余量。

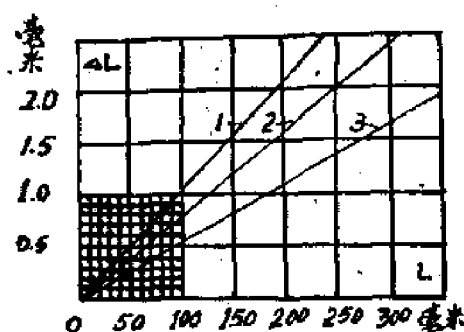
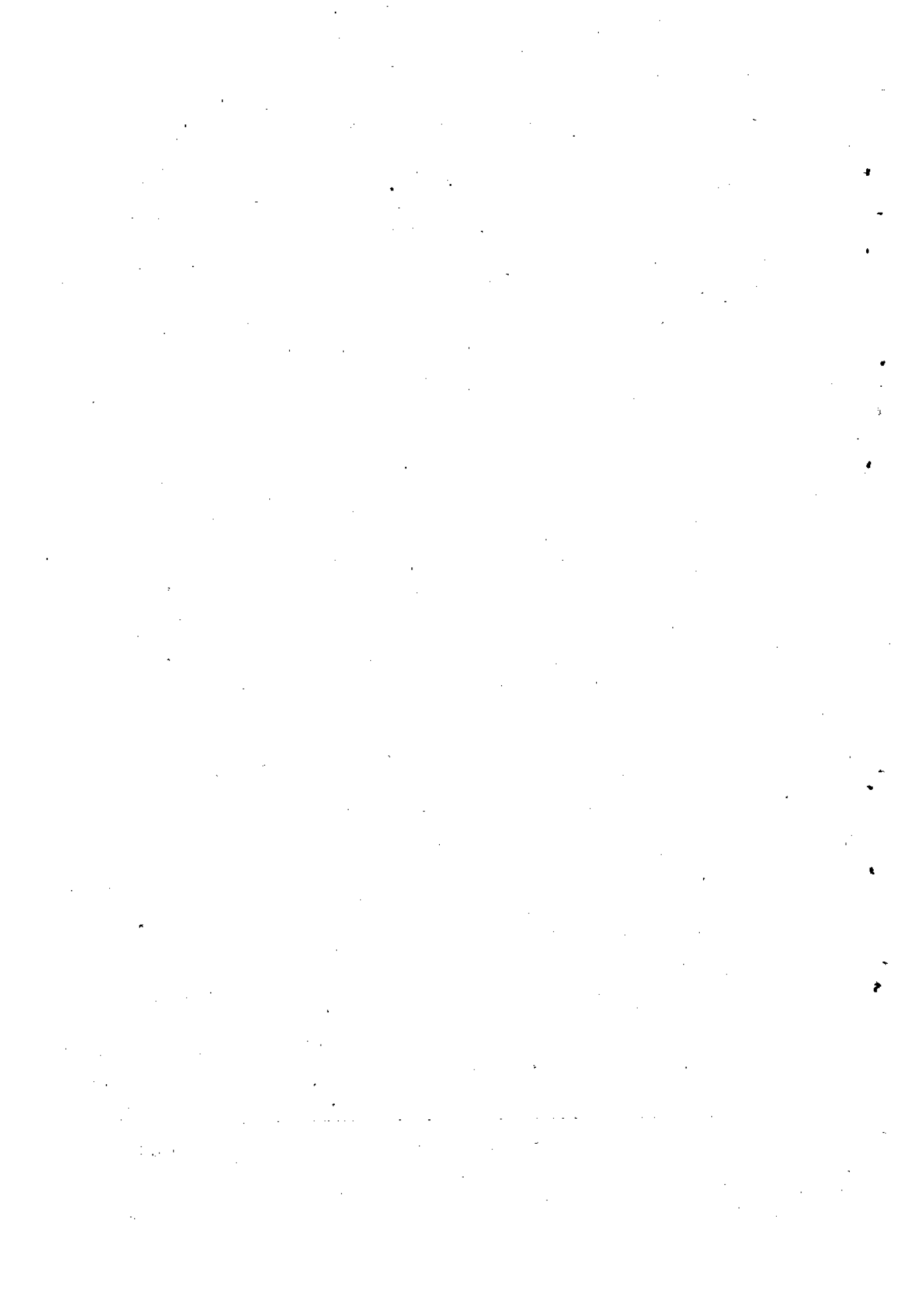


图4—426 压塑制品标称尺寸的加余量决定于压模成形部分相应的标称尺寸 [对于具有0.6—1%收缩率的压塑料]

1.压模型心 2.中心間的距离 3.压模凹孔

表4—13 对于具有0.6—1%收缩率的压塑另件的包围（孔洞）
和被包围（轴）部分的公差（可溶酚醛树脂的和线性
酚醛树脂的压塑粉）

包围和被包围部 分的标称尺寸 (毫米)	极限偏差 (微米)			
	孔洞的偏差		轴的偏差	
	下面的	上面的	下面的	上面的
从 1到3	0	+60	0	-60
3—6	0	+80	0	-80
6—10	0	+100	0	-100
10—18	0	+120	0	-120
18—30	0	+170	0	-170
30—40	0	+230	0	-230
40—50	0	+280	0	-280
50—65	0	+340	0	-340
65—80	0	+400	0	-400
80—100	0	+460	0	-460
100—120	0	+530	0	-530
120—150	0	+600	0	-600
150—180	0	+780	0	-780
180—220	0	+940	0	-940
220—260	0	+1100	0	-1100
260—310	0	+1300	0	-1300
310—360	0	+1500	0	-1500



第五章

陶瓷零件

§5—1 概述

如果要提高無線電設備的使用要求，就需研究一些新型的絕緣材料來滿足這要求，陶瓷就是這些新型絕緣材料中很好的一種。陶瓷材料是在燒結各種金屬氧化物的過程中得到的，它具有一些塑料零件材料所沒有的優越性能。

陶瓷的基本特性如下：

1. 能耐溫度、濕度及各種化學活性物質的作用；
2. 高的機械強度；
3. 小的線性膨脹溫度系數；
4. 有很大範圍的電氣特性；
5. 老化慢並沒有剩餘變形。

由於陶瓷有這樣的優越特性，而且陶瓷零件的製造比較簡單，這就使得陶瓷廣泛地應用在無線電設備中。

由於陶瓷零件的多樣性和各種類型陶瓷的多樣性，為了分析及使用它們方便，這就有必要把陶瓷材料分成類和級。一般是按陶瓷介電常數的大小和應用範圍把它們分成三大類八個級，又在每級里按照類似的電性能及機械性能分成若干組。這樣區分法就使我們能夠很方便的來選擇和應用這些陶瓷材料。各種無線電用陶瓷的類和級，如表 5—1 所列。

§5—2 製造陶瓷零件所應用的材料

按照使用的方式，陶瓷零件可以人为地分成兩類：

1. 電容器陶瓷—用來製造陶瓷電容器。
2. 裝置用陶瓷—用來製造裝置零件、各種型式的絕緣子、底座和骨架等。

現在我們只限於討論裝置用陶瓷。裝置用陶瓷也可分為裝置用陶瓷、真空陶瓷及耐熱陶瓷等。真空陶瓷是用來製造電子管電極的固定零件，而耐熱陶瓷是用來製造變阻器，電加熱儀器的底座等。

真空陶瓷和耐熱陶瓷合稱為多孔陶瓷。其所以這樣命名，是由於在這種材料的結構中有 15% 的體積是孔穴。

裝置用陶瓷，應該具有小的損耗 ($\tan \delta$) 及小的介質常數 (ϵ)，否則，陶瓷零件將引入很大的損耗，並大大地增加了起始電容量。裝置用陶瓷的特性列於表 5—2 中：

表 5—1

无 线 电 陶 瓷 材 料

材料的类、级	介質常数(当温度 $+20 \pm 5^{\circ}\text{C}$ 时)	介質损耗的正切值, 不大于		比容积电强度, 当温度为 $+100 \pm 5^{\circ}\text{C}$ 时不小千(千伏/厘米)于(伏/毫米) ²	电强度不小于弯曲时的强度(千伏/厘米 ²)	线性膨胀系数 不大于	推荐的应用范围
		当 温 度 为 $0.5 + 0.2 +$	在 潮 湿 后 $0.5 + 0.2 +$				
1. 介質常数大于12的高频材料							
I	a 130—190	—(1300±200) 10^{-6}	1.000	0.0008 0.0010 0.0008	10 ¹¹	6	800 12. 10^{-6}
	6 65—100	—(700±100) 10^{-6}	0.0006 0.0008 0.00	2 0.0008 0.0010 0.0008	10 ¹¹	6	800 8. 10^{-6}
II	a 31—50	—(80±30) 10^{-6}	0.0006 0.0008 0.0008	0.0010 0.0012 0.0008	10 ¹¹	8	700 8. 10^{-6}
	6 17—30	—(50±20) 10^{-6}	0.0006 0.0008 0.0008	0.0012 0.0014 0.0008	10 ¹¹	8	700 8. 10^{-6}
III	— 12—30	—(30±20) 10^{-6}	0.0006 0.0008 0.0008	0.0012 0.0014 0.0008	10 ¹¹	8	700 8. 10^{-6}
	a 不大于 7.5	+(110±30) 10^{-6}	0.0010 0.0012	不 规 定	0.00 2 10 ¹²	20	1400 6. 10^{-6}
IV	6 不大于 8		0.0020 0.0030		0.0022 10 ¹²	20	1400 8. 10^{-6}
	a 不大于 7.5	+(60±20) 10^{-6}	0.0006 0.0008	0.0008 10 ¹²	20	800 3. 10^{-6}	大的装置另件
V	— 不大于 9	+(110±30) 10^{-6}	0.0012 0.0018	0.0015 0 ¹²	20	2000	6. 10^{-6} 小型和中型的高机械强度和高耐热性的另件
2. 介質常数小于8的高频材料							

VI	一	不小于 7.5	不规定标准				0.0012	*不规定 标准	10 ¹²	不规定 标准	600	6.10 ⁻⁶	用于电容器 内的绝缘子
VI	—	+ (200±100) 10 ⁻⁶	0.0050	0.0070	不规定 标准	0.0080	不规定 标准	10 ¹¹	18	600	6.10 ⁻⁶	不决定设备需 求的装置另件	
III. 介質常 數大于 1000的 低頻材 料	a	不小于 2800	不規定 標準	0.04	0.05	不規 定 標準	0.07	10 ¹⁰	2	500	12.10 ⁻⁶	低頻和直流通電 器	
VIII	6	不大于 2000	不規定 標準	0.04	0.05	不規 定 標準	0.10	10 ¹⁰	3	500	12.10 ⁻⁶	壓電交換器及低 頻電容器	
	b	不小于 1000	*	*	*	0.005	0.005	0.007	10 ¹¹	6	500	12.10	低頻和直流通電 器

* 应在温度+300±10°C时进行测量。

** -60°至100°C范围内的介質常數比之于在+20±5°C时的介質常數的变化不大于±35%。

注 1. 当Ⅲ級6組材料用作制造变換器时，测量压电系数 d_{31} ，其数值应不小于 $1.5 \cdot 10^{-6}$ (CGS制)。

2. Ⅳ和Ⅴ級的材料可以用来制造电容器，这时其介質常數上限受限制，而静止弯曲强度極限应不小于800千克/厘米²。

3. 第一类材料的 $\tan \delta$ 值不应当当温度为+80°C时来检验。

表 5-2

裝置用陶瓷的特性

陶 瓷 性 性	单石陶瓷 (CL-4)	单石陶瓷 (C-55)	尖晶石陶瓷 (III-15)	刚玉与多铝 红柱石陶瓷 (KM-1)	超高温率 (YΦ-50)	多孔陶瓷 (YΦ-50-T)	超高温率 (YΦ-53)	超高温率 (YΦ-46)	超高温率 (电工瓷料)
在频率为0.5~5兆赫时的介电常数(ϵ)	6.5~7.0	6~7	7~7.5	7.1~7.4	8~8.5	6.5~7.0	8~8.5	7.8~8	6.5~6
当温度为20°C及频率为1兆赫时正切值(tgδ)	0.03 -0.0005	3~3.10 ⁻⁴	0.0005 -0.0008	0.0013 -0.0018	0.0043 -0.0006	(30) [°] C As1光波 0.0005 -0.0005	0.0003 -0.0005	0.0006 -0.0012	0.0087 -0.01
当温度为+80°C及频率为1兆赫时正切值(tgδ)	0.0005 -0.0006	6~7.10	0.0003 -0.0009	0.002 -0.0024	0.0074 -0.0008	-	0.0004 -0.0006	0.0012 -0.0015	0.02 -0.03
在30~80°C范围内频率为6兆赫时，介电常数随温度系数	+ (110~120) × 10 ⁻⁶	+ (100~110) × 0 ⁻⁶	+ (110 ± 30) × 10 ⁻⁶	+ (110~150) × 10 ⁻⁶	+ (110 ± 30) × 10 ⁻⁶	+ (110~150) × 10 ⁻⁶	+ (110~135) × 10 ⁻⁶	+ (110~130) × 10 ⁻⁶	+ 550 × 10 ⁻⁶
当温度为+10°C时的比容积电阻(欧·厘米)	10 ¹² ~10 ¹³	(1~4) × 10 ¹³	10 ¹²	10 ¹³ ~10 ¹⁴	(1~5) × 10 ¹³	t + 300	(3~9) × 10 ¹³	10 ¹² ~10 ¹⁴	10 ¹¹
抗弯强度(千克/厘米 ²)	1400~1800	1600~2700	1400~1800	1800~2200	2600~3200	750~1000	2600~3200	2500~2800	400~700
击穿电压(千伏/毫米)	25~29	—	—	720	30~35	15~20	—	25~30	10~20

电工瓷料，或者称为絕緣瓷料，具有不高的电气絕緣特性，而且随着温度的上升 t_{ga} 迅速地增加。电工瓷料用来制造工作于低頻範圍內的絕緣子。电工瓷料的制品可以作成任何尺寸的制品。

YΦ—46是超高頻瓷，广泛地用来制造大尺寸的装置零件及高頻电容器。

YΦ—50是超高頻瓷，用来制造高頻电容器及装置零件（用强挤及压制法）。

YΦ—53是具有高的机械强度的超高頻瓷，用来制造夢制零件及高頻电容器（用强挤及压制法）。

KM—1是剛玉与多鋁紅柱石陶瓷，用来制造大尺寸的夢制零件及高压低頻电容器。

山—15是尖晶石陶瓷，具有高可塑性的物質，用来制造装置零件及高頻电容器。

CU—4是皂石陶瓷，用来制造高质量的装置零件及高頻电容器（用强挤、压制、冲压及热压鑄的方法）。

C—55是皂石陶瓷，用来制造装置零件用强挤、压制、冲压的方法）。

YΦ—50—T是多孔陶瓷，用来制造电子管內的絕緣子。多孔陶瓷，分为真空的及耐热的两种。氧化鋁陶瓷和無線电皂石陶瓷，同样是真空陶瓷的例子，它們是和有机胶合剂一起压制而成的，胶合剂在以后焙燒时燒掉。

耐热陶瓷，有熟耐火粘土的和董青石的。

熟耐火粘土陶瓷，是在 1300°C 下焙燒过的粘土和未焙燒过未加工的粘土的混合料。

董青石陶瓷是由董青石 ($2\text{MgO} \cdot 2\text{Al}_2\text{O}_3 \cdot 5\text{SiO}_2$) 和长石制成的。

多孔陶瓷的特性列于表 5—3 内。

表 5—3 多 孔 陶 瓷 的 特 性

特 性	測量单位	真 空 陶 瓷		耐 热 陶 瓷	
		氧化鋁的	無線电皂石的	董青石的	熟耐火粘土的
密 度	克/分米 ³	2.5	2	2.1—2.2	1.9—2
吸 水 度	%	10—15	10—15	不大于2	10—13
导 热 度	瓦特/分米度	0.08	0.015	0.02	0.01
溫度膨脹系数	度 ⁻¹	$5.5 \cdot 10^{-6}$	$8 \cdot 10^{-6}$	$1.6 \cdot 10^{-6}$	$6 \cdot 10^{-6}$
弯 曲 强 度	千克/分米 ²	700	450	750	850
介 質 常 数	—	5—6	4—5	—	—
在高频时的 損能角：					
20°C时	分	2—5	2—4	—	—
300°C时	分	5—6	4—5	—	—

比容积电阻					
60°C时	欧·厘米	—	—	10^{12}	10^{11}
300°C时	欧·厘米	10^8	10^9	10^8	$5 \cdot 10^4$

*根据 Н. Н. Богословский 的数据

§5—3 制造陶瓷制品的工艺

陶瓷的性能，决定于陶瓷结构里的三个相的情况，这三个相是结晶相、玻璃相及气相。

陶瓷里的结晶相是陶瓷结构內的结晶部分，这结晶结构愈整齐、愈均匀，愈紧密則陶瓷的性能愈好。陶瓷的性能，如介質損耗、介質常数、温度膨胀系数、机械强度等，都与结晶相的特点有关。

陶瓷的玻璃相，是陶瓷內結晶間的玻璃質材料，它的功用是把結晶体胶合在一起，以做成陶瓷。陶瓷的燒結温度、可塑性的程度均决定于玻璃相的数量。

气相在陶瓷里的存在，会使陶瓷的电气性能及机械性能降低，气相是陶瓷结构內閉口气孔中的气体。由于气体杂质的游离，在較高的場強內会引起介質損耗。在陶瓷內是否会出现气相，与材料的加工方法有关。

三个相的情况，决定于材料的成分、材料的制造工艺及焙燒陶瓷的温度状态等三个因素，但这三个因素是受陶瓷制造平衡規則所約束的，如果三个因素不超越平衡規則的範圍，陶瓷是定能焙燒成功的，在这範圍內，三个相仍然存在，但三个相的內容变化了。

陶瓷零件的制造工艺过程，可以分成下列的基本操作：

1. 原材料的准备；
2. 塑性陶瓷材料的配制；
3. 塑性陶瓷材料制品的成形；
4. 初燒（按照需要）；
5. 制品的上釉（按需要用高火釉）；
6. 制品的焙燒；
7. 上釉及焙燒（按需要用低火釉）；
8. 制品的磨光。

我們現在簡單的來討論所列举的过程及生产时所必要的设备。

1. 原材料的准备：

配制陶瓷材料所有原材料，为了得到国家标准所决定的性能，都要根据平衡規則（注1）配料并遵守工艺規范进行加工。准备陶瓷材料所必需的原材料可以分成三組：塊狀的或粘土質的，石砾狀的及粒狀的。

注1. 陶瓷制造的平衡規則即燒結陶瓷所用的平衡圖規則，參閱矽酸盐工艺学即知。

配制上列每一組的原材料的工艺，可以列成下列形式：

塊狀的或粘土質的材料（粘土、混凝土塊、高岭土）：

- 1) 用手工进行机械杂质及泥渣的清除；
- 2) 在粘土切割机上压碎；
- 3) 用手工进行杂质的清除（石、铁等）；
- 4) 晾干到湿度为 3 %；
- 5) 在球磨机上磨碎到在10000孔/厘米²篩子上剩 6 % 到 5 % 的剩余物为止。

第5)个操作，在用干法配制陶瓷材料时才进行。

石状材料（石英、长石、结晶花岗岩滑石、大理石、菱苦土、萤石等）：

- 1) 在颚式破碎机上压碎；
- 2) 在洗涤圆筒中清洗；
- 3) 选除外来杂质（手工进行）；
- 4) 在碾碎机上磨碎；
- 5) 在06号、09号篩子（相应于：直径为0.25毫米的导线做成的孔，在1厘米²上有139个网孔；直径为0.35毫米导线做成的孔，在1厘米²上有64个网孔）上筛选。

6) 磁选。

为了配制某些陶瓷材料，须要用焙烧过的石状材料时，在第4操作后即进行磁选，然后焙烧到温度1300—1400°C。在焙烧后再进行压碎、磨碎及在06、09号篩子上筛选。

粒状材料（二氧化钛，二氧化锆，铅丹、石英砂等。）：

- 1) 按照需要，筛选出外来杂质；
- 2) 在06、09号篩子上筛选。

某些材料也要进行焙烧，在焙烧后，将烧结好的材料在颚式破碎机上压碎，然后在碾碎机上碾碎，再经过06、09号篩子进行筛选。

准备原材料的设备：

- 1) 颚式破碎机。

颚式破碎机的作用原理示于图 5—301。其中：

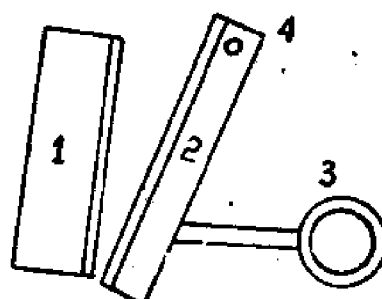


图 5—301 颚式破碎机的运动系统圖

1 — 不动颚板；

2 — 可动颚板；

3—偏心机构，它使可动颚板运动，当偏心机构运动时，可动颚板向左运动，并围绕铰链4作旋转运动，此时颚板间的材料即被压碎。当偏心轮繼續运动时，可动颚板向右退开，破碎的材料则被倒出，而位于破碎机间隙上部的材料下降，在颚板下一次的摆动时被压碎。

2) 碾碎机：

碾碎机的工作原理示于圖 5—302。其中：

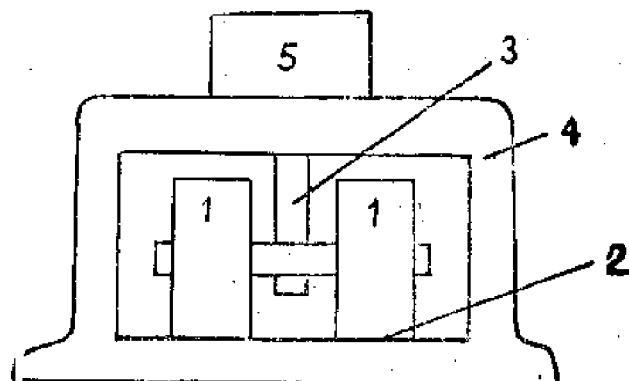


圖 5—302 碾碎机示意圖

1—滚子；

2—底；

3—軸；

4—机架；

5—傳動裝置。

材料在碾碎机中磨碎，是依靠滚子的重量来实现的。

在某些结构中，底是旋转的，滚子只环绕自己的轴旋转，而本身并不移动。

3) 球磨机：

球磨机的装置示于圖 5—303。其中：

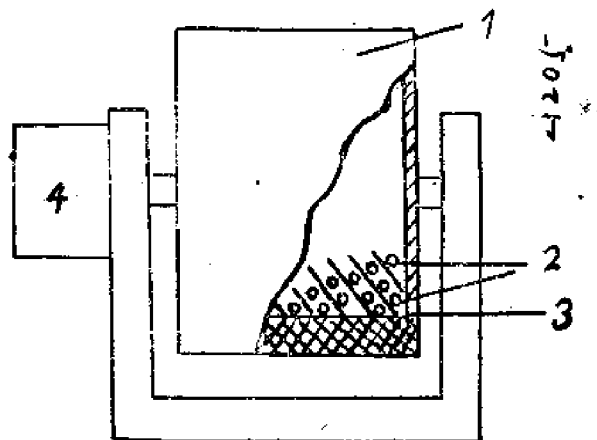


圖 5—303 球磨机示意圖

1 一圓筒；

2 一球；

3 一材料；

4 一傳動裝置。

球磨机尺寸的大小，要看陶瓷材料研磨量的多少而定，假設材料的研磨量是W，球磨机内球体的重量是G，其間最有效的关系，是：

$$W = (0.7 - 1.0)G \quad (5-301)$$

这样，当W为已知时，球体重量即可計算出。G的系数，是按球磨机的大小来决定的，应用的球磨机愈大，比值愈大，但最大不能超过1.0，最小不能低于0.7。

同时，球体在球磨罐內的装载量也是有严格規定的，这用填充系数(Φ)来表示这个关系。

$$\Phi = \text{填充系数} = \frac{F_1}{F} = \frac{\frac{1}{4} \pi D^2}{\frac{1}{4}} = 0.4 \quad (5-302)$$

式內 F_1 表示球体在球罐內所占的断面积，F是球磨罐以D为直徑的全断面积。此两值之比是0.4，这样球体在球磨罐旋转时才有可能由上向下跌落以击打陶瓷材料，而不会在球磨罐內隨罐的旋转而在星邊滾滑。

球体直徑(d)与球磨罐直徑(D)，为了材料研磨效率高，也有一定的关系。

$$d = (\frac{1}{24} - \frac{1}{18})D \quad (5-303)$$

式內D的系数的大小，也是与球磨罐的大小成正比的，最大的球磨机不能过大 $\frac{1}{18}$ ，

最小的球磨机不能小于 $\frac{1}{24}$ 。

球磨罐每分鐘的轉數和它的直徑有緊要的关系，可用下式求出。

$$n = \text{球磨罐每分鐘最佳轉數} = \frac{32}{\sqrt{D}} \quad (5-304)$$

由此式可理解到，球磨罐直徑越大，它的轉數愈小，这直接与材料研磨效率有关。
(D在(5-304)式內的单位是公尺)。

为了加快球磨机的研磨速度，現在将球体換为圆柱体，这样就将研磨速度提高了一倍左右，原因是由于球磨罐旋转时，要里边的圆柱体也会同軸向地旋转，所以，当圆柱体在球磨罐內由上向下跌落击打研磨的材料时，是以綫面关系来与材料接触，而并非如球体是以点面的关系来与材料接触，所以，研磨速度快了。当圆筒旋转时，球和材料一同完成圖5-304所示的路程。此时材料被磨碎，并获得仔細的拌和。

4) 电磁傳動輪型的电磁分离器：

电磁分离器用来除去大塊的鐵及具有磁性的材料，因为磁性材料对陶瓷材料最有害处，所以鐵質及具有磁性的材料应由陶瓷材料內去除干净。

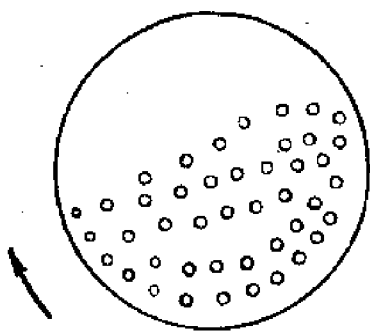


圖5—304

电磁传动轮型的装置圖示于5—305。

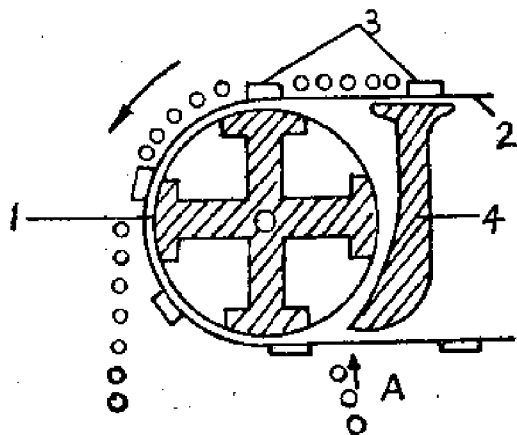


圖5—305 电磁传动輪型的示意圖

1 — 带有繞圈的四極電樞；

2 — 裝有鐵片了的傳動帶；

3 — 鐵片；

4 — 軋鐵。

傳送帶的鐵片靠近电磁傳動輪時，就磁化了，并将鐵塊或磁矿物吸向鐵片，非磁性材料經過傳動輪將掉入漏斗中，而磁性材料將要被电磁傳動輪阻留住，一直到“A”點为止；在这里磁性材料已走出恒定磁場的作用范围，而进到交变磁場的作用范围依靠軋鐵4），然后落到另外的漏斗中去。

5) 圓盤式电磁分离器：

圓盤式电磁分离器，用来分离干的磨得很細的材料。在圖5—306中表示了圓盤式电磁分离器的示意圖。其中：1 — 傳送帶； 2 — 二極的电磁鐵； 3 — 鐵盤； 4 — 圓盤的傳動裝置； 5 — 振動器； 6 — 漏斗。

磁性微粒，經過电磁鐵和圓盤間，依靠强的磁場从材料中吸出，然后通过旋转的圓

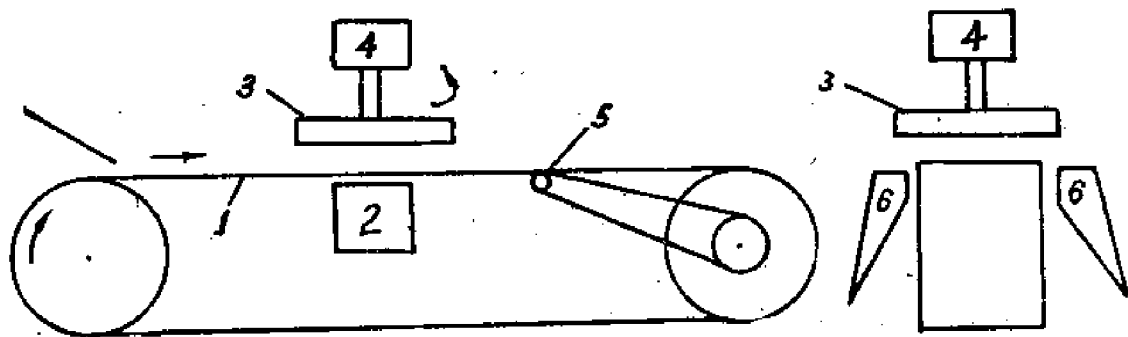


圖5—203 圓盤式电磁分離器的意圖

盤把它們落到漏斗中去。振動器使磁性雜質很易从干的磨得很細的材料中提出。

2. 陶瓷材料的配制：

可用干的和湿的方法配制陶瓷材料。

当用干法时，把按規定比例称好的成分装到球磨机中或振动式碾磨机中（当可塑性材料含量很少时），在碾磨机中进行磨碎和混合，把材料磨碎到规定的細度为止，然后用06、09号篩子筛选。此后就进行磁性分离。

为了制造制品，在材料中应加入胶合剂。用湿法配制陶瓷材料的工艺如下：

1) 称量成分。

2) 在装有水的球磨机中进行磨碎，开始进行磨碎时是没有可塑性材料的，然后才加入可塑性材料。

3) 为了清除机械的杂质，进行材料的筛选。

4) 材料的磁性分离。

5) 在压滤器中进行过滤。

6) 材料的检验和包装。

在表5—4中列出了几种陶瓷材料成分的配方：

由表(5—4)所给出的陶瓷材料的配方，是三种标准陶瓷材料成分的设计，尤其是第二个配方，是标准的长石瓷的配方，这一个配方，前边已經叙述过，它是用来制造大尺寸装置零件及高压低频电容器陶瓷的配方，这个配方里具备了陶瓷结构的一切特点。配方中的第3、4、5、6项材料合起来是长石原料，它在配方中的作用是助熔剂，在烧结陶瓷过程中它也担负了玻璃相的责任。那就是說，它是陶瓷中结晶体之间的结合剂。此外还知 Al_2O_3 是赋予陶瓷机械强度的，高岭土是赋予耐高压强度的，同时

长石也赋予了耐高温的急变性能。总起来说，表中第二个配方是三种陶瓷材料合成的，所以它的特性是受了三成分平衡图的支配的。图 5—307 就是这个三成分平衡图，图中共划分成三个区域。

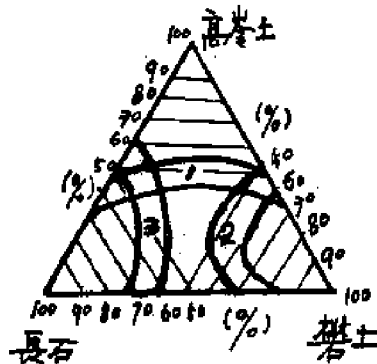


图 5—307 陶瓷三成分平衡图

1. 表示高岭土作用的范围，这个成份越多，做成的陶瓷愈有更高的耐电压强度；
2. 表示矾土作用的范围，这个成份愈多，做成的陶瓷就愈有更高的机械强度；
3. 表示长石的作用范围，长石愈多，制成的陶瓷，就愈有耐高温的急变性能。

如此说来，陶瓷的三成分平衡图，是某品种陶瓷的材料成分的设计图，限于这个三角形范围内，任何这三种材料成分的组合，都可制成一种陶瓷，这种陶瓷的性能，视组合成分的数量来定。此外，烧结温度也是主要的因素，成分的某种组合，就需某一个温度来烧结（这在图内并没表示出来）。

配制陶瓷材料的设备：

1) 振动式研磨机：

振动式研磨机，是用来干细磨或湿细磨陶瓷材料的，并可以把材料微粒的直径磨细到小于10—20微米。在图 5—308 中示出了振动式研磨机的示意图：其中：1—装料箱；2—振动器（由偏心轴构成）；3—弯曲的联轴节；4—电动机；5—弹簧。

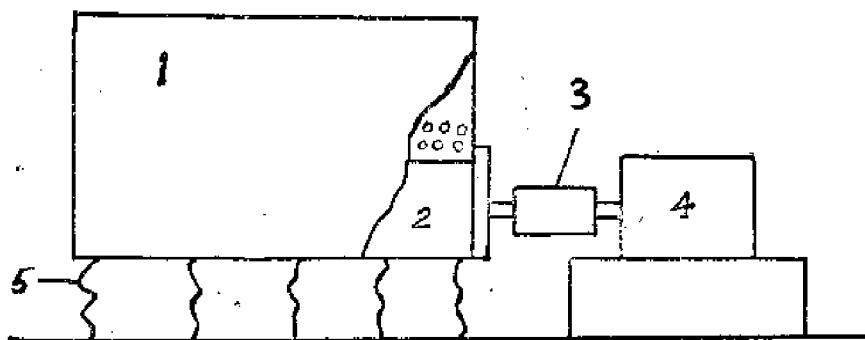


图 5—308 振动式研磨机的示意图

振动式研磨机的工作，按以下方式进行：当偏心轴旋转时，将产生每分钟 1500—3000 次的振动频率。这个振动传送给研磨机的装料箱，及在装料箱内的球和材料。由于球和材料的运动就把材料磨细了。

2) 振动筛:

振动筛是供筛滤陶瓷材料和釉料用的，在圖 5—309a 上繪出了振动筛的示意圖。其中：

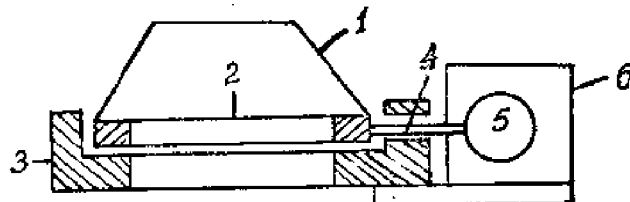


圖 5—309 a 振动筛的示意圖

1. — 裝料罩;

2. — 筛网;

3. — 机架;

4. — 推动杆;

5. — 曲軸連杆机构;

6. — 电动机。

曲軸連杆机构通过推動杆，把振动运动傳給篩子，这种振动将促使材料通过篩子。

3) 梳形电磁式分离器:

为了淨化材料，采用梳形分离器，它安装在槽盘（材料沿着它流动）中。材料經過梳片流出时，被分散成細流，并被磁性杆淨化，鐵質的粒子被磁性杆吸住。通常在槽盘中裝置有几个磁性分离器。

可移式梳形电磁分离器的外形示于圖 5—309c. 其中：

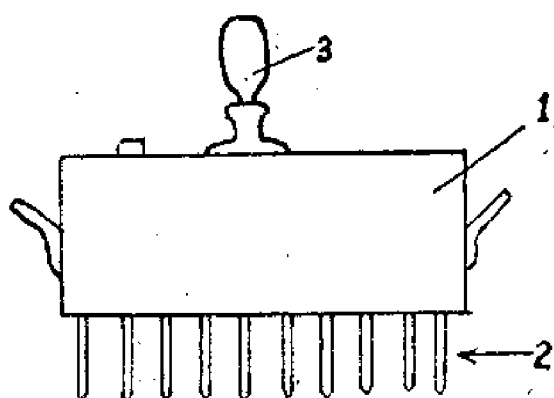


圖 5—309 c 梳形电磁式分离器

1 — 箱子（里面安置有电磁鐵圈）;

2 — 鐵梳齒形的極端;

3 — 照明用的灯泡。

4) 振膜泵：

振膜泵以 8—10 个大气压力把液状材料送进压滤机中，在圖 5—310 上繪出了振膜泵的示意圖。其中：

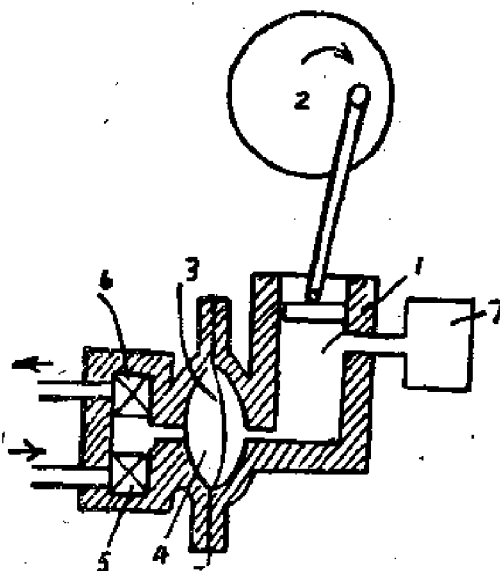


圖 5—310 振膜泵的示意圖

1 — 具有活塞和水的圓柱筒；

2 — 偏心連杆機構；

3 — 橡皮振膜；

4 — 小室；

5 — 吸入閥；

6 — 壓出閥；

7 — 安全調節器。

当活塞向上运动时，被活塞所吸引的水把橡皮振膜向右弯曲，閥 5 打开，并把液状材料吸入小室。当活塞向下运动时，水把橡皮振膜推向左边，閥 5 关闭而閥 6 打开，并在压力之下把材料送入压滤机。

5) 压滤机：

在压滤机中除掉材料中多余的水份。液状的坯浆被压成含有 25—30% 湿度的湿饼。压滤机的示意圖 5—311 中。其中：1 — 貼包在金屬框架上的厚亚麻布；2 — 机座；3 — 螺杆压榨器；4 — 金屬框架。

坯浆压入压滤机逐渐地放出多余的水份，多余水份經过亚麻布流到下面。陶瓷材料則被亚麻布保留下。

6) 真空捏和机：

真空捏和机被用来除去材料中的空气，在圖 5—312 中繪出了真空捏和机的示意圖。其中：

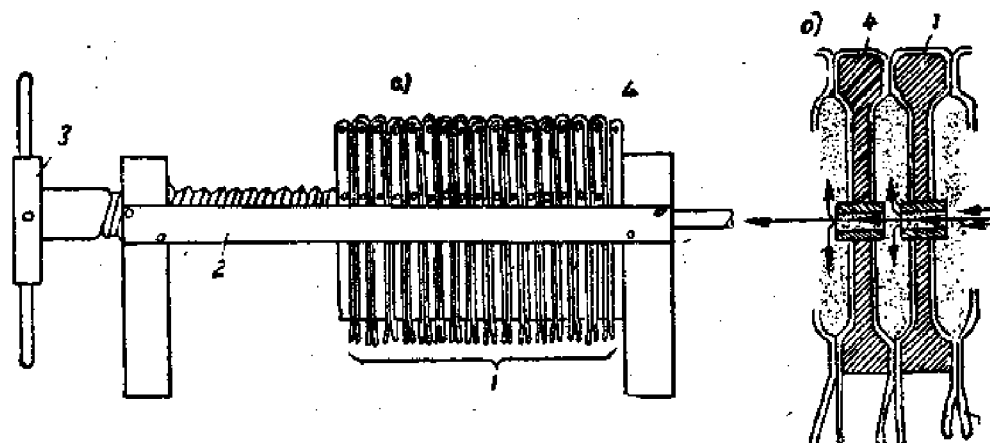


图5—311 压滤机 a)装配成的压滤机的总图 b)压滤机的螺旋式榨器的剖视图

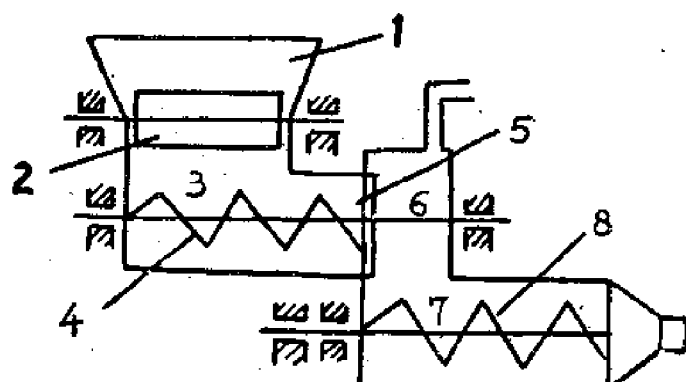


图5—312 真空混和机的示意图

1—漏斗；

2—钢轴；

3—上螺旋推进器；

4—上螺旋推进器的螺杆；

5—具有2—6毫米的孔洞的隔板；

6—真空室；

7—下螺旋推进器；

8—下螺旋推进器的螺杆。

坯料饼进入真空混和机，被钢轴揉搓并进入上螺旋推进器，被螺杆推送的材料块，经过隔板压入真空室中。那里利用真空泵使真空室始终保持着稀薄的空气，这样，可以从材料中消除空气含量。用下螺旋推进器的螺杆，把已除尽空气含量的材料，从出料孔推出。

3. 陶瓷材料制品的成形：

陶瓷制品的制造工艺系统示在图 5—313

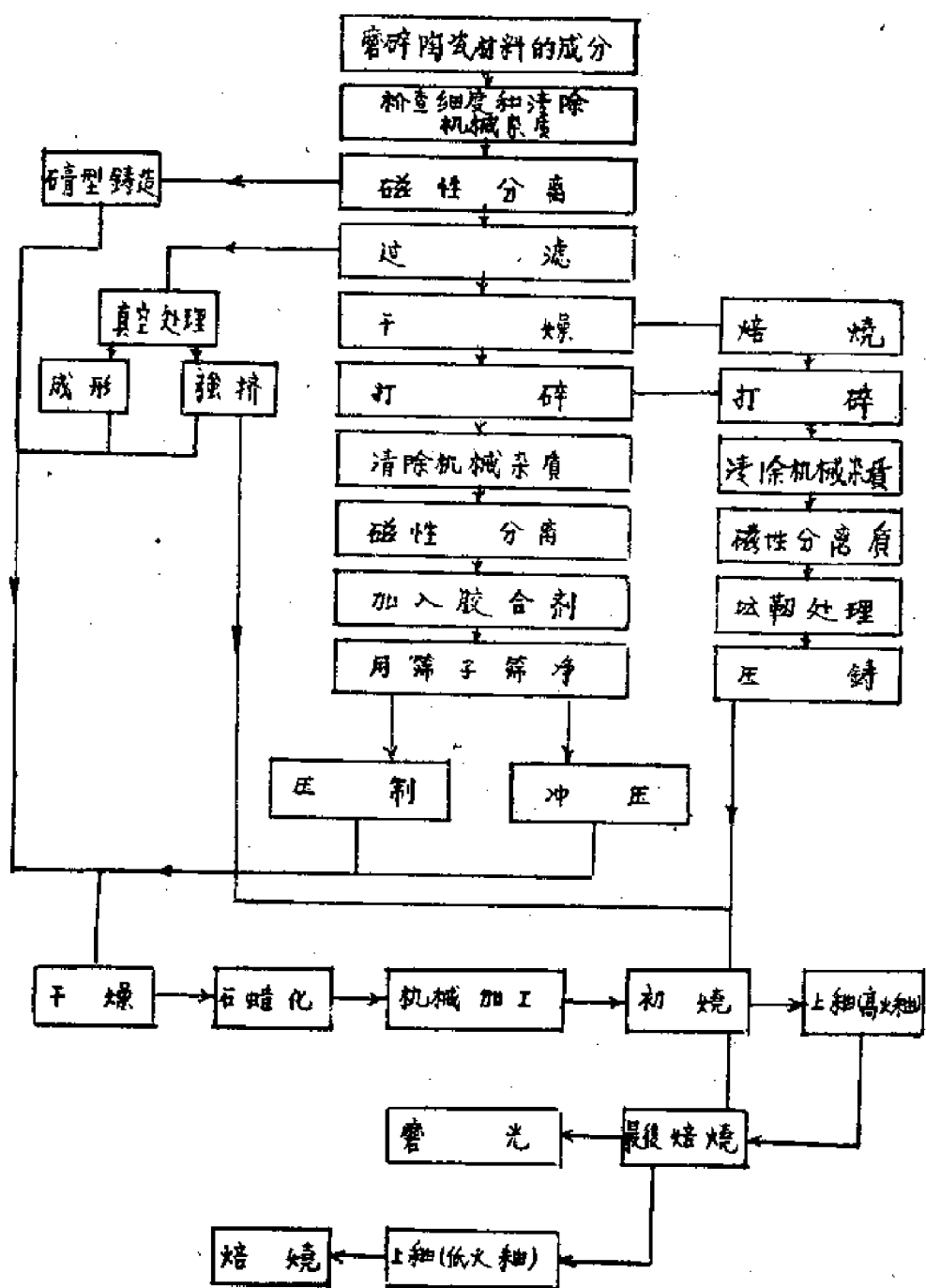


圖 5—313

从圖 5—313显然可見，當用冲压法、压制法及压鑄法来制造制品时，在陶瓷材料里应調配上胶合剂。

胶合剂的成分及它們的用途列举在表 5—5 中：

表 5—4

陶瓷材料的名称	陶 瓷 材 料 的 成 分 (以重量计)	
超 高 频 瓷 (ЧФ-46)	1. 在1400°C焙烧过的矾土 (Al_2O_3) 2. 碳酸钡 (BaCO_3) 3. 粘土 ($\text{Al}_2\text{CO}_3 \cdot x\text{SiO}_2 \cdot x\text{H}_2\text{O}$) 4. 大理石 (CaCO_3) 5. 未加工的滑石 ($\text{H}_2\text{Mg}_3(\text{SiO}_3)_4$)	65 4 26 3 2
刚玉与多铝 红柱石用瓷 (КМ-1)	1. 在1420°C焙烧过并含有1%硼酸的矾土 ($\text{Al}_2\text{O}_3 \cdot 1\% \text{H}_3\text{BO}_3$) 2. 未加过工的高岭土 ($\text{Al}_2\text{O}_3 \cdot 2\text{SiO}_2 \cdot 2\text{H}_2\text{O}$) 3. 粘土 ($\text{Al}_2\text{O}_3 \cdot x\text{SiO}_3 \cdot x\text{H}_2\text{O}$) 4. 碳酸钡 (BaCO_3) 5. 碳酸锶 (SrCO_3) 6. 大理石 (CaCO_3)	35.2 28 24.8 8 2 2
皂 石 陶 瓷 (С-55)	1. 未加过工的滑石 ($\text{H}_2\text{Mg}_3(\text{SiO}_3)_4$) 1. 未加过工的滑石 ($\text{Mg}_2\text{Mg}_3(\text{SiO}_3)_4$) 2. 烧结块 / 2. 未加过工菱苦土 ($\text{MgO}, \text{SiO}_2, \text{CaO}$) 3. 锌白 (ZnO) 3. 未加过工的菱苦土 ($\text{MgO}94\%, \text{CaO}1.5\%, \text{SiO}_21.9\%$, $\text{SiO}_21.9\%, \text{Fe}_2\text{O}_30.3\%, \text{Al}_2\text{O}_31.8\%$) 4. 粘土 ($\text{Al}_2\text{O}_3 \cdot x\text{SiO}_2 \cdot x\text{H}_2\text{O}$) 5. 锌白 (ZnO)	85 79 19 2 39 16 8 2

表 5—5

水	胶 合 剂 的 成 分 %								陶瓷材料的成分%	陶 名 瓷 材 料 的 称	制 品 的 外 形	制 品 成 形 的 法
	糊 精	亚 硫 酸 盐 液	白 胶	煤 油	石 蜡	地 蜡	混 合 酸	蜂 蜡				
1	100								6-12	88-94		压 制, 机 械 加 工
2	90	10							6-12	88-94	所 有 的 材 料	简 单 的
3	90		10						8-10	90-92		压 制

4	77			23				25-30	70-75	高压的和 高頻陶瓷	
5	54			24	22			20-25	75-80	耐热的材	
6	80			10	10			20-25	75-80	料	
7					100			5-15	85-95	真空用的	
8					80	20		20-23	77-80	材料及皂	
9					35	22	43	18-20	80-82	石	
10					93		5	10 80-82	90 80-82	皂石	
11					94			6	13 18-20	97 80-82	瓷

粉料和胶合剂的混合，是用螺旋桨搅拌机或者用手工搅拌，在某种情况下，为了加速混合过程，采用先预热坯浆到40—50°C的方法。

螺旋桨搅拌机的示意图，示于图5—314上。其中：

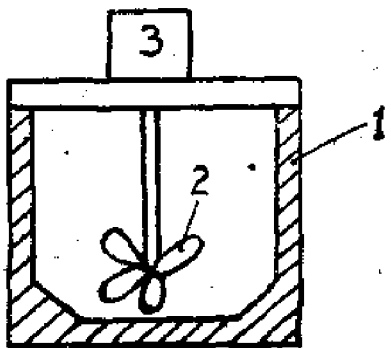


图5—314 螺旋桨搅拌机的示意图

1—外壳；

2—螺旋桨；

3—电动机。

我們現在來討論获得陶瓷材料做成半成品的各种方法。

1) 成形：

这个方法，是用来制造大尺寸的旋转体（平滑的和带棱角绝缘子及大功率的迴路电容器等）的制品。在成形时，可塑的材料块，投到成形机的工作台上，或投入装在工作台上的模型中。模型是用木头做成的，并且浸过石蜡、地蜡或齒蜡。制造模型时，应考虑到收缩系数。当台予以50—60转/分的速率旋转时，用手工或者用样板，把材料做成所要求的形状。然后切下多余的材料。制品从工作台上或模型中取下后，即进行烘干、石蜡化、机械加工与焙烧。

用成形法加工的材料应具有20—24%的湿度。

2) 石膏型铸造:

石膏型铸造，是用以制造具有复杂外形的大型制品，这个制造方法比成形法简单。坯浆灌入干的石膏型中，型壁很好地吸收水份，直到它的湿度不大于18—20%为止。

从石膏型中取出已制成的制品（毛坯），去除铸痕，用软的海棉抹平并且烘干。干燥以后，需要进行机械加工的毛坯要先进行石蜡化，然后再进行机械加工。此后进行焙烧。在石膏型中铸造，由于坯浆成分的不恒定，不能保证有高的尺寸准确度。

3) 金属型模压铸:

压铸用于复杂外型产品的成形，这个方法保证高的制品精确度。

在图5—315中绘出了压铸装置的原理图。其中：1—槽；2—加热器；3—坯浆；4—管子；5—盖板；6—金属型模；7—压板；8—支柱；9—横梁；10—阀；11—气管。

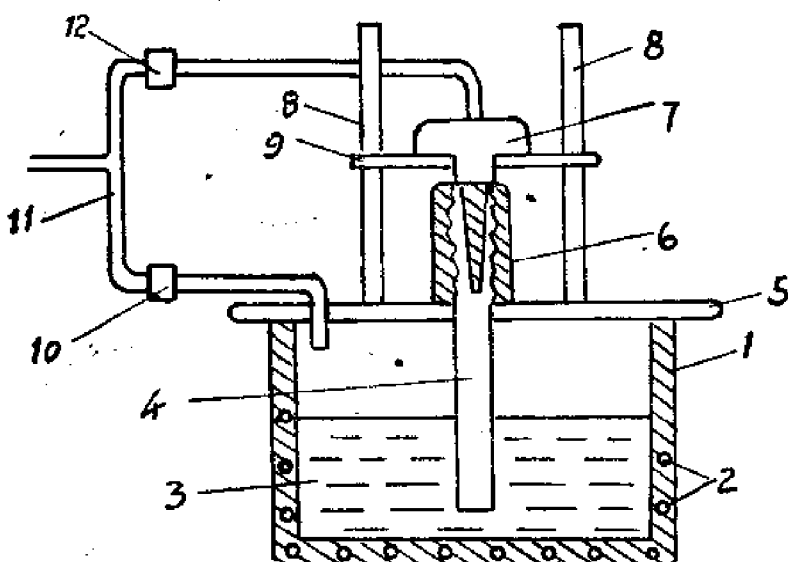


图5—315 金属型模压铸装置的示意图

金属型模铸造制品的成形，按以下方式进行：

可拆卸式的金属型模安装在台上的压板下。在槽中注入坯浆，并且对于薄壁的制品加热到温度60—70°C，对于厚壁的制品加热到50—60°C，然后型中灌满坯浆，在压力为1—3个大气压下，维持1秒到2分钟，维持的时间决定于制品的厚度。压力是由沿着气管通向装置的压缩空气产生的，最后使维持的压力降低，拆开型模，把铸造好的制品取出。压铸是最先进的陶瓷制品成型方法，因为它保证制品有高的准确度，并可能使制造陶瓷制品的过程自动化。

4) 强挤法:

强挤法，是用以制造具有各种断面的杆、轴、管等的毛坯和制品，为了获得复杂形状的制品，还要进行机械加工，强挤法成型制品的示意图，示于图5—316。其中：1—活塞；2—挤压筒；3—陶瓷材料；4—嘴子；5—型芯。

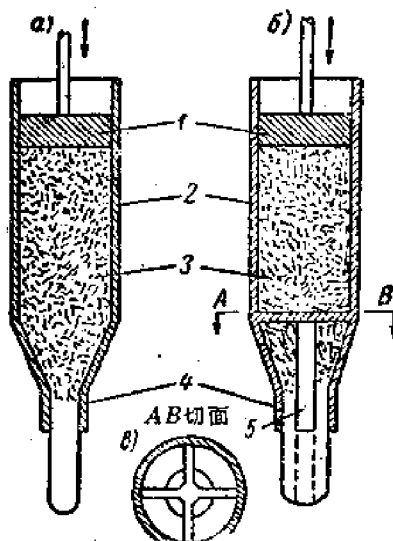


圖5—316 陶瓷材料經過嘴子的強擠法

a) 連續杆材的強擠 b) 管子的強擠 c) 嘴子

对于用强挤法成形的制品，陶瓷材料应装在水压机或机械压床的挤压筒中。先把挤压筒抹上薄薄的一层油。在给予压力时，陶瓷材料经过嘴子被挤压出，在毛坯上切下需要的长度，它被放置在专门的木制槽盘上。所获得的毛坯应具有平滑的表面，没有气泡、气孔等缺陷，把没有上述缺陷的毛坯烘干、石蜡化，和进行机械加工。强挤法比成形和石膏型铸造具有较高的生产率。

5) 壓制：

压制法，用以制造具有孔洞、凸处及凹部的平面制品（例如：灯座）。

在用压制法时，制品的成形是在压床上（压床的压力是300至800公斤/厘米²）把陶瓷粉料放在金属型模中压制而成的。对于小型的制品，把规定的压粉量装入压模的凹模中并刮平，以后再把凸模引入凹模中。在压制具有较大表面的平面制品时，制品的成型是分两个步骤进行的。开始按计算给予50—100公斤/厘米²的压力，然后升高这个压力并且进行再一次的压制（压力为300—800公斤/厘米²）。在压制复杂外形的制品时，压模应涂复薄薄一层变压汽油。

压制的方法，可以获得具有高准确度、低收缩率，及高的陶瓷焙烧料密度的制品。

6) 冲压（塑性压制）：

冲压方法，用以制造尺寸不大而外形复杂的装置用陶瓷制品。这些制品是以50—60公斤/厘米²的压力在金属型模中用压塑粉料来压制而成的。冲压方法的缺点是：高而且不稳定的收缩率及所获得制品的多孔性，因此用冲压方法所制造的制品，仅仅被采用在低电压电场和低频中工作。

在制造复杂外形的制品时，在冲压前，先把陶瓷材料混合物加热到40—50°C。

4. 在焙烧前陶瓷毛坯的石蜡化，机械加工：

为了使零件具有需要的形状，陶瓷毛坯在成形后（压制、强挤等），要进行附加的

机械加工。

为了使之具有必要的强度，在机械加工之前毛坯应石蜡化。在石蜡化之前把毛坯烘干到湿度不大于1%，然后把毛坯加热到温度70—80°C，并沉浸在具有同样温度的液态石蜡中。在石蜡槽中保持2—5小时（决定于毛坯的尺寸）以后，把它从槽中取出，并且分置在网子上待其变冷。

陶瓷毛坯在石蜡化以后，焙烧之前，应在旋床上和鑽床上进行机械加工，所用的工具与对金属加工时一样。当把毛坯安装在机床上和加工它们时，应注意：陶瓷毛坯具有较高的脆性，所以应避免用较大的力量，在鑽时，应采用鑽模，大的孔应按次序地用几个尺寸逐渐加大的鑽头来鑽。应该采取措施防止材料在鑽头鑽出的地方碎裂。

5. 上釉：

上釉，是用以防护陶瓷制品污秽和提高它们的机械强度，但同时釉也使陶瓷的电气特性有些变坏。所以，最近已开始采用在陶瓷制品上复盖硅有机化合物的方法来代替上釉。

釉有低火釉和高火釉两种，对电工用瓷及超高频瓷的制品上釉，是用高火釉，对于皂石制品，则用低火釉。

某些类型釉的成分列举在表5—6中：

高火釉的制造，根据配方，把原料按一定比例配好，装到球磨机中（其中材料、球、水的比例为1:1.5:1），在那里受到60—70小时的研磨。

在精细的磁性分离以后，釉浆的坯浆经过5号筛子筛选。这以后就蒸發或者引出水分到达必须的密度（1.25—1.38）。

低火釉的制造，低火釉最初的配制与高火釉一样，它研磨的时间为5—6小时。这以后所获得的混合物受到熬煮（在温度为950—1050°C）。熬煮进行到不再出现气泡为止。然后，材料在水中冷却，并且再在球磨机中磨细。这样低火釉就制成了。

在初烧以后，就把高火釉涂复到制品上，在不要涂复釉的地方，用混合物（用相等分量的松香、石蜡和蜂蜡配制成的）涂盖起来。在涂上釉后，把制品烘干，然后就进行焙烧。

在制品经过最终焙烧，并在水中洗净和烘干以后，才涂上低火釉。

已上釉的制品，还要在100—120°C的温度下烘干，然后进行专门的焙烧。

6. 陶瓷毛坯及制品的热处理：

陶瓷毛坯按照需要，要经过干燥，初烧，最终焙烧。及上釉焙烧。

制品的烘干一般可在温度能达110°C的烘箱中进行，也可以用高频电流来烘干。

初烧的目的，是全部地或部分地除去胶合剂，这可以缩短最终焙烧的时间。初烧的极限温度是900°C。初烧后，制品或者用压缩空气清洁，或者用水来洗，然后再烘干，初烧的时间、温度和状态与炉子的尺寸和制品有关。

最终焙烧，决定了陶瓷制品的结构（也决定了原始材料的结构）。最终的焙烧，可在焰式炉或者在电炉中进行。在煤气炉中焙烧时，制品应放在专门的烧钵中。

实践指出，陶瓷制品的焙烧，具有下列最佳条件：

- 1) 长的零件（杆、管、轴等）在悬挂的状态下进行焙烧。

表 5—6

釉的名称	用 途	釉的成分分%										熔化温度 °C	
		高 铝 土	长 石	44号耐酸釉	102号黑色颜料								
1 高火的	用于高压瓷	白	10	—	20	10	18.8	41	—	—	—	—	—
2 高火的	用于超高温及皂土	白	皂土	1	7	20	40	白云石	20	—	—	—	300±20
3 高火的	用于皂土	皂土	6	17	39	白云石	11	17	—	—	—	—	1350
4	光洁的 用于皂土	光洁的 皂土	7	—	—	—	—	—	93	—	—	—	1300±20
5	低火的 用于皂土	光洁的 皂土	—	—	—	—	—	—	—	—	—	—	700—800
6	低火的 用于皂土	光洁的 皂土	—	10	—	—	—	—	—	—	—	—	750—850
7	低火的 为低火釉用 的玻璃原料	用于高压瓷	—	—	—	—	—	—	—	—	70	80	—
8	—	—	—	—	—	—	—	—	68	20	—	—	730—750

2) 直徑小于10毫米的薄壁的管与軸，应垂直的安放在刚成型的板上进行焙燒。

3) 直徑大于10毫米的厚壁的管与軸，在具有穿通孔的熟耐火粘土板上进行焙燒，制品的两端，用糊精的水溶液，固定在穿通孔上，

4) 薄壁的及外形复杂的制品，安放在炉中的保姆沙(支架)上；支架由和制品一样的陶瓷材料所做成。

焙燒的状态和制品尺寸有关。

7. 在制品最終焙燒后，制品的机械加工：

1) 磨光

长圆柱形的陶瓷制品的磨光，在無心磨床上进行，磨光的制品，要仔細的在流水中清洗，然后在温度为120—150°C下烘干。磨光的深度，不超过0.05毫米。

平面的磨光，在磨床上进行，陶瓷制品用胶合（胶—75%石蜡，25%松香）的方法固定住。磨光有：粗磨—用粒度为120—180的刚玉粉或金剛砂粉来进行。此时材料与水的比值为1:3；細磨—粒度为220—280的粉，与水的比值为1:4。

2) 毛坯的切断

用細的金剛砂輪或刚玉砂輪来切断焙燒过的管。切断以后，制品的端面应在平面磨床上整修。

在結束这一部分时，引入配制陶瓷材料 II—4 和配制УФК—46型超高频瓷的陶瓷材料的暫行工艺規范。

暫行工艺規范	規 様 的 名 称	頁 次 1
	CЦ-4 陶瓷材料的配制	总 頁 數

牌号CЦ-4的皂石材料，是属于Ⅲ級a組（表5—101），并且是提供制造优良的装置零件和高频电容器用的。

成形的方法：經過嘴子强挤、压塑、冲压和热偏塑

设备、工具、夹具

1. 洗涤的滚筒。

2. 颚式破碎机。

3. 破碎机。

4. 翻斗提升机。

5. 磁性分离器。

6. 旋转式圆柱型或振动型的筛子。

7. 天平。

8. 球磨机。

9. 电磁铁。

10. 用于坯浆的振动筛。

11. 螺旋桨搅拌棒。

12. 振膜泵。

13. 虹槽。

14. 压滤机。

15. 真空捏和机。

16. 台子。

17. 偏塑的装置。

18. 立式嘴子的压床。

19. 水压机。

20. 壓模。
21. 箱子。
22. 用鋁板或者膠合板鑲成的槽。
23. 溫度範圍在70—100°C備有溫度調節器的干乾燥房。
24. 1350°C的周期作用的爐子。
25. 1350°C的電爐。
26. 帶有電流計的鉑——鉻鎳熱偶。
27. 燒結。
28. 實驗室的天平。
29. 比重計。
30. 09, 06, 02, 015, 003的篩子。

輔 助 的 材 料

1. 亞麻布織品。
2. 皂石磨球。

電氣和物理特性

序 号	特 性	数 值
1.	介質常數，在頻率為0.5—5兆赫時。	6.5—7.0
2.	在溫度為+20±5°C和頻率為1±0.2兆赫時， 介質損耗角的正切值。	0.0003—0.0005
3.	在溫度為+80±°C和頻率為1±0.2兆赫時， 介質損耗角的正切值。	0.0005—0.0006

	CI-4 陶瓷材料的配制	頁 次 3
4	在溫度範圍為 $+20^{\circ}\text{C}$ — $+80^{\circ}\text{C}$, 頻率在 $0.5\text{--}5$ 兆赫時, 介質常數的溫度系數.	$+(110-20)\cdot 10^{-6}$
5	在溫度為 $+1^{\circ}\text{C}$ 時的比容積電阻 (歐姆×厘米)	$10^{12}-10^{13}$
6	極限抗彎強度 (公斤/厘米 ²)	1400—1800
7	燒結溫度 $^{\circ}\text{C}$	1270 ± 20
8	吸水度 %	0.02

材 料 的 配 方

序号	原 料 的 名 称	按照干料來計算含量%
1	在溫度為 $1320 \pm 20^{\circ}\text{C}$ 烧過的滑石	50
2	未加過工的滑石	17
3	碳酸鋇	10
4	未加過工的菱苦土	8
5	鋅白 (粉狀)	4
6	粘土	7
7	皂土	4

材料的化学成分

序号	氧化物的名称	氯化物的含量 (按重量計%)
1	SiO ₂	49.08
2	TiO ₂	0.04
3	Al ₂ O ₃	8.40
4	Fe ₂ O ₃	0.44
5	CaO	0.20
6	MgO	26.81
7	BaO	8.40
8	Na ₂ C + H ₂ O	0.24
9	SiO ₂	0.02
10	ZnO	4.00
11	其他氧化物	7.37
		100.00

工 艺 步 驟

1. 原料的准备。
2. 材料的配制。
3. 清理和分离。
4. 材料的脱水。
5. 挤压用材料的准备。
6. 压塑和冲压的材料的准备。
7. 热塑型材料的准备。
8. 培烧。

原 料 的 准 备

所有投入生产的原料，应该各有卡片，卡片中主要写明所进行的关于它们符合于技术条件和国家标准结论的化学分析。

材料的预先处理，是根据列于表 1 中的资料来进行的。

表 1

序号	原 料 的 名 称	原 料 处 理 的 基 本 过 程	工 艺 规 范
1	2	3	4
1	未加工过的滑石（块状）	清理，洗净，烘干，击碎，在破碎机中磨细，干磨，经过06号筛子筛选，分离。	I-371
2	焙烧过的滑石	清理，洗净烘干，击碎；在破碎机中磨细，干磨，用06号筛子筛选分离，在温度为1320°C±20°C焙烧，用067号筛子筛选。	

1

2

3

3 碳酸鋇	烘干，用09号篩子篩选分类，洗净烘干， 击碎，在碾磨机中磨细，在球磨机中干 磨，用09号篩子篩选、分离。
4 未加过工的菱苦土	不经过处理。
5 锌白（粉状）	
6 皂土	分类，击碎，分离，用09号篩子篩选，在 倒入液桶之前应浸湿20—24小时。
7 粘土	击碎，分类，烘干

已进行过预选处理的材料，应保藏在用镀锌铁皮、铝板或复合板做成的贮槽里，每一批已准备好的原料，应具有检验标签，在它上面写明主要的分析数据，湿度，研磨的细度和原料预先处理的特点。

2. 材料的配制

原料用符合于国家工艺规范的湿方法来进行磨细。

根据配方把材料倒入球磨机中，并且必须要校正湿度。

为了磨碎，必須采用皂石的球
材料 (I) , 球 (II) 及水 (III) 之間的推荐比值是

$$T:III:Ж = 1:1:1$$

装到渣桶里的次序

1. 装入于瘤的成分：焙烧过的滑石，未加工的滑石，碳酸镁，菱苦土·锌白。
2. 灌水。干瘤成分与水間的比值 1:1.
3. 装入所有的球。
4. 磨碎到在003号篩子上剩余物为0.3—0.1%.
5. 装入粘土及皂土（皂土預浸湿20—24小时）。
6. 灌水，直到得到比值 $T:III:Ж = 1:1:1$ (包括浸湿皂土的水)。
7. 磨碎到在003号篩子上剩余物为0.03—0.1%.

3. 拆浆的清理及分离

为了清除拆浆中的偶然的杂质，例如球的碎片，将它們通过具有02或015号网孔的振动筛子。

为了去除铁的杂质，拆浆要根据国家规范，經过磁选。

4. 材料的脱水

材料 СЦ-4 的脱水是据据国家规范在压滤机上进行。

5. 强挤压用材料的配制

具有18—21%湿度的坯料饼脱水以后，通过真空捏和机（根据范围 I—211）。真空处理过的棒状材料，放在专门的室中或密封的柜中，恒定温度是+(10~15)°C，放置的持续时间，不少于2星期。放置以后，材料2—3次的通过真空捏和机，然后进行强挤。

直径大于20毫米及厚壁管（壁厚不小于10毫米）的毛坯的强挤，是在真空捏和机中经过相应的嘴子来进行的。

薄壁管，是由真空处理过的材料在垂直螺旋嘴子压床或水压机上成形的。直径不大于20毫米的轴，建议也用在真空捏和机上的专门嘴子来强挤成形。在此情况下，材料的湿度应该不大于20%。材料的收缩系数，随着材料的批量，零件的尺寸来变动，而对每批新的材料应检验样品。

收缩系数的平均值（一般的）：

$$K\Phi = 1.23 - 1.29$$

$$Kh = 1.16 - 1.19$$

强挤好的毛坯，按照毛坯的直径不同在空气中干燥2到4昼夜。

然后放到温度为60°—70°C的干燥室中去，烘干到湿度为1.5—2%。直径不大于20毫米的毛坯的烘干，可以不要在空气中预干，而在干燥室内进行。

6. 壓制和冲压用材料的配制

供压制和冲压用的材料在烘箱內烘到剩余湿度不大于2%。

零件的成形，用有8—10%水的压制或用水乳胶及石蜡粘料的压制和冲压来进行。

按对压缩粉的塑性要求不同而加入8—22%的乳胶。直徑的收缩率，随粘料的数量及压制的压力从1.14改变到1.19。

高度的收缩率，随压力的大小在1.19—1.23的范围内改变。

备注：每种制品及每批新的材料的收缩率由經驗的方法决定。

7. 热塑材料的配制

把湿度不大于15%的坯料饼捣碎成尺寸为20—25毫米的碎块，然后按下列规定在火焰爐中或电爐中焙烧。

从开始算起的焙燒的 時間（小時）	溫度間隔 °C	每小時溫度增量 °C
0—1	50—100	50
1—7	100—1300	200
7—8	1300	0
8—9	1300	0

备注：为了避免熟耐火粘土将材料弄脏，在拔載前，推荐用焙燒在132°C±20°C的細石英砂坯漿灌入燒鉢。

焙燒后，可以用二种方法将材料磨碎：

- a) 在碾碎机上磨碎到在015号篩子上有30—85%的剩余物能完全經過02号篩子。
- b) 在碾碎机上磨碎到能通过06号篩子，而后在球磨机上磨碎（附加入数量为干材料重量0.2%的混脂酸）直到能通过02号篩子。

热鑄法成形的另件，用的坯漿按照國家規范用下列成分的胶合剂来配制：

按照方法“a”碾碎 按照方法“b”碾碎

石 蜡——79% 石蜡 80.2%

地 蜡——10.5% 地蜡 19.8%

混脂酸——1.5%

隨着成型零件外形的複雜程度，膠合劑的含量從11.5%改變到13%，收縮率1.10—1.12。

用熱鑄法形成的零件要經受初燒，按照國家規範所列的規定用焙燒到130°C的滑石或矾土填入。

8. 焙燒

由Cl-4材料製成的零件焙燒，在火焰爐或電爐中進行。

零件裝在燒鉢內。填料——石英砂，它焙燒在1320±20°C，且是從06號篩子選出及漏出的。

零件焙燒的溫度是1270±20°C，隨着爐的體積大小，在最終溫度下，維持焙燒1到2小時。

當焙燒由Cl-4材料製成的石蜡化毛坯時，溫度上升曲線的形狀是改變的，而最終溫度保持不變。

當焙燒由Cl-4材料製成的非石蜡化毛坯時溫度上升速度表。

時間間隔（小時）	溫度間隔（°C）	每小時溫度增量（°C）
0—1	50—200	150
1—2	200—500	300
2—4	500—900	200
4—7	900—1200	100
7—9	1200—1270	85
9—10	1270±20°	0
10—11	1270±20°	0

备注：当在体积大于2立方米的爐中焙燒时要維持焙燒24小時。焙燒由材料СЦ-4 制成的石蜡化毛坯的溫度上升速度表

時間間隔 (小時)	溫度間隔 ($^{\circ}\text{C}$)	每小時溫度增量 ($^{\circ}\text{C}$)
0—6	50—350	50
6—7	350—500	150
7—9	500—900	200
9—13	900—1200	50
13—17	1200—1270	35
17—18	1270±20°	0
18—19	1270±20°	0

爐子是自然冷却的。当溫度不高于300 $^{\circ}\text{C}$ 时开爐，且在不高于120 $^{\circ}\text{C}$ 时卸下。

当溫度不高于30—80 $^{\circ}\text{C}$ 时，将焙燒过的另件从燒鉢中取出。

暫行工艺規范	規 范 名 称	頁 次 1
	YFK-46型超高頻瓷的陶瓷材料 的配制	总 頁 数

超高頻瓷(YFK-46型)是供制造高質量裝置零件用的，其中包括大体积的零件，以及高質的电容器。

电气和物理特性

序号	特 性	数 值
1.	介电常数	8.0—8.5
2.	在溫度为 20°C 和频率为 1 兆赫时的介質損耗角的正切值。	0.0008—0.0012
3.	在溫度为 80°C 和频率为 1 兆赫时的介質損耗角的正切值。	0.0012—0.0015
4.	在溫度范围是 20—100°C 时，介电常数的溫度系数。	+ (110±30) · 10 ⁶
5.	在溫度为 100°C 时的比容积电阻(歐姆·厘米)。	10 ¹² —10 ¹⁴
6.	視在密度(克/厘米 ³)。	3.2—3.4
7.	在溫度范围是 20°—100°C 时的線膨胀系数。	(5.0±0.5) 10 ⁻⁶
8.	極限抗弯强度(公斤/厘米 ²)	2000—3000
9.	燒結溫度(°C)。	1410±20

Y₄K-46型超高频瓷的
陶瓷材料的配制

頁 次 2

材料的配方

序号	原 料 名 称	干的物质 (%)
1.	經1400±10°C 烧过的山东張店№501工厂的矾土	65
2.	碳酸鋇	4
3.	苗家山或者陽西的粘土	24
4.	彭县的石灰石	3
5.	山东掖南的滑石	2
6.	张家口的經過淘汰选矿操作的皂土	2

备注：可以采用苗家山粘土去代替陽西粘土。

配制材料的工艺程序

1. 原材料的准备。
2. 材料研磨。
3. 粉浆的净化和分离。
4. 脱水。
5. 材料的准备和制品的成形：
 - a) 用于强挤的材料准备
 - b) 用于压制的材料准备
6. 制品的焙燒。

1.原材料的准备

所有投入生产的原材料，都应备有說明書，根据关于符合它們的技术条件和国家标准所进行的化学分析的結論来編写說明書。原材料不應該含有外来的杂质。

原材料的預先处理是根据下面的国家規范来进行：

VφK-46型超高频瓷的
陶瓷材料的配制

頁 次 3

序号	原 料 名 称	国家工艺规范
1.	在1380°C 烧烧N0501工厂的矾土	
2.	山东掖南的滑土(生的)	
3.	碳酸鋇	
4.	彭县的石灰石	
5.	苗家山的粘土	
6.	张家口的皂土	
7.	陽西的粘土	

所有进行过預先处理的材料都应保藏在用白鐵或者鋁板鑄成的柜子里。

每一批配制好的原料都應該具有檢驗卡片，寫明主要的分析值、溫度，研磨的細度，預先處理。

2. 超高频陶瓷材料的研磨

超高频陶瓷材料的研磨是符合国家規範的混方法进行的。所有材料称量的进行应符合考慮必須的溫度修正的材料配方。

建議 材料(I)、球(III)和水(X)之間的比例用：

$$I:III:X = 1:1: (1.0-1.25)$$

装到滾桶里的次序

1. 装入干礦的成分(矾土、滑石、碳酸鋇、石灰石)，是所有的成分同时装入的。
2. 按照干礦的成分与水之間的比例为1:1.25倒入水。

3. 装入圆球。
4. 破磨，使通过006号筛子时，在筛子上的剩余的材料，不應該超过0.05—0.07%，
大約破磨60小时。
5. 装入皂土。
6. 倒入水，直到水与被磨細的材料的比值为 (1.0—1.25) :1。
7. 破磨，使通过003号筛子时剩余的材料不應該超过0.02%，总共破磨大約 85 小时。

3. 抹浆的净化与分离

为了清除偶然的杂质(例如球中的碎片)，抹浆应通过具有015号筛网的摇摆篩。

为了清除铁杂质，抹浆应根据规范№20进行磁性分离。

4. 脱水

超高频瓷材料的脱水，根据工艺规范№18在压滤机上进行。

在材料贮存的情况下，如果它是供用压制法或冲压法成形的材料应把它以抹料饼的形式储藏室中。

供强挤压的材料，应以真空处理的毛坯或抹料饼的形式储藏。

材料应有从说明书来的摘录，在摘录中指出：

1. 材料的名称
2. 第N批
3. 实驗页应标明关于材料的質量是否合格。

5. 用成形法的制品的材料的准备

a) 在压滤机脱过水的，湿度为24—25%的坯料饼形式的超高频瓷料，应不少于3次的通过真空捏和机（根据规范№21）。

对于产品的毛坯是在真空捏和机中经过相应的嘴子挤压出来的。

薄壁管是在垂直嘴子的机械冲床或水压机上挤压出来的。使挤压过的毛坯干燥，挤压毛坯烧前的收缩是5—6%，烧后的收缩决定于产品的尺寸：

$$K\Phi = \sim 1.23 - 1.25$$

$$K_b = \sim 1.20 - 1.21$$

对每单独的一批产品的收缩系数，是根据试验样品来确定的。

轴和管子用的焙烧是在吊悬状态下进行的。

6) 用于压制法的材料的准备：

供压制用的超高频瓷料，应干燥到剩余的湿度不大于2%，在经过0355号筛子筛过的材料中，加入10—12%的水份，湿润的粉料重新混合并通过06号筛子。

在比压力为500公斤/厘米²时，收缩系数如下：

$$K\Phi = \sim 1.20 - 1.21$$

对于每单独的一批产品的收缩系数，是根据试验样品确定的。

6. 产品的焙烧

产品的焙烧是在焰式爐或电爐中进行的，用经过1400°C焙烧过的矾土撒在下面。

V & K-46型超高频瓷的
陶瓷材料的配制

頁 次 6

焙燒的最終溫度是1400—1450°C。在最終溫度下維持焙燒2小時。

备注：用作撒在下面的材料，可以采用生矾土

在焙燒石蜡化的制品时，溫度上升速度

時間間隔 (小時)	溫 度 (°C)	每小時增長的溫度 (°C)
0—1	20—50	30
1—9	50—250	25
9—10	250—300	50
10—19	300—1200	100
19—22	1200—1850	50
22—23	1400±20	30
23—25	1400—1420	0

在焙燒未石蜡化的制品时，溫度上升的速度

溫 度 (°C)	每小增長的溫度
20—900	100—300
900—1200	100
1200—1380	30
1400±20	0
1400±20	0

YFK—46型超高温的陶瓷
材料的配制

頁 次 7

对于小型制品推荐用下列溫度曲線的快速焙燒規定状态：

溫 度 (°C)	每小時坯的溫度溫度 (°C)
20—600	100—300
900—1200	100
1380±20	0

溫度上升到900°C之前，增加的速度是每1小時100°C至300°C（由爐子的構造、制品的体积和制造工艺来确定）。

在最終焙燒以后制品的冷却建議用最大速度（在所有的情况下）。

§ 5—4 陶瓈零件的設計（基本原理）

1. 尺寸比例：

构成平面零件的最佳方法，是采用一次或二次的压制。为了保证可以一次压制出具有不大于2.5毫米的凸部或凹部的平面零件，应该具有下列的尺寸（图5—401）： h —在底座上的凸部高度，不大于0.3H；H—零件的高度； α —倾斜角，不小于1°；R—底座的圆角半径，为0.8毫米；Y—外表面的圆角半径，不小于0.5毫米。

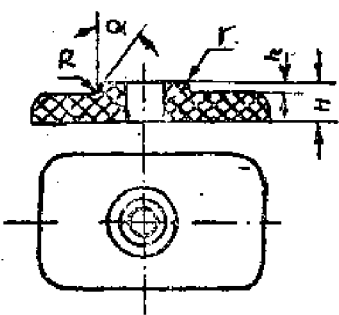


图5—401 一次做成的零件的尺寸

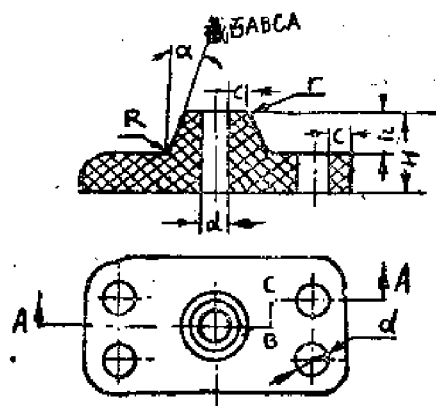
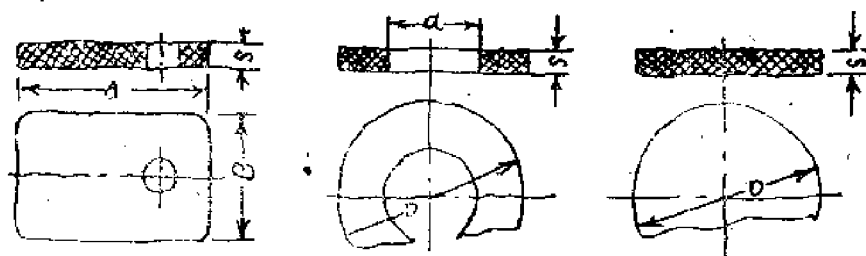


图5—402 二次做成的零件的尺寸

具有大于2.5毫米的凸部或凹部的平面制品，为了保证在截面内具有均匀的材料密度，通常用两个工序制成。在此情况下，制品应具有下列尺寸（图5—402）。 d —中心孔的直径，不小于0.2H并不小于2毫米； C —壁的最小厚度，为0.7d并不小于2毫米； h —不大于5d； α —不小于3， R —不小于0.8毫米； Y —不小于0.5毫米。

为了减少在制品焙烧时所产生的变形，需要遵守表5—7中所示的尺寸间的比例。

表 5—7



A×B	s 不小于	D	d	s 不小于	D	s 不小于
毫 米						
15×10	2.0	10	3.5	1.8	10—15	2.0
20×15	2.5	15	8.0	2	15—20	2.5
30×20	3.0	20	10	3	20—30	3
40×33	4.0	30	15	4	30—40	4
50×40	5.0	40	20	5	40—50	5
70×50	7.0	60	25	6	50—70	7
90×70	9.0	60	30	7	70—90	9
110×90	12.0	70	35	8	90—110	12
130×100	15.0	80	40	9	110—130	15
150×130	20.0	90	45	10	130—150	20
		100	50	12		

在制造管子及套管时，应当遵守表 5—8 及表 5—9 所推荐的尺寸。

表 5—8

外径(毫米)	10	15	20	25	30	40	50	60	80	100
壁厚(毫米)	2.5	3.0	3.5	3.5	5.0	6.0	6.0	6.0	7.5	7.5
长度(毫米)	50	70	80	100	120	160	200	240	320	400

表 5—9

外 徑 (毫米)	最 小 壁 厚 (毫米)	外 徑 (毫米)	最 小 壁 厚 (毫米)
3	0.2	20	2
4—10	0.3	25	2.5
12	0.4	30	3.5
14	0.5	40	5.5
17	0.6	50	7.5
18	1.0		

2.錐度：

制品的垂直外壁及內壁应具有錐度，这是为了将陶瓷制品从型腔或压模中取出所必要的。

对于用冲压和成型的方法所做成的制品，最小的錐度是 3° ，对于用压铸和压制的方法所做成的制品錐度是 1° 。

3.同样的壁厚：

壁的不均匀性，可能是焙燒时制品变形的原因。因此，必須力求設計出同样的壁厚。在有不同厚度的必要时，應該做成平滑的过渡。（見圖5—403）

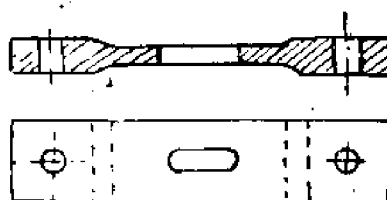


圖 5—403 从一个厚度到另一个厚度的过度

4.圆角：

陶瓷制品中不允许有外面的及内部的尖角。所推荐的最小圆角的半径，列于表5—10中。

表 5—10

成形的方法	圆角半径(毫米)	
	边的	过渡的
压制	0.5	0.8
冲压	0.8	1.0
成形	1.0	1.5
塑造	1.0	1.5
压铸	1.0	1.5
机械加工	0.8	1.0

5. 端面的形状：

为了减少废品，端面不应具有尖锐的棱边及急剧的过渡。推荐的端面形状，示于图 5—104 中。

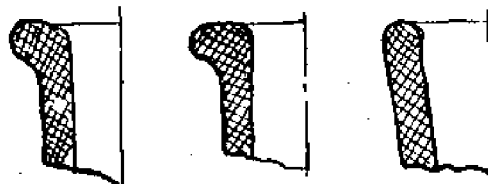


图 5—104 推荐的端面形状

6. 对称：

为了有均匀的收缩及为了减少变形，制品的形状应该是对称的。见图 5—405 及图 5—406。

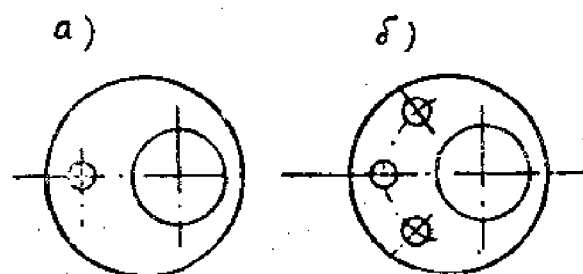


图 5—105 影响制品收缩的陶瓷材料的分布

a) 不良的材料分布 b) 正确的材料分布

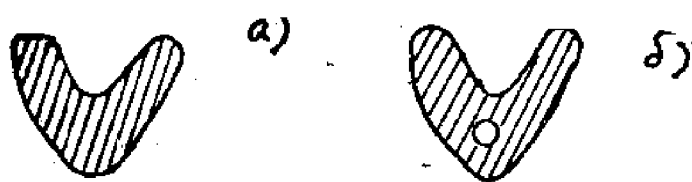


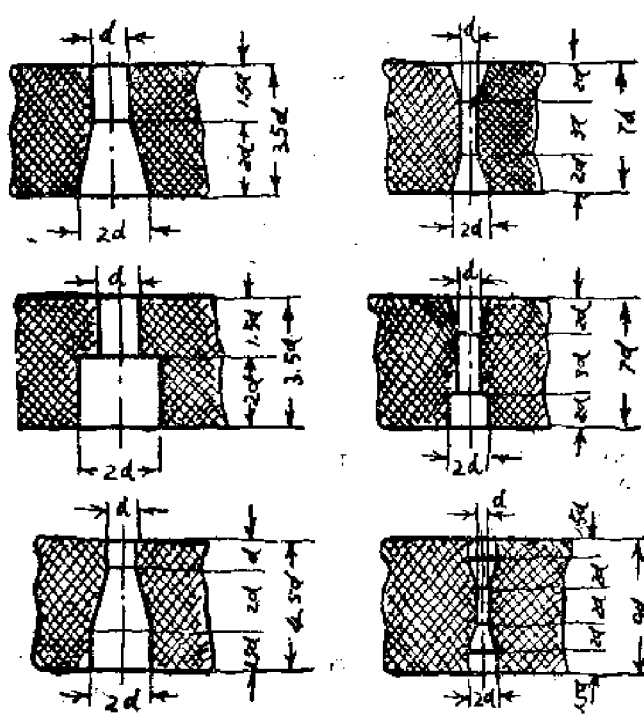
圖 5—406 在引伸時分配材料的分布

●——不正确的分布 ●——正确的分布

7. 孔、切口和槽的形成：

为了使铸造的或压制的零件易于从铸型及压模中取出，孔、切口和槽做成不小于 1° 的锥度。

当用冲压的方法制造制品时，孔做成圖5—407所示的形状。



单向形成的孔

双向形成的孔

圖 5—407 孔的最佳高度及其形状

不穿通的孔，应当做得使它的长度不超过直径的2倍，而直径小于3毫米的孔，应当具有不大于孔径的长度。

紧固用的孔，应当做成椭圆形或开口的形状。（見圖5—408）

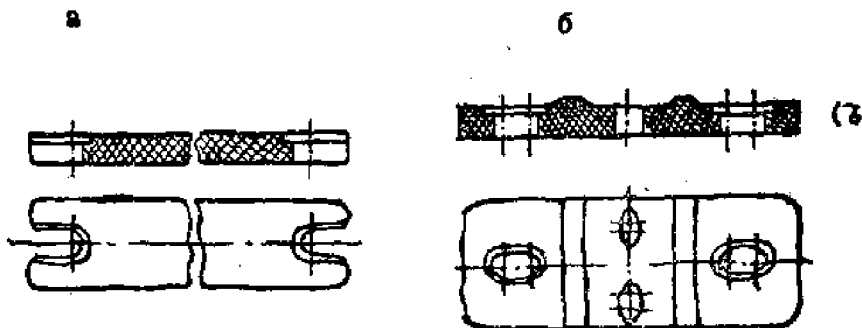


图5—08 推荐的紧固孔的形状

a) 开口的

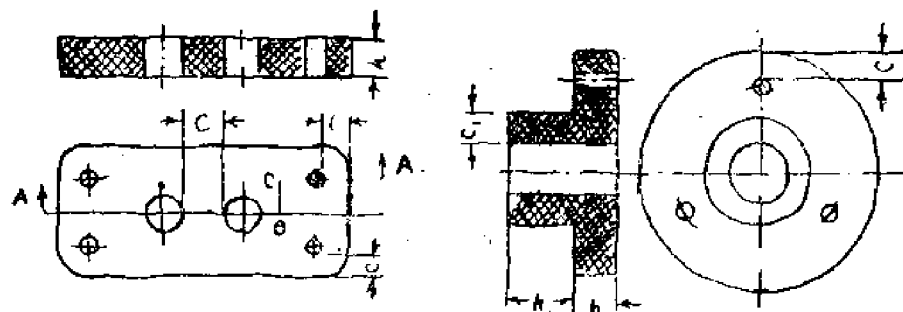
b) 封闭的

8. 相邻孔边缘的间隔尺寸，或孔的边与制品的边之间的尺寸，用压制法制成的陶瓷零件，其间隔尺寸，示于表5—11中。

表5—11

a) 一次压制出的零件

b) 二次压制出的零件



h 毫 米	c 毫 米	毫 米			
		h ₁	c ₁	b	c
从2到5	0.5h	从3到5	0.7h ₁	从3到5	1.6h
从9到10	0.25h	从6到10	0.5h ₁	从6到10	0.7h
从11到20	0.23h	从11到20	0.4h ₁	从11到20	0.5h
高于20	0.17h	高于20	0.3h ₁	高于20	0.4h

表 5—12

<i>h</i>	<i>c</i>
达10	1.5
从10到20	2.5
从20到30	3
从30到40	4
从40到50	5
从50到60	6

双向冲压时，间隔的尺寸示于表 5—12中，双向冲压法成形的制品的间隔尺寸示于圖5—409。

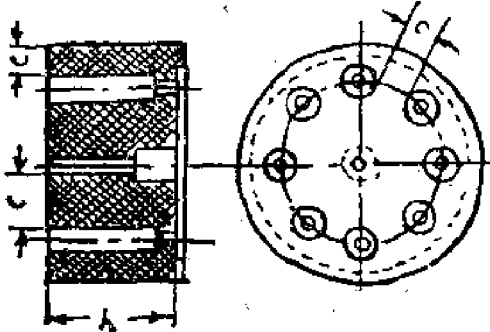


圖 5—409

9. 螺紋:

在陶瓷制品上应当应用圆螺纹，因为尖角的螺纹很快就会剥落。

应当避免制造小于1.25毫米螺距的螺纹，因为要做到这样小的螺距，在制造工作上是复杂的。

电感线圈骨架和扼流线圈骨架的螺纹角的值，应该是 90° ，而螺纹的深度大约等于0.6个螺距。

10. 合成零件:

形状复杂的零件，应当做成合成零件。合成零件的例子，示于圖5—410；圖5—411中。

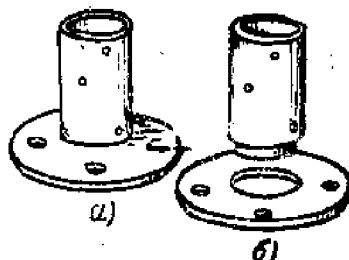


圖 5—410 电感线圈合成骨架的结构

a) 制成的骨架

b) 其零件

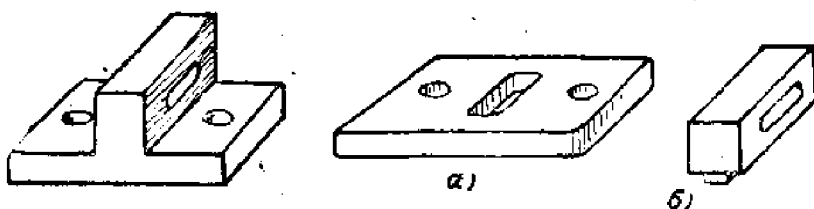


圖5—411 合成的緊固零件

11. 陶瓷零件的公差：

在燒結後，不進行機械加工，陶瓷零件的可能準確度，由下列各表來表示。

表5—13是線性長度的容許偏差。

表5—13 線性長度的容許偏差

額定尺寸 (毫米)	制品成形的方法		
	壓制，強擠(還需進一步對石蠟化毛坯進行機械加工)，金屬型壓鑄	沖壓，強擠(還需進一步對未加工的毛坯進行機械加工的)	成形或石膏型鑄造
	第1組	第2組	第3組
	偏 差 (毫 米) (±)		
達5.....	0.2	0.3	1.0
大于5到10	0.2	0.4	1.0
大于10到15	0.3	0.5	1.2
大于15到20	0.4	0.6	1.4
大于20到25	0.5	0.8	1.6
大于25到30	0.6	0.9	1.8
大于30到40	0.7	1.1	2.2
大于40到50	0.8	1.2	2.4
大于50到60	0.9	1.4	2.8
大于60到70	1.0	1.5	3.0
大于70到80	1.1	1.7	3.4
大于80到90	1.2	1.8	3.6
大于90到100	1.3	2.0	4.0
大于100到120	1.5	2.3	4.4
大于120到140	1.7	2.6	4.8
大于140到160	1.9	2.8	5.2
大于160到180	1.2	3.1	5.6
大于180到200	2.3	3.3	6.0
大于200及更大	—	1.7%	3%

备注：在單向偏差時，上列公差的絕對值加倍。

重要零件的中心距容许偏差列于表 5—14。对于不重要的零件，应当按表 5—18 采取中心距的容许偏差。

表 5—16 中列举了圆柱形杆及管子（其长度对直径的比值不大于 6，壁厚不小于直径的 $\frac{1}{6}$ ）的直线性容许偏差。

陶瓷制品的平面度的容许偏差，与平面的尺寸和制品的成形方法的关系列于表 5—17。

表 5—14 重要零件的中心距容许偏差

中 心 距 (毫米)	偏 差 毫 米 (±)	中 心 距 (毫米)	偏 差 毫 米 (±)
达 6	0.1	大于 50 至 65	0.6
大于 6 至 10	0.15	大于 65 至 80	0.7
大于 10 至 18	0.2	大于 80 至 100	0.8
大于 18 至 30	0.3	大于 100 至 120	0.9
大于 30 至 40	0.4	大于 120 至 150	1.2
大于 40 至 50	0.5	大于 150 至 220	1.5

表 5—15 在一个平面上，测量出的角度容许偏差

制 品 成 形 的 方 法	角 的 最 小 偏 差		
	长 度 (毫米)		
	达 10	自 10 至 40	大 于 40
压制，强挤（还需进一步对石蜡化毛坯进行机械加工的），金属型压铸	±2°	±1°	±0°30'
冲压，强挤（还需进一步对未加工毛坯进行机械加工的）	±3°	±1°30'	±0°45'
成型及石膏型铸造	±4°	±2°	±1°

表 5—16 圆柱形杆与管子（长度对直径的比值不大于 6，壁厚不小于直径的 $\frac{1}{10}$ ）的直线性容许偏差

长 度 (毫米)	直 径 (毫米)							从 50 到 100
	从 3	从 3 至 5	从 5 至 10	从 10 至 15	从 15 至 20	从 20 至 30	从 30 至 50	
	偏 差 (毫米)							
从 20	0.20	0.20	0.20	0.20	0.20	0.20	0.25	0.30
从 20 到 30	0.30	0.30	0.30	0.25	0.25	0.30	0.35	
从 30 到 50	0.40	0.40	0.40	0.35	0.30	0.30	0.35	0.40
从 50 到 70	—	0.50	0.50	0.40	0.35	0.35	0.40	0.45
从 70 到 90	—	0.60	0.60	0.50	0.40	0.40	0.45	0.50
从 90 到 120	—	0.70	0.70	0.60	0.50	0.45	0.50	0.60
从 120 到 150	—	—	0.80	0.70	0.60	0.50	0.60	0.70
从 150 到 180	—	—	0.90	0.80	0.70	0.60	0.70	0.80
从 180 到 210	—	—	1.0	0.90	0.80	0.70	0.80	0.90
从 210 到 240	—	—	1.1	1.0	0.90	0.80	0.90	1.0
从 240 到 270	—	—	1.2	1.1	1.0	0.90	1.0	1.1
从 270 到 300	—	—	1.3	1.2	1.1	1.0	1.1	1.2

表 5—17 陶瓷制品的平面度的容许偏差与平面尺寸及制品成形方法的关系

平面尺寸 (毫米)	制 品 成 形 的 方 法		
	压 制、强 挤 (还需进一步对石蜡化毛坯进行机械加工的)，金属型压 壤	冲 压、强 挤 (还需进一步对未加工毛 坯进行机械加工的)	成 形 及 石 腑 型 铸 造
	第 一 组	第 二 组	第 三 组
	偏 差 (毫米)		
达 10	0.15	0.25	0.40
从 10 到 20	0.20	0.30	0.50
从 20 到 30	0.30	0.50	1.00

从30到50	0.50	0.80	1.60
从50到70	0.60	0.90	1.80
从70到90	0.80	1.2	2.40
从100	—	长度的 1 %	长度的 2 %

§ 5—5 装置零件的絕緣計算

从本章及第四章所述，我們知道，塑料零件和陶瓷零件，在無線電設備中的主要用途之一，就是作为裝置零件。对于由塑料或陶瓷所作成的裝置零件，其重要的电气指标就是零件的絕緣指标，为此，在設計这些零件时，必須进行零件的絕緣計算。特別在下列两种情况，絕緣計算更加显得重要：

1. 当線路中的电阻值可以与裝置零件的絕緣电阻相比較时，或者，当流往絕緣裝置零件的泄漏电流可以与工作电路的电流相比較时。

2. 当电路中具有能破坏絕緣的高电压时。

第一种情况，要求計算零件的絕緣电阻值，并将計算值与要求值相比較，决定其是否合格，一般应要求絕緣零件的电阻值，比工作电路中的电阻值，高出几个数量級，对于泄漏电流值，亦須进行計算和比較，一般要求絕緣零件上的泄漏电流值为工作电路电于值的万分之一或十万分之一。

从物理学中知道，任何物体的直流电阻值，可按下式計算

$$R = \rho \frac{L}{S} \quad (5-501)$$

其中： ρ ……比电阻；

L ……长度；

S ……截面积。

我們知道，任何絕緣材料都具有两个比电阻：表面比电阻 ρ_s 和体积比电阻 ρ_v 。

两个載流元件（見圖5—501）之間的絕緣电阻，可按下列步驟进行計算。

1. 确定表面絕緣电阻 R_s

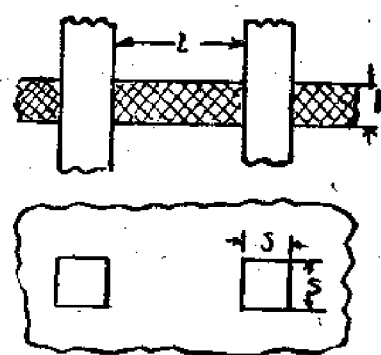


圖 5—501 絶緣电阻的計算

$$R_s = \rho_s \frac{L}{S_1} \quad (5-502)$$

其中: ρ_s ……表面比电阻 (欧姆)

L ……两个载流元件之间的距离 (厘米)

S_1 ……载流元件的宽度 (厘米)

2. 确定体积绝缘电阻 R_v

$$R_v = \rho_v \frac{L}{S_2} \quad (5-503)$$

其中: ρ_v ……体积比电阻 (欧姆·厘米)

L ……载流元件之间的距离 (厘米)

S_2 ……载流元件处于材料厚度中的截面积 (厘米²), $S_2 = S_1 h$

3. 算出总的绝缘电阻 R_{us}

$$R_{us} = \frac{R_v R_s}{R_v + R_s} \quad (5-504)$$

以上计算, 是假设两个载流元件具有相同的几何尺寸, 均为矩形, 以及相互位置是平行的。但是, 实际上, 我们所碰到的载流元件, 可能是具有各种尺寸的, 而且两个载流元件的形式也可能不同。

在图5-502上, 给出了在实际工作中, 最常碰到的一些载流元件的几何形状和它们的计算公式。

利用图5-502中所给出的公式, 不仅可以计算绝缘电阻值, 而且可以用来确定两个相邻载流元件间, 允许的最小距离。

例: 确定纸胶板上两个接触簧片之间允许的最小距离 L, 簧片的尺寸是:

$h = 8$ 毫米,

$H = 16$ 毫米。

簧片之间允许的绝缘电阻值 $R_k = 1000$ 兆欧。

解: 从图5-502上可以看到, 我们的情况是类似于第一种情况的, 因为, 簧片可以以足够远的距离, 用铆钉装固在纸胶板上, 而且体积绝缘电阻, 可以忽略不计。

因此, 对于这种情况, 可用下列公式进行计算。

$$R_{us} = \frac{2\rho_s L}{H+h}$$

为了确定允许的最小距离, 可把上列公式写成如下形式。

$$L = \frac{R_{us}(H+h)}{2\rho_s}$$

已知: $R_{us} = R = 1000$ 兆欧

所以可算得:

$$L = \frac{10^9 \cdot 2 \cdot 4}{2 \cdot 10^{16}} = 0.12 \text{ 厘米} = 1.2 \text{ 毫米。}$$

如果, 在电路中具有高电压, 那么, 绝缘材料和载流元件之间的距离, 如果选择得不正确, 就会引起所谓击穿现象。

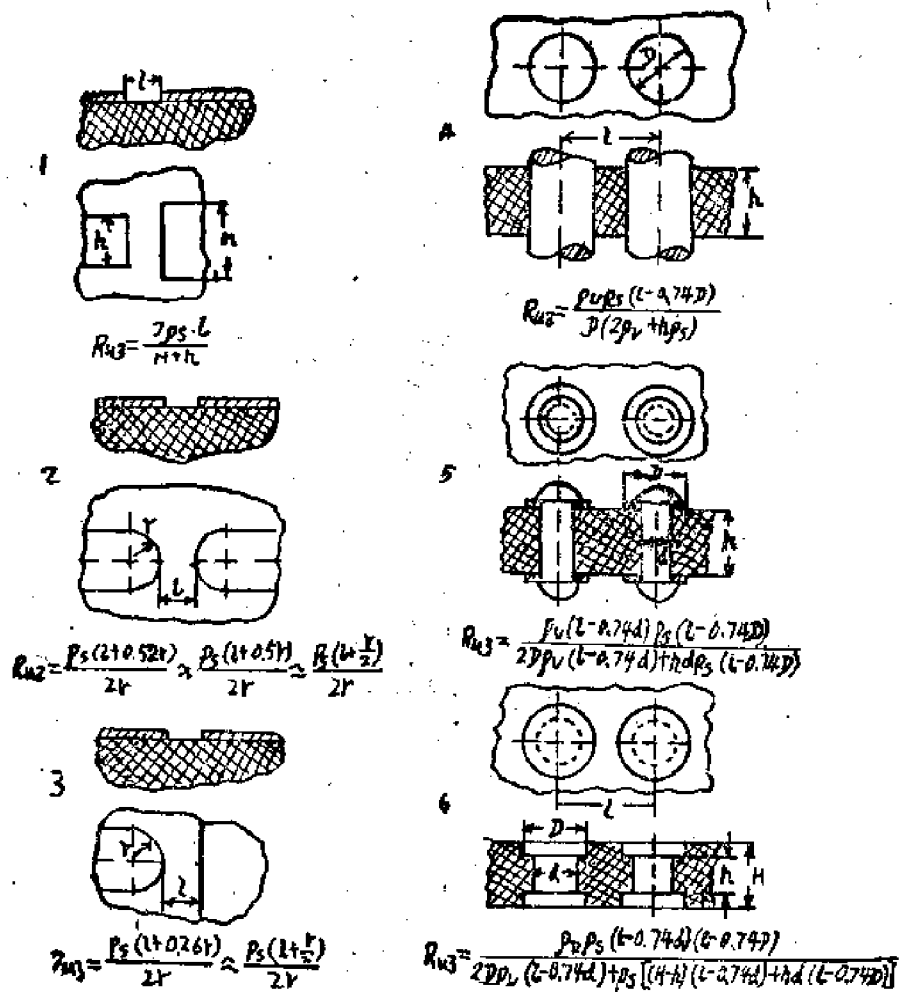


圖5——502 載流元件的幾何形狀和它們的絕緣電阻計算公式

在高壓電路中發生絕緣击穿時，將會使無線電設備的工作受到破壞。因此，高壓電路的絕緣問題，是極為重要的問題。

絕緣材料被擊穿後，其擊穿處的絕緣性質劇烈的惡化，並轉化成具有導電或半導電的性質了，擊穿現象，可能是沿着材料的厚度發生的（貫穿式擊穿），亦能是沿着材料的表面發生的（表面擊穿）；當高壓導線間，存在空氣時，除了會發生電擊穿現象外，亦可能產生所謂“電暈”現象，後者在比較低（與電擊穿相比較）的電位梯度下，就會出現。“電暈”是放電的一種特殊形式，其特徵是，在載流元件間的空氣，產生游離和閃光。

所有的絕緣零件，均具有一定的抗電強度，抗電強度大小，常用試驗電壓值來表示，所謂試驗電壓，就是指零件在此電壓短時間（一般為1分鐘）的作用下，不會產生擊穿和表面“飛弧”現象，試驗電壓一般比實際的工作電壓要高幾倍。

試驗電壓的數值，決定於工作電壓值和零件運用時的氣象條件。在標準氣象條件下工作時，如果所需工作電壓為100伏，則試驗電壓可取500伏，在高濕度的條件下，對於上

述工作电压值，試驗电压則應降為250伏。

當工作电压大于100伏時，試驗电压值則應按下列公式求出。

對於標準氣象條件：

$$u_x = 2u_p + 100 - \frac{7.5 \cdot 10^4}{0.5 \cdot 10^5} - \frac{u_p^2 p}{0.5 \cdot 10^5} \quad (5-505)$$

對於高濕度情況：

$$u_x = 1.5u_p + 500 - \frac{4 \cdot 10^4}{u_p} - \frac{u_p^2 p}{1.2 \cdot 10^5} \quad (5-506)$$

上列公式中： u_x ……試驗电压（伏）

u_p ……工作电压（伏）

在圖5—503中，用曲線示出了試驗电压和工作电压的關係，可用此圖來確定試驗电压值。

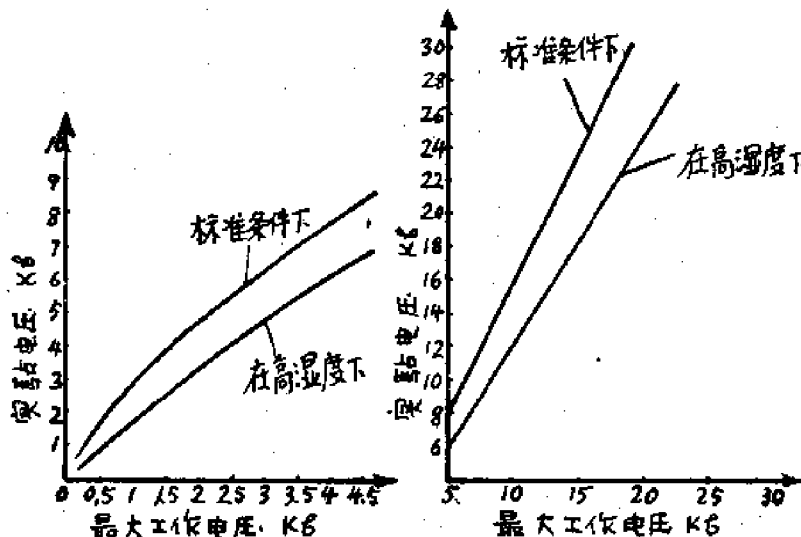


圖5—503 試驗电压和最大工作电压間的關係曲線

在設計高壓部件和零件時，必須考慮到，為使部件和零件，在試驗电压作用下，不會產生局部的放電和毫無抗電強度不夠的象徵，因此，應該給予一定的安全系數，一般安全系數值，可取1.5—2。

所有絕緣材料的擊穿電場強度值，可在相應的技術條件中查得，因此，對於具有一定厚度的材料，其擊穿電壓值，可用下式算得。

$$u_x = u_1 \sqrt{\frac{d}{\rho}} \quad (5-507)$$

其中： u_x ……擊穿電壓（千伏）

u_1 ……擊穿電場強度（千伏/毫米）

d ……材料厚度（毫米）

所有介質（液體的、固體的和氣體的）的擊穿電壓，均與電場的形式有關。固體介質的擊穿電場強度，將隨材料厚度增加而降低。

高压部件和零件的計算步驟如下：

1. 確定在標準氣象條件下的試驗電壓 u_u ；
2. 給定安全系數 $K = 1.25 \sim 2$ 後，確定計算用電壓 u_p ；

$$u_p = Ku_u \quad (5-508)$$

3. 求出擊穿電壓：

$$u_x = u_1 \sqrt{d}$$

4. 比較計算電壓和擊穿電壓

如果 $u_p \leq u_x$ ，則設計將是正確的。

應該指出，計算所得數值，僅是一個近似的數值，因為，在計算時，沒有考慮到電場的形式。

在特別重要的情況下，建議採用製造實驗用樣品的方法，來確定部件和零件的抗電強度值。

例：確定在標準氣象條件下，墊衬用紙膠板必須的厚度，已知：工作電壓為1500伏，紙膠板的擊穿電場強度 $u_1 = 2.3$ 千伏/毫米。

解：根據圖5-503，查得試驗電壓 $u_u = 4$ 千伏現取 $K = 1.5$ ，則可算得 $u_p = 1.5 \cdot 4 = 6$ 千伏，如果取 $u_p = u_u$ 做為合格條件，可算出材料應有的厚度：

$$d = \frac{u_x^2}{u_1^2} = \frac{36}{5.29} = 6.8 \text{ 毫米}$$



第六章

磁性零件

§6—1 应用于磁路中的磁介体

所謂磁介体，就是用介質把分散的鐵磁體顆粒粘結起来的一种磁性材料。

制造磁介体的过程，實質上就是将鐵磁體粉末和有机的或無机的絕緣胶合剂混合的过程。

作为磁介体基本成份的鐵磁物質，應該具有高的磁性質，而絕緣胶合剂應該可以密实的包围住每一顆金屬的粉粒，并使粘合成的零件具有所要求的机械强度和剛度。除此之外，还要求胶合剂的性質不会随时间發生变化（即不会陳老）。

目前常用的磁介体的基本成份，主要是矽基鐵或鋁硅鐵的粉末。

絕緣胶合剂則常用酚醛樹脂、聚苯乙稀、虫胶、液体玻璃和其他絕緣材料。

磁介体零件的导磁率，是用有效导磁率来表征的。有效导磁率的高低主要决定于：铁磁体的磁性質、顆粒的形状和尺寸、含絕緣胶合剂的百分比、鐵芯的结构和制造的方法等。

有效导磁率 $M_{\phi\phi}$ 的数值，等于線圈带鐵芯时的电感量 L_c 对于無鐵芯时电感量 L 的比值，可用下式表示：

$$M_{\phi\phi} = \frac{L_c}{L} \quad (6-101)$$

I 矽基鐵：

矽基鐵的优点是分散度高，顆粒具有在模压时不致损伤絕緣膜的理想球体形状，除碳、氧和氮以外，矽基鐵沒有任何其他的附加杂质，可能用大小不同的顆粒配成粉料，以达到最高的体积占空密度等。

目前，矽基鐵粉末已被制成五类：P—2、P—4、P—8、II和BKJ， 在表 6—1 中 指出了它們的化学成份和顆粒的尺寸。

矽基鐵粉末的电磁性質与它本身的顆粒尺寸、化学成份和結構形式有关，實驗列出，球形顆粒的粉末具有最好的性質。

从表 6—1 可以很明显的看出，BKJ型矽基鐵具有最大的起始导磁率。

BKJ型矽基鐵，是将普遍的矽基鐵粉末进行热处理而制得的。热处理的条件是真空度为0.1毫米水銀柱，温度为800°C，热处理的結果，使顆粒表面層中的氮、氧和碳的含量均大大的减少了，因而粉末亦从無光澤变得發亮了，所以，用BKJ型粉末所制成的零件，亦具有和金屬一样的光亮表面。

表 6-1 精基鐵粉料的化學成份，顆粒的平均直徑和電磁參數

鐵基 鐵的 種類	化學成份的百分 數(按重量)				顆粒的平 均直徑 d_{ep} (微米)	基本電氣參數			
	Fe	C	O ₂	N ₂		用環形鐵 芯測得的 起始導磁 率 μ_0 (高斯/奧)	磁滯損耗 系数	渦流損耗 系数	后效損耗 系数
P-2	97.5 -98.0	0.8 -1.0	0.2 -0.7	0.6 -0.8	2	13	0.16	2.1	0.3
P-4	96.0 -98.5	0.7 -0.9	0.2 -0.3	0.6 -0.8	4	12	0.15	2.0	0.3
P-6	98.0 -98.5	0.7 -0.9	0.2 -0.3	0.6 -0.8	8	12	0.13	2.0	0.3
II	98.0 -98.5	0.5 -0.7	0.4 -0.5	0.6 -0.8	2	13	0.11	2.5	0.4
БКОЖ	99.9 -99.59	0.05 -0.1	net	net	10	60	11	18	1.4

注：1. II类粉料用于有线电通讯中

2. BKЖ类粉料是由直接还原的铁基铁制成的。

具有铁基铁铁芯的线圈，电感温度系数为正值，工作频率可以达到100兆赫(工作频率与所用胶合剂的材料有关)。

II 鋁硅鐵：

鋁硅鐵是鉛、矽和鐵的合金 (Al—5.6%，Si—9.5%，Fe—84.9%)。鋁硅鐵質的鐵芯具有很高的有效導磁率 (30以上)，電阻系數等於1.5歐·平方毫米/公尺。

鋁硅鐵的製造方法，是把合金的各成份，放在高頻電爐的坩堝中熔化，并鑄成任意形状的杆或板，冷却后击碎，然后在球磨机中碾成平均尺寸为20微米的颗粒。但用这种方法制得的颗粒，其表面会形成硬结 (金属颗粒表面永恒变形的结果)。

为了消除颗粒表面上的硬结，应把细粉在限制着的空气中，以800°C的温度进行烟火。在烟火过程中，粉粒的表面将获得一层氧化铝和氧化硅薄膜。这层皮膜具有絕緣性，能降低涡流损耗，并保护颗粒，使其表面不再形成硬结。

以鋁硅鐵制成的鐵芯，能在10兆赫以下的频率中，代替鐵基鐵鐵芯。

用鋁硅鐵作鐵芯的线圈，具有負的电感温度系数，鋁硅鐵会随着时间而陈老，于是也就会使該零件的参数发生变化。

§6-2 用磁介体制造铁芯

常把制造铁芯的过程划分成以下两个阶段：

1. 磁介体粉末的制造；

2. 铁芯的制造。

在制造磁介体粉末时，常采用的胶合剂，是酚醛树脂和聚苯乙烯，酚醛树脂的最佳含量是4%（按重量计）。

树脂含量的最低值为3.5%，低于这个数量，则所制得铁芯的机械强度就剧烈的下降。

制造粉末所用的酚醛树脂溶液，是由1份重量的酚醛树脂和4份重量的乙醇配制而成的。为了要去除一切杂质，溶液应该用900孔/平方厘米的筛子滤过，然后，把按计算值称好的羰基铁粉末，连同配好的溶液，一起倒入机械搅拌器内，在40—50°C的温度下，搅拌均匀，加温的目的，是为了加速乙醇和一切水份的蒸发。配好的混合料中，只应含0.9—1.2%的水份，最后把仔细拌匀的但具有一定湿度的混合物，以400孔/平方厘米的筛子筛过备用。

如果是以聚苯乙烯作为胶合剂，则用能通过10000孔/平方厘米筛子而没有一点残余的聚苯乙烯粉末与羰基铁粉末混合。聚苯乙烯的含量，按计算，应为混合物重量的10—13%。两种粉末的混合，可在圆筒形球磨机中进行。为了能仔细地拌匀，搅拌的时间应为10—12小时，搅拌时，在球磨机内不放置小球，以免在搅拌过程中使羰基铁粉末形成不希望的硬结。

把拌匀的混合物，用专门的挤压机，在170—180°C的温度下，通过挤压机上装设的内直径为1毫米的嘴子，挤压成杆料。待杆料冷却后，把它击碎备用。

聚苯乙烯是一种高频率介质材料，它比热固性树脂具有较小的损耗，所以，在制造工作于高频率条件下的磁路时，常用它作为胶合剂。除此以外，聚苯乙烯还具有不会随时间而陈老的优点。

现在，已能用磁介体制造任何结构形式的零件了。图6—201示出了某些典型的磁路结构。

制造磁介体零件的方法有：冷压、热压和压铸等三种。

冷压法，用酚醛树脂作为胶合剂的磁介体粉料。热压和压铸法，则适用于以聚苯乙烯为胶合剂的粉料。

1. 冷压：可以用羰基铁磁介体制封闭式环型铁芯，（图6—301）的工艺作为冷压的例子。

环型铁芯可按下列程序制得：

1. 冷压成形；
2. 胶合剂的聚合和铁芯的老化；
3. 防潮浸渍；
4. 环型铁芯两端面的处理；
5. 磁参数的检验。

冷压可在能将精确控制比压力 P_{Rk} 的液压机上进行。

冷压时，最佳的比压力是8—10吨/厘米²。当比压力从0增加到8吨/厘米²时， μ 值将随压力的增加以线性的规律增加，继续增大比压力至16吨/厘米²时，磁导率实际上

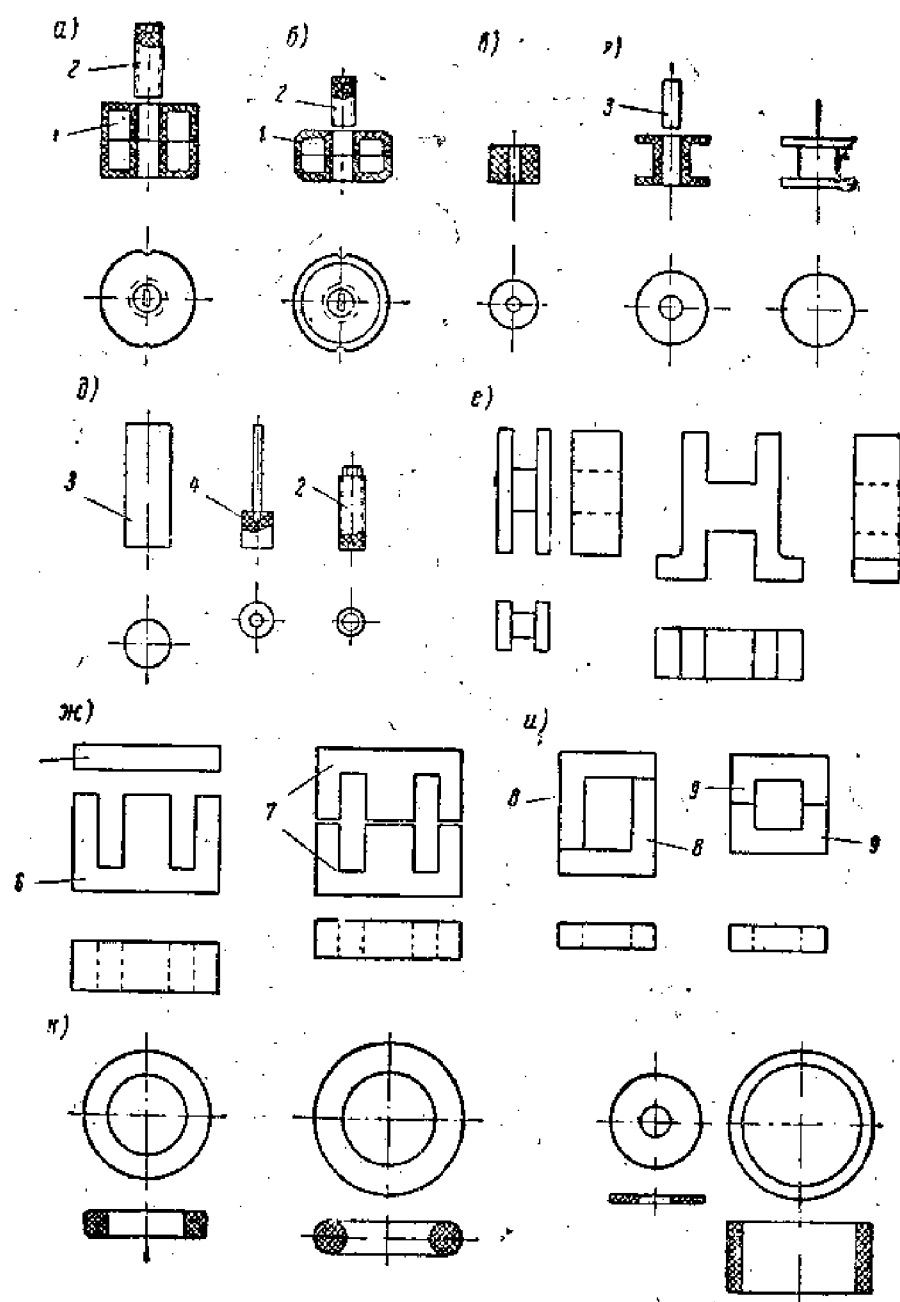


圖 6 —— 201 磁介質鐵心的形狀

- | | |
|-----------------|----------------|
| a和b——封閉式杯型鐵心 | d——有中心穿孔的圓柱型鐵心 |
| c——具有平滑微調的鐵軸型鐵心 | e——圓柱型鐵心 |
| b——U型鐵心 | f——芯軸型鐵心 |
| e——環型鐵心 | |
| 1——杯型鐵心的一半部分 | 2——帶螺紋微調杆 |
| 3——平滑微調杆 | 5——磁路的閉合部份 |
| 6——磁路的山形部份 | 7——山形部對接成的磁路 |
| 8——磁路的U形部份 | 9——磁路的II形部份 |

不再增大，但是，却使涡流损耗增加了。

采用高于11吨/厘米²的比压力，将会加速模子的磨损。当压力高到16吨/厘米²时，将会使磁介质的粉末从圆球形颗粒变成六角形颗粒，后者因具有尖锐的棱角，故会将绝缘的薄膜割裂，造成导电率的增加，从而使涡流损耗和磁导率均增大。

随着比压力的增加，被压制零件的硬度亦将增加，原因是压力增加后，羰基铁颗粒在零件中的体积占空系数增加了，同时，颗粒还形成了会使零件硬度增大的硬结。但是，由于在冷压时粉末的流动性较差，因而沿着零件的高度、硬度和密度将是不同的。在单面施压的情况下，零件的上层，因直接受到上模压力的作用，所以硬度和密度较大，而零件的底层，硬度和密度则较小。愈靠近零件的底层，硬度和密度愈小的原因是，因为从零件上面所加的外压力，有一部份消耗在克服粉末颗粒间的内摩擦力和粉末与模壁间的外摩擦力上了。应该指出，当零件的高度为它的直径5—6倍时，零件的底部几乎完全受到不到压力的作用。

除了上述由于压制过程的物理特点所引起的不同均匀性外，不完善的工艺操作亦会引起不均匀性的出现，譬如，当把粉末装入压模中时，由于分布得不均匀，就会引起零件各部份密度和硬度不均匀性的出现。当零件的高度不大，而在垂直于外加压力方向的表面积很大时，这种不均匀现象，将特别严重。

图6—202示出了两个重量一样的铁芯，其有效导磁率随长度变化的情况，铁芯a是用单向加压制得的，而铁芯b则是利用双向加压制得的。在胶合剂聚合以后，把铁芯切成如图6—202所示的五个部份。测量每一部份的有效导磁率 M_{eff} 值，将得到如图6—

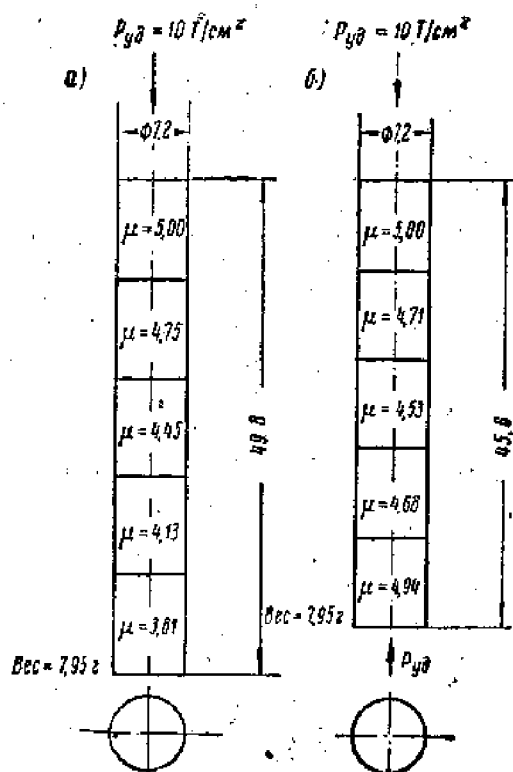


图6—202 圆柱形铁芯有效导磁率的变化与冷压时加压方式的关系

a——从上向下单向加压

b——双向加压（由羰基铁和酚醛树脂胶合剂制成的磁介质）

202所示的分布情况。从零件长度的比值（49.8和45.6毫米），以及从有效导磁率平均值的比值（4.79和4.41），我们可以看出，有效导磁率是随零件的密度或线性规律变化的。

在冷压外形复杂的零件时，应该用双向压力，以增加零件的凸部、壁或其它结构部份的机械强度，并提高零件的有效导磁率。在将粉末装入压模时，使粉末分布均匀，这对于所有的压制方法都是必须的，为此，常采用振动式摇摆压模的措施。

压模常以高合金钢X12M（铬钢合金钢），XBГ（铬、镍钢合金钢）或别种能耐高压的钢料制成，模子制成经热处理后，都须进行抛光和镀铬。

为了要使压制的制品尺寸完全一致，在装每一服粉料时，均应秤量得很准确。

压制时的施工温度是15—20°C，每次保持规定的压力1—2秒鐘，配制粉料时，残留在粉料中的水份（0.9—1.2%）起着胶合剂的作用。所以，干燥了的粉料，就须用乙醇和水，以5:3的比例配成的混合剂来潮湿。

压制的铁芯，应在空气中放置数小时，以消除压制时所造成的内应力，同时排出潮气，当使用了需要聚合的胶合剂时，应在消除内应力和排除潮气后，将铁芯放到有温度自动控制装置的加热炉中，按胶合剂聚合时所需要的温度和时间进行胶合剂的聚合。

当铁芯是由两个或数个零件组合而成的时候，在各组合零件结合的表面间如果存在空隙，将对铁芯的性质产生严重的有害影响。（如使导磁率大大下降。因此，各零件的结合端面，都必须用00号金剛砂的齿輪进行仔细的研磨。）

用铝硅铁来制造铁芯的工艺，与上述的工艺完全相似。唯一的区别是所需的压力较低（7—8吨/厘米²）原因是铝硅铁颗粒具有尖锐的棱边，如果仍用8—10吨/厘米²的压力，就会使颗粒间的绝缘薄膜受到破坏，从而使涡流损耗增加。

II. 热压：

用热压法压制零件时，压模要加热到180~200°C。由于这温度的作用，使聚苯乙烯过渡到液体状态，这时，如果施加4—5吨/厘米²的比压力，就能很均匀的把粉料压满在模型中，因而，无须象冷压法那样，有时须要用双向加压的方法。

为了要获得结实的组织，压力应保持3~10分钟（所需时间的长短，决定于零件的尺寸）。

待加压的操作完成后，用水冷却压模至80~85°C，然后取出制品。随之，又可重新加热压模至170~200°C，进行下一次压制。

从这里可以看出，热压法所需时间比冷压法要多，所以生产效率亦较低，但是，用热可塑性树脂做胶合剂，可以省去用长时间来进行聚合和陈老。此外，如果是采用了高频绝缘材料（象聚苯乙烯，还能大大提高制品的电和磁的性质。

热压法主要的优点是，粉料能够很容易的注满模型的各个凹下部份，而且，密度亦很均匀。这一点，对于外壳复杂的，有细致螺纹的或其他特殊结构部份的零件，显得特别重要。

以聚苯乙烯或其他热可塑性树脂做绝缘胶合剂的磁介质，具有可逆的加工性能，也就是说，有缺陷的零件能够作为原料重新用热压法，再进行压制。

III. 壓鑄:

在制造以聚苯乙烯为胶合剂的磁介体零件时，最常采用这种方法。在該法中所使用的加工装置与压力模鑄塑料的装置一样。磁介体在压鑄机的坩鍋中被加热到210~220°C，此时粉料則熔化成流动状态，所以，很容易从坩鍋中压入模子內。为了提高生产率，模子总是尽可能做成多型腔式的。为保証所压得的制品尺寸一致，模子应保持一定的温度不变，所以，須要用水来对模子进行不断的冷却。在压力作用下，熔化的原料注滿模腔所需的时间很短，大約是十分之几秒钟。原料注滿模腔后，应保持所加压力不变（大約保持2~3秒钟），直至制品在模中完全硬化为止。制品硬化后，即可从压模中取出。

制成的磁介体零件，不允許再接受任何压力或切削的机械加工，因为这些机械加工的作用，都可能招致金属微粒的永恒变形（硬結）。

磁介体是吸潮性的物质，所以必須用浸漬地腊，蘸漬或灌注混合物，以及密封的方法，来防护湿气对制品的作用。

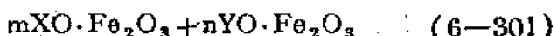
制品的質量，应当經技术檢驗确定。技术檢驗包括：按圖檢驗外形尺寸，机械强度以及测量制品的規定参数（如 μ 值， Ω 值，抗电强度，絕緣电阻）等。

§6—3 鐵淦氧磁路的制造

由于無線电技术不断的發展，因而要求創制一种高頻时損耗小，而导磁率高（100及1000数量級）的磁性材料，用非金屬鐵磁材料作成的鐵淦氧或氧化鐵（磁性陶瓷材料）可以滿足所提出的要求。

鐵淦氧的磁特性同它們結晶点陣的排列有关，通常它的結晶排列是属于立方体的，立方結構是在燒結两价金屬（如鎳、鋅、錳、錫、鎂）的鐵淦氧时所形成的。

这些化合物化学分子式的一般形式为：



式中：X和Y—表示两价的金屬

鐵淦氧磁路制造工艺的實質，是在于得到用非磁性鐵淦氧（鋅、錫、或鎂的鐵淦氧等）作成的固体液浆。将固体液浆制成鐵淦氧的反应是直接在（1100—1400°C）温度作用下实现的，也就是说，在焙燒压成的零件时，将使分散的粉末顆粒燒結成密实而結構均匀的物质。

焙燒后的鐵淦氧，获得很大的硬度，其断面与焙燒成的陶瓷断面相类似，亦具有細緻的結晶结构，由于鐵淦氧在焙燒后是一种結構均匀一致的体系，所以与磁介質是有区别的。

根据鐵淦氧的电气特性，可把列入半导体类。它的直流比电阻等于 10^6 — 10^{11} 歐/厘米，这比金屬鐵磁材料的比电阻要高 10^6 — 10^{11} 倍。

鐵淦氧磁路的制造可按下列工序进行：

1. 原材料的化学分析；
2. 将成分相同的材料磨碎成粉末；
3. 把胶合剂加入粉料中，以使混合物具有一定的可塑性（这是压制零件所必需的）；

4. 将混合物作成所要求的结构形式—成形；

5. 零件的烧结。

供制造粉末用的原始材料有：

1. 氧化物：

氧化铁 (Fe_2O_3)；氧化亚镍 (NiO)；氧化锌 (ZnO)；氧化镁 (MgO)；氧化铜 (CuO)；氧化亚锰 (MnO) 等。

2. 氢氧化合物及低价氢氧化合物： $Fe(OH)_3$ ； $Ni(OH)_2$ ； $Zn(OH)_2$ ； $Mg(OH)_2$ 等。

3. 硫酸盐： $FeSO_4 \cdot 7H_2O$ ； $NiSO_4 \cdot 1H_2O$ ； $ZnSO_4 \cdot 7H_2O$ 。

碳酸盐，硝酸盐及其他盐类也可以应用。全部材料在生产之前，都要进行化学分析，以决定配料的成分。

粉料的准备：在烧结过程中欲得到结构均匀的铁淦氧，决定的因素是：将原始材料制成具有高度分散性的粉末，并把它混合均匀。

可用几种方法制得粉料：沉淀法，分解法和加热分解法等。将各种物质分解得到的氧化物按一定比例进行混合。

欲使制成的铁淦氧，具有所要求的质量，其基本条件是严格控制原材料的用量，尽可能的消除混杂到粉料中的杂质；以及严格的遵守磨碎，压制和烧结的工艺规程等。

可用由氧化物制造镍、锌、铁淦氧的工艺程序作为例子来说明铁淦氧的制造过程。

1. 磨细材料：首先将称好的材料倒入振动式球磨机（图 6—301）中进行磨碎。如果各种材料的硬度差别较大，就应分别进行磨碎，然后在球磨机中进行仔细的混合，把用淬火钢做成的钢球（直径为 20—40 毫米），放入振动式球磨机中，（材料与钢球的最佳重量比是 1:3 大于这个比例就能缩短磨碎时间）。

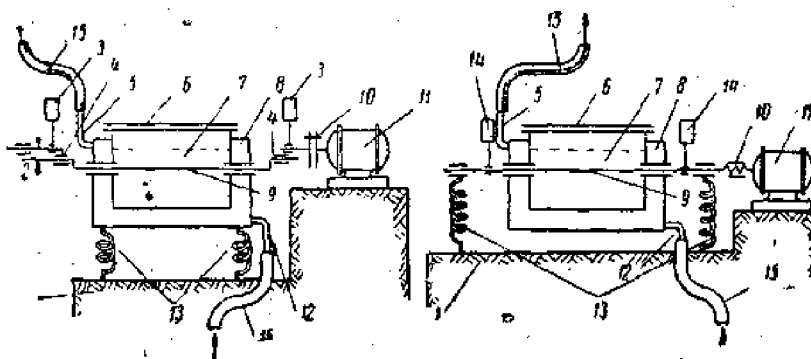


图 6—301 振动式球磨机

a—振动式球磨机的全貌		6—两种振动式球磨机的工作原理图			
1—基座	2—振动数值	3—摆臂	6—振动箱的盖子	9—轴	12—冷水输入管
4—转动的轴承	5—排水管	6—振动箱	8—水套	10—电动机	15—橡皮管
7—振动箱	8—水套	9—轴	11—电动机	12—冷水输入管	15—橡皮管
10—联结器	11—电动机	10—联结器	13—弹簧	14—振动器	15—橡皮管
13—弹簧	14—振动器	11—电动机	12—冷水输入管	13—弹簧	14—振动器

为了磨碎高强度的材料，振动式球磨机的振幅 S 应为 2—2.5 毫米，振动的频率 $f=25$ —30 赫芝，当材料和钢球的体积占振动箱容积的 60% 时，根据材料的硬度，可选择材料和球的重量比从 1:3 到 1:8。

为了消除被磨材料内的金属粉粒，在振动箱的内壁及盖子的内表面上铺盖一层厚约 10 毫米的橡胶，细小的橡胶微粒不会影响材料的成分，因为在做成固体液浆前橡胶的微粒就被烧尽了。对被磨材料进行多次的分析证实淬过火的钢球，不会在材料内引入微小的金属粒子。如果被磨材料中不允许有一点金属粒子存在时，建议球及振动箱的内壁都用焙烧过的同类铁淦氧做成。用振动式球磨机来磨细材料时，大约经过 40 分钟后，粉粒的直径就达到 5—10 微米。

在进行振动球磨时，将会析出大量的热能，因此，应在振动箱的外面包一层通水的外套，以便不间断地通入冷水，对箱子进行冷却。

经检验合格后的粉料，即可装入用耐火泥做成的圆柱形烧炉中进行烧炼。烧炼炉的温度以每小时 200—250°C 的速度上升，镍锌铁淦氧粉料烧炼的最高温度是 900°C，当温度升至 900°C 后保持此温度约一小时。烧炼的目的是为了消除混入粉料内的有机物，并实现局部形成结晶点阵的化学反应，这样，就使烧结后，材料都结合成块状，因此，必须进行第二次振动磨碎，以得到尺寸为 4—6 微米的颗粒，因为只有当材料具有高度的分散性时（颗粒的尺寸应为 1 微米或者更小）才能获得最均匀的结晶结构。

2. 加胶合剂：

加胶合剂的方法，是把胶合剂和前面准备好的粉料放在一起，进行长时间的充分搅拌。如果，所采用的胶合剂是石蜡，则在搅拌时，须将球磨机的搅拌箱，加热到 80—90°C，搅拌连续进行 3—4 小时。搅拌以后的混合物，应能通过规定的筛孔，在搅拌好的混合物中，石蜡的数量占 10—16%。在个别的情况下，石蜡中还要加入少量的蜂蜡、油酸和桐油。

当用强挤法（通过一定形状的嘴子）来制造零件时，采用的胶合剂，是 36% 桐油和 18% 糊精的混合物，所用的糊精是预先溶解在水中的机械混合物（其中糊精按重量计为 46%）。强挤法所用的粉料，是由 68%（按重量）的粉料和 32% 的胶合剂配成的。

3. 成形：

成形的方法有冲压、压制、强挤和热压铸等，由此可见，铁淦氧零件的制造方法，是与陶磁零件的制造方法相类似的。

用压制法制造零件时，必须用双向加压的方式，为了使长度较大的零件，能获得同样的密度和均匀的导磁率，双向压力不应加在零件的端面上，而应该加在侧面上，譬如：在压制杆形天线、互感器的铁芯和其他一些 $\frac{1}{D} - 78$ 的零件时，就需要采取所述的加压方式。

因为配制成的混合物具有相当大的密度，所以在强挤直径大于 10 毫米长杆形零件时，在已压出杆料的重力作用下，零件的横断面尺寸就随之减小。因此在这种情况下，建议用卧式强挤法。

4. 烧结（即零件的焙烧）用温度可升至 1400°C 的隧道式电炉来烧结零件。装置零件

用的底板是耐火泥或鐵淦氧做成，在板上鋪一薄層氧化鋁的粉末，以防止零件與板產生粘着現象。平板形零件可疊放成几層，各層間用氧化鋁粉加以墊隔，但疊高一般不應超過60毫米。在這種情況下最下層的焙燒零件，應放在燒過的鐵淦氧板上。

焙燒零件時，先以每小時150—200°C的溫升速度，將溫度升至800—900°C，然後以每小時50—100°C的速度，升至零件的燒結溫度（1100—1400°C）在燒結所須要的最高溫度下保持四小時左右，隨後，零件被冷卻到80—100°C，在隧道式電爐中燒結零件所須時間，總共約為15—16小時。

用石蠟作膠合劑的零件，在焙燒之前，須用燒除的方法排掉所有石蠟，譬如，在具有強制通風裝置的電爐中進行燒除。

通風的目的是為了排除石蠟化學分解出來的產物。如果在燒去石蠟時，溫升過快，就會使石蠟燃燒起來，從而造成不可修復的廢品。因此，應該用2—6小時的時間把產品加熱至200—300°C，然後即可將溫度，在一個半小時內升至700°C，這個最高溫度被保持5—10小時（由零件的尺寸決定）隨後再繼續提高溫度，以完成燒結的過程。以石蠟作為膠合材料，僅在成形這道工序中，要求混合物的可塑性較高時，才被採用。

用硫酸鐵、硫酸鋅及硫酸錳作為原料的錳鋅鐵淦氧，可用另一些方法製造，用化學分析的方法，對上述三種硫酸鹽進行質量檢驗以確定 Fe_2O_3 、 ZnO 、 MnO 在它們當中含量的百分數。然後根據表6—2所列數據，計算出製造粉料的配方。

表6—2 錳鋅鐵淦氧的成分（按重量）

鐵淦氧牌號	各成分的百分比（按重量）		
	Fe_2O_3	ZnO	MnO
M—1000	72.6±0.2	9.7±0.2	17.7±0.2
氧化鐵M—2000	71.4±0.2	9.4±0.2	19.2±0.2
M—3000	70.4±0.2	14.1±0.2	15.5±0.2

根據上面的計算值，把硫酸鹽裝入球磨機中，並且在每1公斤原材料中加入0.4克的水，經長時間的濕磨後，將得到的機械混合物，倒在圖6—302所示的振動式干燥器的烘盤2上，在烘盤上面，是內表面為搪瓷的罩蓋4，用電氣加熱元件6，使烘盤得到均勻的加熱。頻率為50赫茲，雙振幅為0.5毫米的振動，與加熱的配合，大大加速了除水過程。蒸發的水蒸氣，通過排氣管5，用通風機抽出。上述的振動狀態使混合物粒子得到約2.5g的加速度，由於料粒的劇烈移動，所以料粒與盤底不會發生粘合；料粒本身也不會形成團塊。10公斤重的混合物在這種振動干燥器上除水及消除團塊的時間，當溫度在最初30分鐘內就升到200°C時，不會超過1小時。

將脫水的鹽的混合物裝在耐火泥制的燒鉢內，在電爐中用950±25°C的溫度鍛燒到不再分解出氣體時為止（約4—6小時）鍛燒後的塊狀物体，再放入振動磨中，磨細到

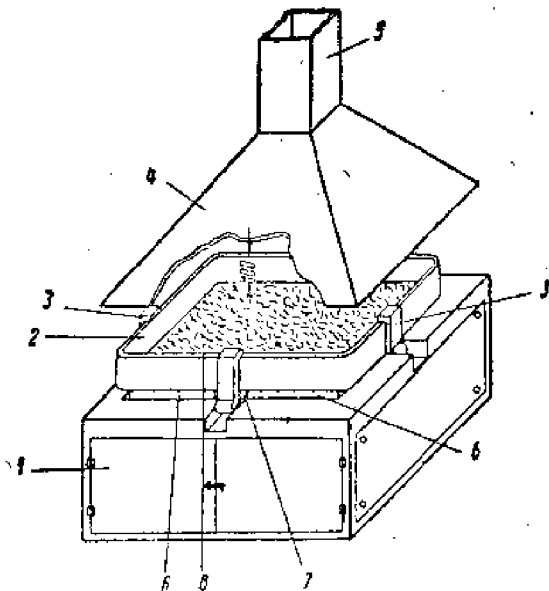


圖6—303 振動式干燥器

- | | |
|----------------|------------|
| 1——内部装有振动机械的合子 | 2——烘盘 |
| 3——固定烘盘的卡夹 | 4——吸气系統的罩盖 |
| 5——吸气管 | 6——电加热元件 |
| 7——十字接头 | 8——被干燥的混合物 |

顆粒的尺寸为4—6毫米为止，然后，用0.3—0.5吨/厘米²的压力，将粉料压成圓柱形或矩形的坯餅，再放入温度为1000±25°C的电炉中鍛燒5小时左右。待坯餅冷却后又用振动器来磨碎和磨細。为使制成的粉料，具有可塑性，故須在粉料中加入浓度为10%的聚乙稀醇水溶液，在粉中加入的水溶液按重量計为10%或者按重量加5%的石蜡作胶合剂。

用制得的混合物以1.5吨/厘米²的压力在压模中，压成零件。如果，是采用石蜡作胶合剂，则在鍛燒前，为了除去石蜡，模压零件，須在250±250°C的温度下，热处理24小时。

把零件装在用錳鋅鐵淦氧作底的板上后，即可放在真空炉中进行焼結。裝載零件可在温度不高于300°C的炉中进行。装完后，炉温按每小时300°C的速度，在正常大气压力下升高，最后达到表6-3（NO: 5、6、7和8）所指示的燒結温度。保持燒結的温度5小时左右，然后随炉冷却，并同时在炉内建立1毫米水銀柱的真空气度。在冷却到1100°C之前，此真空气度保持不变，在由1100°C冷至250°C时，冷却的速度是每小时100°C左右，此时，真空气度保持在0.1—0.3毫米水銀柱的范围内，当炉温冷却到不高于250°C，并在炉内建立起正常大气压力以后，方可开炉取出零件。

零件在燒結后，将發生收縮，收縮的大小，決定于混合物的成分，混合物的制造工艺，压制零件的方法和状态以及燒結的温度等。

某些牌号铁淦氧的收縮系数列于表6-3中。

表 6-3

編號	牌号	焙燒溫度 °C	收縮系數 $K_g = \frac{Q_1}{Q_0}$
1	НЦ-15	1000±10	1.13—1.15
2	НЦ-300	1160±10	1.19—1.21
3	НЦ-1000	1160±10	1.19—1.21
4	НЦ-2000	1270±10	1.22—1.25
5	М-1000	1150—1270	1.10—1.16
6	М-2000	1150—1270	1.10—1.16
7	М-3000	1300—1360	1.10—1.16
8	М-4000	1300—1380	1.10—1.16

温度及其对时间的变化，制造固体液浆的设备情况，以及冷却的状态等，均是确定被制成磁路性質的重要因素，譬如，为了使某些牌号的锰——锌铁淦氧具有所要求的性質，須要使其在燒結后，从1000°C迅速的冷却（淬火）。

在电子計算机和其他电子仪器中，常采用一些具有距形磁滞迴線的小型化环状铁淦氧（尺寸是：高0.5毫米，內徑1毫米，外徑2毫米）。为了制造这种零件，須要特別干燥的原料，为此常用再結晶或其他有效的方法，來徹底清除掉原料內的全部杂质。小型化环状铁淦氧制品的压制，燒結和磁参数的檢驗，均須采用自动化生产的方式，以清除在操作过程中，对于規定工艺状态任何細小的偏差。

随着粉料和铁淦氧物質制造工艺的日益完善，除了可以制造上述含两种金屬的铁淦氧外，还可以进行制造含三种或更多种金屬的铁淦氧。很显然，粉料制造的發展方向，将是掌握制造合金氧化物的工艺，如：制造铁、锌、鎳的合金氧化物，锰、锌、铁合金的氧化物，以及其他合金的氧化物等。为此，应先在真空条件下，預先制成合金。

§6-4 鐵淦氧零件的机械加工方法

經燒結后的鐵淦氧，具有很大的硬度，这样就限制了对它進行机械加工。

与陶瓷零件的机械加工方法相似，可用砂輪、金屬絲、超声波、金鋼鋸，以及用金鋼砂磨料粉配合上金屬管等方法来加工鐵淦氧零件。其工艺过程与对陶瓷的加工工艺完全相同。

铁淦氧零件的表面經過良好的研磨和抛光，可以达到分子咬合的程度，这样就有可能进行复杂结构磁路的裝合。

将环形磁性瓷切割成两部分的加工方法是具有实际意义的，譬如，对于电视射綫管的偏轉系統，所用的环形铁淦氧，就須要进行切割。这种方法的实质，在于加热涂复在环形铁淦氧表面上的导电層，由于加热处的热膨胀，零件就自行断裂。在須要切割的

环形铁淦氧的表面上用石墨笔画涂一条宽約0.7—1毫米的石墨线，然后，在石墨线的两边加上800—1000伏的交流电压，于是沿着所画石墨线就有約600毫安的加热电流通过。零件就受到加热，而形成裂縫（圖6—401）。

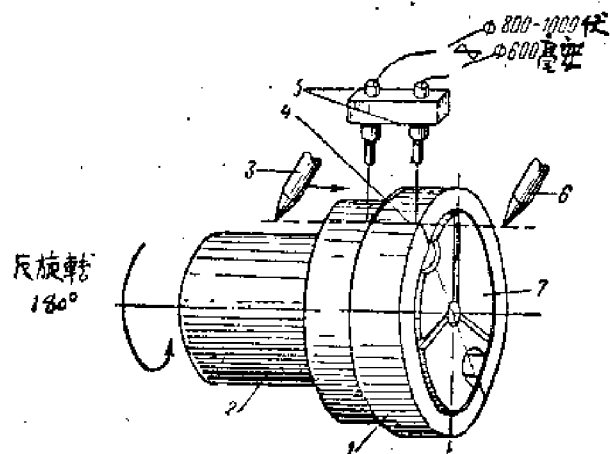


圖6—401 利用局部加热的方法将环形鐵心切割成两部分的說明圖

- | | | |
|-------------|-----------|-------------|
| 1——环形鐵心 | 2——主軸 | 3——画線前石墨的位置 |
| 4——画上石墨線 | 5——引入電的電報 | |
| 6——画線后石墨的位置 | 7——心軸 | |

利用这种方法，可把铁淦氧零件切割成所要求的段数，而不受外形的限制。因此它最适合于切割装配好的，而结构和尺寸都不能改变的铁淦氧零件。

§6—5 鐵淦氧磁路的質量檢驗

焙燒后的鐵淦氧零件，全都要进行外表，几何尺寸及磁特性的技术檢驗。

在車間中仅用简单結構的 Ω 值測量仪，在規定的頻率上，对鐵淦氧零件的 μ 和 Ω 进行檢驗，而在大批生产时， Ω 和 μ 的檢驗应采用与标准試样比較的方法在測 μ 和 Ω 的自動裝置上进行。

对鐵淦氧零件的磁特性檢驗应包括下列各項：

1. 繪出起始导磁率随温度的变化曲綫；
2. 測量导磁率的温度系数；
3. 测量零件的比电阻值；
4. 测量导磁率的不稳定温度系数；
5. 测量强磁场下的損耗角，以及技术条件說明的其它參量的測量。

§6—6 鐵淦氧磁物的应用範圍

鐵淦氧磁物，除了可以作为磁路和鐵芯外，还有其他一系列用途，現将鐵淦氧磁物的应用範圍列于表6—4中。

表 6-4

应用范围	频 率	要求的特性	铁淦氧磁物的性 能	铁淦氧磁物的类型 μ 。	必 具 的 改 善
A, B-H线性的特性曲线，小的磁通密度					
滤波的电感	100 仟赫	在低频上有高的Q值，准确性，稳定性。	高的 μQ 值，低的磁滞作用，可能做成杆状。	锰 锌 1000—2500	较高的 μQ 值 较低的温度系数
中频变压器	455 仟赫	高Q值，稳定性，微调的可能性	高 μQ 值做，成杆状的可能性。	镍 锌* 100—200	在高频上有较高的 μ 值对于温度变化和磁及机械的作用有较大的稳定性。
铁淦氧磁物天线	1000 仟赫	足够高的Q值，稳定性	高的 μQ 值，做成杆状的可能性。		
宽频带变压器	不大于15兆赫	好的频率特性，	高 μ 值，小损耗 使得装配结构的可能性	锰 锌 1000—2500 镍 锌*300	均匀的磁与机 械的特性
可调线圈	各种不同的	有±20%的调节 范围	高 μ 值成形的可 能性	锰 锌 镍 锌*	
线圈中的微调铁心	各种不同的	调节 $>10:1$	实现各种结构的 可能性，在直 流场中 μ 值的可变 性		
小型的零件与结 构	各种不同的	足够的Q值不大的尺寸	实现盒形铁心的 可能性	锰 锌 >1000 镍 锌 $>*1000$	在足够的 Bm时有较高的 磁泡，较小的 损耗
负载线圈	音 频	稳定性，损的调 制，小的损耗	高的 μQ		对直流磁场有 较小的灵敏度 较小的磁滞损 耗。
B,B-H从中间到高的磁通水平的非线性特性曲线					
扫描变压器	15—100 仟赫	低损耗，小体积		锰 锌 >750 镍 锌 $>*750$	较高的磁泡， 较小的损耗， 较高的居里点

表 6—4 (續)

偏轉系統					
小型变压器	脉冲	小体积，便于安装	高 μ 值，做成盒形铁心的可能性	鎳锌4000	较高的磁饱和
載頻变压器	各种不同的				
扼流圈					
滤波电感		高的無功阻抗	高的损耗（在高于极限频率时）	鎳锌>500 鎳锌>※500	
磁带录音头			机械强度小的损耗	鎳 锌	大的磁能平滑的表面

C, B—H 的最高非线性，矩形的磁滞迴线

储能装置	脉冲	两个稳定的磁状态，迅速的反复磁化。	获得小型环的可能性，磁滞迴线是足够的矩形化	鎂 锰	磁滞迴路的较高矩形化稳定性，相同的特性曲线
轉換装置	脉冲	迅速的反复磁化	磁滞迴线足够的矩形化	鎂 锰	在高的输出值时有高的磁饱和。
具有多于一个 小孔的环磁性 放大器					

D, 微波特性

絕緣子衰減器，轉換器， 調幅器，		法拉第效应，鐵 磁諧振，	鎂 锰※
---------------------	--	-----------------	------

E, 磁致伸縮

迟延线					
滤波器与 振荡器					
测量温度的仪器		对温度摆动的 灵敏度	低的居里点，对 温度摆动的灵敏 度		

※) 可以附加地包含鎳、鎢、鉻、銅和鋁。



第七章

电 感 线 圈

高频电感线圈，广泛地采用于无线电设备中，它是振荡回路的重要元件之一。此外还用作滤波元件（高频扼流圈）、耦合元件，以及作为集中参数延迟线的组成部分等。

高频电感线圈可以分成两组：

1. 固定电感量的高频电感线圈。
2. 可变电感量的高频电感线圈。

对电感线圈具有多方面的要求。（例如工作频率范围、功率、用途、使用条件等方面），其结构也是多种多样的，因此，对电感线圈进行更详细的分类是困难的，也由于这个原因，电感线圈目前仍属于非标准元件。

§7-1 电感线圈的基本参数

电感线圈的基本性能可用以下参数表征：

1. 电感量：高频电感线圈的电感值按工作频段和用途而定，其数值一般在自数千分之几微亨到几十毫亨的范围内。电感量的准确度也按用途而定，一般在0.5—15%的范围内。

2. 稳定性：电感线圈的稳定度和电容器稳定度一起决定了振荡回路频率的稳定性，因此，这是线圈的重要参数之一。电感线圈的温度稳定性用电感温度系数（ТКИ）及电感温度不稳定系数（ТКНИ）来表征。

3. 品质因数：

电感线圈的品质因数表征了在线圈中的损耗。线圈的品质因数为：

$$Q = \frac{\omega L}{R} \quad (7-101)$$

其中： ω —— 角频率

L —— 线圈电感量

R —— 线圈电阻，它表征了线圈中总的损耗，并为如下各部分损耗电阻之和；

$$R = R_{\pi} + R_{\alpha} + R_c + R_s \quad (7-102)$$

其中： R_{π} —— 线圈导线及屏蔽罩中的电阻，与频率有关。

R_{α} —— 介质损耗电阻，与频率有关。

R_c —— 芯子的损耗电阻，与频率有关。

R_s —— 辐射损耗电阻，与频率有关。

这样來繞圈的品質因數決定于與頻率及繞圈結構有關的很多因素。一般在(50—300)的範圍之內。

4. 固有電容：

電感繞圈的等效電路(簡化的)可以用圖7—101的形式來表示。

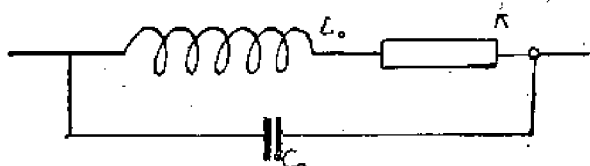


圖7—101 電感繞圈的等效電路

由圖可見，電感繞圈是一個振蕩迴路，其中的電容C₀即電感繞圈的固有電容。

電感繞圈的固有電容是由繞匝間的分布電容形成的，其中一部分通過空氣的，另一部分通過骨架的介質材料。

固有電容對電感繞圈的參量的影響在接近繞圈的固有諧振頻率ω₀ ($\omega_0 = \frac{1}{\sqrt{L_0 C_0}}$)

時特別強烈。因此。電感圈應該運用在工作頻率ω_Р < $\frac{1}{5-10} \omega_0$ 的情況下。

5. 抗電強度：

電感繞圈的抗電強度應該保證工作時不發生沿空氣以及沿骨架表面的擊穿。對於用在發射機及振蕩器中的繞圈來說，這一參量特別重要。

6. 過熱溫度：

即繞圈工作時由於損耗功率所引起的溫升(與周圍媒介的溫度差)。為了使固定繞匝的介質材料不致過熱，導線的過熱溫度不應超過50—60°C。實際上，這種情況只在發射機的繞圈上才存在。

7. 机械强度：

電感繞圈的機械強度應該是保證機械作用(衝擊、振動、加速)下其電氣參量保持不變。當繞圈的機械強度不夠時，在外力作用下所產生的可逆的變形會引起微音效應，而不可逆的變形會引起電感量的變化。

8. 尺寸及重量：

電感繞圈的尺寸及重量應滿足設備所提出的要求。

§ 7—2 電感繞圈的結構

前面已經指出，電感繞圈的結構是極為多種多樣的，按照電感繞圈的結構特徵，可以分成單層的及多層的；屏蔽的及非屏蔽的；有芯子的及無芯子的。

在一般情況下電感繞圈的主要組成部分是：骨架、繞組、屏蔽罩及芯子。

I. 骨架：繞圈的骨架是用來固定繞匝和芯子，以及把繞圈固定到機架或屏蔽罩上的。骨架的結構及材料影響到繞圈的固有電容及損耗。製造骨架用的材料有：膠木化

紙，紙胶管，塑料和陶瓷等。高質量电感线圈骨架應該用高頻介質（聚苯乙烯、高級瓷料等等）來做。

某些情況下，線圈也做成無骨架的形式（如超短波線圈）。

骨架的直徑实际上做成下列尺寸：对于接收机单層线圈 $D = 12 - 20$ 毫米；对于小功率發射机的单層线圈为 $20 - 60$ 毫米；对于蜂房式繞法的多層线圈 $D_o = 6 - 18$ 毫米（在某些情况下达 $20 - 25$ 毫米）。

为了固定繞組的引出端，可在骨架上做出孔来。为了便于与电路連接（錫焊），有时在骨架上鉚上焊片等附件。

圖 7—201 示出了适用于单層线圈以及多層（蜂房式的或者交叉式的）线圈的骨架結構。圖 7—201a 的結構是用紙或者紙胶管做成的，圖 7—201b 及 c 的結構是塑料做成的。在圖 7—201b 及 c 的骨架的內部具有旋入芯子用的螺紋。

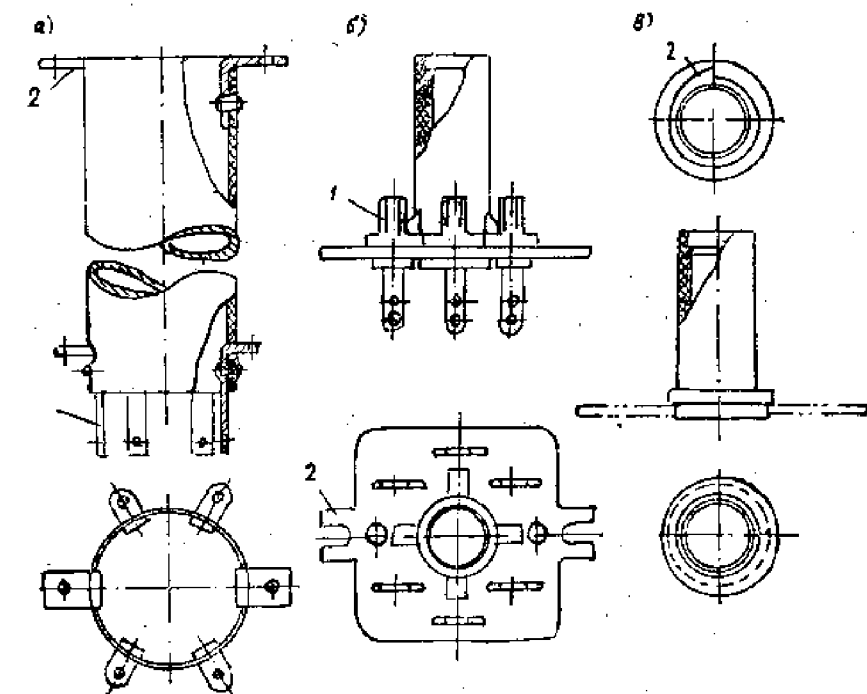


圖 7—201

電感骨架的結構

1 —— 引出焊片

2 —— 固定元件

短波单層线圈电感的骨架的结构示于圖 7—202。圖 7—202a, b, r 所示的骨架可用塑料或者陶瓷做成，b型可用塑料做成。为了提高对机械力的稳定性在圖 7—202c 及 d 的骨架上做出敷設导线用的螺紋。

筋条式骨架（圖 7—203）应用于单層电感线圈，目的是为了减少固有电容及损耗。这种类型的骨架可以用陶瓷及塑料来制造，最常用于發射机的线圈中。

分層式繞法或者准繞法的多層线圈可采用圖 7—204 所示类型的骨架。这些骨架常用塑料做成。为了减少繞組的固有电容，把骨架分段（圖 7—204d）。

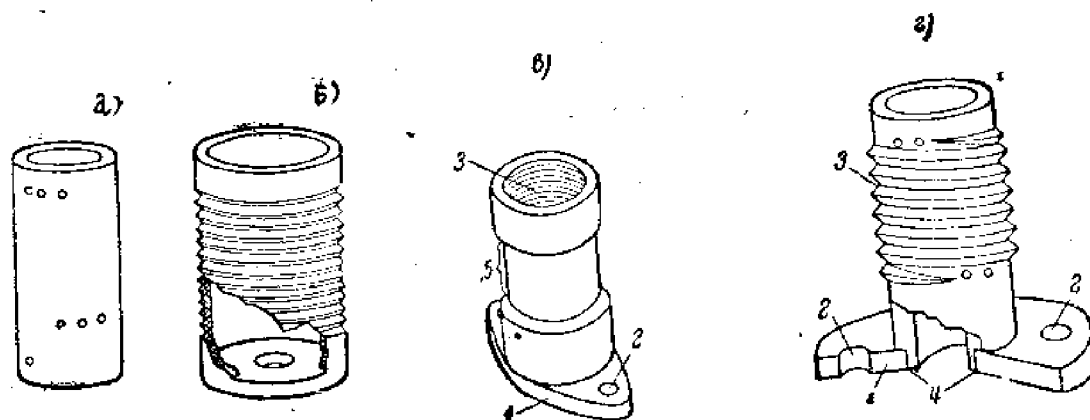


圖 7—202 鋼波繞圈的骨架

a) 光滑的; b) 具有縫槽的; c) 具有裝固用凸緣及限制捲組寬度用的輪眉;
d) 裝合成的;
1 — 凸緣; 2 — 固定用的孔; 3 — 放骨架用的沟槽; 4 — 調節芯子位置用的螺
紋;

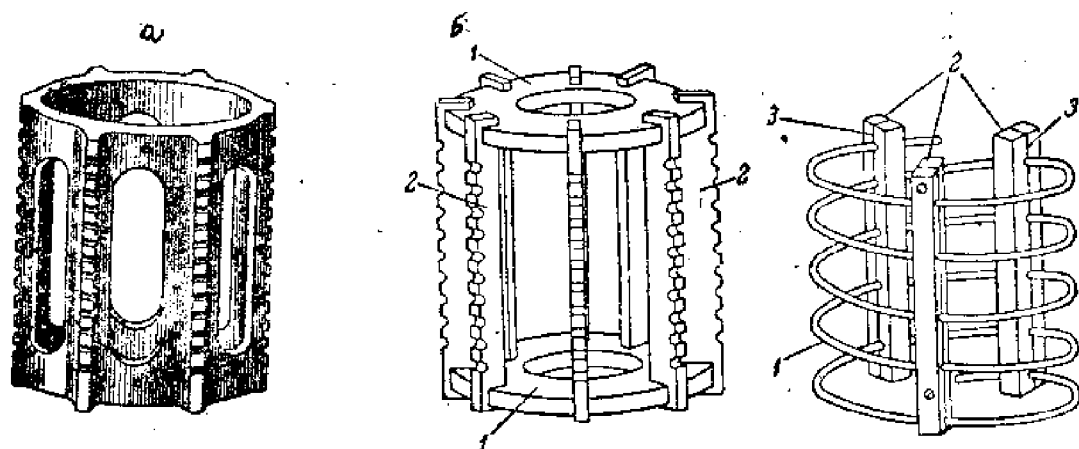


圖 7—203 筋条式的線圈骨架

a) 用陶瓷做成整個的骨架; b) 裝合成的，具有兩個圓盒; c) 用三條筋條固定線匝的
繞圈;
1 — 圓盒; 2 — 筋条; 3 — 导線

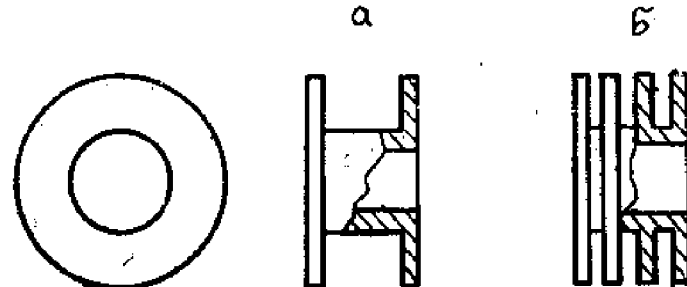


圖 7—204 多層繞圈的骨架

II. 繞組：繞組的型式及繞組的導線根據線圈的工作波段及其穩定性等要求而定。

當頻率低於500千赫時，接收機的電感線圈的繞組做成蜂房式的或者普通多層式的；當頻率高於1.5÷2兆赫時，可以採用單層繞組，當頻率由500千赫到2兆赫時，可以採用單層繞組也可以採用多層繞組。

多層線圈的繞組導線可採用漆包線（ПЭ），單絲漆包線（ПЭШО），單紗漆包線（ПЭЛБО）或編織線（ДГШО）。單層線圈的繞組可採用漆包線，單絲漆包線及被銀軟銅線（МТМ）。

導線直徑根據計算按表7—1及表7—2來選擇。當導線直徑的計算數據不符合于導線的額定直徑時，可選擇最接近導線的額定直徑值。

表7—1 繞組用漆包線、絲包線和紗包線的數據

銅線類定 直 徑 (毫米)	帶絕緣的導線的最大直徑(毫米)					
	優等耐久 漆包線	單絲耐久 漆包線	單紗耐久 漆包線	單 漆包 線	雙絲包線	雙紗包線
0.03	0.038	—	—	—	—	—
0.05	0.065	0.12	—	—	0.16	—
0.06	0.075	0.13	—	—	—	—
0.07	0.085	0.14	—	—	0.18	—
0.08	0.095	0.15	—	—	—	—
0.09	0.105	0.16	—	—	—	—
0.10	0.120	0.175	—	—	0.21	—
(0.11)	0.130	—	—	—	—	—
0.12	0.140	0.195	—	—	—	—
(0.13)	0.150	0.205	—	—	—	—
0.14	0.160	0.215	—	—	—	—
0.15	0.170	0.225	—	—	0.26	—
0.16	0.180	0.235	—	—	—	—
(0.17)	0.190	0.245	—	—	—	—
0.18	0.200	0.255	—	—	—	—
(0.19)	0.210	—	—	—	—	—
0.20	0.225	0.29	—	—	0.32	—
(0.21)	0.235	0.30	—	—	—	—
0.23	0.265	0.32	—	—	—	—
0.25	0.275	0.34	—	—	0.37	—
0.27	0.305	0.37	—	—	—	—
(0.29)	0.325	0.39	—	—	—	—
0.31	0.350	0.415	—	—	0.43	—

表7—1 (續)

銅線額定 直 徑 (毫米)	帶絕緣的導線的最大直徑(毫米)					
	优等耐久 漆包線	单絲耐久 漆包線	单紗耐久 漆包線	单 紗 漆包線	双絲包綫	双紗包綫
(0.33)	0.370	0.433	—	—	—	—
0.35	0.390	0.455	0.51	0.51	—	—
0.38	0.420	0.485	0.54	0.54	0.5	—
0.41	0.450	0.520	—	—	—	—
0.44	0.485	0.550	0.605	0.605	0.56	—
0.47	0.515	0.580	0.63	0.63	—	—
0.51	0.560	0.625	0.68	0.68	0.63	—
0.55	0.600	0.665	—	—	—	—
0.57	0.630	—	0.73	0.73	—	—
0.59	0.650	0.705	0.75	0.75	—	—
0.64	0.70	0.755	0.81	0.81	—	0.81
(0.69)	0.75	0.805	—	—	—	—
0.74	0.80	0.865	—	—	—	0.94
0.80	0.86	0.925	0.98	0.98	—	1.02
0.86	—	0.985	—	—	—	—
0.93	0.99	1.055	—	—	—	—
1.00	1.070	1.135	1.21	1.21	—	1.27
1.16	1.235	1.295	—	—	—	—
1.25	1.330	1.385	1.46	1.46	—	1.82
1.35	1.430	1.485	—	—	—	—
1.45	1.53	—	—	—	—	—
1.50	1.58	—	1.71	1.71	—	1.77
1.56	1.64	1.695	—	—	—	—
1.81	—	—	—	—	—	2.06
2.10	—	—	—	—	—	2.37
2.26	—	—	—	—	—	2.53
2.44	—	—	—	—	—	2.74
2.63	—	—	—	—	—	2.93
3.05	—	—	—	—	—	3.38
3.28	—	—	—	—	—	3.58
3.53	—	—	—	—	—	3.83
3.86	—	—	—	—	—	4.18
4.50	—	—	—	—	—	4.8
5.20	—	—	—	—	—	5.5

注1.括号中的优等耐久漆包綫ПЭЛ-1的尺寸最好尽可能不用。

注2.导线在20°C时的电阻应不大于每米0.01754欧。

注3.最高功率温度为100±5°C。

注4. t 等于100±5°C、对耐久漆包綫ПЭЛ-（繞成兩圈時）的击穿电压应不小于下面所示的数字：

导线直径(毫米)	击穿电压(伏)	导线直径(毫米)	击穿电压(伏)
0.03	100	0.23—0.31	750
0.05—0.07	350	0.53—0.8	850
0.08—0.13	400	0.83—1.35	1000
0.14—0.21	500	1.40—1.56	1250

表 7—2 捲粗用高频导线(編織絞)的数据

单根心綫 額定直徑 (毫米)	心綫數目	导綫切面积 (毫米 ²)	单絞漆包編織綫		双絞漆包編織綫	
			最大外徑 (毫米)	每米的电阻 (欧)	最大外徑 (毫米)	每米的电阻 (欧)
0.05	10	0.0193	0.33	1.035	—	—
	15	0.0294	0.37	0.697	—	—
	21	0.0412	0.42	0.525	—	—
	7	0.0269	0.34	0.760	—	—
	10	0.0385	0.41	0.532	—	—
	12	0.0462	0.44	0.445	—	—
	16	0.0615	0.47	0.333	—	—
	21	0.0818	0.52	0.254	—	—
	28	0.108	0.60	0.190	—	—
	35	0.135	0.76	0.152	—	—
0.07	49	0.189	0.84	0.108	0.91	—
	63	0.243	1.02	0.095	1.09	—
	84	0.323	1.13	0.089	—	—
	119	0.457	1.31	0.075	1.38	—
	147	0.555	—	0.066	1.43	—
	175	0.674	1.60	0.059	1.67	—
	245	0.944	1.82	0.022	1.89	—

	9	0.071	0.52	0.275	—	
	12	0.094	0.57	0.208	—	
	14	0.110	0.60	0.177	—	
	16	0.126	0.64	0.155	—	
	19	0.149	0.67	0.131	—	
	21	0.165	0.71	0.118	—	
	24	0.188	0.79	0.105	—	
0.1	28	0.220	0.82	0.088	—	
	32	0.252	0.87	0.077	—	
	35	0.273	1.04	0.071	—	
	49	0.385	1.15	0.050	1.22	
	70	0.550	1.51	0.035	—	
	84	0.660	1.57	0.029	—	
	105	0.825	1.73	0.024	—	
	119	0.935	1.82	0.021	—	
	175	1.376	2.23	0.014	—	
0.2	7	0.220	0.75	0.085	—	
	9	0.283	0.90	1.063	—	
	12	0.378	1.01	0.050	—	

發射机所用的大功率电感綫圈的繞組可采用銅線、鍍銀銅線及具有各種切面的管子。

III. 屏蔽罩：屏蔽的作用是減少外界磁場的影響及為了消除寄生耦合。屏蔽的效果可用屏蔽系數來表征。屏蔽系數等於在同一干擾場中，未屏蔽的綫圈所感應的干擾電動勢與已屏蔽的綫圈所感應的干擾電動勢之比。

中等質量屏蔽罩（鋁制的）的屏蔽系數約為500。

屏蔽罩的形狀有圓截面和矩形截面兩種，通常用鋁、黃銅、銅做的。鋁屏蔽罩在無線電廣播設備中應用得最廣（因為便宜）。高穩定電感綫圈的屏蔽罩用殷銅及被銅陶瓷（因為它們具有小的線性膨脹系數）做成，為了提高其屏蔽效果，可被復銀層，在要求更高情況下有時採用多層屏蔽。

屏蔽罩的直徑 D_s 通常選為綫圈直徑 D_k 的1.5—2.1倍即 ($\frac{D_s}{D_k} = 1.5 - 2.1$) 波長較

短時比值 $\frac{D_s}{D_k}$ 應選取較小的數值。當屏蔽罩為正方形截面時也可選取同樣比值，此時正

方形邊長 $a = \frac{D_s}{1.2}$ 。屏蔽罩的厚度一般在0.25—0.8毫米的範圍內選擇。

裝上屏蔽罩後，綫圈自感量將降低，而綫圈的固有電容及損耗將增加，這一點在設

計線圈時應加以考慮。

往往把電感線圈和電路的其他元件（例如電容器，電子管等等）一起屏蔽起來，這時屏蔽罩通常用合金鑄成。圖7—205示出某些屏蔽罩結構例子。

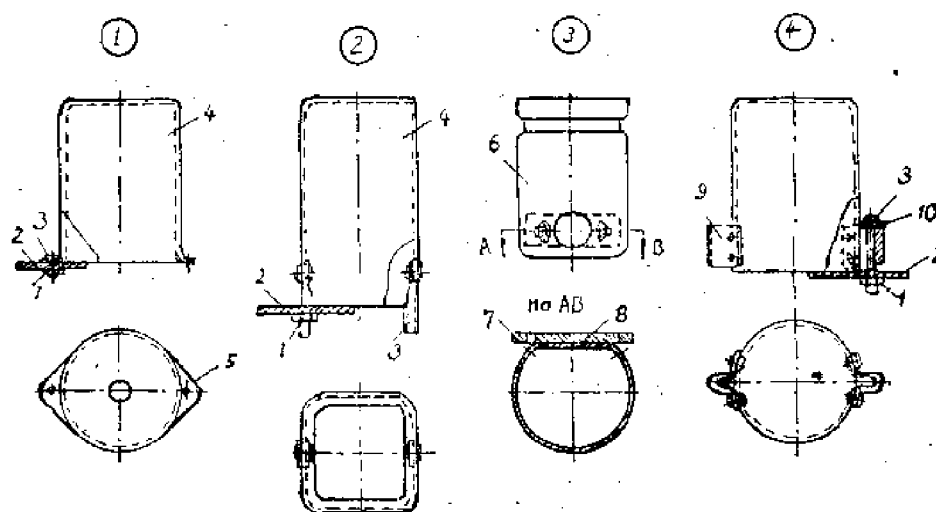


圖7—205 屏蔽罩結構及其固定方法的某些例子

1—螺母；2—設備底板；3—螺釘；4—鋁屏蔽罩；5—固定用的孔；
6—銅屏蔽罩；7—側旁的固定座板；8—焊接處；9—緊固定用的凸耳；
10—墊圈

IV. 芯子：電感線圈的芯子用來增加線圈的電感量或用來調節電感量。為了增加線圈電感量（或在要求一定電感量下，縮小線圈尺寸）和調節電感量，可用高頻磁性材料（磁介質，鐵淦氧）作芯子。在寬頻帶迴路中為了降低線圈品質因數（加寬迴路通頻帶）可以用黃銅作成的芯子來實現電感量的調節。

電感線圈芯子的結構將在“具有芯子的電感線圈的計算”一節中進行討論。

了解了電感線圈各組成部分後，現在讓我們介紹一些電感線圈的結構例子。

在圖7—206中示出了具有屏蔽罩的中波迴路的結構。鋁屏蔽罩是圓切面的。線圈繞組是蜂房式的。圖“a”的骨架用塑料做成；圖“b”的骨架用膠木化紙做成並膠合在紙膠板制成的安裝板上。圖“a”的線圈採用了分段繞組。

中頻濾波器的結構示於圖7—207。迴路線圈的蜂房式繞組是分段的，並且用芯子來微調。正方形截面的鋁屏蔽罩在圖中沒有表示出來。電路的其他元件與迴路線圈一起放在屏蔽罩中。

中頻濾波器的另一結構示於圖7—208。其中迴路線圈採用普通多層繞組，並具有壳型磁芯，磁芯用膠合方法固定在紙膠板制成的安裝座板上。

濾波器的電感線圈常常採用環形磁芯或骨架。其結構示於圖7—209。

用於發射機具有筋條式骨架的電感線圈示於圖210。

固定在電容器上的無骨架電感線圈示於圖7—211。這種線圈運用于米波發射機中。

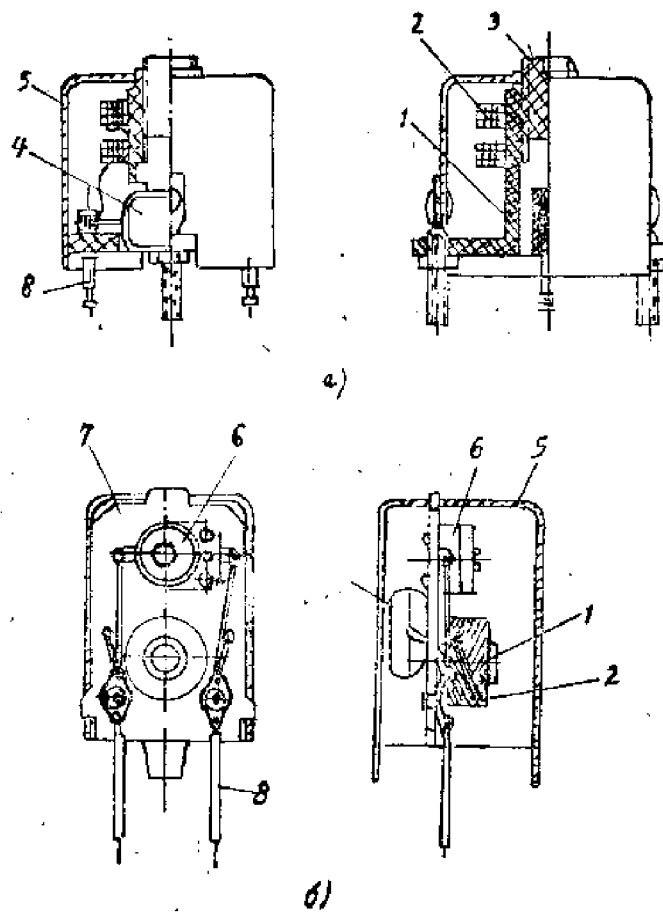
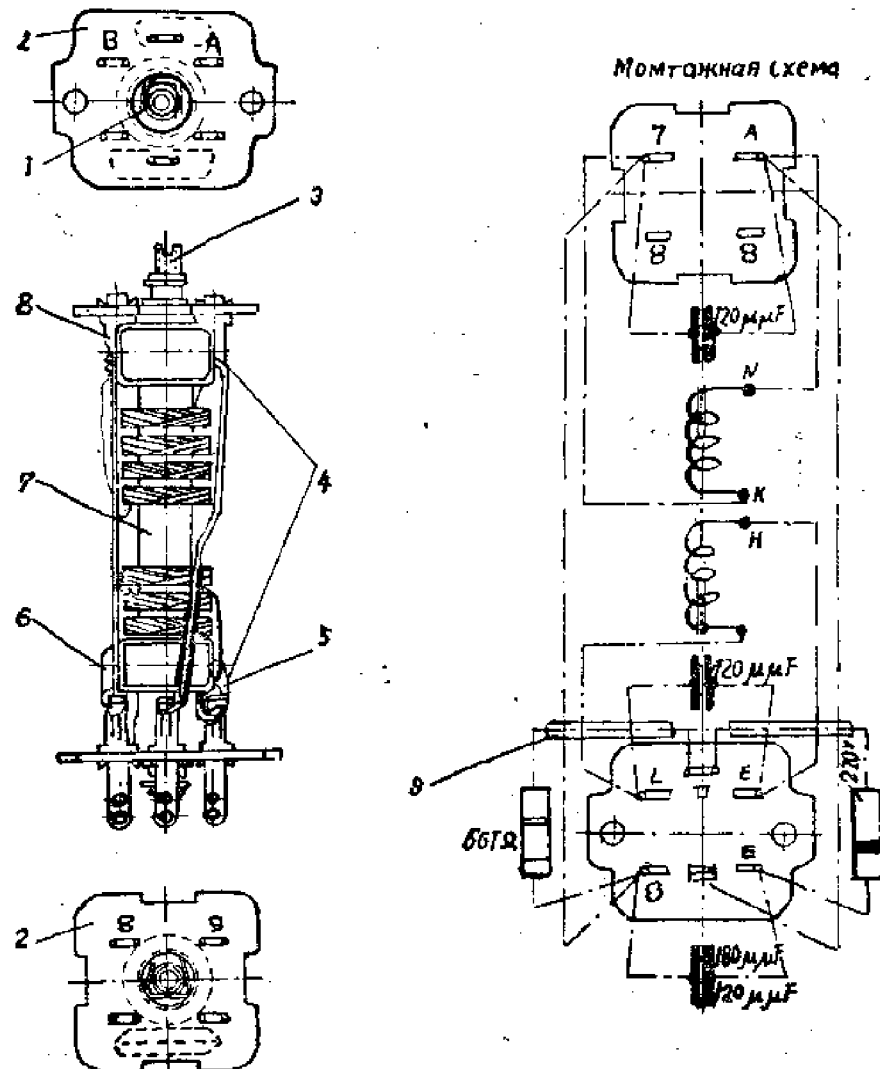


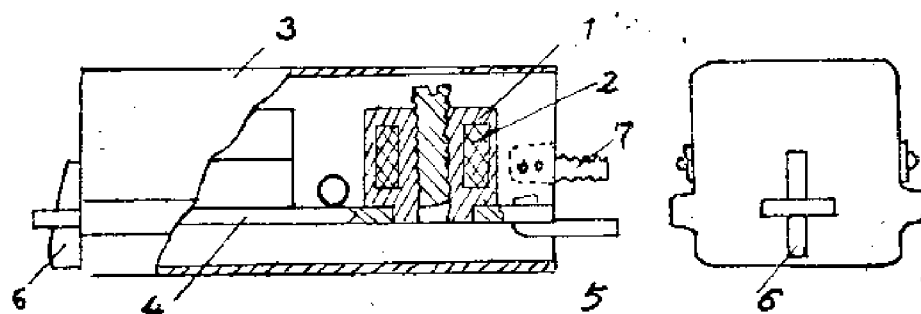
圖 7—206 具有屏蔽罩的中波回路

用磁介質芯子感調的，6用半可變電容器感調的
 1—鐵芯骨架；2—鐵芯線匝；3—芯子；4—固定電容器；5—屏蔽罩，
 6—微調電容器；7—安裝板；8—引出端



7—207 450千赫的中频滤波器

1—制动单簧；2—具有焊片的座板；3—芯子的螺栓；4—焊接处；5—220千欧的电阻；6—56千欧电阻；7—骨架；8—电容器(12微微法)；9—绝缘导管。



7—208 中频滤波器

1—壳型磁芯	5—引出端
2—具有骨架的线圈	6—键
3—屏蔽罩	7—固定螺栓
4—纸胶板基座	

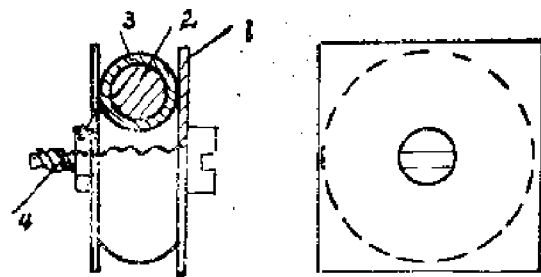


图 7—209 线制在环形上的电感线圈

1—纸胶板片
2—环
3—线组
4—固定用螺钉

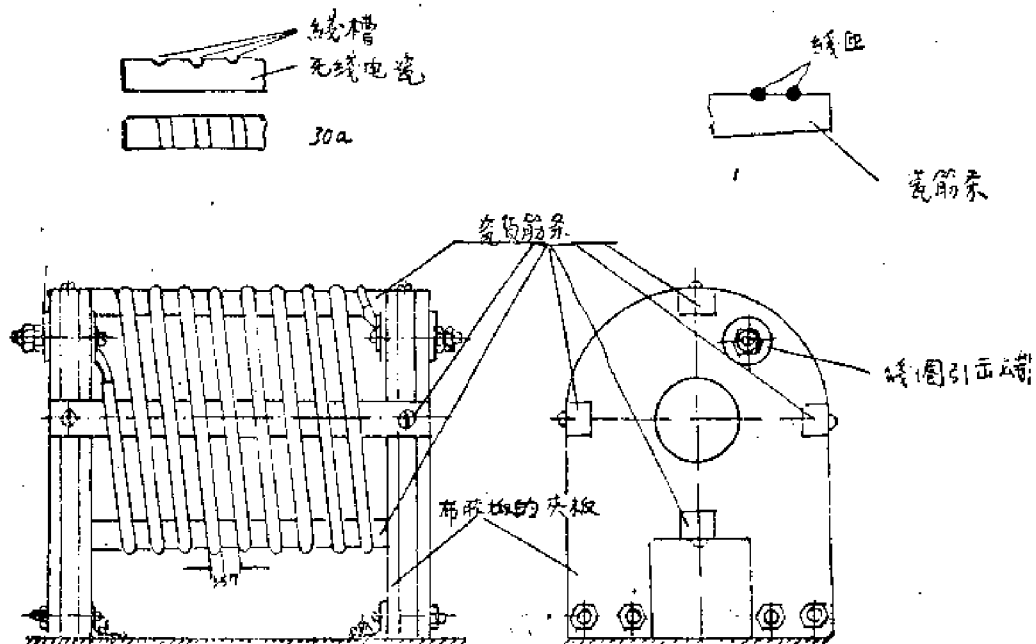


图 7—210 固定电感线圈(用于发射机的具有筋条式)

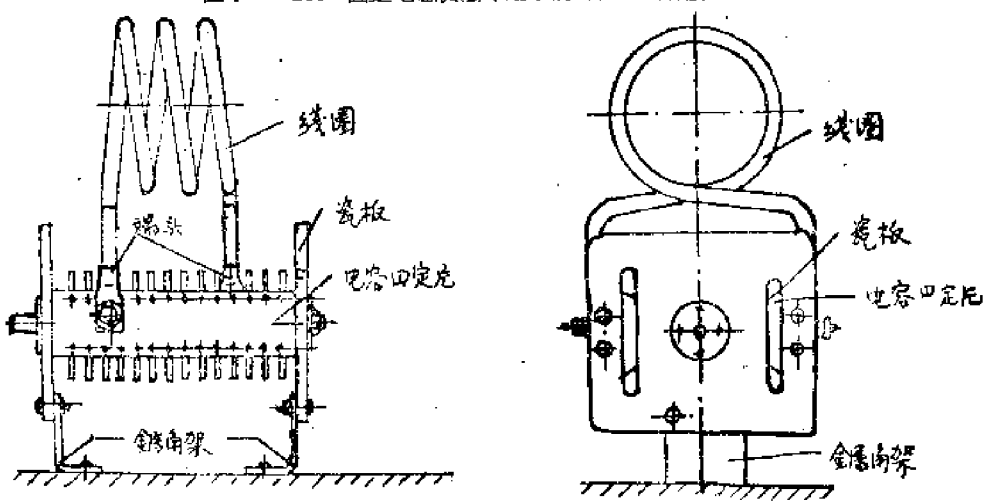


图 7—211 固定在迴路电容器上的无骨架电感圈

超短波波段用的稳定线圈示于图 7—212

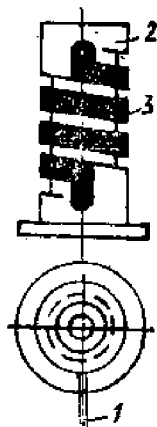


图 7—212 烧漆在陶瓷骨架上绕组导体的电感线圈。

1—导体线；2—骨架；
3—烧漆在陶瓷上的绕组导体

盘旋式电感线圈（7—213）有时应用于发射机中，用圆导线或带形导线绕制。用十字架形的框子作骨架。

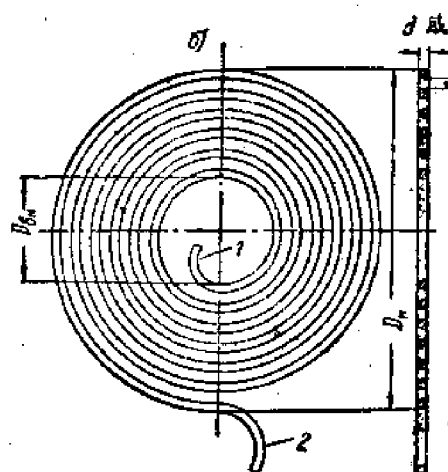


图 7—213 平面螺旋线圈

印制电路的电感线圈（图 7—214）也是螺旋式的。为了比较各种结构电感线圈的质量，表 7—3、7—4列出了某些数据。

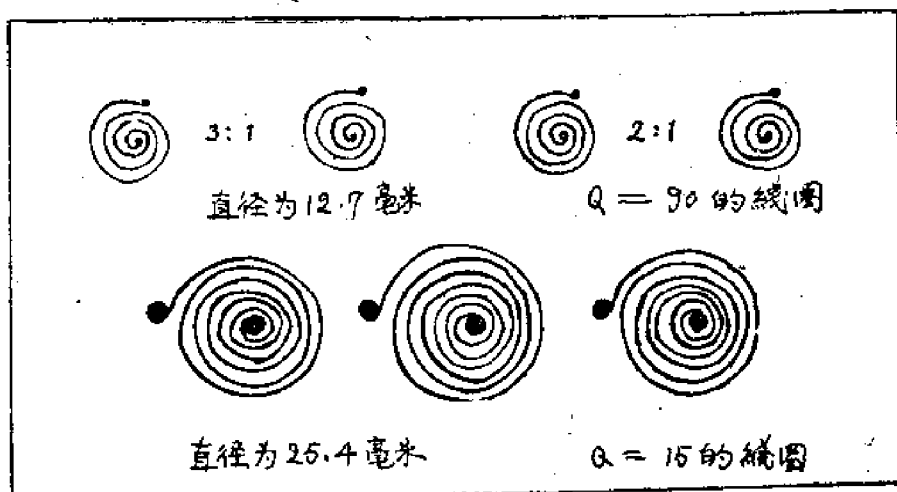


圖 7—214 試驗印制線圈
其中的比例數值 (3:1 2:1 等等) 是導線粗度與匝間距離之比。

表 7—3 回路电感线圈的主要数据

线制方法和线圈架的材料	μ_L	β_L	Q	C_0 (微微法)	应用范围
陶瓷线圈架上冲积绕法的线圈	$(10 \rightarrow 20) 10^{-6}$	0	80—150	0.5—2.0	高稳定度的短波和超短波的振荡器及本机振荡器
陶瓷线圈架上热绕法的线圈	$(10 \rightarrow 30) 10^{-6}$	0	100—400	0.5—2.0	同上
陶瓷线圈架上冷的紧绕法	$(40 \rightarrow 100) 10^{-6}$	$(1 \rightarrow 10) 10^{-4}$	100—400	0.5—2.0	低稳定度的短波和超短波的振荡器及本机振荡器
无线电骨架的线圈	$(50 \rightarrow 150) 10^{-6}$	$\geq 2 \times 10^{-2}$	100—300	0.5—2.0	超短波的放大级
有机电介质线圈 骨架上的单层密绕式线圈	$(100 \rightarrow 200) 10^{-6}$	$(1 \rightarrow 2) 10^{-2}$	80—200	3—5	低稳定度的振荡器和本机振荡器 中波和短波的放大级
“蜂房”式绕法的线圈	$(150 \rightarrow 300) 10^{-6}$	$\geq 2 \times 10^{-2}$	50—100	5—10	低稳定度的振荡器和长波及中波的放大级
交叉式蜂房绕法的线圈	$(150 \rightarrow 300) 10^{-6}$	$\geq 2 \times 10^{-2}$	30—50	15—30	同上
分段式 (3—4分段) 堆绕法的线圈	$(100 \rightarrow 300) 10^{-6}$	—	150—170	5—10	低稳定度的振荡器和长波及中波的放大级
非分段的绕法的线圈	—	—	20—30	10—15	同上，但用于极长波，高频扼流圈

表 7—4

印制綫圈的品質因數

綫圈号	底 板		綫圈直徑 (毫米)	綫		頻率 兆赫	电感量 微亨	品質 因數
	材料	牌号		厚度 (毫米)	匝数			
1	酚……	2	2.22	0.0127	7.25	45	0.60	110
2	酚……	3	2.22	0.010	9	45	1.25	30
3	聚乙烯		2.22	0.025 ¹⁷	7.25	45	1.60	130
4	酚……	1	12.7	0.025 ¹⁷	4	110	0.14	90
5	酚……	1	9.5	0.025 ¹⁷	4	110	0.17	98
6	聚苯乙烯		12.7	0.025 ²⁷	4	110	0.10	115

綫圈号中：

- 1) 被漆炭过的
- 2) 复盖有0.025毫米厚度的电镀银层。

在結束电感綫圈結構的討論時，讓我們討論电感綫圈的微調方法；對於具有芯子的綫圈來說，用移動芯子位置的方法，可以簡單而準確地實現电感量的微調。

多層綫圈可以用加繞或折去綫匝的方法來微調。如果多層綫圈是分段的，則用改變各分段間的距離的方法來微調（調整範圍約為10—15%）。為了微調單層綫圈，可採用改變引出端的焊接點位置（發射機的綫圈及具有金屬化綫匝的綫圈），改變邊緣綫匝的縫距（調整範圍約為2—3%），以及移動專門用以調節的短路圈等方法來微調。

§ 7—3 电感綫圈的制造工艺

I. 骨架的制造：

电感綫圈的骨架用電纜紙，硬橡膠，塑料及陶瓷製造。

塑料及陶瓷骨架的製造工藝已在本書第四、五章中討論過，不再重述。

骨架在結構上有非組合的及組合的兩種，當綫圈的尺寸較大時（例如大功率設備中的綫圈），採用組合式骨架。

II. 繞組的繞制：

电感綫圈繞組的繞制在繞線機上進行。所採用的繞線機有手動的（圖7—301），也有自動的（圖7—302）。

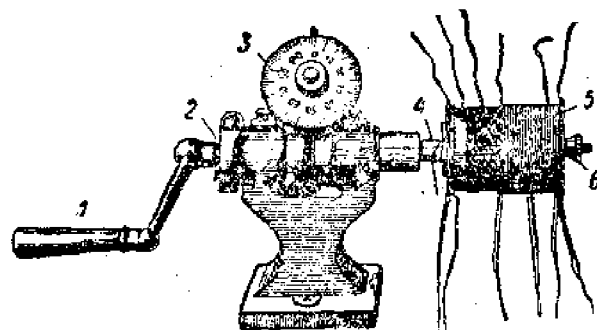


圖 7—301 手搖繞線機的典型構造

1——搖柄；2——齒輪轉動；3——計數器；4——機頭軸；5——裝夾在機頭軸上的繞圈；6——裝夾骨架在機頭軸上的用的螺母。

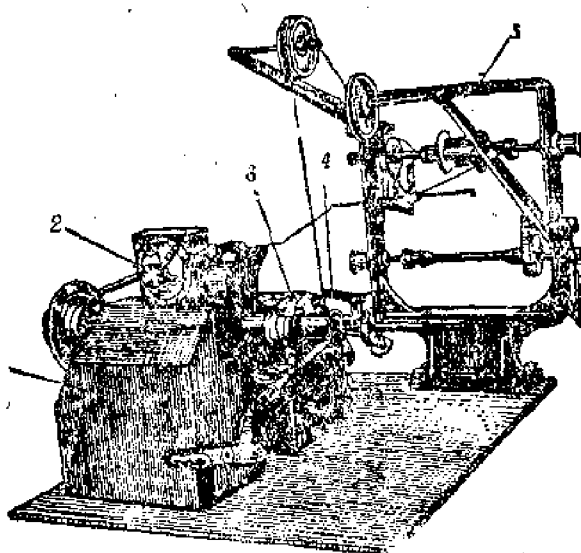


圖 3—302 普通繞線機（适合0.05至0.5公厘的導線）。

1——机身；2——計數器；3——車頭主軸；4——走線杆（是兩根鋼絲）；
5——綫圈架子。

其中一种繞線机的示意圖示于圖 7—303。利用这种类型的机器可以进行单層及多層繞組的繞制。利用变速箱14及固定装置5按照导線直徑及繞法来選擇走線器的走線。

为了使繞組緊密，繞制时导線用专门机构來拉紧（圖7—301）。对于銅線來說，允許的拉力值应等于 $6000d^2$ 克（d——不帶絕緣导線直徑(毫米)）。

蜂房式和交叉式繞線机的运动示意圖7—305。这种机器中的繞組寬度决定于凸輪5的形状，即凸輪工作表面高度的差值。

在繞組一个周期內，凸輪軸的轉數決定于下式：

$$n_x = \frac{P}{2} \quad (7-301)$$

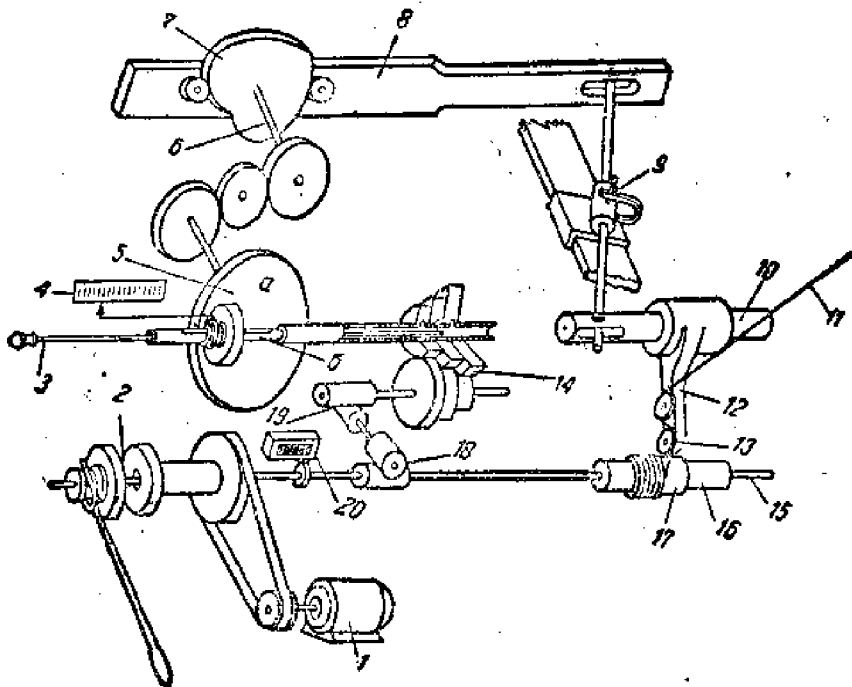


圖 7—303 具有摩擦传动机构及变速器机构的排线机的示意图

1—电动机，2—摩擦机构，能平稳地驱动和停止走线的动作，3—调换变速齿轮的拉杆，4—调节摩擦机构的指标尺，5—改变走线机构带的转数的摩擦机构(a—大质量,6—小质量)，6—走线机构的轴，7—心形凸轮，8—曲柄，9—改变走线速度的机构，10—走线器的枢轴，11—导线，12—走线器，13—导线张紧轮，14—变速机构，15—主轴，16—骨架芯子，17—骨架，18、19—端杆传动机构，20—计数器。

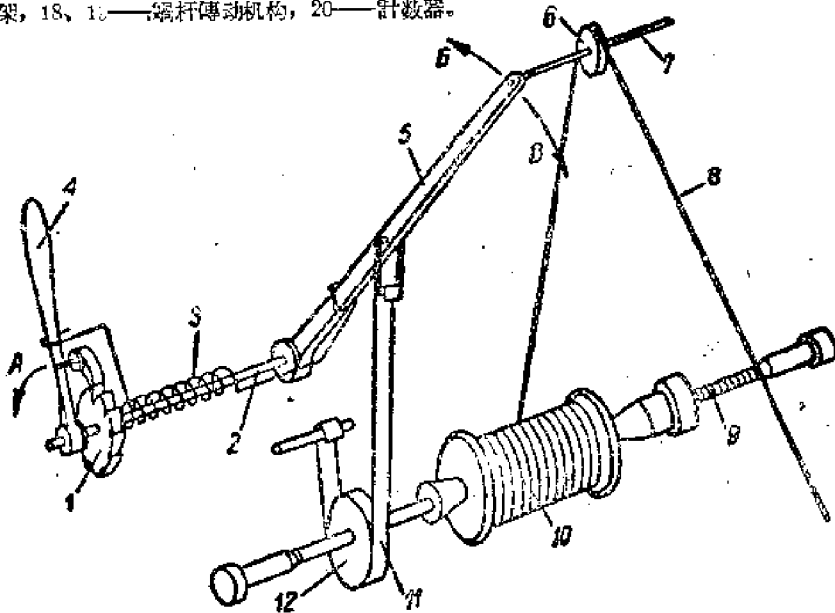


圖 7—304 拉线机构

1—闸轮装置，2—拉杆轴，3—螺旋弹簧，4—手柄，5—杠杆，6—滑轮，7—滑动轴，8—导线，9—主轴，10—导线绕轴，11—制动带，12—制动盘。

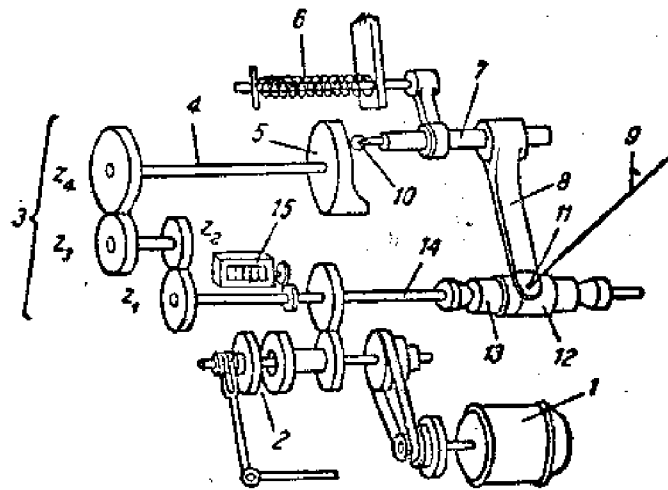


圖7—305 具有凸輪裝置的蝶房式和交叉式繞線機的運動示意圖

1—電動機，2—摩擦機構，用平滑地啟動和停止机器，3—四齒輪組成的傳動機構，4—走線機構軸，5—內輪，6—彈簧，使走線機構的芯子緊壓到凸輪工作表面，7—走線機構的芯子，8—走線機構，9—導線，10—滑輪，11—導線的拉力輪，12—骨架，13—骨架芯子，14—走輪，15—轉數計數器。

其中：P——轉折數。

一周期內主軸的轉數等子：

$$n_m = 1 \pm \frac{\beta}{360} \quad (7-302)$$

因而決定于齒輪 3 的凸輪轉數與主軸轉數間的傳動數應等子：

$$i = \frac{P}{a(1 \pm \frac{\beta}{360})} \quad (7-303)$$

对于交叉式繞組，傳動數等子：

$$i = \frac{1}{q \pm \frac{\beta}{360}} \quad (7-304)$$

其中：q——在一周期內的匝數。

在環形芯子上的繞線是利用梭子（參見圖7—306）用手工進行或者在環形繞線機器上進行。

環形繞線機的運動系統列于圖7—307。這一系統的主要部分是兩個環1及2的系統，一個環嵌入另一個環，并具有公共的接合線。在把環形芯子5裝在螺旋夾子中后，把環子1及2套上并緊固在支架滑輪3上。在內環子的絕緣槽內繞上環形繞組所用的足夠數量的導線，導線的端頭通過外環子壁的溝槽并固定在環形芯子上。當用橡膠錐體4來轉動環子1和2時按照順時針把導線繞在環形芯子上。

在繞制時導線的必要拉力是以內環子的制動來達到的。在繞制的繞距以螺旋夾頭6圍繞着軸7的轉動來實現。

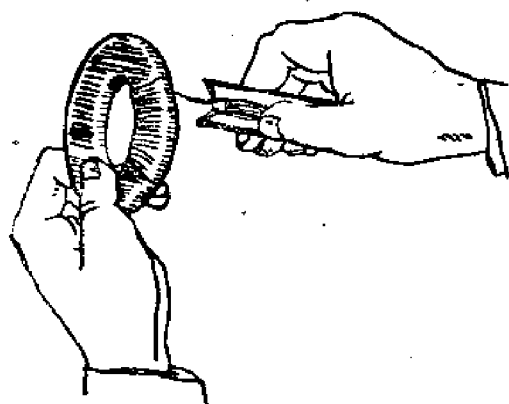


圖 7—308 环形織組的制造

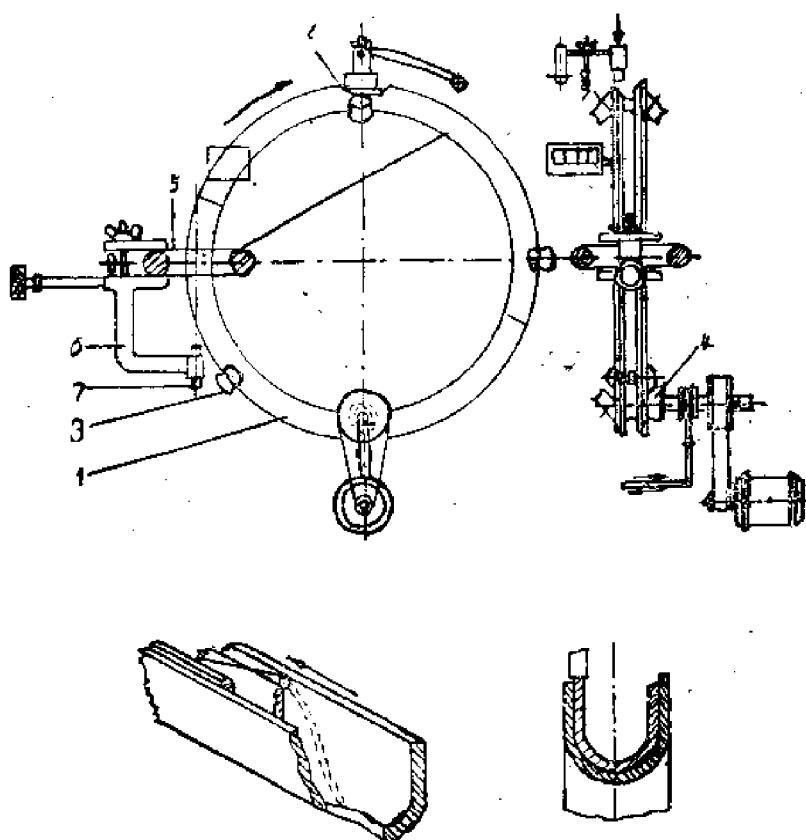


圖 7—307 环形繞繩機的示意圖

- | | |
|-----------|---------------|
| 1 —— 外环 | 5 —— 环形芯子 |
| 2 —— 内环 | 6 —— 螺旋卡头 |
| 3 —— 支架滑輪 | 7 —— 螺旋卡头的轉動軸 |
| 4 —— 橡胶錐体 | |

在較现代化的环形繞綫机中，繞制时环形芯子是自动移动的。

用不同切面的粗銅線或粗銅管来繞制电感綫圈的螺旋形綫匝的过程如下：

先将銅管一端压扁，用石英砂紧密地填充于管内，然后将管的另一端也压扁。銅管的一端通过电炉(圖7—308)并紧固在芯棒3上。电炉和拉銅管用的夹具在繞制时裝置在車床的刀架上。管子加热到一定的温度后启动車床，管子在加热状态下纏繞在芯棒上。

必須的繞距是用按計算好的数值自動地移动車床刀架的方法來實現的。用电炉来加热管子溫度应为300°C左右。

如果綫匝緊固在筋条式骨架上，则芯棒的直徑应等于0.9—0.95的綫圈綫匝的內徑。

用帶料来繞制时，也可以采用这种装置(圖7—308)。

借助于圖7—309的装置进行热繞，是利用通过导綫的电流来加热的，溫度应为120

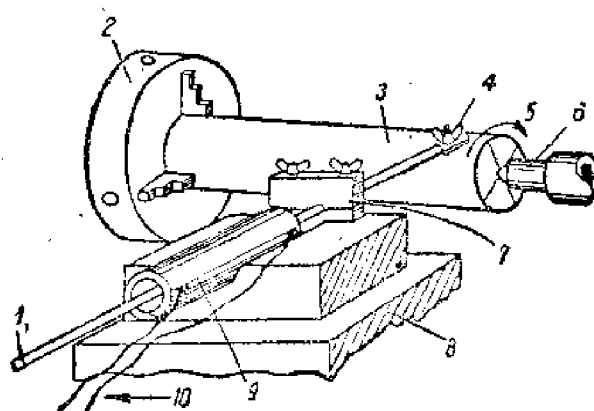


圖7—308 用紫銅管(以及銅線和銅帶)來製造螺旋管的裝置

1—用砂子填滿的紫銅管 2—車床的卡盤，3—芯棒，4—固定管端的螺栓，
5—芯棒的運動方向，6—刀頭針座的中心，7—拉緊機構，8—刀架，
9—管形電爐，10—刀架運動方向。

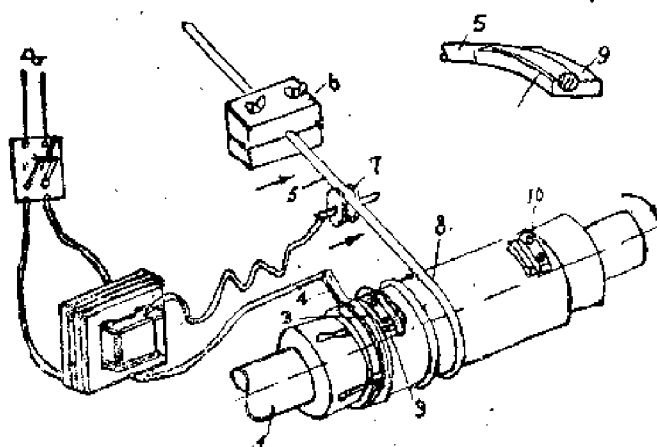


圖7—309 用电流加热紫銅線后繞在陶瓷骨架上的方法

1—固定骨架用的芯棒，2—变压器，3—接线环，4—滑动环，5—被
繞到骨架上去的导线，6—拉线机构，7—滑动接触，8—陶瓷骨架，9—黄
铜板在其中固定了繞组的末端

-150°C。由計算來確定導線的拉力，對於軟銅線（M·T·M·牌號的導線）為5—6
公斤，對於M·T·T為8—10公斤。

用熱配合法製造線圈的要點是將一段銅制套筒在加熱狀態套在陶瓷骨架上，冷卻後
套筒與陶瓷骨架具有緊配合，線匝可用車削方法做出。

以空心管為導體的大型無骨架線圈不易繞制，可用电鑄法制成。

电鑄法的要點是在塗有石墨蜡模型（按線圈的形狀、尺寸制成）上，由鍍上所須厚度
的銅層，然後用加熱方法使蜂蠟熔化流出。當線圈尺寸不大時，可用低熔點的金屬
(例如鉛)代替蜂蠟，這就不必在模型塗敷石墨層。

用电鑄法制成的线圈，由于在制成铜管的过程中，不须经过任何能产生很大机械应力的机械加工，制成后不须退火，并且具有足够的温度稳定性。

在陶瓷上燒滲銀方法製造線圈的工藝已在第五章中討論。

III. 線圈的防潮處理：

為了提高電感線圈的耐潮性，採用了浸漬、灌封、蘸漬及密封等措施。當選擇浸漬
材料時，應該特別注意這些材料的 ϵ 值和高頻時的 $\operatorname{tg}\delta$ 值。專門用于高頻的浸漬材料性
能見表7—5所示。

表7—5

名 称	介質常數 ϵ	損耗角正切 $\operatorname{tg}\delta \cdot 10^4$	密度d, 克/厘米 ³
純地腊	2.1—2.3	1—10	0.90—1.2
石 腊	2.0—2.3	3—7	0.86—0.93
聚苯乙稀	2.2—2.6	1—8	0.95—1.07
聚异丁烯	2.25—2.4	2—10	0.91—1.00
聚 乙 烯	2.3—2.1	2—5	0.92—0.95

上述的這些防潮工藝，在第三章中已進行討論。

§7—4 电感线圈繞組的类型及线圈几何尺寸的計算

已經指出：按照繞組类型电感线圈可以分成单層的及多層的。

I 单層的电感线圈：

单層电感线圈有密繞的及間繞的。其中間繞可获得較高的品質因數，但在一定电感量下，比密繞线圈的尺寸大一些。当电感量大于15—20微亨时，可采用单層密繞，其品質因數和穩定度也比較高。单層线圈在密繞情况下只适于制造电感量小于(200—500)微亨的线圈。

高稳定性单層线圈繞制在具有螺旋形线槽的骨架上。线槽的深度一般为0.2—0.3d

(d——导线直径)。

绕制可用普通绕法、热绕法、烧渗法、热配合法和电铸法。热绕法和热配合法制成的线圈导体内具有内应力，当温度升高时热膨胀只会使导体内应力减弱，并不引起变形，线圈的温度稳定性实际上由骨架材料的线膨胀系数决定，高频瓷的线膨胀系数是很小的 $(4.5-7) \times 10^{-6}$ 度⁻¹，因而也就大大地提高了线圈的温度稳定性。

用烧渗法来涂复线匝的电感线圈，由于导体与陶瓷的紧密连接，也具有很高的温度稳定性。

用电铸法制成的电感线圈，由于电镀铜具有高的纯度，导电率高，Q值也较高。此外，如前所述，也能获得较高稳定性。

单层电感线圈的主要尺寸是：绕组直径D——一般等于骨架直径；线圈长度l，等于边缘线匝轴线间的距离；绕距τ，等于相邻线匝轴线间的距离。

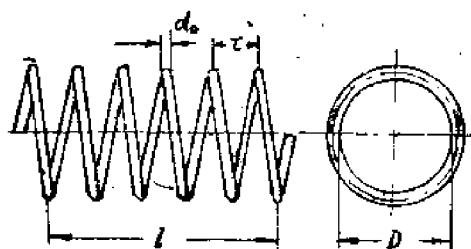


图 7—401 单层线圈的计算尺寸

在密绕时线圈的长度等于

$$l = \alpha d_{ns} (N - 1) \quad (7-401)$$

其中：d_{ns}——带绝缘的导线直径

N——匝数

α——绕组稀疏度系数，由表 7—6 来决定。

表 7—6 稀疏度系数数值表

无绝缘的导线直径 (毫米)	0.08—0.11	0.15—0.23	0.35—0.41	0.51—0.93	1.0 及以上
α	1.3	1.25	1.2	1.1	1.05

在间绕时线圈的长度等于

$$l = \tau (N - 1) \quad (7-402)$$

II 多层电感线圈：

用以绕制电感量较大的线圈（如L>200—500微亨），多层电感线圈的绕组有：简单的分层绕法；简单的堆绕法；蜂房式绕法及交叉蜂房式绕法。多层线圈可以是非分段的及分段的。分段线圈可以减少线圈的固有电容。

多層線圈的主要尺寸是：線圈外徑D；內徑D_o；繞組長度l。

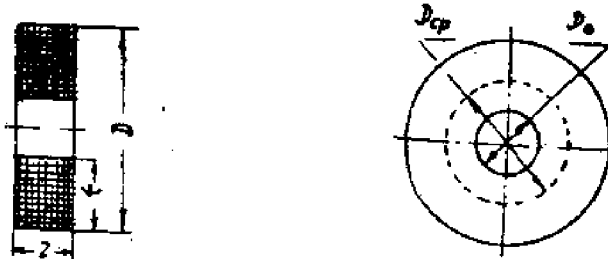


圖7—403多層線圈的計算尺寸

繞組的徑間深度t等于

$$t = \frac{D - D_o}{2} \quad (7-403)$$

1. 簡單分層繞組：此時線匝有規則地一層層地排繞在骨架上，這種繞法可在尺寸不大時獲得大的電感量，但分布電容大，於是相應地降低了其Ω值。

簡單的分層繞法的繞組深度也可用下式計算：

$$t = \gamma \frac{d_o^2}{l} \quad (7-404)$$

其中：稀疏度系數（表7-6）

2. 簡單堆繞組：纏繞線匝和各層的選放沒有一定規律，這在生產設備缺乏的情況下，其製造較上一種繞法方便。

這種繞法的繞組深度也可按式（7-404）計算，但稀疏度系數又應增加10—15%。

3. 蜂房式繞組：這種繞法是線匝由線圈一端按一定角度繞到另一端，然後再折回來，因此線匝相互之間並不是平形地放置，而是相互交叉。線匝分布的這一特點，使繞組的分布電容減小，並且具有較高的機械強度允許做成無骨架的。

在圖7-403中示出了當蜂房式繞組（圖a）的表面線匝分布及在不同的轉折數時線匝分布的展開示意圖（圖b, c, r）。

蜂房式繞法的特點，可用在一匝內導線自線圈的一端繞到另一端的轉折數P（在一匝內導線折彎次數）來表征。

$$P = \frac{\pi D_o}{l} \operatorname{tg} \varphi \quad (7-405)$$

式中：φ——導線的偏角（彎線角）

$$\varphi = 90 - \frac{4}{2}$$

而φ為導線折彎角，如圖7-403所示。

增加轉折數可減小線圈的固有電容，但這時將減少導線的彎折角φ，因而使繞制過程中的困難增加了。同時，P的增加也增加了線圈尺寸所需的導線總長度，並因而增加了繞組的總電阻。

由（7-405）式可見最大的轉折次數除與線圈尺寸（D_o, l）有關外，主要決定于繞

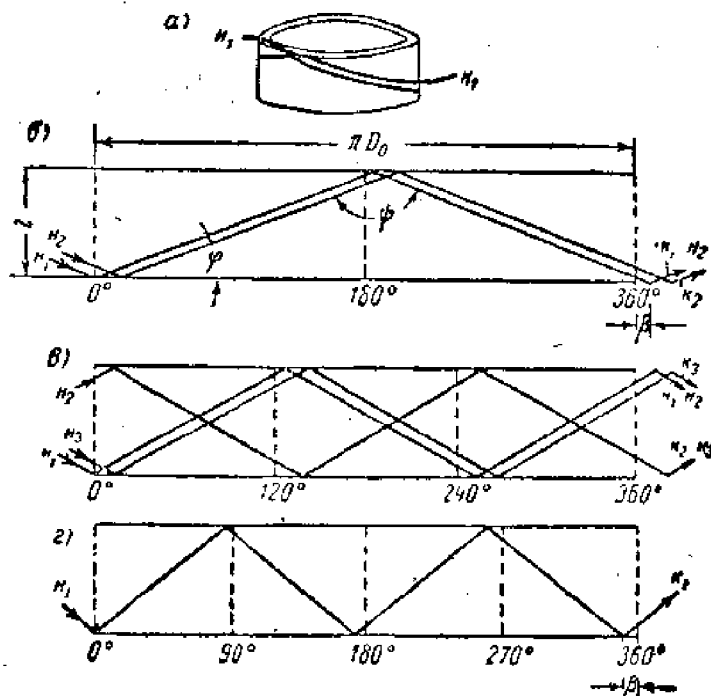


图7—403 蜂房式繞法: A——綫匝的始点; K——綫匝的終点。

制工艺上允许的最大偏角,实际上允许的最大偏角 φ 按所用导线种类可在以下数据选择;对于各种漆包线 $\varphi \leq 17^\circ - 19^\circ$;对于丝包线 $\varphi \leq 19^\circ - 21.5^\circ$,对于编纖线 $\varphi \leq 23^\circ - 26^\circ$,但一般 φ 不大于 6° 。

蜂房式繞組繞制过程的重复性,用周期来表征。所谓周期,是指导线环绕着线圈轴回到绕组边缘上的起始位置时的绕线角度。因为绕组相邻匝之间应该有位移,所以周期值不等于 360° 。按导线绕回边缘时位置的迟或早,又可将蜂房绕法分为滞后绕法及超前绕法两种。当滞后绕法时,周期等于 $(360 + \beta)^\circ$;当超前绕法时,等于 $(360 - \beta)^\circ$;其中角 β 是所謂角节距(相邻弯折点之间的角度)。关于周期的概念,在计算绕线机传动比时是必须的,对线圈电感参数则无影响。

显然,周期数 N_β 等于:

$$N_\beta = N \left(1 \pm \frac{\beta}{360} \right) \quad (7-406)$$

其中: N——匝数; +号相应于超前绕法, -号相应于滞后绕法。

从图7-404可明显地看出,两相邻折弯点之间的距离 a 可等于:

$$a = P \cdot \operatorname{ctg} \varphi - \pi D_0$$

把长度值 a 转换成弧度 β ,则我们得到

$$\beta = -\frac{2(P \operatorname{ctg} \varphi - \pi D_0)}{D_0} \quad (7-407)$$

当滞后绕法时: β 是正号,当超前绕法时是负号。

实际表明,当相邻线匝的导线中心距等于 $1.25d_{ns}$ (d_{ns} ——带绝缘的导线直径)时,

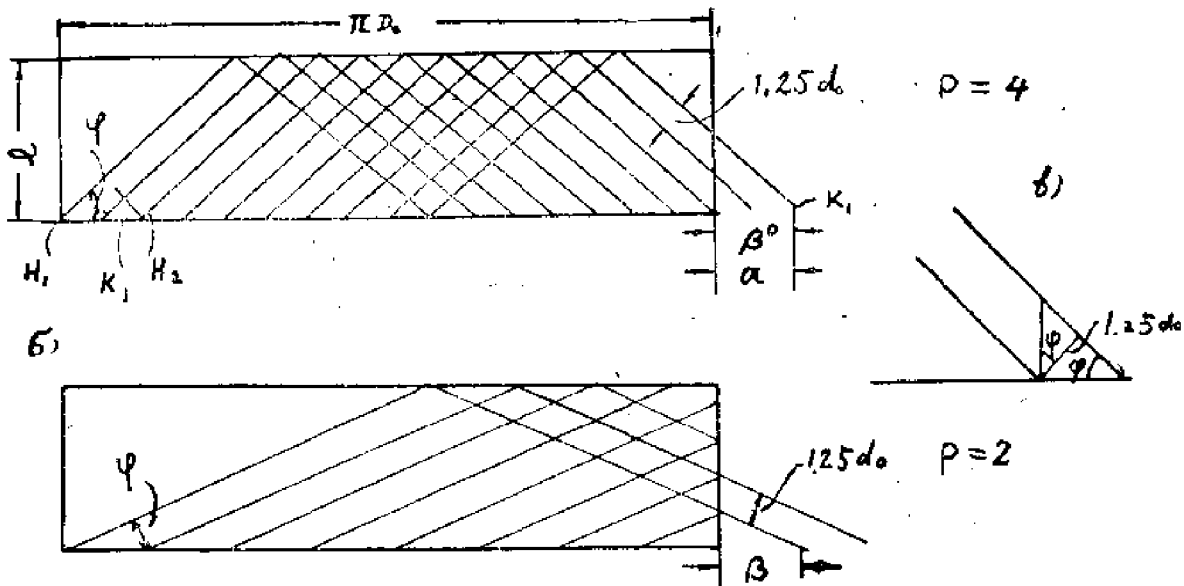


圖 7—404

繞圈得到最好的機械性能。因而長度值 a 應等於：

$$a = \frac{n \cdot 1.25d_{ns}}{\sin \varphi}$$

其中： n ——整數。

令 $n=1$ 并把 a 轉化為弧度 β ，則

$$\beta = \frac{2.5d_{ns}}{D_o \sin \varphi} \quad (7-408)$$

現在我們來決定蜂房式繞法繞圈繞組的深度（圖 7—404B）。

因為相鄰繞匝導線軸間距為 $1.25d_o$ ，所以用導線層將第一匝導線全部蓋住所必需的匝數 n ：

$$n = \frac{1 \cos \varphi}{1.25d_{ns}} + 1$$

這時繞組深度為 $2d_{ns}$ 。因為在繞圈中繞匝總數為 N ，則繞組深度等於：

$$t = 2d_{ns} \frac{N_u}{n} = \frac{2.5d_{ns}^2 N_u}{1 \cos \varphi + 1.25d_{ns}} \quad (7-409)$$

由於導線絕緣有些壓扁，繞組實際深度比上述計算結果要小 5—10%。

在蜂房式繞組中內徑一般均不超過 15—20 毫米，軸向長度 t 不超過 5—8 毫米；常用的內徑是 5—10 毫米，長度為 2—5 毫米。這種繞圈的 Ω 值一般為 80—100。

4. 交叉蜂房式繞法：為了獲得長度為 20—30 毫米的繞圈，可採用交叉蜂房式繞法，這種繞法除導線偏角外還用每週期內的匝數 q 來表示。 q 越大，則繞組深度越小，但繞圈的固有電容越大。這種繞組 Ω 值較小，固有電容較大，適用於以長圓柱形磁芯來調諧的迴路中。當要求電感量很大但要求分布電容較小時，也可採用這種繞組。

在圖 7—405 示出了交叉蜂房式繞法的示意圖，很明顯地，對於交叉蜂房式繞法下列

公式将是正确的：

$$a = 2l \operatorname{ctg} \varphi - q\pi D_0 \quad (7-409)$$

$$\beta = \frac{2(2l \operatorname{ctg} \varphi - q\pi d_0)}{D_0} \quad (7-410)$$

$$t = \frac{5d_{ns}^2 N_\pi}{q(1 \cos \varphi + 1.25d_{ns})} \quad (7-411)$$

与蜂房式相同，式 (7-411) 也是当相邻线匝的导线中心距等于 $1.25d_{ns}$ 时才是正确的。

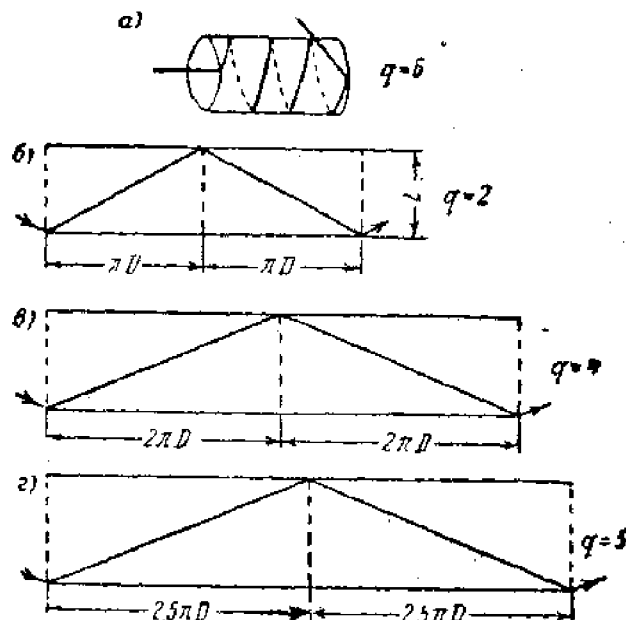


圖 7—405 交叉式蜂房繞法

5. 平面螺旋式线圈：

其性质与单层线圈相似。可做成简绕的和密绕的。其尺寸如图7-406所示：

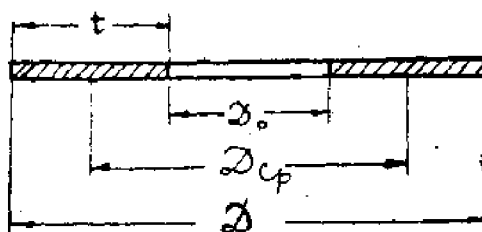


圖 7—406

当密绕时：其绕组深度 t 为：

$$t = \alpha d_{ns} N \quad (7-412)$$

其中: α ——稀疏度系数, 取自表 7—6。

当圈繞时:

$$t = \pi (N - 1) + d \quad (7-413)$$

§7—5 无屏蔽无芯子电感线圈的计算

I. 单层线圈电感量的计算

电感的电动势可以下式表示:

$$e_L = -L \frac{di}{dt}$$

也可表示为:

$$e_L = -N \frac{d\phi}{dt}$$

因而 $L \frac{di}{dt} = N \frac{d\phi}{dt}$

对于长的螺旋管当 $\mu = 1$ 时

$$\phi = \frac{\pi^2 ND^2}{1} i \times 10^{-9}$$

因而 $L = \left(\pi^2 \frac{D}{1} \right) N^2 D \times 10^{-9}$ (亨)

因为线圈为有限长度, 所以应该加以修正, 乘上一系数 K , 则:

$$L = \left(\pi^2 \frac{D}{1} K \right) N^2 D \times 10^{-9}$$
 (亨) (7-501)

显然, K 与线圈的结构尺寸有关, $K = \varphi \left(\frac{1}{D} \right)$ 。对于密绕单层线圈系数 K 可以决定于下列关系式:

$$K = 1 - \frac{4}{3\pi} \frac{1}{D} + \frac{1}{8} \left(\frac{1}{D} \right)^2 - \frac{1}{64} \left(\frac{1}{D} \right)^4$$

由于式 (7-501) 括号内数值只与 $\frac{1}{D}$ 有关, 所以可改写为更简化形式:

$$L = L_0 N^2 D \times 10^{-9}$$
 (亨) (7-502)

或者 $L = L_0 N^2 D$ (厘米)

其中 D 的单位为厘米, 系数 L_0 与 $\frac{1}{D}$ 的关系曲线示于图 7—501。从此图中, 按 $\frac{1}{D}$ 可查得 L_0 值。

当线圈尺寸满足 $0.2 < \frac{1}{D} < 3$ 这一关系时, 按下列经验公式计算, 可得到良好的效果。

$$L = \frac{1000}{101.79 + 45.6} N^2 D \times 10^{-9}$$
 (亨) (6-503)

线圈电感量也可按图 7—502 图表进行快速计算。此图表也是根据上述经验公式绘成

的，当 $\frac{I}{D} < (5-6)$ 时，计算误差不大于 (2—) %。

上式计算方法用来计算单层间绕线圈时，计算值偏大，但当绕距不大时，仍相当准确。

采用圆截面导线的间绕线圈，当匝数大于 4 时，可按下式计算：

$$L = L' - 2\pi ND (A + B) \times 10^{-9} (\text{亨}) \quad (7-504)$$

其中 L' —— 按式 (7-502) 计算得的电感量

A 及 B 为修正系数，由图 7-503 的曲线查出。

当匝数小于 5 时可按下式计算：

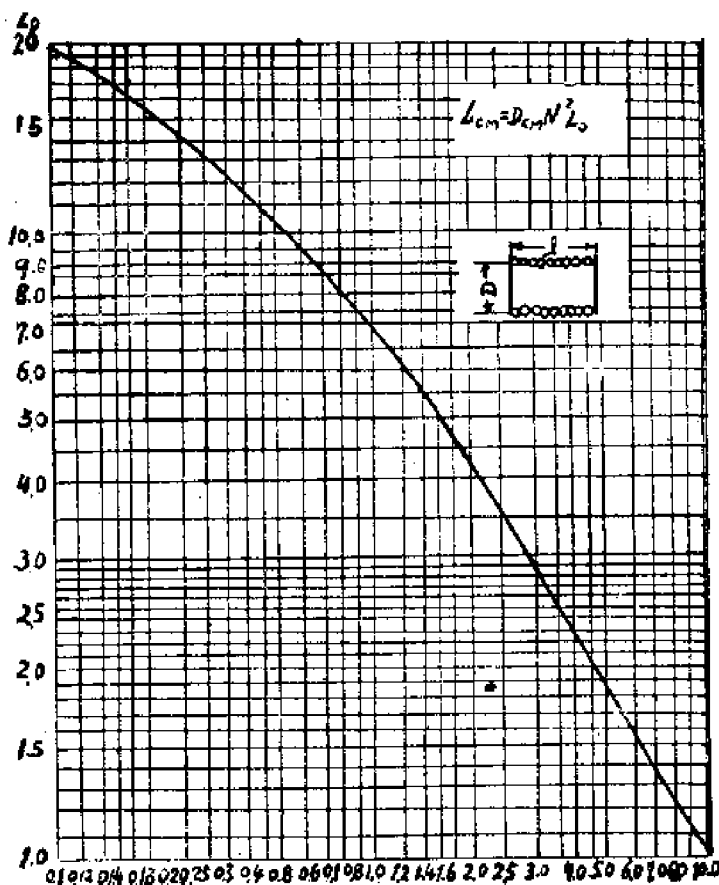
$$L = NL_1 + 2(N-1)M_{11} + 2(N-2)M_{12} + \dots \quad (7-505)$$

其中 L_1 —— 单个线匝的电感量

M_{11} —— 相邻线匝间的互感量

M_{12} —— 相隔一匝的两线匝间的互感量。

绕制在具有边数多于 5 的正多边形截面的线圈（即筋条式骨架的情况），电感量的计算也可以按上列公式进行，此时的线圈直径应理解为计算等效值，它等于



线圈长度对其直径的比值 $\frac{I}{D}$

图 7-503 采数 L_0 的曲线

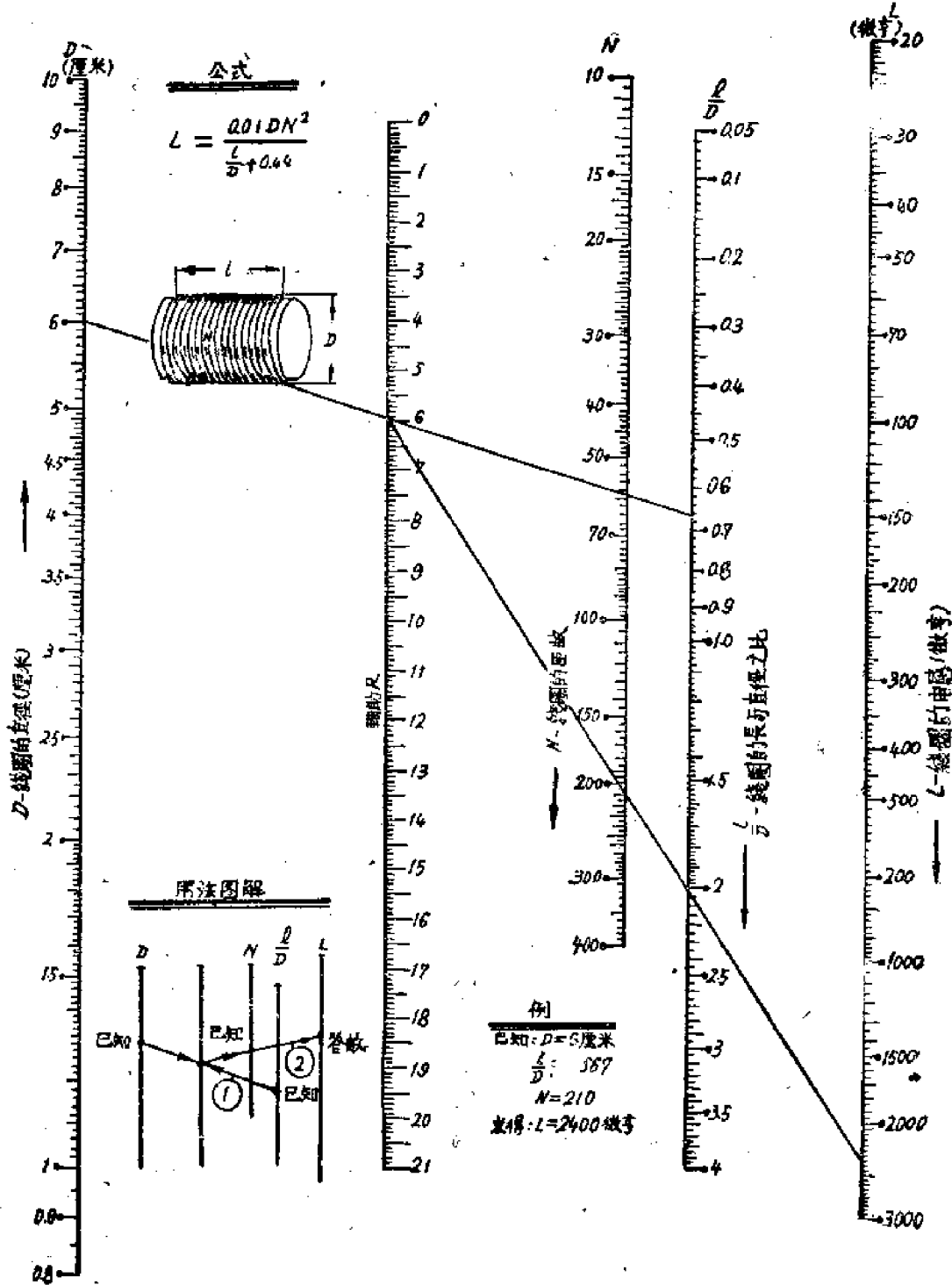


圖 7—302 畫出線圈電感的計算

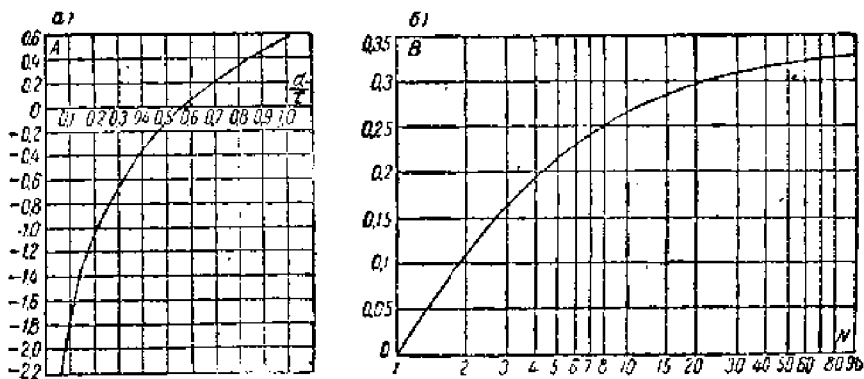


圖 7—503 系數A(曲線a)和系數B(曲線b)的數值曲線

$$D = \frac{D_{\text{in}} + D_{\text{out}}}{2} \quad \text{或} \quad D = D_{\text{out}} \cos^2 \left(\frac{90}{m} \right)^\circ \quad (7-506)$$

这里 D_{in} ——內接圓直徑;
 D_{out} ——外接圓直徑;
 m ——多邊形的邊數。

I. 多層繞圈電感量的計算

多層繞圈電感量的計算與繞法(分層、堆繞、蜂房式、交叉蜂房式)無關，可以按下式計算

$$L = L_0 N^2 D \times 10^{-9} \text{ (亨)} \quad (7-507)$$

式(7-507)與(7-502)相同，但形狀系數 L_0 還須考慮到繞組深度。

L_0 可根據 $\frac{t}{D}$ 及 $\frac{t}{D}$ 從圖7-504的曲線查得。

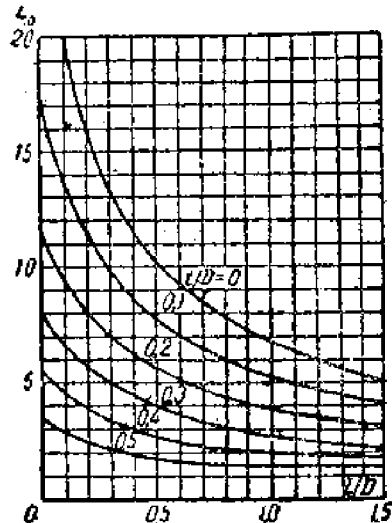


圖 7—504 多層繞圈的系數 L_0 的數值曲線

($\frac{t}{D}=0$ 時的 L 值相應于繞組厚度很小的多層繞圈)

其中 D 为线圈的外径。

L_o 也可用以下经验公式算出：

$$L_o = \frac{1000}{45.6 + 101.7 \frac{I}{D} + 85.3 \frac{t}{D_{cp}} + 65 \frac{tI}{D_{cp}^2}} \quad (7-503)$$

利用图 7-505 的计算曲线可简化其计算过程。

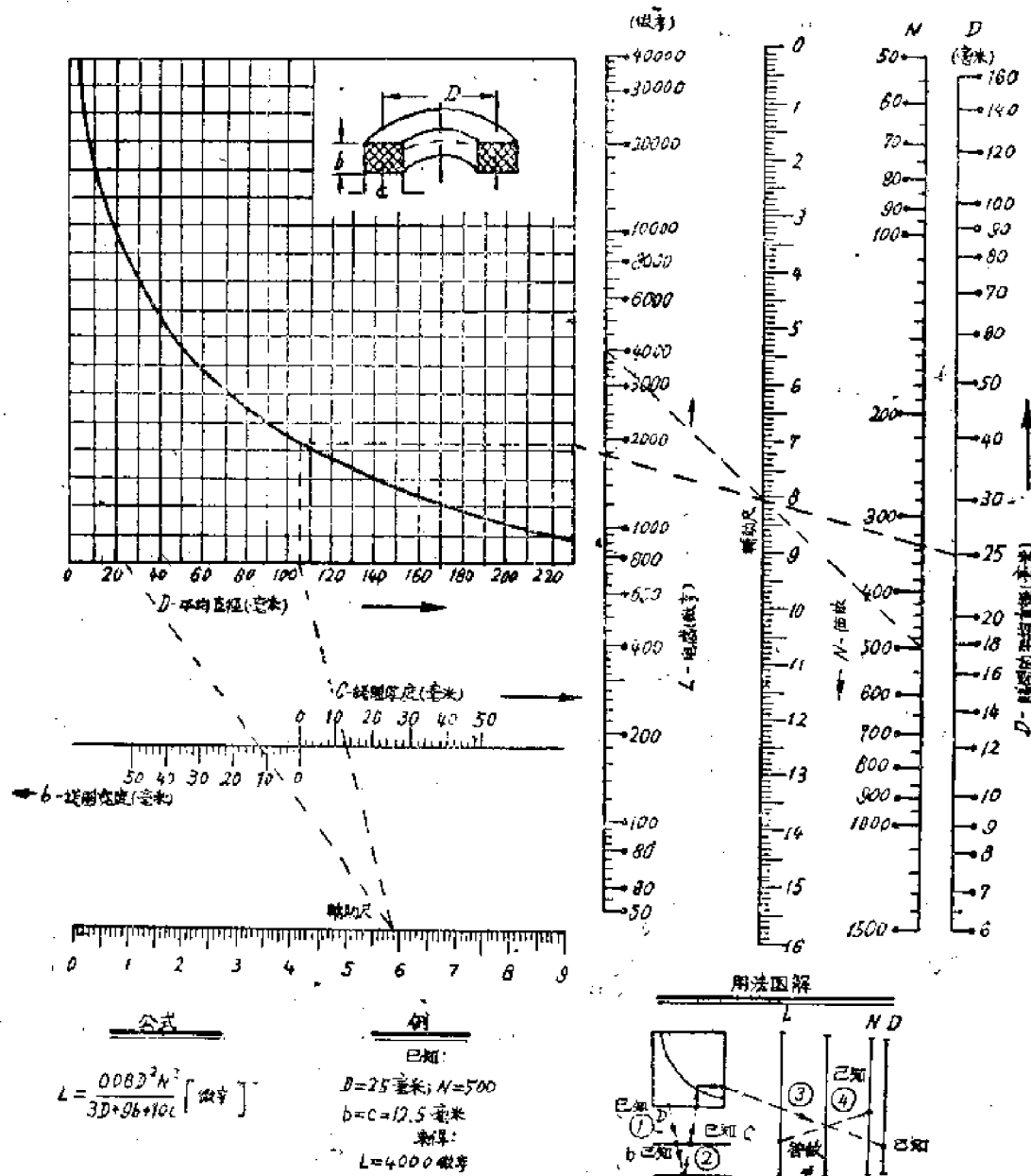


图 7-505

计算分段线圈（图 7-501）电感量时，除计算每分段的电感量外，还要考虑相邻分段间耦合的影响，因此，可用下式计算：

$$L = L_c [S + 2K(S-1)]$$

其中 L_c —— 每分段的电感量

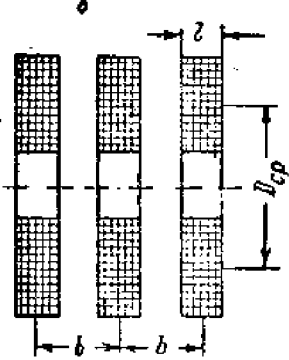


圖 7 —— 503 分段繞圈

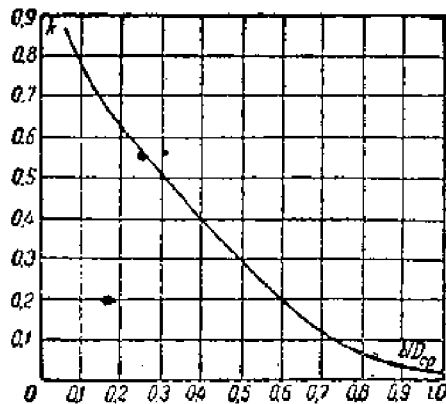


圖 7 —— 507 分段多層繞圈 (各段相同) 耦合系
數 K 的數值曲線圖

S —— 分段數

K —— 相鄰分段間的耦合系數，按圖7—507的曲線來決定
單面螺旋式繞圈的電感量也可按式 (7—507) 計算，但 L_o 的計算式不同，

$$L_o = \frac{1000}{40.6 + 111.7 \frac{t}{D_{cp}}} \quad (7-510)$$

III. 電感繞圈匝數的計算

計算繞圈時，一般都給出繞圈直徑 D，帶絕緣導線直徑 d_{N3} ，繞圈電感量 L。對於單層繞圈應該確定的是匝數 N，繞圈長度 I 以及繞距 τ （間繞的情況下）。對於多層繞圈應確定的是：匝數 N，繞組長度 I，繞組深度 t。

由式 $L = L_o N^2 D \times 10^{-9}$ 可推得

$$N = \sqrt{\frac{L}{L_o D}} \times 10^9 \quad (7-511)$$

由於其中 L_o 與繞圈尺寸 $(\frac{1}{D}, \frac{t}{D} \text{ 等})$ 有關，而尺寸 I，t 等又與待求的匝數及導線直徑有關，因此，只能用試探方法進行計算；先假定尺寸求 N，再按照求得的匝數及導線直徑決定繞圈的實際尺寸 (I, t 及 τ)。然後按這些尺寸計算出繞圈的實際電感量 L。如果符合予給定值，則計算結束。如果它們不相符，則選出新的比值 $\frac{I}{D}$ 及 $\frac{t}{D}$ ，並重新進行計算。

對單層密繞來說；用以下方法計算其匝數，可以簡化其計算過程。引用參量 P_o

$$P_o = \frac{L}{N_o^2 D^3} \times 10^9 \quad (7-512)$$

其中： $N_o = \frac{N}{I}$ 即在一厘米繞組長度內必須的匝數。

則 $L = P_o N_o^2 D^3 \times 10^{-9}$

但根据公式(7-501)可得, $L = L_0 \left(\frac{1}{D}\right)^2 \left(\frac{N}{1}\right)^2 D^3$, 比較此两式可得

$$P_0 = L_0 \left(\frac{1}{D}\right)^2$$

因为 L_0 与 $\frac{1}{D}$ 有关, 所以, 可按 L_0 与 $\frac{1}{D}$ 的关系曲线繪出关系式 $P_0 = f\left(\frac{1}{D}\right)$ 的曲綫。

这个曲綫列于圖7-503, 这样一來当引入了參量 P_0 时单層密繞綫圈的計算進行如下:

选定导線之后, 可求出 N_0

$$N_0 = \frac{10}{\sigma d_{u3}} \quad (7-513)$$

当选定 D 后即可求出 P_0 , 并从圖7-503中查得相应的 $\frac{1}{D}$ 值。

最后, 可按下式确定和 N 。

$$I = D \left(\frac{1}{D}\right)$$

$$N = N_0 I$$

选择导綫直徑和綫圈直徑的原則和方法, 將在以后几节中討論。

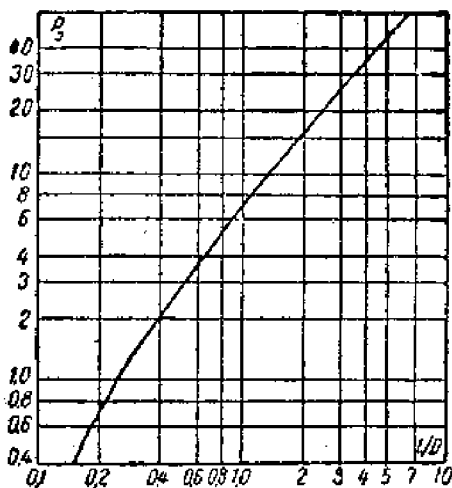


圖7—503 系数 P_0 的数值的曲綫

§7-6 線圈导綫的高頻电阻及导綫直徑的选择

大家知道, 当綫圈工作于高頻時, 由于集膚效应和邻近效应的影响, 線圈导綫截面上的电流分布是不均匀的, 有如圖7-501所示。这使得导綫的有效截面减小, 因此, 导綫在高頻时的电阻 r_f 大大地超过了导綫的歐姆电阻 r_o 。

当频率低于7—10兆赫时, 单層及多層綫圈的导綫的 r_f 可由以下公式来决定:

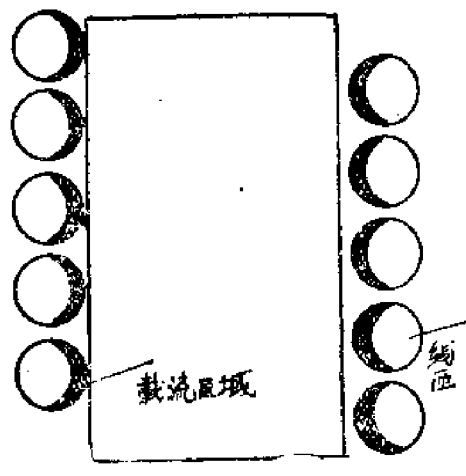
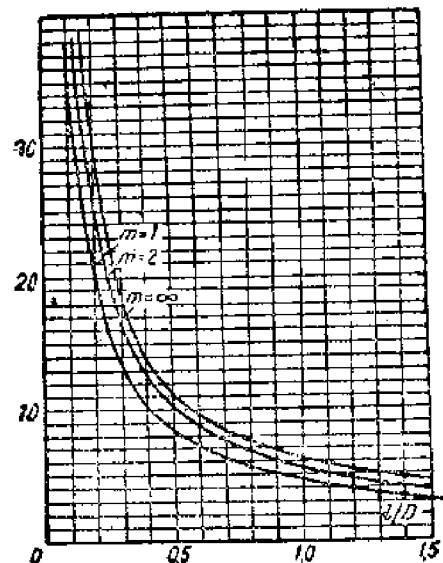


图 7—601

图 7—602 为计算单层绕组和细空的多层
线圈电阻用的系数K的数值曲线图
(m—层数)

$$r_f = r_0 [F(Z) + \left(\frac{KNd}{2D} \right)^2 G(Z)] \text{ (欧)} \quad (7-601)$$

其中

 d ——不带绝缘的导线直径（厘米） D ——单层线圈的直径或者多层线圈的外径（厘米）

K——考虑到线圈尺寸对邻近效应影响的系数，由图7—602、7—603的曲线查出。

 $F(Z)$ ——考虑到集肤效应影响的系数。 $G(Z)$ ——考虑到邻近效应影响的系数。系数 $F(Z)$ 及 $G(Z)$ 按表 7—7 查出。表 7—7 系数 $F(Z)$ 及 $G(Z)$ 的数值表

Z	F (Z)	G (Z)	Z	F (Z)	G (Z)
0.1	1.000		5.9	2.043	0.7559
0.2	1.000	Z^4	5.2	2.114	0.7992
0.3	1.000	64	5.4	2.184	0.8255
0.4	1.000		5.6	2.254	0.8609
0.5	1.000	0.00097	5.8	2.324	0.8962
0.6	1.001	0.00202	6.0	2.394	0.9316
0.7	1.001	0.00373	6.2	2.463	0.9671
0.8	1.002	0.00632	6.3	2.533	1.003

0.9	1.003	0.01006	6.4	2.603	1.033
1.0	1.005	0.01519	6.8	2.678	1.073
1.1	1.008	0.0220	7.0	2.743	1.109
1.2	1.011	0.0303	7.2	2.813	1.144
1.3	1.015	0.0413	7.4	2.884	1.180
1.4	1.020	0.0541	7.6	2.954	1.293
1.5	1.026	0.0691	7.8	3.024	1.251
1.6	1.033	0.0863	8.0	3.091	1.287
1.7	1.042	0.1053	8.2	3.165	1.322
1.8	1.052	0.1265	8.4	3.235	1.357
1.9	1.064	0.1480	8.6	3.306	1.393
2.0	1.078	0.1724	8.8	3.376	1.423
2.1	1.094	0.1967	9.0	3.446	1.454
2.2	1.111	0.2214	9.2	3.517	1.499
2.3	1.131	0.2462	9.4	3.587	1.531
2.4	1.152	0.2708	9.6	3.658	1.570
2.5	1.175	0.2949	9.8	3.728	1.603
2.6	1.201	0.3184	10.0	3.799	1.641
2.7	1.228	0.3412	11.0	4.151	1.818
2.8	1.256	0.3632	12.0	4.504	1.993
2.9	1.286	0.3844	13.0	4.856	2.171
3.0	1.318	0.4049	14.0	5.209	2.348
3.1	1.351	0.4247	15.0	5.562	2.525
3.2	1.385	0.4439	16.0	5.915	2.701
3.3	1.420	0.4626	17.0	6.268	2.873
3.4	1.456	0.4807	18.0	6.621	3.056
3.5	1.492	0.4987	19.0	6.974	3.232
3.6	1.529	0.5160	20.0	7.328	3.409
3.7	1.563	0.5333	21.0	7.681	3.586
3.8	1.603	0.5503	22.0	8.034	3.763
3.9	1.640	0.5673	23.0	8.388	3.930
4.0	1.678	0.5842	24.0	8.741	4.117
4.1	1.715	0.6010	25.0	9.094	4.117
4.2	1.752	0.6179	26.0	10.85	5.177
4.3	1.789	0.6348	27.0	14.40	6.946
4.4	1.826	0.6517	28.0	17.93	8.173
4.5	1.863	0.6687	29.0	21.46	10.48
4.6	1.899	0.6858	30.0	25.00	12.25
4.7	1.935	0.7039	31.0	28.54	14.02
4.8	1.971	0.7203	32.0	32.07	15.78
4.9	2.007	0.7376	33.0	35.61	17.73
			100.0	Z V 2 + 1 4	Z V 2 - 1 8

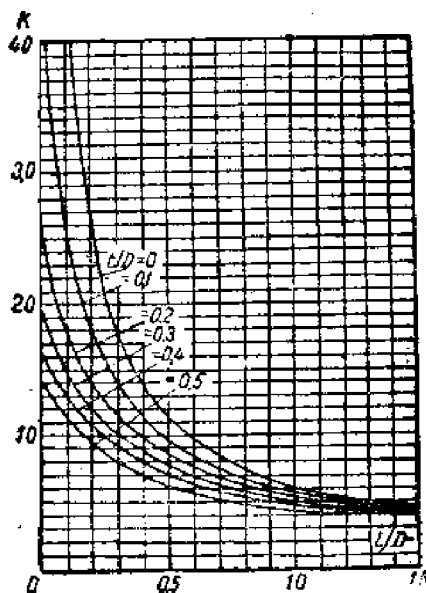


圖 7—303 為計算多層線圈用的系數K的數值曲線圖

其中：Z——參數，對於銅導線是

$$Z = 0.106d\sqrt{f} \quad (7-602)$$

銅導線歐姆電阻等於：

$$r_0 = \frac{7D_{cp}N \cdot 10^{-6}}{d^2} \quad (\text{歐}) \quad (7-603)$$

其中 D_{cp} 及 d 的單位為毫米。

蜂房式繞阻，由於導線的折彎，每匝的平均長度增加了，為此線圈電阻應該增加 $\frac{1}{\cos\varphi}$ 倍。

導線直徑的增加引起其周界的加長，因而高頻電阻也就降低，但直徑愈大，鄰近效應愈強，由於鄰近效應而產生的電阻也就愈大（大致與導線直徑成正比）。在一定頻率下電阻與直徑的關係可用圖7-604的曲線表示，由圖可見：當頻率已定時，線圈的高頻電阻在某一直徑值時具有最小值，直徑小于此值，集膚效應影響占優勢，直徑大于此值，則鄰近效應占優勢。

為了決定導線的最佳直徑 d_{opt} （毫米），可以利用圖7-605的曲線，其中列舉了乘以 Pd_{opt} 對數值 $\frac{f}{P^2}$ 的關係。

曲線中 f 的單位為赫

對於單層及多層線圈來說輔助值 P 決定於下式：

$$P^2 = \frac{LS^2}{D^2} \quad (7-604)$$

其中 L——線圈的電感量（微亨）

D——線圈的外徑（厘米）

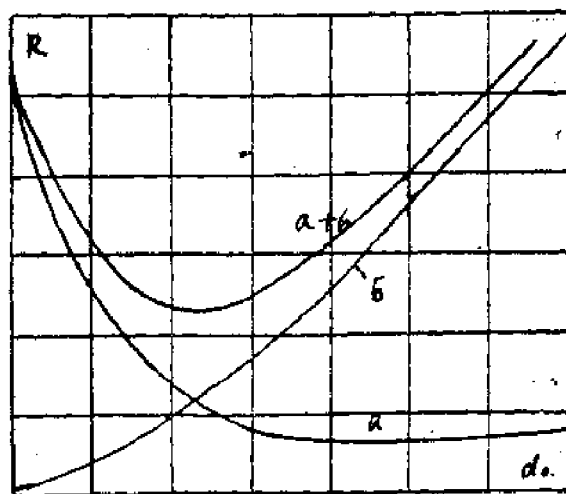


圖 7—604 線路電阻各分量与導線直徑的關係曲線

- a. 当频率一定时一段直导线（此时，不产生邻近效应）的高频电阻。
- b. 由于邻近效应而产生的高频电阻的增加。a+δ. 导线的高频电阻。

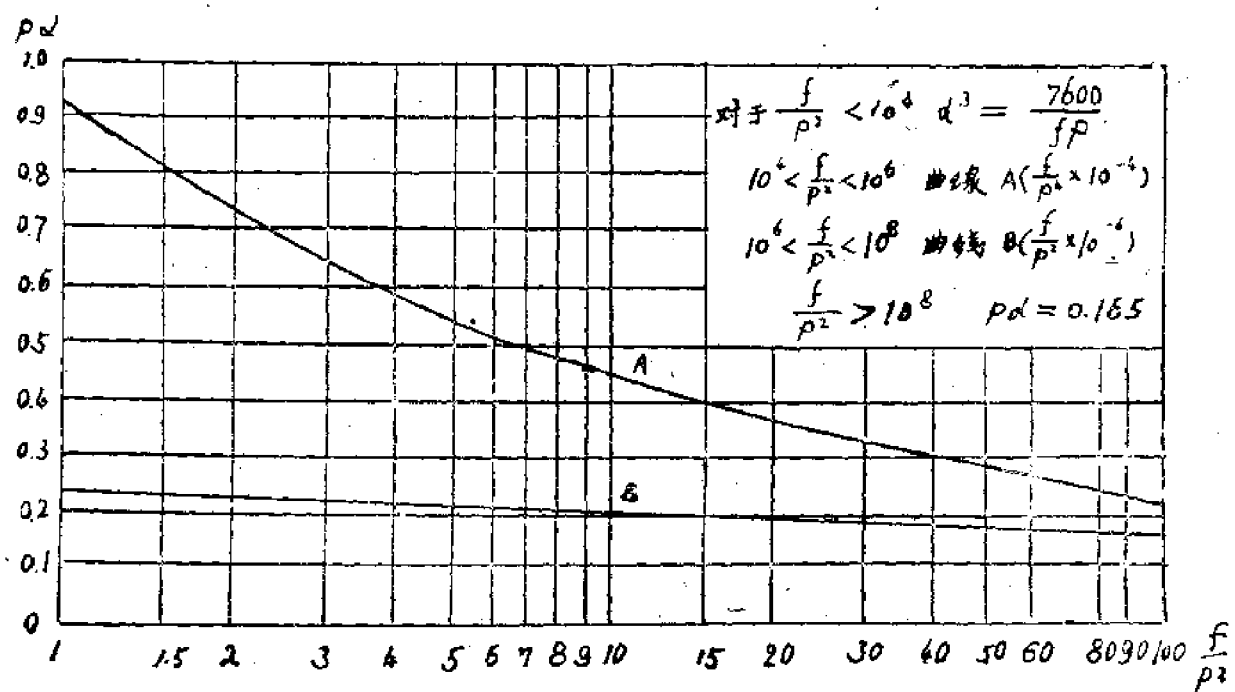


圖 7—605 決定最佳導線直徑的曲線

s ——系数，决定于圖7—606及圖7—607

为了用加长导线总周界的方法来减少线圈导线的高频电阻，有时采用特殊的多芯导线——编织线来绕制线圈。把编织线应用在中波上特别有效。在频率1—1.5兆赫时，由于在每根芯线的绝缘中介质损耗的增大，采用编织线是不适合的。用编织线绕制线圈时，其高频电阻及最佳直径的计算与上述方法相似；此时，

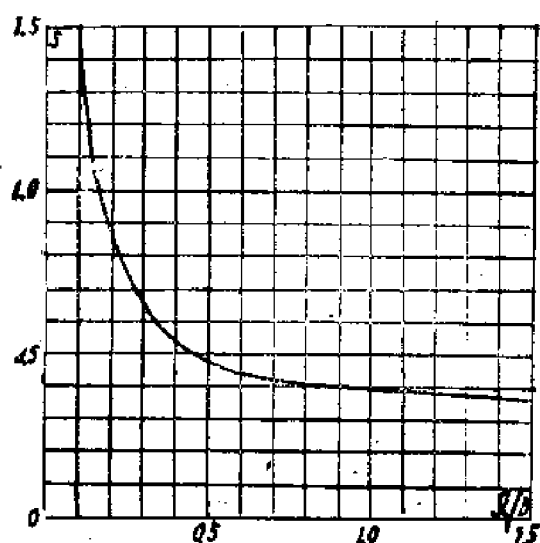


圖7—606 单层线圈的曲线 $s = f(\frac{I}{D})$

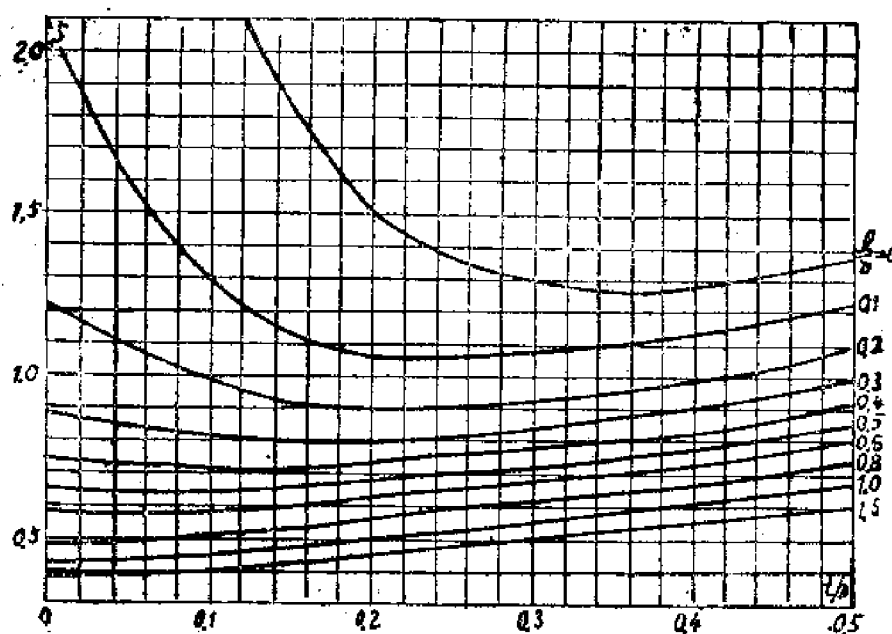


圖7—607 多层线圈在不同 $\frac{t}{D}$ 之下的曲线 $s = f(\frac{t}{D})$

$$r_f = r_o \left\{ F(Z) + \left[\frac{C}{d_o^2} + \left(\frac{KN}{2D} \right)^2 n^2 d_o G(Z) \right] \right\} \quad (7-605)$$

其中 d —— 每根芯线的直径（厘米）

n —— 总线数

d_o —— 总直径（厘米）

C —— 与总线数有关的系数（参见表 7-8）

表 7-8

系数 C 的数值表

n	3.0	7.0	9.0	15	19	27	>27
c	1.55	1.815	1.84	1.88	1.90	1.92	2.0

编缆线欧姆电阻等于：

$$r_o = \frac{7aD_{CP}N \cdot 10^{-6}}{nd^2} \quad (7-606)$$

这里，系数 a 是考虑到由于芯线的扭转所引起的加长。当 $n=3$ 时 $a=1.02$ ；当 $n=9$ 时 $a=1.04$ ；当 $n=27$ 时 $a=1.06$ 。对于用编缆线绕制的蜂房式绕组来说，也还需乘上 $\frac{1}{\cos \varphi}$ 。

计算 d_{DT} 时可以采用相同的方法，但辅助值 P 应按下式决定：

$$P^2 = O + \frac{n^2 LS^2}{D^3} \quad (7-607)$$

系数 O 的值取自表 7-9

表 7-9

系数 O 的值

n	1	3	7	9	15	27	>27
O	0	0.9	2.4	3.3	5.7	10.4	$0.4n$

同轴的短波及超短波线圈导线的最佳直径的计算比较简单一些，它决定于线圈的尺寸及绕距。在圆导线的情况下最佳直径等于：

$$d_{DT} = \frac{\tau}{K_1} \quad (7-608)$$

系数 K_1 按图 7-608 的曲线来决定。

当用最佳直径的铜导线来绕制时这种线圈的电阻等于：

$$r_f = \frac{7.4 N^2 \sqrt{f} \cdot 10^{-7}}{D} \text{ [欧]} \quad (7-609)$$

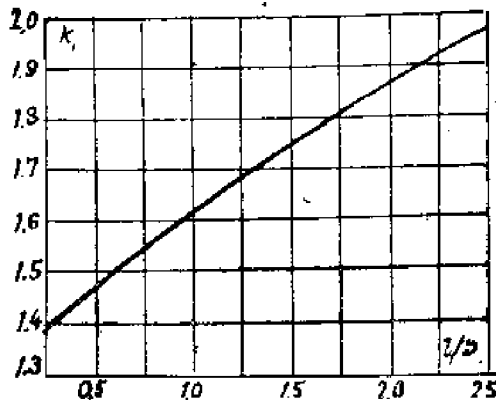


圖 7 —— 60°為計算圓形導線的短波和超短波繞圈電阻用的系數 K_1 的曲線

为了减少集膚效应和邻近效应的影响，在短波及超短波綫圈中采用扁平截面的带状导线缠绕，当以宽边绕制时，导线的最佳宽度等于：

$$b_{opt} = \frac{\pi}{K_2} \quad [\text{毫米}] \quad (7-610)$$

系数 K_2 决定于图 7-609 的曲线

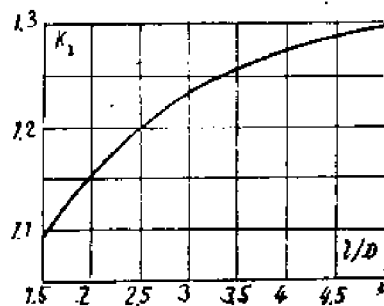


圖 7 —— 60°為計算扁導線的短波和超短波繞圈電阻用的系數 K_2 的曲線

如果带厚 $a > -\frac{1}{2}\sqrt{\frac{P}{f}} \times 10^3$ 毫米，则这种线圈的 r_f 等于：

$$r_f = \frac{0.5N^2 V \sqrt{f \cdot \rho} \times 10^{-8}}{L/D} \quad [\text{欧}] \quad (7-611)$$

式中 ρ —— 导线的电阻率（欧·厘米）

§7-7 电感线圈的固有电容

当频率接近于线圈的固有谐振频率时，电感线圈的固有电容使实际电感量产生变化并增加了损耗。

线圈固有电容的计算是很复杂的，通常用近似方法。

绕制在光滑骨架上的单层电感线圈的固有电容可决定于下式

$$C_0 = \frac{\pi D}{8.3I_F \left[\frac{\tau}{d} + \sqrt{\left(\frac{\tau}{d} \right)^2 - 1} \right]} \quad (\text{微微法}) \quad (7-701)$$

单层线圈的固有电容也可以按下列经验公式来计算

$$C_0 = \psi D \quad (\text{微微法}) \quad (7-702)$$

其中 ψ 是由 $\frac{\tau}{d}$ 决定的系数可从表 7-10

表 7-10

τ/d	1.25	1.5	2	2.5	3	4	5	> 5
ψ	0.65	0.61	0.55	0.51	0.48	0.445	0.435	0.34

按图 7-701 的曲线来决定固有电容，给出了良好的效果。

在无骨架线圈或筋条式骨架线圈的情况下，由上述方法所决定的固有电容应减少 15~20%；在具有切槽的骨架的情况下应增加 20~25%；线圈经过浸渍及蘸渍后固有电容的增大了 20~30%。

蜂房式绕法线圈的固有电容可由以下公式计算：

$$C_0 = \frac{\tau D_{CP}}{3P^2 t} \quad (\text{微微法}) \quad (7-703)$$

其中： τ ——与导线绝缘层的介电系数有关的系数，决定于表 7-11

表 7-11

导线的牌号	单丝包线 (ПШО)	漆包线 (ПЭ)	单丝漆包线 (ПЭШО)	双丝漆包线 (ПШД)	单丝漆包线 (ПЭВО)	双丝编线线 (ПЛВ)
τ	3.4	3.7	3.8	3.9	4.3	5

其他符号及单位和以前相同。

当多层线圈采用分层绕法或堆绕法时，用计算法求得的 C_0 值是不准确的，进行粗略计算的方法将在下一章讨论。

为了减少多层线圈的固有电容采用了分段，在各分段间的距离大約等于绕组的长度时，分段线圈的固有电容可由以下经验公式计算：

$$C_0 = C_{oc} \frac{0.33S + 0.67}{S}$$

其中 C_{oc} ——每分段的固有电容；

S ——分段数。

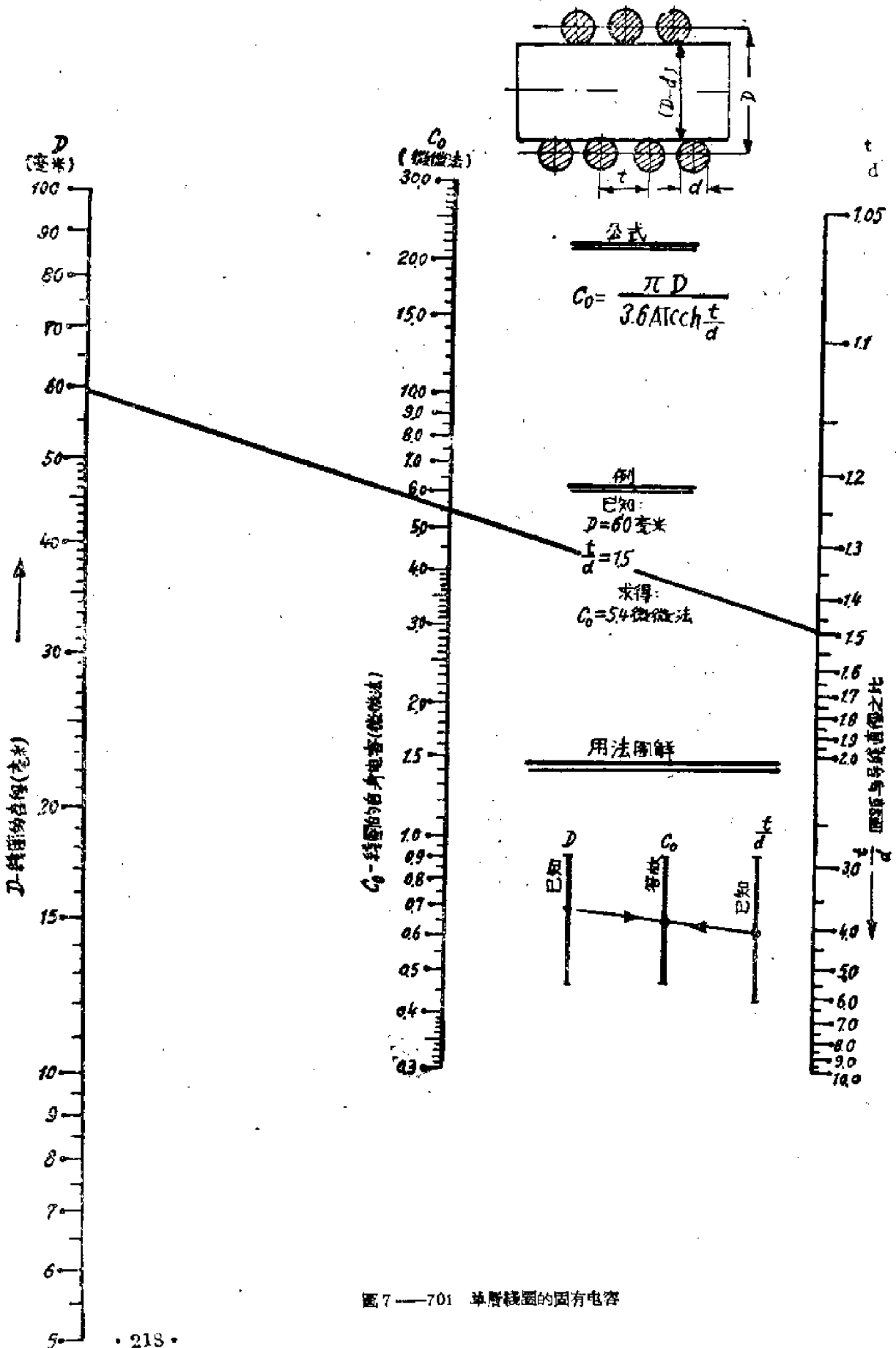


图 7—701 单层线圈的固有电容

繞圈經過介質的固有電容值，決定了繞圈介質中的損耗，它可由下式計算：

$$C_{og} = \frac{C_0}{1 + \frac{1}{\lambda s}}$$

其中 ϵ ——骨架材料的介電常數，

λ ——與繞組結構有關的系數。

當圓導線繞在筋條式骨架上時 $\lambda = 0.06$ ；當繞制在光滑骨架上時 $\lambda = 0.08$ ；當繞制在刻槽骨架上時 $\lambda = 0.111$ 。

對於多層繞法 $C_{og} = (0.8 \div 1.0) C_{os}$

§7-8 电感繞圈的品質因數及繞圈尺寸的選擇

電感繞圈的品質因數決定於公式：

$$Q = \frac{\omega L}{r_g} \quad (7-801)$$

對於無屏蔽無芯子的電感繞圈：

$$r = r_f + r_p$$

式中 r_g ——由介質中損耗所引入的電阻。

由介質中損耗所引入的電阻可按下式計算：

$$r_g = 0.25 C_{og} \operatorname{tg} \delta L^2 f^3 \cdot 10^{-8} \quad (7-802)$$

其中 C_{og} ——繞圈通過介質的固有電容（微微法）

L ——繞圈電感量（微亨）

f ——頻率（兆赫）

$\operatorname{tg} \delta$ ——介質中的損耗角正切。對於單層繞圈，它決定於骨架的材料；對於多層繞圈它決定於導線絕緣層及墊層介質；當漆絕緣時 $\operatorname{tg} \delta = 0.018$ ，當絲絕緣時 $\operatorname{tg} \delta = 0.04$ ；當紙絕緣時 $\operatorname{tg} \delta = 0.36$ 。

實際上只有當固有電容很大時才考慮介質中的損耗。

當計算短波或超短波單層繞圈的品質因數時，引入的介質損耗取決於骨架材料，當用高頻損耗小的優質絕緣材料作骨架時，這一部份損耗可略，因而，繞圈的損耗可認為只由導線的高頻電阻 r 決定。於是，當導線直徑為最佳值時，計算 Q 值的公式可寫為：

對於因銅導線繞制的繞圈：

$$Q = 8.5 L_0 D \frac{I}{D} \sqrt{\frac{f}{\rho}} \cdot 10^{-8} \quad (7-803)$$

對於扁導線繞制的繞圈：

$$Q = 12.6 L_0 D \frac{I}{D} \sqrt{\frac{f}{\rho}} \cdot 10^{-8} \quad (7-804)$$

這裡： D ——繞圈直徑（厘米）

f ——頻率（兆赫）

ρ ——導線材料的比電阻（歐·厘米）。

當頻率接近於電感繞圈的固有頻率時繞圈的品質因數等於：

$$Q^1 = Q \left(1 - \frac{l^2}{l_0^2}\right) \quad (7-805)$$

研究表明，为了得到大的线圈品质因数，应该增加线圈的直径（因为当大的线圈直径时邻近效应减弱），并用最佳直径的导线来绕制。此外为了获得最大品质因数应该采用下列线圈尺寸比值：对于单层线圈 $\frac{l}{D} = 0.5$ 。对于多层线圈 $3l + 2l = D$ 。上述线圈尺寸间的比值并不是严格的极限值，所以允许有某些偏差。

大电感量的多层线圈（大于5毫亨），为了提高Q值一般是分段的，分段数可以自2到8。各分段做成一样的，相邻分段之间的距离取小于或等于每一分段绕组的长度。

§ 7-9 互感及耦合系数的计算

电感量及互感量的计算在II-J卡朗达洛夫及J-A切依特林的“电感的计算”一书中有关于足够全面的阐述。以下将引入某些决定互感量及耦合系数的计算公式（所有尺寸取厘米的单位）。

在同轴线匝间的互感量（图7-901）等于：

$$M = \frac{M_0 \sqrt{D_1 D_2}}{2} \cdot 10^{-8} \text{ (微亨)} \quad (7-901)$$

其中： $D_1 D_2$ —线匝的直径（厘米）

M_0 —系数，按数值 $P = \frac{b_2}{b_1}$ 从图7-902、图7-903、图7-904中查得。

当同样的线匝时，即 $D_1 = D_2$ 时

$$M = \frac{M_0 D}{2} \cdot 10^{-8} \text{ (微亨)}$$

在单层线圈和具有正方形截面或近乎正方形的截面的多层线圈（它们之间距离超过线圈最大直径）之间的互感等于：

$$M = \frac{M_0 N_1 N_2 \sqrt{D_1 D_2}}{2} \cdot 10^{-8} \text{ (微亨)} \quad (7-902)$$

其中： M_0 —中心线匝间的互感系数；

在两个线圈结构尺寸相同时：

$$M = \frac{M_0 N^2 D}{2} \cdot 10^{-8} \text{ (微亨)}$$

两个同轴单层线圈（图7-905）间的互感量等于：

$$M = 0.000617 \frac{D_1 D_2^2 N_1 N_2}{l_1 l_2} (k_1 a_1 + k_3 a_3 + k_5 a_5) \text{ (微亨)} \quad (7-903)$$

其中 $k_{1,1} = \frac{8}{D_2} \left(\frac{X_2}{r_2} - \frac{X_1}{r_1} \right)$; $X_1 = B + \frac{l_1}{2}$; $X_2 = l_2 + B + \frac{l_1}{2}$;

$$r_1 = \sqrt{X_1^2 + \left(\frac{D_1}{2}\right)^2}; \quad r_2 = \sqrt{X_2^2 + \left(\frac{D_2}{2}\right)^2}; \quad k_3 = \frac{1}{2} \left(\frac{X_1}{r_1^5} - \frac{X_2}{r_2^5} \right);$$

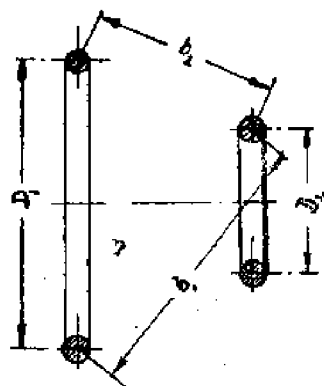


圖 7—901 為計算兩同軸線圈間的互感量用的結構尺寸

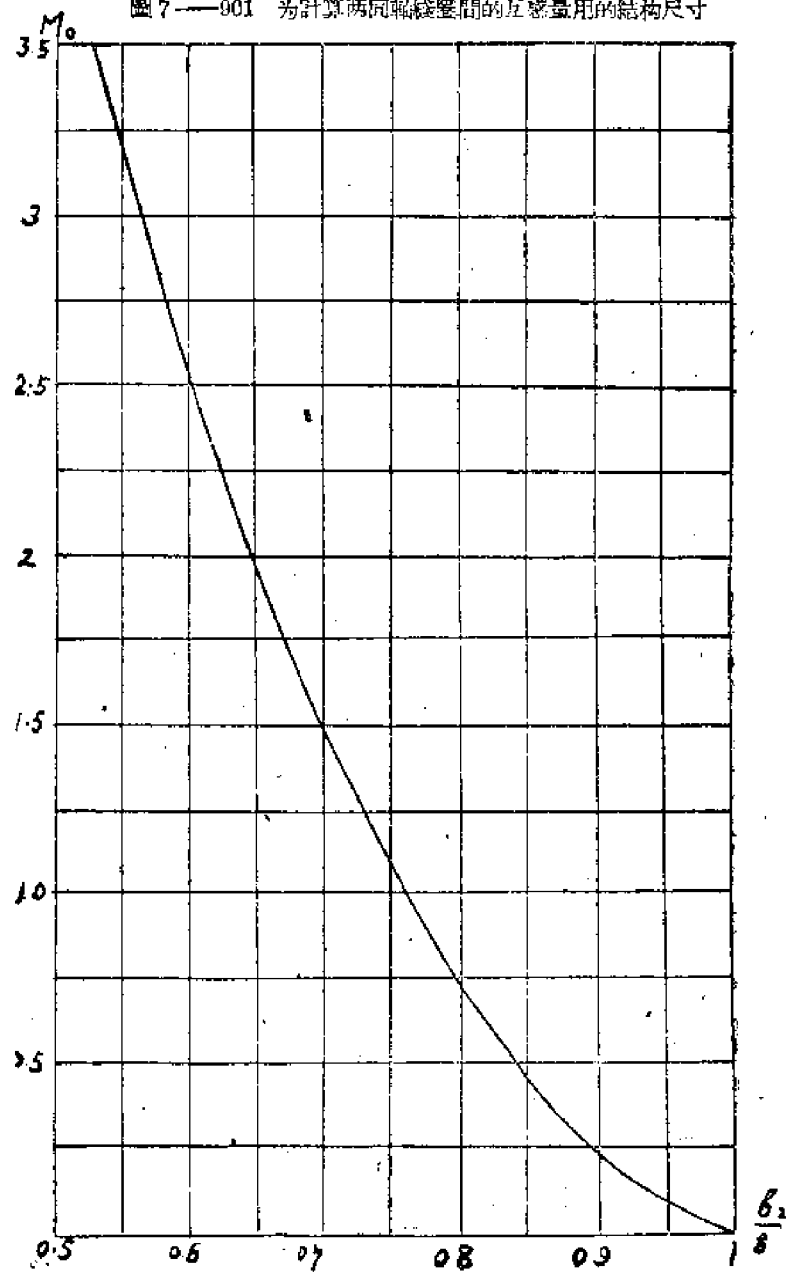


圖 7—902 對于 $p = \frac{B_2}{B_1}$, 在 0.5—1 范圍內時系數 M_0 的曲線

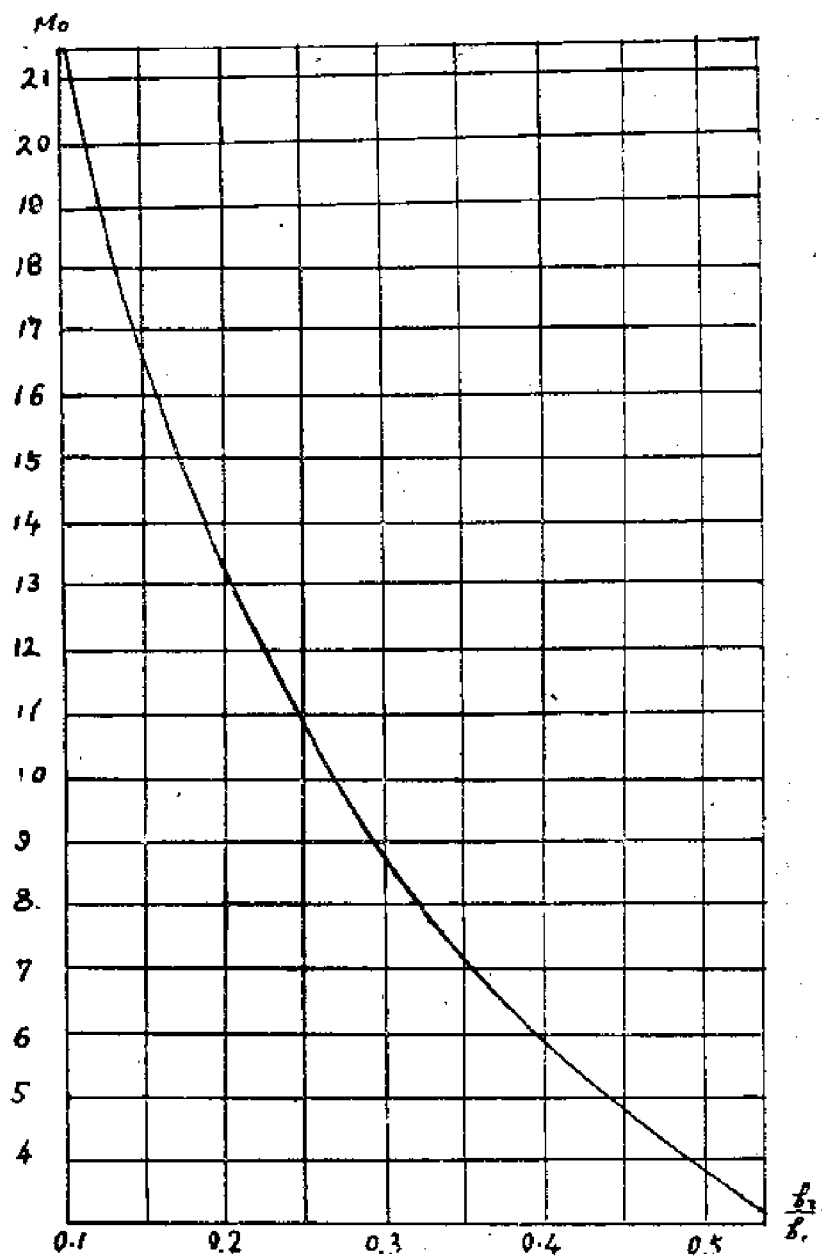


图 7 —— 对于 $p = \frac{g_2}{g_1}$ 在 0.1 — 0.5 范围内时系数 M_0 的曲线

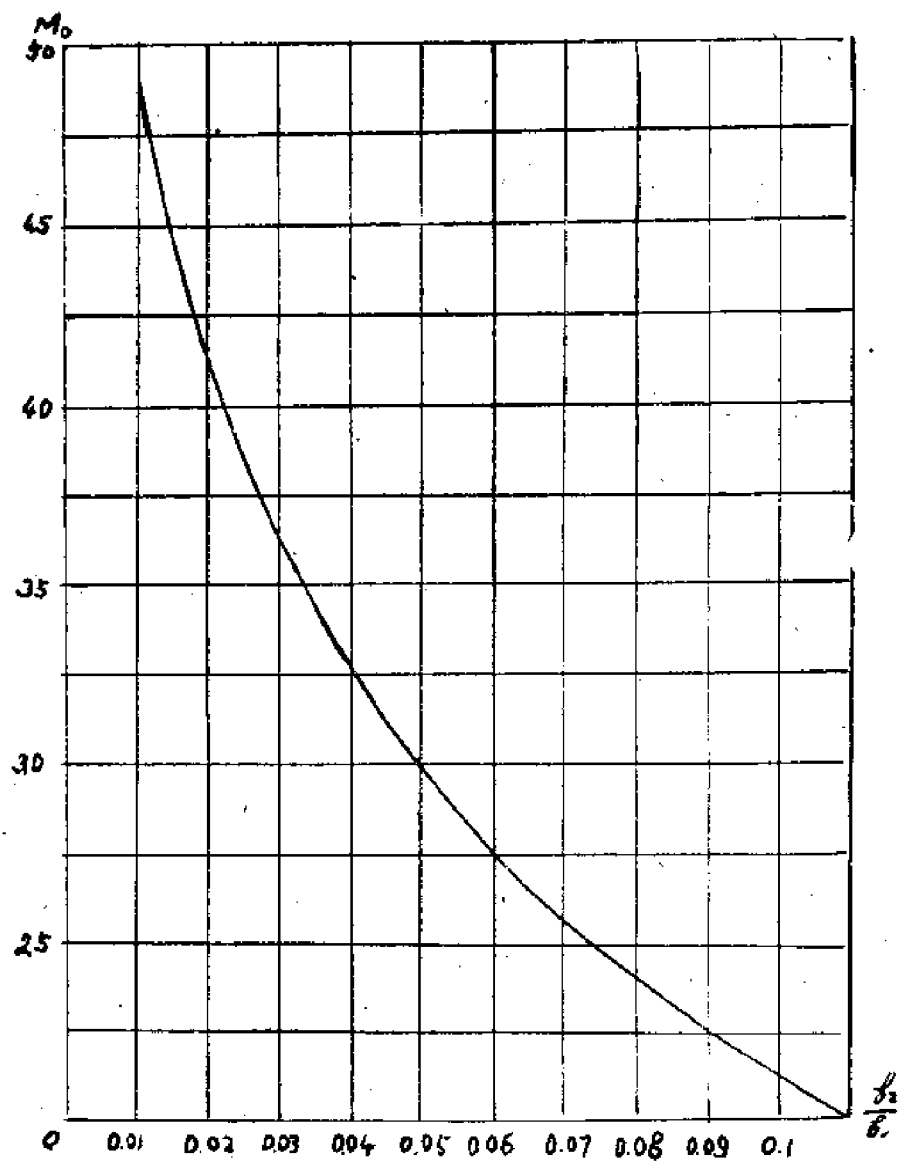


圖 7—004 对于 $p = \frac{B_1}{B_2}$ 在 0—0.1 范围内时系数 M_0 的曲线

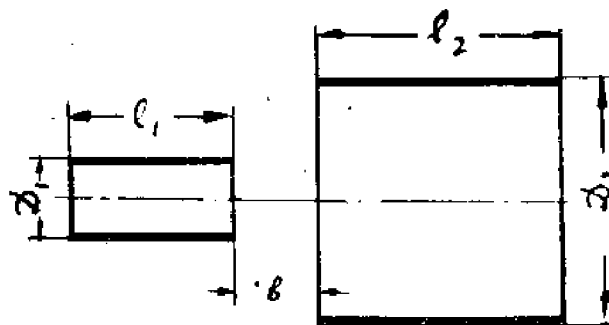


圖 7—005 檢圈間互感量的計算

$$a_3 = \frac{D_1^2 I_1}{8} \left(3 - \frac{4I_1^2}{D_1^2} \right); \quad k_5 = \frac{D_2^2}{3^2} \left[\frac{X_1}{r_1^2} \left(3 - \frac{16X_1^2}{D_2^2} \right) - \frac{X_2}{r_2^2} \left(3 - \frac{16X_2^2}{D_2^2} \right) \right];$$

$$a_5 = \frac{D_1^4 I_1}{32} \left(\frac{5}{2} - 10 \frac{I_1^2}{D_1^2} + 4 \frac{I_1^4}{D_1^4} \right)$$

两个同轴多层线圈（图 7—906）间的互感量等于：

$$M = \frac{N_1 N_2}{6} \left[M_{12}' + M_{13}' + M_{14}' + M_{16}' + M_{1'2} + M_{1'3} + M_{1'4} + M_{1'6} - 2M_{11} \right] \quad (7-904)$$

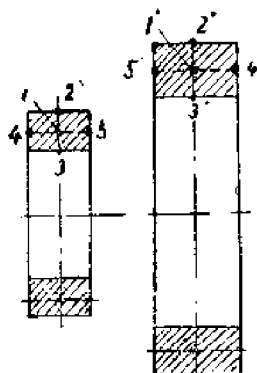


图 7—903 多层线圈间的互感量的计算

这里 M_{11}' M_{12}' 等如图 7—906 所示的各点沿着截面分布的线匝的互感量。

其轴平行的同样单层线圈（图 7—907）的互感量等于：

$$M = \frac{0.6 N_1 N_2 D^4}{B_s} 10^{-3} \text{ (微亨)} \quad (7-905)$$

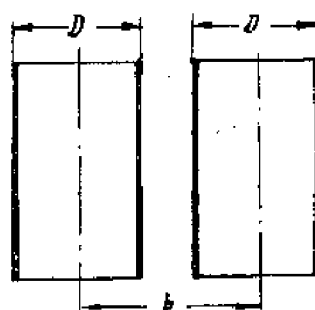


图 7—907 为计算平行放置的两线圈间的互感量用的结构尺寸

在两个插入同轴线圈(7-908)之间的互感量等于:

$$M = 0.00493 \frac{D_2 N_1 N_2}{g} \left[1 + \frac{D_1^2 D_2^2}{128g} \left(3 - 4 \frac{l_2^2}{D_2^2} \right) \right] \text{(微亨)}$$

对于图7-908“a”的情况 $g = \frac{1}{2} \sqrt{D_1^2 + l_1^2}$
 而对于图7-908“b”的情况 $g = \frac{1}{2} \sqrt{D_1^2 + l_2^2}$

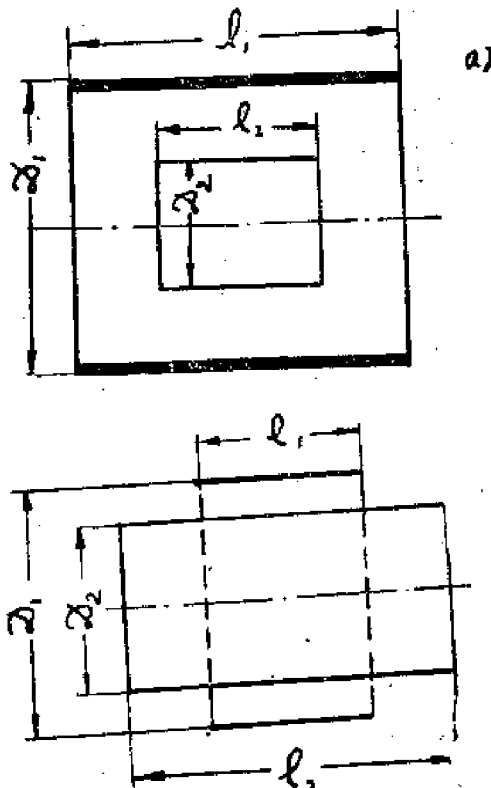


圖7—903 同軸線圈間互感量的計算

耦合系数等于:

$$K = \sqrt{\frac{M}{L_1 L_2}} \quad (7-907)$$

同轴远离线圈间的耦合系数等于:

$$K = \frac{M_0}{2\sqrt{L_{01} L_{02}}} \quad (7-908)$$

其中 L_{01} 及 L_{02} —— 线圈的形状系数。

相同的同轴近置单层线圈间的耦合系数等于:

$$K = \frac{2}{2+11 \frac{1}{D}} \quad (7-909)$$

同軸插入單層線圈（圖7-908 “a”）間的耦合系數等於：

$$K = \frac{D_2 l_2}{D_1 l_1} \quad (7-910)$$

§ 7-10 屏蔽電感線圈的計算

線圈放入屏蔽罩後，其電感量要減小，損耗電阻和固有電容都得增大。

為了計算屏蔽對線圈參數的影響，可將電感線圈的屏蔽罩看成是具有與屏蔽罩尺寸相等尺寸的短路線匝，它通過互感與線圈耦合著。如所周知，與另一個線圈相耦合的線圈的電感量等於：

$$L_{sk} = L - \frac{\omega^2 M^2}{r_s^2 + \omega^2 L_s^2} L_s$$

其中 L_{sk} —屏蔽線圈的主感量，

L —未屏蔽線圈的電感量，

M —線圈與屏蔽罩間的互感量，

r_s —屏蔽罩的高頻電流電阻，

L_s —屏蔽罩的電感量。

在足夠高的頻率時 $\omega^2 L_s^2 \gg r_s^2$ ，則

$$L_{sk} = L - \frac{M^2}{\sqrt{LL_s}}$$

因為線圈與屏蔽罩之間的耦合系數等於：

$$K = \frac{M}{\sqrt{LL_s}}$$

則屏蔽線圈的電感量等於：

$$L_{sk} = L(1-K^2) \quad (7-1001)$$

對於單層線圈耦合系數“ K ”可按下式計算：

$$K^2 = \frac{100}{L_o L_{os} \left[1 + \left(\frac{l_s}{D_s} \right)^2 \right]} \left(\frac{D}{D_s} \right)^2 \quad (7-1002)$$

其中： L_o 及 L_{os} ——線圈及屏蔽罩的形狀系數。

l_s 及 D_s ——屏蔽罩的長度及直徑

D ——線圈的直徑。

對於單層線圈耦合系數也可按下式計算：

$$K^2 = \eta \left(\frac{D}{D_s} \right)^3 \quad (7-1003)$$

其中 η —參量，按圖7-1001的曲線來確定：

對於多層電感線圈耦合系數決定於下式：

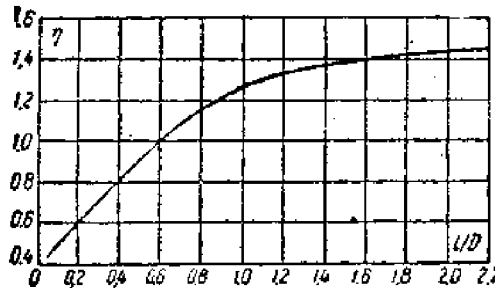


圖 7—1001 系數 η 的數值曲線圖

$$K = \frac{\left(\frac{D^1}{D_0}\right)^3}{L_0 L_{0s} \left[1 + \left(\frac{I_s}{D_0} \right)^2 \right]} \quad (7-1004)$$

$$\text{其中 } D^1 = \sqrt{\frac{D^2 + D_0^2}{2}}$$

單層的或者薄的多層線圈的電感量可以按圖 7—1002 的計算曲線求出；

由於屏蔽罩的影響而引起的電感線圈電阻的改變，是由兩個原因產生的。首先是由於屏蔽罩引起線圈場的變化，其次是由於耦合線圈—屏蔽罩引入線圈的電阻。考慮到由於屏蔽罩所產生的場的變化時線圈導線電阻：

$$r'_{feK} = r_0 \left[F(Z) + \left(\frac{KNd}{2D} \right) (1 - K^2)^2 G(Z) \right] \quad (7-1005)$$

其中 “K” — 線圈及屏蔽罩間耦合系數。

由屏蔽罩所引入的電阻等於：

$$\Delta r_s = - \frac{\omega^2 M^2}{\frac{r_0^2}{2} + \omega^2 L_s^2} r_s$$

因為 $M^2 = K^2 L L_s$; $L_s = L_0 s D_0$; $L = L_0 N^2 D$, 則變換最後一式後我們得到：

$$\Delta r_s = K^2 N^2 r_s \frac{D}{D_0} \frac{L_0}{L_{0s}} \approx K^2 N^2 r_s \frac{D}{D_0}$$

如果線組與屏蔽罩頂（和罩底）之間的距離大於線圈直徑，則罩頂（和罩底）的影響可以忽略，因此，屏蔽罩的電阻等於：

$$r_s = \rho_s \frac{\pi D_0}{I_s X_s}$$

其中 πD_0 是渦流途徑長度， X_s — 电流滲入深度，等於：

$$X_s = \frac{1}{20} \sqrt{\frac{\rho}{f}} \quad (\text{厘米})$$

而 $I_s X_s$ 則為渦流的有效導流面積。

這樣一來

$$\Delta r_s = 20 \pi K^2 N^2 \frac{D}{D_0} \frac{D_0}{L_0} \sqrt{\frac{\rho}{f}} \quad (\text{歐}) \quad (7-1006)$$

這裡所有線性數值以厘米為單位； ρ 以歐厘米為單位； f 以兆赫為單位。

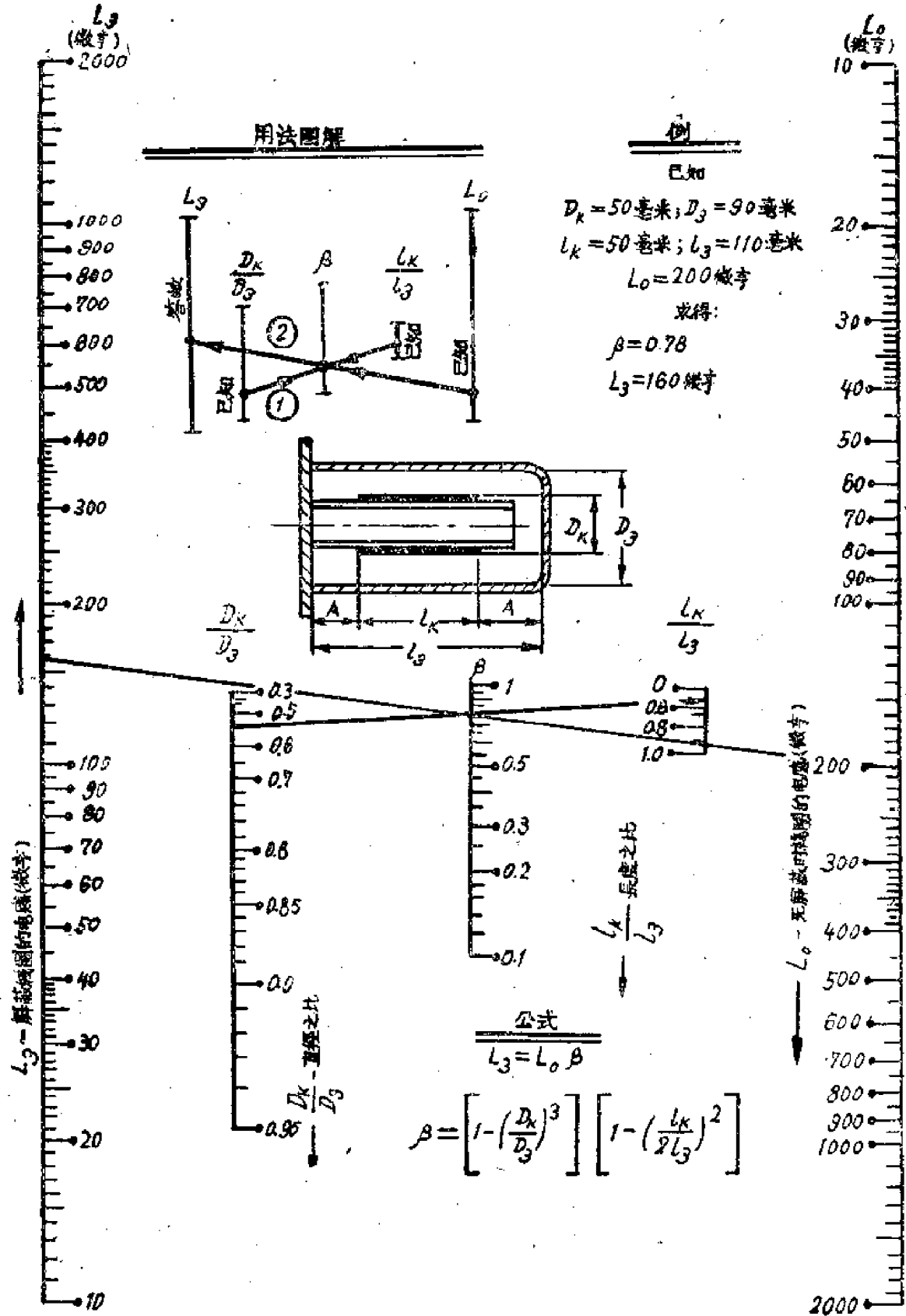


圖 7-1002

对于铝 ($\rho_s = 2.8 \times 10^{-8}$ 欧厘米) 屏蔽罩我们得到：

$$\Delta r_s = 1.05 K^2 N^2 \frac{D}{D_0} \frac{D_0}{l_e} \sqrt{f} \cdot 10^{-3} \text{ (欧)} \quad (7-1007)$$

屏蔽线圈导线的高频总电阻等于：

$$r_{\text{fek}} = r'_{\text{fek}} + \Delta r_s \quad (7-1008)$$

当线圈对于屏蔽罩的位置放置得正常和屏蔽罩尺寸的正确选择时，屏蔽罩所引起的影响的变化的影响可以忽略。为此，线圈导线的高频电阻可以认为（足够准确）等于：

$$r_{\text{fek}} = r_f + \Delta r_s \quad (7-1009)$$

屏蔽罩使线圈的固有电容增加，屏蔽罩愈近线圈，固有电容的增加愈大。

屏蔽线圈的稳定性也比无屏蔽时低，因为罩的几何尺寸和电阻的改变也相应地改变了线圈的参数和电流在导线上的分布。

屏蔽罩与线圈距离愈大，对线圈的影响愈小；但屏蔽罩最大尺寸受设备尺寸的限制，而缩小线圈直径又受到本身 Q 值降低的限制。分析表明，为了使线圈电感量和 Q 值下降不显著 ($< 10\%$)，比值 $\frac{D_0}{D}$ 应在 $1.5 \div 2.5$ 的范围内选择（波长较短时应选较小比值）。

设计屏蔽线圈时就从选择适当 $\frac{D_0}{D}$ 比值开始，然后，再按 L 值（所需的无屏蔽线圈电感量， $L_s = \frac{L_{\text{fek}}}{1-K^2}$ 而 L_{fek} 是给定的）来设计不带屏蔽罩的线圈。

§ 7-11 具有芯子线圈的计算

电感线圈的芯子采用两种类型：磁性的及非磁性的。

磁性芯子的采用可以减小电感线圈的尺寸，提高线圈的品质因数，并且当芯子相对于线圈移动时可能改变电感量。

非磁性芯子应用于短波及超短波波段的电感线圈，它们被利用来作为电感量的微调。

I. 磁性芯子线圈。

高频电感线圈最常用的磁芯结构形状示于图 7-1101

柱杆形磁芯（图 7-1101, a, b, v, r, ）的结构最简单，用于线圈时线圈的结构不需作大的改变。其缺点是磁性利用率低，但具有较小的损耗，适用于较高频率。

线轴型磁芯（图 7-1101, d, e, ）的磁性利用率较高，但引入线圈的损耗相应增大，所以工作频率小于 2—2.5 兆赫。

装甲形（壳形）磁芯（图 7-1101, z, 3）的磁性利用率更高，但损耗也更大，因此工作频率不高于 1.5—2 兆赫。这种磁芯具有自身屏蔽作用，屏蔽罩对线圈的影响不大，因此屏蔽罩的尺寸可作得小些。

当频率低于 50—70 千赫时，可以采用 III 形和 II 形磁芯。

对电感量较大线圈，最好采用环形磁芯，此时，其磁性能得到最充分利用，但损耗更大，因此应用频率较低。采用了磁性芯子将增加了电感线圈的固有电容，装甲形磁芯特别显著。制造磁性芯子用的材料有：铁矽铝合金，矽基铁，铁淦氧。这些材料的基本特性列于表 7-12；表 7-13；表 7-14。

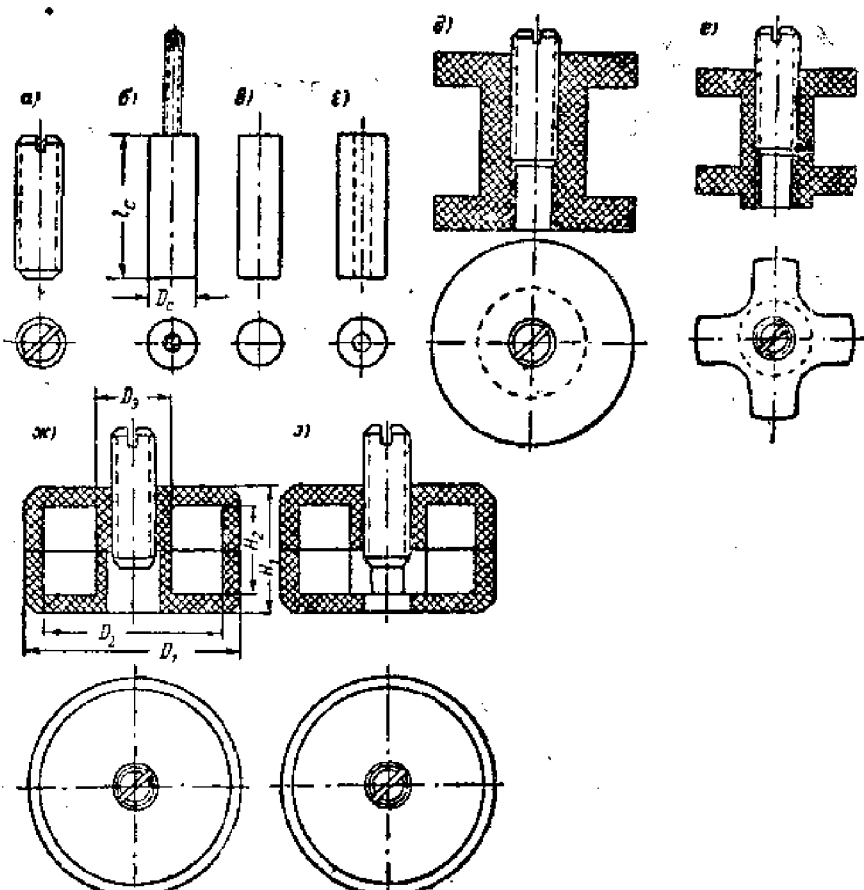


圖 7—1101 磁性鐵粉心的型式：a—有螺紋的圓柱鐵粉心（СДЧ型）；b—有螺栓的圓柱鐵粉心（СДЧП型）；c—光圓柱形鐵粉心（СДЧ型）；d—圓筒形鐵粉心（СДТ型）；e—梯形鐵粉心；f—閉路式鐵壳形鐵粉心（СВА）；g—開路式鐵壳形鐵粉心（СВб）

表 7—12 磁介質的特性

磁介質的名称 (高斯/奧斯特)	起始導磁率 (高斯/奧斯特)	堵后損耗系 數 $\times 10^{-3}$ (1/奧斯特)	渦流損耗系 數 $\times 10^{-3}$ (1/赫)	后效損耗系 數 $\times 10^{-3}$	導磁率的溫度 系數 $\times 10^{-6}$	用于那個頻 率範圍 (赫)
压制磁鐵矿	6—9	1	10	0.5	1250	达 10^6
鋁矽鐵ТЧ-60	60	4	200	1.7	400	达
鋁矽鐵ТЧК-50	50	4	200	1.7	-150--50	达 10
鋁矽鐵ВЧ-30	30	2	60	1.5	-200	达 5×10^4
鋁矽鐵ВЧ-20	22	1	19	1	-20	达 1.5×10^5
鋁矽鐵РЧ-9	9	0.8	4	0.6	-100	达 10^7
鋁矽鐵РЧ-6	6					达 10^7
镍基鐵II-4	11	0.18	5	0.4	-50	达 10^7

表 7-13

标准镍—锌铁氧的基本磁参数

铁氧的 型号	μ_0	$\mu_{r, \text{ARC}}$ 高斯	操作温度 °C	导磁率的 温度系数 $\beta \cdot 10^6$ (自0°到 -40°C)	在弱磁场中的损耗系数当电流频率 为60÷120千赫时						
					B _{r, \text{ARC}} 高斯	B _r 高斯	Hc 奥斯特	当H=30奥斯特时	$6x \cdot 10^{-3}$	$6g \cdot 10^6$	$6n \cdot 10^8$
HII-2500	2230÷2800	3030÷6000	60	+3000	2500	950	0.10	2000	1000	1000	95
HII-2000	1800+2200	2500÷5000	90	+5000	3000	1230	0.36	1000	400	400	25
HII-1000A	830÷1200	2030÷3400	80	+2000	2500	650	0.15	450	200	200	20
HII-1000B	800÷1210	2000÷3900	100	+5000	2600	1200	0.39	250	100	100	6
HII-600	540÷680	750÷390	100	+5000	3500	1800	0.60	120	50	50	4
HII ₀ -400	360÷440	830÷350	130	+3000	2500	1600	1.00	110	40	40	2
HII ₁ -400	360÷440	2000÷2900	250	+6000	4300	2800	0.30	60	20	20	10
HII ₂ -400	360÷440	600÷700	149	+100	3000	1010	0.80	200	200	200	10
HII-250	220+280	25+350	100	+500	2300	610	1.30	40	12	12	4
HII-100	80÷120	90÷110	280	+4000	3800	3120	2.02	7	4	4	5

表 7—14

铁 氧 型 号	μ_0	铁 氧 值		的 基 本 磁 参 数			
		高 斯	高 斯 奥 斯 特	磁限工作 温 度 °C	导磁率的温度 系数 $\beta \cdot 10^3$ 当 $H = 0$ 时	B _{max} 高 斯	B _r 高 斯
铁 氧 体 —2000	$180 \div 2200$	$6000 \div 7000$	70	+6000	2200	1100	0.08
铁 氧 体 —1000	$890 \div 1205$	$3000 \div 3500$	110	+4000	3000	1400	0.22
铁 氧 体 —490	$360 \div 440$	$750 \div 850$	120	+2000	2000	900	0.63
铁 氧 体 —200	$180 \div 220$	$280 \div 330$	120	+8 0	1500	800	1.2
						75	20
							4.0
							3.5
						30	

磁芯的特性可以用下列参量来表征：

1. 动态导磁率：

动态导磁率 μ_d 是感应密度的交变分量对于磁场强度的交变分量的比值。

$$\mu_d = \frac{B_m}{H_m}$$

动态导磁率与磁芯的材料有关，也与材料工作状态（ H_m 大小及工作频率）有关。

圖 7—1102 及圖 7—1103 示出几种铁淦氧动态导磁率与频率的关系曲线。

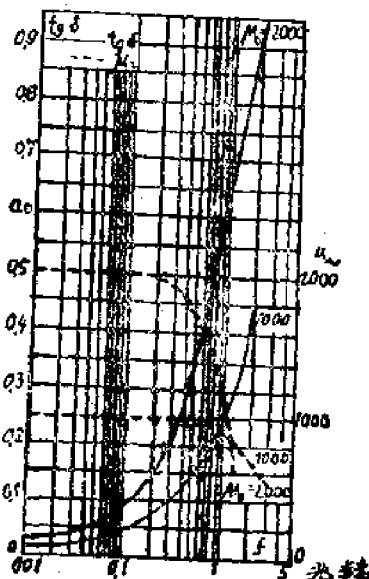


圖 7—1102 铁淦氧体-1000及-2000的动态导磁率和损耗角正切对频率的关系
($H_m=0$)

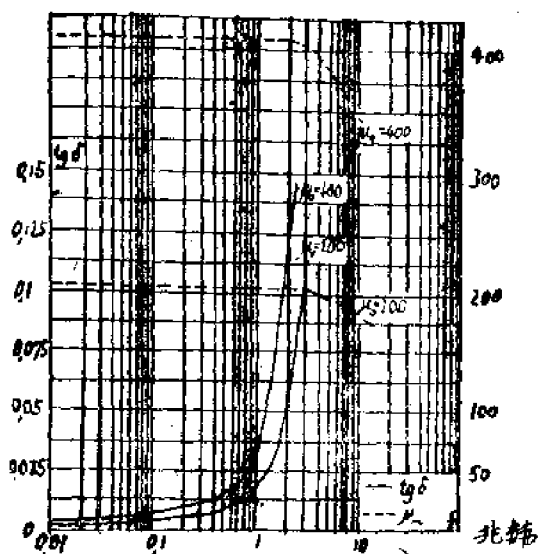


圖 7—1103 铁淦氧体~400及铁淦氧体-200的动态导磁率及损耗角正切对频率的关系
($H_m=0$)

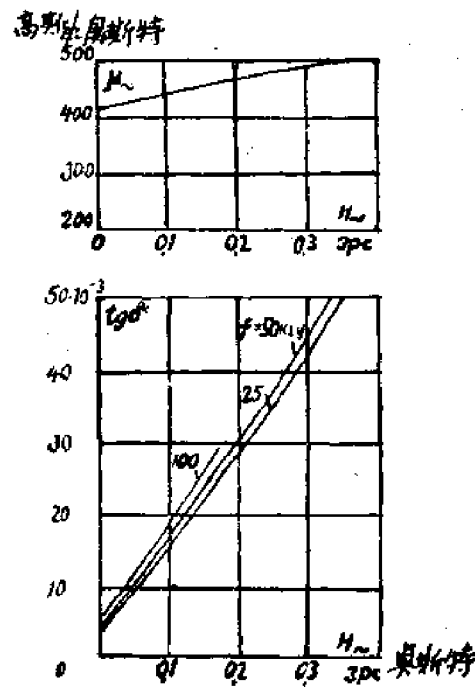


圖 7—1104 鐵氧體—100當頻率達100仟赫時動態導磁率與場強的關係

動態導磁率與交變場強的關係的例子示于圖 7—1104。

2. 芯子的有效導磁率

芯子的有效導磁率 μ_a 可用下式表示：

$$\mu_a = \frac{L_c}{L} \quad (7-1101)$$

其中 L_c —磁芯線圈的電感量

L —同一線圈無芯子時的電感量。

芯子的有效導磁率與芯子材料的動態導磁率，線圈的形狀尺寸，芯子的形狀尺寸以及線圈和芯子的相互位置等因素有關。

3. 磁芯磁性能利用系數：

磁芯磁性能利用系數由下式表示

$$K = \frac{\mu_a}{\mu_d} \quad (7-1102)$$

K 越大，則鐵芯材料磁性能利用越充分。對於環形鐵芯 $K \approx 1$ 。

4. 損耗

磁芯引入線圈中的損耗，決定於磁性材料的損耗（包括磁滯、渦流、後效三部分損耗，以及磁芯的磁性能利用系數。磁性能利用系數愈小，則磁芯引入的損耗也愈小。也就是說，當利用系數為 K ，則磁芯引入的損耗比材料的損耗小 K 倍。因為磁性能只有

$\frac{1}{K}$ 部分被電感線圈所利用。

磁性芯子电感线圈的计算步骤如下：根据电感线圈的用途（基本上是根据工作频率）选择芯子类型及芯子材料。然后决定芯子的有效导磁率 μ_3 （ μ_3 是由实验数据来决定的）。

圆柱形磁芯的 μ_3 可按下式进行大致的计算： $\mu_3 = K\mu = K\mu' K\mu$ 。 (7—1103)

其中 $K\mu$ — 与线圈和芯子直径比值 $\frac{D}{D_c}$ 有关的系数，由图 7—1105 的曲线来决定。

K' — 与芯子的长度和直径比值有关的系数，由图 7—1106 的曲线来决定。

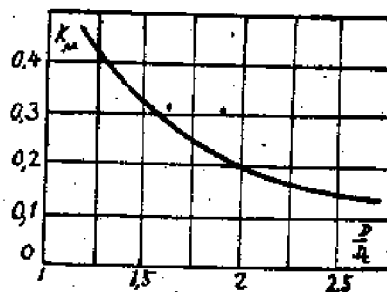


图 7—1105 $K\mu$ 依附于比值 $\frac{D}{D_c}$ 的关系曲线

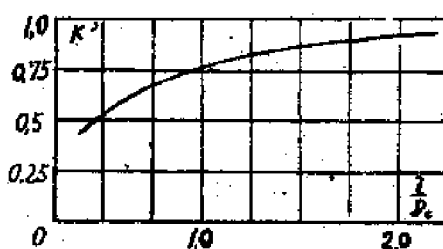


图 7—1106 修正数 K' 的关系曲线

当间绕及多层绕时，应将 μ_3 减小10—15%。

在决定了 μ_3 以后，按下式求得计算电感量。

$$L = \frac{L_a}{\mu_3}$$

其中： L_a — 给定的具有磁芯的线圈的电感量。（亨）

按计算电感量 L ，用一般的方法决定线圈尺寸，匝数及导线的高频电阻。

由芯子引入线圈的损耗电阻可按下式来决定：

$$r_c = \omega L_a \delta_{cb} H + \omega L_a \delta_{cb} f + \omega L_a \delta_{cn} (\text{欧}) \quad (7—1104)$$

其中： ω — 线圈的工作角频率

H — 线圈的磁场强度

f — 频率（赫）。

δ_{cb} ; δ_{cb} ; δ_{cn} ; — 磁芯的磁滞损耗、涡流损耗及后效损耗的损耗系数。可由下列公式计算：

$$\delta_{cP} = \delta_p K^2$$

$$\delta_{CB} = \delta_B K$$

$$\delta_{Cn} = \delta_n K$$

这里 δ_p , δ_B , δ_n —芯子材料的损耗系数。因为在小功率无线电设备的迴路线圈中的电流很小, 因而磁场强度很小, 所以在大多数情况下磁滞损耗可以忽略。

线圈导线的电阻等于:

$$Y = Y_f + Y_c \quad (7-1103)$$

已标准化的某些型号磁芯子的数据列于表 7-15 及表 7-16。

表 7-15

芯 子 型 号	尺寸(毫米)		平均值 μ_g		平均值 Q	
	D	l	A 级	B 级	A 级	B 级
СЦР-1	6	10	1.5	1.7	130	99
СЦР-2	6	19	1.65	1.95	135	92
СЦР-3	7	19	1.6	1.7	130	100
СЦР-4	7	19	1.75	1.95	140	97
СЦР-5	8	10	1.6	1.7	130	105
СЦР-6	8	19	1.8	1.9	143	103
СЦР-7	9	19	1.5	1.65	140	105
СЦР-8	9	19	1.75	1.85	145	119
СЦГ-1	9.3	10	2.1	2.1	160	130
СЦГ-2	9.3	19	2.45	2.35	185	137
СнT-1	9.3	10	2	2	180	130
СнT-2	9.3	19	2.35	2.2	180	137
СнШ-1	9.3	19	2	2	130	180
СнШ-2	9.3	19	2.5	2.5	18	149

A 级是在 200—2000 仟赫波段上, B 级是在 2—25 兆赫波段上

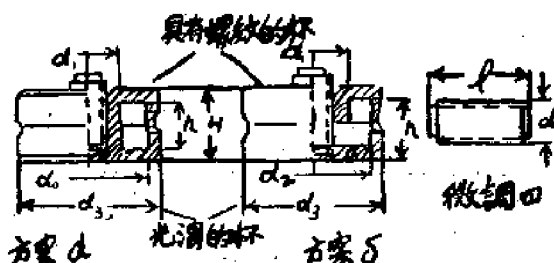


表7—16

壳形磁基铁心的尺寸

芯子的型号	杯子尺寸(毫米)					微调器的尺寸 (毫米)	
	d ₁	d ₂	d ₃	h	H	e	d
CB—1	6	19	12.3	8.2	10.6	11.5	4
CB—2	10	18.5	23	6.2	11	13	7
CB—3	11	18	23	12	17	19	7
CB—4	13	22	28	17	23	25	8
CB—5	13.5	27	34	20.4	28	30	8

壳形磁基铁心的基本数据

芯子的型号	平均值μ _s		平均值Q		调谐范围 (%)
	A级	B级	A级	B级	
CB—1a	4.5	—	135	—	22
CB—2a	3.7	—	223	—	20
CB—3a	4.6	6.5	240	135	20
CB—4a	4.7	5.6	210	185	20
CB—5a	4.5	5	235	180	20
CB—1δ	3	—	95	—	35
CB—2δ	2.7	—	190	—	30

A级在200—2000仟赫波段上；B级在50—200仟赫波段上；

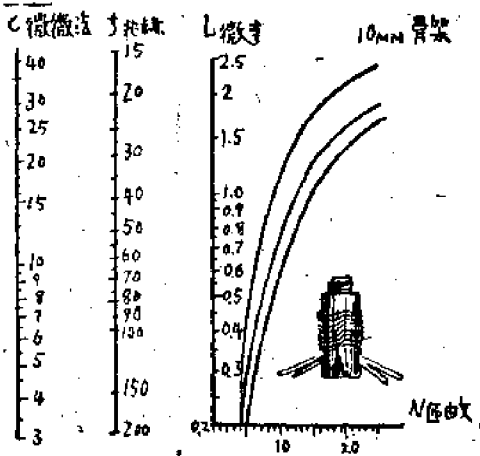
在表7—15及7—16中所列出的μ_s及Q的值，相应于绕在骨架上具有三个分段的线圈。骨架的内径比磁芯直径大0.2毫米，壁厚为0.75毫米，线圈的长度为10毫米。对于长波及中波用单丝包编电线（ЛЭПО）7×7导线进行绕制，对于短波用漆包线（ПЭ）。

列于图7—1107及图7—1108的计算曲线大大地简化了磁芯电感线圈的计算。

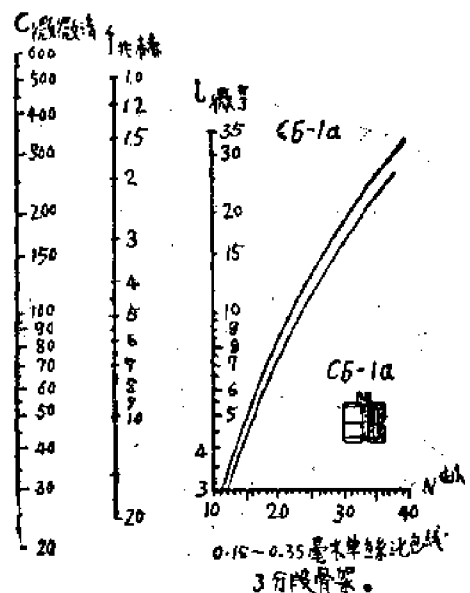
图7—1107的第一条计算曲线是对于全部插入的，尺寸为Φ7毫米和长度为11毫米的铝矽铁合金磁芯子（上一条曲线），下一条曲线是对于同样尺寸的黄铜芯子，而中间一条曲线是对于无芯子线圈。这个图的其余计算曲线是对于全部插入的芯子（上一条曲线）及全部拔出的芯子（下一条曲线）及全部拔出的芯子（下一条曲线）。

图7—1108的第一条计算曲线是对于中间位置的芯子，其余的是对于全部插入的（上一条曲线）及全部拔出的（下一条曲线）芯子。

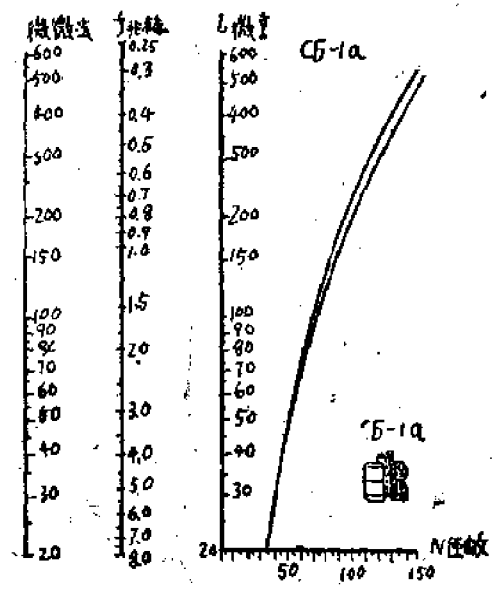
当给定的L时，按所列计算曲线来决定匝数的方法是：把相应于给定电感量数值的点投影到曲线上，再把所得到的点投影到N轴上。



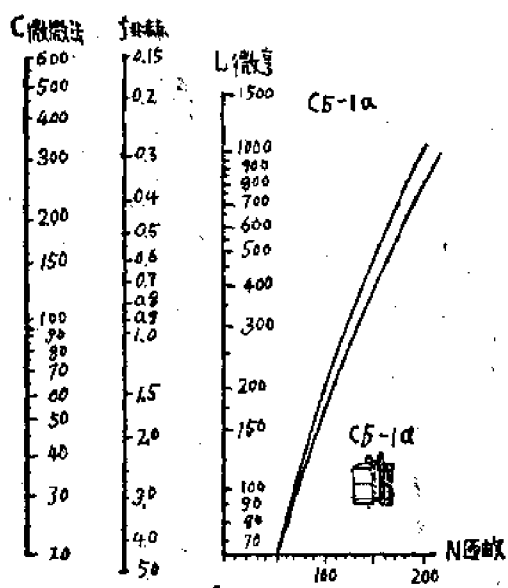
0.5~0.7毫米的单线化包线，抽头是两根导线或一根导线绕距等于导线直径。



0.15~0.35毫米单线化包线
3分段骨架。



0.09~0.15毫米单线化
包线 3分段骨架。



0.08~0.15毫米单线化包线 3分段骨架
在每一分段内放有相同的匝数。

图7—1107 决定电感线圈匝数的计算曲线

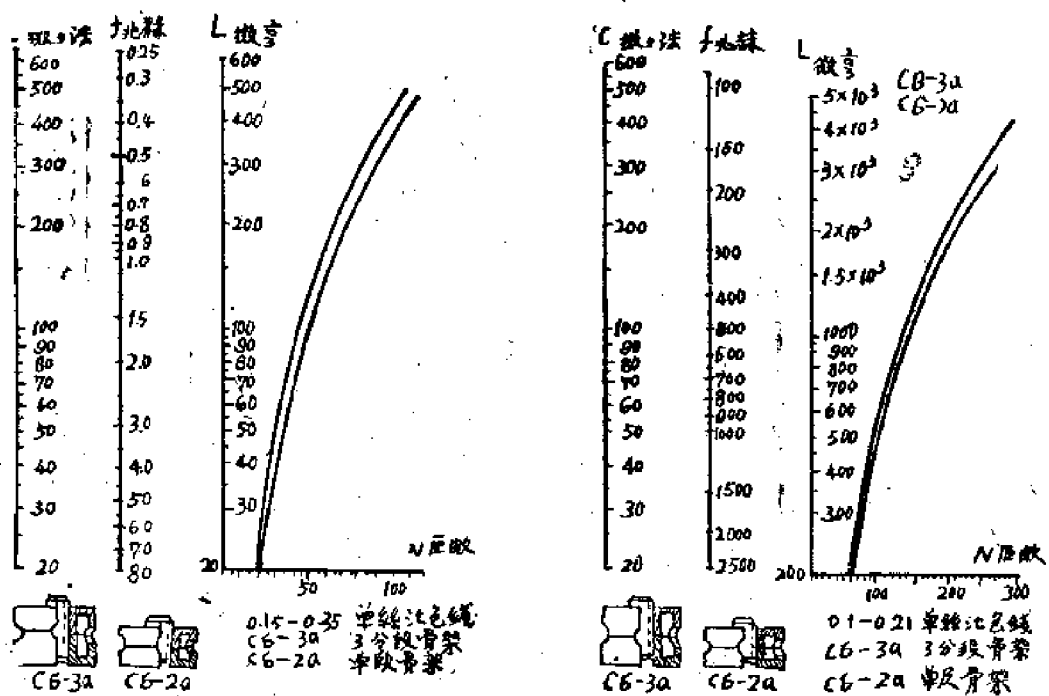
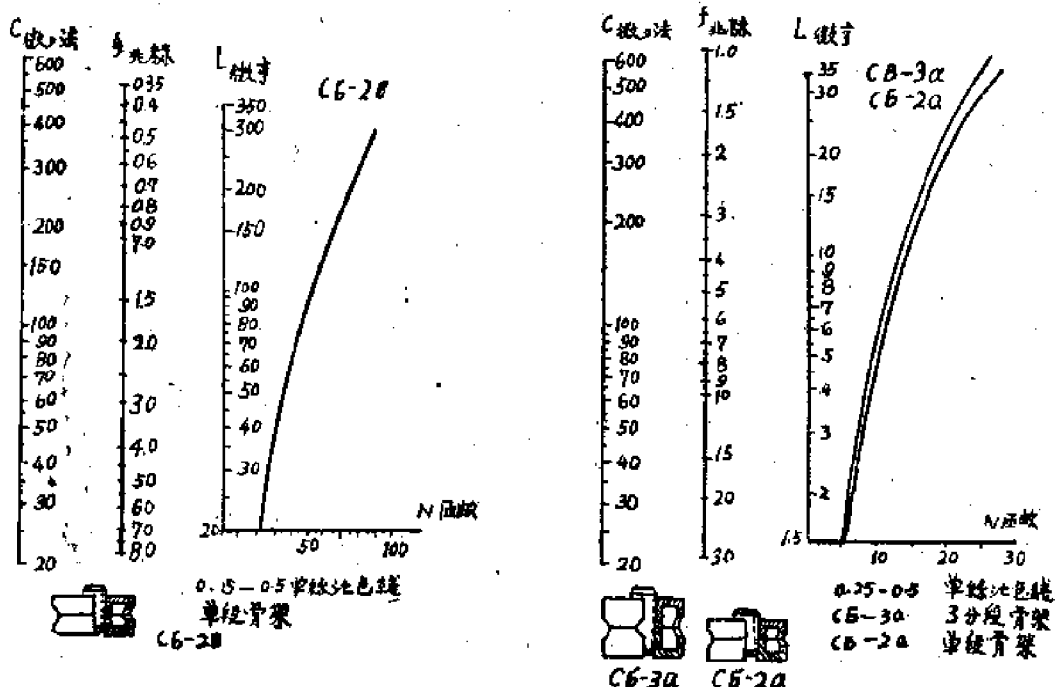


圖 7—1108 決定電感線圈匝數的計算曲線

此外，知道迴路电容量及工作頻率利用这些計算曲綫可以决定必須的电感量值。为了决定电感量須要把座标“C”上迴路电容量的点与座标“f”上工作頻率的点用直綫連接起来，延长这一直綫到与座标“L”相交其交点便是所要求的解答。

II. 非磁性芯子

非磁性芯子用来微調在短波及超短波波段的电感綫圈。制造芯子的材料是黃銅或銅。最常用的非磁性芯子的形状示于圖7—1109。

对于綫圈來說黃銅及銅的芯子是一个短路匝，当移动芯子时它与綫圈的耦合改变了，因而，綫圈电感量也将变化，耦合愈紧則綫圈电感量愈小。除了减少电感量以外，非磁性芯子将給綫圈引入損耗，耦合愈紧，損耗也愈大。在圖7—1110示出了具有非磁性芯子的綫圈的品質因数的相对变化与其电感量相对变化的关系曲綫。

从圖7—1110的曲綫可見，当用芯子来改变4—6%的电感量时，将引起了綫圈品質因数降低8—10%。因此，当利用非磁性芯子时，通常以电感量相对变化不超过3—5%为限。

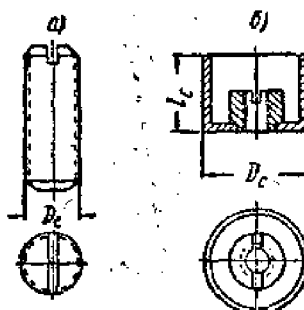


圖7—1109 非磁性心子

a—圓柱形非磁性芯子；
b—杯形非磁性芯子；

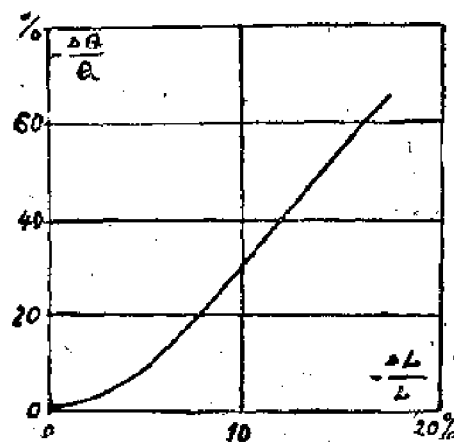


圖7—1110 由于綫圈的感場區域內引入金屬芯子而使綫圈品質因數變坏
与 $\frac{\Delta L}{L}$ (由于引入芯子而产生的电感量的相对变化值) 的关系曲綫

当以等效短路匝代替芯子的影响后，具有非磁性芯子线圈的计算可以用一般方法进行。

更快地计算具有非磁性芯子的电感线圈可以利用图 7—1111 的曲线来进行，计算品质因数可以利用图 7—1110。

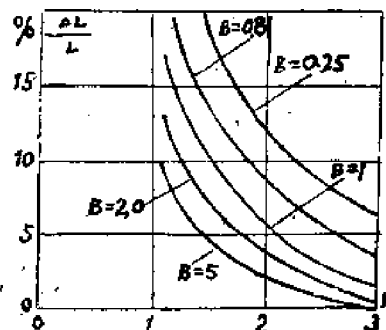


图 7—1111 按照电感量变化的范围计算芯子的有关尺寸的曲线

$B =$ 芯子的直徑；
芯子的高度

$K =$ 线组的直徑。
芯子的直徑。

具有非磁性芯子电感线圈的计算也可以按图 7—1107 的第一条计算曲线（下面的一条曲线）来进行。

§ 7—12 可变电感线圈—变感器

在某些类型的无线电设备中，回路的调谐并不是用可变电容器而是用可变电感器—变感器来进行的。

线圈电感量的改变可以用下列方法来实现：

1. 用改变线圈匝数的方法。
2. 用改变两线圈间的互感量的方法。
3. 用磁性芯子相对于线圈的移动的方法。
4. 用改变线圈铁芯的有效导磁率的方法。
5. 用非磁性芯子相对于线圈移动的方法。

上述每一种改变电感量的方法都在无线电设备中得到了应用，因此现在我们来讨论各种类型的变感器的结构和计算特点。

I. 改变匝数的变感器。

改变匝数的变感器最常用于短波发射机。这种类型变感器的结构和电路图示于图 7—1201。

变感器由线圈 1 组成，线圈的线匝分布在陶瓷骨架的槽中，骨架的两端置有两个接触环，这两个接触环相应地与线组的始端及末端联起来。在接触环上放有固定接触刷

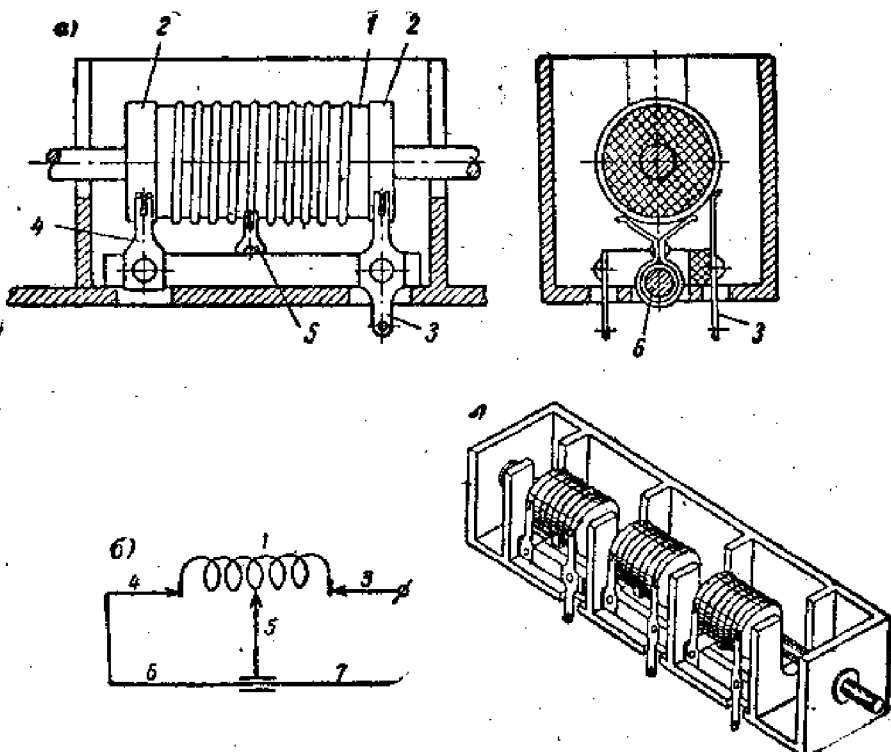


圖 7—1201 具有滑接点的圓柱形綫圈式的变感器：

a—單个变感器的結構; b—原理圖; c—变感器部件的結構
 1—綫圈; 2—接触环(綫圈两端的接触环); 3 及 4—固定接触刷子;
 5—移动刷子; 6—导向刷子; 7—导向刷子引出线

3、4。可动接触刷子 5 装在套管形的导向装置 6 上，并可以沿着轴移动。该轴与其中的一个固定接触刷具有电气上的连接。可动刷子接触点与线圈的导线具有弧面接触。当转动骨架时，可动刷子便沿着轴移动，因而改变了线圈接入回路中的匝数。

圖 7—1201还示出了变感器組的结构，在这种结构中所有三个线圈骨架都装在公共的轴上，这是为了同时实现整个电路的调谐。

改变匝数的变感器线圈也可以由平面螺旋式绕组作成，有时线圈只有一匝，甚至数分之一匝。

在这种类型的变感器的结构中，常常用转动可动接触刷子（而不是转动骨架）来实现电感量的调节。

这种类型变感器的结构很简单，其严重缺点是存在滑动接触，从而引入数值上相当大的和不稳定的接触电阻。这种变感器的计算与单层间绕圆柱形线圈的计算相同。

具有滑动接触的变感器的复盖系数 $K_L = \frac{L_{\max}}{L_{\min}}$ 可以做得很大。

II. 互感变压器。

这种类型变感器的结构示意圖示于圖 7—1202

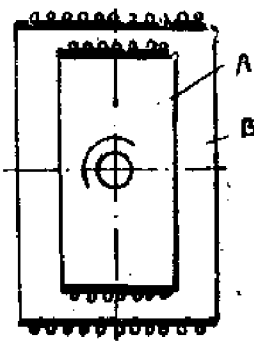


图7—1202 互感变换器

线圈A（转子）可以在固定线圈B（定子）内转动。转子的线匝或者是与定子线匝串联或者是并联。

1. 当串联时：

$$L_{\max} = L_c + L_p + 2M$$

$$L_{\min} = L_c + L_p - 2M$$

其中

L_c ——定子电感量

L_p ——转子电感量

M ——定子与转子间的互感量，当耦合系数为K时等于

$$M = \frac{K}{\sqrt{L_p L_c}}$$

当定子和转子的电感量相同时复盖系数等于

$$K_L = \frac{1+K}{1-K}$$

这样以来复盖系数随着定子和转子间耦合系数的增加而增大。

2. 当定子和转子并联时（并联用于较高频段）

$$L_{\max} = \frac{L_c L_p - M^2}{L_c + L_p - 2M}$$

$$L_{\min} = \frac{L_c L_p - M^2}{L_c + L_p + 2M}$$

当 $L_c = L_p$ 时

$$K_L = \frac{1+K}{1-K}$$

这样以来在结构相同的情况下串联和并联具有相等的复盖系数。

这种变感器最常用的结构有三种：

1. 圆柱形的（具有沿圆周分布的绕组）；

2. 圆柱形的（具有沿圆柱体的母线分布的绕组）；

3. 球形的（具有沿球形表面分布的绕组）。

具有沿圆周分布绕组的圆柱形变感器（图7—1202）不可能得到大的定子和转子间

的耦合系数，因为要轉子在定子中轉动必滿足下列条件：

$$D_p \approx (0.6-0.7) D_c \text{ 及 } l_c \approx (0.6-0.7) D_c$$

其中 D_p 和 D_c 为轉子和定子的直徑， l_c 为轉子的軸向長度。

所以这种类型变感器的复盖系数只能做到 $K_L = 4 - 5$ 。为了增加复盖系数可以在轉子中引入磁性芯子。

具有沿圓柱体母線分布的繞組的圓柱形变感器（圖 7—1203）有大的定子和轉子間的耦合系数（可达到 6 — 10），因为在这种結構中轉子和定子綫匝間的空隙可以做得較小。

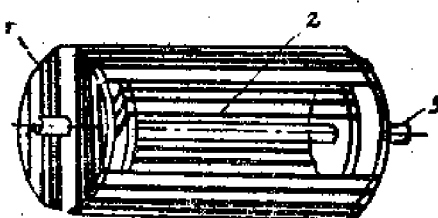


圖 7—1203 沿圓柱体母線繞制的圓柱形变感器

1—定子 2—轉子 3—軸

在球形变感器（圖 7—1204）中，轉子及定子都是球面的部分。由于定子和轉子可以放得很近，因而可以得到更大的复盖系数（达 12—20）。

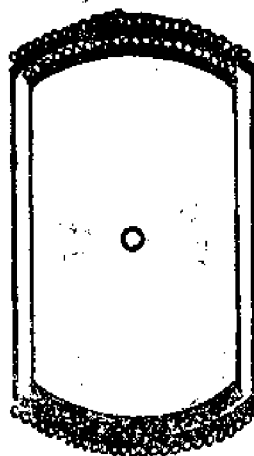


圖 7—1204 变感器

球形变感器的定子及轉子可以用塑料或陶瓷做成，并用燒漆法敷上綫匝。为了增加耦合系数，可将定子的綫匝敷在定子的內表面上。

球形变感器的可貴特性是具有接近于直線頻率式的轉角的变化規律。

互感变感器的計算方法如下：首先是根据要求的复盖系数 K_L 确定 L_{\max} ， L_{\min} 及耦合系数 K 。然后选定 L_c 求得 L_p 。再用一般方法进行定子和轉子綫圈的結構計算，并使它們之間的耦合系数等于所确定的数值。

III. 移动磁芯的变感器

这类变感器简称为铁磁变感器，主要采用于接收机中。按照芯子的材料和磁路结构，铁磁变感器可以得到10到120或更大的复盖系数。

在图7—1205示出了铁磁变感器的两种结构。结构“B”的复盖系数比结构“a”约大1.5—2倍。

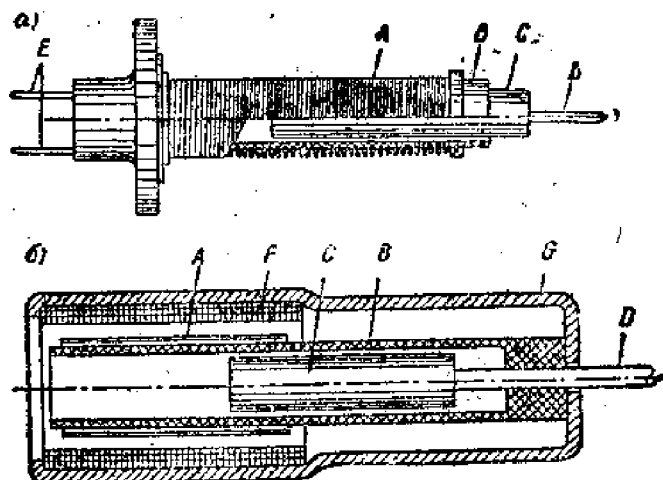


图7—1205 铁磁变感器

A是绕组；B是塑性材料的线圈架；C是铁粉心；D是拉杆；E是引线；F是磁性材料制的外加圆柱；G是屏蔽罩。

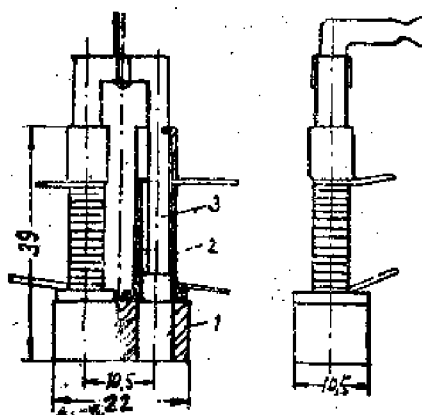


图7—1206 铁磁变感器的结构

1—铁淦氧磁扼 2—线圈 3—U形铁淦氧芯子

图7—1206所示的铁磁变感器结构可以得到复盖系数为115。这样大的复盖系数是因为把线圈分成两部分并采用了U形芯子（当芯子全部插入时可构成空隙不大的磁路）。

芯子的材料用铁淦氧 ($\mu_0=1000$) 做成的。

鐵磁變感器可以用作數個迴路統調。圖 7—1207 示出了雙調諧迴路組的大致結構，在圖 7—1208 示出了三調諧迴路組的結構。

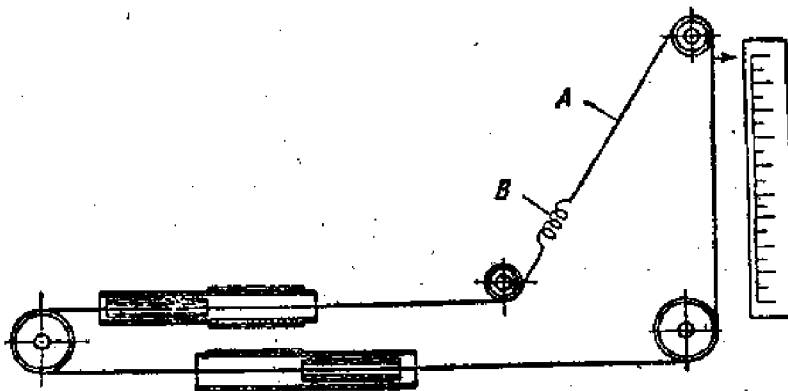


圖 7—1207 具有鐵磁變感器的調諧單位

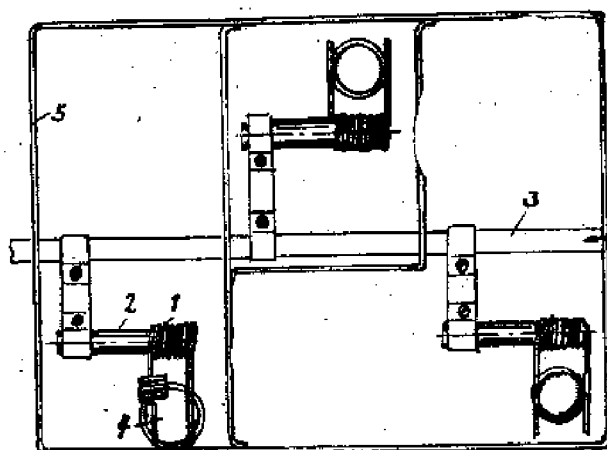


圖 7—1208 具有鐵磁變感器的超短波調諧組合

1—繞圈 2—芯子 3—導向板(拉杆) 4—電子管管座 5—機壳

可以采用不同直徑的芯子或者不同繞匝分布的繞圈來實現各迴路的跟蹤。

鐵磁變感器的計算與磁性芯子繞圈的計算相同。

IV. 改變繞圈磁芯有效導磁率的變感器

這種類型的變感器稱為磁性變感器。

大家知道，磁芯的有效導磁率與恒定磁場有關，磁性變感器就採用了改變直流磁場的方法來改變其電感量。有效導磁率與恒定磁場的關係決定於可逆導磁率。

可逆導磁率是當磁芯中的恒定磁場大大超過交變磁場時的導磁率。

在圖 7—1209 中示出了可逆導磁率與恒定磁場的關係。

對於鐵氧體—2000，可逆導磁率及 $\operatorname{tg}\delta$ 對恒定磁場強度的關係示於圖 7—1210。

必須指出，可逆導磁率的溫度穩定性強烈地依賴於恒定磁場，如圖 7—1211 所示。

在這種情況為了得到大的複蓋系數，應該選用起始導磁率大的磁性材料並採用閉合

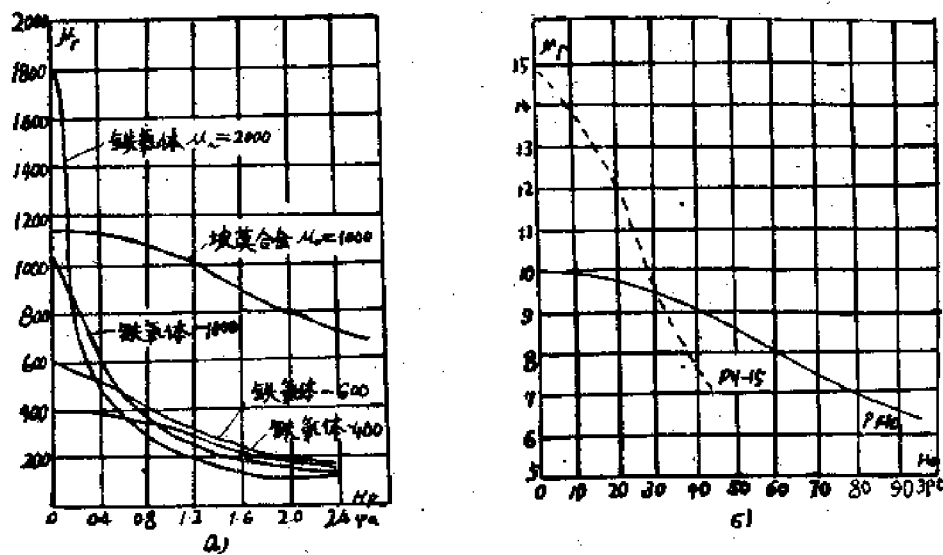


图 7—1209 铁淦氧和坡莫合金的可逆导磁率对恒定磁场强度的关系

- 对于高导磁率铁淦氧和坡莫合金 ($f = 100$ 赫兹, $B_r = 10$ 毫奥斯特)
- 对于高阻铁淦氧: 铁氧体 $\mu_r = 10$ 及铁氧体 $\mu_r = 15$.

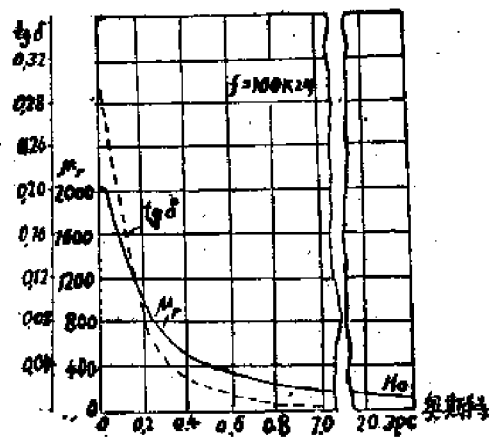


图 7—1210 铁氧体—2000中可逆导磁率及损耗角正切对恒定磁场强度 μ_r 的关系, 当 $f = 100$ 赫兹及 $B_r \approx 0$ 时。

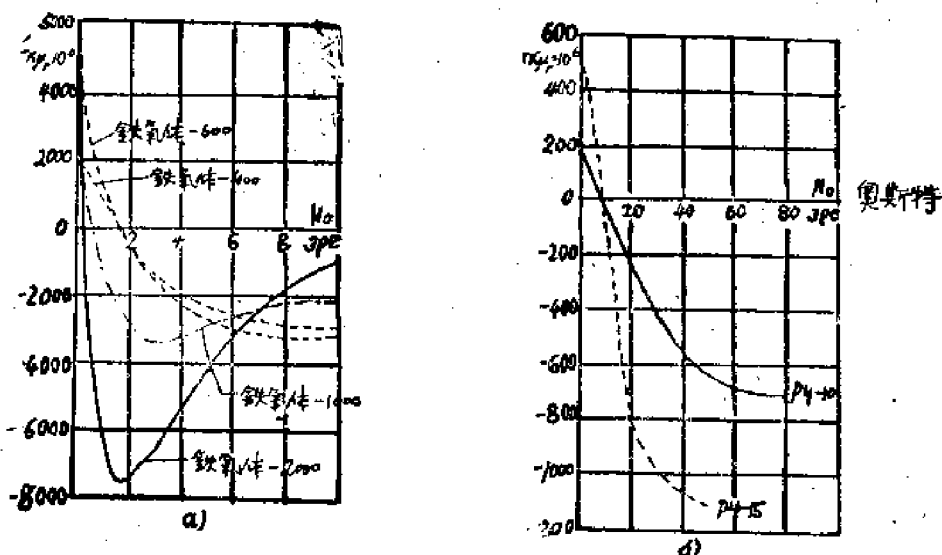


圖 7—1211 各種牌號鐵淦氧的可逆導磁率的溫度系數與恒定磁場的關係曲線

- 5. 具有高導磁率的鐵淦氧，
- 6. 具有低導磁率的鐵淦氧。

磁路。

磁性變感器中有兩種調諧方法：電氣的和機械的。

如果採用 $\mu_H = 25$ 的鐵淦氧為磁芯，並且在頻率為 3 兆赫的情況下， Ω 值為 100—120，則這種結構的複蓋系數 $K_L = 2$

在更高頻率時，磁性變感器的結構有些改變。電感繞組繞在管狀鐵淦氧芯子上，這個芯子閉合了電磁鐵的 II 形磁路。電磁鐵磁路也用鐵淦氧做成。

電氣調諧的磁性變感器可以很容易地實現遠距離控制。

具有機械調諧的磁性變感器（兩組的）結構示於圖 7—1213。

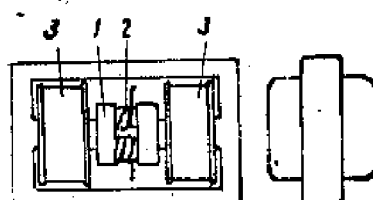


圖 7—1212 電氣調諧的磁性變感器

- 1—柱形鐵淦氧磁芯
- 2—高頻線圈
- 3—電磁鐵線圈（每個線圈有2000匝并裝在阿姆可鐵芯上）

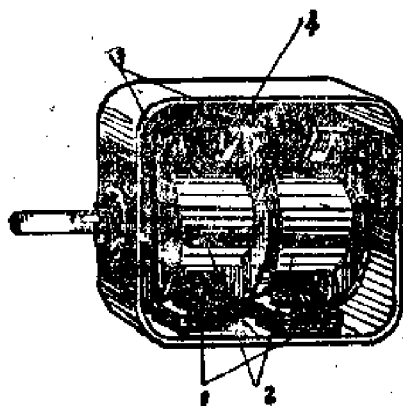


图7—1213 机械调谐的磁性变感器（两组的）

- 1—在柱形铁淦氧芯子上綫圈
- 2—磁铁
- 3—及，4—端

其中的每一組由一个圆柱形永久磁铁（它有两个板状磁極）及一个Π形鐵淦氧磁芯的綫圈所組成的。磁極板片具有特殊的形状，能繞軸轉250度角。在零度位置上，磁極板為鐵壳所短路。當自0°轉到250°時穿過綫圈芯子的磁通量按一定的規律增長，這個規律決定于磁極板片的形狀，這時綫圈電感量自 L_{max} 變到 L_{min} 。

中間磁極板片的厚度為1毫米，側旁板片為0.5毫米。側片具有徑向裂縫，用以跟迹。

為了消除各分級間磁場的相互影響，應使永久磁鐵的同名極相毗鄰並安裝在黃銅軸上。

當磁芯材料為鐵氧化物—600，磁芯體積為6厘米³，永久磁鐵在長波及中波段內的 Ω 值為50—80時，復蓋系數可達120。

在選定了材料及已知迴路工作頻段的情況下，磁性變感器的計算根據 μ_s 對 H_0 的關係來進行。

V. 非磁性芯子相对于綫圈移動的變感器

這種變感器最常用的結構是以定子為電感綫圈，以短路圈為轉子的結構。這種變感器結構常用于發射機中。為了得到直線頻率式的調諧規律，轉子可作成球形，在它的表面上復有一匝或兩匝的短路圈，轉子的轉動軸與定子軸線成45°傾角，這時轉角範圍為230°。這種類型變感器的主要零件的形狀示於圖7—1214。

綫圈電感量的改變也可以利用非磁性材料作成的芯子或圓盤來實現（見圖7—1215及圖7—1216）。

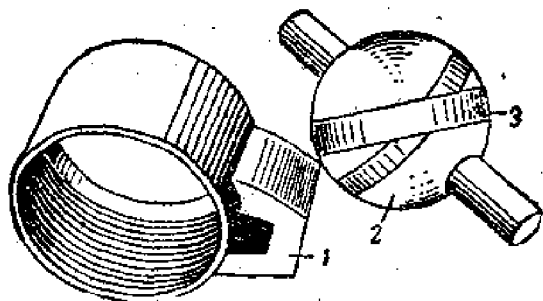


圖7—1214 具有短路圈的變壓器 1—定子；2—轉子；3—短路圈

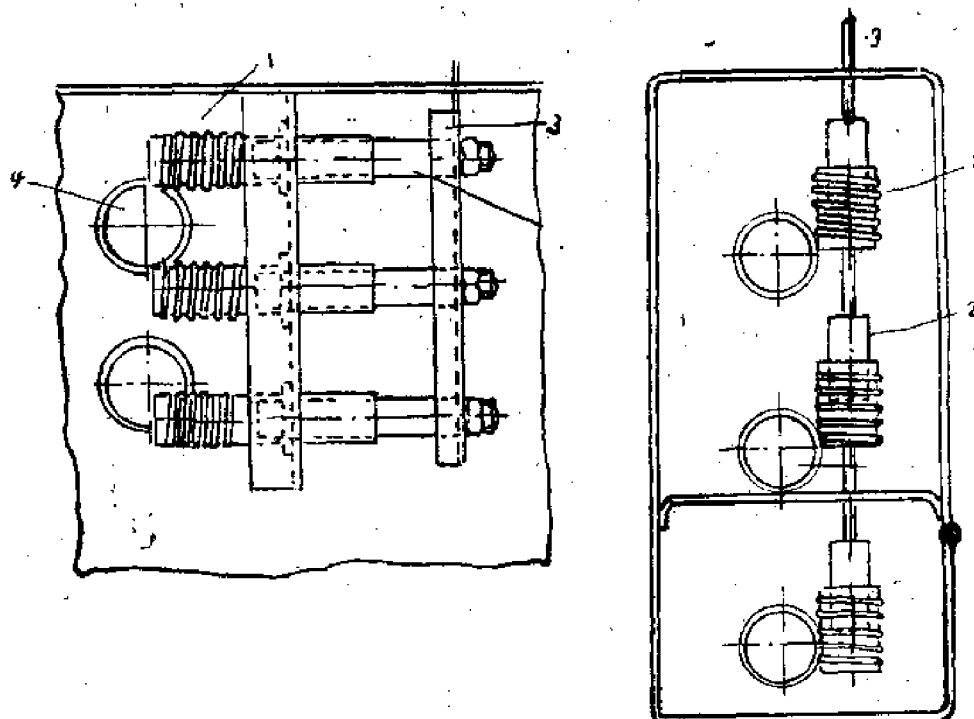


圖7—1215 具有非磁性芯子的變壓器的超短波調諧組合

1—繞圈	2—芯子	3—導向板（拉杆）
4—電子管管座	5—機壳	

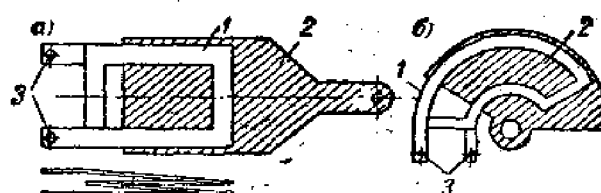


圖1—1216 具有屏蔽的變壓器

1—扁帶做成的兩面繞圈；2—鐵或黃銅的屏蔽；3—引出線

§7—13 米波发射机的迴路綫圈

在短波發射机中利用了三种型式的迴路綫圈：

1. 固定电感綫圈。
2. 具有短路匝的綫圈。
3. 具有滑动接触的綫圈。

短波發射机綫圈的基本特点是功率很大，往往須采用强制水冷或風冷。所以它的結構和計算也具有某些特殊之点。

I. 固定电感綫圈：

固定电感綫圈应用主用可变电容器进行調諧的短波發射机迴路中。

这种綫圈通常为单層間繞繞組。

当級的功率达100—200瓦时綫圈用数毫米直徑的銅导綫制造，繞制在圓柱形的高频陶瓷或胶合云母的骨架上。

当級的功率达1—2仟瓦时，綫圈用直徑小于10—12毫米的銅导綫或銅管制造。为了减小損耗及固有电容骨架制成为梳形或者把綫匝緊固在介質条板上。

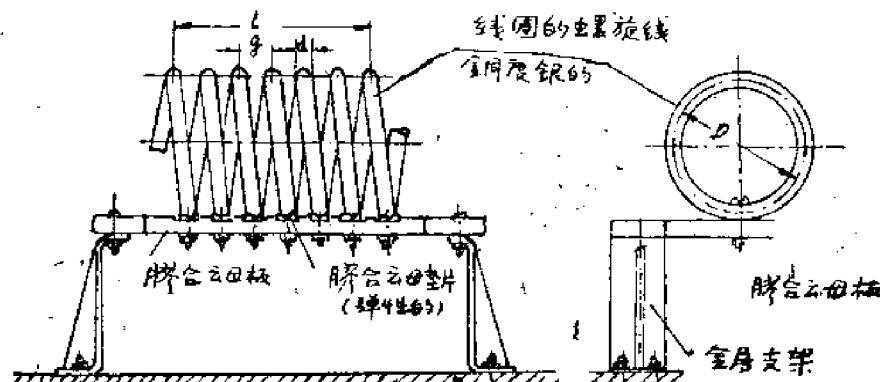


圖7—1301 緊固在胶合云母板上的固定电感綫圈

在后一种情况下綫匝可利用螺栓緊固在板上。在条板与綫匝之間垫有彈性金屬垫片，以防止胶合云母过热并减弱加在板上的局部机械应力。只有銅管或銅条的直徑不小于8—12毫米的这种结构才能得到足够的机械强度。

当級的功率大于2仟瓦时螺旋綫一般用直徑为10—25毫米的銅管做成。綫圈一般是做成無骨架的。

为了得到足够的机械强度，可将綫圈緊固在2个到3个絕緣子上（圖7—1202）。

表7—17中列出了工作在發射机中的固定电感綫圈的基本数据。

除了导綫直徑和繞距的选择外綫圈的計算可用一般方法进行。綫圈导綫直徑大致可以由表7—17来决定。在水冷时管子的直徑应相应于連接管用来联結电子管水套和綫圈的螺旋綫的截面。

繞距的选择决定于允許的电場强度（与骨架材料及紧固方式有关，在無骨架綫圈中决定于空气中的允許电場强度（以及决定于结构的考慮。

表7-17

序号 No.	波段 (米)	该级功率 (千瓦)	该级工 作类型	线圈中有效值 的电流(安)				导线直 径d (毫米)	螺旋线 的固定 方式	线圈的 电感量 L (微亨)	线圈直径D (毫米)	线圈匝数 n	线圈长度 l(毫米)
				2	3	4	5						
1	75—190	0.1	功率放大	1—2	对流	○	2—2.5	骨架	28	125	18	110	
2	50—190	0.1—0.2	功率放大	1.5—3	○	○	2.5—3	○	13	125	19	60	
3	35—70	0.15—0.25	○	2—4	○	○	3—4	○	6.5	125	6	40	
4	75—150	0.5	○	3—6	○	○	5—6	椭形骨架	28	150	18	175	
5	50—100	0.5—0.75	○	4—7	○	○	6—8	○	8.5	100	14	175	
6	30—50	0.75—1	○	5—8	○	○	8—10	无骨架或 在板上	6.5	100	12	175	
7	24—36	1—2	○	6—10	○	○	10—12	○	4	80	12	175	
8	15—27	2—3	○	10—15	○	○	12—15	无骨架	1.6	60	19	175	
9	13—99	5—6	○	4○	水冷	○	13	○	8.5	189	19	300	
10	16—30	15—20	电话工作	50	○	○	20	○	29	250	14	580	
11	13—9	18—20	板调	90	○	○	25	○	15	400	7	3500	
12	15—50	100—120	○	200	○	○	40	○	1	600	4	500	

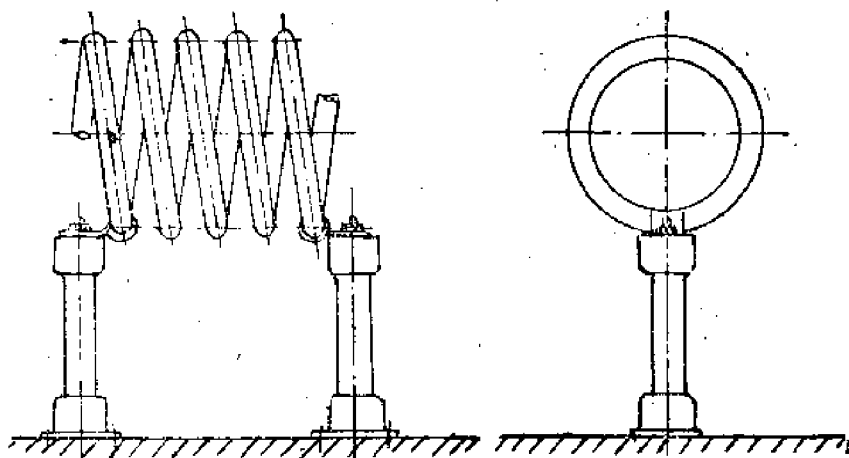


图 7—1302 固定在绝缘子上的无骨架固定线圈

根据允许的场强，允许的最小绕距 τ_{\min} (厘米) 应为：

$$\tau_{\min} = \frac{U_{kmax}}{NE_g} + d \text{ (厘米)} \quad (7-1301)$$

其中： U_{kmax} ……线圈中的最高电压(千伏)

N ……匝数

E_g ……允许电场强度(千伏/厘米)

d ……导线或铜管的直径(厘米)

E_g ：对于陶瓷为 1—1.5 千伏/厘米

对于胶合云母为 0.7—1 千伏/厘米

对于空气为 5 千伏/厘米

根据结构的考虑出发，应取：

$$\tau = (2-2.5)d$$

线圈的直径要选择得使螺旋线很容易弯曲，为此：

$$D \geq 10d \quad (7-1303)$$

II. 具有短路匝的线圈：

具有短路匝的线圈应用于发射机中，当复盖波段是用改变线圈和接入电容器来实现时它作为频率的微调。

具有短路匝的线圈结构的例子示于图 7—1303。

图 7—1303 的线圈应用在功率为 15 千瓦的电报发射机的输出级。该级是推挽电路，电子管为 Г—450，用水冷。为了联接水冷系统在线圈端头焊上法兰盘，在中间线圈上焊入与螺旋管相通的管子，以便出水。这样一来水在压力之下从线圈端头进入，从中出来。线圈的端头借助于法兰盘紧固到电子管的水套上去，在线圈的中间点高频电位等于零，把线圈紧固在支座绝缘子上。螺旋线用直径为 20 毫米的铜管做成。

短路匝放在线圈的中心。短路匝的轴的一端固定在轴承上，轴承固定在支座绝缘子上，而短路匝轴的另一端插入焊接在螺旋线中间匝上的止推轴承中。

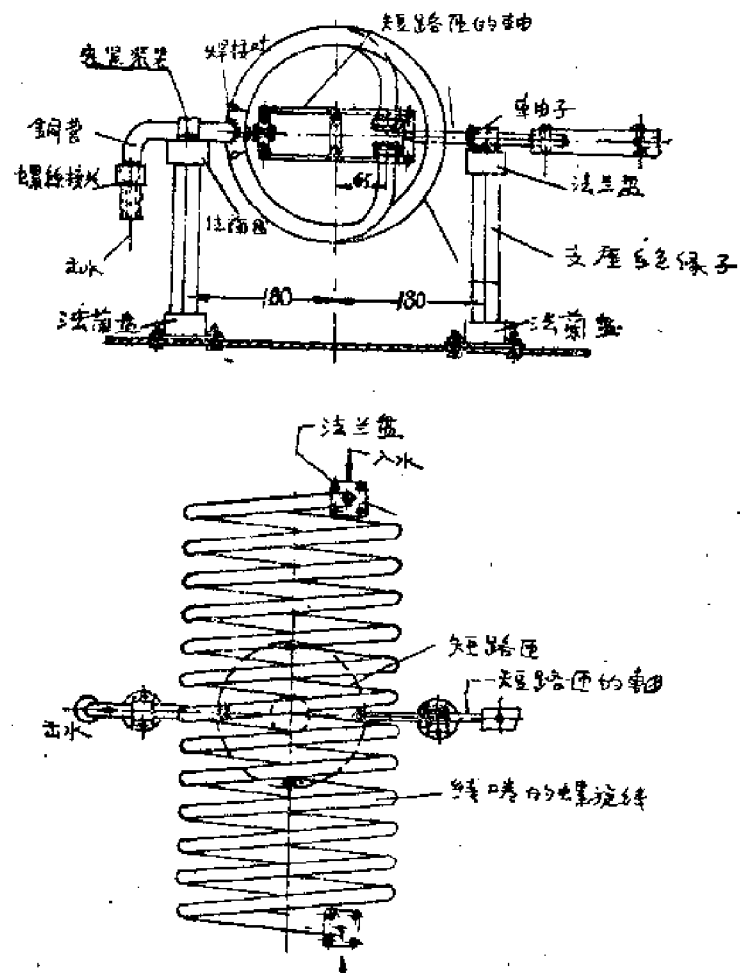


圖 7—1303 具有短路匝繞圈

这种系統的最大電感量等子

$$L_{\max} = L_k$$

最小電感量

$$L_{\min} = L_k - \frac{M_{\max}^2}{L_B}$$

其中：

L_k ——繞圈的電感量；

L_B ——短路匝的電感量；

M_{\max} ——繞圈与短路匝間的互感量（耦合最紧时）。

短路匝電感量 L_B 及互感量 M 按以前列出的公式計算。

互感量也可按下式計算：

$$M_{\max} = N \cdot F \sqrt{\frac{D D_s}{2}} \text{ (微亨)} \quad (7-1304)$$

其中： D ……繞圈直徑（厘米）

D_s ……短路匝直徑

N……线圈匝数

F……参量X的函数，X由下式确定：

$$X = \sqrt{\frac{\left(1 - \frac{D_B}{D}\right)^2 - \frac{l_1^2}{D^2}}{\left(1 + \frac{D_B}{D}\right)^2 + \frac{l_1^2}{D^2}}}$$

这里： l_1 ——短路匝与半个线圈的中间匝的距离（见图7—1304）。

函数F见表7—18。

表7—18

X	F	X	F	X	F	X	F
0	—	0.110	0.02032	0.41	0.00574	0.71	0.00139
0.010	0.05016	0.120	0.01928	0.42	0.00551	0.72	0.00131
0.011	0.04877	0.130	0.01892	0.43	0.00530	0.73	0.00123
0.012	0.04787	0.140	0.01743	0.44	0.00509	0.74	0.00115
0.013	0.04687	0.150	0.01631	0.45	0.00488	0.75	0.00107
0.014	0.04594	0.16	0.01583	0.46	0.00469	0.76	0.00100
0.015	0.04507	0.17	0.01515	0.47	0.00450	0.77	0.00093
0.016	0.04426	0.18	0.01449	0.48	0.00432	0.78	0.00085
0.018	0.04278	0.19	0.01387	0.49	0.00414	0.79	0.00080
0.020	0.04146	0.20	0.01328	0.50	0.00397	0.80	0.00073
0.022	0.04027	0.21	0.01273	0.51	0.00380	0.81	0.00067
0.024	0.03918	0.22	0.01221	0.52	0.00364	0.82	0.00062
0.026	0.03818	0.23	0.01171	0.53	0.00349	0.83	0.00056
0.028	0.03725	0.24	0.01124	0.54	0.00334	0.84	0.00051
0.030	0.03639	0.25	0.01079	0.55	0.00319	0.85	0.00046
0.032	0.03558	0.26	0.01037	0.56	0.00303	0.86	0.00041
0.034	0.03482	0.27	0.00996	0.57	0.00291	0.87	0.00035
0.036	0.03411	0.28	0.00957	0.58	0.00273	0.88	0.00032
0.038	0.03343	0.29	0.00920	0.59	0.00255	0.89	0.00028
0.040	0.03279	0.30	0.00884	0.60	0.00233	0.90	0.00024
0.042	0.03218	0.31	0.00850	0.61	0.00211	0.91	0.00020
0.044	0.03160	0.32	0.00817	0.62	0.00190	0.92	0.00017
0.046	0.03105	0.33	0.00786	0.63	0.00171	0.93	0.00014
0.048	0.03052	0.34	0.00756	0.64	0.00152	0.94	0.00011
0.050	0.03001	0.35	0.00727	0.65	0.00133	0.95	0.000093
0.050	0.02775	0.36	0.00699	0.66	0.00116	0.96	0.000067
0.070	0.02584	0.37	0.00672	0.67	0.00100	0.97	0.000037
0.090	0.02420	0.38	0.00645	0.68	0.00085	0.98	0.000020
0.090	0.02276	0.39	0.00621	0.69	0.00070	0.99	0.000007
0.100	0.02148	0.40	0.00597	0.70	0.00148	1.00	0

短路匝的直径根据线圈匝距与短路匝间空气隙的抗电强度来选择。

建议用以下式子进行计算：

1. 对于圆管线匝：

$$D_B = D - \frac{d + d_B}{2} - (1.5 \sim 3) \text{ (厘米)} \quad (7-1305)$$

2. 对于扁平截面的环形线匝：

$$D_B = D - \frac{d + b}{2} - (1.5 \sim 3) \text{ (厘米)} \quad (7-1306)$$

其中： d 线圈管的直径（厘米）

d_B 短路匝管子的直径（厘米）

b 扁平环带的宽度（厘米）

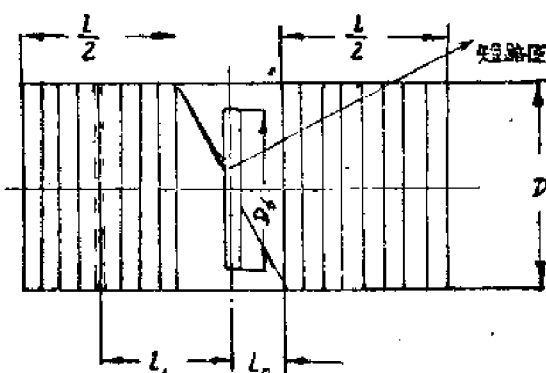


图 7—1301 计算短路匝与铁心间的互感量用的尺寸示意图

为了伸出短路匝的转动轴，线圈的中间的两匝的绕距应加宽，并取等于 $2l_0$ 。（参见图 7—1304）

建议取 $l_0 = 1.5 \sim 2$ 厘米

具有短路匝的线圈的计算过程如下：

由于 l_0 的存在及机架的屏蔽作用，线圈的实际电感量将降低，为此，计算时按要求电感量增大 10%，作为给定的电感量，然后按这个增大了的电感量用一般的方法来计算线圈。线圈绕距的决定与固定电感线圈一样。短路匝的直径， I_{max} 及 I_{min} 的计算按上述公式进行。在计算短路匝以后要按下式（对于铜短路匝）来校验短路匝的过热：

$$t = 3.3 \frac{I_{ss\Phi\Phi}^2}{p_B^2} \sqrt{\frac{1}{f}} \cdot 10^{-4} \quad (7-1307)$$

这里： t —— 过热温度 ($^{\circ}\text{C}$)

p_B —— 短路匝截面的周界（厘米）

f —— 工作频率（赫）

$I_{ss\Phi\Phi}$ —— 在短路匝中电流的有效值（安）

$$I_{ss\Phi\Phi} \approx I_{ss\Phi\Phi} \frac{0.8 M_{max}}{L_s}$$

其中： $I_{ss\Phi\Phi}$ —— 线圈中的电流有效值（安）

如果短路匝的过热超过 $100\sim200^{\circ}\text{C}$ ，则必须强制冷却或者重新计算。

III. 滑动接触的线圈：

滑动接触的电感线圈在短波发射机中得到了广泛的应用。因为采用这种线圈时可以增加波段复盖系数、减少发射机的尺寸和价格。

在滑动接触线圈中通常都用短路其部分线匝的方法来实现电感量的平滑变化。

用于单边级的该种线圈的电路图列于图 7—1305。

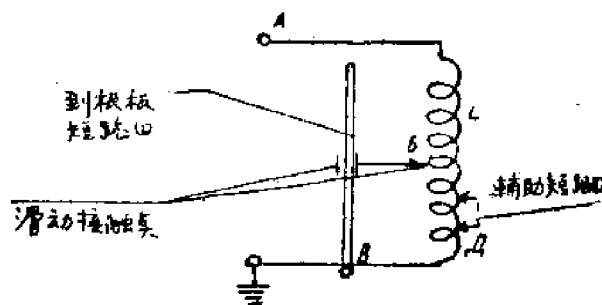


图 7—1305 单边滑动接触线圈的电路图

点B及B'间的线匝是利用滑动接触点及短路臂来短路的。在点A及B'间的线匝是工作的部分。在点Γ及Δ间放有辅助短路桥，以便短接相邻线匝。辅助短路桥是用来使线圈不工作部分所组成的迴路不致调谐于工作频率或其谐波。

图 7—1306列出了推挽级线圈的电路图。在这种线圈中工作线匝在点A₁、B₁及A₂。

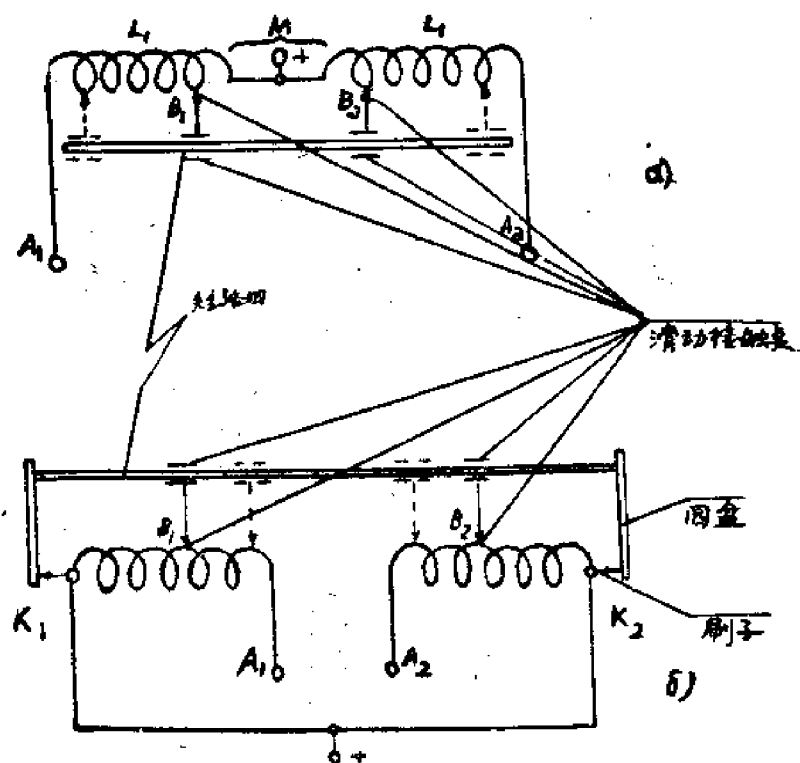


图 7—1306 推挽滑动接触线圈的电路图

B_2 之間，用虛線來表示當最大電感值時的接觸點位置。在圖7—1306 “δ” 電路中的最小電感量小於圖7—1306 “α” 電路中的最小電感量。但是圖a線圈的結構比δ圖的簡單，因為在這種結構中是四個滑動接觸點，而不是六個（在電路“α”中有兩個附加滑動接觸點 K_1 及 K_2 ）。有了附加接觸點增加了損耗並降低線圈穩定性。選擇哪一種線圈結構按所要求的最小電感量而定。

工作在19—90米波段的15千瓦板調發射機輸出級的推挽線圈可以作為滑動接觸電感線圈結構的例子（圖7—1307）。

這種線圈的電路圖相當於圖7—1306δ。

推挽線圈由兩個稱為“螺旋線”的半徑圈所組成。螺旋線是用正方截面的銅管按不同的方向繞制而成，每一個有 $7\frac{1}{4}$ 匝。螺旋線的電感量為15微亨。線圈用水冷。螺旋線的匝固定在陶瓷棒3上，陶瓷棒緊固在鋁矽合金的十字形架子4上。十字形架子用角鋼5緊固在機架上。陶瓷軸6穿過線圈，陶瓷軸借助于軸承7裝固在十字形架子上。轉軸用伸到前機箱面板上操縱輪8通過緩動裝置來轉動。

黃銅集流盤10利用支架9牢固地緊固在軸上，在集流盤上對稱地緊固上。圓銅管做成的短路器11及陶瓷棒做成的平衡器12。

在短路器上裝有（對稱於線圈中心）兩個接觸系統13，它們可以對稱地沿短路銅管移動。接觸系統13各有兩個可動接觸點，其中的一個包住了螺旋管，而另一個包住了短路器。

在每個螺旋管的外面一直上緊固有刷子14，它保證了最後線匝與集流盤10的接觸。在螺旋管的端頭有凸緣接頭15，用以聯接螺旋管和水冷系統。

電感量的調節通過以下過程：當轉動軸6時短路器11同時與它轉動。在短路器上沿圓柱體的母線上有切槽，在其中插入接觸系統的梢釘，這樣阻止了接觸系統13的轉動。接觸刷子16包住了線匝管子，所以當轉動轉軸時迫使接觸系統隨著螺旋管的線匝沿着短路器作直線移動。為此，螺旋管端頭便與接觸系統的線匝短接，而螺旋管的右繞組和左繞組便可以對稱地改變右線圈和左線圈的匝數。

現在我們來討論這種線圈各單個零件的結構特點（從功率大的觀點出發）。

1.螺旋管：螺旋管可以用圓的、長方形的、丁形及方形截面的導線作成。

導線的截面及其尺寸是根據以下兩方法選擇：

1)導線截面應保證給定的線圈尺寸。

2)應保證導線與接觸系統的刷子之間具有必須接觸面。

圓截面導線不能保證與刷子的良好接觸，因為很難保證螺旋管線匝的均勻性，所以刷子可能在某些位置上與線匝的接觸不良。參見圖7—1308。

因此圓截面導線幾乎不應用於滑動接觸的電感線圈中。

長方形截面導線圖7—1309可以用来製造1—2千瓦功率級的螺旋管。

當大的功率時長方形截面的導線仍不能保證與刷子的可靠接觸。

丁型截面的導線廣泛地用來製造功率約為1—2千瓦的螺旋管。因為這種截面的導線便於緊固在陶瓷柱上（圖7—1310）。

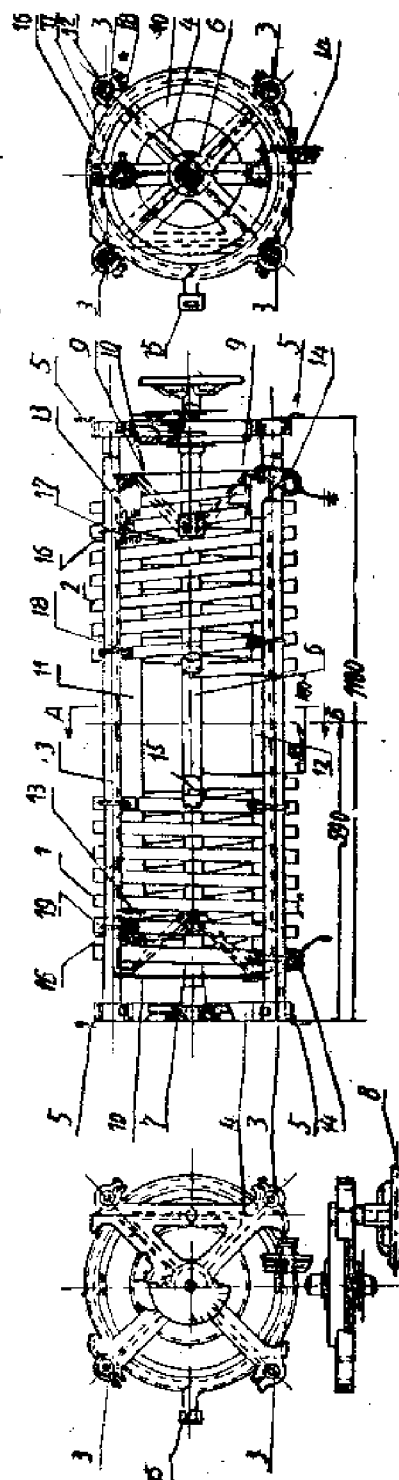


图7—1307 $\lambda_{\max}=89$ 米, $P_{\Phi}=15$ 千瓦, $L_1=15$ 厘米的高功率磁控管振荡器

- 1 左螺旋线
- 2 右螺旋线
- 3 阴极绕组
- 4 钨砂金十字形架子
- 5 角膜
- 6 阴极轴
- 7 波导前板
- 8 换线端
- 9 支架
- 10 直铜盘
- 11 铜短路环
- 12 波导下俯器
- 13 可动支撑系统
- 14 法兰子
- 15 法兰盖
- 16 铜触头紧固盒
- 17 铜触头
- 18 黄铜板
- 19 卡箍

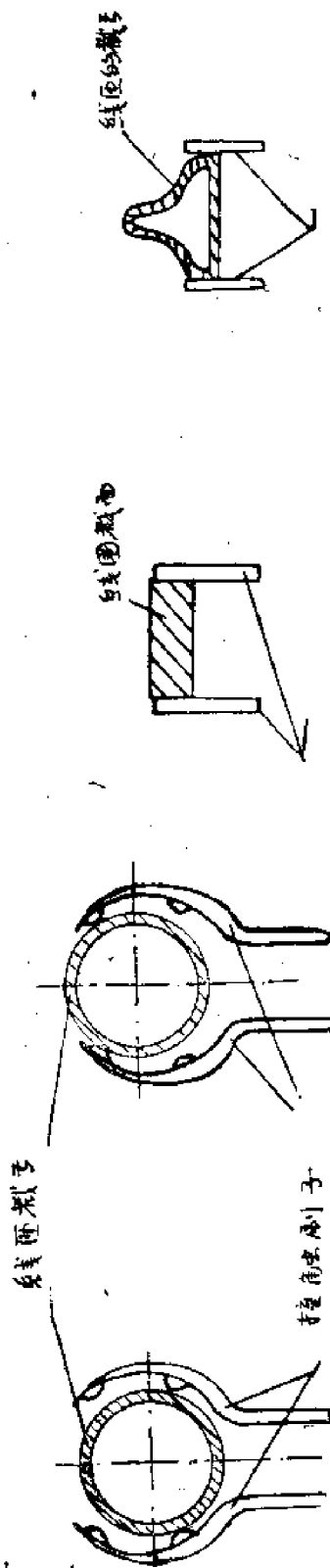


图7—1308 法兰与列共面的弯管及螺母之副公制的破坏。

图7—1309 长方平形面法兰

图7—1310 T形波面法兰

陶瓷柱上按间距的距离的各点做有沟槽，并在槽内进行金属化。螺旋管的线圈可焊到金属化槽上，以保证可靠的固定及消除线匝与瓷柱间因存在空隙而产生打火。

由于同样的原因（即与长方形截面导线时相同），T型截面导线不应用于大功率。

在功率大于2千瓦的级中，滑动接触线圈中采用了正方形截面管子来制造螺旋管（图7—1313）。

由于导线侧表面很大，线匝与刷子之间即使在线圈直径不均匀的情况下也可得到可靠的接触。

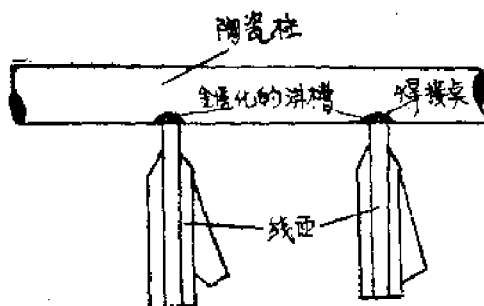


图7—1311 T型截面线匝的固定

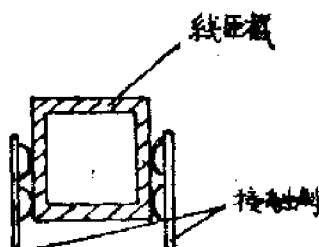


图7—1312 正方形截面管子

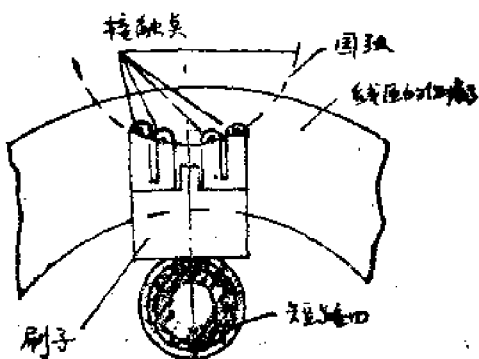


图7—1313 刷子接触点沿线匝侧表面的分布

大的导线侧表面允许刷子接触点按圆弧分布，这样也可增加系统的寿命（在这样分布接触点时导线侧表面的磨损降低了）。

当正方导线截面时接触系统的结构也比较简单、螺旋管本身在机械上也较可靠。

螺旋管在陶瓷柱上的紧固应保证螺旋管有足够的机械强度并消除线匝与瓷柱间的打火。

为了在大功率时不增加线匝尺寸，有时不将每一个螺旋管线匝都固定在瓷柱上，而是每间一个线匝进行固定（因为空气的电气强度大于沿陶瓷表面的击穿电压，这样做可以降低对匝间绝缘的要求），此时对于相邻线匝可在不同的柱子上固定。把螺旋管线匝紧固到柱子上的最简单的方法示于图7—1314。

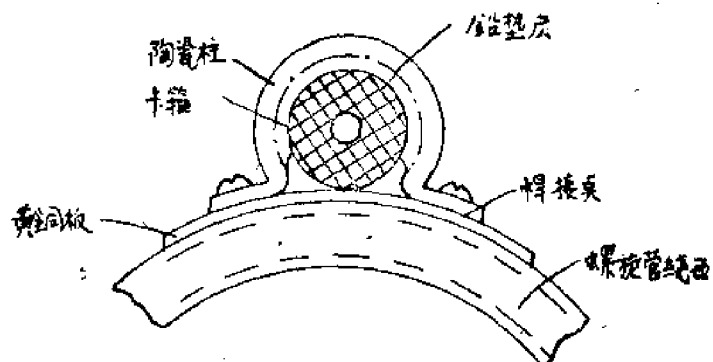


图7—1314 把螺旋管线匝紧固到陶瓷柱上的方法之一

为了使柱子不与螺旋管的所有线匝接触，在线匝紧固点上焊上相应厚度的黄铜垫片。为了使拉紧卡箍时，柱子上所产生的压力均匀（即不形成局部压力点），在柱子上套上铅的垫层。当用图7—1314所示的方法来紧固线匝时，线圈的螺旋管应该制造得足够准确，否则由于线匝直径的不均匀以及柱子的弯曲将使柱子产生很大的机械应力，甚至会使陶瓷柱折断。

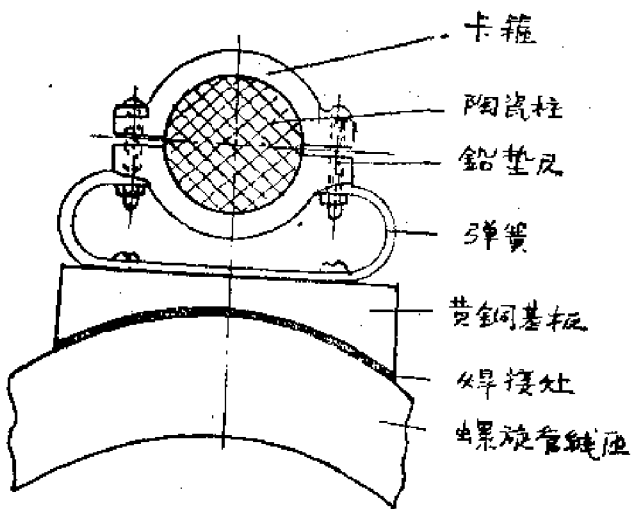


图7—1315 把螺旋管线匝紧固到陶瓷柱上的方法之二

当采用图7—1315和7—1316所示的紧固方法时，对螺旋管制造准确度的要求可以降低。其中在图7—1316所示的结构里可以利用螺母改变柱与匝之间的距离，补偿螺旋

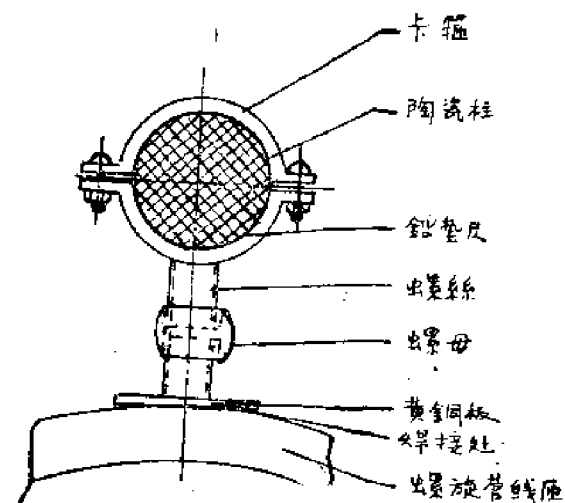


圖7—1316 把螺旋管線匝緊固到陶瓷柱上

管各匝匝直徑的差別，從而使柱子上的機械負荷變得均勻了。

2. 接触系統

在滑動接觸電感線圈中接觸系統用以把螺旋管線匝與短路器之間的連接。所以接觸系統有兩個接觸頭，第一個是保證與鐵芯的接觸、第二個是保證與短路器的接觸。

對於接觸系統的基本要求是移動時接觸的可靠性和小的摩擦。

接觸系統的結構例子示於圖7—1317，其中除了接觸系統外還示出了黃銅盤和短路

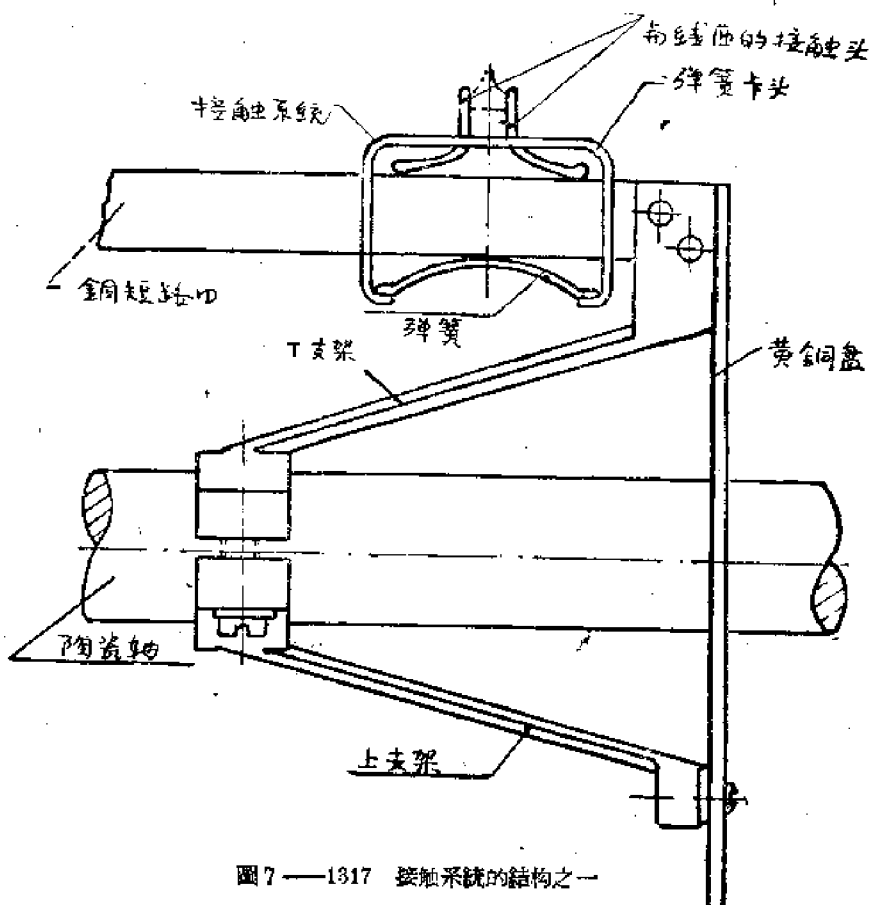


圖7—1317 接觸系統的結構之一

器緊固到轉軸上去的結構方式。

接觸系統沿正方截面銅短路器（參見圖 7—1317）移動。它由黃銅卡頭、青銅彈簧及兩個青銅接觸頭所組成。在彈簧卡頭側壁上有正方形孔，通過這些孔使彈簧卡頭套在短路器上。把彈簧和接觸頭折彎可減少移動時的摩擦，並保證了可靠接觸所必須的壓力。這種類型的接觸系統應用在功率為 2 千瓦的功率級的繞圈中。

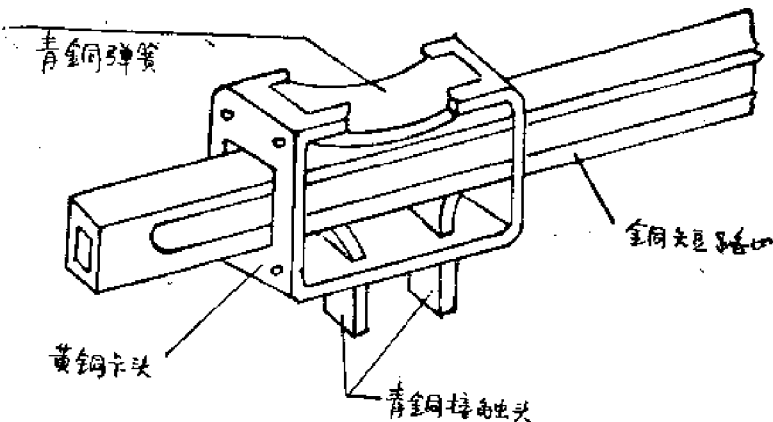


圖 7—1318 接觸系統的立體圖

15—30 千瓦功率級所用的接觸系統的結構示于圖 7—1319。

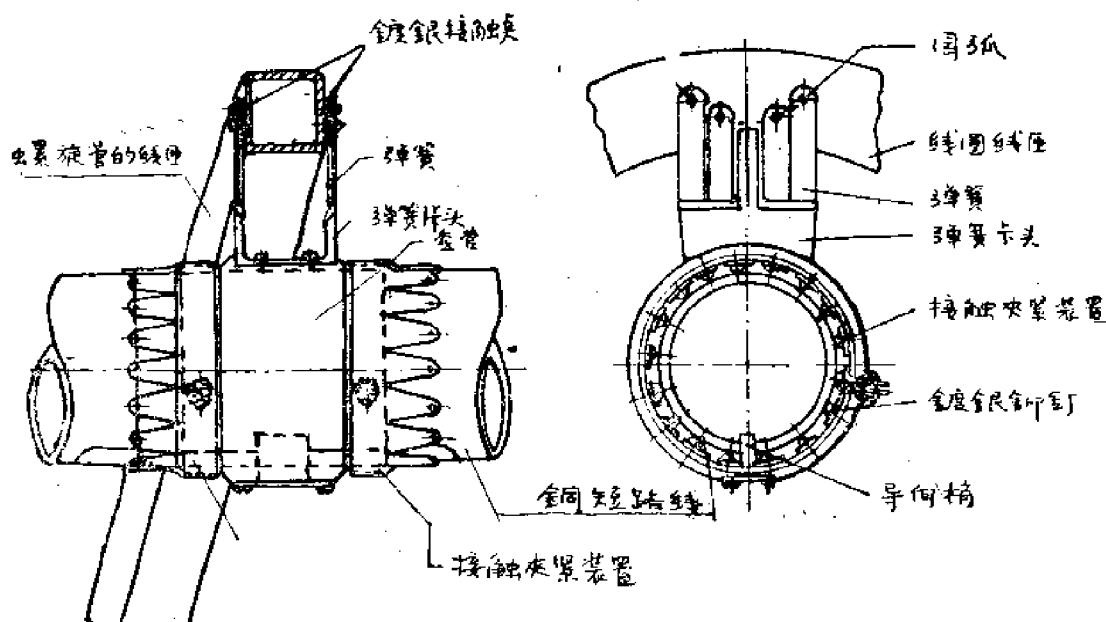


圖 7—1319 接觸系統

接觸系統由黃銅套管、兩個青銅夾緊裝置及接觸刷所組成。黃銅套管套在圓截面的短路器上。為了消除套管的轉動，短路器具有軸向槽，而套管具有導向梢。套管與短路

器之間的接触是利用两个接触夹紧装置来实现的，它们借助于拉紧螺栓紧固到套管上。接触刷示于圖 7—1320。

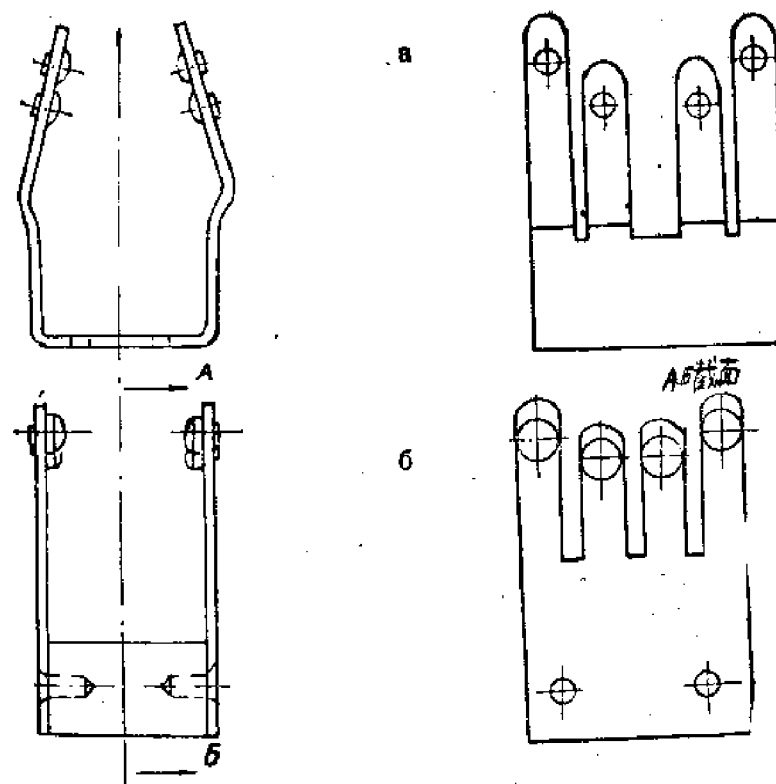


圖 7—1320 接触刷的彈簧

圖 7—13206 的结构較为方便，因为接触彈簧中沒有弯折部分，因而沒有产生接触彈簧与相邻綫匝間打火的危险。

对于 60—120 仟瓦功率級的綫圈，为了得到可靠的接触，接触系統的結構不得不做得更为复杂。这种接触系統的结构例子示于圖 7—1321。

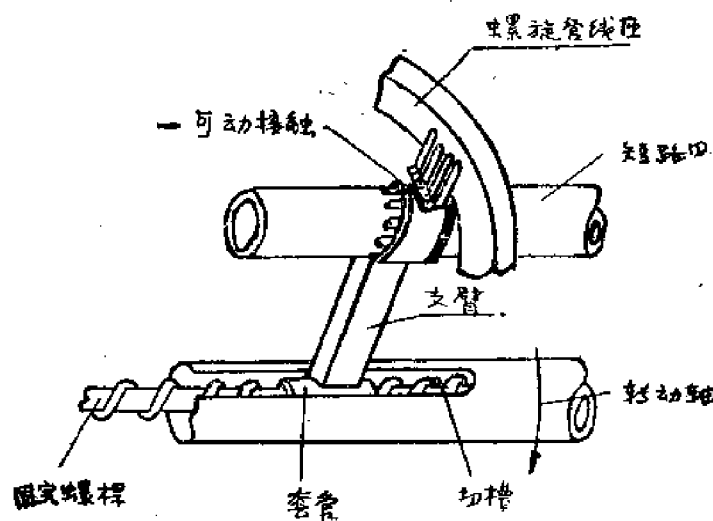


圖 7—1321 大功率綫圈的接触系統

这种结构的工作原理如下：具有矩形螺纹（螺距等于线圈的绕距）的固定螺杆放在空心金属轴内，此轴具有轴向槽。在螺杆上套有套管，套管借助于支臂与接触系统连接。当转动轴（套管）时螺杆保持不动，借助于杠杆强迫接触系统沿螺旋管线而移动。

3. 刷子：刷子是用来保证螺旋管线末端头与黄铜盘间的接触。这是为了使螺旋管不工作线匝短路所必须的。

刷子的结构例子示图 7—1322。

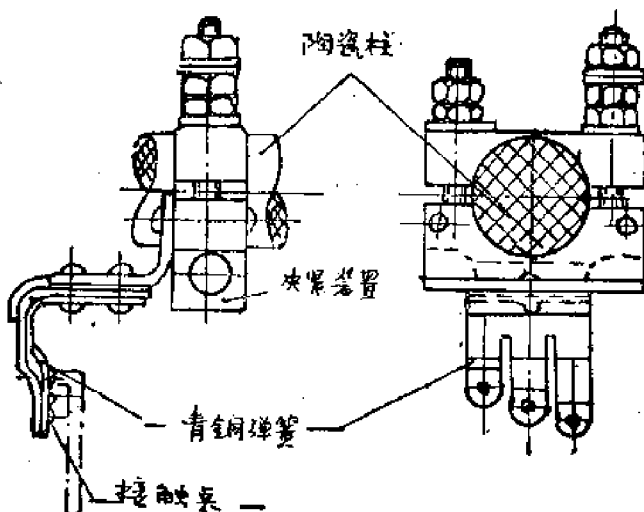


圖 7—1322 刷 子

从图 7—1322 可见螺旋管端头与黄铜盘之间的接触是用青铜弹簧（紧固在夹紧装置上来保证的，夹紧装置固定在陶瓷柱上，在这个夹紧装置上还固定了螺旋管的端头。

辅助短路器是用来消除线圈非工作部分与工作部分间的谐振的。辅助短路器的结构示于图 7—1323。

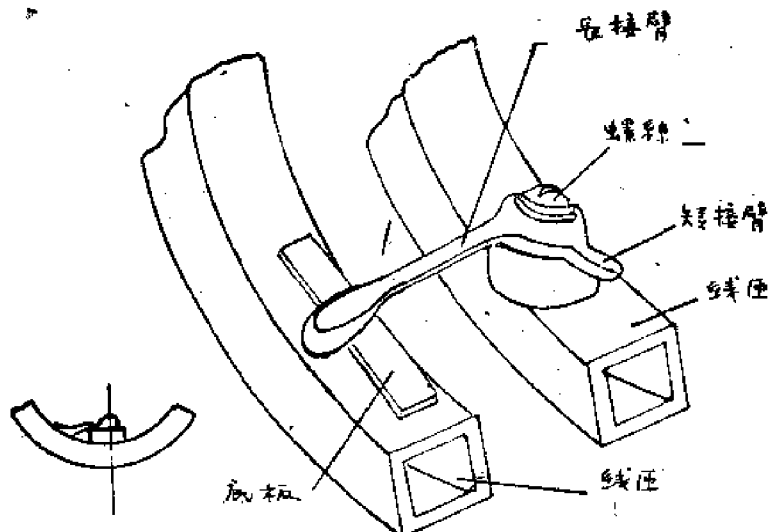


圖 7—1323 辅助短路器

由圖 7—1323 可見，在運動時接觸系統碰上長接臂則相應斷開相鄰匝，碰上短接臂則相應于將相鄰匝短接。

另一種輔助短路器的結構示于圖 7—1324。其工作原理可以從圖中了解。

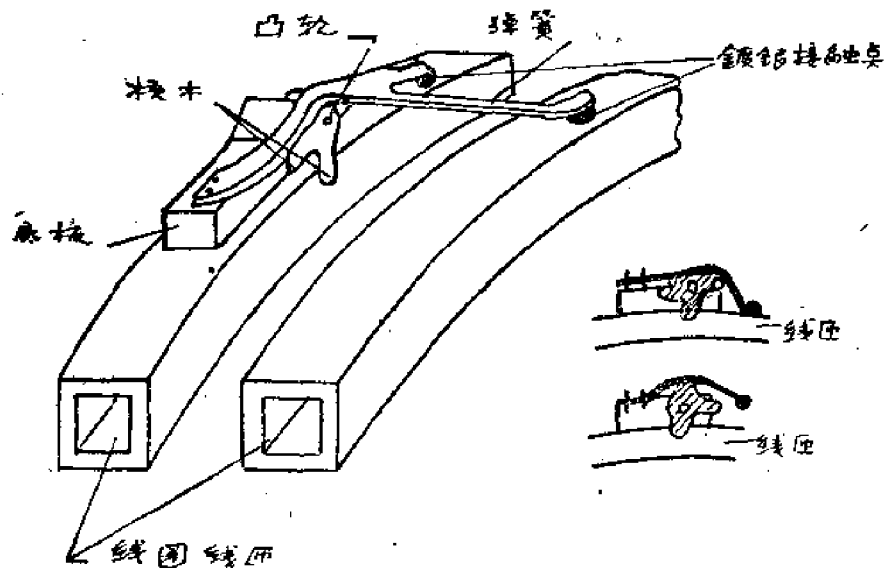


圖 7—1324 輔助短路器

滑動接觸電感線圈的計算過程如下：設計用的大概數據可以從表 7—19 中選擇，表中所列為工作在現有發射機中的滑動接觸推挽電感線圈的數據。

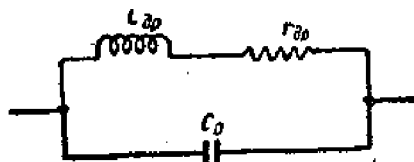


圖 7—1401 高頻扼流圈的等效電路

§ 7—14 高頻扼流圈

高頻扼流圈用以防止高頻電流進入電路。在級中與迴路并聯並構成并饋電路或者在電源電路中用來去耦。

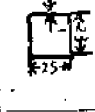
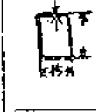
扼流圈的簡化等效線路示于圖 7—1401。

從圖 7—1401 可見，扼流圈的等效電路與電感線圈的等效線路相同。

扼流圈的固有諧振頻率等於

$$W_0 = \frac{1}{\sqrt{L_{sp}C_0}}$$

表 7-19

序 号	磁 段 (米)	级 数 工 作类型	输出 功率 (千瓦)	线圈中的 最大电流 有效值 (安)	冷 却	导线截面 及其尺寸 (毫米)	线圈的最 大电感量 L_{max} (微亨)	线圈的最 小电感量 L_{min} (毫亨)	线圈的最 大直径 径D (毫米)	螺距 g (毫米)	一个螺 旋管的 长度 l_r (毫米)	一个螺 旋管的 匝数 n_1 (毫米)	螺旋管 间的距 离 h_1 (毫米)
1	2	3	4	5	6	7	8	9	10	11	12	13	14
	15--60	未调波 大放	1--2	20	对流		10	0.03	100	13	130	93/4	69
2	13--90	22	1--2	10	22		18	0.03	156	14	144	98/4	60
	13--90	22	5--6	40	水冷		17	0.1	180	30	300	101/2	180
4	13--30	板调	18--20	99	在静止状 态时		30	0.1	400	43	350	73/4	250
	13--90	22	120--140	200	在调制状 态时		20	0.25	600	70	265	33/4	300

在频率高于谐振频率时扼流圈变成容抗。为了扼流圈在很宽的频段的工作，一般把绕组分成一系列不等的分段，这时扼流圈可以看成是一系列具有不同谐振频率的串联的抗流圈。

将分段扼流圈接入电路时，应使扼流圈具有固有电容的一分段处在最高的高 频 电位。

高幅扼流圈的结构例子列于图 7—1402。

图 7—1402 a)和b)所示的扼流圈骨架是用木或塑料做成的，绕组是多层分层绕法和堆绕法。也常常采用非线绕电阻的陶瓷柱作为扼流圈的骨架 (图7—1402 c)和d))。

为了提高高频扼流圈的电感量或缩小其尺寸，可采用磁介质或铁淦氧的芯子，芯子一般是环形的。

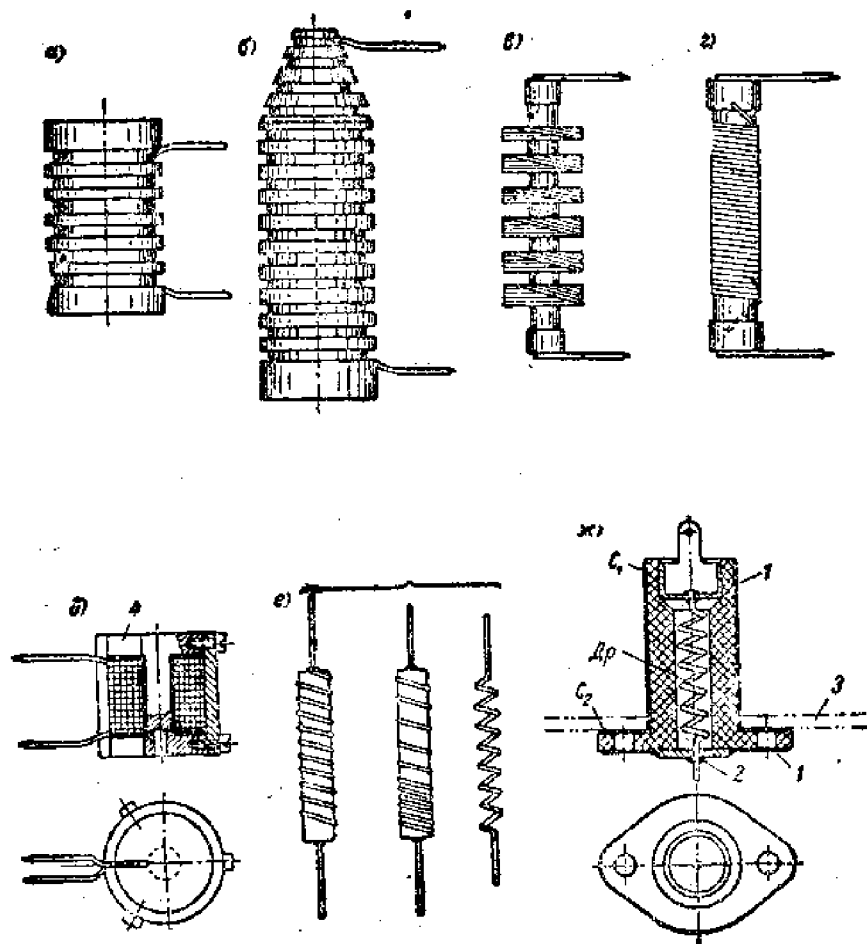


图 7—1402 高频扼流圈设备：a—长波用的；b—宽波段（长波及中波）用的；c—中波用的；d—短波用的；e—具有铜心的灯丝扼流圈；f—超短波用的扼流圈；g—超短波电源滤波器。
1—金密喷漆；2—焊接；3—机壳；4—剖面图

在某些情况下，也直接利用连接导线缠绕铁淦氧芯子来代替电流电路的去耦的扼流圈。

扼流圈的计算与电感线圈的计算相同。

对于并联电路，扼流圈的电感量可取为回路电感量的10—20倍，对于电源电路，扼流圈的电感量可大致按表7—20来选择。

表7—20

f. 兆赫	达0.5	1	5	10	20	50	100	200	500
I _p 微亨	1÷10.10 ³	250—1500	80—400	30—150	15—80	4—25	1.7—8	0.6—2.5	0.15—0.4

灯丝扼流圈的电感值可取得小一些。

电源电路用的扼流圈的导线直径按允许的电流密度来选择（一般是2.5—3.5安/毫米²）。当要求导线的截面较大时（大于3—5毫米²），可用扁平条来绕制。

§ 7—15 电感线圈的稳定性

温度及湿度对电感线圈参数的影响很大。湿度增加了线圈的固有电容并降低了击穿电压和品质因数。为了减小湿度的影响，把电感线圈用不吸水的物质来浸渍或蘸渍，在重要的情况下把电感线圈密封起来。

电感线圈的温度稳定性（电感温度系数）。 α_L 决定于下式：

$$\alpha_L = \alpha_{Lr} + \alpha_{Lx} + \alpha_{Ls} + \alpha_{Lw} + \alpha_{Lc} \quad (7-1501)$$

其中： α_{Lr} ——由于几何尺寸改变引起的电感温度系数分量。

α_{Lx} ——由于电流沿导线截面重新分布所引起的分量。

α_{Ls} ——由于屏蔽罩所引起的分量。

α_{Lw} ——由于芯子导磁率变化所引起的分量。

α_{Lc} ——由于固有电容所引起的分量。

现在，我们来讨论电感温度系数各个分量的确定问题：

I 由于几何尺寸改变所引起的电感温度系数分量：

1. 单层线圈的 α_{Lr} 可按下列确定：

$$\alpha_{Lr} = \alpha_{1D} + (\alpha_{1D} - \alpha_{1l}) \frac{1}{1 + \frac{a}{\frac{1}{D}}} \quad (7-1502)$$

其中：

α_{1D} ——线圈直径的线胀系数

α_{1l} ——线圈长度的线胀系数

a ——与 $\frac{1}{D}$ 有关的系数

当 $\frac{1}{D} > 0.7$ 时, $\alpha = 0.45$

$0.7 \geq \frac{1}{D} \geq 0.465$, $\alpha = 0.435$

$\frac{1}{D} < 0.465$, $\alpha = 0.366$

由此式可见, 当 $\alpha_{1D} = \alpha_{1t} = \alpha_1$ 时, $\alpha = \alpha_{LR} = \alpha_1$ 。

2. 多层电感线圈的 α_{LR} 可由下式确定:

$$\alpha_{LR} = 2 - \frac{\alpha_{1D} D_0 + \alpha_{1t} t}{D_0 + t} - \frac{3(\alpha_{1D} D_0 + \alpha_{1t} t + 13\alpha_{1t} t)}{3D_0 + 9t + 13t} \quad (7-1503)$$

其中:

α_{1D} —— 线圈内径(骨架)的线胀系数。

α_{1t} —— 线圈绕组深度的线胀系数。

α_{1t} —— 线圈沿长度的线胀系数。

同样, 当 $\alpha_{1D} = \alpha_{1t} = \alpha_1$ 时, 则

$$\alpha_{LR} = \alpha_1$$

因此, 减小 α_{LR} 的方法只要是选用线胀系数小的材料作骨架, 实际中 $\alpha_{LR} \approx (5-8)$ 毫米 $\times 10^{-6}$ ($^{\circ}\text{C}^{-1}$)。

II 由于电流沿导线截面重新分布所引起的电感温度系数分量。

1. 圆截面的导线的情况按下列计算:

大家知道, 温度变化会引起导线电阻率的变化, 从而改变了导线截面上的电流分布(即引起有效载流面积的改变)。因而也改变了线圈的有效直径(它决定了电感温度系数线圈电感量)。并引起电感量的相应变动, 这便是形成 α_{Lm} 的基本原因。

$$\alpha_{Lm} = \alpha_\rho \frac{r_0}{w_L} \left[F_2 + \left(\frac{KNd}{2D} \right)^2 G_2 \right] \quad (7-1504)$$

其中:

α_ρ —— 线圈导线材料比电阻的温度系数。

r_0 —— 线圈导线的欧姆电阻。

w_L —— 在工作频率时线圈的电抗。

K —— 形状系数(见前面§7-5)

$$K = \varphi \left(\frac{1}{D} \right)$$

N —— 匝数。

d —— 导线直径。

D —— 线圈直径。

F_2 及 G_2 —— 系数, 决定于图 7-1501 的曲线或表 7-21。

2. 扁平导线的情况, 当用扁平导线绕制短波及超短波的线圈时, 由于电流沿导线切面重新分布而引起的电感温度系数分量, 可按下式计算:

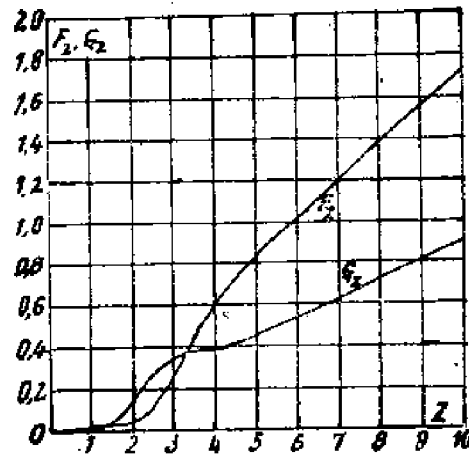


圖 7—1501 函數 F_2 和 G_2 的值

表 7—21

Z	F_2	G_2	Z	F_2	G_2	Z	F_2	G_2
1.0	0.00068	0.00512	2.4	0.0947	0.255	3.8	0.541	0.377
1.1	0.00120	0.00878	2.5	0.1156	0.277	3.9	0.547	0.379
1.2	0.00198	0.01419	2.6	0.1391	0.296	4.0	0.606	0.383
1.3	0.00316	0.0218	2.7	0.1651	0.312	4.1	0.626	0.386
1.4	0.00487	0.0321	2.8	0.1936	0.325	4.2	0.665	0.391
1.5	0.00721	0.0454	2.9	0.224	0.336	4.3	0.692	0.396
1.6	0.01036	0.0618	3.0	0.257	0.343	4.4	0.718	0.401
1.7	0.01483	0.0813	3.1	0.291	0.353	4.5	0.733	0.407
1.8	0.0204	0.1037	3.2	0.336	0.358	4.6	0.766	0.413
1.9	0.0276	0.1279	3.3	0.362	0.362	4.7	0.798	0.420
2.0	0.0366	0.1539	3.4	0.399	0.366	4.8	0.807	0.428
2.1	0.0475	0.1804	3.5	0.436	0.370	4.9	0.839	0.436
2.2	0.0608	0.206	3.6	0.471	0.372	5.0	0.848	0.444
2.3	0.0765	0.232	3.7	0.507	0.374			

$$\phi_{lm} = \frac{\xi}{D\sqrt{f}}$$

(7—1505)

当 $K_1 t < 5$ 时正确。

其中：

D——线圈直径

t——线组深度，单层时为带的厚度

f——工作频率

$$K_1 = 2\pi \sqrt{\frac{f \cdot 10^{-9}}{\rho}}$$

ρ ——比电阻（欧·厘米）

ϵ ——系数，按图7—1502的曲线查得

图中的参数 ρ 由下式算得：

$$\rho = \frac{2 K_R}{\left(\frac{t}{a}\right)^2}$$

此式中的a为带的宽度，而系数 K_R 可按下式计算：

$$K_R = \frac{L \cdot 1}{\pi^2 N^2 D^2}$$

研究表明，采用带状导线的线圈可以减小这一分量。此时 α_{Lm} 约为 $(2-5) \times 10^{-6}$

$^{\circ}\text{C}^{-1}$

III. 由于屏蔽罩所引起的电感温度系数分量。可以按下式计算：

$$\alpha_{Ls} = \frac{3 \alpha_{1s} - 3 \alpha_{1D} - \alpha \eta}{D^3} \quad (7-1506)$$
$$\eta D^3 = 1$$

这里：

α_{1s} ——屏蔽罩材料的线胀系数。

D_s ——屏蔽罩的直径。

η ——系数，按 $\frac{1}{D}$ ，从图7—1503的曲线查到。

$\alpha \eta = P (\alpha_{11} - \alpha_{1D})$

P——系数，按 $\frac{1}{D}$ ，按图7—1503的曲线来决定。

除了上述的屏蔽罩对于线圈的影响外，还必须考虑到屏蔽罩对线圈高频电阻的影响。如果在公式7—1504中乘入 $(1 - K^2)$ 则算得的 α_{Lm} 值已包括了这种影响。

实际上的 α_{Ls} 可达 $(20-40) \times 10^{-6} (\text{ }^{\circ}\text{C}^{-1})$ ，线圈及屏蔽罩材料的线胀系数小的材料（殷钢、陶瓷）作屏蔽， α_{Ls} 也要减小。增大 $\frac{D_s}{D}$ 比值，也有较显著的效果。 $\frac{D_s}{D}$ 可取2.5—3或更高的值。

IV. 由于磁芯导磁率的变化所引起的电感温度系数分量。由以下公式确定：

$$\alpha_{L\mu} = \frac{\mu_c}{\mu} \alpha_\mu \quad (7-1507)$$

其中：

μ_c ——芯子的有效导磁率。

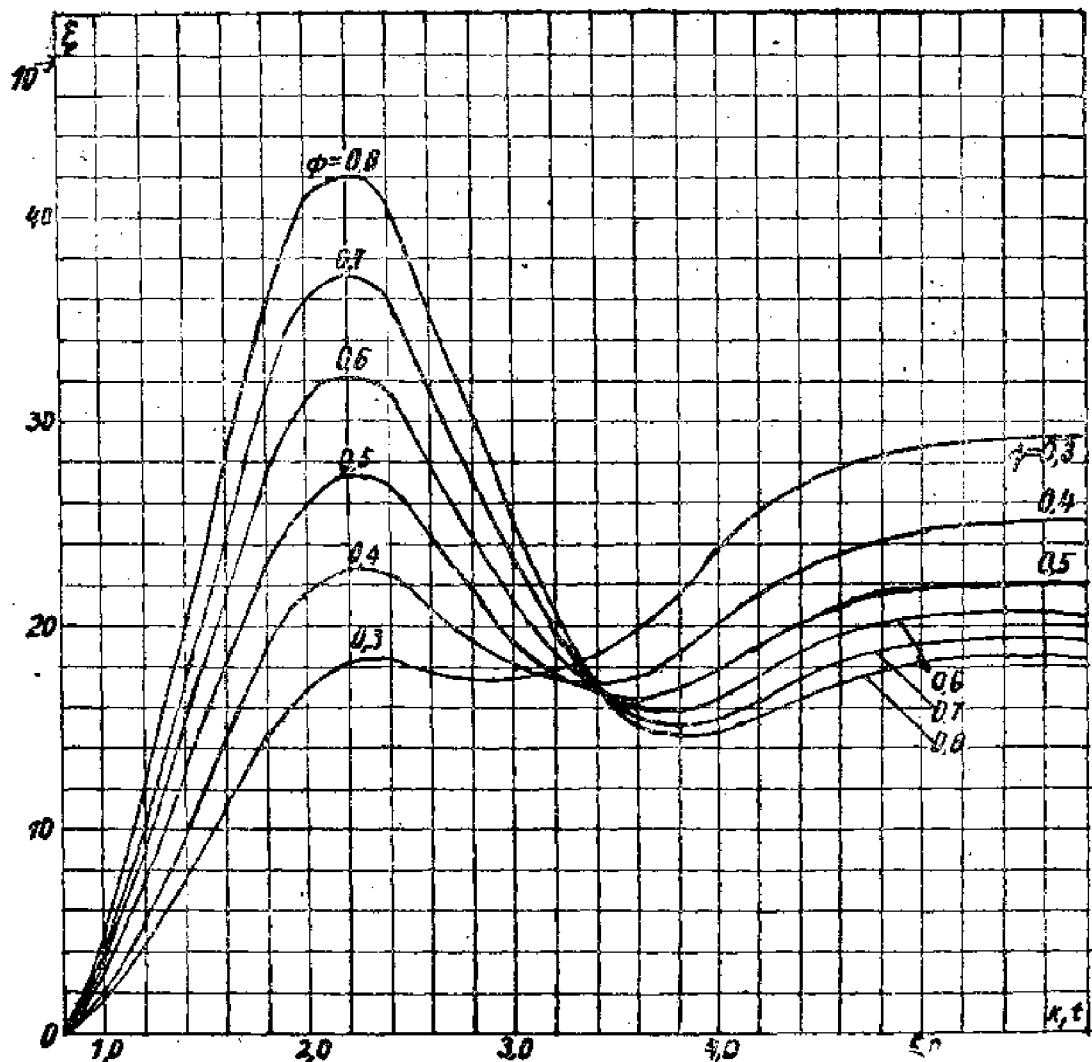


圖7—1502 系數 ξ 的值與 K_{1t} 的關係的曲線

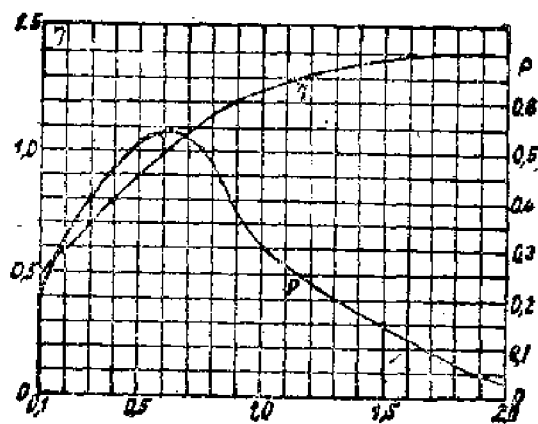


圖7—1503 系數 η 及 p 的值

μ —芯子材料的导磁率。

α_μ —芯子材料的导磁率的温度系数。

V. 由于线圈固有电容量变化所引起的互感温度系数分量。可以由下式确定：

$$\alpha_{Lc} = (\alpha_{L'} + \alpha_c) \frac{1}{\left(\frac{f_0^2}{f^2} - 1\right)} \quad (7-1508)$$

这里：

$$\alpha'_{L'} = \alpha_{Lr} + \alpha_{Lm} + \alpha_{Ls} + \alpha_{Ln} \text{ 按以前给出的公式来决定。}$$

f_0 —电感线圈的固有谐振频率。

f —工作频率。

α_c —电容温度系数，按下列式来决定：

$$\alpha_c = \frac{C_B \alpha_k + C_g \alpha_\epsilon}{C_B + C_g} \quad (7-1509)$$

其中：

C_B —线圈通过空气的固有电容。

C_g —线圈通过介质的固有电容。

α_k —骨架材料的线胀系数。

α_ϵ —骨架材料介电系数 ϵ 的温度系数。

对于单层线圈来说，可用下式作近似的计算：

$$\alpha_{Lc} = \frac{a \epsilon \alpha_k}{(1+a \epsilon) \left(\frac{f_0^2}{f^2} - 1 \right)} \quad (7-1510)$$

其中：

a —系数，与骨架结构形式和导线形状有关。

对于在光滑骨架上圆导线绕组等于0.08。

对于在带线槽的骨架及圆导线绕组等于0.111。

对于沿螺纹骨架的螺纹槽涂复的绕组等于0.14。

对于沿螺纹骨架的螺纹顶部涂复的绕组等于0.16。

为了减小 α_{Lc} 这一分量，可增加匝路电容量，或选用 ϵ 小的材料做骨架，这时 α_{Lc} 约为 $(1-2) \times 10^{-6} \text{ }^\circ\text{C}^{-1}$

§ 7-16 电感线圈的自动温度补偿及高温度稳定性线圈的结构

电感线圈的自动温度补偿可以用下列方法来解决：

1. 用选择绕组直径及长度的不同线性温度膨胀系数的方法来控制 α_{Lr} 。

2. 用控制多层分段绕组的各分段间互感的方法。

3. 采用与绕组耦合的短路匝并使耦合随温度而变。

4. 用控制屏蔽罩的去磁影响的方法。

5. 用控制芯子导磁率数值的方法。

显然，第一种和第二种方法以及第三种和第四种方法具有相同的物理意义。采用第

一种方法的自动补偿线圈骨架的结构示于图 7—1601，其中，骨架的夹板用玻璃做成、而开口套管用硬橡胶做成。在这种情况下沿长度的膨胀（决定于硬橡胶）将比沿直径的膨胀（决定玻璃）大些。在套管做有螺纹槽用以安放绕组，尺寸“a”的选择要确定导线及骨架直径膨胀的一致为条件。

图 7—1602 示出了按用第三种方法的自动补偿线圈的结构。

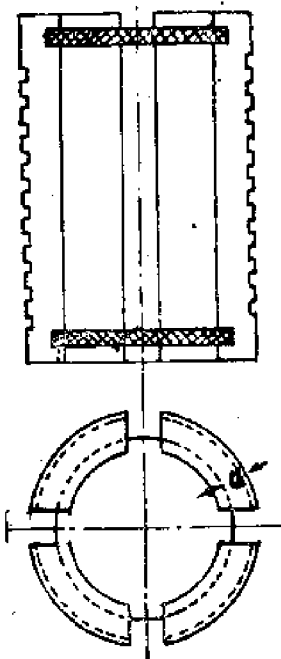


图 7—1601 自动补偿线圈的骨架

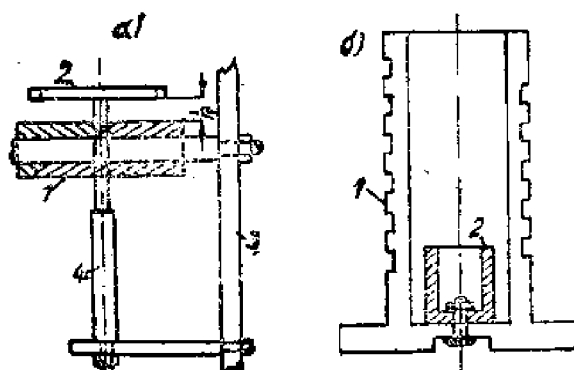


图 7—1602 借助于短路匝的自动补偿

在图 7—1602 (a) 的结构中短匝 2 紧固在殷钢柱杆 4 上。多层线圈 1 固定在硬橡胶支架 3 上。当温度增高时线圈靠近了短路匝（硬橡胶伸长较大），并因此而得到补偿（硬橡胶的线性温度膨胀系数为 $70 \cdot 10^{-6}$ 而殷钢 $0.9 \cdot 10^{-6}$ ）。

在图 7—1602 (b) 的结构中，由于铜和陶瓷的膨胀系数的差别，当加热时空心铜圆筒 2 靠近涂复在陶瓷骨架 1 上的线圈线匝。

繞圈電感溫度系數的所有補償方法都使繞圈的結構複雜化，使循環性及在時間上的穩定性變壞，在第三種和第四種方法時降低了品質因數。

高穩定度電感線圈應該具有高的循環性。並且沒有老化，在工作頻段內具有小的以及恒定的電感線圈系數，以及具有小的衰減。

單層高穩定電感線圈應採用陶瓷骨架並採用強制的繞組固定方法。強制的繞組固定方法有三種：即燒滲法、熱繞法、熱配合法。其工藝已在§ 7—3中討論過了。

高穩定的單層線圈的電感溫度系數約為 $(1-20) \times 10^{-6} \text{ }^{\circ}\text{C}^{-1}$ 。

多層穩定電感線圈或者是做成無骨架的，或者是做成圖 7—1601 所示的組合骨架。為了固定線圈匝應採用高頻浸漬材料（見 § 7—3 列表）或者用由它們配成的複合物來浸漬。

多層穩定線圈的電感溫度系數約為 $(50-100) \times 10^{-6} \text{ }^{\circ}\text{C}^{-1}$ 。

為了防潮，高穩定線圈必須封起來，密封外殼通常也是屏蔽罩。對於穩定線圈，屏蔽罩直徑應比一般線圈大一些。 $\frac{D_o}{D}$ 不小於 $3 \div 4$ 。

用具有金屬化內表面的陶瓷屏蔽罩來屏蔽，得到了良好的效果。

如果循環性不變壞則採用自動補償的線圈結構是合理的。

§ 7—17 電感線圈的測試

電感線圈電感量和品質因數的測量，最常利用 Ω 表進行。

利用橋式電路來測量電感量和品質因數可以得到較高的測量準確度。

電感線圈固有電容的測量也利用 Ω 表來進行。

當電感線圈具有大的固有電容時 ($C_o > 20$ 微微法)，固有電容按圖 7—1701 的電路來進行。

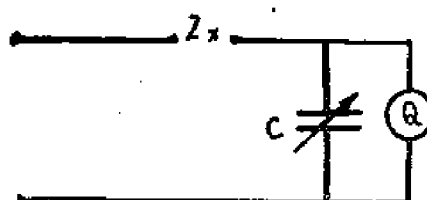


圖 7—1701

把被測試線圈 L_x 代替標準線圈接入 Ω 表，然後在確定 Ω 表的電容 C 到位置 C_1 後，改變振盪器的頻率來調諧整個系統到諧振。得到諧振頻率 f_1 。然後改變 Ω 表電容的位置到 C_2 。 C_2 大於或小於 C_1 ，並重新找到諧振頻率 f_2 。根據所取得的數值按圖 7—1702 的坐標繪成曲線，即可決定電感線圈的固有電容 C_o 。

如果取頻率 f_2 等於 $\frac{f_1}{2}$ ，則固有電容的計算可按下式進行。

$$C_o = \frac{C_2 - 4C_1}{3} \quad (7-1701)$$

当频率 f_2 等于 $2f_1$ 时，固有电容等于：

$$C_0 = \frac{C_1 - 4C_2}{3} \quad (7-1702)$$

如果电感线圈的固有电容很小 ($C_0 > 20$ 微微法)，则固有电容按图 7—1703 的电路进行测量。

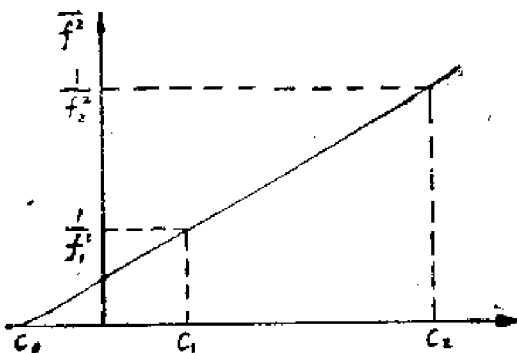


图 7—1702

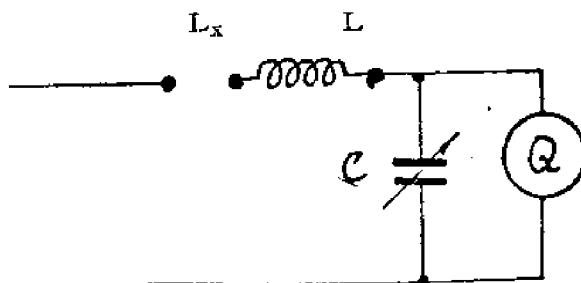


图 7—1703

在这种情况下把被测电感线圈与标准线圈 L 串联地接入 Q 表电路中。

在测量时，应这样来选择 Q 表振荡器的频率和电容量，使得在接入或断开被测线圈时，谐振频率不变。

用这种方法测量时线圈的固有电容等于：

$$C_0 = \frac{1}{4\pi f^2 L_x} \quad (7-1703)$$

线圈的固有电容也可以从两次测量电感量来求得：当音频等于 800÷1000 赫时（在这样的频率下线圈的固有电容可以忽略）及在高频 f 时。进行了这样两次电感量的测量后，可按下式计算电感线圈的固有电容：

$$C_0 = \frac{L_1 - L'}{(2\pi f)^2 L' L_1} \quad (7-1704)$$

其中：

L_1 —在高频 f 时，测得的电感量。

L' —在音频时，测得的电感量。

f —测量 L_1 的频率。



第八章

变压器及低频扼流圈

在无线电设备中广泛应用低频扼流圈来阻止低频电流的流过。它们应用在低频滤波电路，电源滤波电路以及板调发射机调制电路（作为调制扼流圈）中。

变压器在无线电设备中获得了更广泛的应用。它们应用于电源电路（电源变压器）、低频电路（低频变压器，宽频带变压器）以及脉冲电路（脉冲变压器）中。它们的基本作用是变换电压，匹配阻抗及分隔两个电路（因为只有磁耦合）等。

按其在电路中的具体用途，对低频扼流圈及变压器所提出的要求极为多样，而且同一用途时还可用多种结构方案来实现；这就迫使在很多情况下，按具体电路的要求，进行单独的设计制造。不过，由于无线电工业的迅速发展，已出现对部件（主要是用于民用设备的）种类的低频扼流圈及变压器进行标准化，大量生产的趋势。尽管如此，对于大部分种类的低频扼流圈和变压器来说，目前在设计和制造设备时，仍是单独进行设计和制造的。因此，在本章里将比较详细地讨论其结构、工艺及计算的方法。

任何变压器及低频扼流圈将在结构上均由磁路，绕组（一个或几个），以及机械固定和绝缘零件三个部份组成。现在我们分别讨论这三部份的结构及其主要尺寸。

§8—1 磁路的结构及其主要尺寸

变压器和低频扼流圈的磁路，最常采用对反复磁化具有很低损耗的电工钢或磁性合金的板料或带料制成。为了减小涡流损耗，板料和带料的厚度被轧成十分之几到千分之几毫米。在某些情况下，也采用铁淦氧制成的磁路，其结构形状与板料或带料制成的磁路相差不大，而制造特点已在第六章述及，因此，这里主要讨论板料及带料制成的磁路。

较通用的磁路结构形状有柱型（U形），装甲型（山型、T型和十字型）和环型三种，各种形状都可用冲压叠片或卷绕的方式制成（如图8—10所示）。

柱型磁路的基本特点是，绕组可以绕在两个柱上，因而具有大的绕组冷却表面，较小的绕组导线消耗，较小的漏感，以及对外磁场有较低的灵敏度（因为适当地配置绕组可使变压器的两个绕圈中所感应的干扰电动势互相抵消），这种铁芯常用作小功率输出变压器，大功率及中等功率的电源变压器，以及中小功率的脉冲变压器（因为脉冲变压器的铁损比铜损大，大功率的脉冲变压器要求大的铁芯冷却表面）。为了简化变压器结构，有时绕组只绕在一个柱上，在这种情况下，这种磁路则没有上述的优点。

装甲型（有时称为壳型）磁路的基本优点是铁芯窗口内具有较高的绕组导线填充系数，绕组只需用一个骨架，具有较大的铁芯冷却表面以及可用铁芯的磁轭部份来保护绕

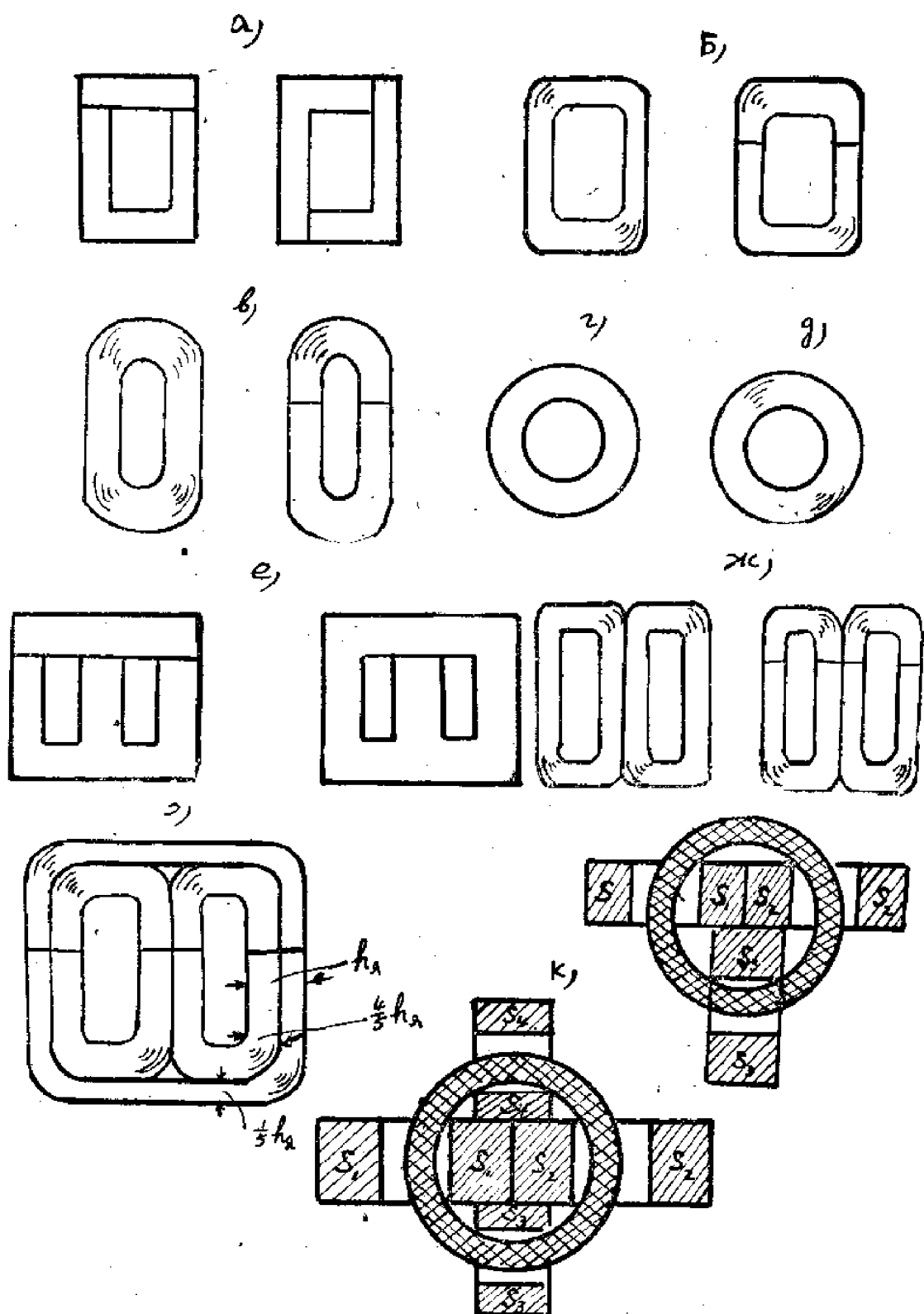


圖3—101 變壓器及低頻扼流圈磁路結構形狀

- a) U形疊片
- b) U形卷繞磁路
- c) 橢圓形卷繞磁路
- d) 環形疊片磁路
- e) U形疊片磁路
- f) III形卷繞磁路
- g) 寬節III形卷繞磁路
- h) T形卷繞磁路
- i) 十字形卷繞磁路

組避免機械損傷（特別是十字形和T字形組合時），而且本身對外界的發散磁場較小，可減小對外部電路及元件的影響，或者允許放置很近的磁屏蔽（雖然漏感較柱型鐵芯大，但外磁轭有自身屏蔽作用），所以，此種鐵芯與柱型的不同，它廣泛應用於較小功率的低頻變壓器，低頻扼流圈以及電源變壓器中，也用於大功率的脈衝變壓器中。

環形磁路的基本優點是，繞組可均勻地沿磁路分布，因而其漏感最小，也幾乎不受外界磁場影響，同時最便於作成無非磁隙的結構，因而磁性的利用率（如導磁率）最高。由於這個原因，最近已日益得到廣泛採用。它最常用在極小功率的變壓器中。

現在讓我們討論這幾種磁路的主要結構尺寸，以及它們的最佳比例（從電氣、結構及經濟要求出發）：

1). 鐵芯的窗口尺寸與外形尺寸及其最佳比例：

對柱型鐵芯（圖8—102）這些尺寸為（用厘米表示）：

- 鐵芯窗口寬度— b
- 鐵芯窗口高度— h
- 鐵芯柱的寬度— a_c
- 鐵芯柱的厚度— b_c
- 鐵芯磁轭寬度— h_x
- 鐵芯磁轭長度— l_x

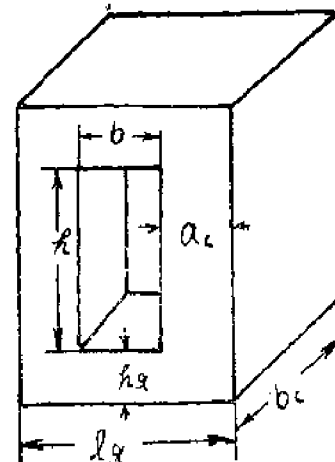


圖8—102 柱型鐵芯的基本尺寸

當要求變壓器價格最小時，這些尺寸的最佳比例為：

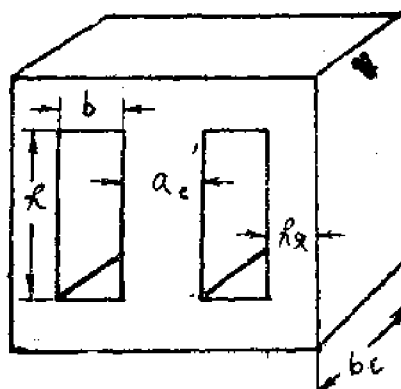


圖8—103 壳型鐵芯的基本尺寸

$$b = 0.9a_c, \quad h = 2.5a_c$$

當要求變壓器的重量最輕時，最佳比例為：

$$b = 1.35a_c, \quad h = 2.5a_c$$

對壳型鐵芯（圖8—103），這些尺寸所用的名稱及符號與柱型鐵芯相同。

从經濟观点出发，对叠片铁芯最常采用“無廢料”冲压，用“無廢料”冲压所制得的铁片形式示于图8—104。这里“無廢料”的含义是将由窗口中冲出的废料用作横磁轭。

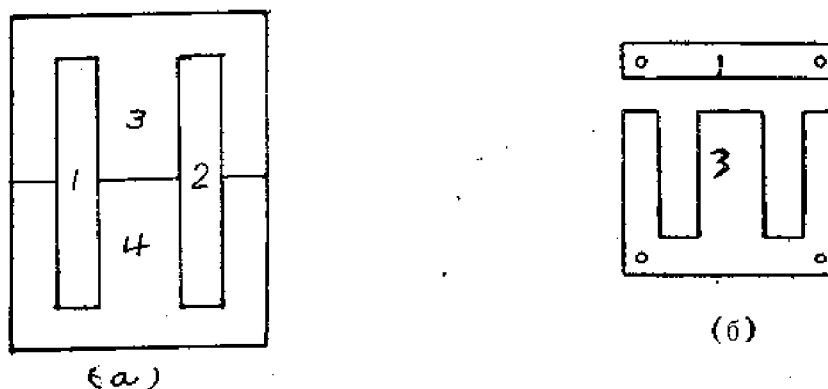


图8—104 壳型铁芯的無廢料冲压

1、2——槽遮蔽板条
3、4——W形片
a) 冲压线条；b) 冲压后组成形式

“無廢料”冲压片分为两种类型：

a) 一般的“無廢料”冲压片，其尺寸的比例为： $b_R = 0.5a_c$, $b = 0.5a_c$ 。这一类型冲压片是从前所創立的。目前，仅在沒有添置新冲模的企业中采用。

b) 磁轭較寬的“無廢料”冲压片，它的尺寸比例为：

$$b_R = 0.65a_c, \quad b = 0.65a_c$$

这种冲压片是最近几年研究出的新方案，采用这种冲压片，可在不影响其性能的前提下，减小变压器的尺寸和价格，因而得到了广泛的采用。研究指出：对于最小价格和最小重量的变压器和扼流圈来说，铁芯之間的尺寸，存在着不同的最佳比值，这个比例为：

最小价格变压器： $b_R:a_c = 0.65$, $b_c:a_c = 1.5$,

$$b = b_R = 0.65a_c, \quad h = 2b_R + 0.5a_c$$

最小重量变压器： $b_R:a_c = 0.65$, $b_c:a_c = 2$

$$b = 1.1a_c, \quad h = 2.5b = 2.75a_c$$

但对上述的比值，有不大的偏差是允许的，因为最佳值表現得并不尖銳。

为了方便起見，苏联已把壳型铁芯的尺寸規格化（見附录），設計变压器，可按此表選擇铁芯片的型号。

2) 磁力綫的平均长度— l_c (厘米)

由于轉弯处力綫分布不均匀，力綫的平均长度，不完全等效于铁芯的几何平均长度，但在很多情况下，可用铁芯的几何平均长度来进行計算。如此，对于柱型铁芯來說（見圖8—105）

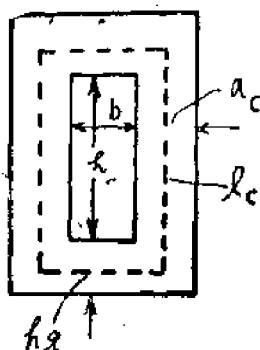


图8—105 柱形铁芯的磁路平均长度

$$l_c = 2(h + b + a_c + h_x)$$

当磁路截面均匀时（即 $a_c = h_x$ ） l_c 可简化为 $l_c = 2(h + b + 2a_c)$ 。

对于壳型铁芯（图8—106）

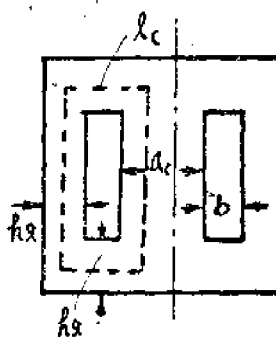


图8—106 壳形铁芯的磁路平均长度

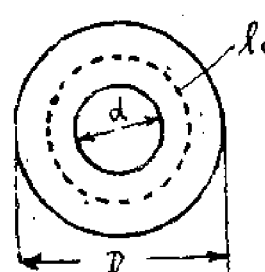


图8—107 环形铁芯的磁路平均长度

$$l_c = 2(h + b + h_x) + h_x + \frac{a_c}{2}$$

对于环形铁芯（图8—107）

$$l_c = \frac{\pi(D + d)}{2}$$

3) 铁芯的净截面 $S_{\text{净}}$ 和铁芯的几何截面积 S_c (厘米²)。

由于铁芯片间具有绝缘层（氧化层、漆层等）及装配时不可避免的结构空隙，因而，为磁性材料占据的面积（净截面积 $S_{\text{净}}$ ）比铁芯的几何截面 S_c 小；即 $S_{\text{净}} = K_c S_c$ ，其中： K_c ——铁芯的占空系数，其值永远小于1，按经验可由表8—1决定（它依赖于磁性材料片厚及绝缘方式等）。

表 8-1

片 厚	K _c		
	不 带 絶 緣	0.01 毫 米 漆 絶 緣	用 粘 性 烟 紙 絶 緣
0.5	0.93	0.92	0.88
0.33	0.88	0.86	0.83
0.2	0.80	0.78	—
0.1	0.70	0.65	—

通常鐵芯的几何截面，作成矩形的（为了使鐵芯的結構簡單），此时

$$S_c = a_c \cdot b_c \quad (\text{厘米}^2)$$

但是，在大功率变压器及扼流圈中，有时也采用阶梯形截面，这是为简化繞組骨架结构（尺寸較大的圓筒形骨架比矩形骨架更便于制造），减少繞組导綫的消耗（在圓形骨架情况下，阶梯截面时，鐵芯磁性材料在骨架內的填充量比正方形截面大，因而可以在小的圓周所包围的面积內，实现較大的磁路截面，故可使骨架的直徑减小），以及提高繞組的絕緣强度（导綫的圓弧形配置，可避免当方形裝置时电場在轉角处的集中，以及較粗导綫在轉折处的絕緣漆層的裂开）。但采用圓形骨架时，由于骨架占去一部份窗口面积，而必須加長磁路长度，因而使磁性材料的用量增加了。

阶梯形截面的結構形状及尺寸如圖8-108所示。

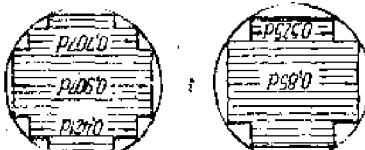


圖8-108 階梯式鐵芯截面

从圖可見，阶梯級數愈多，銅導綫的消耗量減少。阶梯形截面鐵芯常用在大功率变压器柱形鐵芯中，大功率脉冲变压器的T型或十字型鐵芯的截面，也是阶梯形的。

1) 鐵芯的体积。

任何类型鐵芯的体积均可按下式計算

$$V_c = S_c l_c \quad (\text{厘米}^3)$$

为了計算鐵芯磁性材料的重量G_m，应用磁性材料的淨体积V_m ($V_m = S_m l_c$) 与磁性材料的比重相乘，则得 $G_m = q S_m l_c$ (公斤)。

其中q为磁性材料的比重，(对于硅鋼來說， $q = 7.8 \times 10^{-3}$ 公斤/厘米³)。

§ 8-2 磁路的制造工艺

如前所述，从工艺特征来看，磁路分为两种，即冲压叠片制成的和卷繞制成的。

叠片磁路用冲压片裝疊方式制造鐵芯，是最先采用的工艺方法，由于制造过程简单和易于掌握（可用一般设备完成），直到現在仍广泛采用，特別对于厚度較大（0.35及0.5毫米）而带有很大脆性的硅鋼片，这种工艺几乎是唯一可实现的工艺（在这种情况下，不能采用卷繞方法制造）。

叠片磁路的制造工艺过程，包括如下工序：

- 1) 板片的冲制（包括去毛刺），
- 2) 退火和被复绝缘层，
- 3) 装叠及紧固。

1) 冲制板片：

按所組成铁芯的结构要求，将板料或带料在具有相应冲模的冲床中冲成所需要的形状，較通用的板片形状如圖8—201所示。

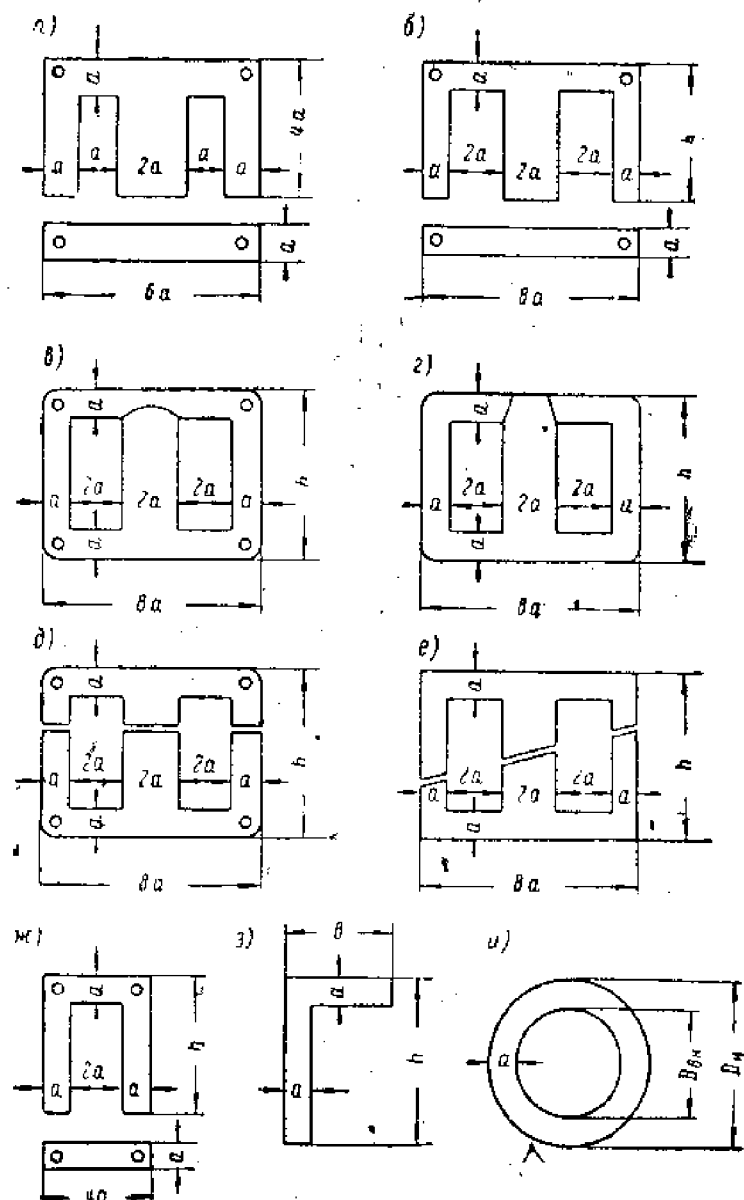


圖8—201 磁路板片的主要类型

- a) 和 b) I形和T形；c) 和 d) 中心柱上具有开槽的封闭式板片；
- e) 和 f) 具有直接缝和斜接缝的剥开式板片；
- g) U形板片；h) T形板片；i) 环形板片。

圖中的a和B均具有标准化尺寸，是最常用的两种形式；C和D的結構形状，可使工艺上不可避免的空隙减小，因为磁路上只有一条切断磁力線的非磁隙；E和F便于配裝成具有非磁隙的磁路，而且其中E圖所示的片子形状，其两半是相同的，这使得可用一个冲模完成；G和H是用来組成柱型磁路的；而I則用来組成环形磁路的。

图8—201a和B中的山形以及H中U形板片的冲压，可以排成無廢料的形式，如图8—202所示。

图中a)的排样，用来冲制U形板片(包括等截面和不均匀截面的)，b)图排样，用来冲制一般型式和 $b=a_c$ 的III形片，而c)图的排样，可用来冲制一般地并且 $b=\frac{1}{2}a_c$ 的III形片。这种排样方案，在冲制过程中，同时完成横板片(横磁轭)的冲制操作。

图8—201的c)、d)、e)、g)和h)的板片形状，由于不能进行無廢料冲压而采用得很小。i)图所示的环形片，几乎已不采用。

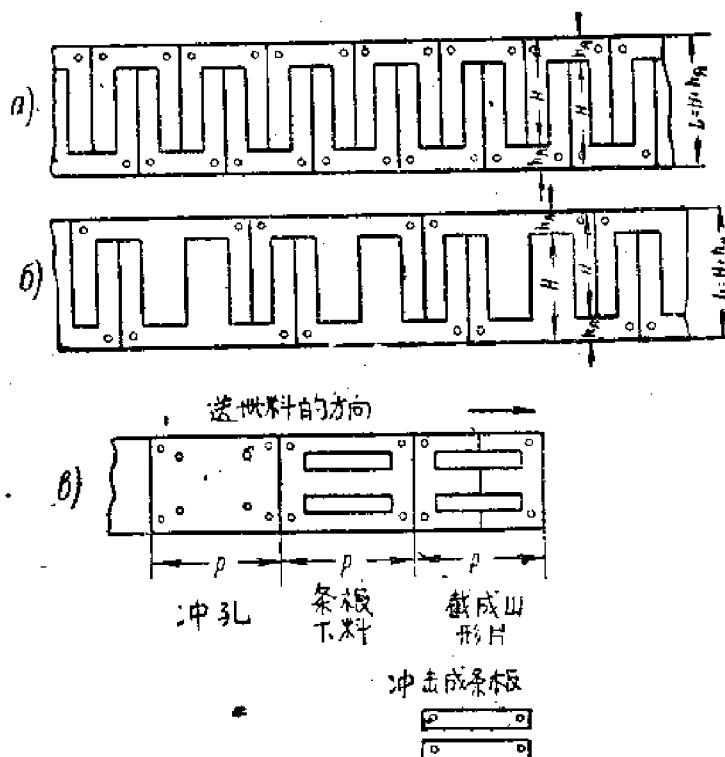


图8—202 板片無廢料冲压的排样圖

a) U形板片的排样；b) III形板片的排样；c) 同时冲压III形片及短条板

厚度小于0.1毫米的較薄板料的冲压，是有困难的，这时易于加速冲模的磨损，同时由于較薄材料的剛度不足，为了得到毛刺較少的片子，就必须預先給予一定的留邊，这样，冲压过程的廢料增加了，而且冲片后的装配过程，常常引起板片的变形。由于这些原因，冲压叠片工艺，不利于制作較薄材料的鐵芯。

大家知道，現代所出产的冷轧鋼和磁性合金，大多数都具有各向异性的磁性能，因而，冲片时，应使磁路中力綫較长的部分与压延方向相符。但是即使已注意到这一工艺原則，在冲片叠装磁路中，仍不能完全避免与压延方向垂直的某些片段，因而使磁性能

得不到充分的利用，这是叠片型铁芯严重的缺点。大尺寸的柱型铁芯，有时用长条形板片装叠成（图8—203），长条的长度方向与压延方向相符，因而，可以部分避免这种缺点。

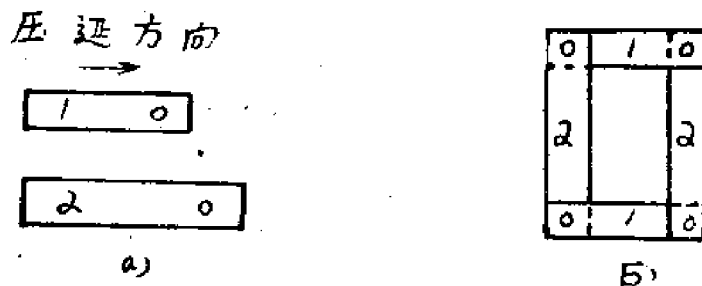
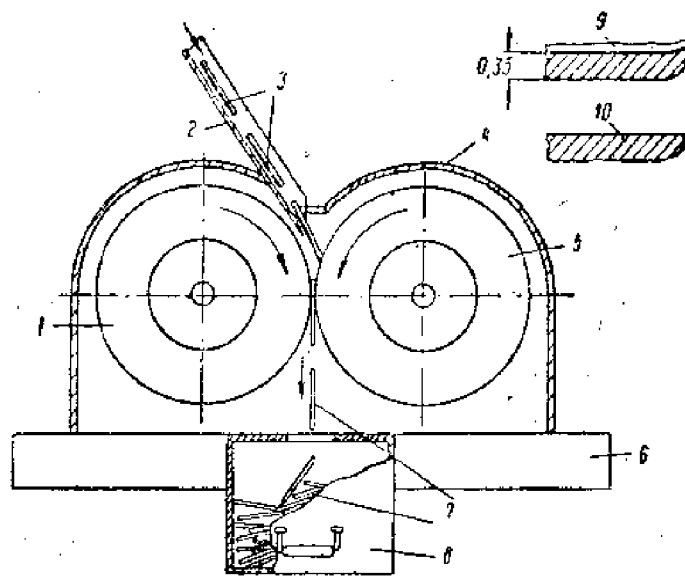


图8—203 用长条形片叠装柱型铁芯。

a) 条形片；b) 叠装柱型铁芯。

而完全消除这一缺点，则有待于采用卷绕型铁芯。

由于冲模的阴模与阳模之间，存在着空隙，因而冲出的板片边缘具有毛刺。毛刺的存在，使装配成的铁芯的占空系数减小，并引起铁芯片间的短接，所以，在冲片之后，必须进行修整（去毛刺）操作，最现代化的去毛刺工艺，是采用加工平板的圆轮磨床，其简图表示于图8—204a），它约基本部分是两个滚轮，在两轮间通过板片，由结实的橡胶制成的传动滚轮1，以圆周速度5—12米/分的速度旋转，由磨料制成的滚轮5，以恒定的圆周速度（30米/秒）旋转，板片带毛刺的一面对着滚轮5，板片的毛刺和凸出的不平坦部分，被轮5磨去。大量生产中，采用同时完成整形和齐片装箱的半自动机，其外形图示于图8—204b）。



a)

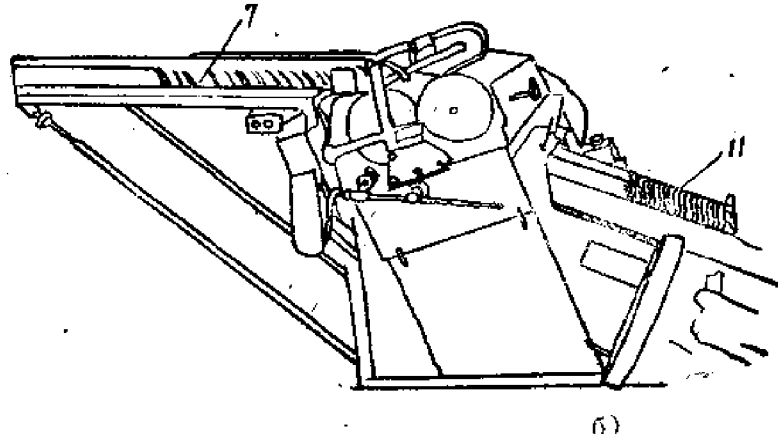


图8—204 a) 去毛刺磨床, b) 齐片装箱半自动机

1—结实橡皮制成的滚輪；2—板片进入磨床的导板；3—未加工的板片；
4—置；5—磨輪；6—基础；7—加过工的板片；8—箱子；9—具有
毛刺的板片；10—去毛刺后的板片；11—准备裝箱的板片。

冲压时，板片的边缘产生0.5到4毫米宽（这宽度依赖于阴模阳模间空隙的大小和钢的牌号）的变形，在这个区域内存在着内应力，并引起磁性能的严重降低。

2) 退火及被复絕緣層：

为了消除金属磁路板片的内应力（在材料生产过程中产生的和冲压裁切过程中产生的），应进行热处理——退火，经退火后，磁性材料的导磁率提高了，而矫顽磁力 H_c 降低了。

作为一个例子，图8—205可表明退火对导磁率的影响。

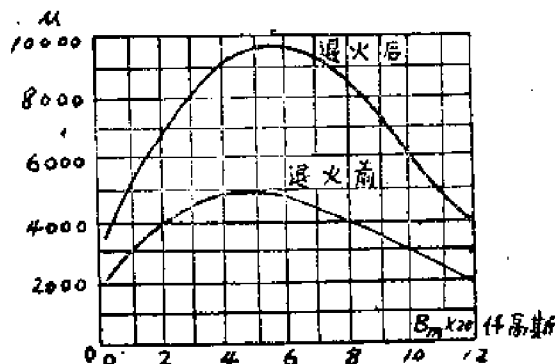


图8—205 对于9Mn钢在经过很好地退火前和退火后的导磁率对感应密度的关系

为了减小磁芯中的涡流效应，磁路板片间必须建立良好的绝缘。实践指出，当频率为50赫而磁感应不高时，用退火（在空气中）时所形成的氧化膜，便可以得到满意的结果，在这种情况下，退火的过程也是被复绝缘层的过程。当频率高于1,000赫，且磁感应较大时，或者，当采用不生成氧化膜的退火工艺时，退火后，须另进行涂复绝缘层工艺。

板片的热处理，可在电气加热的炉内进行，按板片材料的型号和性能的要求，热处理的温度，在800到1,200°C内变化。

热处理工艺有如下几种：

a) 在有限空气中退火：

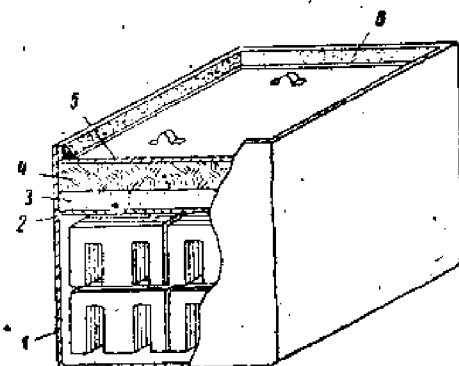


图8—206 在有限氧化介质中退火时所用的箱子及其封口(密封)方法

1—耐热的鋼制箱子；2—内蓋；3—鑄鐵屑層；4—耐火粘土層；5—外蓋；
6—外蓋封口用的耐火粘土。

冲制好的磁路板片装放在图8—206所示的钢制箱（1）中，盖上内盖（2），在内盖（2）的上面，放上铸铁屑（3）（用来吸收退火过程中由于密封破坏而进入箱内的氧气）和耐火粘土（4），再盖上外盖（5），用耐火粘土封好。然后送入加热炉中，待升至最高处理温度时，保持3小时，随后以每小时50°C的速度降温（为了免除板片的弯曲），炉冷却至300°C时，从炉中取出箱子，待箱内温度降至100°C以下后，才能取出板片。

在大量生产中，退火是在具有电加热器和温度自动调节的连续动作的隧道炉中完成的，装有板片的箱子借助于在轨道上的小车，在隧道中向前移动，并经过热处理所需温度和保持时间。采隧道炉比采用其它结构的炉子具有高的生产率，并且节省燃料。

上述退火过程，同时使板片形成氧化膜，氧化膜的厚度与箱内所存留的空气的多少有关，为了生成能用于板片间绝缘的氧化膜（厚度应为10微米到20微米），箱子内所装的板片应占箱子全部容积的30—35%。如果箱子内存留空气过多或因密封不严而进入空气，氧化膜将过厚，而钢的截面相应减小（特别对较薄的板片），此外，这样的氧化膜已成为铁渣，所以不结实，易于裂开或剥落。此时应用腐蚀法把它除去，在腐蚀和中和其酸性后，再用其它方法镀上绝缘层。为了获得极薄的、光亮的氧化膜，有时装入的份量尽可能多的板片，并用石棉屑或纯石英砂填满所有空隙和仔细封口。

6) 在保护性气体(氩、纯氮或离解的氨、氮氢混合物)中退火：

常采用的保护气体为氩气，在氩气中淬火，能使电工钢板和XBII钢板的磁性得到很大的改善，因为如果退火温度为1100—1200°C，则不仅可以消除内应力，而且能培育金属的粗晶粒，从而提高了它的导磁率和降低了它的磁滞损耗。同时也消除了表面层上有害的物质及氧化物。

在氩气中淬火，所采用的具有电热器的炉子的简图示于图8—207中。

图中的说明，已表明了整个设备的各组成部分。氩气在进入炉子之前，应除去其中的残留氧气和潮气，其中的氧气（经过装置A）为其中加热到600°C的铜屑或铝屑所吸收。通过装置D使氩气冷却后，再在装置B中除去潮气，炉子在开始加热的同时，通入氩气，从而将炉内所有空气从阀2驱出。此后，在退火的整个过程中，保持氩气的供给，并从此建立对被退火板片的保护性气圈。

在排除了箱子和管道内的空气之后，才可以点燃从管 2 排出的氢气，所点燃的火焰 3，可指明通过设备内的氢气是否正常。

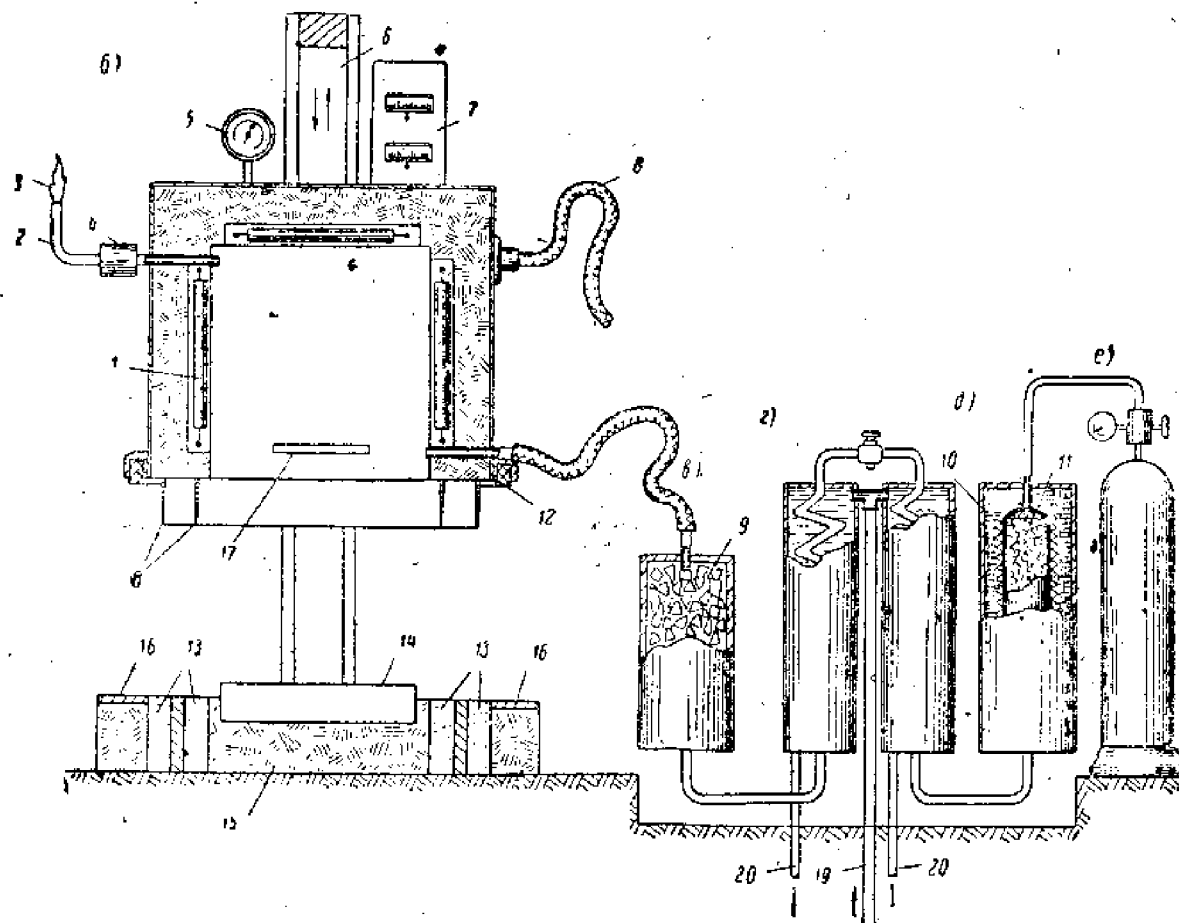


图2—207 在氢气保护气圈中退火用的炉子简图

- a) 控制台; 6) 具有电加热的炉子; 3) 吸收潮气的装置; 1) 冷却器; 4) 吸收氧气的装置; e) 具有氢气的钢瓶;
- 1—加热器的元件; 2—流出氢气的阀; 3—火焰; 4—预防火焰侵入炉内的装置; 5—热电高温计;
- 6—升降机机架; 7—气压表; 8—供电电缆; 9—吸潮器; 10—电加热器; 11—铜或铝屑;
- 12—硬橡皮制成的垫片; 13—具有石英砂的坑; 14—炉基; 15—基础; 16—钢板铺成的砾带;
- 17—热电偶; 18—耐热隔板; 19, 20—送入和排出冷却水的管道。

采用氢气作为保护介质，有爆炸的危险。因此，在所有不必采用氢气的工艺条件的情况下，应采用别的退火方法。

b) 在真空中退火

在真空中退火时，由于强烈地清除了板片表面所吸附的氢气、氧气，而使磁性材料磁性能得到显著的改善。由于不消耗氢气而比在氢气中退火更为经济。图2—208示出在真空中退火的装置简图。板片放置在装置于加热炉内的耐热钢制的密封小室内，小室与真空泵相连接，并在整个退火过程中建立1—5毫米水银柱的真密度。

退火温度和抽空程度可用热偶高温计及真空计来监视。

后面的两种（在氢气和在真空中）退火，在板片表面不生成氧化膜，也称为亮焰火，因此，在退火后用化学方法或涂复绝缘漆的方法，在板片表面挂上绝缘膜。化学方法也称谓磷酸盐处理，即在板片表面上挂上磷酸盐薄膜（磷酸盐处理工艺可参考第二章），

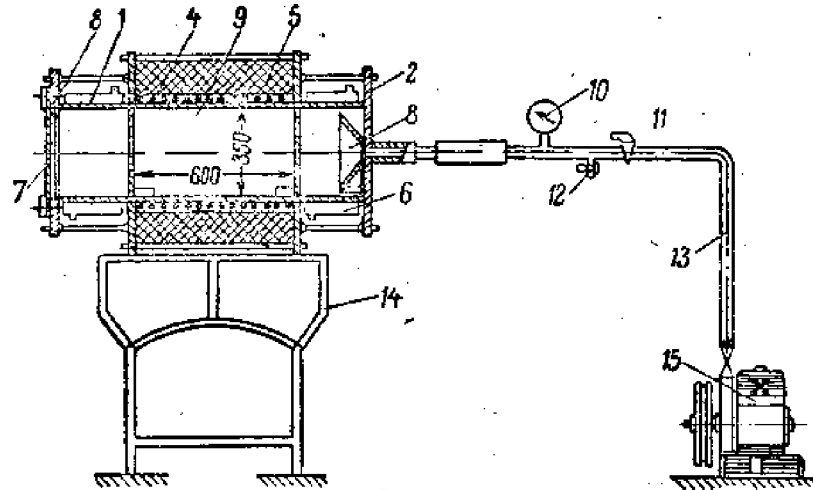


图8—203 真空退火炉的简图

1—石英管 2—连接到真空泵的凸缘 3—真空橡皮制成的衬垫 4—加热元件 5—具有石棉绝热层的外壳 6—冷却水套 7—用螺钉收紧的门 8—反射器(对于热辐射) 9—炉子的工作空间 10—真空气计 11—开关12—取消真空的开关 13—抽真空的管道 14—台架 15—真空泵。

这层膜由磷酸铁和磷酸锰的混合物组成，具有几乎是黑的深灰色。由于它本身是多孔性的，所以具有很高的附着能力。当复盖层的厚度为5—8微米时，它的直流电阻约为2—3欧/平方厘米(板片的两面)。如果在这膜层上再抹以变压器油或浸以稀薄的酚醛树脂，其电阻还能大大提高。实践指出，当变压器或扼流圈工作于频率为1000赫以下，而且磁感应不大高时，可采用这种薄膜作为板片间绝缘，当更高频率和磁感应更大时，就必须在板片的一面或两面涂复绝缘漆(一般用无色硝基纤维漆)，频率愈高和磁感应愈大，则所需的漆层厚度愈大。

复盖漆层，可以用喷雾器进行。也可采用涂复漆的设备。这种设备的简图示于图8—209中。板片由输送带送至旋转的辊子4和3，由它们的中间通过并蘸上漆，当单面涂漆时，板片在输送带上排成连续的，这时只在辊子表面上具有漆液。当双面涂漆时，板片在输送带上排成间断的行，在板片间断时，辊子4上也蘸有漆液，并转涂在板片的表面上。在涂复漆设备的出口，输送带把板片送至具有红外线加热的隧道式干燥器中，将漆层干燥，这种干燥器的简图示于图8—210中。

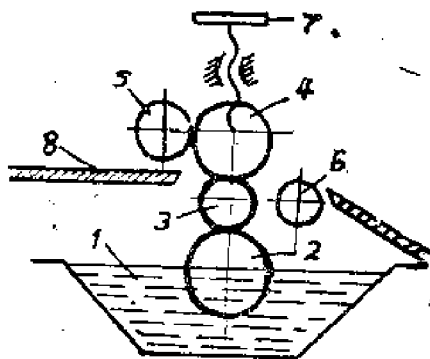


图8—209 变压器铁芯板片涂漆装置简图

1.具有粘接剂的槽；2.供漆液的辊子；3.使铁片下表面涂漆的辊子；4.使铁片上表面涂漆的辊子；5.齐片辊；6.导向辊；7.机械夹紧和空隙调整装置；8.工作台。

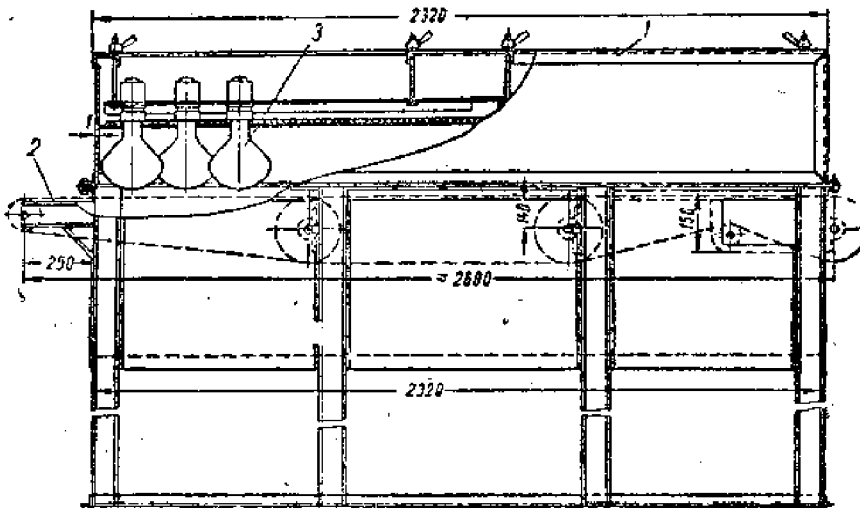


图8—210 具有红外线加热的传送带式干燥器

1—外壳 2—传送带 3—红外线辐射管

应当注意的是，退火后的板片应避免机械作用（撞击，强烈地拉伸，压紧等），更不能再次进行机械加工，否则，其磁性能又大大降低，特别是对于象坡莫合金等对机械作用敏感的材料。

3) 装叠及紧固：

将按上述工艺过程制成的板片装到带有绕组的骨架中去可有两种型式：“交叠式”和“对接式”（见图8—211）。经验与分析表明，装叠型式及紧固工艺，同样影响叠片型铁芯的电磁性能，装叠型式，对电磁性能的影响是由于空隙的存在所引起的，因为空隙（特别是切割力线的空隙）将引起磁阻的增加，从而使铁芯的有效导磁率降低。现在让我们对前述的两种装叠形式作比较：

图8—211所示的对接式铁芯，具有切割力线的空隙4（称为非磁隙），这将使磁路引入串联的磁阻，因而总磁阻增加了。但在某些情况下（见后面所述），当磁路要求引入最佳非磁隙时，这种装叠形式是必需的。为了获得一定尺寸的非磁隙，装配时，可在横接合处垫上一層或几層电容器紙或电缆紙。

交叠式装叠时，铁芯交接处的力线分布如图8—211B所示。由图可见，在板片的横接合处，有一部分力线通过侧旁的板片，因此横接合空隙对磁阻的影响相对地减小了。由于叠片间叠合面很大，在多情况下，几乎所有力线都不通过横接合处，而磁阻只取决于旁路磁阻。所以说，交叠式装叠有利于磁阻的减小。但是切断板片处的旁路磁通，使侧旁板片的这一区域的磁通密度增加。如果这种增加导致磁性材料的局部饱和，则该部分材料导磁率将下降，使得磁阻增加，交叠愈稠密（即交叠次数愈多），磁通密度增加的区域愈大。为了避免这种情况，有时不采用单片交叠式，而采用多片（2—4片）交叠式（见图2—211）。高导磁率的材料，一般具有低的饱和磁感应，易于因此而造成局部饱和，所以该种材料的铁芯宜用多片交叠式装叠。

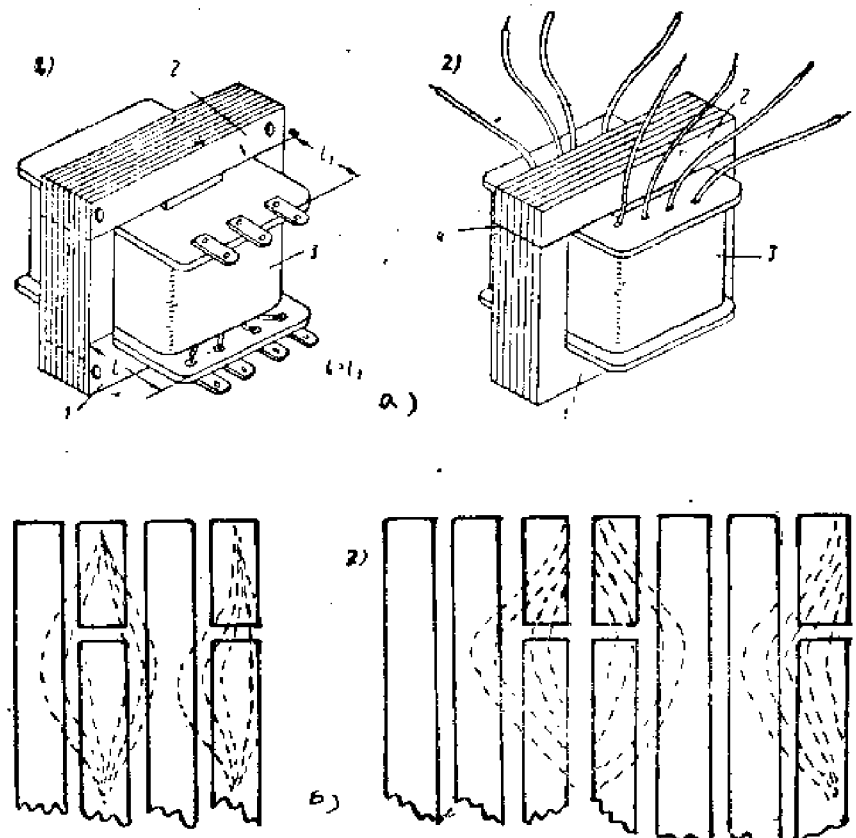


圖8—211 a) 裝置鐵芯板片的兩種結構形式：1) 交疊式；2) 對接式。

1 — U形板片 2 — 橫條板 3 — 線包 4 — 磁路的非磁隙
6) 交疊式裝置板片接合處磁通分布圖 1) 單片交疊式 2) 雙片交疊式。

从工艺观点来看，对接式装叠比交替片装叠操作简单，并易于机械化施工。因为板片不须一片一片的插入。当小批生产时，装叠工作是用手工完成的，装叠后，仍用手工方法进行紧固。为了改善叠片的占空情况，紧固前，还要经过一次压紧工序。压紧工作一般都在螺杆压床上借助于压紧工具（图8—212a）完成。加压时，单位压力以不超过每平方厘米40公斤为限（以免片间绝缘变坏，为此，任何情况下不得超过70—80公斤/厘米²），压紧后，再用锤敲入几片（4—6片），以保证线包紧紧地固定在芯柱上。

叠片的紧固一般用通过预先在板片上冲出的安装孔的收紧长螺钉或双头螺栓完成，这些螺钉或螺栓应该与片子绝缘（用纸胶管或电缆纸包好），以防止板片互相短接。由于板片上冲出的孔占去了铁芯一部分截面积，铁芯局部磁感应密度相应增大，这将引入附加损耗。对于小尺寸板片，这种效应更显著。因此，小型磁路，可以用U形夹壳（图8—212）进行紧固。

在大量生产中，采用各种不同的具有复杂运动系统的自动机来装叠磁路，图8—213所示的示意图是其中一种用机械化装叠U形片和横片的方法。

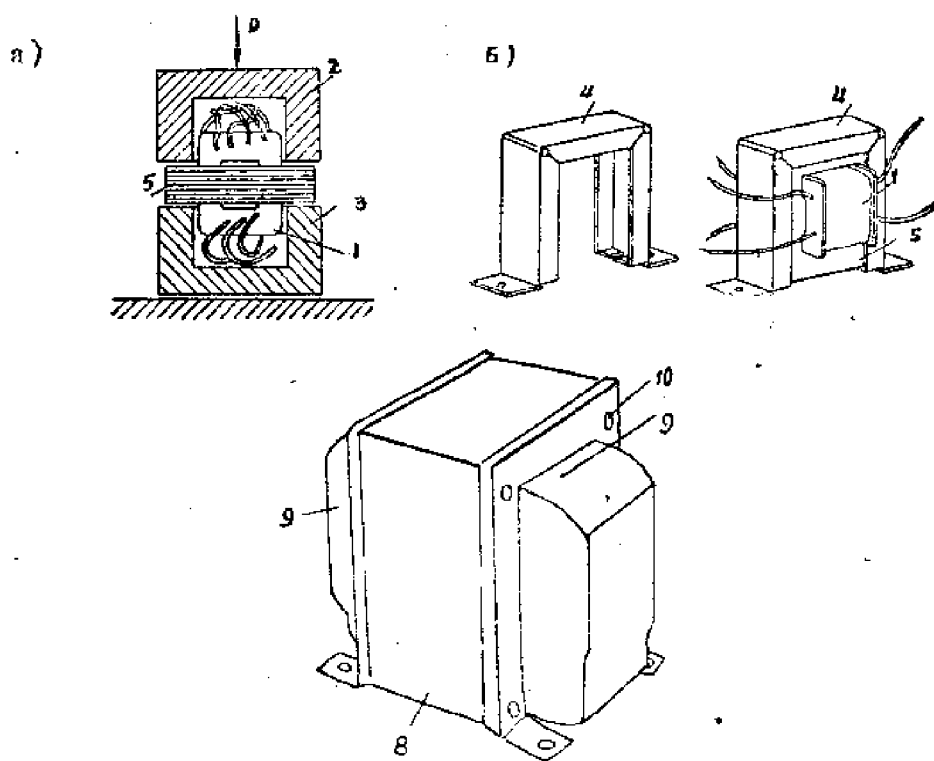
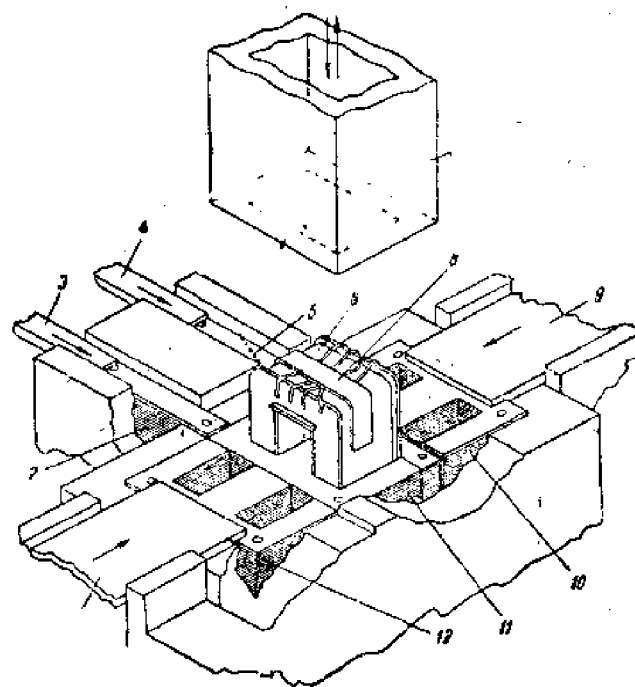


圖8—212

a) 壓緊工序的工具。b) 用U形夾壳來緊束磁路 b) 具有屏蔽罩的裝配好的變壓器外形
1—樣包；2—上壓模；3—下壓模；4—U形夾壳；5—磁路；8—磁路；9—屏蔽罩；10—收緊螺栓。



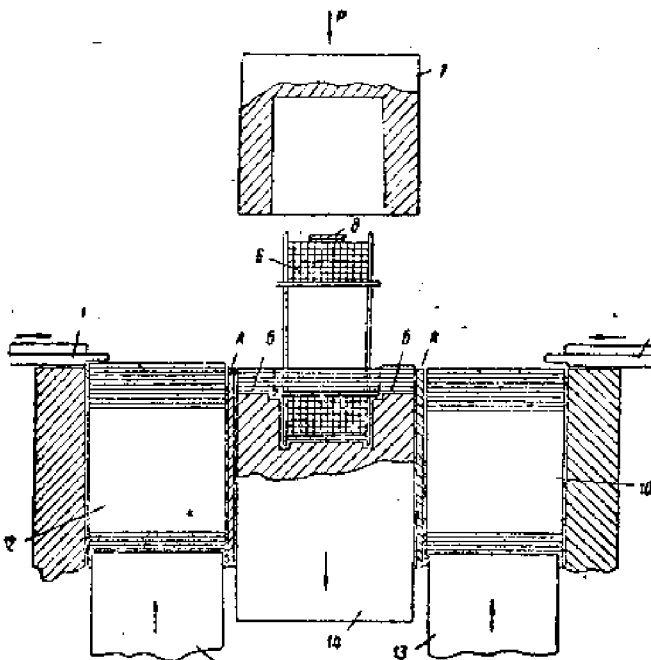


圖3—213 从U形片和橫条所組成的磁路的机械化装配示意图

1, 9—U形片的推片板 2, 5—具有横条片的推片匣 3, 4—横条片的推片板 6—线包
7—压紧叠片的上模 8—压紧引出线用的U形夹 10, 12—U形片的推片匣
11—磁路叠片已装叠好的部分 13—供给U形片的机械(供给横条片的机械, 与
此具有相似形式) 14—线包的框架。

从圖可見，自動機各部分協同動作的結果，使裝疊板片（交疊式）和壓緊工作的工
序相繼完成了。

環形鐵片以及沒有收緊螺栓的其他鐵片，有時也用膠合法進行裝疊和緊固，一般采
用膠木漆、BФ-4膠和其他膠合劑進行膠合；這些膠合劑具有絕緣性能，因此，沒有必要預先在鐵片上形成氧化膜及複磷酸鹽膜和漆層。

表徵磁路質量的重要因素是占空系数。占空系数的大小，決定于鐵片表面的質量
(光滑程度)，鐵片的弯曲程度，是否存在毛刺，絕緣膜的厚薄，材料厚度的均匀程度，
以及固緊另件對疊片的壓緊程度等。而所有這些因素，除與原材料質量有關外，還與磁
路的製造工藝有關。並且，在某些情況下，為了提高占空系数所採取的措施，可能與提
高磁路的其他性能（如提高材料導磁率）有著矛盾。比方說，增加對疊片的壓緊程度，
將導致片間絕緣及材料磁性的變壞；而增加絕緣層厚度，却又降低了占空系数。解決這
些矛盾應從具體情況出發，對於坡莫合金來說，由於其磁性能對機械應力特別敏感，因
而不能為了謀求高的占空系数而增大對疊片的壓力，對於工作能在較高頻率的磁路，不能
謀求高的占空系数，而減薄絕緣漆層的厚度。

II. 卷繞磁路

用卷繞方法製造磁路，與前述疊片方法製造磁路（以U形鐵片疊成的壳型磁路為典
型）相比較，具有一系列優點，其中主要的如下：

(晶粒取向鐵)

- 1)可以作成磁通方向與壓延方向一致的磁路，充分地利用了各向異性的磁性能，因
而，在得到同樣的電感量的條件下，可以減少磁性材料的消耗，減少制品的重量和尺寸。
- 2)可以採用很薄的材料（達20微米厚度）來製造磁路，因而可減少渦流效應（渦流損

耗及磁集脣效应)的影响。这也使得变压器及扼流圈在满足一定的电性能下减小尺寸和重量。

3)可以扩大对施工过程的监视，因为磁路性能可以在与绕组連結以前进行检验。

4)制造工艺过程易于机械化和自动化(从后述的工艺中理解)

由于上述的优点，愈来愈多的采用卷繞方法来制造具有各向异性磁性的材料的磁路，但当板料較厚时，采用卷繞方法加工有困难，因此这种工艺只限于厚度在0.35毫米以下的条料或带料中采用。

卷繞型極路常用的結構如圖8—214所示。

从圖8—214可見，卷繞極路具有切开的和不切开的两种型式。切开磁路的优点是繞組的裝置简单，可以得到所需的非磁隙(当必需时)。不切开的磁路必需用特殊的繞線机(环形繞綫机)或手工方法(穿梭方法)来制造，可以得到完全沒有非磁隙的磁路。卷繞磁路制造的工艺过程，如圖8—215所示。从圖可見，在进行磁路卷繞以前的所有工序，都不依賴于磁路的结构，而以后的工艺过程随磁路型式和加工方法的不同而异。現在讓我們簡單地討論各个主要的工艺过程。

1)带料的清潔

为了使材料表面的污垢和防锈油脂不弄脏后面的加工设备，及影响加工质量，必需进行清潔，为此，先将带料卷放在溶剂中几小时，然后在具有汽油或丙酮槽的专门设备(圖8—216)中使带料拉过槽內的两塊細毛毡塊之間。

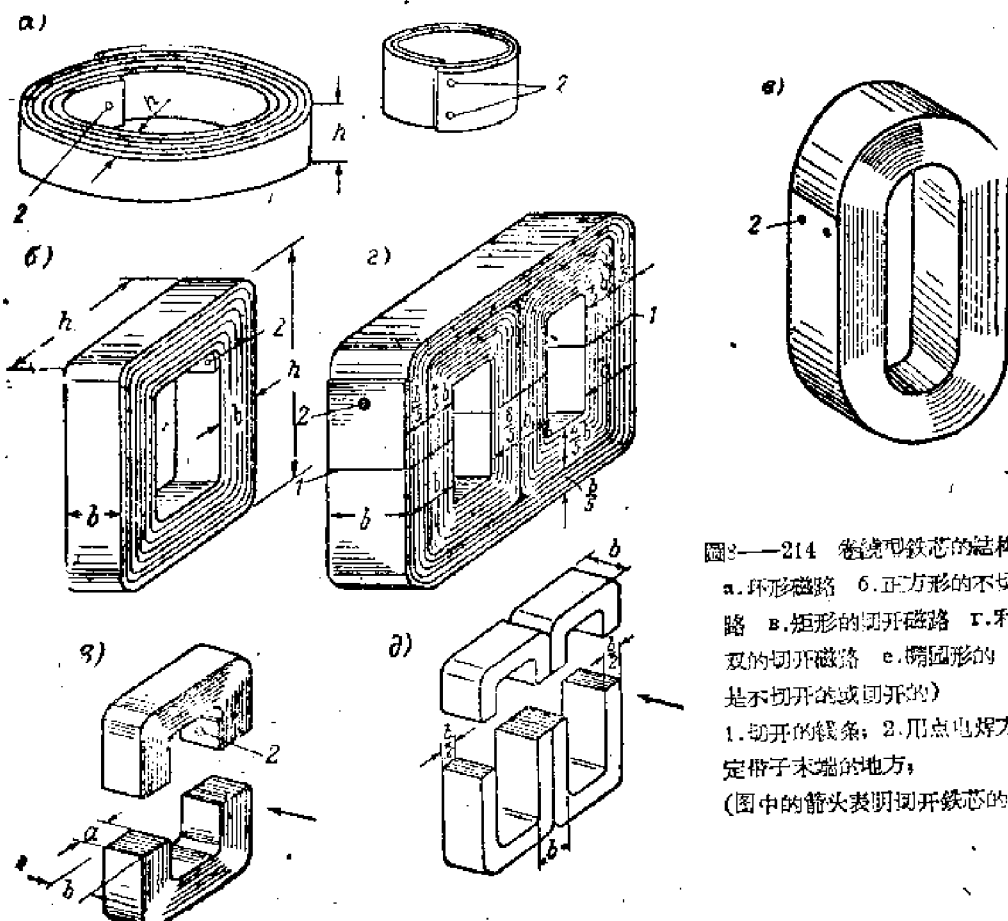


圖8—214 卷繞型鐵芯的結構型式：
a. 环形鐵芯 b. 正方形的不切开磁路
c. 矩形的切开磁路 d. 成对的切开磁路 e. 橢圓形的(可以是不切开的或切开的)
1. 切开的线条；2. 用点电焊方法固定带子末端的地方；
(图中的箭头表明切开铁芯的方向)

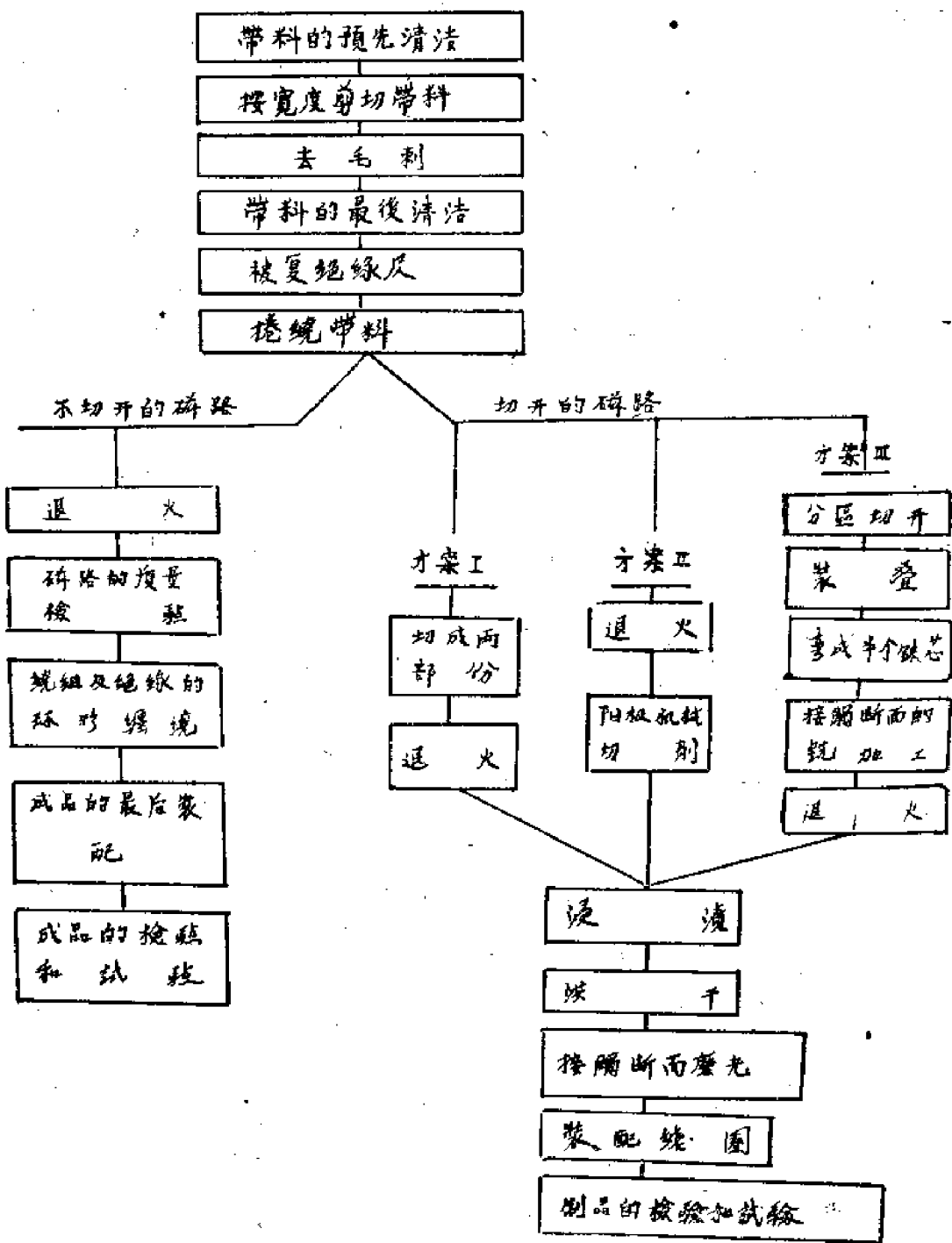


圖8—215 制造卷帶型鐵芯的工藝過程圖

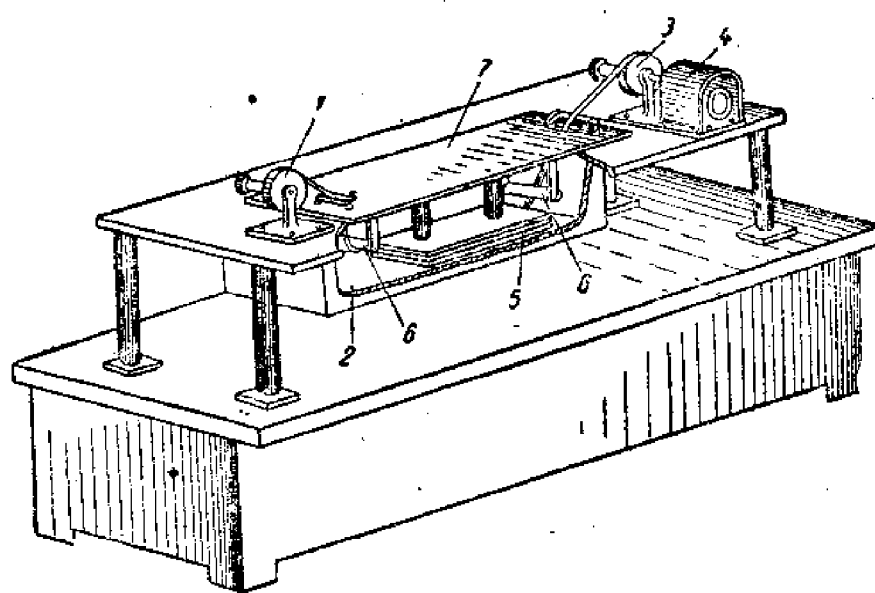


圖3—216 帶料的清潔和脫脂設備的簡圖

1.原始帶料盒；2.槽；3.收集盒；4.具有減速器的電動機；5.細毛氈墊塊；6.導向
軌子；7.蓋。

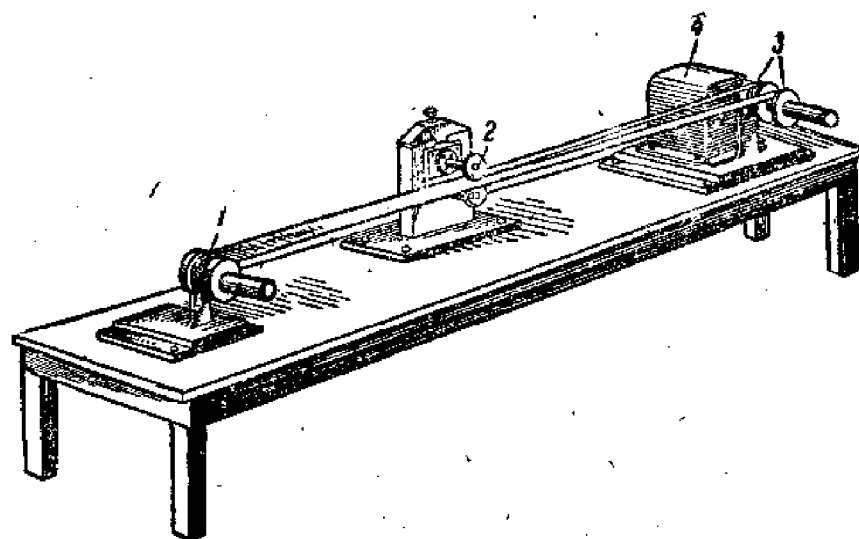


圖3—217 剪切帶料的剪床簡圖

1—原始帶料盒 2—剪頭 3—收集盒 4—電動機

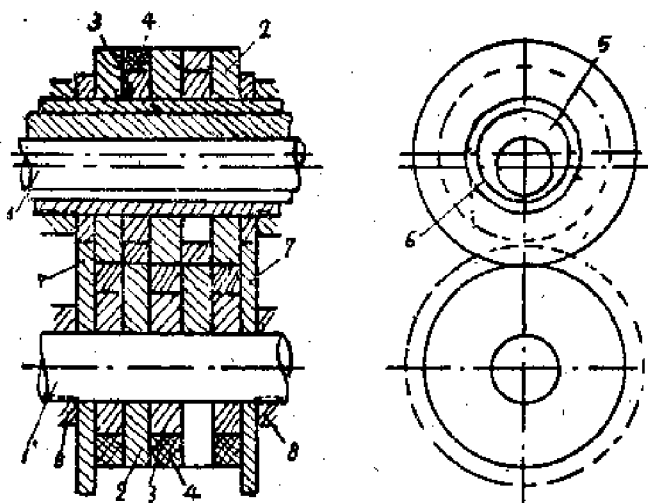


图8—218 具有盘形刀的剪头

1.小轴 2.盘形刀 3.衬基环 4.橡皮垫环 5.偏心套筒 6.套筒 7.定位的钢板
8.收紧螺母。

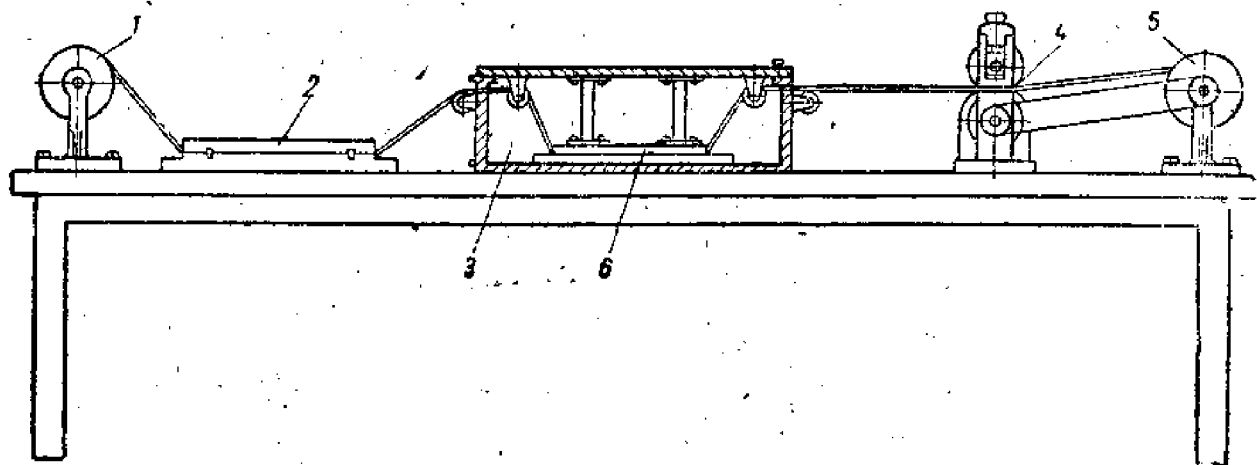


图8—219 带料机械去毛刺的装置简图

1—原始帮料盒 2—具有研磨表面的板塊 3—脱脂槽 4—轧輥的輥子
5—收集盒 6—毛毡块

2) 剪切带料

按所需的宽度剪切带料是在辊子剪床(图8—217)上完成的。其中的具有圆盘切刀的剪头示于图8—218。利用这种设备可以剪切0.1—0.03毫米的带料，剪切速度为40—50米/分。厚度小于0.03毫米的带料，由于刚度小而很难在辊子剪床上剪切。

3) 去毛刺

去毛刺可用机械法或电抛光法进行。用机械法去毛刺的专门设备可以具有图8—219所示的形式。这个设备使带料表面磨去毛刺、去脂，以及在钢辊子中轧辊。经过

这种设备的加工，带料的表面就具有较好的质量。

经轧辊后，带料厚度减小了 0.001—0.002 毫米，宽度相应地增加了 (0.1—0.15) 毫米，但宽度的增加实际上不影响铁芯的质量。此外，在剪切时，可以考虑到带料宽度的增加。

用电解抛光方法去毛刺的本质是在电解过程中阳极上的金属被溶解。其中，显微的凸起部分（即毛刺）由于电场集中而首先被溶解，凹部则不被溶解，直到得到光滑的表面。电抛光去毛刺时，可采用图 8—220 所示的装置，先将带料卷绕在陶瓷型心

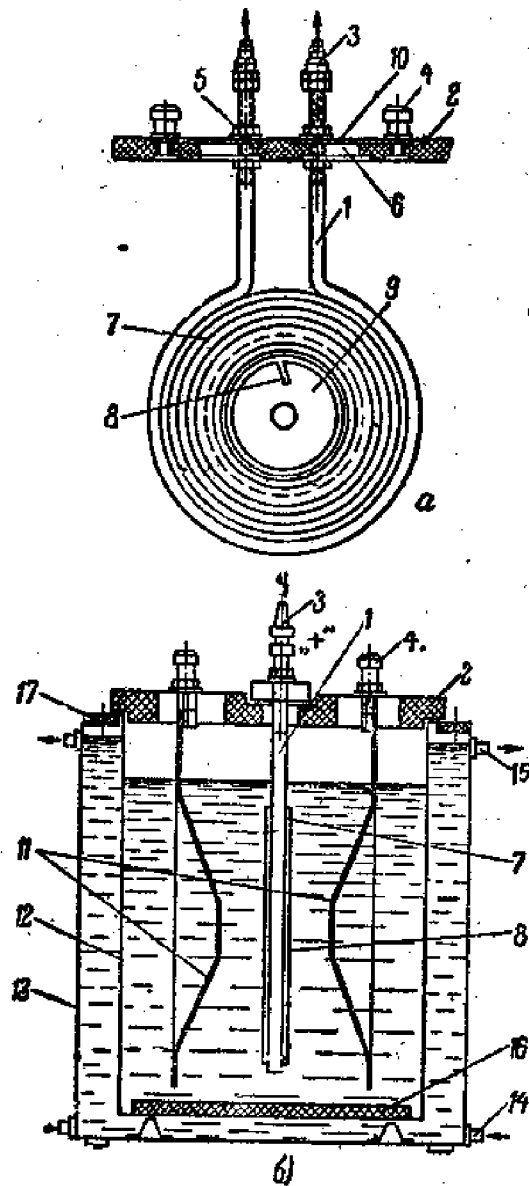


图8—220 带料的电抛光

a) 装夹带料的工具; b) 电抛光装置简图。

- 1—空心钢管 2—绝缘板 3—管接头 4—接线柱 5—螺母 6—
- 垫片 7—带卷 8—固定第一匝的地方 9—陶瓷型心 10—接触板片
- 11—阴极 12—槽 13—外壳 14—供给冷却水的管接头 15—排水
- 管的接头 16—与槽底隔离的玻璃板 17—衬垫。

上，并插入专门的装夹工具中（图 8—220a）。在进行电抛光之前，先浸入具有二氯乙烷的槽内，在 5—6 分钟之后，取出干燥并以甘油浸渍（这一工序有助于金属的选择性溶解），然后放入电抛光装置（图 8—220b）中，并接上直流电源正极。抛光装置槽内的电解液是浓磷酸及浓硫酸的溶液，其阴极为一切断的锥体，应布置得与卷的端面平行。

这种阳极的结构保证沿两个加工表面上的电流密度均等，电解过程时间平均为 5—10 分钟。此后，放入中和及清洗的溶液中。由于在电解过程中会发热，电解槽及装夹带卷的工具均需进行水冷。

与机械方法相比，电抛光去毛刺，提供更好的加工质量。

4) 被复绝缘层及卷绕磁路毛坯

因为被复绝缘层以后要退火，所以绝缘层应该耐热并经受得住退火的高温。绝缘可采用滑石粉二氧化钛，硅酸盐和其他无机材料。

用电泳（即电渗）法具有最好的质量。电渗现象的基础是悬浮胶液中的粉状物质在直流电场的作用下移动（泳向负极），并沉积于带料的表面上。绝缘层的厚度，可用悬浮液的浓度，流过的电流密度及时间（即速度）来控制。

被复上绝缘层通常与卷绕铁芯工作在同一个联动设备上完成，这个联动设备的简图示于图 8—221。

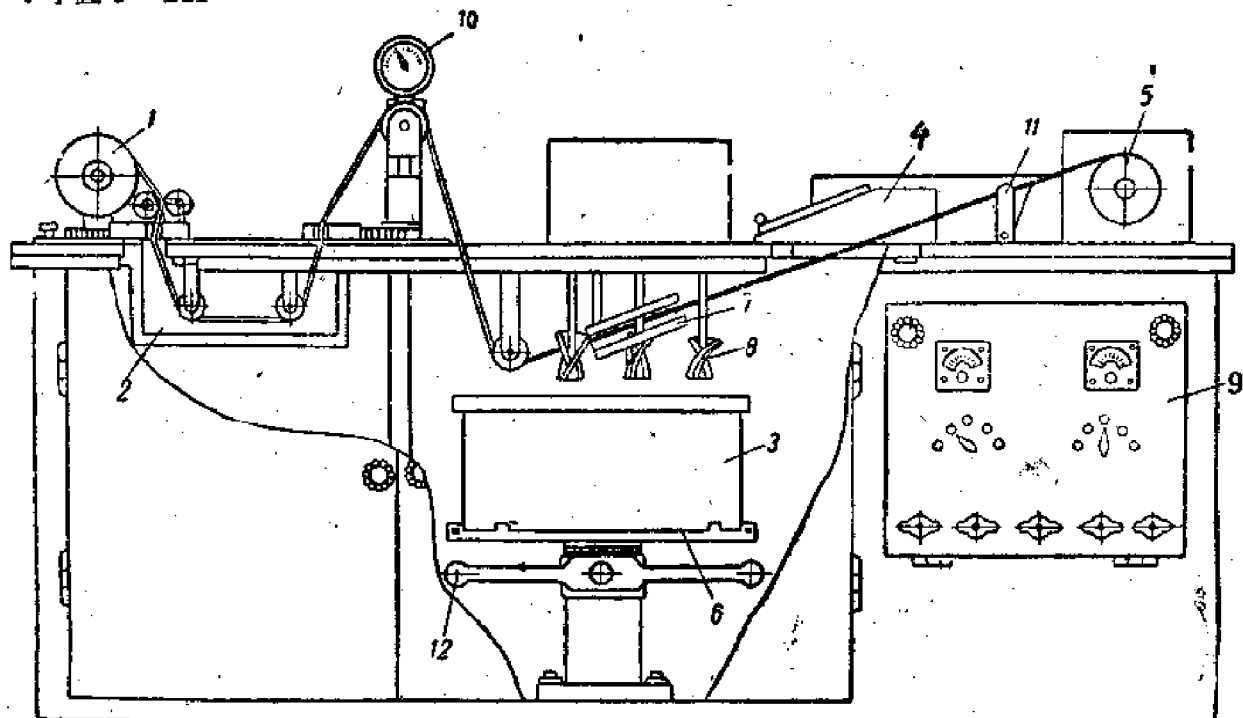


图8—221 电泳——卷绕设备简图

- 1—具有制动装置及盒子轉軸的圓柱形箱 2—脫脂槽 3—具有悬浮液的槽
- 4—干燥箱 5—卷繞裝置的收集盒 6—升降台 7—电极 8—搅拌机构 9—控制台 10—测力計（检验拉紧程度） 11—夹紧海绵 12—升降台手柄

卷繞时的拉力，决定于材料性質，帶料的厚度和寬度，可大致的按圖 8—222 的圖表決定，对于坡莫合金，可采用由圖表所確定的拉力。对于XBII，可以采用較大的拉力。

所制成的鐵芯性能的同一性，在很大程度內决定于繞匝間絕緣質量和占空系数，为此，这一工序非常重要，应当特別注意电泳的状态及拉力是否選擇得恰当，并保持在整个过程中电泳状态和拉力的恒定。

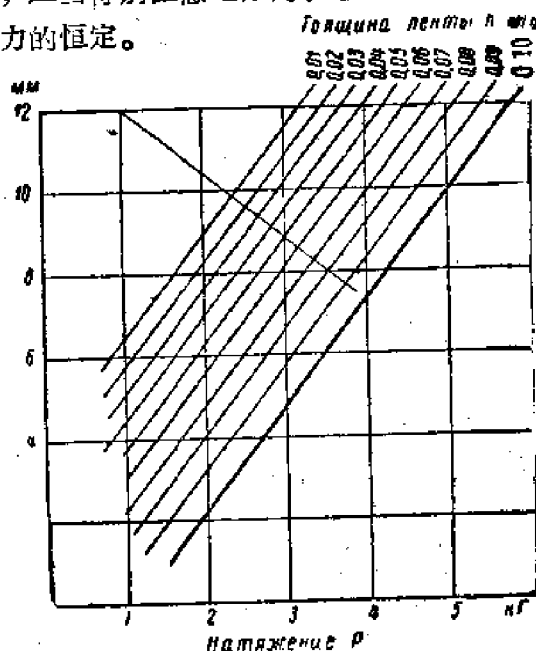


图 8—222 卷繞帶鐵芯時決定拉力的圖表

卷繞到所需要的繞匝后，剪断帶料，并借助于两个尖銳的銅電極，对帶的末端进行点焊固定，焊点之間应互相离开1.5—2毫米。

5) 不切开磁路卷繞后的工序：

如果所制造的磁路为不切开的，则在卷繞后即可进行退火，在这种情况下，退火的目的只是消除材料制造、剪切和卷繞时所产生的內应力，不需产生氧化膜（已被复絕緣层），因而，通常都采用真空退火和氢气退火。

退火之后，对磁路的匝間絕緣和磁性能进行檢驗。匝間絕緣情况的檢驗，是通过对始匝与末匝間电阻測量得到的，当絕緣质量良好时，这个电阻應該接近同样长度帶料的电阻。

鐵芯磁性的測量可用圖 8—223 所示的裝置进行。这裝置的特点，是环形鐵芯的初級及次級測試繞組作成模夾具的形式，即把繞組的橫向切成两半，測量时把鐵芯放于其中后再接合起来。其中被切开的每根繞組導線的接合处，通过接插件进行电气的接触。測量的線路原理，与一般測量磁特性線路相同（見电工測量課）。

进行磁性檢驗以后，便可以进行繞組的纏繞以及后面的工序。

6) 切开磁路卷繞后的工序

制造切开磁路时，在卷繞后，可用三种方法进行。

第一种方法的特点，是用一般的机械切削方法进行加工，加工后的鐵芯材料，存在着应力，因而退火必須安排在机械加工之后。

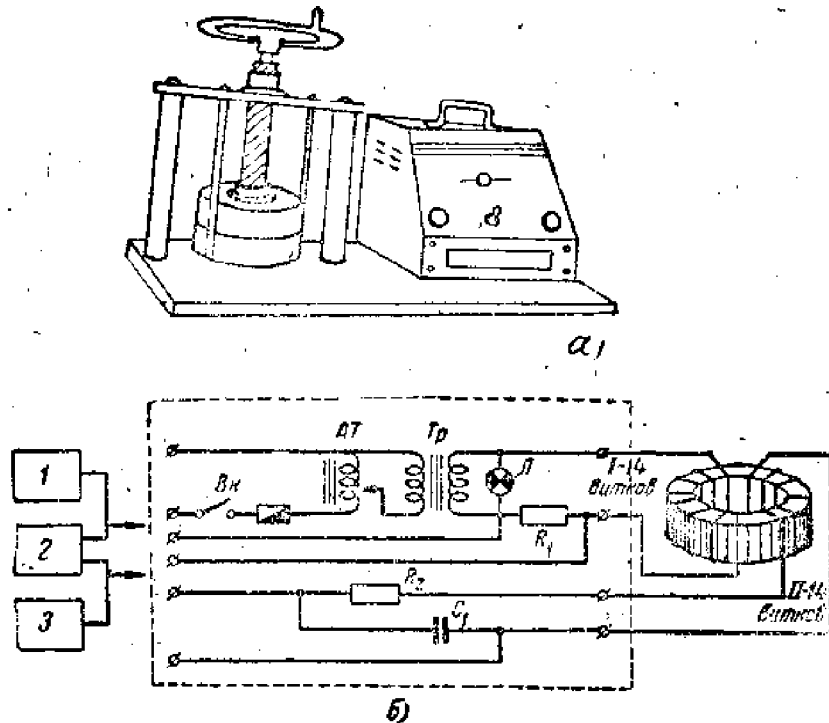


图8—223 檢驗鑄鐵型鐵芯磁性用的裝置

(a) 裝置的外型 (b) 裝置的原理線路

1, 2—真空管電壓表。—示波器

第二种方法的特点是用电火花方法进行切割（也称陽極机械切割），这种方法不会使材料引起內应力（此外还能保証很高的表面質量，使相繼的接触断面磨光的工序简化，而且生产效率也很高），因而可在切割加工前进行退火工序。

第三种方法是用一般的机械切割，将絕緣好的带切断成单块的条料并装置成束，然后用装在銑床上的模夹具弯成U形，并銑平接触端面。所經過的这些机械加工，均使材料产生內应力，因而退火必需在这些工序之后。

用上述不同方法加工后，将得到半个铁芯的初形。再經過工艺过程圖所示的共同工序后，便最后制成了铁心。其中浸漬及烘干工序，是为了加固和保护，接触断面的精磨，是为了使接合处得到准确的和極小的非磁隙。

§ 8—3 線包的結構

变压器及低頻扼流圈線包的结构除了保証所要求的电感量或初级电感量以外，还需要满足损耗功率、抗电强度、分布电容和漏感，机械牢固性、尺寸重量，以及工艺性、經濟性等方面所提出的要求。选择線包的结构类型，以及設計其结构参数（包括匝数和几何尺寸等）都从以上的要求出发。

I. 線包的类型及其結構特点

按结构特征分为有骨架和無骨架两种。在有骨架線包中，繞組导线缠绕在絕緣材料

制成的骨架上。骨架可以是無凸緣的，有凸緣的和有分段凸緣（中間隔板）的；在某些情况下，骨架具有与高頻电感线圈相类似的结构形状；这种结构线包的优点是机械强度和绝缘强度高，而且可用于绕组的复杂配置和绕法。在制造无骨架线包时，先将导线缠绕在专门的芯模上，绕完后退出芯模，并用棉纱把绕匝绑紧，然后用漆或沥青浸渍或用树脂灌封。与有骨架的线圈相比，这种线圈的优点，是尺寸稍小及造价较低。但机械强度和绝缘强度较低，并且不能用来实现绕组的复杂配置和绕法。

按绕组配置的结构，线圈可分为层状配置和盘状配置两种形式。每一种配置都可作成交替式的和非交替式的（见图 8—301）

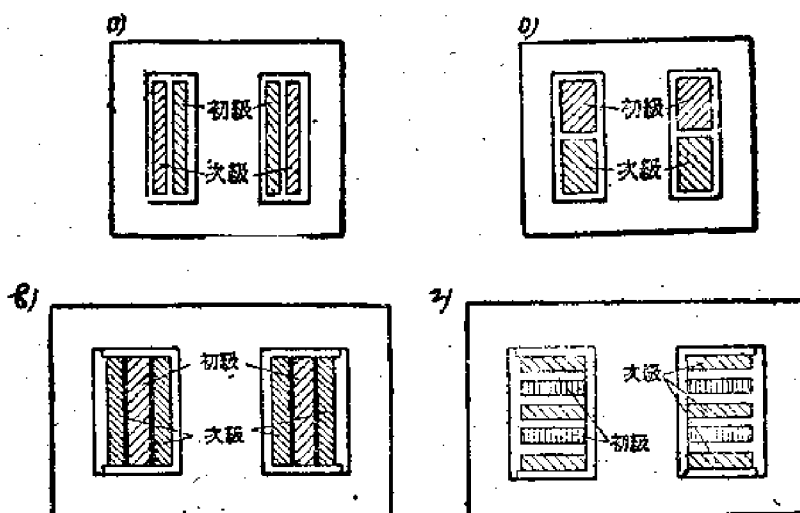


图 8—301 变压器线包配置的结构形式

a) 层状非交替式 b) 盘状非交替式 c) 层状交替式 d) 盘状交替式

所谓“交替”，是指初级与次级的交替。此外，对于层状配置的线圈，还可以采用分段绕法，此时每段内既有同名绕组，也有非同名绕组（见图 8—302）

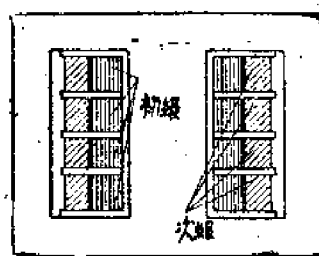


图 8—302 变压器线包的层状分段配置

非交替式层状线圈在结构制造上是最简单的。交替式比非交替式线圈有小的漏感和大的分布电容；交替次数愈多，则这一特点表现得愈显著。对于非交替式或具有相同分段数的交替式线圈来说，层状配置具有较小的漏感（小 2—3 倍），但当交替次数增

加时，工艺过程较复杂化，线包的造价将显著增加，而且线包的占空系数降低，因而不能采用过多的交替次数，一般仅采用二次交替方法来进一步减小漏感。层状配置时的分布电容较盘状配置大。由于上述这些原因，一般非交替式盘形线包极少采用，而经常采用的是具有较多分段（但 $< 7 \div 9$ 段）的交替式盘状线圈，以便达到既减小漏感又能获得小的分布电容的目的。此外，当匝数较多时，盘状配置线包中绕组在各分段内的层数较多、层间电位差较小，因而对层间绝缘要求较低（当变压器的工作电压较高时，这一点很重要）。但由于这种配置的价格高，而且机械强度低，所以只有当电压较高和匝数较多的情况下才采用它。分段层状配置与盘状配置相比，具有更小的漏感和分布电容，并同样具有层间绝缘要求低等优点，但是，当交替次数较多时，工艺更为复杂，价格高昂，只有对减小寄生参数要求更高和工作电压相当高的情况下才采用。

绕制多层线圈时，常采用的有分层绕（排绕）和乱绕（堆绕）两种绕法。分层绕法的特点是相邻绕匝间是并排列的，乱绕法的特点是相邻两匝间不并排列，所以也称为不规则绕法。乱绕法的优点是制造简单而价廉，当导线较细时，有较大的铁芯窗孔占空系数，但导线直径超过0.4~0.5毫米时，差不多完全不用（因为不均匀和不规则使占空系数变得很小）。即使导线较细时，也很少采用，因为在这种情况下，用最常用的绕组导线——漆包线缠绕时，容易发生短路匝的危险（因为，当采用这种绕法时，由于导线厚度不均匀和骨架的不均匀等原因，导线陷落到下层去的情况几乎是不可避免的，特别当骨架无凸缘时，容易产生边缘线匝滑落）。由于这些原因，乱绕法一般只有在工作电压很低，骨架具有凸缘和中间隔板，以及采用高电气强度和高机械强度的绝缘作导线的绝缘层（ПЭВ，ПЭМ，ПЭЛШО等等）的情况下采用，例如工作电压很低的层状配置的输入变压器，为简化工艺，常采用乱绕（此时采用小直径的漆包线，而小直径导线的排绕工艺较复杂）。

II. 绕组在铁芯窗中布置的计算

1. 层状配置的绕组

1) 当采用乱绕时（图8—303）

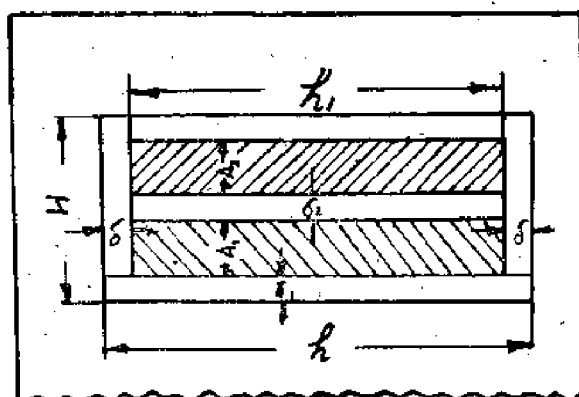


图8—303 乱绕层状配置线圈的结构尺寸

6) 确定绕组长度 h_1 :

$$h_1 = h - 2\delta \quad (8-301)$$

其中， h —铁芯窗高度，当铁芯尺寸确定后为已知。

δ —为了使导线不致滑落，所需的距离。对于小功率变压器为2毫米，对于中等功率的变压器为5~6毫米。

当采用有凸缘骨架时， δ 为凸缘钢板厚度。

6) 绕组所占的截面积 Ω_i ：

$$\Omega_i = \frac{d_{ins}^2 W_i}{K_{si}} \quad (8-302)$$

其中： d_{ins} —导线连绝缘层的直径，

W_i —绕组的匝数，

K_{si} —绕组面积的占空系数，它考虑了缠绕时导线不紧密所形成的空隙、绝缘衬垫所占空间以及导线在矩形骨架上的鼓起情况。其大小决定于导线直径，衬垫的厚度及数量，以及缠绕的精确度和缠绕时的拉力。可按表8-2的经验证据确定。

表8-2

带绝缘导线的直径 毫 米	没有衬垫乱绕时的 K_3		用薄纸作衬垫乱绕时的 K_3	
	圆形线卷架	方形线卷架	圆形线卷架	方形线卷架
0.05	0.75	0.65	0.6	0.5
0.1	0.8	0.7	0.7	0.6
0.2	0.85	0.75	0.73	0.7
0.5	0.9	0.8	0.8	0.75

b) 绕组的厚度 A_i ：

$$A_i = \frac{\Omega_i}{h_i} \quad (8-303)$$

c) 包的总厚度 A ：

$$A = \sum A_i + \sum \delta_i \quad (8-304)$$

其中， δ_i 为所需的绝缘垫衬的厚度，决定于绕组的电位情况和所用的垫衬材料的耐压强度及机械强度，按经验确定（可参考“低频变压器设计”一书的257页）。

如果所计算得的 A 比窗口宽度小3~5毫米，则可认为绕组布置是合理的，如果不在这一范围内，则磁路尺寸应加以适当调整。

2) 当采用分层绕时（结构尺寸可用图8-303的符号）。

a) 绕组长度 h_i ：

$$h_i = h - 2\delta$$

b) 每一层的匝数 n_i ：

$$n_i = \frac{h_i}{d_{ins}} \quad (8-305)$$

c) 绕组层数 C_i ：

$$C_i = \frac{W_i}{n_i} \quad (8-306)$$

C_i 最好选取整数，此时可适当减小 h_i

r) 线组厚度 A_i

$$A_i = d_{\text{ins}} C_i + \delta_i (C_i - 1) \quad (8-307)$$

考虑到导线在矩形截面骨架鼓起地方的情况，此时 A_i 应增大(1.2~1.4)倍，当线组层数很多，导线较细，以及铁芯柱厚度与宽度的比值较大时，应乘较大的倍数。当层数少、导线粗及正方形铁芯截面时，应乘上1.2。

线包总厚度 A

$$A = \sum A_i + \sum \delta_{ij}$$

其中： δ_{ij} —线组间的绝缘层厚度。

线组布置的校验与乱绕时相同。

2. 盘状配置线包

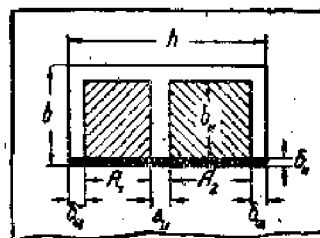


图8—304 盘状配置线包的结构尺寸

1) 对于非交替式(当线包只有两个线组时)，见图(8-304)

a.) 各线组高度 b_H

$$b_H = b - (\delta_K + 1) - 0.2b \quad (8-308)$$

其中的 δ_K+1 项为考虑到装配时公差应增加的1毫米，0.2b项为线组上边缘到铁芯轭的距离经验上的数值。

各线组所占的截面积 Q_i

$$Q_i = \frac{d_{\text{ins}}^2 W_i}{K_{si}}$$

当采用乱绕时， K_{si} 可从表8—2查得。

线组厚度 A_i ：

$$A_i = \frac{Q_i}{b_H}$$

最后，如果所计算各值满足下式，则布置是合理的。

$$\sum A_i + \Delta_{12} + 2\delta \leq h \quad (8-309)$$

如前所述，非交替式的盘状配置线包极少采用，常用的为交替式，此时，各线组应

分成数段，每个分段的厚度及匝数，应按以下方法进行计算。

2) 对于具有奇数分段的对称布置的线包(图8—305所示为具有两个绕组的情况)

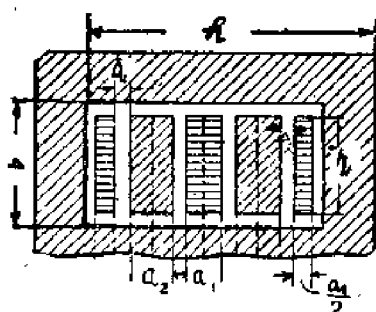


图8—305 对称齿状配置线包的结构尺寸

绕组分段厚度 a_i

$$a_i = \frac{mA_i}{S-1} \quad (8-310)$$

其中：S—线包总分段数，

m—线包的绕组数，当变压器只有一个初级和一个次级绕组时，m=2。
各分段的匝数 W_{ic}

$$W_{ic} = \frac{m W_{ic}}{S-1} \quad (8-311)$$

两边缘的分段的厚度和匝数，为其中的一半。

3) 对于具有奇数分段的不对称配置的线包(图8—306示出其中具有两个绕组的情况)

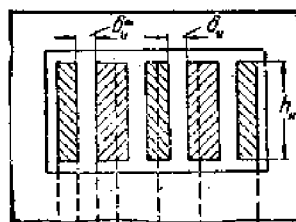


图8—306 不对称盘状配置线包的结构

边缘绕组分段厚度 a_i

$$a_i = \frac{mA_i}{S+1} \quad (8-312)$$

各分段匝数 W_{ic}

$$W_{ic} = \frac{m W_{ic}}{S+1} \quad (8-313)$$

非边缘绕组的分段厚度和匝数，可按对称盘状线包的公式计算。

4) 对于具有偶数分段的线包 (实际上很少采用)

(图 8-307示出其中具有两个绕组的情况)

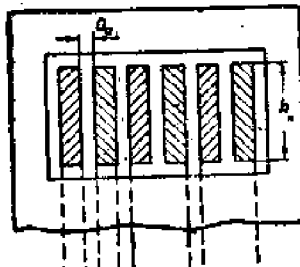


图8—307偶数分段叠状线包的结构

此时,

$$a_i = \frac{m A_i}{S} \quad (8-314)$$

$$W_{ic} = \frac{m W_i}{S} \quad (8-315)$$

III. 导线的选择及绕组电阻的计算

漆包线广泛地应用来绕制绕组。其主要优点是绝缘层厚度小（因而可得大的铁芯窗口占空系数）和便宜。其最大缺点是绝缘层的机械强度低。因此，采用漆包线时，一般应用分层绕法，每绕完一层后垫上一层绝缘层；当导线直径大于1.5~2毫米时，不应该绕在矩形截面的骨架上，因为在弯曲部分的漆膜可能裂开。

当导线直径大于1毫米时，双纱包线（ПБД）和双丝包线（ПШД）获得了应用。这种导线的绝缘层具有足够的机械强度，但绝缘层厚度较大。

单纱耐久漆包线（ПЭЛВО）及单丝耐久漆包线（ПЭЛШО）的绝缘层比漆包线略厚，但绝缘层电气强度和机械强度都高，因而它们应该应用在乱绕及粗导线绕制（直径大于0.5~2毫米）时。

在导线直径很大（大于1.5~2毫米）的情况下，为了提高占空系数及简化导线的排绕，采用矩形截面导线是合理的。

当线圈的工作温度较高时，应该采用具有特殊绝缘层（硅有机物、特种陶瓷）的导线。

在大多数情况下，绕组导线截面（q）都根据允许电流密度选择，此时：

$$q = \frac{I_{eff}}{j} \quad (8-316)$$

其中 I_{eff} — 绕组导线中的有效电流。

j — 允许的电流密度，当空气自然冷却时，在2.5~45安/毫米²的范围内。

当用油自然冷却时，在4.5~8安/毫米²范围内。

在某些情况下，按电气计算所得到的绕组电阻来选择，此时，绕组导线的截面积应该是

$$q = \rho - \frac{l_1}{r} (\text{毫米}^2)$$

(8-317)

其中：

r —要求的繞組電阻，〔歐姆〕

l_1 —繞組長度〔米〕

ρ —導線材料的電阻系數〔歐姆·毫米²/米〕

計算後應該選擇導線規格中最接近的數值。繞組導線長度 l_1 ，按下式計算：

$$l_1 = l_{wi} W_i [\text{米}] \quad (8-318)$$

其中： l_{wi} —繞匝平均長度〔米〕

要準確地計算 l_{wi} ，只有在計算好繞圈的配置之後，而繞圈的配置計算，必須先知道導線直徑，因此，當確定導線截面時，必須先估計 l_{wi} 的近似值 l'_{wi} 。對於標準鐵芯，可從規格表中查得 l_{wi} 。對於其他鐵芯，可以按下列公式計算。

a) 具有一個繞包和矩形截面骨架的壳型鐵芯（圖8-308）

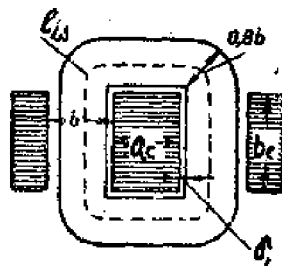


圖8—308 單繞包壳型變壓器的繞面平均長度

$$\begin{aligned} l'_{wi} &= 2(a_c + 2\delta_1) + 2(b_c + 2\delta_1) + 2\pi(0.4b) \\ &= 2a_c + 2b_c + 8\delta_1 + 2.5b \end{aligned}$$

(8-319)

b) 具有兩個繞包和矩形截面骨架的柱型鐵芯（圖8-309）

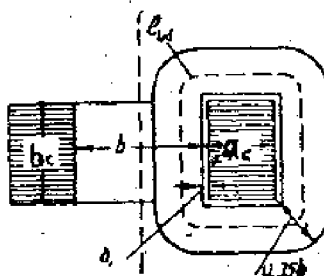


圖8—309 雙繞包柱型變壓器繞面的平均長度

$$\begin{aligned} l'_{wi} &= 2(a_c + 2\delta_1) + 2(b_c + 2\delta_1) + 2\pi(0.175b) \\ &= 2a_c + 2b_c + 8\delta_1 + 1.1b \end{aligned}$$

(8-320)

B) 具有两个线包和圆形截面骨架的柱型铁芯(图8—310)。

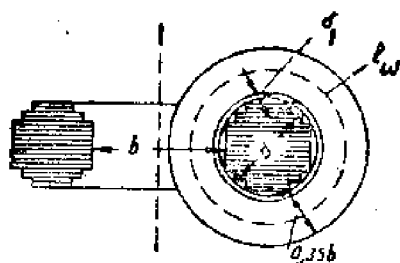


图8—310 双线包圆柱型骨架柱型变压器的线匝平均长度

$$l'_w = \pi(D + 2\delta_1 + 0.35b) = 3.14D + 6.3\delta_1 + 1.1b \quad (8-321)$$

在确定导线的必须直径后，可按以下式子计算准确的绕组的线匝平均长度 l_{w1} 和线包的线匝平均长度。

a) 当骨架截面为矩形时

$$l_{w1} = 2(a_c + b_c + 4\delta_1 + 2A_1) \quad (8-322)$$

$$l_{w2} = 2(a_c + b_c + 4(\delta_1 + A_1 + \delta_2) + 2A_2) \text{ 等} \quad (8-323)$$

这里 l_{w1}, l_{w2} 的下标 1、2……应理解为绕组从最内层开始的布置次序。

b) 当骨架截面为圆形时

$$l_{w1} = \pi(D + 2\delta_1 + A_1) \quad (8-324)$$

$$l_{w2} = \pi(D + 2\delta_1 + 2A_1 + 2\delta_2 + A_2) \text{ 等} \quad (8-325)$$

$$\text{最后 } l_w = \frac{l_{w1} + l_{w2} + \dots}{m} \quad (8-326)$$

其中：m为线包所包含的绕组数。

IV 线包的固有电容：

变压器具有一系列寄生电容，如图8—311所示，这些寄生电容，严重地影响到变压器的频率特性和相位特性。

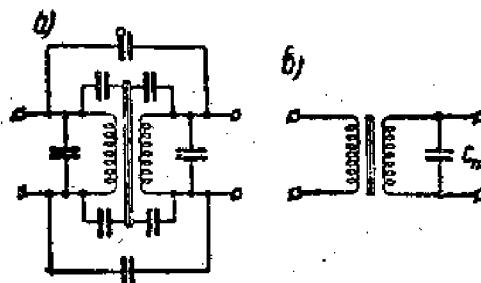


图8—311 用等效电容量 C_T 来代替变压器中的许多电容量

这些寄生电容对变压器频率——相位特性的影响，是由于它们在变压器工作时贮存了一定能量，其大小决定于下式：

$$w_c = \frac{1}{2} CU^2 \quad (8-327)$$

式中: w_c —— 所贮存能量

C —— 某两点间电容量 (或某两点间静态电容)。

U —— 该两点间的电位差。

为了简化分析和计算过程, 通常以贮存能量相等为条件, 将所有寄生电容折算到次级绕组中去, 并相加成总的等效电容 C_T 来代替全部寄生电容的影响, 所组成的 C_T 称为变压器的固有电容或动态电容。

现在让我们讨论动态电容的计算:

1. 初次级绕组间的动态电容:

1) 当变压器线包具有两个层状配置的初次级绕组时。图8-312示出初次级绕组相邻近一层的情况:

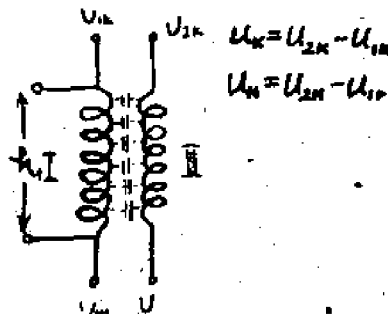


图8-312 两个绕组间动态电容计算的线路

绕组间的静态电容为 C_{12} , C_{12} 具有分布性质。但当每一绕组都具有均匀匝数时, 可以认为绕组间各点的电容是随长度 h_1 均匀分布的。任意点单位长度 dx 上的静态电容应为 $\frac{C_{12}}{h_1} dx$ 。

为了把 C_{12} 算到初级绕组中去, 应该满足以下能量等相的关系式

$$\frac{1}{2} C_{12}' u_1^2 = \frac{1}{2} \int_0^{h_1} u_x^2 \frac{C_{12}}{h_1} dx$$

式中: C_{12}' 为绕组间的动态电容

u_x 为距 H 端距离为 x 一点的电位差

$$u_x = v_{2x} - v_{1x}$$

考虑到 u_x 也按 x 的线性规律变化, 则得;

$$u_x = u_H + \frac{u_K - u_H}{h_1} x,$$

将 u_x 表达式代入经过简单演算可得;

$$C_{12}' = \frac{u_H^2 + u_H u_K + u_K^2}{3u_1^2} C_{12} = \alpha_{12} C_{12} \quad (8-328)$$

这里的 α_{12} 称为折合系数, 完全取决于线包绕组上电压的分布情况。

应用同样原理和方法，可推导出两个相邻近的盘式线组（图8—313）的动态电容表示式

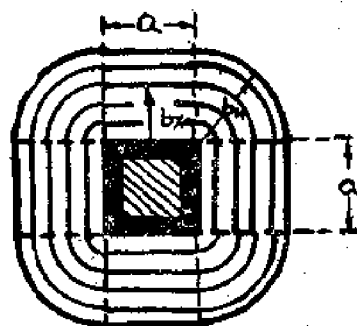


图8—313 盘形线组的侧面形状

$$C_{12}' = \frac{C_{12}}{3U_{12}} \left[U_H^2 + U_H U_K + U_K^2 + \frac{\pi b_H^2}{2Q} (U_K^2 - U_H^2) \right]$$

式中：Q——盘形线组侧表面面积〔厘米²〕

U_H——在b_x=0处线组端点之间电压

U_K——在b_x=b_H处线组端点之间电压

由于两个线组间的绝缘层厚度很小，所以其静态电容可采用平板电容器公式计算（在工程计算上是足够精确的）。

对于层状配置线包：

$$C_{12} = 0.9 \frac{0.0885 \epsilon h_1 l_w}{\delta_{12}} \approx 0.08 \frac{\epsilon h_1 l_w}{\delta_{12}} \text{ 微微法} \quad (8-329)$$

对于盘状配置线包：

$$C_{12} = 0.9 \frac{0.0885 \epsilon b_H l_w}{\Delta_{12}} \approx 0.08 \frac{\epsilon b_H l_w}{\Delta_{12}} \text{ 微微法} \quad (8-320)$$

式中：ε——绝缘材料的介电系数

h₁, l_w, b_H所代表的尺寸与以前相同〔厘米〕

δ₁₂, Δ₁₂——绝缘层的厚度〔厘米〕

这里系数0.9为考虑到实际线组长度b₁（或b_H）的占空系数经常小于1的系数。

线组与铁芯之间，以及线包与屏蔽之间的动态电容的计算所得的最后表示式与上述相同。

2) 线组本身的动态电容：

单层线组的分布电容与其他寄生电容相比一般极小，在变压器中可以忽略，在不能忽略的情况下，可采用高频电感线圈一章所讲过的方法和图表计算。

下面只讨论多层次级线组折算到初级的动态电容的计算。

变压器中最常采用的分层绕法的多层线组，可具有如图8—314所示的两种连接形式：

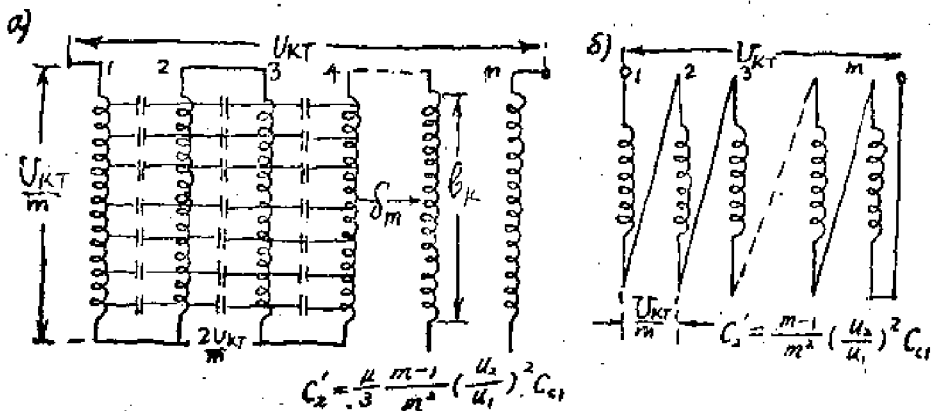


图3—314 多层绕组动态电容的计算线路

设壳组中每层间的静态电容为 C_{c1} (C_{c1} 与该绕组所处的位置有关, 这里取其平均值, 即取于绕组中间的两层间的静态电容, C_{c1} 可用 C_{12} 的表示式计算, 但其中的 l_w 应改为 l_{w2}), 则对于a)图所示的绕组, 动态电容表示式(采用同样原理推导)应为;

$$C_2' = \frac{4}{3} \cdot \frac{m-1}{m^2} \left(\frac{U_2}{U_1}\right)^2 C_{c1}$$

对于b)图; $C_2' = \frac{m-1}{m^2} \left(\frac{U_2}{U_1}\right)^2 C_{c1}$ (8—331)

式中: m —层数

当采用交替式或分段绕法时, 应分别计算绕组各段的动态电容, 此时, m 应理解为段内的层数, 而 U_2 应理解为段两端的电压。

从这两个公式可见, 采用b)图所示的连接方法可减小其动态电容, 但工艺复杂, 以致在一般情况下都避免采用。

采用分段绕法, 由于各段的端电压减小, 也可大大地减小绕组的动态电容(即使总的次级动态电容为各分段之和), 这是因为动态电容与端电压的平方成正比的缘故。但是分段愈多线包的结构和工艺愈复杂。实际上分段数不应大于(3—4)段(实践表明当分段数为3—4段时, 已足以使绕组的动态电容小于绕组间和绕组与铁芯间的动态电容, 因而进一步增加分段数也就没有必要了)。

显然, 从上述各种动态电容的最后表示式可得出结论: 为了减小动态电容, 首先应力求减少静态电容, 即采用 δ 小的绝缘材料; 采用具有较厚绝缘的导线; 增加层间、绕组间、绕组与铁芯间以及绕组与屏蔽间的绝缘层厚度(或距离); 减小线包的尺寸(l_w b_1 b_H)。然而应当指出, 采用增加绝缘层厚度的方法, 将导致漏感的增长和铁芯窗占空系数的降低。此外, 当增加绝缘厚度时, 还会使线包尺寸增大, 从而使电容有某些增长。除此之外, 为了减小动态电容, 还应力求减小折算系数, 也就是说, 当配置绕组时, 应使得绕组相应绝缘点间的电位差最小。

5. 变压器线包的漏感:

变压器的漏感和固有电容一起决定了变压器的高频频段的频率—相位特性。漏感是

初級（或次級）沒有與整個次級（或初級）耦合的短路磁通所形成的。在一般情況下，其大小主要取決於兩個繞組間的耦合程度（互相間位置），而幾乎與磁路的結構無關。

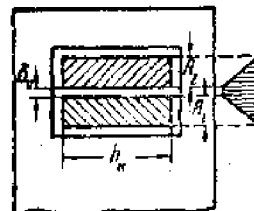


圖8—315 層狀非交替綫包之漏感的計算圖

為了分析簡便起見，在變壓器的等效電路中，通常將次級的漏感歸算到初級繞組，組成總漏感。總漏感 L_s 的數值，可從儲存能量相等的條件中求得。現在，讓我們舉層狀非交替配置的綫包為例，說明其折算方法。

圖8—315示出這種綫包的結構以及在綫包中磁場分布曲線，其中在繞組間絕緣層內的磁場強度 H_o ，等於初級繞組電流所建立的磁場。故可由下式算得：

$$H_o = \frac{4\pi}{10} \frac{w_1 i_1}{h_1} \quad [\text{奧斯特}]$$

在空間內的磁能密度，由下式確定：

$$\frac{dw}{dv} = \frac{1}{8 \cdot 10^7} B \cdot H \quad [\text{焦耳}/\text{厘米}^3]$$

因為綫包由非磁性材料作成，故異磁率等於1，則

$$\frac{dw}{dv} = \frac{H^2}{8\pi \cdot 10^7}$$

因而，可求得綫包內所儲存的總磁能為：

$$\begin{aligned} W &= \frac{h_1 l_w}{8\pi \cdot 10^7} \int_{A_1 + \delta_{12} + A_2} H^2 dx = \frac{h_1 l_w}{8\pi \cdot 10^7} \cdot H_o^2 \left(\delta_{12} + \frac{A_1 + A_2}{3} \right) \\ &= \frac{2\pi w_1^2 i_1^2 l_w}{10^6 h_1} \left(\delta_{12} + \frac{A_1 + A_2}{3} \right) \quad (8-332) \end{aligned}$$

在等效電路中的總漏感 L_{sk} 內所貯存的磁能為：

$$W = \frac{I_{sk}^2 i_1^2}{2}$$

利用貯存磁能相等的條件，最後可求出結構上所保證的漏感 L_{sk} 為：

$$L_{sk} = \frac{0.4\pi w_1^2 l_w \cdot 10^{-8}}{h_1} \left(\delta_{12} + \frac{A_1 + A_2}{3} \right) \quad [\text{亨利}] \quad (8-334)$$

這裡所有長度單位均為厘米。

顯然，如果把 δ_{12} 改為 Δ_{12} ， h_1 改為 b_n （見圖8—316），則上式亦可用来計算盤狀非交替綫包的漏感。

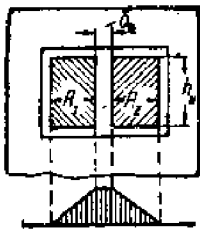


图8—316 盘状非交替繞包 漏感計算圖

用同样原理和方法，可得到以下两种常用的綫包漏感表示式：

对于对称的交替式層狀繞包（圖8—317a）。

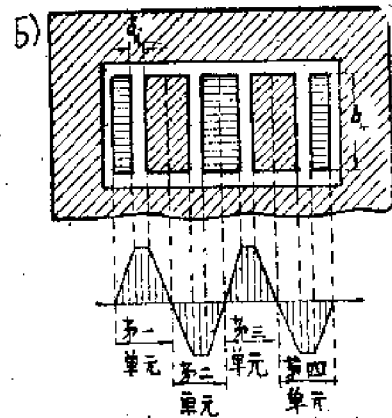
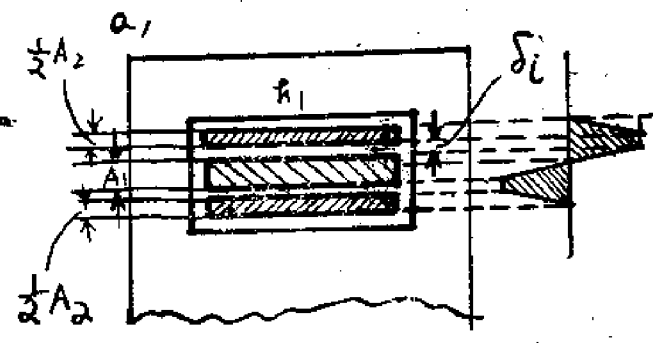


图8—317交替式对称繞包之漏感計算

a) 層狀隔區繞包 b) 盘狀配葉繞包

$$L_{sk} = \frac{0.4\pi w_1^2 l_w \cdot 10^{-8}}{h_1 \cdot m^2} \left(\sum \delta_i + \frac{1}{3} \sum A_i \right) \text{[亨利]} \quad (8-334)$$

（对于該圖來說 $\sum A_i = A_1 + A_2$ ）。

对于对称的交替式盘状繞包（圖8—317b）。

$$L_{sk} = \frac{0.4\pi w_1^2 l_w \cdot 10^{-8}}{b_1 \cdot m^2} \left(\sum \Delta_i + \frac{1}{3} \sum A \right) \text{[亨利]} \quad (8-335)$$

其中：m——磁場分布曲線梯形单元的数目

$$m = S - 1$$

S——段数

其他不常用綫包漏感的計算公式可參考F.C.采金編著的“低頻變壓器設計”一書的第十五章。

在某些情況中，電氣計算結果常要求變壓器具有一定漏感值，而當結構上所保證的漏感 L_{sk} 小于 L_s 变为不能允許時，就需要采取措施使 L_{sk} 增加到所需的 L_s 值。为此，最简单的方法，是增加繞組間的距離，即增加分隔繞組的絕緣衬垫厚度。也可以增加繞組的匝数，但这是不利的，因为增加了导線的消耗。当需要几倍地增加漏感时，可以改用漏感較大的綫包配置形式（如盤狀非交替式配置的綫包）。

如果采用非交替層狀配置繞包时所算得的 L_{sk} 不超过电气所要求的 L_s 的四倍，则

应采用交替式層状配置繞包（分段数为 3）。当变压器負載为純电阻时，把一个繞組分成匝数相等的两部分，可得到最小漏感 L_{SK} ，当所分成的两部分不相等时，漏感将增加，因此，可用改变两部分匝数比的方法，来把 L_{SK} 調整到所需的由非交替式和交替式所得漏感 L_k 之間的任何中間值。为了使应用这一原理調整漏感的方法簡化，可利用漏感計算結果所得的曲線进行計算（見圖8—318）。其中，曲線的橫座标 $P = \frac{\text{外部繞組匝数}}{\text{繞組总匝数}}$ ，而縱座标是实际漏感 L ，与所分成的两部分匝数相等时的 L_{SK} 的比值。

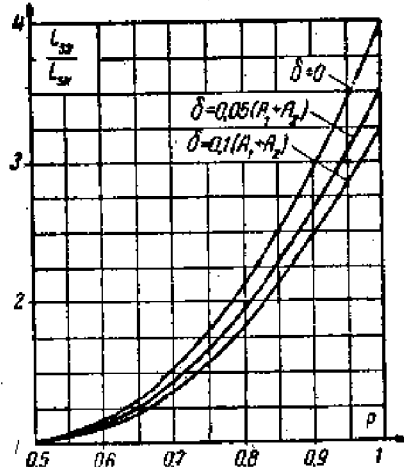


圖 —— 318 当某一交替式層状繞包的繞組分成不相等匝数的两部分时确定漏感增加的曲綫

当繞包为盘状配置时，漏感的調整可采用改变其分段数的方法进行。如果电气上所要求的 L_s 为已知，所需分段 S 可用下式求得（对于常用的对称交替式盤状配置繞包）：

$$S = m + 1 = \sqrt{\frac{L_{sR}}{L_s} + 1} \\ = \sqrt{\frac{0.4\pi w w_1^2 \cdot 10^{-8}}{b_H \cdot L_s} \left(\sum \Delta_i + \frac{1}{3} \sum A_i \right)} + 1 \quad (8-336)$$

将所算得的 S 值化整为較大的奇数，然后用稍許改变分段間衬垫厚度 Δ_i 和分段厚度 A_i 的方法进行最終的調整。

6. 繩包的骨架及絕緣：

繞包骨架及絕緣方式的选择应遵循以下原則：

1) 骨架的結構形状及絕緣方式应滿足繞法及繞組配置方面所提出的要求，例如，当一般的層状配置时，为了简化骨架的制造，可采用無凸緣的矩形截面骨架或有短板骨架（圖8—319a）。当盘状配置和亂繞法时，宜采用具有中間隔板和端頰板的骨架（圖8—319c），或者“餅干”式骨架（圖8—319b）。纏繞时要求繞組对称度很高的变压器，其骨架的制造精确度也要求很高，在这种情况下，应采用由厚度为 0.25—0.5 毫米的黃銅片焊接成的骨架，如圖 8—319f 所示，为了使骨架本身不致形成短路匝，骨架应有縱向切口。骨架的内外表面应涂敷上一層足以抗拒試驗电压和防止鐵芯短路的絕緣材料。

2) 骨架的結構及絕緣（絕緣材料的性能及厚度）应滿足抗电强度以及允許發熱的要求。

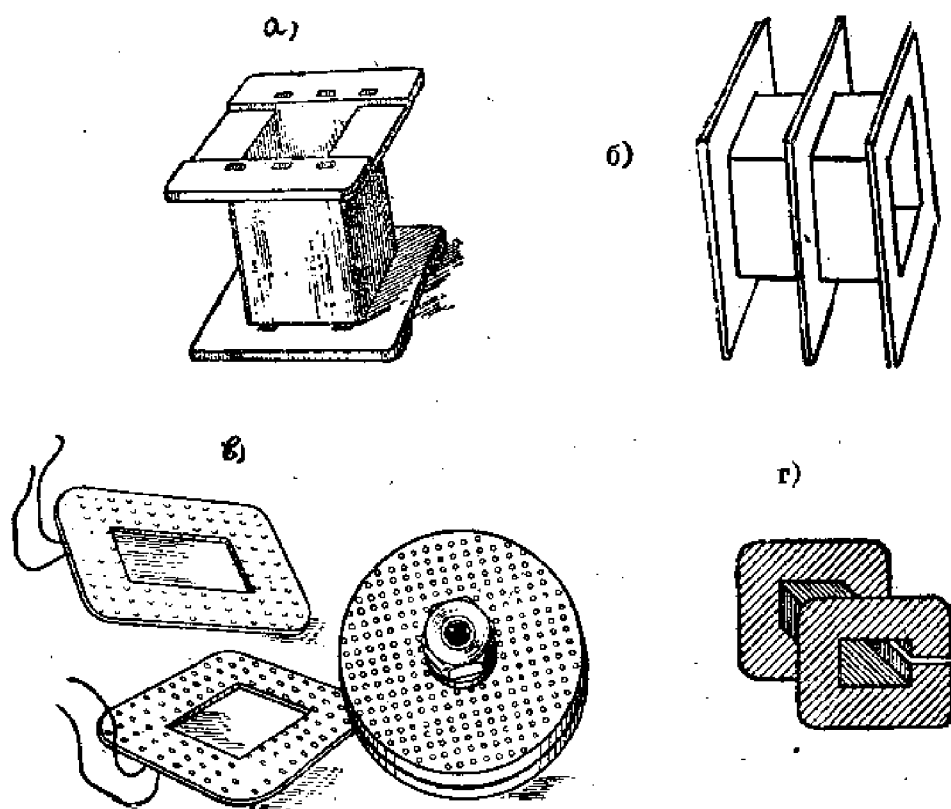


圖8—319 a) 用塑料压制的具有端頰板的骨架結構 b) 由紙板胶合成的具有
中間隔板和端頰板的骨架結構 c) 餅干形骨架及已繞成的分段繞包 d) 由黃
銅片做成的具有切口的骨架

为此，对于工作电压較高（3000伏左右）和功率較大的变压器，常采用圓柱形的或具有中間分段隔板和边缘隔板的圓柱形骨架，圖8—320示出了这种骨架的两个例子。

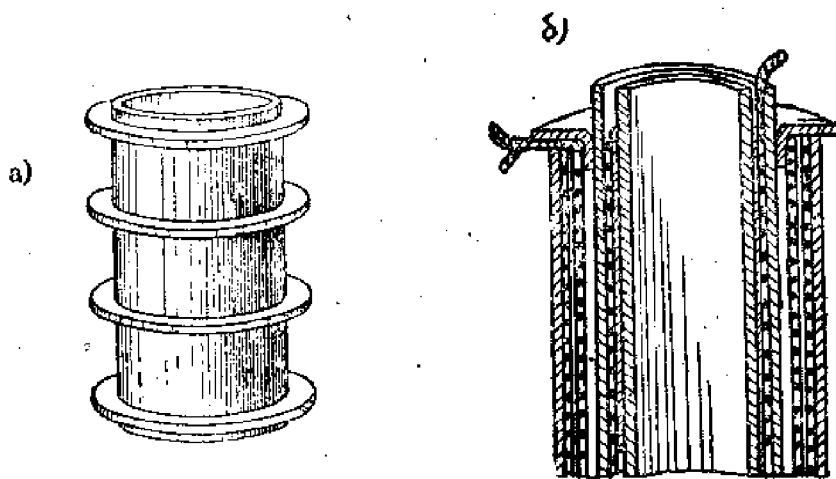


圖8—320 a) 大功率變壓器線包高壓繞組的專門骨架 b) 高壓脈沖變壓器圓
柱形線包的結構

采用圓柱形骨架，可提高綫包的絕緣強度（理由見前述）。

圖8—320所示為大功率變壓器綫包的高壓繞組的專用骨架，在這種情況下，用這種骨架纏繞好的高壓繞組套在低壓繞組外面，由於變壓器是浸在油里的，在繞組間應留有充油的空隙，以便冷卻油的流通。為了提高電氣強度，這個高壓骨架的邊緣隔板可做得厚一些，並距骨架的套筒邊有一定距離（防止繞組與鐵芯間的放電）。

圖8—3205)所示，是用類似圖1)所示的骨架，裝配成整個綫包的一個結構例子，在這種結構中，藉助於縱向衬墊保持繞組間具有一定厚度縱槽，以改善其冷卻條件，高壓脈沖變壓器常採用這種結構的骨架。

功率管陰極處於高壓的情況下，其燈絲變壓器的次級繞組與地之間的絕緣要求極高，為此，可採用圖8—321所示的骨架結構和絕緣方式。

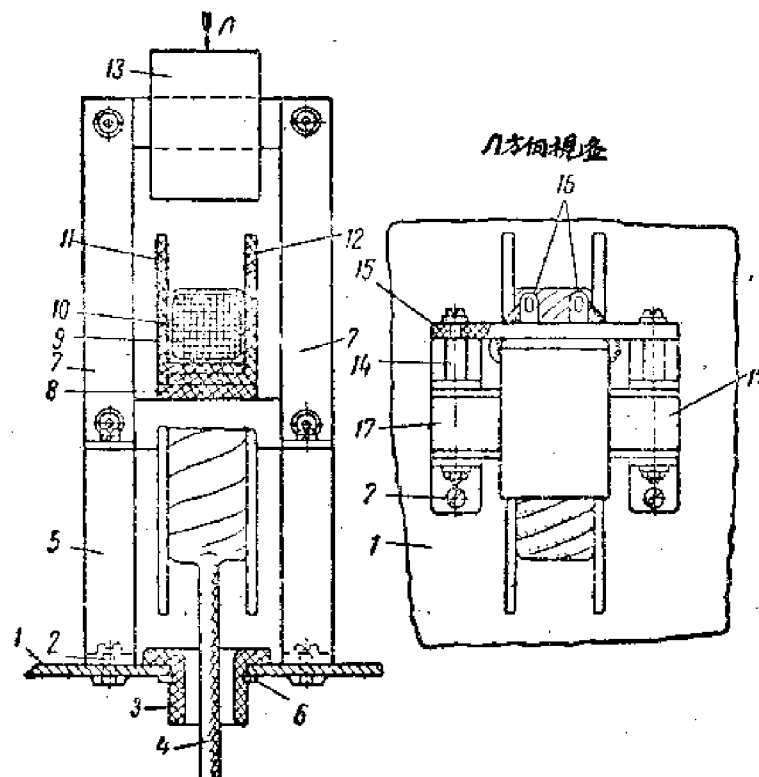


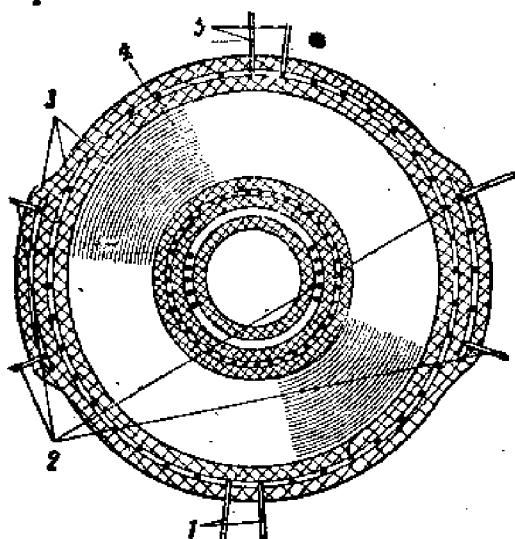
圖8—321 內殼具有高壓的功率管燈絲變壓器結構

1—底板 2—螺釘 3—套管 4—次級繞組引出線 5—支架 6—開口環
7—緊固磁路的條板 8—套筒 9—次級繞組 10—絕緣層 11、
12—骨架的頰板 13—次級繞組 14—套管 15—板 16—焊片
17—導路

圖中的次級繞組9做成無骨架的形式並且有良好的絕緣層10。骨架由高絕緣強度材料制成的套筒8和兩個頰板11和12膠合而成。頰板的疊合式結構保證了次級繞組與鐵芯間具有足夠長的沿表面穿過路徑。

在功率較大的環形變壓器中，為了解決絕緣和散熱問題，可採用具有高電氣性能和

高耐热性能的塑料（如氟塑料）进行涂复式的绝缘。如图8—322所示。



8—322 环形高压脉冲变压器的结构

1、5—次級繞組引出線 2—初級繞組引出線 3—氟塑料涂復層 4—鐵路

3) 骨架的结构及绝缘应满足减小寄生参量（电容和漏感）的要求。

为此，最好是选择介电系数小而绝缘强度高的材料作骨架和绕组绝缘层。当这样做仍不能满足要求时（特别在要求大大地减小分布电容时），可以采用架空形式的绕组装置方法。

作为这种装置方法的例子，让我们介绍以下几种变压器的结构。

在某些具有很少匝数的功率脉冲变压器中（此时，绕组是单层的或很少层数的），为了减小线圈的寄生电容，采用了如图8—323所示的结构。其中，导线支持在具有凹槽的直角形绝缘体上，导线的大部分处于架空状态。由于空气或绝缘油（当为了提高抗电强度和改善散热而采用油浸时）的介电常数比固体介质小得多。因而，其匝间或绕组间的分布电容都减小了。为了加长导线与磁路间沿绝缘体表面击穿的路径，直角形绝缘体可做成具有斜面2（图8—323a）或直角加长面（图8—323b）的结构。

作脉冲调制振荡器的磁控管的阳极通常是接地的，此时，其阴极具有脉冲高压，因此，要求其灯丝变压器的次级绕组与地之间不但有高的抗电强度，而且，应有尽可能小的电容，为了这个目的，也采用如图8—324所示的几种“架空”的绕组装置方法。

在图8—324a) 的结构中，骨架具有沟槽6以及在连接处的凸部和凹槽9，其目的在于加长绕组与磁路间沿表面击穿的路径。

图8—324的几种结构的次级绕组，都采用无骨架形式，为了提高抗电强度，包裹绕组的绝缘层，应有足够的抗电强度。

如上所述，骨架及绝缘的结构尺寸，主要取决于上述因素，计算方法与安培绝缘零件的计算相同。（参见第五章§5—5）

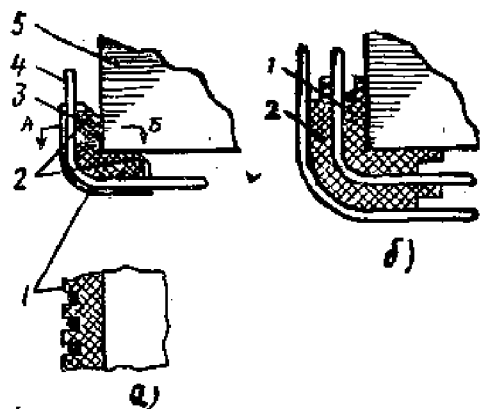


圖8—328 功率脉冲变压器的线圈固定方法

a) 单层线圈

1—凸部 2—斜面 3—直角形绝缘体

4—绕组导线 5—磁路

b) 双层线圈

1、2—直角形绝缘体

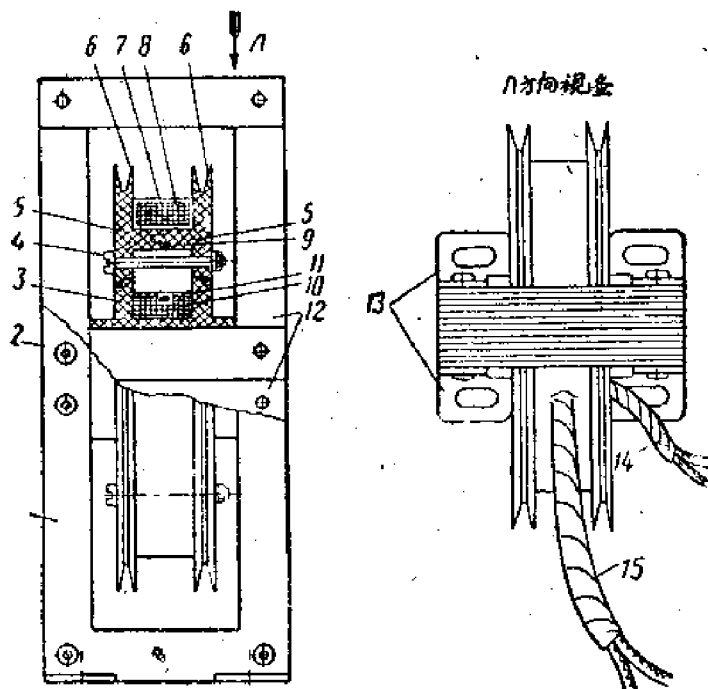


圖8—321 当磁芯带工作于阳极接
地时，其灯丝变压器结构的几个
例子。

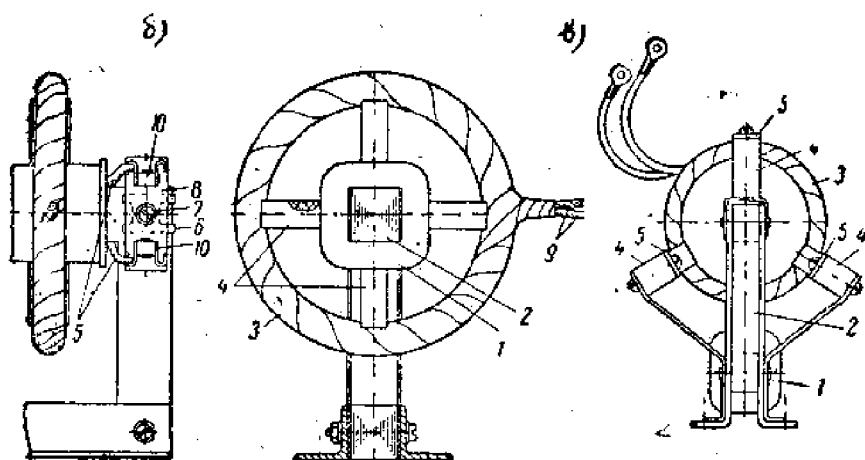
a) 1—金属框架 2—管状铆钉

3—骨架 4—螺钉 5—骨架的
扁板 6—环槽 7—次级线圈的绝
缘层 8—次级线圈 9—骨架扁板
接合处的凸部和凹槽 10—初级线
圈 11—初级线圈的绝缘层 12—

磁路板片 13—凸耳 14—初级
线圈引出线 15—次级线圈引出线

b) 1—初级线圈骨架 2—磁路
3—次级线圈 4—绝缘支柱
5—初级线圈引出线 6—成形基
板 7—螺钉 8—绝缘板

9—高压引出端 10—焊板
b) 1.2.3.4同5) 圖8—夹板



§8-4 线包的制造工艺

无骨架线包的制造工艺，在前节中已简单述及。

有骨架线包的制造工艺包括以下主要工序：

- 1) 骨架绝缘衬垫及引出线的制备；
- 2) 缠绕及绕组端头的固定；
- 3) 加固及防潮处理；
- 4) 检验。

兹分别作简单的讨论：

1. 骨架及绝缘衬垫的制备：

骨架通常采用以下几种方法制造：

1) 压塑法：

此时所用材料为各种塑料、夹布塑料、胶木漆和电缆纸等。采用压塑法可制造完整的和电气强度、机械强度很高的各种形状无凸缘和有凸缘的骨架，但需要专门的复杂的压模，适宜于大量生产时采用。

当骨架的尺寸较大时，为了提高其机械强度，应选用夹布的塑胶来压制。

无凸缘的底筒式骨架通常用胶木化电缆纸卷在芯型 2（图8-401）上，并在简单的压模中制成，由于工艺及制造设备简单，成本很低，在一般变压器中得到广泛采用。

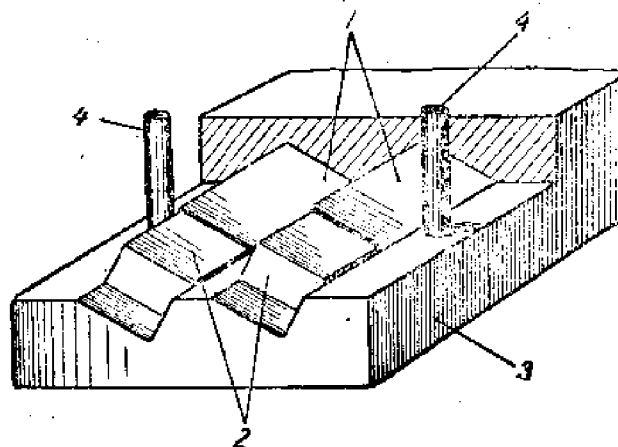


图 8-401 压制直角形卷筒的模具（其中之下面部分）

1—胶木化电缆纸卷成的骨架 2—型芯 3—上模 4—导向柱

当骨架的形状复杂或尺寸很大时，为了简化模具的工艺，骨架可由数个压塑的零件装配成。

压塑骨架的结构设计及工艺在本书第四章已讨论过，这里不再重复。

2) 装配法：

此时所用的材料通常为各种板料（如纸胶板、布胶板、厚纸板、黄铜板等）。

先用落料或裁剪方法将板料作成一定形状的片子，然后装合成完整的骨架，为了提高其机械强度，有时用BФ胶进行附加胶合，或用某种树脂浸渍。图8—402示出用这种方法加工的骨架的两个例子：

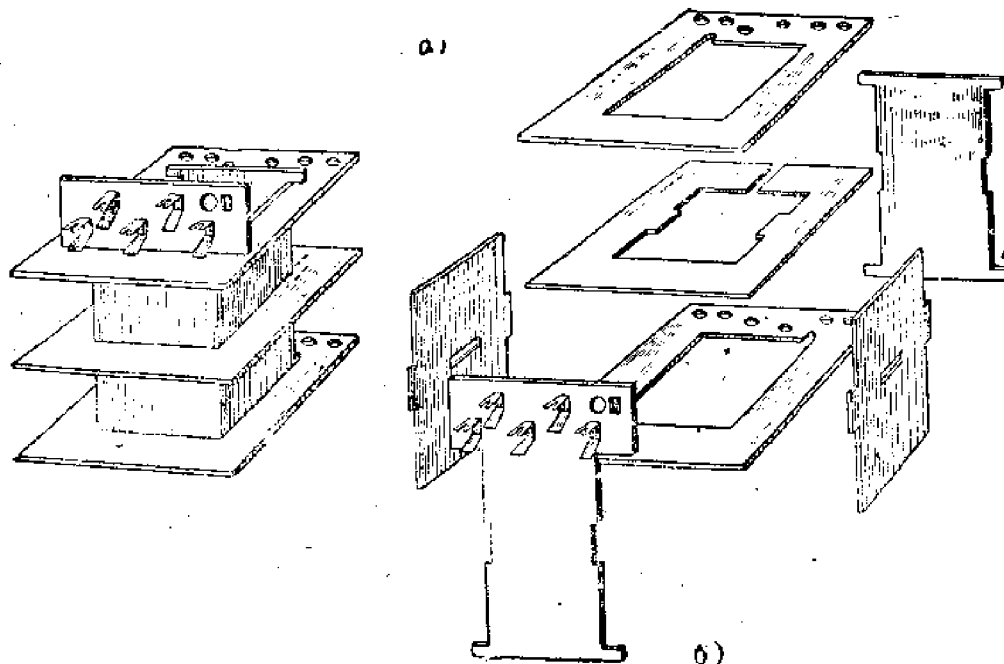


图8—402

- a) 由纸胶板类配成的骨架及其零件
- b) 由纸板制成骨架的零件
- 1——骨架套筒的纸型 2——模板的薄片

采用这种方法制成的骨架在机械强度和电气强度方面比上法制得的稍差，但工艺上不要求复杂的压模，适宜于小批生产。

线包内部各层之间，以及线包外表面，最常采用电容器纸、电缆纸等电工绝缘纸作绝缘，在重要情况下，也采用漆布、漆绸、玻璃布或某些具有一定机械强度和绝缘性能的塑料薄膜。在进入缠绕工作之前，预先将这些膜状材料在专门的设备上裁剪成所需尺寸的带子。当绕组导线很粗时（直径大于0.2—0.5毫米），绕组导线本身可作引出线；当绕组导线很细时，绕组必须用另外的引出线，通常用带绝缘的引出线（如安装导线，多股塑胶线）。在进入缠绕工作之前，将这些线断切为等长的小段（一般长度为25—120毫米），剥去端头（7—10毫米的长度）的绝缘层并进行端头热浸锡，为了提高生产率，目前这些操作均已自动化或半自动化。

2. 缠绕导线及绕组端头的固定：

缠绕导线是制造线包的主要工艺过程。因为缠绕过程中的工艺因素（缠绕机的结构、对缠绕机调整的正确与否、缠绕时对导线的拉力等）也严重地影响线包导线的占空系数（它表征了线包的质量）的大小。

綫包的纏繞工作可用人工的或半自動的繞綫機進行。人工繞綫機的生產率很低，不能保證綫包的質量，只在缺乏設備以及小量生產的情況下採用。當綫包採用亂繞法時，可採用這種繞綫機繞制。為了提高生產率和提高制品的質量，目前已廣泛採用（特別在大量生產情況下）半自動繞綫機。

半自動繞綫機，具有當繞完一層或整個繞組所需匝數時，自動停車的控制系統，以及自動敷上層間絕緣和塗膠的裝置。

作為一個例子，圖8—403示出一種在大量生產時採用的能同時繞制多個綫包的半自動繞綫機的簡圖。

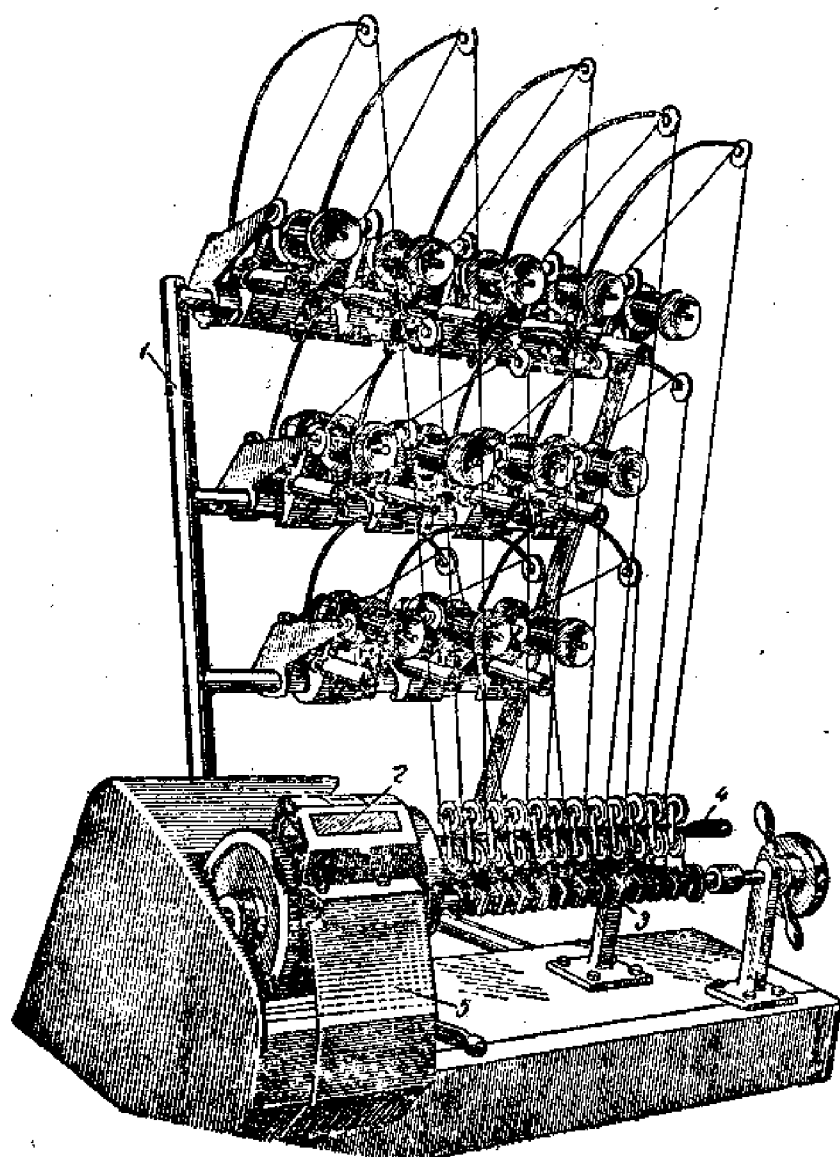


圖8—403 機械多綫包的半自動排綫繞綫機

1—裝有12卷導線的架子 2—自動匝數記數器 3—裝有12個骨架的型芯
4—排綫機械 5—聯動盒

当采用半自动繞線机时，为了提高生产率和保証制品質量，纏繞前必須进行正确的調整（包括繞距的和繞組寬度的調整，纏繞速度，繞線机轉數的調整和导線拉力的調節等）。

纏繞速度是影响生产率的重要因素；提高轉速受到导線允許的圓周速度的限制。而导線的允許圓周速度，依賴于导線的直徑（它決定了导線的强度）以及骨架形状和尺寸（它決定纏綫的拉力）。在相等强度的条件下，圓形截面骨架的速度，可比矩形截面骨架高15—20%。对于每种具体情况下的最佳纏繞速度，由規格表确定，一般在几十到几千轉/秒的範圍之內。

导線拉力的选择和調整的正确与否，对綫包質量和纏繞速度有很大的影响。拉力不够，会降低繞組的牢固性，并因此而降低多層繞組的占空系数，以及促使鐵芯产生軸向移动。拉力过大，会引起导線的增长和直徑減小，并因此而引起繞組电參量的改变，导線絕緣的損傷，甚至产生击穿危險。允許的拉力，依賴于导線材料和直徑，可由下式确定：

$$F_H = 0.68 P_{NP} \quad (8-401)$$

式中： F_H —— 导線的拉应力

P_{NP} —— 相对于一定材料和直徑的拉力的極限值。

例如：对于銅

$$P_{NP} = 6000d^2$$

式中 d 为不帶絕緣时导線的直徑（毫米）。

調整繞線机的拉力时，可借助于专门的圖表进行。

环形变压器的纏繞工作，在电感綫圈一章已討論过了，这里不再复述。

經驗指出，綫包引出端的損傷，是安装設備和运用設備过程中經常碰到的产生廢品或引起故障的原因之一，为此引出端的固定應該是足够牢靠的。其中，应当特別注意的是，引出端綫与繞組导線間电气連接的質量，以及連接处的絕緣。

圖8-404示出几种不同的固定引出端和抽头的最常用的方法。通常采用細布作的帶子、漆布帶子或紗綫作端头的固定。

为了使繞組导線与引出綫之間有可靠的电气連接，可采用錫鉛，此时和鉛接綫包內部导線一样，應該用含有足够錫的鉛料和無酸性的鉛剂（例如：好的松香）。因为，应用鉛油和酸性鉛剂时，經過一些时间后会引起鉛接点的氧化和导線的腐蝕，甚至变成断路。

鉛接处用細漆布作成的垫衬从两边絕緣。

为了避免拉紧引綫时引出綫匝的位移，可用坚固的綫将引出綫綁紧在骨架的底筒上（見圖8-404б，г），为了更牢固起見，最好是把引出綫鉛接到附加的接綫板（它安装在磁路或外壳上）的鉛片上。电气安装时，外部安装接綫通过鉛片与引出端連接。

繞成的綫包应在專門設備上（見最后一节）进行短路匝的檢驗和匝数檢驗。

3. 線包的防潮處理及加固：

非密封的变压器綫包有时进行单独的防潮和加固处理。由于組成綫包的主要部分，

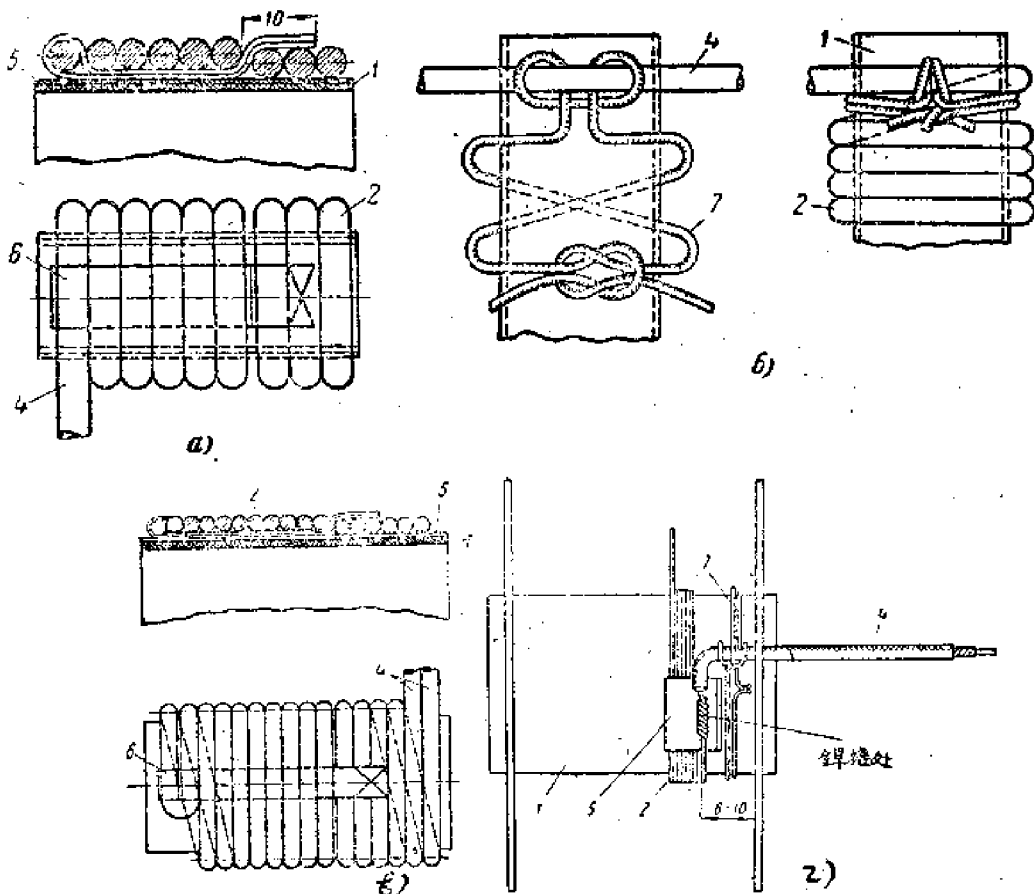


图101 线组端头的固定方法

a) 用一段纱带固定线组的始端(纱带头由后压紧); b) 用线来固定线组端头; c) 用带子来固定线组的中间抽头; d) 以柔软安装导线作成的引出线的固定
 1——骨架; 2——绕组; 3——抽头; 4——引出线; 5——绝缘衬垫; 6——固定用的扁平纱带; 7——固定用的线。

是绝缘材料和直径不大的铜导线，所以它是变压器中对外界因素影响的最薄弱的部分，为此，通常采用的加固及防潮方法是浸渍、蘸渍和灌封。

在选择浸渍、蘸渍和灌封材料时，应特别注意它的耐热强度，体电阻率，以及在湿度增高时，这些材料对线组导线材料的化学活泼性及所需要的介电系数值（在许多情况下，希望介电系数最小）。通常作为浸渍、蘸渍材料的，有地蜡、各种漆、沥青、磁漆、树脂和它们的混合剂等。此外，对于浸渍、蘸渍，还可以采用各种卤蜡绝缘剂。

浸渍好线包的机械牢固性，决定于浸渍材料的机械性能，采用一般的地蜡、沥青浸渍时，对线包的加固作用较小，为了更可靠的防潮和加固，在许多情况下，可采用具有高电气性能和机械性能的树脂（例如环氧树脂）对线包进行灌封（灌封工艺见第二章）。

圖8—405a), b) 示出用環氧樹脂灌封線包裝成的兩個變壓器結構例子，而圖8—405
b) 所示為與磁路及部分裝固零件一起進行灌封的變壓器結構。由圖可見，作為線包引出
端的鉗片和絕緣子，都可直接固定在環氧樹脂的外皮上，由於環氧樹脂具有極高的機械
強度和結合（與金屬或與介質之間）性能，這種簡單固定方法，可獲得足夠的牢固性，
也由於同樣原因，即使在機械強度要求很高的情況下，線包仍可採用無骨架的。

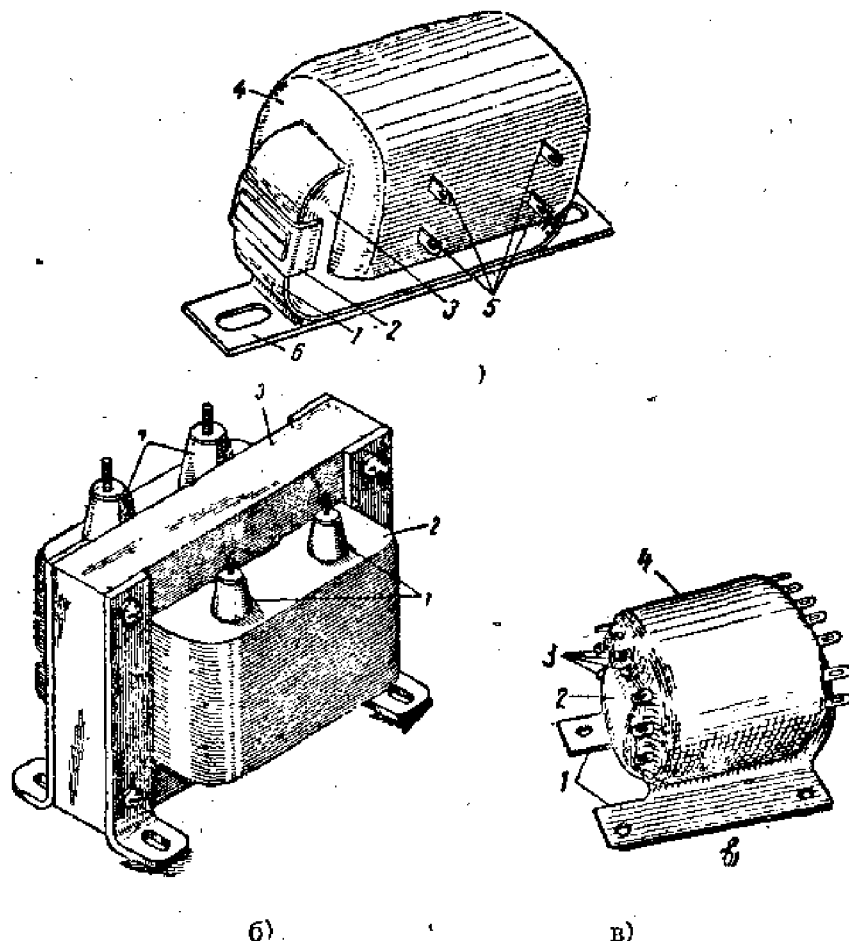


圖8—405 用環氧樹脂灌封的變壓器結構

a) 低壓變壓器結構

1. 卡殼 2. 搭扣 3. 磁路 4. 環氧樹脂作成的無骨架線包外皮 5——引出端
 焊片

b) 高壓變壓器結構

1. 低壓繞組引出端 2. 環氧樹脂作成的無骨架線包外皮 3. 磁路 4. 高壓繞
 組引出端

c) 整個被灌封在環氧樹脂內的低壓變壓器

1. 支座 2. 卷繞型磁路 3. 引出端焊片 4. 線包

應該指出，線包進行了浸漬和灌封後，不僅可提高其防潮能力和機械強度，而且可改善其熱傳導性，因而也減少了造成線包內部局部過熱的危險性。

浸漬、蘸漬和灌封的工藝，已在第三章討論。

§8—5 变压器及低频扼流圈的总体结构

任何变压器及低频扼流圈，除了必须满足电气上要求以外，还须考虑到能经受得住外界因素的影响。其中包括电磁场的、气象的和机械的影响。现在让我们讨论考虑到防止这些因素影响的总体结构方面的措施。

1. 电磁屏蔽：

由于绕组的匝数很多，即使在弱的干扰场作用下，也可能在绕组上出现大的干扰电动势，以至影响弱信号电路的正常工作。为此，在变压器及低频扼流圈中也常常采用电的及磁的屏蔽。

1. 静电屏蔽：

防止空间静电场的干扰，可以轻易地用接地的导体所做成的屏蔽罩实现。（导体可以是任何金属制成的以及具有任意厚度的膜层或板料）。当电路的最大信号电压只有数微伏时，屏蔽的接地应该做得很精细，同时，变压器的引出端（甚至是外部导线）也应该屏蔽起来，但这将引起变压器的输入电容的增加，在许多情况下，这是不希望的，为此，变压器引出端，应该做得小些，变压器与电路的联接应尽可能短。

在某些变压器中（如电源变压器中），为了防止从初级电路（在电源变压器中是电源线）通过绕组间电容耦合所引入高频电场干扰（也称电压干扰），可在绕组间垫上一层一端接地的开路绕匝或一圈开路的金属箔。对于在低频长波及中波范围内工作的设备，这种屏蔽绕匝的效果是很好的。在短波特别是超短波范围内，为了使薄片能起屏蔽作用，应该保证用作箔与外壳连接的集流器具有很小的电感（在技术上还有困难）。上述这种方法有时也用来减小绕组之间的电容。

2. 磁屏蔽：

变压器及低频扼流圈受到外磁场的干扰更为严重，而且防止这种干扰比静电保护更为复杂。为了减小外磁场在绕组中感应的电动势，应该：

1) 减小变压器的尺寸和绕组的匝数，为此，必须采用具有高导磁率的磁性材料；

2) 布置变压器时，使线包的轴与干扰磁场力线垂直（用试验方法），应用具有对称线包的柱型或具有均匀绕组的环型结构变压器，也可以减少磁场干扰。

但是，前面两种方法不能保证把干扰水平降低到所需的程度。因此，当变压器不是采用对称柱型或均匀环型结构时，必须用磁屏蔽，即用高导磁率的金属制成屏蔽罩包围变压器，如图8—501所示。在低频范围（几十到几百赫），由于屏蔽罩磁性材料的导磁率很大，屏蔽罩本身磁阻比罩与变压器间空隙的磁阻低，所以干扰磁场的大部分沿屏蔽罩通过而不穿过变压器的磁路（即旁路作用）。在较高频率时，应采用导电率较高的材料

（如银）来作磁屏蔽，以便通过屏蔽罩进入变压器铁芯的部分交变干扰磁场在屏蔽罩的金属中引起较大的涡流，这些涡流所建立的反向磁场，足以将干扰磁场的一大部分抵消（即涡流去磁作用）。

由于减小了穿过变压器铁芯的干扰磁场，因此就减小了绕组所感应的干扰电动势。当干扰磁场为均匀磁场，而且没有屏蔽时，变压器所感应的干扰电动势 E_{π} 和有屏蔽时变压器所感应的电动势 $E_{\pi\beta}$ 之比，称为屏蔽系数 β ，它表征了屏蔽的程度：

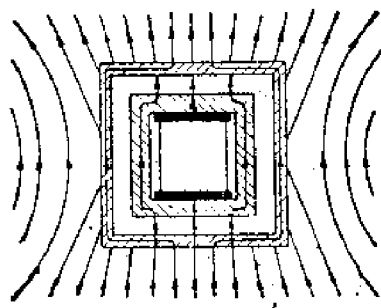


图8—501 用高导磁率的屏蔽来保护变压器不受外磁场的干扰

$$\beta = \frac{E_{\Pi}}{E_{\Pi 0}}; \quad \text{或} \quad \beta_{dB} = 20 \lg \frac{E_{\Pi}}{E_{\Pi 0}} \quad (8-501)$$

由上述的原理不难看出：为了利用旁路作用来增加屏蔽系数，屏蔽的材料应具有高的导磁率和大的厚度，并且应使磁力线所通过的途径没有大的接合缝隙（为了减少旁路磁阻）。同时，屏蔽罩与变压器间应留出一定非磁隙，并且不允许具有形成引导桥的钢质零件（为了增大干扰磁场通过变压器的磁阻）。而为了利用涡流去磁作用来增加屏蔽系数，屏蔽材料应具有高的导磁率和大的厚度，并且使与磁力线垂直的途径上没有大的接合缝隙。

这样一来，为了在很宽的频率范围内增加屏蔽系数，首先，屏蔽罩材料应具有高的起始导磁率（因为干扰场强一般很弱）和高的导电率，但实际上高导磁率磁性合金的导电率很小，因此，用磁性材料作的屏蔽时，难于兼顾到旁路作用和去磁作用，以便在很宽的频率内达到此目的。当要求屏蔽系数很大时（在10—100范围内）最好选择坡莫合金作为屏蔽材料。但当频率增高时，磁集膏效应将使材料导磁率下降，而且，材料的导磁率愈高，电阻率愈低和厚度愈大，导磁率下降现象出现得愈早，因此，当屏蔽由高导磁率合金制成时，为了减少屏蔽作用随频率的增高而下降的现象，应该由不厚于0.3—0.4毫米的薄片叠至必须的厚度。采用非金属磁料（如起始导磁率为400或2000的铁淦氧）作屏蔽，可以更有效地减少这种现象。当屏蔽系数只需几十而要求变压器尺寸很小时，采用这种材料是适宜的，但不应忘记，铁淦氧工作的温度范围受居里点的限制。

采用软钢及一般变压器钢作屏蔽，由于起始导磁率很低，其屏蔽效果很差，当要求屏蔽系数大于10—20时，就要求很大尺寸，既笨重又昂贵，当所要求的屏蔽系数不高（<10）时，屏蔽作用可在几千赫（甚至几十千赫）的范围内几乎保持不变。

在设计屏蔽的结构时，可以采用增加其厚度和它与变压器间空隙的方法来达到所需的屏蔽系数，但不应忘记，这将导致变压器外部尺寸和结构的笨重，实际上，屏蔽罩的厚度不超过1毫米，而空隙距离一般为0.05—0.1厘米左右。

考虑到不造成与力线正交的接合缝，最简单屏蔽结构及安装变压器方法如图8—502所示：

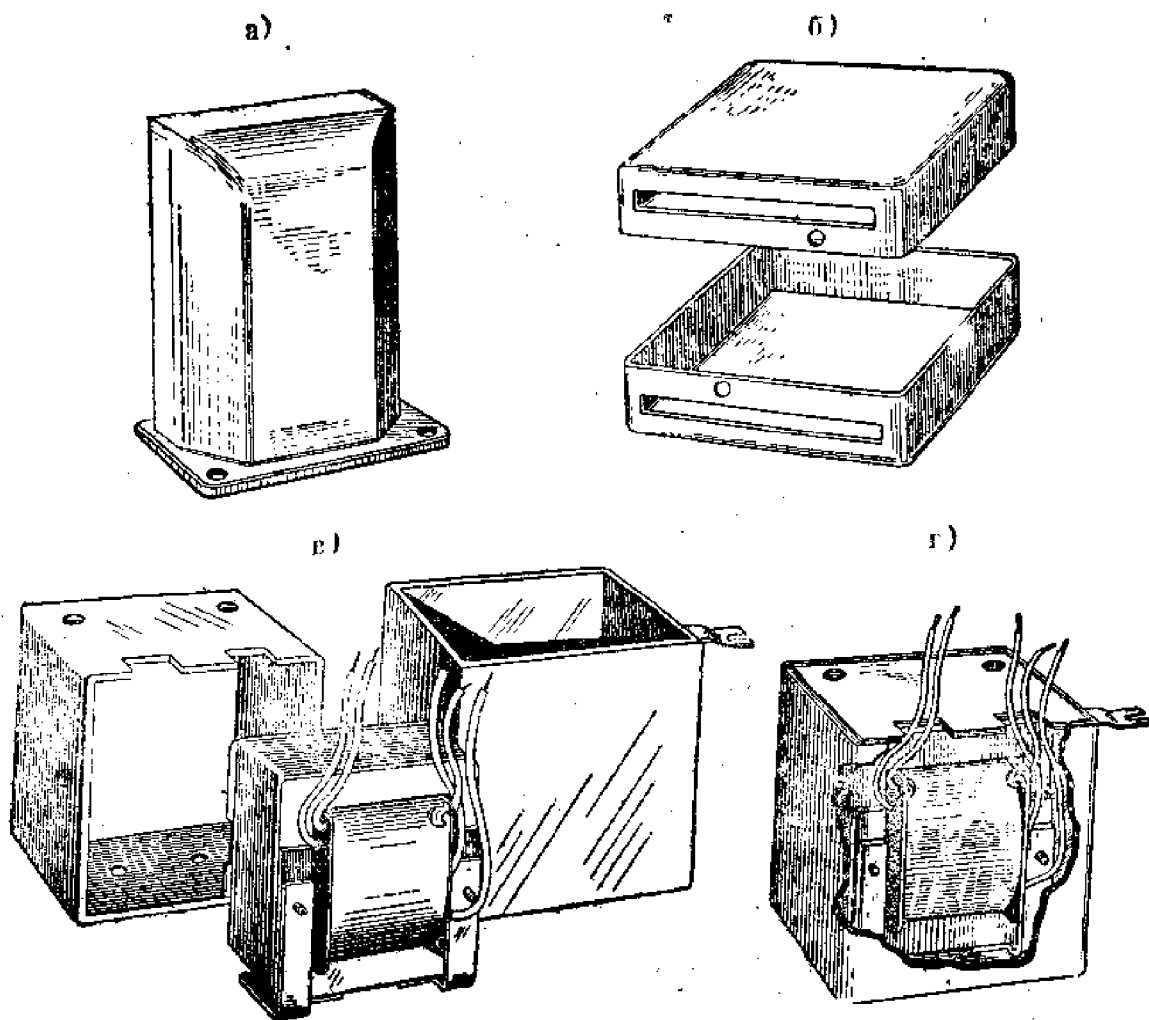


圖3—502 几种简单的屏蔽罩结构例子

a) 壳式磁性屏蔽 b) 由两个片子冲压成的屏蔽 c) 一个套在另一个外面的
由两矩形筒做成的屏蔽以及和变压器固定方法 d) 装上了屏蔽的变压器

其中圖1)和3)的特点是只有一个方向的接缝。放置变压器时，可使其线包轴线与此接缝相平行。圖B)和D)的特点是结构本身提出了充分利用磁性材料各向异性能的可能性。此时，可能通过线包的磁力线与磁屏蔽材料的压延方向一致，而与力线垂直的接合缝的结构为叠合式的，这也不致导致磁阻的增加。

当要求更高(几百到几千)的屏蔽系数时，采用双重(圖3—503)或三重屏蔽方法来达

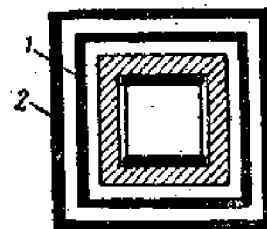


圖3—503 双层屏蔽
1—内屏蔽; 2—外屏蔽。

到所需的屏蔽系数，比用增加厚度或增加铁芯与屏蔽之间的距离更为合理。因为双重屏蔽的屏蔽系数为内屏蔽对变压器的屏蔽系数与外屏蔽对内屏蔽的屏蔽系数的乘积，而当将单层屏蔽的厚度增加一倍时只能使屏蔽系数增大一倍。

为了减少所使用材料和减小总尺寸，实际上多重屏蔽各外壳间距离应该选择得和铁芯与内屏蔽间的距离大致相等，各外壳的厚度相同而且均不超过0.5—1毫米。每层屏蔽也采用图8—502 b)的结构形式。

由厚度为0.3—0.5毫米坡莫合金作成的屏蔽，当频率超过几百或几千赫时，其屏蔽系数已开始下降。由导电率较高的非磁性金属材料（如紫铜或铝）作成的屏蔽的屏蔽系数随厚度增加而增大，也随干扰场频率的升高而增大（在射频时达到很高值）。当频率降低时，作用大大降低，显然，可采用增加厚度的方法使它在较低的频率上产生屏蔽作用（但这样做不经济，并增加了重量和尺寸），但在一般所采用的厚度（十分之几毫米到几个毫米）下，当频率降低到几十赫时，屏蔽作用实际上已消失，因此，为了实现宽频段内的屏蔽，应该采用由铜（或铝）和磁性材料做成的没有非磁隙的组合屏蔽，其中可以具有不同方案；例如，可以是坡莫合金—铜的，坡莫合金—铜—坡莫合金，铜—坡莫合金—铜以及其他等等的组合。由于在这种情况下，各单独屏蔽层相互之间的相位相反的作用，比在具有非磁隙的多层屏蔽时更为有利，其屏蔽效果更加提高了。磁性材料的屏蔽罩的结构通常和图8—502所示的结构相同，而铜屏蔽可以是用铜板条弯成，并且接缝处熔接得很好的无盖矩形筒（装置时应使其轴线与线包的轴线平行）。也可以在垂直于线包轴的平面内垫放厚度为1—2毫米的铜片。

当在钢制底板上安装具有磁屏蔽的变压器时，在屏蔽与底板之间也应保持一定非磁屏（为了避免干扰磁场为底板所集中，因而引起对变压器的干扰显著增加），但电气上又应该与底板相连（为了避免静电感应），为此，可用非磁性金属制成的固定零件以及在屏蔽与底板间垫入非磁性的金属垫层。

设备中的电源变压器，是产生干扰磁场的来源之一，因此，为了防止它本身所散发的磁场对设备其他元件的干扰，也应将它屏蔽起来，为此，在一般情况下，可采用如图8—504所示的结构，用冲压成的盖罩，罩住线包露出的部分，在这种情况下，可以不

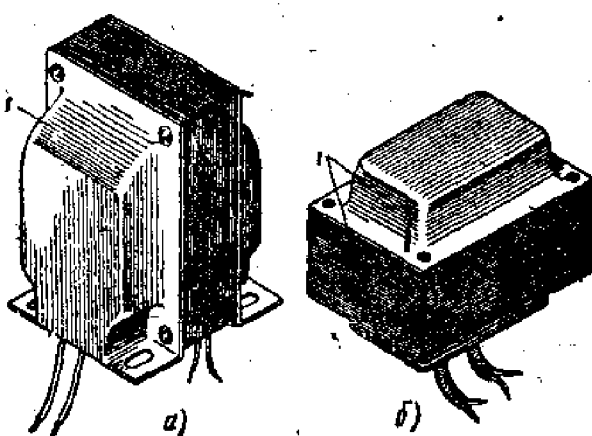


图8—504 具有磁屏蔽的变压器结构

1—冲制的屏蔽盖

必盖住磁路的頂部和留出空隙，因为它無須防止外界場的干扰。这种形式外壳的另一个重要作用，是在机械上保护变压器线包不受碰伤。

在某些电视接收机中，为了防止电源变压器的發散磁场对电子射线管的偏轉線圈造成干扰，采用了如圖3—505所示的結構。測量結果表明，当繞在变压器中部的短路匝由厚度为3毫米和寬度为65毫米的鋁带制成，連接处采用熔接时，可使电子射线管附近的發射磁场减小12—16分貝。获得这样滿意的效果，是由于鋁制短路匝与磁路銅片构成了双層的銅—鋁組合屏蔽所致。

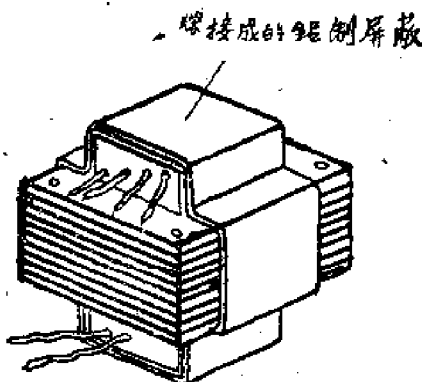


圖3—505 用鋁制短路匝来屏蔽电源变压器

現在，讓我們討論屏蔽尺寸的計算：

当于抗場的情况和允許的干扰电压 $U_{n\beta}$ [伏] 为已知时，必須的屏蔽系数可用下式計算：

$$\beta_n = \frac{6.28 \times 10^{-8} K_n W f_n H_n S_m}{U_{n\beta} \sqrt{1 + \left[\frac{6.28 f_n L_1 (1 + \alpha)}{\alpha R_i} \right]^2}} \quad (8-502)$$

或者 β_n 分貝 = $20 \lg \beta_n$ (8-503)

式中： β_n —— 必須的屏蔽系数

K_n —— 考虑到变压器鐵芯集中磁力綫的系数，其大小决定于鐵芯形状、尺寸和变压器离开干扰源的距离。測量結果指出，在普通情况下：

$$K_n = 3 - 5$$

W_1 —— 線圈初級繞組的匝数；

L_1 —— 初級繞組电感(亨)；

S_m —— 鐵芯淨电截面(厘米)；

R_i —— 干源电源的內阻(欧)；

$$\alpha — 电阻比 \quad \alpha = \frac{R_2'}{R_i};$$

R_2' —— 折算到初級的等效負載电阻(欧)；

f_n —— 干扰場的頻率 (赫)；

H_n —— 干扰磁場强度 (高斯)。

如果屏蔽罩的结构如圖8—506所示，則這結構的实际屏蔽系数可按下式計算：

$$\beta_k = 1 + \frac{2 \delta_a p_a \delta_a \mu_{0a}}{l_a b_c l_a} \quad (8-504)$$

或， $\beta_{k\text{db}} = 20 \lg \beta_k \quad (8-505)$

式中的尺寸符号如圖所示， μ_{0a} 为屏蔽罩材料的等效起始磁率。

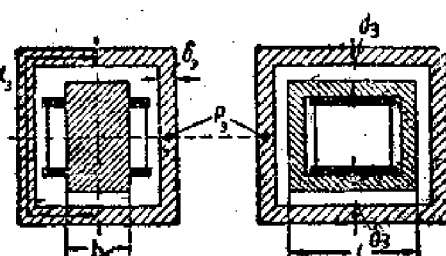


圖8—506 計算屏蔽系数的结构示意图

当 δ_a 不超过铁芯外尺寸的(5—10)%，屏蔽罩为一厚度均等的密封矩形结构时，該公式的結果是正确的。

屏蔽罩的结构尺寸和材料的參量应滿足。

$$\beta_k \geq \beta_n \quad (8-506)$$

II. 防潮和防止气压变化的影响：

潮气浸入变压器的絕緣物中，会使其綫包内部因絕緣电阻降低和介質損耗的增加而产生局部过热，以致使其絕緣性能更为变坏，經过一定時間后，即可产生局部燒穿，产生短路。并因而引起电感量改变和損耗增加。有时在繞組之間以及在綫包与铁芯之間也会燒穿。潮气加速金屬材料腐蝕，会造成繞組的断路(特別是直徑小于0.05—0.1毫米的导線)。所有这些現象都影响变压器可靠地工作，或者縮短了变压器的寿命。

气压的变化，在严重情况下，可能使变压器产生电击穿或因散热不良而造成不允许的过热。因此，除了在設計和制造磁路和綫包时，应考慮到防潮处理以外，还應該在总体結構时加以考虑。

为了提高綫包与铁芯間的电气絕緣和提高綫包在铁芯中裝合的牢固性，可以在綫包裝上磁路后进行浸漬和灌封，采用这种浸漬或灌封的变压器結構例子如圖8—405_B所示。其所采用的材料和工艺过程，与单独进行綫包浸漬和灌封时相同。采用浸漬和灌封，对于防潮的效果与所用材料电气性能和机械性能以及工艺过程的正确与否有关，当采用环氧树脂灌封变压器时，可获得十分滿意的抵抗外界因素(包括气象的和机械的)影响的能力。因此，現在已愈来愈广泛的用于小型变压器中(当变压器尺寸很大时，采用这种灌封将消耗大量树脂)。但当采用一般材料进行浸漬或灌封时，在增高温度和降低气压情况下，其效果就不能滿足要求了，因为在这情况下，潮气会通过浸漬(或灌封)材料中(特別是它与引出綫連接的地方)的不可避免的裂縫慢慢地浸入綫包內部。

在某些情況下，把尺寸很小的变压器在預先烘干之后放入密閉塑料外壳中，并用橡

胶片垫进行密封，也可以达到防潮目的，这种方法在安装方面很方便，但当使用时间较长时，外壳的接合缝不能完全防止潮气的浸入。有时，在放入外壳以前预先经过浸渍。图8—507所示就是这种结构的例子。

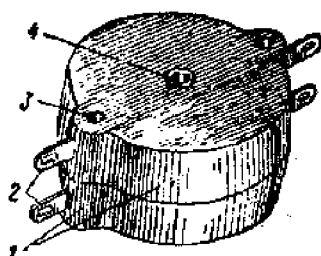


图8—507 已装入塑料外壳中小尺寸的环形变压器

1. 外壳的两半 2. 引出端焊片 3. 用来连接外壳两个半体的螺钉孔 4. 嵌压入的螺母（用来收紧装在变压器的螺钉）。

防止外界因素影响的唯一可靠的方法是密封。但必须特别注意，在外壳进行焊接以前要细致地排除外壳内的潮气，对于高压变压器，为了提高密封空间内变压器的抗电强度及减少变压器尺寸，应采用绝缘油灌注，采用这种方法相当昂贵，因此，只有在重要情况下才采用。（密封的工艺参见第三章）

III. 发热检验和散热措施：

某些功率变压器中，铁芯的损耗（铁耗）和线包中的损耗（铜耗），可能引起过热，因此应对它进行发热检验，并采取单独的散热措施。

在变压器中，在一般情况下，散热主要是依靠对流（周围气体或液体的局部运动）的散热。

依靠对流散热时，所排出的热功率 P_k [瓦]由下式决定：

$$P_k = \alpha_k (t_2 - t_1) S \quad (8-507)$$

式中： t_2 —— 加热表面的温度 $^{\circ}\text{C}$ ；

t_1 —— 周围介质的温度 $^{\circ}\text{C}$ ；

S —— 散热的表面积 [厘米^2]；

α_k —— 散热系数 [瓦/ $^{\circ}\text{C}$ 厘米 2]。

α_k 是当加热表面与周围介质的温差为 1°C 时，1 厘米 2 表面上，在一秒鐘内排出的热量。它依赖于冷却表面的形状，周围介质的密度、湿度和温度以及流动速度等多种因素。对于不同的具体情况， α_k 有不同数值。欲确定其准确的数值是十分复杂的（正因为如此，发热的计算只能是近似的），为了近似计算， α_k 可采用以下由经验得来的大致数值：

对于空气自然冷却来说，铁芯表面的： $\alpha_k \approx 14 \times 10^{-4}$ [瓦/ $^{\circ}\text{C} \cdot \text{厘米}^2$]，线包表面上的 $\alpha_k \approx 10 \times 10^{-4}$ [瓦/ $^{\circ}\text{C} \cdot \text{厘米}^2$]，从变压器表面上平均的 $\alpha_k \approx 13 \times 10^{-4}$ [瓦/ $^{\circ}\text{C} \cdot \text{厘米}^2$]。

而对于浸油的情况，从变压器表面上平均的 $\alpha_k \approx 50 \times 10^{-4}$ (瓦/°C·厘米²)。

当 P_k 等于变压器总的损耗功率 ΣP (由铁损和铜损组成，计算方法将在以后各节中讨论)时，根据 P_k 表示式，可导出变压器的温升 Δt (与周围介质的温差)为：

$$\Delta t = t_2 - t_1 = \frac{\Sigma P}{\alpha_k \cdot S} \quad (8-508)$$

这里的 S 应理解为有效的散热表面，即变压器 (或其密封外壳) 与周围介质直接接触的表面，但当所露出的表面之间形成小于(3—6)毫米的缝隙时，依靠对流的散热已几乎消失，因此应从总的表面中减去。显然， S 的计算因变压器结构不同而异，读者可利用几何学的知识自行确定。或者，当给定变压器工作的周围环境的最高温度 t_1 时，为了检验，可算出散热表面的最高发热温度 t_2 ：

$$t_2 = \Delta t + t_1 \quad (8-509)$$

由于线包中具有绝大部分绝缘材料 (在油浸渍情况下，还包括变压器与外壳之间的油层)。因此，线包内部与变压器线包 (或外壳) 外表面之间，具有一定的阻热性，以致形成一个温度差 $\Delta t'$ (对于采用一般浸渍的敞开式变压器，大约为10—15°C，对于油浸变压器，大约为35—45°C)，因而，线包内部最高温度 (危险温度) t'_2 应等于：

$$t'_2 = t_2 + \Delta t' \quad (8-510)$$

所算得的线包内部最高温度 t'_2 ，应该小于由线包绝缘材料耐热性所决定的允许工作温度。(对一般变压器所采用的绝缘材料来说约为105°C)。

如果检验的结果不能满足上述要求，应采用耐热性高的绝缘材料或采用其他排热措施。例如在变压器上附加装上散热片，采用风冷等。当设备上不允许采用这些措施或采用后仍不能满足散热要求时，应按照允许发热要求来确定所需要的变压器铁芯尺寸和外壳尺寸，但这种情况下可能使变压器的电气性能变坏。

当按冷却条件来确定铁芯或外壳最小尺寸时，可按相反的顺序计算，为此，应首先知道外部介质的最大温度 t_1 ，线包的最高工作温度 t_{max} ，以及变压器损耗功率的近似值 (可用近似计算法，因为它依赖于变压器的结构)。

对于敞开式变压器来说：

绕组表面允许温升 Δt_{max} 为：

$$\Delta t_{max} = t_{max} - t_1 \quad (8-511)$$

变压器尺寸应保证其有效散热表面 S_a

$$S_a \geq \frac{\Sigma P}{13 \times 10^{-4} \Delta t_{max}} \quad (8-512)$$

对于油浸变压器来说：计算外壳对周围空气的允许温升 $\Delta t''_{max}$ 时，为安全起见。 $\Delta t'$ 取较大数，近似地确定为绕组最高允许温升的 $2/3$ ，即：

$$\Delta t' = \frac{2}{3} (t_{max} - t_1) \quad (8-513)$$

$$\text{则 } \Delta t''_{max} = t_{max} - \frac{2}{3} (t_{max} - t_1) - t_1 \quad (8-514)$$

也为了安全起见，认为油的温度与外壳相同，因而变压器表面对油的允许温升

$\Delta t'_{\max}$ 为:

$$\Delta t'_{\max} = t_{\max} - \Delta t'' = \left[\frac{2}{3} (t_{\max} - t_1) + t_1 \right] \quad (8-515)$$

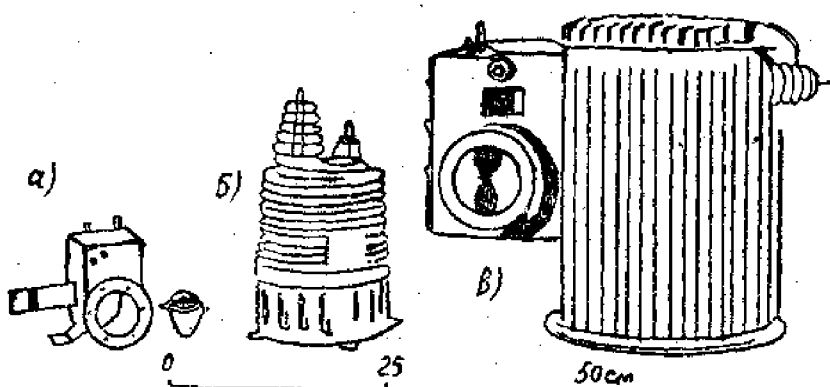
式中: $\Delta t''$ 为线包内部与其表面的温度落差 (约为 10—15°C), 此时, 变压器尺寸应保证具有有效散热表面:

$$S' \geq \frac{\Sigma P}{50 \times 10^{-4} \Delta t'_{\max}} \quad (8-516)$$

而外壳尺寸应保证具有有效散热表面:

$$S'' \geq \frac{\Sigma P}{13 \times 10^{-4} \Delta t_{\max}} \quad (8-517)$$

当所计算得的外壳表面很大时, 为了减小体积, 可采用具有波纹形表面的结构以便在小体积下加大其散热表面积, 由于减小了充油的体积, 由于这种结构同时具有加固作用, 因而可以用较小厚度的壁板来实现必要机械强度, 所以变压器的重量也得到了减轻。这种结构的例子示于图 8-508,



当变压器外壳充满油时, 在很多情况下, 应考虑到油在热膨胀时对外壳所造成内压力, 当油的容积足够大时, 这种压力会使外壳受到机械上的破坏, 为了减小油的绝对容积, 有时在外壳内放入一些玻璃珠, 也可以用外壳内留出一个容积不大的不充油的空气缓冲层的方法来减小其压力, 但外壳内空气容量过大, 将使内部抗电强度降低, 因此, 也使这种方法的采用受到限制。为了防止冷却油受热时内压力引起的破坏, 在功率较小的密封充油变压器中 (此时变压器析出热量较小, 而油的容积不大), 通常可采用有足够柔性的薄壁板制成外壳。为了增加壁板的柔性, 有时把它压成波纹形状, 如图 8-509, a) b) 所示。在中等功率变压器中, 可在外壳上装置易于变形的柔性胀缩盒, 如图 8-509, b) 所示。大功率密封变压器常采用圆柱形外壳, 这时可将外壳的大部分做成胀缩盒的型式, 如图 8-509, r) 所示。这种结构外壳同时也加大其散热表面。

近几年来, 由于实现小型化的要求, 变压器的散热问题已引起人们的极大重视, 为此, 最近已开始采用一种能显著地提高散热系数的新方法——蒸发冷却法。

从物理学中知道, 当液体从物体表面上蒸发 (气化) 时, 将从该物体中吸收大量热

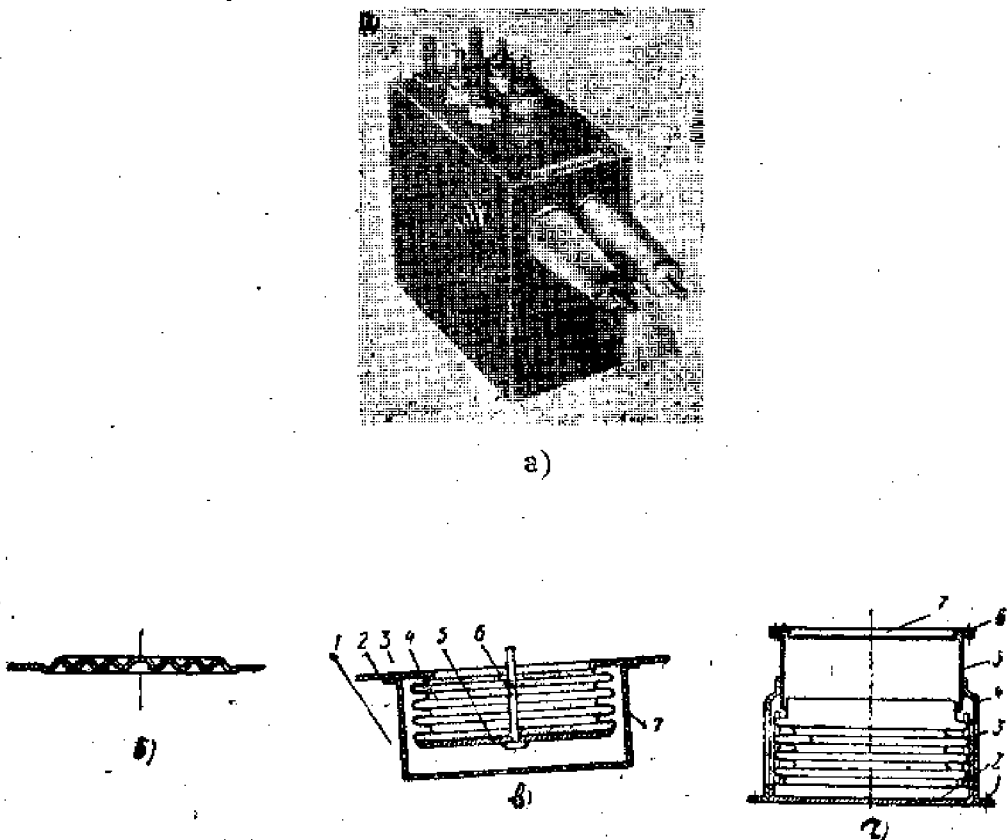


图8—509 油冷变压器扩张器及其零件结构

- a) 具有柔性的外壳的高压脉冲变压器外型; b) 增加壁板柔性的结构示例; c) 膨脹盒的结构
1. 内部空间 2. 外壳壁板 3. 外部空间 4. 膨脹盒的侧壁 5. 连接螺杆的圆盘
6. 充油时用来压紧膨脹盒的螺杆 7. 保护膨脹盒不受玻璃珠敲击的保护罩
c) 大尺寸膨脹盒的结构
1. 固定用的凸缘接头 2. 外壳盖子 3. 膨脹盒 4. 支架 5. 外壳的柔性部分
6. 外壳的凸缘接头 7. 外壳的上盖

量，因而这个过程使物体的温度显著降低。这便是蒸發冷却法的物理基础。

目前，蒸發冷却是用液态氟化物实现的，采用氟化物蒸發冷却变压器结构如图8—510所示，密封变压器外壳内充有小量液态氟化物，线圈和磁路内插入玻璃纤维物，纤维物的另一端浸入液体中，并借助于毛细管作用将液体引导到线包的空隙内，变压器工作时所发出的热量，使氟化物从线包表面上蒸發，并吸收大量热量，气体氟化物将在冷却的外壳壁上凝结，并因而产生了循环的气化和液化过程。为了冷却氟化物，外壳底部装有导热用的铜板。

理论分析指出，这种具有蒸發和凝结过程的系统的总散热系数，比只利用气体对流的同样密封系统的散热系数要大十倍左右。

实践表明，采用这种冷却的变压器可能工作在高达250°C的环境之下。氟化物的高的绝缘性能，也使变压器抗电强度得到进一步提高。

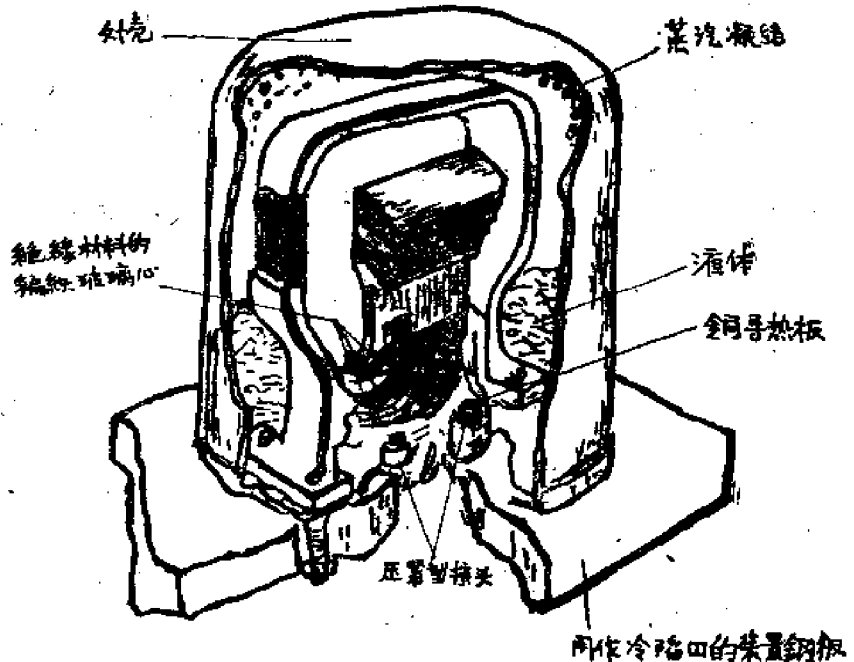


圖8—510 氟化物蒸發冷却变压器剖視圖

由于上述这些原因，在不采用其他复杂的强迫冷却的条件下，也可能大大地缩小变压器的尺寸和重量。圖8—511所示，便是由于采用这种结构使磁控管灯絲变压器体积缩小的例子。

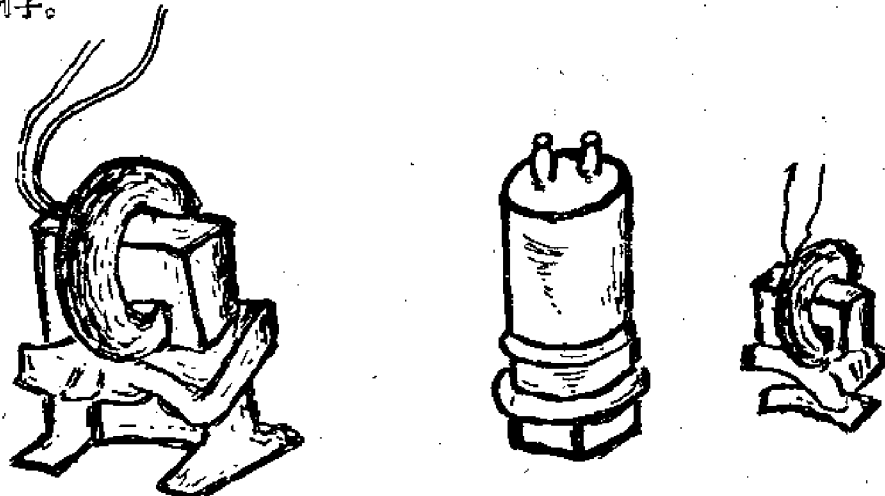


圖8—511 在磁控管灯絲变压器中采用氟化物蒸發冷却，使尺寸縮小的示例

当变压器用耐高热的絕緣材料（例如采用能工作于300°C的聚四氟乙烯陶瓷絕緣的导线，以硅有机化合物浸渍的玻璃絕緣的导线等为繞組导线，采用硅有机浸渍过的玻璃布为綫包內的絕緣層；采用石棉、云母、玻璃、硅石等作为絕緣垫片，用 SiO_2 、 MgO 、 Al_2O_3 等作磁路的片間絕緣層）时，兼用这种蒸發冷却系統可以进一步提高其工作温度，并实现小型化。现在已用上述措施制成尺寸非常小的能在500°C环境下工作的变压器。

VI. 机械保护和结构零件：

前面已指出的某些屏蔽罩，各种防潮的保护层以及密封外壳，都可以同时保护变压器免受机械损伤，当需要这些壳层同时完成机械保护作用时，应该注意到使它们具有一定机械强度。当依靠这些壳层仍不能满足机械保护要求，或者没有上述这些壳层时，应另外考虑变压器的机械保护措施。

变压器是设备中最笨重的零件之一，使用过程中可能受到特别大的机械作用，因此，对它本身的结合方法，以及把它固定到设备中去的方法，也应给予很大的注意。

现在我们来讨论考虑到上述因素的某些常用的结构例子。

为了把小尺寸具有叠片式磁路的变压器固定到底板上，可采用装合磁路的带脚的U形夹壳。

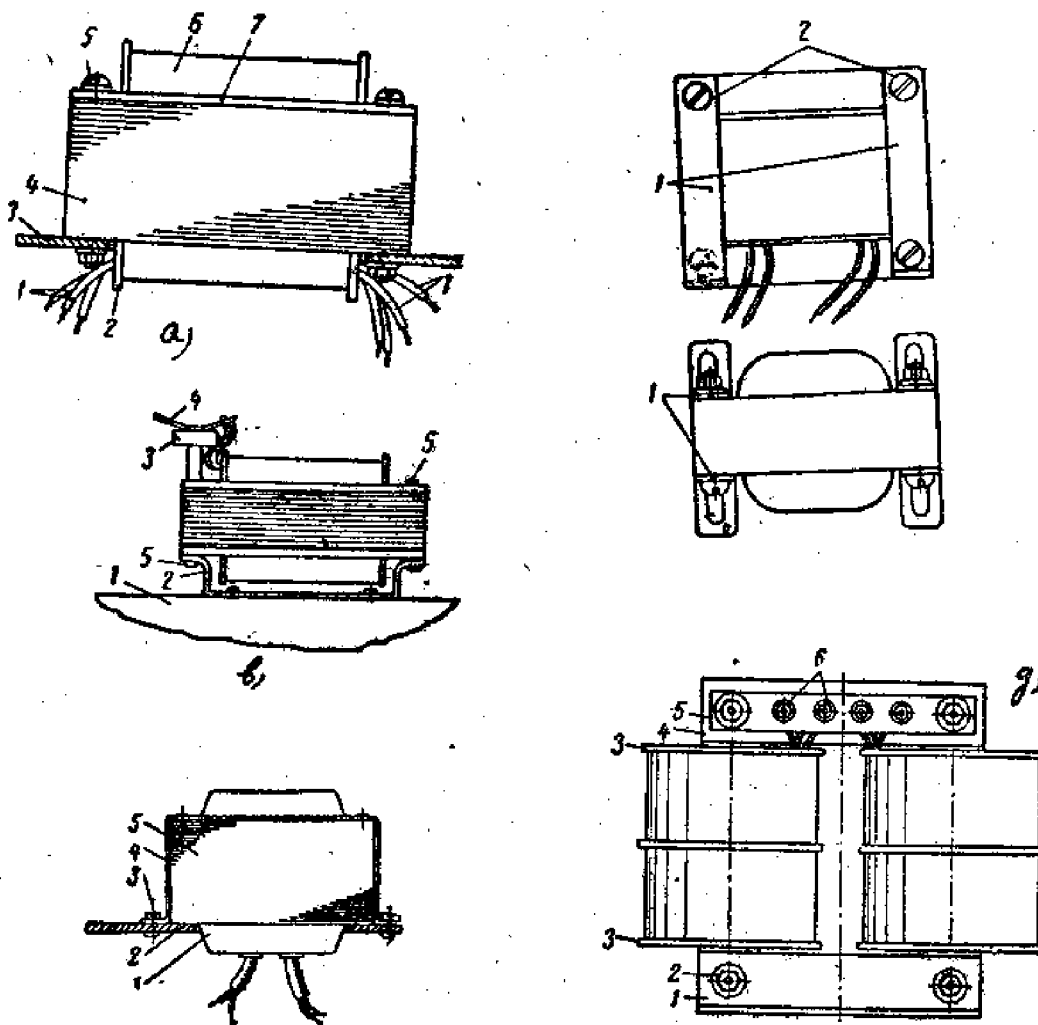


图8—512 具有叠片磁路变压器的固定方法

- a) 直接利用收紧磁路的螺钉固定 1. 引出线 2. 骨架 3. 底板 4. 磁路 5. 收紧螺钉 6. 缠包 7. 压板条 6) 用带脚的压板条固定 1. 铝条 2. 螺钉 b) 用U形支架固定 1. 底板 2. U形支架 3. 绕线板 4. 焊片 5. 管状钢钉 c) 用U形压板固定 1. 钢制盖子 2. 底板 3. 螺钉 4. U形压板 5. 磁路 d) 用角铁固定的具有双绕包的柱形变压器 1. 角铁 2. 收紧螺钉 3. 骨架的隔板 4. 磁路 5. 介質的接线板条 6. 引出端

在尺寸較大的叠片式磁路变压器中磁路上具有收紧磁路用的螺釘孔，此时，最方便的是直接利用收紧螺釘作为固定零件（圖8—512B），或者借助于蒙固在收紧螺釘上的帶脚的钣条（圖8—512，a），U形支架（圖8—512，b）U形压板（圖8—512，r）角鉄（圖8—512，d）带蒙配孔的保护外罩（圖8—504，a）等进行固定。

具有卷繞型磁路的变压器，通常用鋼带来收紧磁路的两半，帶籠的連接处可以用端头扣紧搭扣或螺釘等进行連接。借助于熔焊在鋼帶上的条板（圖8—405，a）或铆接在鋼帶上的各种形式支脚或支座进行固定，在这种情况下，帶籠承受着整个变压器的重量，必須具有足够的强度，收紧的接合处应保証足够的拉力，但也应注意到拉力过大，会导致磁路的应力变形，以致引起磁性的变坏。当采用圖8—405，B所示的用环氧树脂灌封整个变压器的結構时，可以較順利地解决这个矛盾，因为环氧树脂的高的粘合性能和高的机械强度使其中的紧固和接合得到了額外的加强；此外，当鋼帶的厚度較大时，在工作頻率較高的变压器中，鋼帶內将产生較大的渦流，引入附加的損耗和加热，在某些情況下，这是不允許的。因此，在大功率的脉冲变压器中，装合固定的鋼帶，最好不通过綫包的軸心，裝固的結構形式如圖8—513所示。

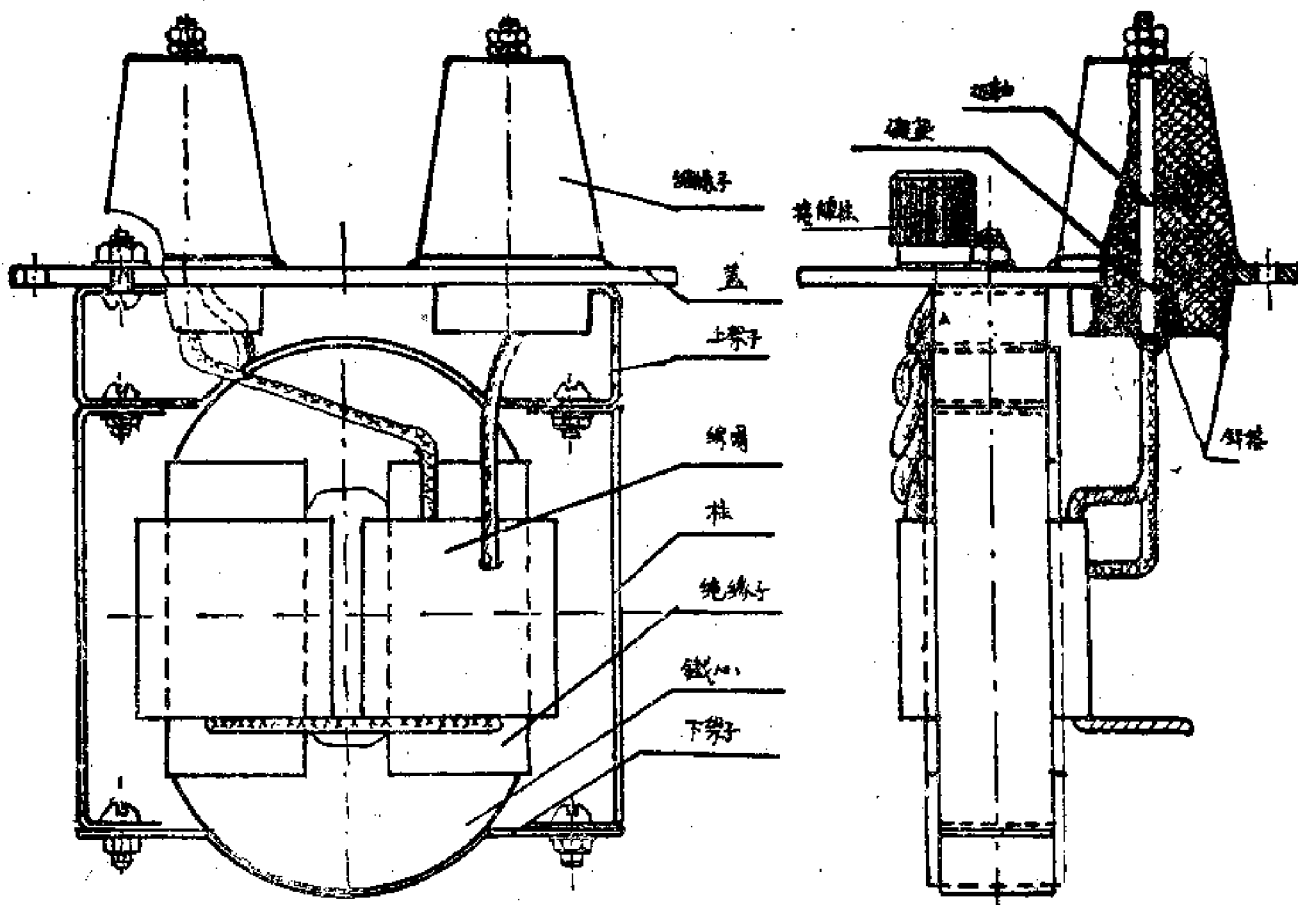


圖8—513 裝配浸油高压脉冲变压器（具有卷繞型磁路）的结构图

密封在金属壳内部的变压器可以固定在外壳的盖子上(图8—513)，通过壳的固定零件固定到底板上。这种固定方法虽然结构简单，但并不是最好的，因为变压器的全部机械重负荷都支持在外壳盖子及其壳体上，这就要求整个外壳的结构(包括壳体、盖子及其间的接合缝)都必须具有足够的机械强度和刚度，也就是说，必须采用具有足够壁厚的外壳以及坚固的连接(盖子与壳体之间)方法，这就大大地增加了外壳的重量。为此，当变压器使用在具有较大机械负荷的情况下，最好是采用图8—514a所示的结构。这种结构与上述结构的不同点，在于变压器本身的重量直接通过铆接在框架上的空心支柱3(图8—14a)或紧固在成型支持臂上的双头螺栓3(图8—514，B)传给底板而不过通过外壳。

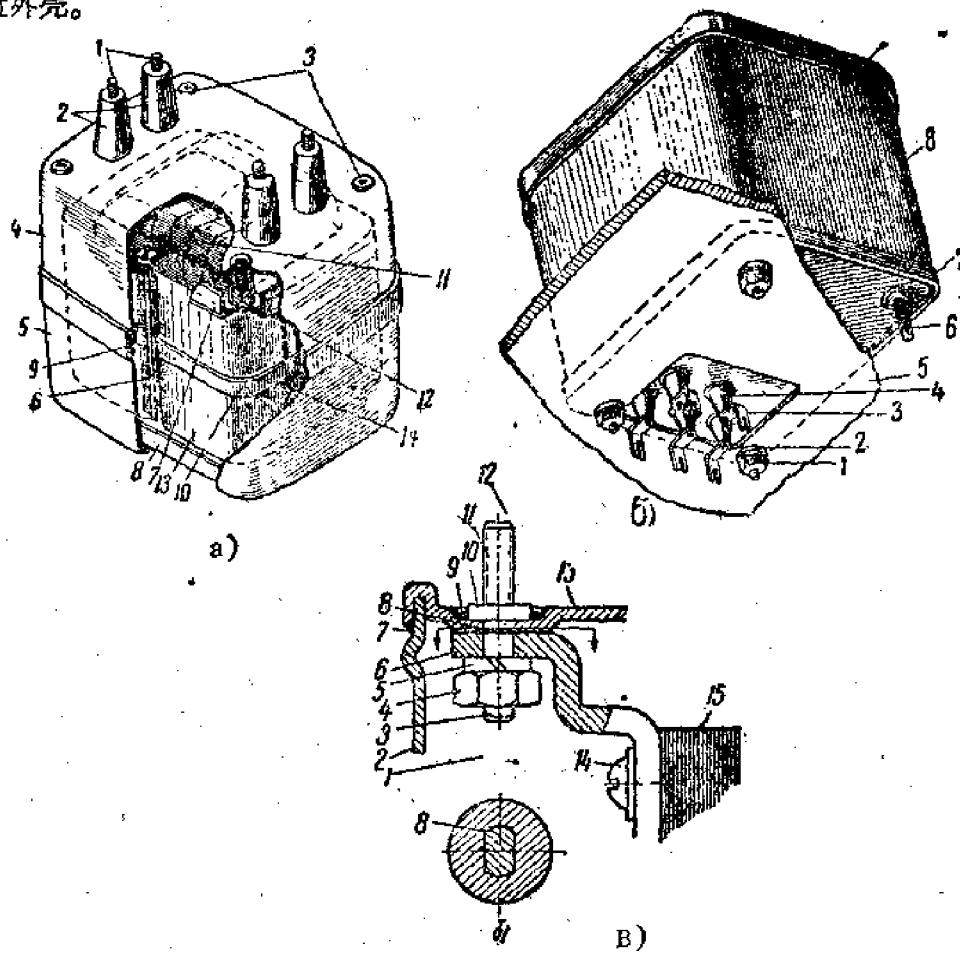


图8—514 密封变压器的固定方法

a) 借助于两个角铁制成的框架，直接固定变压器

- 1. 引出端 2. 绝缘子 3. 支柱 4. 5. 外壳罩 6. 收紧框架用的螺钉 7. 8. 角铁
制成的框架 9. 焊缝 10. 钢带 11. 线包 12. 压纸板制成的弹性垫片 13.
磁路；14. 磁路的接合处

b) 借助于通过盖子的双头螺栓直接固定变压器

- 1. 固定变压器的螺母 2. 弹性垫圈 3. 引出端的焊片 4. 密封空心通轴子 5. 底
板 6. 双头螺栓 7. 下盖 8. 外壳壳体 9. 上盖

c) 双头螺栓平面内的垂直剖面图

- 1. 密封的空间 2. 外壳壁板 3. 11. 双头螺栓的一端 4. 螺母 5. 弹性垫圈 6.
成形的支持臂 7. 焊接缝 8. 双头螺栓中具有矩形截面的段 9. 双头螺栓与盖
子的焊封处 10. 双头螺栓的凸缘 12. 外部空间 13. 盖子 14. 螺钉 15. 磁路

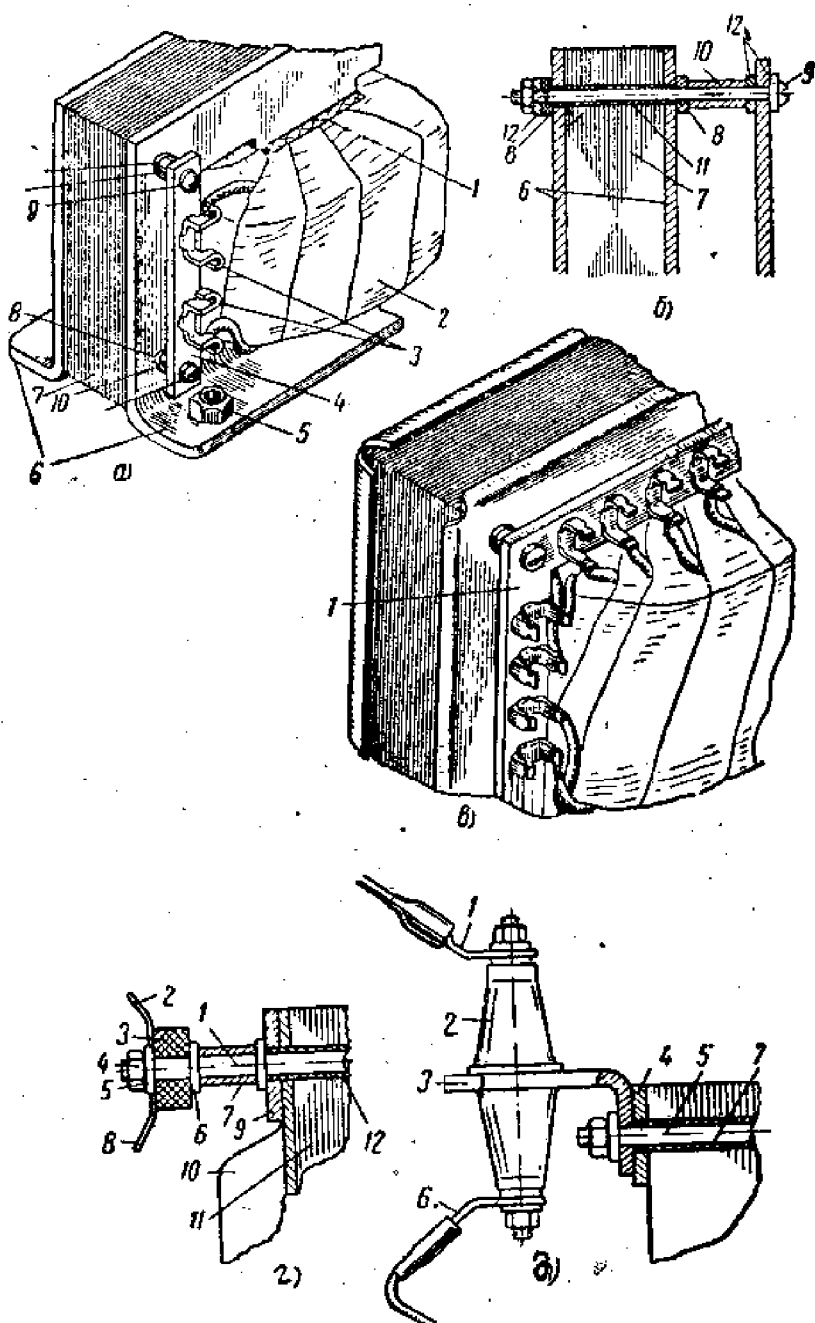


圖8—515 某些變壓器引出端的結構

a) 电源变压器引出端的结构 6) 螺钉①平面的垂直剖面圖 1. 塞紧用的楔
2. 無骨架繞圈 3. 焊片 4. 介質板條 5. 壓入的螺母 6. 直角支板 7. 磁路
8. 介質芯圈 9. 螺釘 10. 金屬套管 11. 介質套管 12. 電性基圈

b) 具有很多引出端的变压器 1. 介質板框

c) 低压变压器引出端的结构 1. 双头螺栓 2.8. 焊片的端头 3. 絶緣板条
4. 螺母 5.6. 垫圈 7. 套管 8. 压紧的板条 10. 磁屏蔽罩 11. 磁路 12. 介
質套管

d) 敞开式高压变压器引出端的一种结构

1.6. 导线的端头 2. 絶緣子 3. 直角支板 4. 压板条 5. 双头螺栓 6. 套管

这样一来，外壳及其盖子都可由薄壁的材料制成，并且，由于这种结构进行焊接的地方不承受大的机械负荷（当充油时，只承受油的重负荷），这使得在震动和冲击的作用下，也能防止焊封处的密封受到破坏。

在图8—514a中，变压器磁路13为两个用长螺钉6收紧的框架7和8所夹紧，为了使装配紧密和防止磁路产生局部变形（这种变形会导致磁性变坏），在框架和磁路之间，垫入压纸板制成的弹性垫片。铆接在框架上的8个空心支柱3的端头，可用辊口并相碰进行钎焊的方法来保证与外壳间具有机械上牢固的密封连接，借助于旋入空心支柱内的螺钉可将变压器固定到底板上。

由图8—514B可看出，变压器通过固在磁路15上的成形支臂6与双头螺栓的一端连接、借助于双头螺栓和螺母1（图8—514c）可将具有很大重量的变压器直接固定到底板上去。双头螺栓与外壳的密封连接可采用焊封方法，为了减小当旋紧螺母时在焊接处所产生的剪切应力，双头螺栓的中段具有阻碍它在盖子的孔中转动的矩形截面的一段8。

小尺寸的环形变压器，通常用介质板借助于螺栓收紧的方法进行固定，介质板盖住变压器上下两面，也起着机械保护作用。当这种变压器密封在塑料外壳内时，可以用通过外壳的安装孔的螺钉固定（图8—507），有时，为了便于检修，这种塑料外壳作成电子管底形式，其插脚同时完成机械固定和电气连接的作用。

已经指出，在一般用途小功率低压变压器中，为了简化结构，可用软接线作为引出端。在功率较大和工作电压较高的变压器中，为了保证引出端的电绝缘强度和线圈的机械强度，应采用具有附加固定的引出端，这种引出端可以是紧固在介质板（它一般装固在磁路上）上的焊片或接线柱（图8—515a、b、c、d）胶合在环氧树脂外皮上的锡片或绝缘子（图8—405），也可以是压塑在塑料外壳上的焊片（图8—507）或焊接在金属密封外壳上的绝缘子（图8—514）。

为了检修方便，某些密封变压器的引出端做成插接头的形式，但在重量较大情况下，不能依靠插脚作机械固定，为此，应具有另外的固定零件，这种结构例子如图8—516所示。

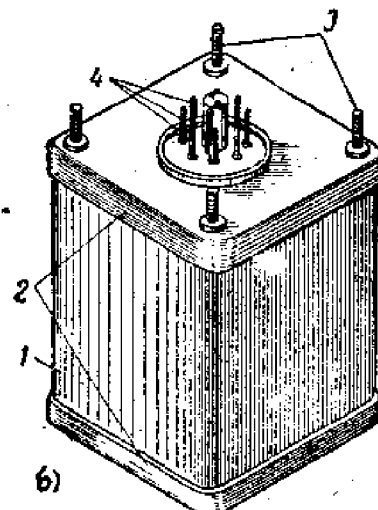


图8—516 1—外壳壳体 2—盖子 3—双头螺栓 4—插座接头的插脚

§ 8-6 变压器和低频扼流圈的繞組电感及磁路參量

前面的几节中已討論了变压器及低频扼流圈的结构和工艺，在以后的各节中，将要討論各种类型变压器的结构參量計算及結構設計方法，但討論計算方法以前，必須了解繞組电感量与繞組结构參量和磁路參量的关系，以及磁路參量与变压器及低频扼流圈工作状态和磁路本身结构的关系等問題。与这些問題有关的理論電工基础及無綫電材料等課程已討論过了，这一节里只对某些实用的結論作简单的敘述。

理論和分析表明，利用以下近似公式計算任何具有閉合型磁路的繞組的电感量，在工程計算上的准确度是足够的：

$$L = \frac{0.4\pi w^2 \mu S_m}{l_c} \cdot 10^{-8} \text{ [亨]} \quad (8-601)$$

式中：

L ——繞組电感量(亨)；

w ——繞組匝数；

S_m ——磁路靜截面积(厘米²)；

l_c ——磁路长度(厘米)；

μ ——閉合型磁路的工作导磁率。它等于磁感应交变成份幅度 B_m 与相应的磁场交变成份幅度 H_m 之比；

$$\mu = \frac{B_m}{H_m}$$

由于磁性材料 $B \sim H$ 的非綫性，以及渦流等效应的影响，磁路的 μ 值除了决定于磁性材料的磁性能以外，还决定于磁路的工作状态和工作頻率等因素。当变压器和低频扼流圈工作在对称的交流状态时，磁路經受着对称的反复磁化，此时， μ 值称为动态导磁率，一般用 μ_r 表示：

$$\mu_r = \frac{B_m}{H_m} \quad (8-602)$$

式中：

B_m ——交变磁感应的幅度(高斯)

H_m ——交变磁场的幅度(奥)

由于磁性材料磁特性的非綫性， μ_r 与 B_m 或(H_m)的大小有关。作为一个例子圖8-601示出了91AA矽鋼的 μ_r — B_m 的关系曲線。

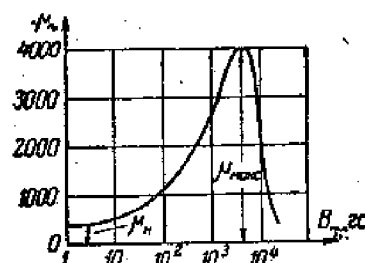


圖8-601

由圖可見，當 B_m 很小时， μ_r 几乎保持不变，在 μ_r 保持不变的这个范围内 的 μ 值，

称为起始导磁率，用 μ_H 表示：

$$\mu_H = \frac{B_m}{H_m} \quad B_m \rightarrow 0 \quad (8-603)$$

随 B_m 增加， μ_H 到达一最大值，也称最大导磁率，用 μ_{max} 表示。

有时，变压器和低频扼流圈工作电流中除交流成份外还有直流成份，其导磁率由局部迴线（图8—602）的斜率决定，有时称这种情况下的导磁率为增量导磁率，用 μ_δ 表示。

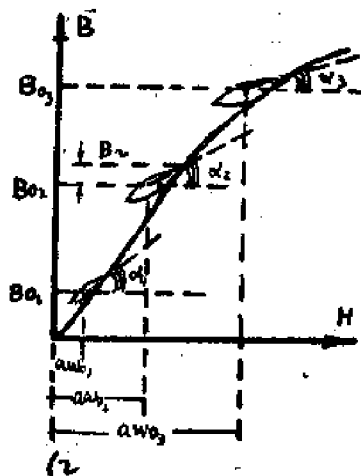


图8—602 局部反复磁化和由于恒定磁场所引起的局部磁化迴线斜率的减小

由图可见，其 μ_δ 除与 B_m 的大小有关外，还依赖于直流磁场（或直流磁感应）的大小。

图8—603示出了 μ_δ 值与直流磁场（用每厘米安匝数 aw_0 表示， $aw_0 = \frac{I_{ow}}{l_c}$ 安匝/厘米）的

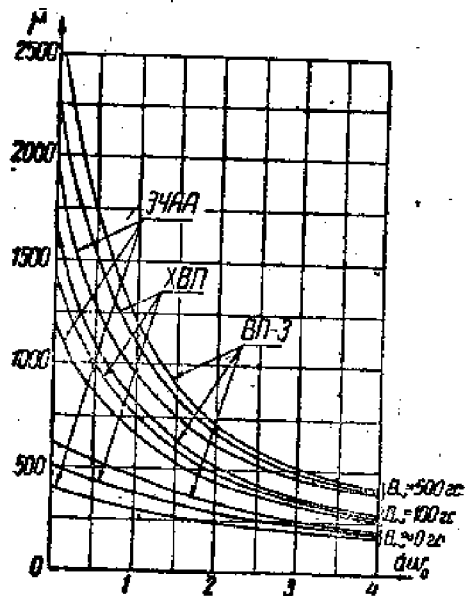
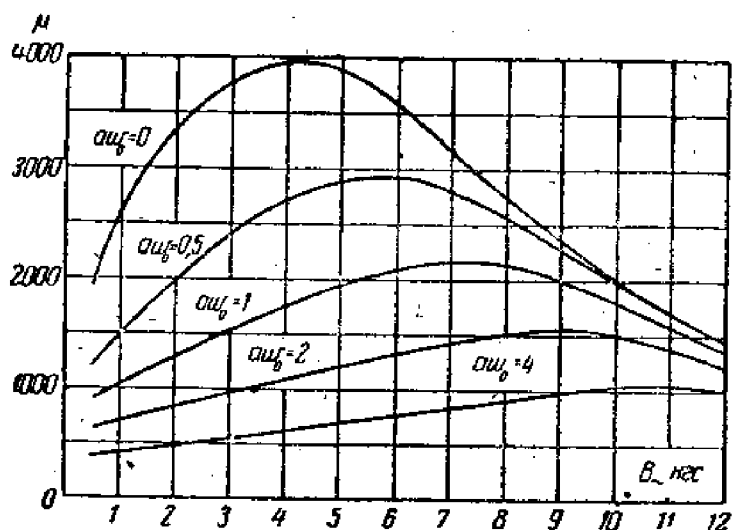


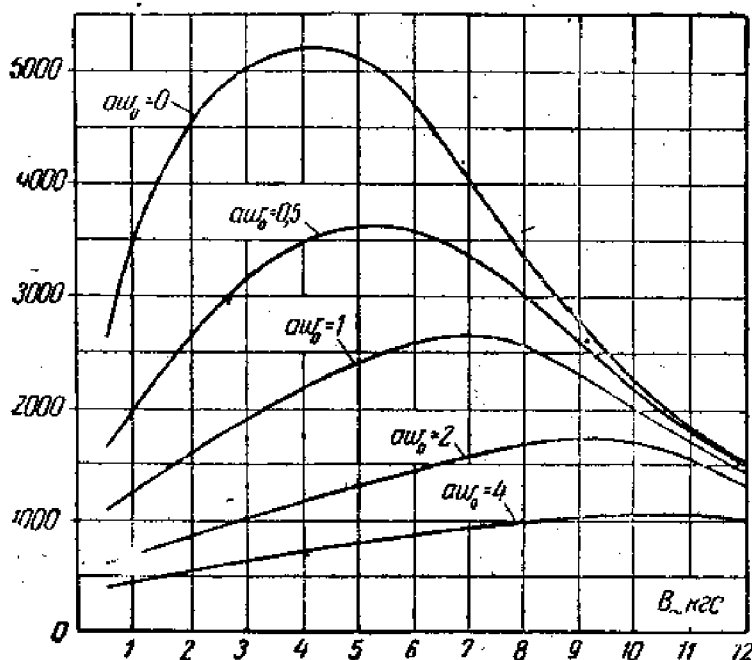
图8—603 不同 B_m 值时JIAA,XBN,BN-3型钢磁路 μ_δ 值与直流磁场的关系曲线图

关系 (1安匝/厘米 = 0.4π奥)。

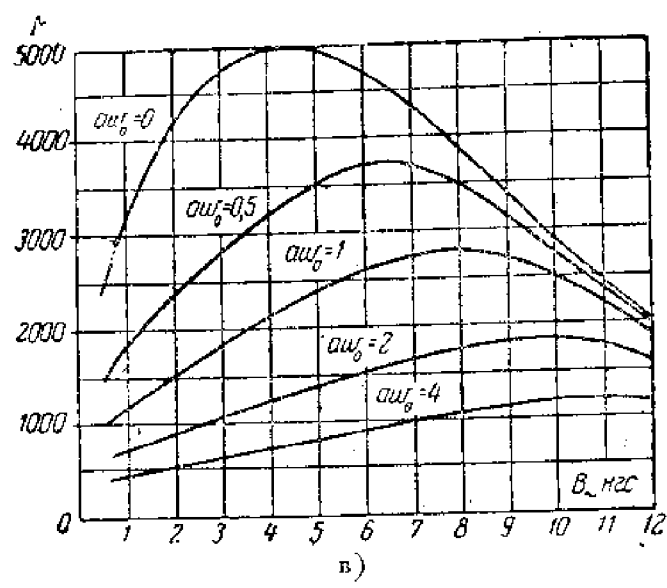
为了设计方便起见，通常将上述工作状态对导磁率的影响，综合为如图8-604所示的曲线族，它表明了某种磁性材料的 μ ， B_s 和 aw_0 三个值之间的关系，其中对称磁化的工
作状态，相当于 $aw_0 = 0$ 的情况。



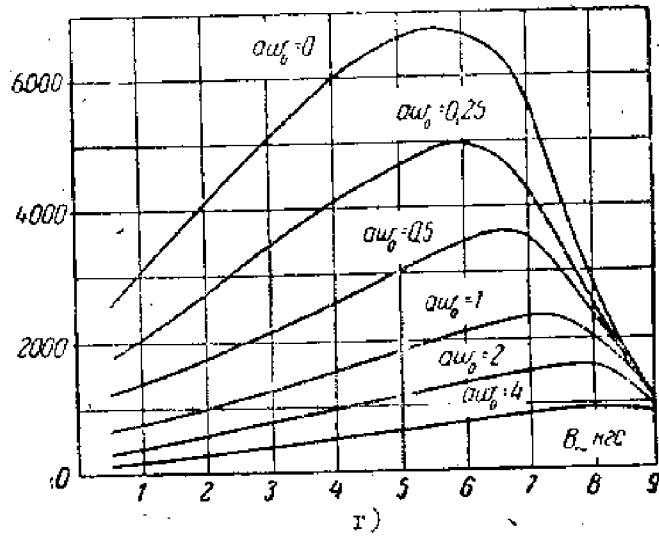
a)



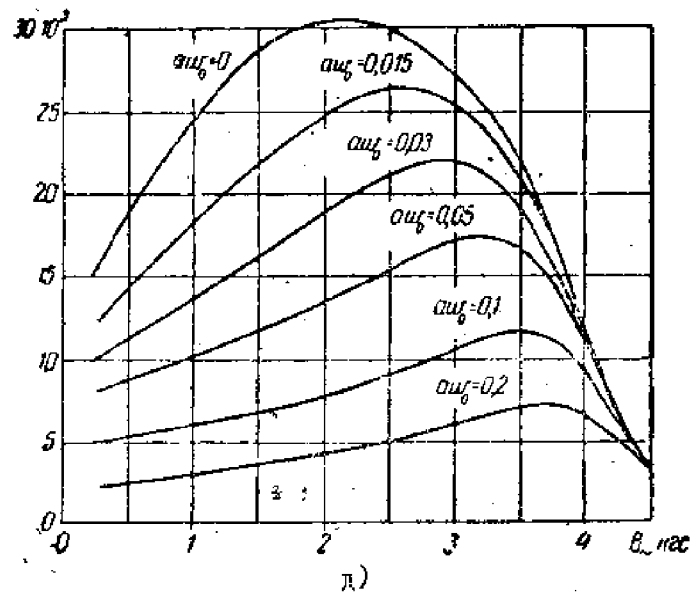
b)



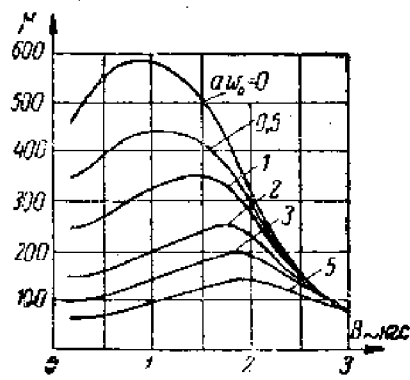
b)



r)



pi)



e)

图8—104 某些常用磁性材料的 $\mu \sim B \sim aw$ 曲线族

a) 工厂退火(冲压后未退火)的0.3~0.5毫米的01AA钢，b) 工厂退火的0.35~0.5毫米的B11-1铜，c) 工厂退火的0.35~0.7毫米的XBLI钢，d) μ_R 为2000的，厚度为0.2毫米的退火的15%坡莫合金，e) μ_R 为10000的，厚度为0.2毫米的已退火的78%坡莫合金，f) μ_R 为400的锰锌铁淦氧。

从这些曲线中可看出，当磁路中具有直流磁场时， μ 值大大降低， aw_0 愈大， μ 值降低得愈显著。为了改善这种情况，可在磁路内加入一很小的非磁性空隙，由于非磁隙很小，可以认为在非磁隙的截面内磁力线分布与在磁性材料中的分布相同，因此，计算具有这种磁路的绕组电感量时，仍可采用上述公式。此时，其中的 μ 值应该用等效 μ 值(用 μ_0 表示)代替：

现在来讨论 μ_0 值与非磁隙长度 l_s 以及直流磁场的关系，当加入很小非磁隙时，磁路的总磁势 H_{Ml_c} 为磁性材料部分的磁势 H_{Ml_m} 与非磁性材料部分磁势 H_{sl_s} 之和，

$$\text{即: } H_{Ml_c} = H_{Ml_m} + H_{sl_s} \quad (8-604)$$

由于 $l_c \gg l_s$ ，因而可认为非磁隙内的 B 值与磁性段内的 B 值相等，而且 $l_c = l_m + l_s$ ，再考虑到非磁性材料的 $\mu = 1$ (即 $B = H_s$)，则上式可写为：

$$H_m = H_m + B \frac{l_s}{l_c} \quad (8-605)$$

式中的 H_m 与 B 的关系，是由材料的 $B-H$ 曲线所表征的，而 $H = B - \frac{l_s}{l_c}$ 在 $B-H$ 坐标上为一通过原点的直线；按上式进行叠加的结果，得到该磁路的等效 $B-H$ 曲线(如图8-605点画线所示)，磁路的等效 μ 值由此曲线确定。

或者，也可以把上式写成：

$$\frac{B}{\mu_0} = \frac{B}{\mu_m} + B \frac{l_s}{l_c} \quad (8-606)$$

从公式不难得到

$$\mu_0 = \mu_m \frac{1}{1 + \mu_m \frac{l_s}{l_c}} \quad (8-607)$$

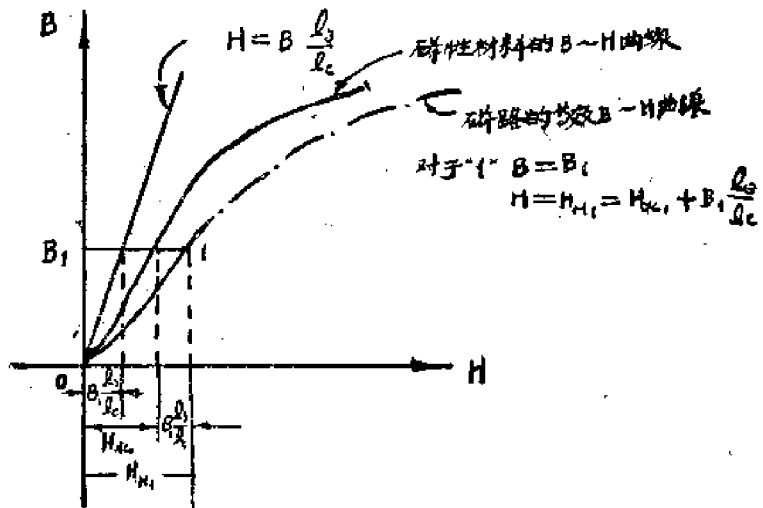


圖 8—605 用作圖法得到具有非磁隙磁路的等效B~H曲線

應該注意的是， μ_m 為磁性材料的工作導磁率，為了確定 μ_m 值，應首先確定磁性材料的實際工作狀態 ($a\omega_0$ 值， B_0 值)。

例如，當具有直流磁化時，應首先確定磁性材料內工作的直流磁場 ($a\omega_0$)_m。既然磁路應滿足以下方程式 [用 B_0 和($a\omega_0$)表示靜態時的B和($a\omega$)]：

$$I_0\omega = (a\omega_0)l_c + \frac{B_0}{0.4\pi}l_s \quad (8-608)$$

那麼，該方程在 B_0 —($a\omega_0$)座標上所作成的直線與材料靜態磁化曲線的交點C，就應該為材料的直流工作點，材料中工作的($a\omega_0$)_m值，可由此交點的橫座標確定 (圖 8—606)。

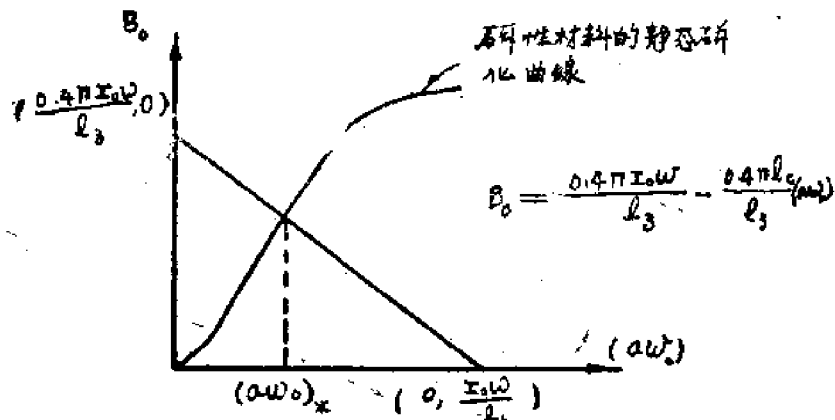


圖 8—606 用作圖法求得具有非磁隙磁路磁性材料部分的工作直流磁場

由於具有非磁隙的變壓器及低頻扼流圈多數工作於直流磁場 $a\omega_0$ 較大而交變磁感應 B_a 較小的情況下，因此，我們以這種情況為例子來說明非磁隙 l_s 對等效起始導磁率 μ_{m0} 的影響。

利用上述作圖方法，可繪出如圖8—607所示的相應于不同 l_3 值的等效B—aw曲線，对于不同的直流磁場aw₀ $\left(= \frac{l_0 w}{l_c} \right)$ 的各種 l_3 情況，都可以由相應的局部磁化迴路來確定其 μ_{eff} 值。

按圖8—607比較各小迴路斜率可作出另一組曲線圖8—608。

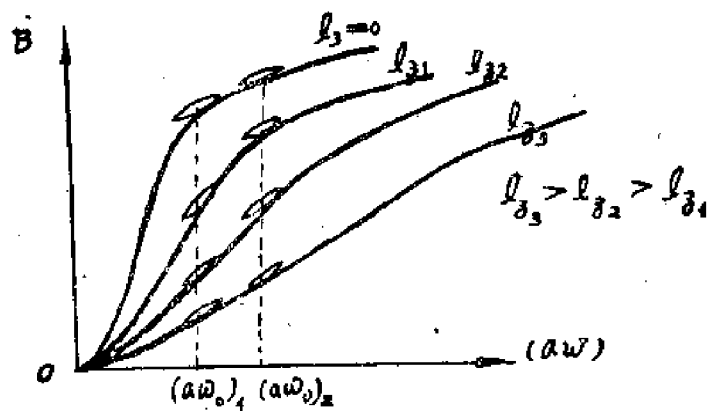


圖8—607 表示非磁隙和直流通場對 μ_{eff} 的影響的示意圖

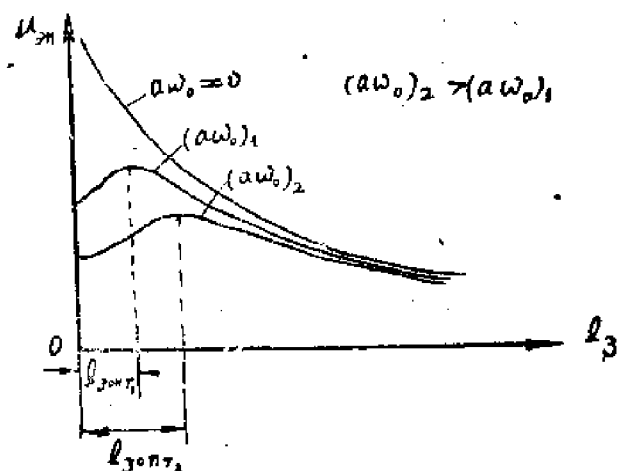


圖8—608 表明 $\mu_{\text{eff}}—l_3—aw_0$ 關係的示意曲線

从此可以得出結論：在磁路中加入很小的非磁隙，可以使 μ_{eff} 提高，當 l_3 到達某一定值時，可以得到最大的 μ_{eff} 值（此 l_3 值稱最佳非磁隙，用 l_{optimal} 表示）。當 l_3 繼續增大時， μ_{eff} 隨着下降。此外，最佳非磁隙的大小，除決定于磁性材料特性以外，還決定于所加的 aw_0 ， aw_0 越大，則 l_{optimal} 也越大。為了設計方便起見，某些參考書繪出了由實驗方法得到的某些常用材料的最佳非磁隙（用相對值 Z_{optimal} 表示， $Z_{\text{optimal}} = \frac{l_{\text{optimal}}}{l_c} \cdot 100\%$ ）與 aw_0 的關係曲線，以及在最佳非磁隙時 μ_{eff} 與 aw_0 的關係曲線。

在進行設計時，未選擇鐵芯以前，還不知道磁化安匝數，因而上述曲線實際上不能用來確定 μ_{eff} 值，而為了確定鐵芯的尺寸或匝數， μ_{eff} 值必須是已知的。為了大致地將

μ_{BH} 确定下来，可利用 μ_{BH} 与 LI_0^2 的关系式。从电感计算式乘上 I_0^2 可得：

$$LI_0^2 = \frac{0.4\pi \times 10^{-8} \mu_{\text{BH}} S_{\text{m}} l_c}{l_c} I_0^2$$

$$= 0.4\pi \times 10^{-8} \mu_{\text{BH}} S_{\text{m}} l_c (a\omega_0)^2 \quad (8-609)$$

此式反映了 (LI_0^2) , $(S_{\text{m}} \cdot l_c)$, μ_{BH} 及 $(a\omega_0)$ 四个参数的关系。其中 μ_{BH} 或 $(a\omega_0)$ 的关系是已知的（图8-609a），因此，为了确定 μ_{BH} 与 LI_0^2 的关系，只须知道铁芯的体积 $S_{\text{m}} l_c$ 即可。为便于计算，某些参考书用一个中型变压器体积的平均值（取 $S_{\text{m}} l_c = 30$ 厘米³）

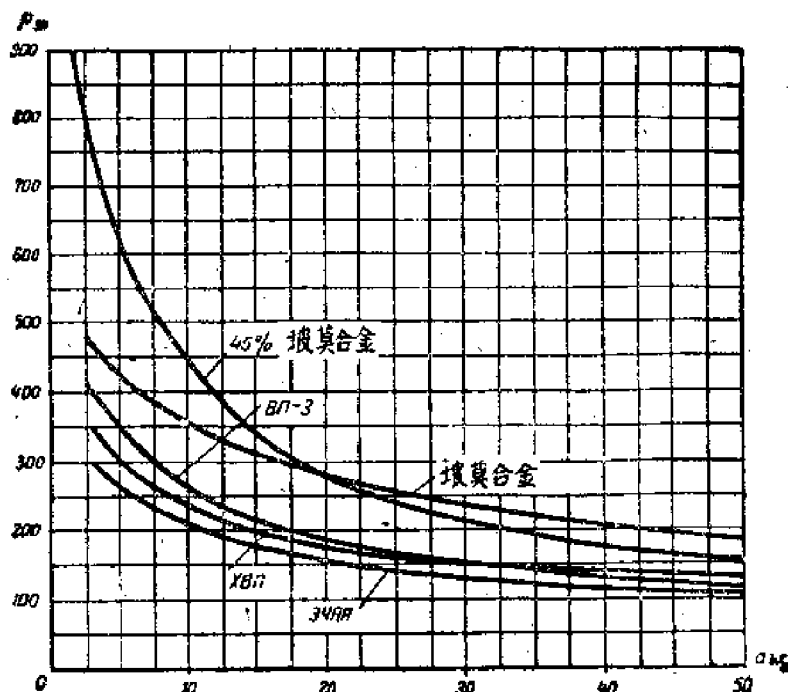


图8—609a 几种主要软磁材料在B较小时的Z与aω₀关系曲线

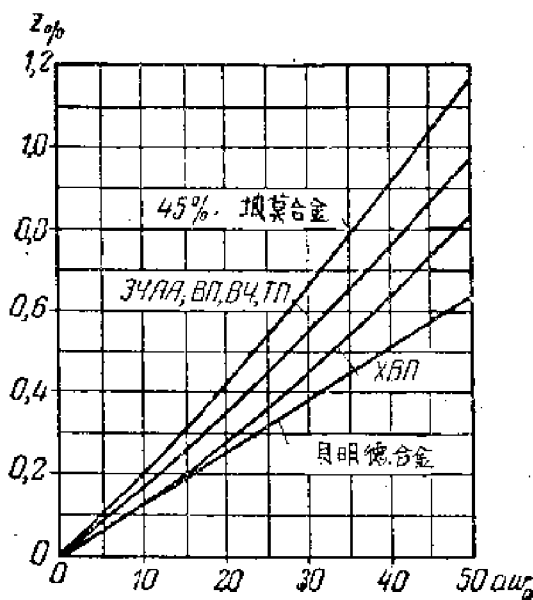


图8—609b 几种主要硬磁材料在最佳非磁化时的μBH与aω₀的关系曲线

米³)代入上式，并繪制了几種常用磁性材料的 μ_{eff} 与 $L_1 I_0^2$ 的关系曲綫(圖8—610)。設計时可利用这一曲綫按已知 $L_1 I_0^2$ 值确定 μ_{eff} 的近似值(用 μ_{app} 表示)，然后用逐次漸近法来得到最后的数据(铁芯尺寸或匝数)。

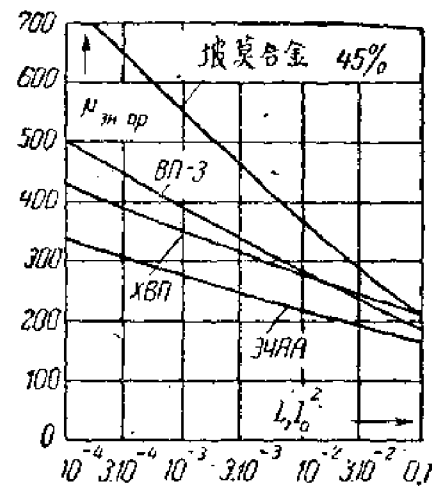


圖8—610几种常用材料的等效導磁率近似值与 $L_1 I_0^2$ 的关系曲綫

当变压器工作于脉冲状态时，铁芯的磁化过程与上述具有直流磁化的過程相似，为了叙述的方便起見，将在脉冲变压器一节中具体討論。

磁性材料的导磁率，除与上述工作状态有关以外，还与工作頻率有关，这主要是由于渦流所引起的磁集滯效应，很可能使铁芯薄片的表面造成局部飽和，从而使材料的这一部分的导磁率降低。頻率愈高，则渦流效应愈严重，因而 μ 值总是隨頻率的升高而降低的。

当采用片状金屬磁性材料作磁路时，减小片子的厚度，可以改善頻率升高时所引起的导磁率的降低，为了使导磁率的降低不显著，要求薄片的厚度 δ_m (毫米) 滿足下式要求：

$$\delta_m \leq 5.2 \times 10^4 \sqrt{\frac{\rho_m}{f_m}} \quad (8-610)$$

式中：

ρ_m —磁性材料的电阻率 [欧·厘米]

f —工作頻率 [赫]

由此可見， ρ_m 的增大， μ 的減小，也可改善磁路导磁率隨頻率的增高而下降的現象，實驗的結果也說明了這一事實(圖8—611)。

磁介質和鐵淦氧的 ρ_m 很大，即使不分成薄片，在很高頻率时其 μ 值仍保持不变。

渦流效应，除引起材料的 μ 值隨頻率增高而下降以外，还使铁芯的損耗隨頻率的升高而增大，也就是說，它使代替铁芯損耗的等效并联电阻 r_c (見圖8—612)減小了，当 r_c 減小到一定限度时，就必須考慮到 r_c 对变压器低頻段頻率特性的影响，为了使 r_c 对頻率特性的影响可以忽略，要求片的厚度比上式所計算数值还要小；此时应滿足下式：

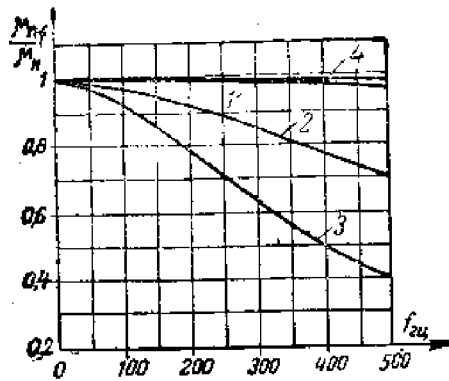


圖3—611 具有不同 μ_r 和 δ_m 的磁性材料的 μ_r 与频率的关系曲线

1.34AA $\delta_m=0.35$ 毫米 2.坡莫合金 $\mu_r=5000$ $\delta_m=0.85$ 3.坡莫合金 $\mu_r=10000$ $\delta_m=0.35$ 毫米 4.坡莫合金 $\mu_r=10000$ $\delta_m=0.1$ 毫米

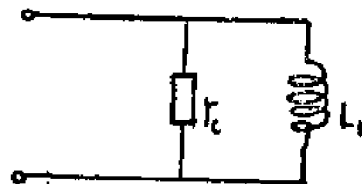


圖3—612 考虑到铁芯损耗的等效电路

$$\delta_m \leq (2.6 \sim 1.7) \times 10^4 \sqrt{\frac{\rho_m}{\mu_r}} \quad (3-611)$$

设计具有一定频率响应要求的低频变压器或扼流圈时，最好按上式选择片厚，如果实际工艺上做不到，则在计算其低频段的响应时，必须考虑到 γ_c 之值。

§ 8—7 低频扼流圈的设计

低频扼流圈通常使用在电源滤波电路，低频放大器耦合电路及调幅电路中，在进行电路设计时，通常提供了以下作为结构设计的原始数据：

- 1) 要求的绕组电感 L [亨]
- 2) 要求的绕组电阻 R [欧]；或者在电源滤波扼流圈中，有时提出允许的直流电压降 ΔU 。
- 3) 扼流圈的工作状态，例如通过绕组的直流分量 I_0 ，工作交变电压幅度 u ，工作频率 f 等。

此外，用于低频放大器的耦合扼流圈，还提出容许的最大固有电容。由于这种扼流圈的设计与低频变压器的设计方法几乎相同，因此，这里以讨论电源滤波扼流圈为主。

结构设计的基本任务，是确定铁芯材料和结构尺寸（或型号），绕组匝数和导线直径，此外，在设计过程中，应考虑到所提出的某些特殊要求（如尺寸、重量、使用条件等），采用有关结构措施。

计算时，一般从选择铁芯材料和类型开始，选择磁性材料和铁芯类型，应该考虑到

扼流圈工作状态的特点，以及重量、尺寸经济等方面的要求。例如对于使用在一般设备上的电源滤波扼流圈，由于绕组的交流分量很小（交流分量的大小，决定了铁损大小）。电源频率不高（50赫），为了经济起见，可选损耗较大质量较低的 Θ_1 、 Θ_3 等型号矽钢片，并选取较大的厚度（一般为0.5毫米）。

对于大多数扼流圈来说，如无特殊要求，一般常选择广泛采用的 $\Theta 4AA$ 和 $\Theta 4A$ 矽钢片，以及最常采用的III型叠片式铁芯结构。

工作频率较高时，可以按已给出的公式来决定片厚，大致确定了铁芯材料和类型之后，即可进入结构尺寸和匝数的计算。此时，可利用以下两个基本关系式：

1) 已指出的电感计算式：

$$L = \frac{0.4\pi\mu w^2 S_{\text{m}}}{l_c} \cdot 10^{-8} \quad (\text{亨}) \quad (8-701)$$

2) 电工基础已指出的，当工作于正弦电压时的关系式：

$$U = 4.44 f w S_{\text{m}} B_{\text{m}} \cdot 10^{-8} \quad (\text{伏}) \quad (8-702)$$

式中：U——绕组工作电压的有效值（伏）。其余符号及单位如前所述。

由于磁路 μ 值与工作状态有关，因而必须分别进行讨论：

A) 对于没有直流分量的情况

在这种情况下，磁路应该是带非磁隙的（或用交叠装合的），所以很简单地从上述基本公式中得到铁芯体积（消去其中W）：

$$S_{\text{m}} \cdot l_c = \frac{0.067 \times 10^8 U \mu}{f^2 L B_{\text{m}}^2} \quad (\text{厘米}^3) \quad (8-703)$$

式中 B_{m} 值，可根据其他条件（例如容许的非线性失真、容许损耗等），或者，当对 B_{m} 值没提出要求时，可以选择最佳的 B_{m} 值（即当 μ 值为最大值时的 B_{m} 值）。当 B_{m} 值确定后，可按 $\mu \sim B$ 曲线上确定 μ 值。

然后，按 $S_{\text{m}} \cdot l_c$ 值确定 S_{m} 和 l_c 的数值，确定此值的主要依据，是在铁芯窗口中绕组的布置是否合理，当 L 小时，窗口也小，线包容纳不下； l_c 过大，则窗口中的占空情况变坏。为了避免这两种极端情况，应选择适当的 l_c 值，可惜在未进行绕组的布置以前（即未知其匝数和导线直径）， l_c 的适当值不能确定。只好按一般的经验初步选定以后，再按绕组布置的情况进行检验。对于标准化铁芯，初步选定 l_c 值时，最好是选标准数据，初步确定了 l_c 和 S_{m} 之后，匝数数可以从下式（由熟知的电感计算式导出）求得：

$$W = \sqrt{\frac{L \cdot l_c}{0.4\pi\mu S_{\text{m}}}} \cdot 10^{-8} \quad (8-704)$$

下一步是进行导线直径的计算和绕组布置（按§ 8-3的方法进行），如果检验结果不合理，应重新选择一个 l_c 值，并重复以上计算，直到趋于合理为止。

最后，如果必要的話，应进行其他检验，如发热检验等。

应当指出，绕组完全不通过直流分量的扼流圈，在实际电路中应用得比较少。实用上大多数扼流圈，都工作在具有直流的情况。

6. 对于具有不大的直流分量的情况

经验指出，当直流磁场 $(aw_0) < 5$ 安匝/厘米（在 aw_0 未能确定的情况下，可近似地按 $L I_0^2 < 20 \cdot 10^{-4}$ 来决定），根据前述的电感计算式可得：

$$LI_0^2 = \frac{0.4\pi \times 10^{-8} \mu S_{\text{K}}}{l_0} w^2 I_0^2 - \frac{l_0^2}{l_0^2}$$

$$= 0.4\pi \times 10^{-8} \mu S_{\text{K}} I_0 (aw_0)^2$$

$$\text{即 } -\frac{LI_0^2}{S_{\text{K}} l_0} \times 10^8 = 0.4\pi \mu (aw_0)^2 \quad (8-705)$$

在这种情况下，利用图8-701所示的曲线（从实验得出），可很方便地确定当 B_r 为某一定值时 μ 与 (aw_0) 的关系。设计时 B_r 值可按工作交流电压的大小选定，因而对不同的 aw_0 可求得相应的 μ 值，从而也可算出相应的 $[0.4\pi\mu(aw_0)]^2$ 值。利用这种方法所得来的数据，可绘出 $-\frac{LI_0^2}{S_{\text{K}} l_0} \times 10^8 = \varphi(aw_0)$ 的关系曲线（例如图8-702所示）。

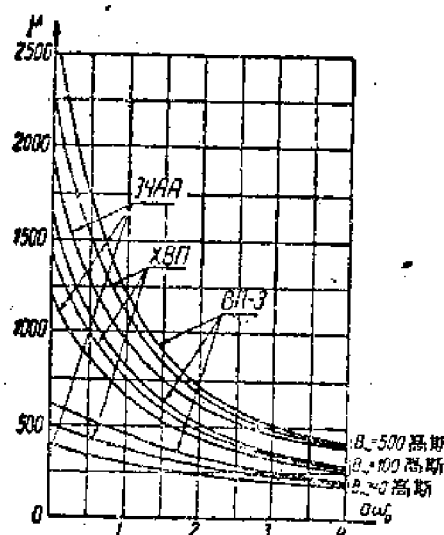


图8-701 当 B_r 为不同值时，几种磁性材料的 μ 值与 aw_0 的关系曲线

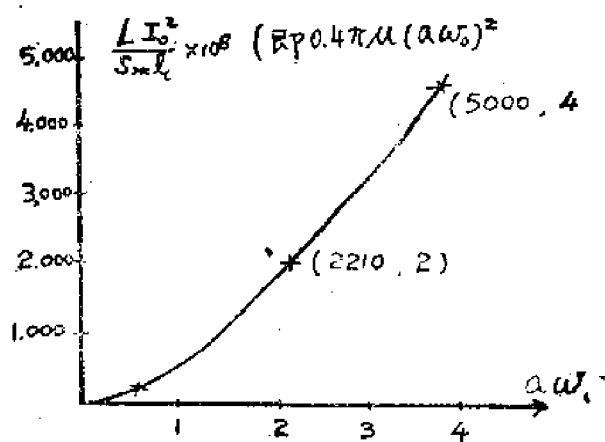


图8-702 $LI_0^2 \times 10^8 = \varphi(aw_0)$ 的曲线(a4AA, $B_r = 100$ 高斯)

此曲线同时表明了 S_{mIc} 与 w 的关系。当 S_{mIc} 确定时，可求得 W ，或者相反，但 S_{mIc} 和 w 均未能确定的情况下，可以得到很多组的数据，其中，选择合理的解答，应根据对扼流圈提出的其他要求为依据，对于应用于一般设备的扼流圈，为了降低成本，应适当选择较大的 S_m 和 I_c 值。而在某些重要情况下，为了减小重量和体积，应选择较小的 S_m 和 I_c 值，这可根据经验确定。

确定 S_m 和 I_c 的值，可采用与上述相同的方法。

匝数的确定，在这种情况下，可简单地从下式求得：

$$W = \frac{aw_0 \cdot I_c}{I_o} \quad (8-706)$$

以后各步骤也和上述情况相同。

实用上大多数低频扼流圈，都工作在具有较大直流磁化的情况下，现在让我们较详细地讨论其计算方法：

B) 对于具有很大流分直流量和小的交流分量情况，当 $(aw_0) > 10$ 安匝/厘米时（或近似地按 $I_o^2 > 50 \times 10^{-4}$ ），应采用具有非磁隙的磁路。（当 $5 < aw_0 < 10$ 时，既可采用具有非磁隙的磁路，也可采用无非磁隙的磁路）。

由于增加了 I_{com} 这个与其各参数有密切关系的待求参数，使这种扼流圈的计算过程大大复杂化了，已给出的基本公式，在这种情况下，更显得不够用，因此只好采用按经验的计算方法，大家知道，经验本身就具有局限性，它只能解决某一具体问题，因此下面针对最常用的情况，讨论某些例子。

电源平滑滤器扼流圈的计算：根据经验曲线的计算方法，当选用一般的34A和34AA矽钢片作磁路，以及选用常用的II9（漆色线）和II10（耐久漆色线）作绕组导线时，可以用图8-703曲线进行简化计算；

我们举以下例子加以说明：

例 已知数据： $L = 25$ 亨， $I_o = 80$ 毫安，

计算步骤：

1. 计算磁能系数 A_1

$$A_1 = L I_o^2 = 0.08^2 \cdot 25 = 0.16$$

2. 按a曲线找到相应的 S_{mIc} 值 $S_{mIc} = 70$ 厘米²

3. 选铁芯尺寸

选标准铁芯：III-24 (CT-360A规格)

查得： $I_c = 13.4$ 厘米， $a_c = 24$ 毫米

$$\text{则 } S_K = \frac{S_{mIc}}{I_c} = \frac{70}{13.4} = 5.28 \text{ [厘米]}$$

当 $\delta = 0.5$ 毫米时，查得占空系数 $K = 0.94$

$$\therefore 磁片厚度 b_2 = \frac{S_K}{K \cdot a_c} = \frac{5.28}{0.49 \times 2.4} = 2.34 \text{ (厘米)}$$

4. 计算参数M

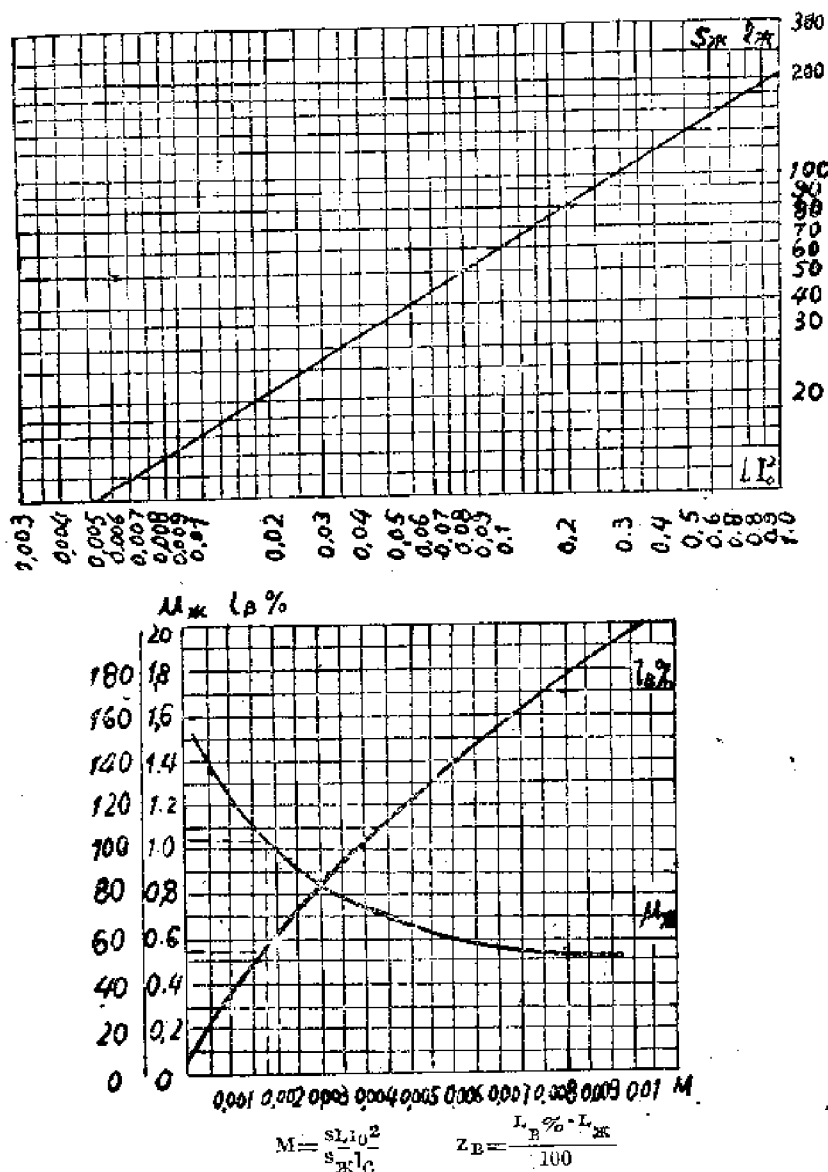


圖8——703对于滑滤波器振流器进行简化计算的曲线图

$$M = \frac{Ll_0^2}{S_BK l_0} = \frac{0.16}{70} = 0.0023$$

5. 按B曲线确定: $z = 0.65\%$; $\mu_{Bk} = 97$

6. 计算绕组匝数

$$W = 10^4 \sqrt{\frac{l_c L}{0.4\pi \mu_{Bk} S_BK}} = 10^4 \sqrt{\frac{13.4 \times 25}{0.4\pi \times 97 \times 5.28}} = 7100 \text{匝}$$

7. 计算最佳非磁隙

$$l_0 = z \cdot l_c / 100 = 0.65 \times 13.4 / 100 = 8.8 \times 10^{-2} \text{ 厘米。}$$

其余步骤与前述相同。

§8-8 电源变压器的设计

无线电设备中所用的电源变压器，通常用作电子管的灯丝（降压）和整流器（升压）的电源供电。

設計电源变压器的基本原則是：在滿足給出的电气要求以及散热要求的前提下，尽可能地減小其重量、体积以及降低其造价。

对电源变压器來說，电气上的要求，主要是能实现給定的升压或降压的任务，也就是要求从它次級得到准确的輸出电压和足够的輸出功率。此外，还要求具有足够的絕緣强度和尽可能高的效率。

电源变压器屬於功率的变压器，工作过程中所損耗的功率較大，因而散热要求便成为設計其结构的重要依据。

实现上述要求与減小其重量、体积以及降低造价往往存在很大的矛盾，有賴于通过正确的設計来解决，为了解决这些矛盾，人們进行了研究，研究結果表明：

当 $\beta = \frac{P_M}{P_0} = 1.25 - 1.35$ 时，可使变压器获得最大变换效率（其中 P_M 为銅損， P_0 为鐵損）。

当 $\lambda = \frac{G_C}{G_M} = 4.5 - 5.5$ (G_C 为鐵重， G_M 为銅重) 时，可以获得最小價格。

当 $\lambda = 2 - 3$ 时，可以获得最小重量。

一般由市电供电的設備中的电源变压器工作于50赫的頻率下，但飞机等活動容体上的电源变压器，为了減小变压器以及滤波器件（如滤波扼流圈）重量和尺寸，也可能工作于400赫，800赫，1000赫，甚至更高的頻率之下。

計算电源变压器的方法随着它的用途和具体要求不同而有所不同，但其基本原理和大致步驟是相似的。为此，这里我們只詳細地討論其中最常用的一个例子。

小功率电源变压器的計算方法及举例：

計算小功率电源变压器的原始数据包括以下各項：

- 1) 相数 m
- 2) 电源电压有效值 U_1 [伏]
- 3) 次級繞組电压， $U_2, U_3, U_4, \dots, U_l$ [伏]
- 4) 次級繞組电流有效值 $I_2, I_3, I_4, \dots, I_l$ [安]
- 5) 負載的功率因数 $\cos\phi$
- 6) 电源頻率 f [赫]
- 7) 最高环境温度 t_{R1} [°C]（由使用条件确定）
- 8) 变压器的最高允許溫度 t_1 [°C] — (由变压器所用的絕緣材料决定)
- 9) 其他特殊要求：如最低價格、最小重量等。

計算可按以下步驟进行：

1° 鐵芯材料及厚度的选择：

我們知道对于工作于正弦状态的变压器有如下关系式：

$$U = 4.44 W_1 f s_m B_m \times 10^{-8} \text{ (伏)}$$

考慮以下关系式

$$I = j \cdot q = j \cdot \frac{q_0}{W}$$

其中 q_0 — 繩組中銅的總截面

i —繞組導線的電流密度

q —導線淨截面

可得變壓器所能容納的总的伏安數為：

$$\Sigma VA = U_1 I_1 = 4.44fS_m q_0 j B_m \times 10^{-8} \text{ (伏安)}$$

由上式可見，為了使變壓器能傳輸較大（伏安）值的功率，除了要求工作于高頻率以及要求具有較大鐵芯體 V 以外，還要求鐵芯工作在較大 B_m 值的情況下，或者說，為了使變壓器能傳輸一定的功率，如果材料能工作在較大的 B_m 值，則可縮小變壓器的體積（它決定于 S_m, q_0 ），但大的 B_m 值受材料的飽和磁感應 B_s 的限制，因此，在選擇材料時，應選擇具有較大 B_s 值的材料。

此外，當 B_m 值較大時磁性材料的損耗增加，以致引起發熱的增大，因此，要求材料具有高的 B_s 值的同時，還要求具有低損耗。這就是選擇鐵芯材料的主要根據。當然，也應同時考慮到與變壓器的用途有關的重量、價格等因素。

片子的厚度按工作頻率高低及功率大小，從經驗選擇。

一般來說，對於要求最低價格的變壓器可選擇質量較低的941或911（損耗大）矽鋼片，厚度為0.5和0.35毫米；對於要求最小重量可選9310帶狀矽鋼片，厚度為0.35毫米；工作於400赫的變壓器，可選934、9340、944、947、948，當工作於800赫或更高頻率時可選坡莫合金（厚度<0.2毫米）或鐵淦氧。當功率大於100伏安時鋼片的厚度在0.2—0.35範圍內選擇，當功率小於100伏安時，通常其厚度選為0.35。

2. 繞組功率和電流的計算：

次級繞組的總功率：

$$P = \frac{n}{2} I_i U_i C \cos \phi$$

無線電設備的電源變壓器常以整流器為負載，在種情況下，由於負載的非線性（整流特性），初次級功率關係是用利用系數表征的，為此，該次級繞組的功率應該計及利用系數，為了計算初級的電流，可利用等效概念，但不是實際的次級功率的概念。

對於常用的電容性負載整流器，可利用下式求得此等效次級功率的近似值，

當半波整流時： $P_2 = 0.95 U_2 I_2$

當全波整流時： $P_2 = 2 \times 0.85 U_2 I_2$ ，（此時，數值2即為相數， U_2 為半個繞組電壓）。

當橋式或倍壓整流時： $P_2 = U_2 I_2$ ，（此時 U_2 為整個繞組電壓）。

以電子管燈絲為負載時， $\cos \phi_i = 1$

初級繞組的功率因數：

$$\cos \phi_i' = \frac{I_{1a}}{\sqrt{I_{1a}^2 + I_{1p}^2}}$$

其中初級繞組電流的有功分量 I_{1a} 和無功分量 I_{1p} ，按下式計算：

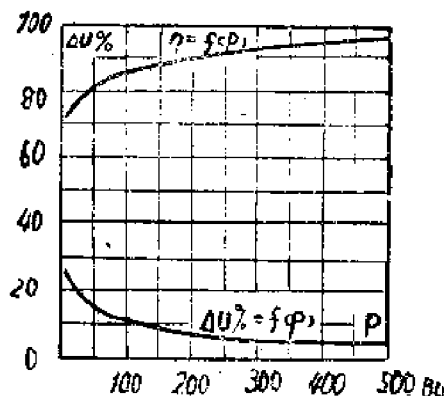
$$I_{1a} \approx - \frac{P}{\eta U_1}$$

$$I_{1P} \cong I_\mu + \frac{\sum_{i=1}^n U_i I_i \sin \varphi_i}{\eta U_1}$$

I_μ 为磁化电流，一般取

$$I_\mu = (0.4 \sim 0.5) I_{1a}$$

η 为变压器的效率，可初步按图 8—801 曲线查得：



8—801 小功率变压器效率和电压降与功率的关系曲线

在电阻性负载情况下（无线电设备的电源变压器常为这种情况）， $\sin \varphi_i$ 均等于 0，因而有

$$\cos \varphi_i = \sqrt{\frac{1}{1 + \left(\frac{I_\mu}{I_{1a}}\right)^2}}$$

初级绕组的电流

$$I_1 = \frac{P}{U_1 \eta \cos \varphi_i}$$

3° 选择铁芯中的磁感应密度，可按材料的种类进行。

对于 341 及 311 牌号的壳型磁路：

$$B'_m = 12000 \sim 13000 \text{ (高斯)}$$

对于具有宽轭的壳型磁路（也是 341, 311）。

$$B'_m = 12500 \sim 13500 \text{ (高斯)}$$

对于同样材料的具有四个接合处的柱形磁路应取小于上述的 (5—10)%。

工作频率 400 赫的变压器一般为 $B_m = 5000 \sim 7000$ 高斯。

4. 选择绕组的电流密度：

功率大于 100 瓦的变压器中，一般取

$$j = 4.5 \sim 3.5 \text{ (安/毫米}^2)$$

功率小于 100 瓦的变压器中，一般取

$$j = 3.5 \sim 2.5 \text{ (安/毫米}^2)$$

5. 选定 α 值，并按下式决定铁芯柱的截面积：

$$S_m = C \sqrt{\frac{P_1 \alpha \cdot 10^6}{IB'_m}}$$

式中 $P_1 = U_1 I_1$ — 所需之伏安数。

C — 系数，(决定于结构)

对于圆形线圈的柱形铁芯 $c = 0.5$

对于矩形线圈的柱形铁芯 $c = 0.6$

对于壳型铁芯 $c = 0.7$

铁芯的截面取之等于

$$S_c = \frac{S_m}{K_c}$$

其中： K_c —铁芯截面积的占空系数。

6. 决定绕组中的匝数：

初级绕组的匝数等于

$$w_1 = -\frac{\left(U_1 - \frac{\Delta U \% U_1}{200} \right) 10^8}{4.44 I B'_m S_m}$$

其中： $\Delta U \%$ 为初级绕组中电压降的百分比， $\Delta U \%$ 的预定值，取自图8—801的曲线。

加在绕组一匝上的电压为：

$$e' w = \frac{U_1 - \frac{\Delta U \% U_1}{200}}{w_1}$$

次级绕组的匝数决定于下式：

$$w_i = \frac{U_i + \frac{\Delta U \% U_1}{200}}{e' w}$$

为了绕制方便起见，低压绕组(即灯丝绕组)的匝数要取最近的整数(取整数 w_n 代替 w'_n)。再重新计算每匝上的伏特数，在其他绕组中的匝数及柱中的感应密度值：

$$e_w = e' w - \frac{w_n}{w'_n}$$

$$w_i = w_i \frac{w_n}{w'_n}$$

$$B_m = B'_m \frac{w'_n}{w_n}$$

当空载时次级绕组上的电压为：

$$U_i = e_w w_i$$

7. 决定绕组导线的截面和直径。

繞組導線橫截面的預定值，按下式求之

$$q'_j = -\frac{J_i}{j}$$

導線橫截面和直徑的最終值按規格表中最接近的数据來選擇。重新計算繞組中的電流密度：

$$j_i = \frac{I_i}{q_j}$$

當導線截面 $q > 10$ 壓米²時，繞組應該用矩形截面的導線來繞，或者用2—3根圓截面并聯導線來繞制繞組。

8. 選擇鐵芯片的尺寸：

如果變壓器鐵芯是用標準片疊成的。則根據柱截面的計算數值 S_c ，遵守下列關係式來選擇標準鐵芯的尺寸：

$$b_c = (1-2) a_c$$

鐵芯窗高度的預定值可決定于下式：

$$h = \sqrt{\frac{n}{K_1 \frac{\sum q_i W_i}{100 K_0}}}$$

其中： K_1 —鐵芯窗的高度對寬度的比值

$$K_1 = \frac{H}{b} = 2.5 - 3$$

K_0 —鐵芯窗的繞組占空系數；對於小功率電源變壓器 $K_0 = 0.2 - 0.3$

如果變壓器的導磁體並非用標準片疊成的。則導磁體的尺寸根據下列關係式來決定：

對於柱形的

$$S_a = (1-1.2) S_c$$

對於殼形的

$$S_a = \frac{(1-1.2) S_c}{2}$$

$$b_c = (1.2 - 2) a_c$$

$$h_a = \frac{S_c}{b_c}$$

鐵芯窗的高度和寬度的預定值按以前列出的公式來決定。

9. 繞組在鐵芯窗中排置的校驗和確定鐵芯片的尺寸。繞組在鐵芯窗中排置的校驗，已在§ 8—3中討論。

10. 變壓器繞組的銅重量：

繞組的銅重量可按下式決定：

$$G_{Mj} = 8.9 W_i q_i l_w 10^{-6} \text{ [仟克]}$$

其中： l_w —第 i 個繞組的線匝平均長度。

繞組銅的總重量等於

$$G_M = \sum_1^n G_{Mi}$$

11. 变压器繞組的銅損

當繞組加熱到溫度 75°C 時變壓器繞組的銅損決定於下式：

$$P_{Mi} = 2.4j^2 i G_{Mi}$$

在繞組加熱到溫度 t 的情況下，在此公式中，必須乘入一修正系數：等於

$$\frac{1 + 0.004(t - 20)}{1.22}$$

12. 变压器鐵芯鋼的重量：

變壓器鐵芯鋼的重量決定於下式：

對於柱型鐵芯：

$$\text{柱子重量 } G_{Kc} = 7.8HS_m 10^{-3} \text{ (千克)}$$

$$\text{磁轭重量 } G_{Kg} = 2 \times 7.8l_a S_{Kg} 10^{-3} \text{ (千克)}$$

其中： $S_{Kg} = S_g K_c$

$$l_a = b + 2a_c$$

對於壳型鐵芯：

$$\text{柱的重量 } G_{Kc} = 7.8HS_m 10^{-3} \text{ (千克)}$$

$$\text{磁轭重量 } G_{Kg} = 2 \times 7.8 (H \times l_a) S_{Kg} 10^{-3} \text{ (千克)}$$

其中： $l_a = 2b + a_c + 2h_a$

鐵芯的總重量

$$G_{Kx} = G_{Kc} + G_{Kg}$$

13. 鐵芯的銅損耗：

在柱子中的銅損耗

$$P_{ce} = P_y \left(\frac{B_c}{B_y} \right)^2 \left(\frac{f}{f_y} \right)^{1.5} G_{Kc}$$

在磁轭中的銅損耗

$$P_{cg} = P_y \left(\frac{B_g}{B_y} \right)^2 \left(\frac{f}{f_y} \right)^{1.5} G_{Kg}$$

其中：

P_y —在感應密度為 B_y 和頻率為 f_y 的情況下的比損耗。

$$B_g = (0.75 - 1) B_c$$

鐵芯中銅的總損耗

$$P_c = P_{ce} + P_{cg}$$

14. 決定變壓器的空載電流：

變壓器的空載電流

$$I_o = \sqrt{I_{oa}^2 + I_M^2} \approx I_M$$

其中： I_{oa} —由於銅損耗和鐵損而引起的空載電流的有功分量，對於小功率電源變壓器

它很小，被忽略掉。

I_M —磁化电流或者电流的無功分量，它决定于下式：

$$I_M = \frac{aW_c l_c + aW_\alpha l_\alpha + 0.8B_0 \delta_s}{\sqrt{2} W_1}$$

其中： aW_c 及 aW_α —在变压器的柱子和磁轭中的磁场，它根据磁化曲线按感应密度 B_c 及 B_α 来决定。

l_c 及 l_α —铁芯和磁轭中磁路的平均长度。

δ_s —铁芯中等效空气隙的数值，在交叠式装配的情况下 $\delta_s = 0.004$ 厘米。

n —铁芯中空隙数目，在柱型铁芯中 $n=4$ 或 2 ；在壳型铁芯中 $n=2$ 或 1 。

B —铁芯中的磁感应密度。

W_1 —在初级绕组中的匝数。

15. 变压器的效率：

在额定负载下效率值决定于下式

$$\eta = \frac{P}{P + P_{\text{m}} + P_M} \cdot 100$$

在局部负载的情况下效率可近似地决定于下式：

$$\eta = \frac{\gamma P}{\gamma P + P_{\text{m}} \left(\left(1 + \frac{\Delta U \%}{200} + \gamma \frac{\Delta U \%}{200} \right)^2 + \gamma (P_M J^2 \mu r_1) + J^2 \mu r_1 \right)} \cdot 100$$

其中： γ —系数，它表明了该局部负载与额定负载的比值。

16. 变压器发热的检验，按§8—5中的方法进行。

§ 8—9 低频变压器的设计

低频变压器在低频电路里用来匹配阻抗及级间耦合。按在电路中的位置可分为输入变压器、级间变压器和输出变压器。

I. 低频变压器所引起的失真

电气上对低频变压器的基本要求是在一定频率范围内能无失真（或失真在允许范围内）地传输一定功率的音频信号。

低频变压器所引起的失真通常有频率失真，相位失真及非线性失真三种类型。为了分析和计算低频变压器的频率失真，通常采用图8—901所示的等效电路。

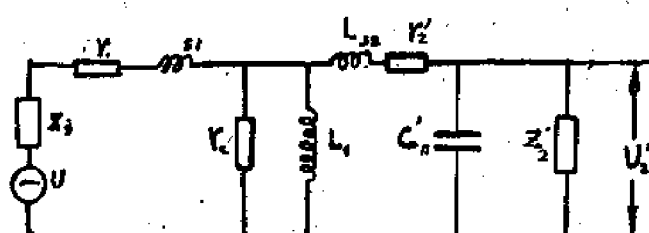


图 8—901 低频变压器工作时的一般等效电路

图中： u —电源电动势， Z_1 —电源内阻。

r_1 —初级绕组电阻。 L_s —初级漏感。

r_c ——铁芯所引入的损耗等效电阻。

L_1 ——初级绕电感。

L'_{s2} ——次级绕组的折合漏感。 $L'_{s2} = \frac{L_{s2}}{n^2}$

(L_{s2} ——次级绕组漏感, n ——变压比 $n = \frac{w_2}{w_1}$)

r_2' ——次级模组的折合电阻, $r_2' = \frac{r_2}{n^2}$

(r_2 ——次级绕组电阻)

C_n' ——变压器总的动态电容

Z_2' ——折合负载阻抗, $Z_2' = \frac{Z_2}{n^2}$

U_2' ——变压器的折合负载电压 $U_2' = \frac{U_2}{n}$

对等效电路的分析表明, 频率失真和相位失真主要是由于初级电感量, 绕组漏感和动态电容所引起的。变压器的电气计算时, 根据对变压器频率和相位失真的要求, 已确定必须的初级电感, 漏感和动态电容, 所确定的数值是结构设计的原始数据。

非线性失真可用电压谐波系数 K_r 来表征:

$$K_r = \sqrt{K_2^2 + K_3^2 + \dots + K_i^2 + \dots}$$

其中: K_i ——为 i 次谐波的谐波系数

$$K_i = \frac{U_i}{U_1}$$

U_1 ——基波电压。

i 次谐波的电压谐波系数也可用下式表示:

$$K_i = a_i = \frac{0.159 R_{sa}}{f L_1} \quad (8-901)$$

其中: R_{sa} ——讯号源的等效内阻

$$R_{sa} = \frac{(R_1 + r_1) (R_{a2} - r_1)}{R_1 + R_{a2}} \quad (8-902)$$

$$R_{a2} = r_1 + r_2' + R_2' \quad \text{—变压器中频段的交流输入电阻; } \quad (8-903)$$

R_2' ——折合负载电阻;

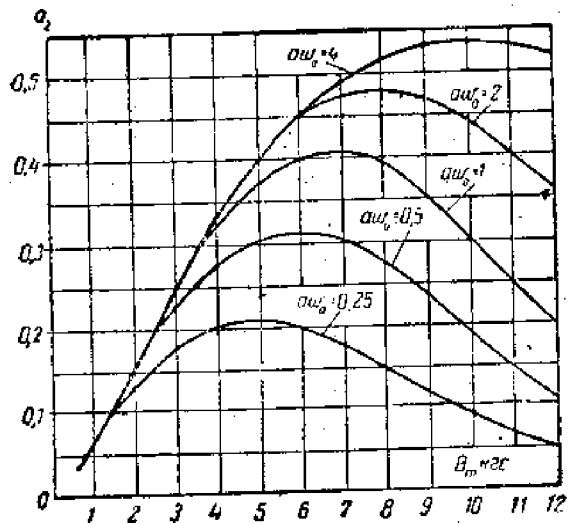
a_i ——第 i 次磁化电流的谐波系数, 为该次谐波短路电流 I_{2K} 与基频电流 I_1 之比。

非线性失真主要是磁性材料磁特性的非线性所引起的, 而材料磁性的非线性程度因工作状态 (B_m , aw_0 , 等) 的不同而不同。因此, 失真程度不仅取决于材料本身特性, 也决定于其工作状态。为了便于估计, 用实验方法绘出了某些材料的 a_i 与 B_m , aw_0 的关系曲线, 如图 8-902 所示:

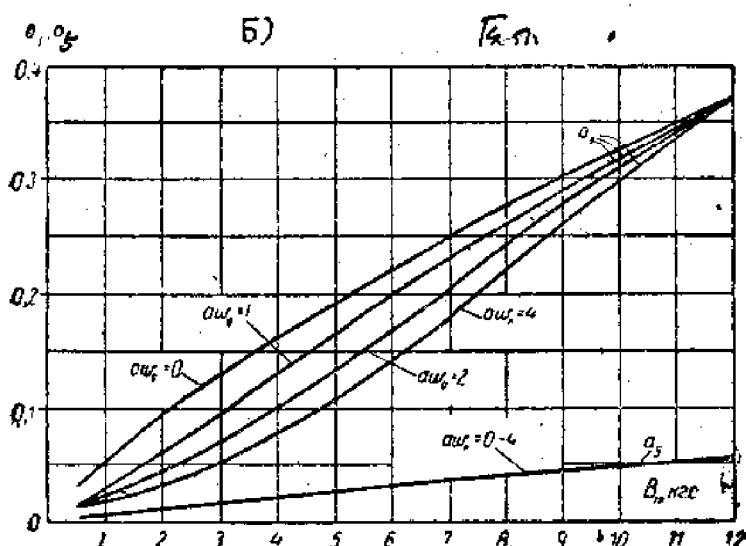
II. 低频变压器电参数与结构尺寸的关系

为了进行变压器结构设计, 引入参量——变压器初级绕组时间常数:

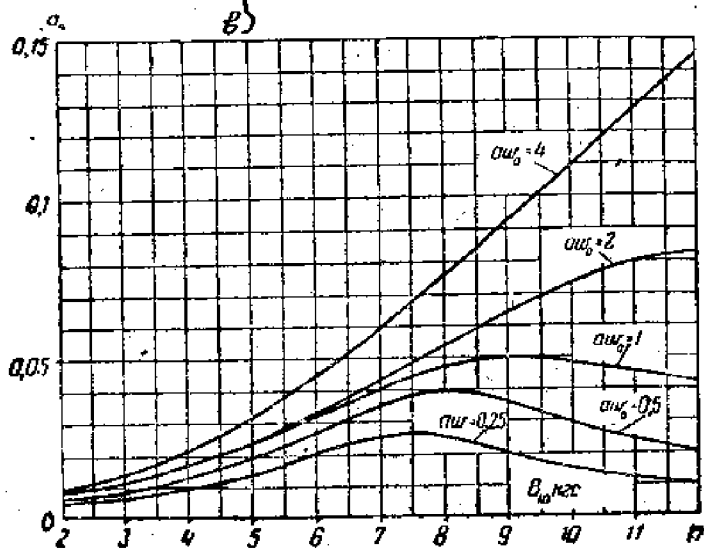
a)

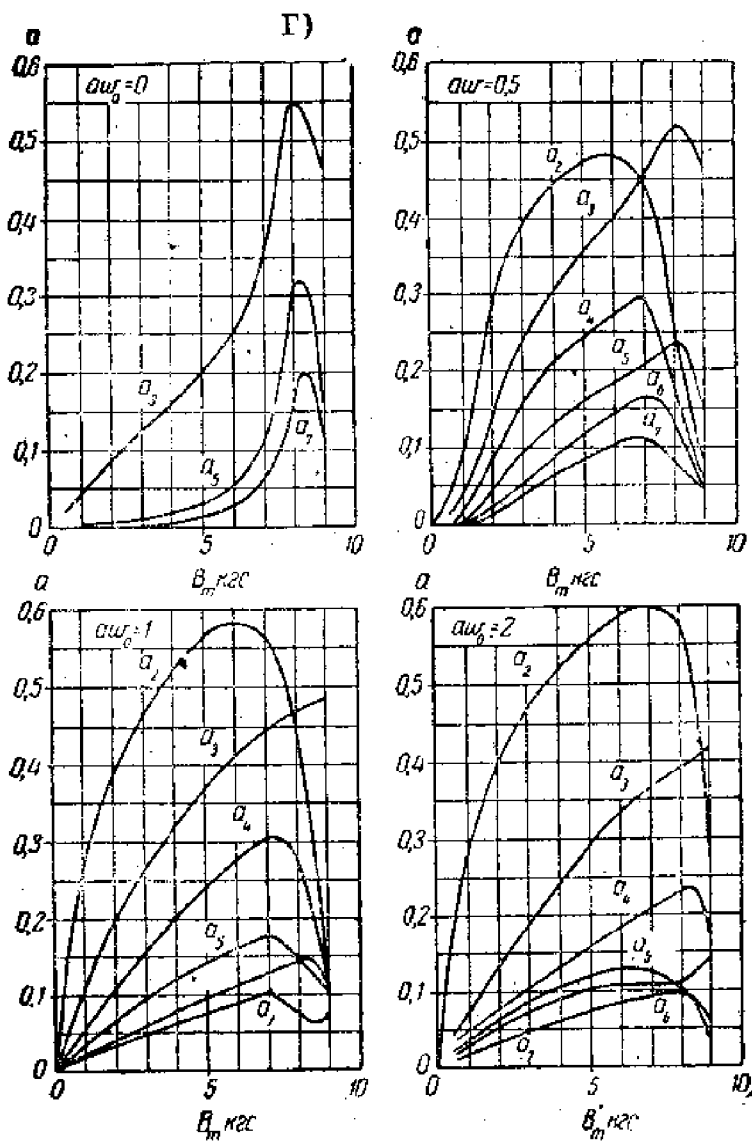


б)

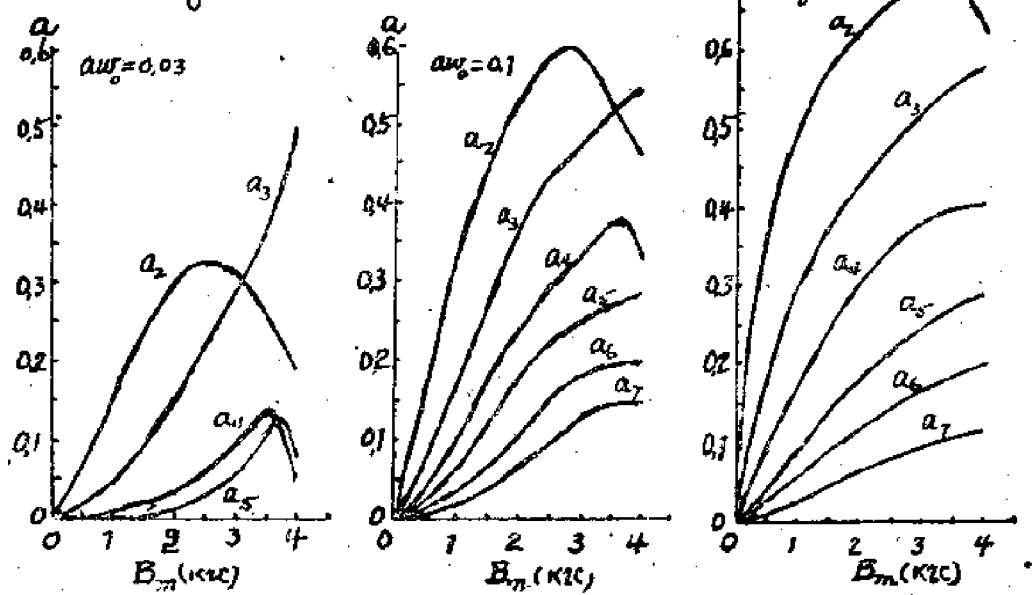


в)





г)



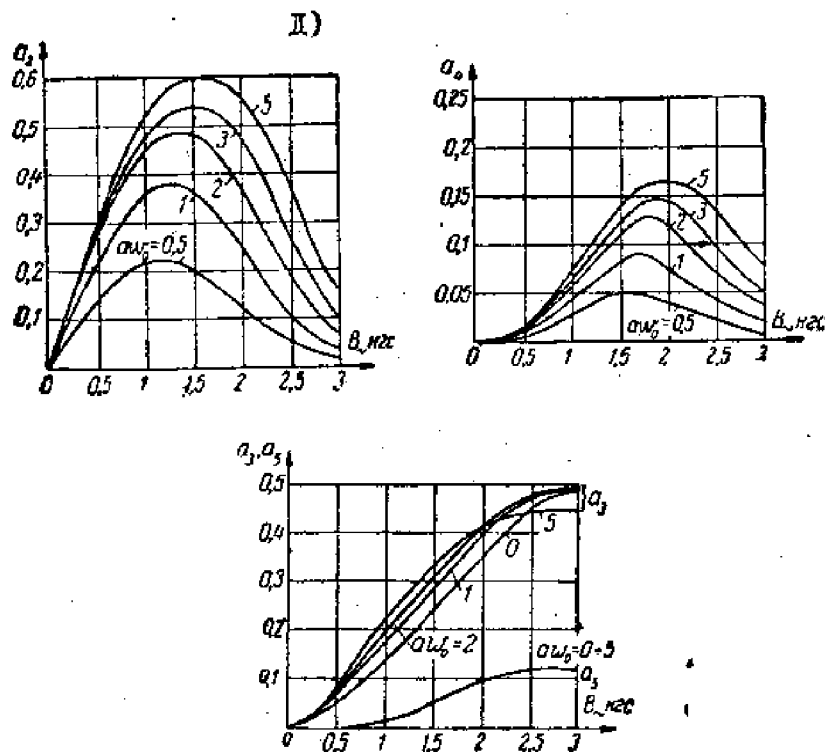


图3—902某些材料的 a_1 与 B_m , a_{w_0} 的关系曲线

- a) — 厚0.3—0.5毫米的31AA型、XBI型和BI型变压器钢片的磁化电流
二次谐波系数与磁通密度交变成分和永久磁化强度的平均关系曲线 b) —
厚度0.3—0.5毫米的31AA型、BI型和XBI型变压器钢片的磁化电流三次和
五次谐波系数与磁通密度的交变成分和永久磁化强度的平均关系曲线 c) 厚
度0.3—0.5毫米的31AA型、BI型和X3II型变压器钢片的磁化电流四次谐波
系数与磁通密度的交变成分和永久磁化强度的平均关系曲线 d) 退火的45%
坡莫合金永久磁通的磁化电流谐波系数与磁通密度的交变成分和永久磁化强
度的关系曲线 e) 退火的75%坡莫合金的磁化电流谐波系数与磁通密度的交变
成分与永久磁化强度之间的关系曲线 f) 起始导磁率为400高斯/奥的铁不氧磁
物的磁化电流谐波系数与磁通密度的交变成分和永久磁化强度的关系曲线

$$T_1 = \frac{L_1}{r_1} \quad (\text{秒}) \quad (8-904)$$

因为其中的 L_1 和 r_1 可用以下公式表示：

$$L_1 = \frac{0.4\pi\mu S_k W_1^2}{l_c} \times 10^{-8} \quad (\text{亨})$$

$$r_1 = \rho_o \frac{l_{w1} W_1}{q_{w1}}$$

因而 r_1 也可表示为：

$$T_1 = 0.4\pi \frac{\mu}{\rho_o} \frac{S_k q_{w1}}{l_c l_{w1}} \quad (8-905)$$

如果用全部绕组的总的铜净截面代替初级绕组的铜净截面，以整个绕包的平均匝数

长度 l_w 代替初级绕组的 l_{w1} ，则得到铁芯的时间常数。

$$\tau_c = 0.4\pi \times 10^{-8} \frac{\mu}{\rho_0} \frac{S_m q_0}{l_w l_w} \quad (8-906)$$

分析表明，对于工作在“A”类状态下的两个绕组的变压器来说，必须的 τ_c 为
 $\tau_c \geq 2\tau_1$

对于工作在“B”类状态下的输出变压器：

$$\tau_c \geq 1.707\tau_1$$

从式(8-906)可见，铁芯的时间常数正比于变压器线性尺寸的平方。因此有以下关系。

$$\tau_c = \mu C V^{\frac{2}{3}}$$

$$V = \sqrt{\left(\frac{\tau_c}{\mu C}\right)^{\frac{3}{2}}} \quad (8-907)$$

其中： V —— 每个变压器所消耗材料的体积；

C —— 比例系数，与变压器尺寸和绕组导线的比电阻之比有关。

这样，我们就找到了变压器尺寸与其他电气参数的关系式。

III. 低频变压器的临界功率和允许磁感应密度

变压器的功率愈大，则铁芯内的磁感应密度愈大，当变压器功率使铁芯的 B 值达到非线性失真要求允许磁感应密度 B_{MB} 时，这个功率称为变压器的临界功率。最大允许功率和允许磁感应密度之间的关系由下式表示：

对于“A”类工作的具有有功负载的变压器：

$$B_{MB} = \frac{2.98 \times 10^{-4} (1+\eta)}{f_m S_m} \sqrt{\frac{p l_w}{(1-\eta) q_0}} \quad (8-908)$$

对于“B”类工作的具有有功负载的变压器：

$$B_{MB} = \frac{4.21 \times 10^{-4} (0.707 + \eta)}{f_m S_m} \sqrt{\frac{p l_w}{(1-\eta) q_0}} \quad (8-909)$$

式中： η —— 变压器效率

f_m —— 最低工作频率(赫)

其他符号和前述相同。

IV. 低频变压器铁芯尺寸

低频变压器的尺寸与时间常数 τ_c 及最大允许磁感应 B_{MB} 有关，因此，确定尺寸时，应考虑到这两项要求。

小功率及中等功率变压器，可以选择既满足 τ_c 同时又满足 B_{MB} 指标的标准铁芯。

大功率的变压器，当标准铁芯不能满足时，则应根据给定的 τ_c 和 B_{MB} 用计算方法确定铁芯尺寸。

当计算铁芯尺寸时，采用了铁芯结构常数 A 这一参数：它可表示为：

$$A = \frac{\tau_c}{\mu} = 7.18 \times 10^{-8} \frac{S_m q_0}{l_w l_w} \quad (8-910)$$

其中 μ 值应根据最小信号幅度的工作状态确定，例如对于工作信号电平很小并且无直流磁化的输入，级间和输出变压器来说，应取起始导磁率。

由式(8—910)可見，當鐵芯材料選定後，求得其相應工作狀態的 μ 值，就可按要求的 t_c 值算出來，鐵芯的結構尺寸也就可按此式選擇，在標準鐵芯中，一般列出由實際尺寸算得的 A 值，以便于按所需之 A 值選擇鐵芯的型號。

單純按式(8—910)來確定鐵芯具體尺寸是不夠的，為此，應考慮到為了降低變壓器重量，體積或造價有關的最佳尺寸比例(如§8—1所述)。例如：對於最低價格的殼形變壓器，當採用較寬磁轭的無廢料沖壓時，最佳的尺寸比例為：

$$h_g : a_c = 0.65;$$

$$b_c : a_c = 1.5;$$

$$b_c = h_g = 0.65 a_c;$$

$$11 = 2b_c + 0.5a_c = 1.5 a_c.$$

$$\text{因而: } S_m = a_c b_c k_c = 1.5 a_c^2 k_c$$

$$q_o = H_a k_o = 1.17 a_c^2 k_o$$

其中：
 k_c ——磁性材料在鐵芯截面的占空系数；

k_o ——繞組銅在窗口中的占空系数，可從表8—3查得。

表8—3

導線的牌號及其直徑(毫米)	鐵芯窗口中導線材料淨截面的占空系数的大數值 K_o			
	$E_o < 300$ 伏	$E_o = 300 - 1000$ 伏	$E_o = 1 - 3$ 仟伏	$E_o = 3 - 10$ 仟伏
耐久漆包線 0.05—0.1	0.14—0.20	—	—	—
耐久漆包線 0.1—0.2	0.18—0.25	0.15—0.20	—	—
耐久漆包線 0.2—0.5	0.22—0.30	0.18—0.25	—	—
單絲耐久漆包線 0.1—0.2	0.10—0.16	0.08—0.12	0.06—0.10	—
單絲耐久漆包線 0.2—0.5	0.15—0.22	0.11—0.16	0.09—0.14	0.08—0.15
單紗耐久漆包線雙絲包線 0.2—0.5	0.14—0.20	0.10—0.15	0.08—0.12	0.06—0.12
雙紗包線雙紗耐久漆包線 (ЛВЛВД) 0.5—0.15	0.16—0.25	0.13—0.20	0.10—0.15	0.08—0.15
次紗包線雙紗耐久漆包線 0.5—0.45	0.22—0.30	0.18—0.25	0.14—0.20	0.10—0.20

而 $l_c = 5.67 a_c$

$l_w = 6.88 a_c$

把這些關係代入式(8—910)最後可解得：

$$a_c = \sqrt{\frac{3.09 \times 10^3 A}{k_c k_o}} \quad (8-911)$$

對於最小重量的變壓器來說，利用了其最佳尺寸比例，經過同樣的推導可得：

$$a_c = \sqrt{\frac{1.71 \times 10^8 A}{k_c k_o}} \quad (8-912)$$

为了按照最低工作频率时允许的磁感应密度计算壳型变压器铁芯尺寸，也应利用最佳尺寸比值的关系式，并按公式(8-908)和(8-909)推导出：

对于最低价格的壳型变压器

“A”类状态：

$$a_c = \sqrt{\frac{5/2 \times 10^9 (1+\eta)^2 p}{B_{MR}^2 f_H^2 k_c^2 k_o (1-\eta)}} \quad (8-913)$$

“B”类状态：

$$a_c = \sqrt{\frac{5/4 \times 10^9 (0.07+\eta)^2 p}{B_{MR}^2 f_H^2 k_c^2 k_o (1-\eta)}} \quad (8-914)$$

对于最小重量的壳型变压器：

“A”类状态：

$$a_c = \sqrt{\frac{5/6 \times 10^9 (1+\eta)^2 p}{B_{MR}^2 f_H^2 k_c^2 k_o (1-\eta)}} \quad (8-915)$$

“B”类状态：

$$a_c = \sqrt{\frac{5/1.35 \times 10^9 (0.07+\eta)^2 p}{B_{MR}^2 f_H^2 k_c^2 k_o (1-\eta)}} \quad (8-916)$$

具有阶梯形截面的柱形铁芯（主要用于功率>1千瓦的变压器，而且一般为“B”类工作）也应从 B_{MR} 值出发来计算其尺寸。和上述一样，我们也利用其中的最佳尺寸比例可以得到（对“B”类工作状态）：

对于最低价格，铁芯外接圆的直径 d 可由下式算得：（最佳尺寸比为： $b=0.9d$ ， $h=2.5b$ ）

$$d = \sqrt{\frac{8.9 \times 10^9 (0.07+\eta)^2 p}{B_{MR}^2 f_H^2 k_o k_c^2 (1-\eta)}} \quad (8-917)$$

对于最小重量（最佳尺寸比为 $b=1.35d$ ， $h=2.5d$ ）

$$d = \sqrt{\frac{5/4.42 \times 10^9 (0.707+\eta)^2 p}{B_{MR}^2 f_H^2 k_c^2 k_o (1-\eta)}} \quad (8-918)$$

V. 线圈匝数的计算

低频变压器线圈匝数应满足两项要求：第一是满足给定的初级电感量，其次是铁芯中的磁感应密度不超过非线性失真的容许值。

对于小功率变压器来说，铁芯中的 B 值不会很大，因此只须按要求的初级电感量计算，计算方法及公式与扼流圈相同。

功率在几瓦以上的变压器，则应从两项要求出发。

根据给定的 B_{MR} 值计算 W_1 的公式为：

“A”类时：

$$W_1 = \frac{7.98 \times 10^6 U_{M1} (1+\eta)}{f_H S_{2\pi} B_{MR}} \quad (8-919)$$

“B”类时初级中半个线圈的匝数 W_{1H} 为：

$$W_{1H} = \frac{9.33 \times 10^8 U_{1H}(0.707+7)}{f_H S_m B_{mH}} \quad (8-920)$$

此外，計算匝数时，还应考虑到其他各种具体情况，如功率的大小、有無直流磁化等。

VII. 計算的步驟：

低頻變壓器的結構計算過程的擬定，應考慮到很多複雜的具體情況，因此，不能一一加以討論。為了解其一般過程，列舉小功率輸出變壓器的計算步驟作為其中的一個例子。

由電氣計算給出：

揚聲器的音圈電阻 R_2

負載功率 P_2

板流的直流分量 I_0

初級繞組的最小電感 L_1

允許的漏感 L_s

初級繞組的電阻 r_1

次級繞組的電阻 r_2

變壓比 $n = \frac{W_2}{W_1}$

電源電壓 E_0

最低工作頻率 f_H

板路負載阻抗 R_a

變壓器應該考慮到最小重量。

1. 選擇磁路材料：

因為變壓器需具有最小重量，所以我們要選擇具有大起始導磁率的磁路材料。由於存在有恒定磁化，這種材料可以取厚度為0.35毫米的45%坡莫合金板料。

2. 決定等效起始導磁率：

因為變壓器工作在具有恒定磁化的條件下，所以在磁路中必需引入非磁性隙。有效起始導磁率的大致數值 μ_{BOP} 按圖8—610的曲線來求得。為此要先求得 $L_1 I_0^2$ 。

3. 決定結構常數和選擇鐵芯尺寸：

因為變壓器工作在“A”類狀態，所以結構常數等於：

$$A = \frac{2\pi_1}{\mu_{B_H}} \approx \frac{2L_1}{r_1 \mu_{BOP}}$$

根據所得的A值按標準鐵芯數據表，對於計算小重量變壓器的鐵芯我們選擇標準壳型鐵芯，在表中還列出了以後計算所必需的鐵芯所有幾何尺寸。

4. 決定繞組的匝數：

初級繞組的預定匝數，決定於下式：

$$W_1 = 8.92 \times 10^8 \sqrt{\frac{L_1 l_m}{\mu_{BOP} S_m}}$$

每一厘米導磁體的長度上的恒定磁化為：

$$aw_0 = \frac{I_0 w_1}{l_{\text{m}}}$$

按圖 8—610 的曲線，考慮到最佳空氣隙後，在已知 aw_0 時，可找到有效起始導磁率的真正值為 μ_{sh} ，從而初級繞組的匝數，等於

$$W_1 = 8.92 \times 10^3 \sqrt{\frac{L_1 l_{\text{m}}}{\mu_{\text{sh}} S_{\text{m}}}}$$

次級繞組的匝數，定於下式：

$$W_2 = W_1 n$$

5. 鐵芯中感應密度的校驗

給定變壓器的效率 η ，則加到變壓器初級繞組的最大功率，等於：

$$P = \frac{P_2}{\eta}$$

初級繞組的電壓幅度，決定於下式：

$$U_{\text{m1}} = \sqrt{2 P R_{\text{a}}}$$

在小的輸出功率和低的工作頻率的情況下，感應密度的交變分量，等於

$$B_{\text{sh}} = \frac{7.98 \times 10^8 \cdot U_{\text{m1}} (1 + \gamma)}{f_n q_c W_1}$$

在感應密度值 B_{sh} 超過允許值的情況下，應該增加繞組的匝數。

在必要時還要計算非線性失真系數。

6. 決定非磁性隙值

非磁性隙值按圖 8—609B) 曲線來決定，根據已求得的 aw_0 ，找出 Z

$$\delta_3 = \frac{Z l_c}{2 \times 100}$$

7. 決定繞組導線直徑

初級繞組的導線直徑根據給定電阻 r_1 按下式來決定：

$$d_1 (\text{毫米}) \cong 0.15 \sqrt{\frac{l_w (\text{米}) W_1}{r_1}}$$

次級繞組的導線直徑

$$d_2 \cong 0.15 \sqrt{\frac{l_w W_2}{r_2}}$$

根據所得的繞組導線直徑，我們按標準值來決定繞組導線的最後直徑。

8. 繞組分布的校驗

繞組在變壓器窗中分布，按照以前列出的公式進行。

9. 變壓器漏感的檢驗

按下式來決定漏感

$$L_{\text{sh}} = \frac{1.256 K p l_w W_1^2}{10^8 r_1} \left(\delta_{12} + \frac{A_1 + A_2}{3} \right)$$

如果所得的漏感值大於給定值，則把繞組做成交錯式的。

§ 8—10 寬波段變壓器

寬波段變壓器應用於工作在寬頻段內的電子系統中。例如工作在載波電話電路中的變壓器，應具有通頻帶自1到100千赫，用於傳輸線與天線匹配的變壓器應具有通頻帶自0.1到250兆赫等等。

對於寬波段變壓器的基本要求是：在給定頻段內頻率特性的均勻性。

要滿足在寬頻段範圍內頻率特性的均勻性的要求是複雜的，因為變壓器通頻帶的增加在低頻範圍內是與初級繞組電感量的增加聯繫著的，而在高頻範圍內通頻帶的增加，是與固有電容和漏磁感的降低聯繫著的。

除了上述以外，還由於變壓器的漏感和固有電容的串聯迴路的諧振現象；而產生在高頻範圍內變壓器頻率特性的不均勻性。

這樣一來當設計寬波段變壓器時，就提出了下面一個基本任務：建立具有足夠大的初級繞組電感量以及較小固有電容量和漏感的變壓器。

寬波段變壓器的計算與低頻變壓器的計算方法相同，所以我們不再討論了。

現在我們來討論能夠建立寬通頻帶的變壓器的某些結構措施。

在不改變鐵芯時，變壓器初級繞組電感量的增加是與增加繞組匝數聯繫著的，這時頻率特性的低頻端进入到更低頻率的範圍內。但是為了保持傳輸系數，或者說要保持原有的輸出電平，必需正比地增加次級繞組的匝數。次級繞組匝數的增加導致了漏感和固有電容的增加，因此頻率特性的上限移到較低頻率的範圍，即產生變壓器頻率特性往低頻方面的移動。

因而對於寬波段變壓器必須採用高導磁率材料（具有高鎳含量的合金）及鐵淦氧（後者用於工作在高頻範圍的變壓器）。

鐵芯用的板料應該選用不大的厚度（變壓器的頻率上限越高則所用的板料應越薄）。

當具有恒定磁化時在鐵芯中做出非磁性隙。非磁性隙的數值應仔細地選擇。

當用板料來製造時，寬波段變壓器的鐵芯類型建議用柱型的或環型的，最好鐵芯是卷繞的，這可以更好地利用材料的磁性能並使漏感減少一些。

鐵淦氧寬波段變壓器鐵芯常常做成殼型的。

鐵芯尺寸應尽可能地取小些，因為這也可使漏感減小。

寬波段變壓器的繞組做成帶骨架的和無骨架的。常常採用分段繞組，這可以減小變壓器的固有電容。相應地選擇次級繞組各個分段的固有頻率，可以擴展寬波段變壓器的頻率特性。分段間引入屏蔽也降低了繞組的固有電容，但這時繞組對地的電容量增加了。

在變壓器的推挽輸出及輸入的情況下，必需採取措施以使繞組兩半中的電阻和電容均衡。為了達到這一點的最簡單的方法是保持兩半之間幾何上的對稱，使它們在物理上是相同的。

在某些情況下當推挽輸入和輸出時要求同一繞組兩端的對地電容量相等，為此要放入專門的靜電屏蔽以平衡上述電容量。為了減少漏感有時採用交替式分段繞組。

為了減小分布電容和繞組間電容，應採用小介電常數的材料作為綫匝層間和繞組間的墊層。在工作於高頻的寬波段變壓器中，為此，應採用聚苯乙烯膜，聚四氟乙烯膜及

其他具有小介电常数的高频材料。

为了浸渍宽频段变压器也应该采用小介电常数的浸渍材料。为了这个目的最好采用以聚苯乙烯为基体的浸渍材料（宽波段变压器的过热温度一般不大）。

屏蔽宽波段变压器的结构例子列于图 8—1001。

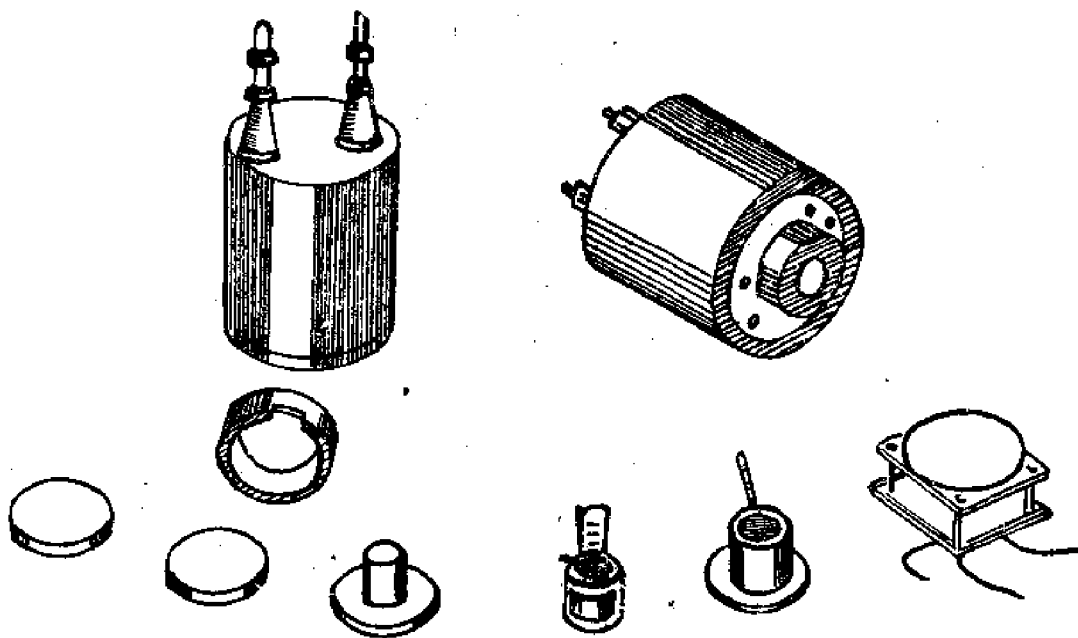


图 —— 1001 变压器装配元件的外形

在图 8—1001示出了宽波段变压器的外形及其装配元件的外形。这种变压器用来匹配天线和传输线，其工作频率为0.1—250兆赫。它利用高起始导磁率的铁淦氧作为铁芯材料。

这种类型的变压器可以具有对称的和非对称的初级绕组。次级绕组是对称的。

变压器绕组的结构零件示于图 8—1002。

从图 8—1002可见变压器的初级绕组是用的厚度为25.4微米的带料。而绝缘层则采用了厚度为3.8微米的聚苯乙烯带料 ($\varepsilon=2.6$)。初级绕组绕在细的聚苯乙烯骨架上。

采用盘旋式的初级绕组代替用圆截面导线绕制的分层绕组可以减少初级绕组的阻抗。

为了得到初级绕组的对称性放入屏蔽7。屏蔽和初级绕组间绝缘的厚度要选择得使绕组起始端和铁芯间的电容量等于绕组末端和屏蔽之间的电容量。屏蔽是接地的。

次级绕组直接绕在屏蔽上的绝缘层上。次级绕组是用圆截面导线绕成的一层线匝。装好的变压器放在密封外壳内。

§ 8—11 脉冲变压器及其设计

脉冲变压器极广泛地应用在各种无线电电子设备的脉冲设备中。它的主要用途，是阻抗匹配，变换脉冲电压的幅度和相位，电路的去耦，以及与电子电路一起形成脉冲等。

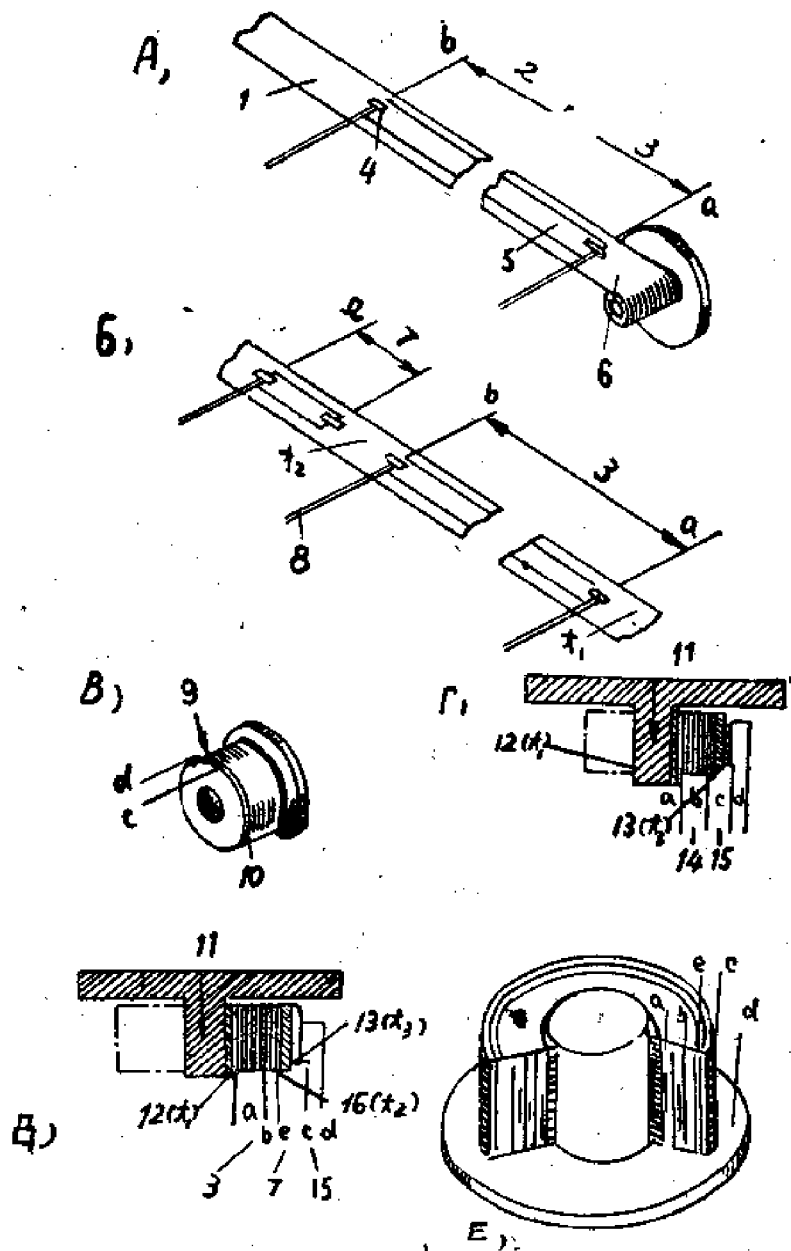


图2—1002 线组的结构零件

A) 非对称带状初级线组; B) 具有屏蔽的对称带状初级线组; C) 两种类型的次级线组; D) “对称—非对称”型变压器的剖面; E) “对称—对称”型变压器的剖面; F) “对称”型变压器的剖面。

1. 聚苯乙烯带 (可以利用其他材料) 2. 接地端; 3. 初级线组; 4. 固定端;
5. 铜带; 6. 聚苯乙烯带 (可以利用其他材料); 7. 屏蔽; 8. 漆包铜线引出端, 焊在铜带上 (引出端的长度约10毫米); 9. 用聚苯乙烯胶合剂固定; 10. 次级线组的单层漆线层; 11. 铁芯; 12. 壳管 (t_1); 13. 屏蔽和次级线组间的绝缘 (t_3); 14. 铜带的初级线组; 与聚苯乙烯带在一起 (可以利用其他材料); 15. 次级线组; 16. 屏蔽与初级线组; 18. 屏蔽与初级线组间的绝缘 (t_2)。

对它所提出的基本要求，是傳送脉冲电压时所产生的波形畸变应在允許的限度以内。因此，在这里我們將着重地研究其产生波形畸变的原因，找出滿足波形畸变要求的结构設計所需的关系式，并提出减小其波形畸变的结构措施。

I. 表征波形畸变程度的參量

圖8—1101虛線所示，为一理想矩形脉冲电压波形，其幅度为 U_1 ，脉冲持续时间为 t_n ，将上述理想矩形脉冲接入脉冲变压器的初級，則次級将有一脉冲电压 u_2 ，为方便計算起見，一般以折到初級的折算值 u'_2 表示：

$$u'_2 = \frac{u_1}{u_2} \cdot u_2 \cong \frac{W_1}{W_2} u_2 = \frac{u_2}{n}$$

由于脉冲变压器不可能为一理想綫性元件，因而輸出脉冲 u'_2 的波形，不再为理想矩形，在一般情况下， u'_2 的波形如圖8—1101中实線所示。为便于設計，通常用以下參量来表征輸出波形的畸变程度。

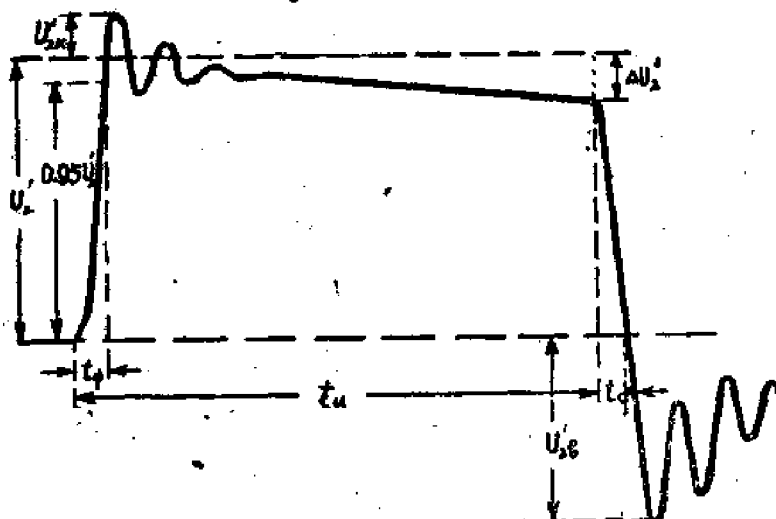


圖8—1101 表征波形畸变主要參量的示意图

1) 脉冲前沿宽度 t_1 （也称脉冲上升时间），即由起始点上升到 $0.95U'_2$ 的时间。

2) 超量 U'_{2k} ，即顶部迭加高頻振蕩的最大幅度。

3) 脉冲的顶部下降 $\Delta U'_{2k}$ ，但通常用相对值 λ 表示；

$$\lambda = -\frac{\Delta U'_{2k}}{U'_2}$$

4) 脉冲后沿宽度 t_4 （也称脉冲下降时间）；即由脉冲終結点下降到零电压的时间。

5) 脉冲反峰的最大幅度 U'_{2k}

显然，在理想矩形情况下，上述五个參量均为零，而其值愈大，则波形的畸变愈严重。

这五个參量的重要性，因使用場合的不同而异，对使用在最常用的設備中的变压器來說， t_1 和 λ 是决定設備質量指标的主要因素，因而在設計变压器任务中，总是提出 t_1

和 t_c 的要求的，一般情况下，不过分大的超量（一般为 $\Delta U_{2b} \leq 0.15 U_{2b}'$ ）是允许的。除了特殊情况外，对 t_c 一般并不提出严格要求；而反向的振荡通常可在电路上用简便方法（如削波法）加以克服，因此，设计任务中常常是对 t_c' 和 U_{2b}' 不提出要求。所以，这里也不加以讨论，必要时读者可参考有关参考书。

II 脉冲变压器的等效电路：

分析畸变的原因时，必须首先确定其等效电路。理论推导的结果表明，当不考虑铁芯内涡流效应时，可采用图3—1102所示的等效电路来分析脉冲变压器的工作过程：

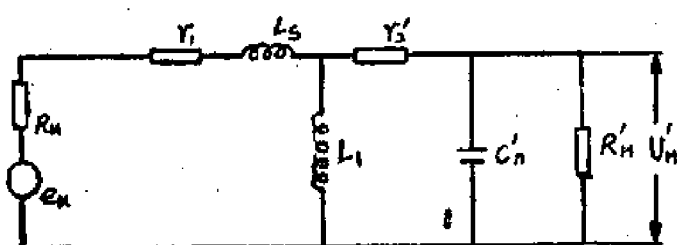


图3—1102 不考虑涡流影响时的等效电路

这个电路的符号所代表意义为：

e_a —脉冲电源的电动势；

R_a —脉冲电源的内阻；

r_1 —初级绕组电阻；

L_s —总漏感；

L_1 —初级绕组电感；

r_2' —一次级绕组电阻 r_2 的折算值， $r_2' = \frac{r_2}{n^2}$ ；

C'_n —变压器铁芯总动态电容 C'_n 与电源输出电容 C_a ，负载输入电容 C_H' 之和；

R_H' —负电阻 R_H 的折算值； $R_H' = \frac{R_H}{n^2}$

应该指出，在实际电路中，脉冲电源和负载的各参数(e_a , R_a , R_H 等)常常是非线性的，但是，这里假定其为一常数(取其平均值)，在工程计算上并不引起不能容许的误差。

III. 脉冲工作时铁芯所产生的各种效应对变压器工作的影响。

不管变压器工作在那一种状态，铁芯中所发生的物理过程都决定于电磁感应现象，磁滞现象，涡流效应和磁饱和效应等因素。但在脉冲工作状态下，某些因素(如涡流)的影响比一般运用状态下更为显著，而且由于某些因素(如磁滞)所引起的现象将具有一些特殊形式。

为了使研究简化，可以假定绕组电阻 $r_1 r_2$ ，漏感 L_s 和总寄生电容 C'_n 都等于零(实际上其本身数值很小，影响也很小，此外，还可以假定变压器为空载或负载为一数值不变的纯电阻，假定电源为一理想的矩形脉冲)。

1. 磁滞现象的影响：

当变压器空载时，根据电磁感应定律，所加的初级脉冲电压 U_1 ($U_1 = \text{const}$) 应与绕组感应电动势相等：

$$U_1 = W_1 \frac{d\phi}{dt} \cdot 10^{-2} = W_1 S_m \frac{dB_{ct}}{dt} \cdot 10^{-2}$$

式中：t—时间[微秒]

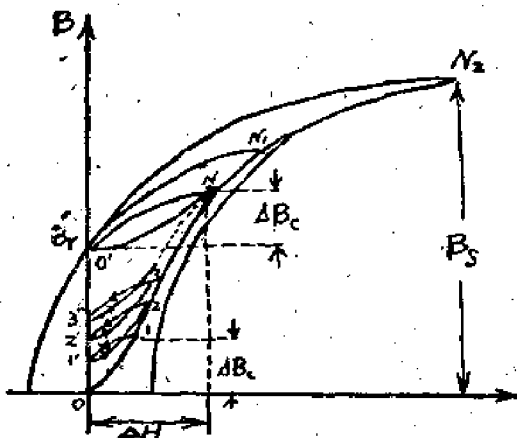
B_{ct} —铁芯的平均磁感应[高斯]

S_m 的单位仍为[厘米²]

因此，在脉冲作用时间 t_n 内，铁芯的平均磁感应增量 ΔB_c （从上式积分得）为

$$\Delta B_c = \frac{100 U_1 t_n}{W_1 S_m} \quad (8-1101)$$

显然，既然假定在 t_n 时间内 U_1 保持不变，则 ΔB_c 也保持为一常数。因此，当加于初级绕组的是一系列具有这种性质的电压脉冲，由于铁芯材料的磁滞应；铁芯将按图8-1103所示的过程磁化。



8-1103 当一系列电压脉冲加于初级绕组时铁芯的磁化过程

如图所示，当第一个脉冲作用时，磁化将到达点1，但脉冲结束时，由于磁滞效应的影响，它并不回到零点，而是回到点1'，当第二个脉冲作用时磁化将从1'点开始，到达由恒定的 ΔB_c 所决定的点2，然后回到点2'，第三个脉冲又从2'点开始磁化等等，如此，带“ \circ ”各点不断向上位移直到O'点（此时 $B = B_r$ ），建立了稳定的局部回线O'N。显然，工作导磁率应由O'N局部回线确定，并称之为脉冲导磁率：

$$\mu_a = \frac{\Delta B_c}{\Delta H} = \frac{\Delta B_c}{H} \quad (8-1102)$$

不难看出，脉冲导磁率比在对称工作时的动态导磁率 μ_d 要小得多。并且，随着 ΔB_c 的增大， μ_a 也相应的减小。为了便于计算，某些资料中给出常用磁性材料 ΔB_c 与 H 的关系曲线，按此曲线可以很容易地找到一定 ΔB_c 值的 μ_a ；XBI铜和钼坡莫合金的 ΔH 曲线如图8-1104所示：

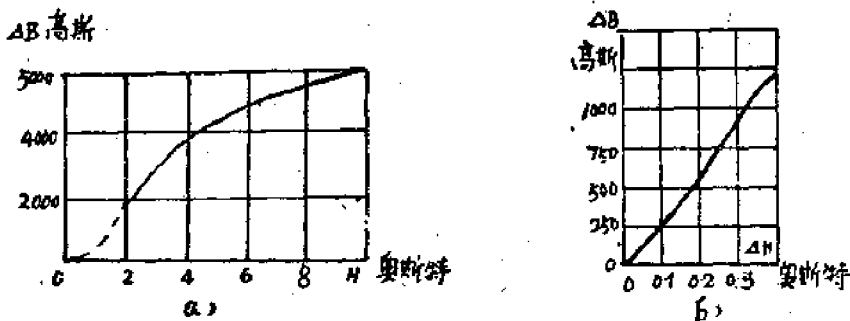


图8—1104
a) XBLI钢的 ΔB 与H的关系曲线 b) 钢镍合金(4—79)%的 ΔB 与H的关系曲线

当 ΔB_c 的增大，使局部迴线的顶点进入磁饱和区域时（超过图中的N₂点）， μ_a 将显著下降，这种情况是不允许采用的，允许的最大磁感应增量 ΔB_{max} 决定于材料的饱和磁感应 B_s 与剩余磁感应 B_r 之差：

$$\Delta B_{max} = B_s - B_r \quad (8-1103)$$

选择磁路材料时，必须使其 $\Delta B_{max} > \Delta B_c$ ，因此，对于功率较大的脉冲变压器来说，应选择具有 B_r 较小和 B_s 较大的材料。

在实际情况中脉冲电源往往受负载的影响而不能保持恒压输出，这时脉冲磁化过程不能认为 ΔB_c 为恒定值，局部磁化曲线的位置受到最大可能的 ΔH 的限制，而当电源所能给出的 ΔH 很小时，局部迴线的始点可能达不到 B_r （图8-1105），但这种情况是不稳定的，由于某种原因（如电路工作不正常等）使材料产生了原始剩磁时，则局部迴线仍可能从 B_r 开始，由于稳定情况下的 μ_a 比不稳定时小，工程计算时应以稳定情况来看确定 μ_a 值。

某些情况下，输入脉冲可能附加有直流成分，局部迴线的起始点将由附加的直流磁场所确定，如图8-1106所示，此时，其 μ_a 和 ΔB_{max} 都将进一步减小。

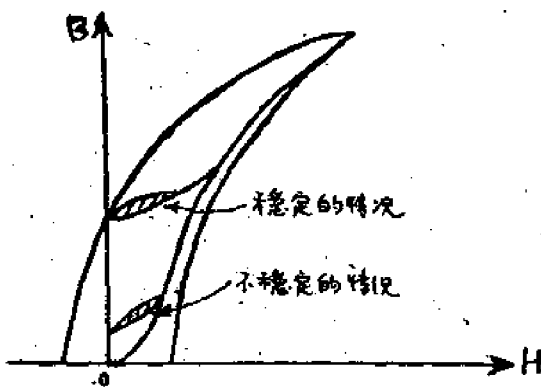


图8—1105 不稳定的脉冲磁化局部迴路

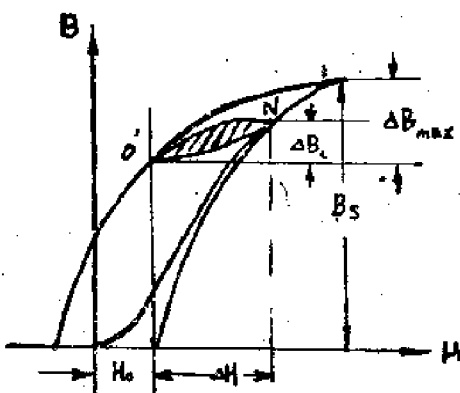


图3—1106 当脉冲附加有直流成分时的局部磁滞。

为了提高磁路的 ΔB_{max} 值，或者，为了在 ΔB_c 比较大的情况下提高 μ_a 值，可以采用以下两种方法：

1) 在磁路中加入非磁隙，如前所述，当加入非磁隙时，磁路的等效磁滞回线向右移了（图3—1107），此时 B_r 将减小为 B'_r ，而 B_s 仍保持不变，因而 ΔB_{max} 增大了。此外，由图可見当由脉冲电源所决定的 ΔB_c 較大时（特别是工作在 ΔB_c 接近 ΔB_{max} 或 $\Delta B_c \geq \Delta B_{max}$ 的情况下）加入了非磁隙也可使 μ_a 提高。

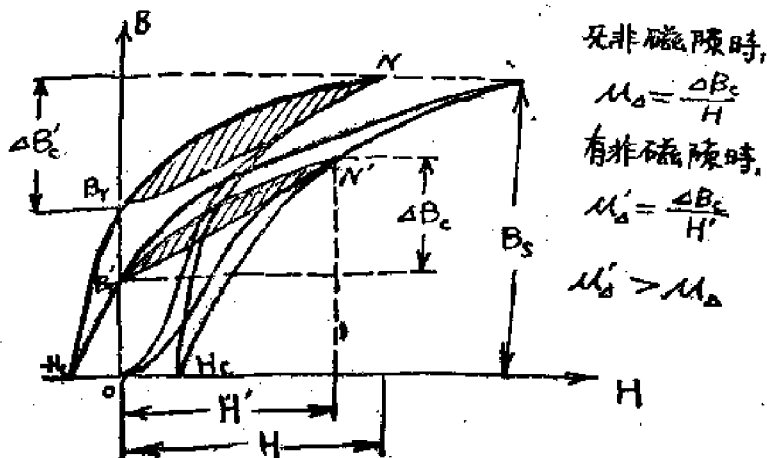


图3—1107 磁路中引入非磁隙后 ΔB_{max} 的提高和 μ_a 的损失

由圖也不难看出，当材料的矫顽磁力 H_c 愈小，则加入非磁隙的效果愈大，因此，在采用具有非磁隙磁路时，应选择 H_c 較小的材料（如坡莫合金）。

如前所述，加入非磁隙同时使磁滞回线各点的斜率降低，非磁隙愈大，则降低愈严重。因此，相对于一定的 ΔB_c 也具有一最佳非磁隙（即使 μ_a 获得最大值的非磁隙）。其值同样可用圖解法或實驗方法求得，圖3—1108示出用圖解法得到的XBT鐵芯和銅坡莫合金鐵芯的脉冲导磁率与非磁隙（用相对值表示）的关系曲線，和接近于最佳非磁隙时

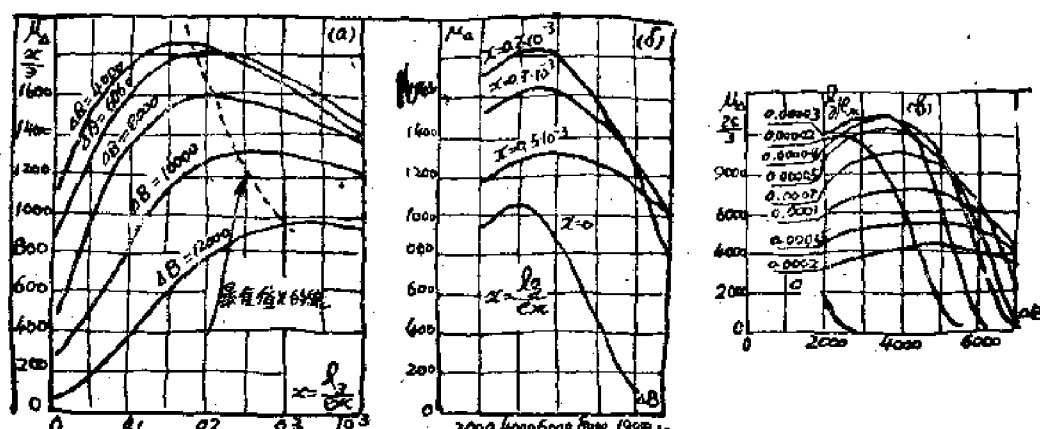


图 1102 a) XRD 细胞膜油层效率与正弦波的关系曲线 b) XRD 波数

以前采用某种方法消除反磁场 H_0 ，脉冲磁化的起始点将变为D点，则可在 ΔB_{max} (此时, $\Delta B_{max} = B_s + B_r$) 降低不大的情况下获得更大的 μ_Δ 值 (此时 $\mu_\Delta = \mu_{\Delta 2} = \frac{\Delta B_2}{\Delta H_2}$)。

当采用辅助去磁时，磁路材料最有利的是选择 μ_m 较大 (可得到高的 μ_Δ)， H_0 较小 (要求小的辅助去磁场) 和 B_s 较大 (可得到大的 ΔB_{max}) 的材料。

实现辅助去磁场的方法有电流激磁法和永磁激磁法两种。

电流激磁法可通过图 8—1110 所示电路实现。

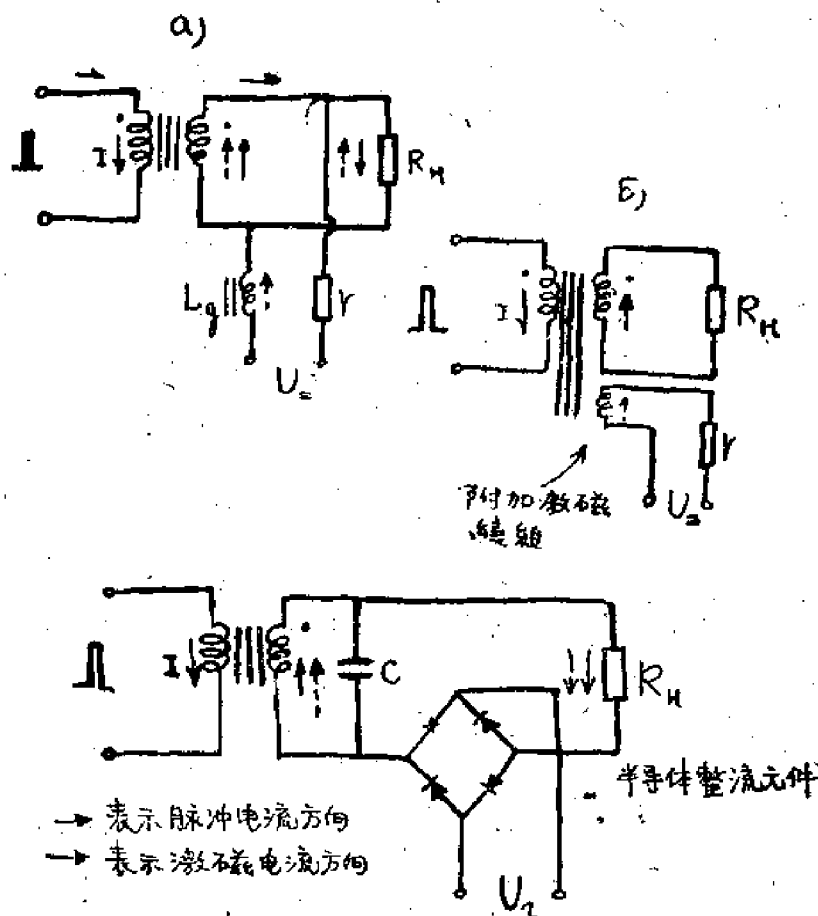


图8—1110 采用电流激磁产生辅助去磁场时的电路

图8—1110B所示电路为最近采用的新方法，与从前常采用的两种方法 (图8—1110 a, b) 相比，其优点是不须采用尺寸很大的隔离扼流圈或辅助的激磁绕组 (附加绕组会增加引起变压器发热的铜损和增大变压器尺寸)，只须用尺寸较小的一般元件 (半导体二极管及一般电容器)，因而比上述两种方法简单，并可以减小设备尺寸和重量。

采用电流激磁法时，无论采用哪一种电路，所采用的激磁系统都得使得变压器的寄生参数 (主要是寄生电容) 增大，这将引起变压器的高频畸变增大 (见以后分析)，因

此，只适用于工作在 t_a 较大（例如 $t_a > 10$ 微秒）的变压器中（此时，对高頻畸变方面要求不高，因而寄生參量影响不大重要）。

对于 XBII 作成的磁路，当采用电流激磁法来产生辅助去磁場时，去磁場 H_0 所产生的效果可用圖 8—1111 来說明，利用这种曲綫來进行設計是十分方便的。由圖可見，利用 $|H_0| > 1.5H_c$ 是不必要的，而 $|H_0| < H_c$ 时， μ_Δ 提高又很小，因此一般 $|H_0|$ 应在 $(1 \div 1.5) H_c$ 的範圍內選擇。但應該以已选定的 ΔB 值为主要依据。在圖 8—1111B) 上給出了鉑坡莫合金的同样曲綫族，坡莫合金的 H_c 很小 ($H_c < 0.1$ 奥斯特)，因此应用輔助

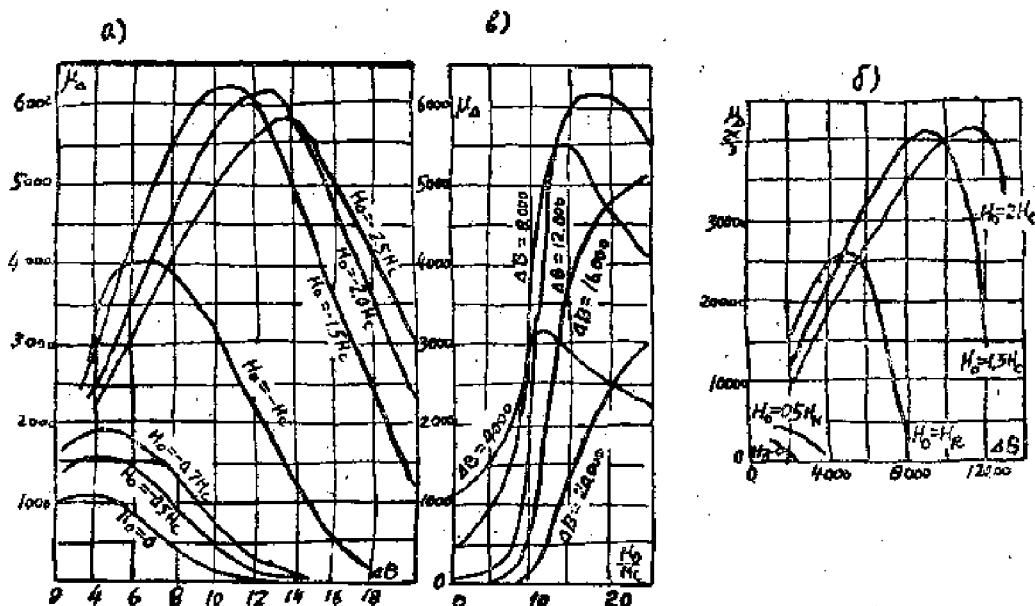


圖 8—1111. a) XBII 鋼中 μ_Δ 与 ΔB 的关系曲綫族

(以 $\frac{H_0}{H_c}$ 为參量) b) XBII 鋼中 μ_Δ 与 H_0 的关系曲綫族 (以 ΔB 为參量)

B) 鉑坡莫合金 (4—79) % 中 μ_Δ 与 ΔB 的关系曲綫族 (以 $\frac{H_0}{H_c}$ 为參量)

去磁的效果最好，只是 ΔB_{max} 比 XBII 稍小。

当工作于短脉冲 ($t_a < 10$ 微秒) 时，应采用永磁激磁法。即采用装入磁路横截面内的永磁体来产生恒定的去磁場；其結構示意圖 8—1112 所示。由于永磁片的加入不影响线圈结构，因而对线包不引入附加的寄生參量，变压器的高頻特性不受到任何影响。但由于

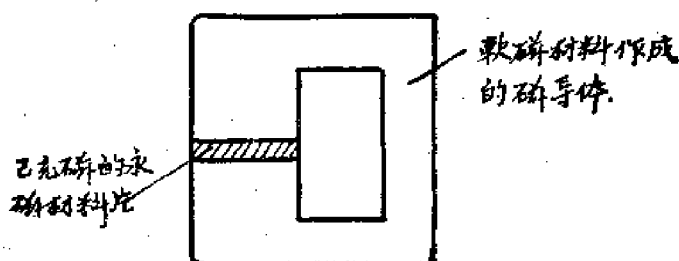


圖 8—1112 利用充磁的永磁体进行輔助去磁的磁路结构示意圖

在这种情况下所采用的永磁铁淦氧的导磁率 μ_H 趋近于非磁性材料的导磁率($\mu_H \rightarrow 1$)，因此，插入永磁体相当于在磁路内做成了一个相当大的非磁隙，磁路的动态导磁率相应地降低了，因而也大大地降低了用预磁化方法来提高 μ_A 的效果，为了改善这种情况，要求磁路具有特殊的结构，目前，这种结构的复杂性、工艺制造上的困难以及其他某些原因，仍妨碍着它的广泛应用，但可以设想，对工作于大功率短脉冲（此时主要是要求磁路具有大的 ΔB_{max} 和小的绕组寄生参数）的变压器来说，这种磁路的广泛采用是很有希望的。

2. 涡流效应的影响：

涡流效应的影响主要有两方面，一方面是以损耗和储能形式使等效电路增加了新的参数，另一方面是产生磁集漏效应。

1) 考虑涡流影响的等效电路及视在脉冲导磁率。

在铁芯内所产生的涡流，象无限多个负荷的次级绕组一样，使初级电流增加，更详细的分析指出，当磁路由片状材料组成时，涡流所引起的初级电流增加可用并联于初级电感 L_1 的无穷多个支路代替，如图8-1113所示。也就是说，流过这个网路的电流与涡流所引入的附加电流相等效。计算指出：附加电流（有时称为等效涡流电流） i_B 之值可用下式表示：

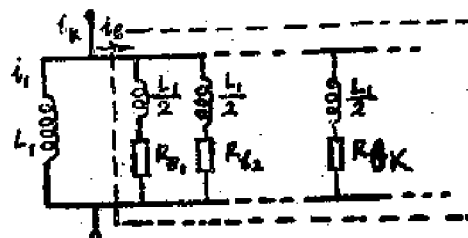


图8-1113 考虑涡流影响的等效电路

$$i_B = U_1 \sum_{k=1}^{\infty} \frac{2\pi B}{L_1 k^2} \left(1 - e^{-\frac{K^2 t}{T_B}} \right) \quad (8-1104)$$

式中： B —铁片厚度（厘米）， ρ_B 表示磁芯材料电阻（欧·厘米） $\text{注}(8-1107)$

图中的 R_{Bk} 为第 k 个涡流支路电阻，示如：

$$R_{Bk} = k^2 R_{B1} = k^2 \frac{L_1}{2C_B} \quad (8-1106)$$

式中， R_{B1} 表示第一个支路的涡流电阻。

利用数学关系式：

$$\sum_{k=1}^{\infty} \frac{1}{k^2} = \frac{\pi^2}{6} \quad \text{则式 (8-1104) 可写成}$$

$$i_B = U_1 \frac{\pi^2 C_B}{3 L_1} \left[1 - \frac{6}{\pi^2} \sum_{k=1}^{\infty} \frac{1}{k^2} e^{-\frac{k^2 t}{T_B}} \right]$$

$$i_B = U_1 \frac{1}{R_{B0}} F\left(\frac{t}{\tau_B}\right) = I_B \cdot F\left(\frac{t}{\tau_B}\right), \quad (8-1106)$$

式中: R_{B0} 为 i_B 趋于稳定值时总的等效涡流电阻;

$$R_{B0} = \frac{1}{\infty} = \frac{3L_1}{\pi^2 \tau_B} = \frac{12W_1^2 S_{\text{m}} \rho_{\text{m}}}{\delta_{\text{m}}^2 l_c} \quad (8-1107)$$

(这里用 L_1 和 τ_B 的表示式代入)

$F\left(\frac{t}{\tau_B}\right)$ —— 表征涡流变化规律的函数,

$$F\left(\frac{t}{\tau_B}\right) = 1 - \frac{6}{\pi^2} \sum_{k=1}^{\infty} \frac{1}{k^2} e^{-k \frac{t}{\tau_B}} \quad (8-1108)$$

I_B —— 总的等效涡流的稳定值,

$$I_B = \frac{U_1}{R_{B0}} = U_1 \frac{\delta_{\text{m}}^2 l_c}{12W_1^2 S_{\text{m}} \rho_{\text{m}}} \quad (8-1108)$$

由式 (8-1106) 不难看出, 为了粗略的计算, 可将电路再简化为图 8-1114 所示的形式。

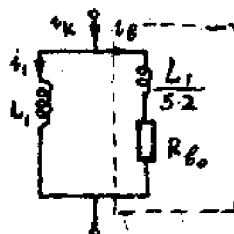


图8—1114简化的涡流等效电路图

为此, 当考虑到涡流影响时, 变压器的实际的励磁电流 i_K 包括 i_1 和 i_B 两部分, 称为视在励磁电流, $i_K = i_1 + i_B$, (实际情况中 i_B 可能比 i_1 大好几倍)。

这些电流的波形如图 8-1115 所示。如果假设 i_K 的变化是线性的 (图中的虚线), 显然可以用一个等效电感 (称为视在电感) 代替整个电路, 因而, 也可用一个等效的导磁率来表征这个视在电感的数值, 这个等效的导磁率称为视在脉冲导磁率, 一般用 μ_K 表示。由于 μ 值反比于磁场, 而磁场与绕组电流成正比, 既然电流可由 t_g 表示 (见图) 表示, 因而可以得到。

$$\mu_\Delta = \frac{K}{t_g \Delta t_1}$$

$$\mu_K = \frac{K}{t_g \Delta t_2}$$

由图 8-1115, g) 可见 Δt_2 的大小与 t_g 有关, ($t'_g > t_g$, $\Delta t < \Delta t'_2$) 因此, μ_K 不仅与磁路的特性有关, 也和 t_g 的大小有关。

这个关系可以用以下公式求出:

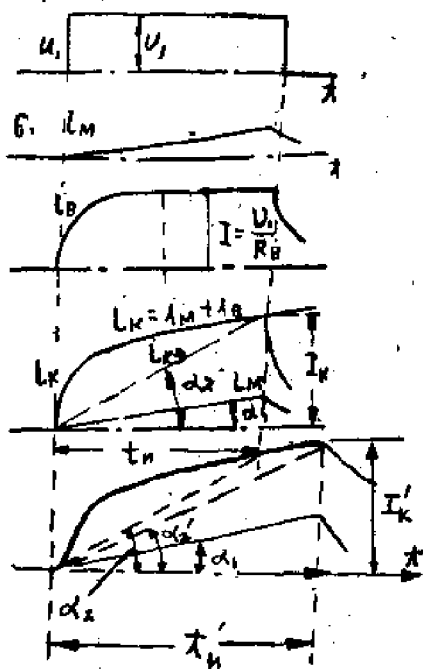


图8—1115 铁在励磁电流波形图

$$\text{因为 } \mu_x = \frac{\Delta B_c}{\Delta H_x}$$

(ΔH_x 为由 I_x 决定的磁场，而 $I_x = i_x(t_n)$)。

所以，可以得到：

$$\begin{aligned} \frac{\mu_x}{\mu_\Delta} &= \frac{\Delta B_c / \Delta H_x}{\Delta B_c / \Delta H} = \frac{\Delta H}{\Delta H_x} = \frac{i_1(t_n)}{i_1(t_n) + i_x(t_n)} \\ &= \frac{1}{1 + \frac{i_x(t_n)}{i_1(t_n)}} = \frac{1}{1 + \frac{\pi^2}{3t_n} - \frac{2}{\tau_n} \sum_{k=1}^{\infty} \frac{1}{k^2} \frac{1}{6}} \quad (8-1109) \end{aligned}$$

$$\text{其中: } \tau_n = \frac{t_n}{\tau_n} = \frac{1000\pi\rho_x t_n}{\mu_\Delta \delta_x^2} \quad (8-1110)$$

称为相对涡流时间。

式(8-1109)可繪成相应的曲线(图8-1116)。

由图8-1116可见，当 $\tau_n < 1$ 时， $\frac{\mu_x}{\mu_\Delta} < 0.3$ ，即 μ_x 只有 μ_Δ 的 0.3 倍，材料磁性的利用是很低的，当 $t_n = 3$ 时， $\frac{\mu_x}{\mu_\Delta} \approx 5$ ，磁性的利用显著地提高了，但 t_n 越大，则要求的钢片厚度 δ_x 越小，铁芯价格也提高了，考虑到曲线在顶部的斜率很小，因而提高 t_n (即减小 δ_x 的方法)来提高 μ_x 值是不合理的(不经济)，所以在设计时一般选择 $t_n \geq 3$ ；

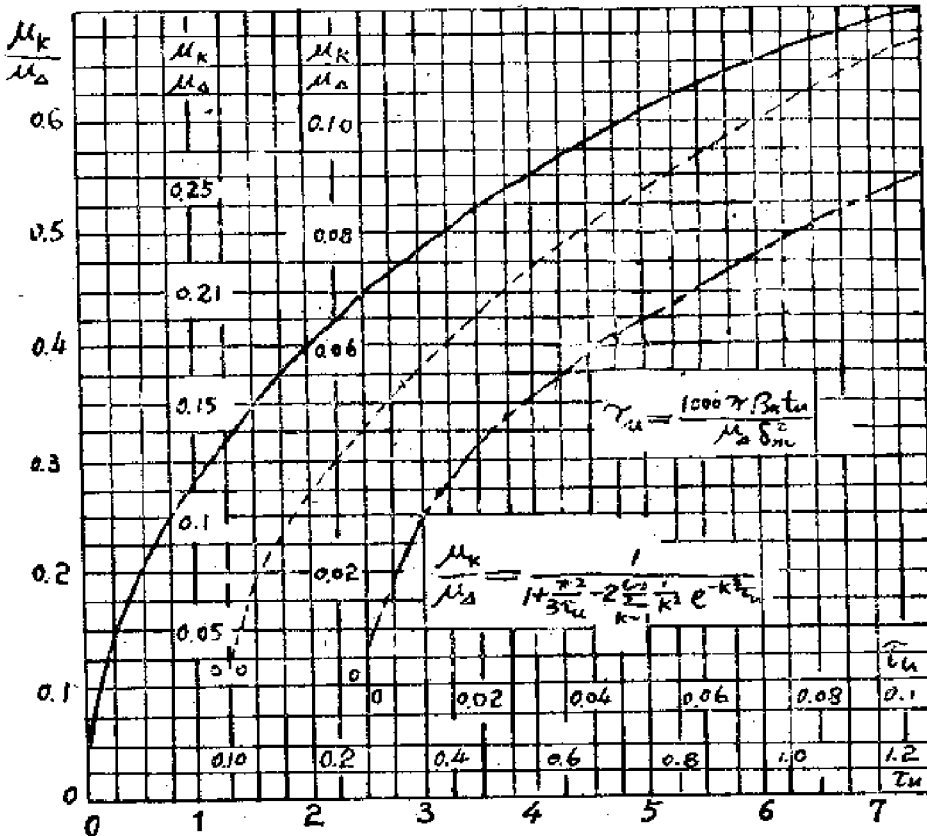


圖3—1116 $\frac{\mu_k}{\mu_a}$ — τ_u 關係曲線

选定 τ_u 后，即可求得所需之片厚 δ_m 。

$$\delta_m = \sqrt{\frac{1000 \pi \rho_s t_u}{\mu_a \tau_u}} \quad (8-1111)$$

2) 磁集脣效應的影響

由於薄片的外表層沒有為渦流路徑所包圍，在這一層上實際上不存在渦流去磁作用影響，因而，外表層的磁感應 ΔB_{6M} 將比內部大，并且可認為由 μ_s 決定。因而有

$$\Delta B_{6M} = \mu_s \Delta H_x$$

为此，可得到如下关系：

$$\frac{\Delta B_c}{\Delta B_{6M}} = \frac{\mu_s \Delta H_x}{\mu_s \cdot \Delta H_x} = \frac{\mu_s}{\mu_s}$$

所以， $\frac{\Delta B_c}{\Delta B_{6M}}$ 与 τ_u 之关系也可由圖3—1116曲線表示：

同样，由曲線可見，當 $\tau_u = 1$ 時 $\frac{\Delta B_c}{\Delta B_{6M}} = 0.28$ ，即 ΔB_{6M} 几乎為 ΔB_c 的四倍，在這種情況下，如果變壓器工作在 ΔB_c 較高的情況下，則表面的B值可能達到 B_s ，材料的這種局部飽和現象將引起 μ_s 的額外下降，因此， $\tau_u < 1$ 在 ΔB_c 較大時一般是不允許的。

當 $\tau_a > 3$ 時， $\frac{\Delta B_c}{\Delta B_{6m}}$ 的增大十分緩慢，因此，基於前述同樣理由，這也是不合理的。考慮到這些因素，我們得到同樣的結論：即 τ_a 應在 ≥ 3 的範圍內選擇。不過，如果工作于 ΔB_c 接近于 ΔB_{max} 時，考慮到集膚效應的影響， τ_a 應取得大一些。

3) 涡流損耗功率的計算：

渦流損耗功率可以從其等效電路中計算。

損耗功率的瞬時值，在脈衝作用時間內並不是常數（由於渦流電感的存在），但我們須要求得的是其平均值（因為它決定了發熱），所以我們可以忽略渦流電感的儲能作用，實際上，它所儲存的能量在脈衝結束之後仍損耗在鐵芯內部，因此，這種忽略對於平均損耗功率的計算並無影響。因為圖 8—1117 所示的兩個具有陰影線的部分的面積大致上是相等的。

感時功率

間的 $\Delta B - \Delta H$ 曲線（圖 8—1118），作為設計參考。

2. B_9 較小，因此 ΔB_{max} 較小，為了提高 ΔB_{max} 可採用預磁化方法。
3. 當頻率較高時，某些鐵淦氧具有一些特殊的損耗。如鐵磁諧振損失，在某些情況下，也須作考慮。

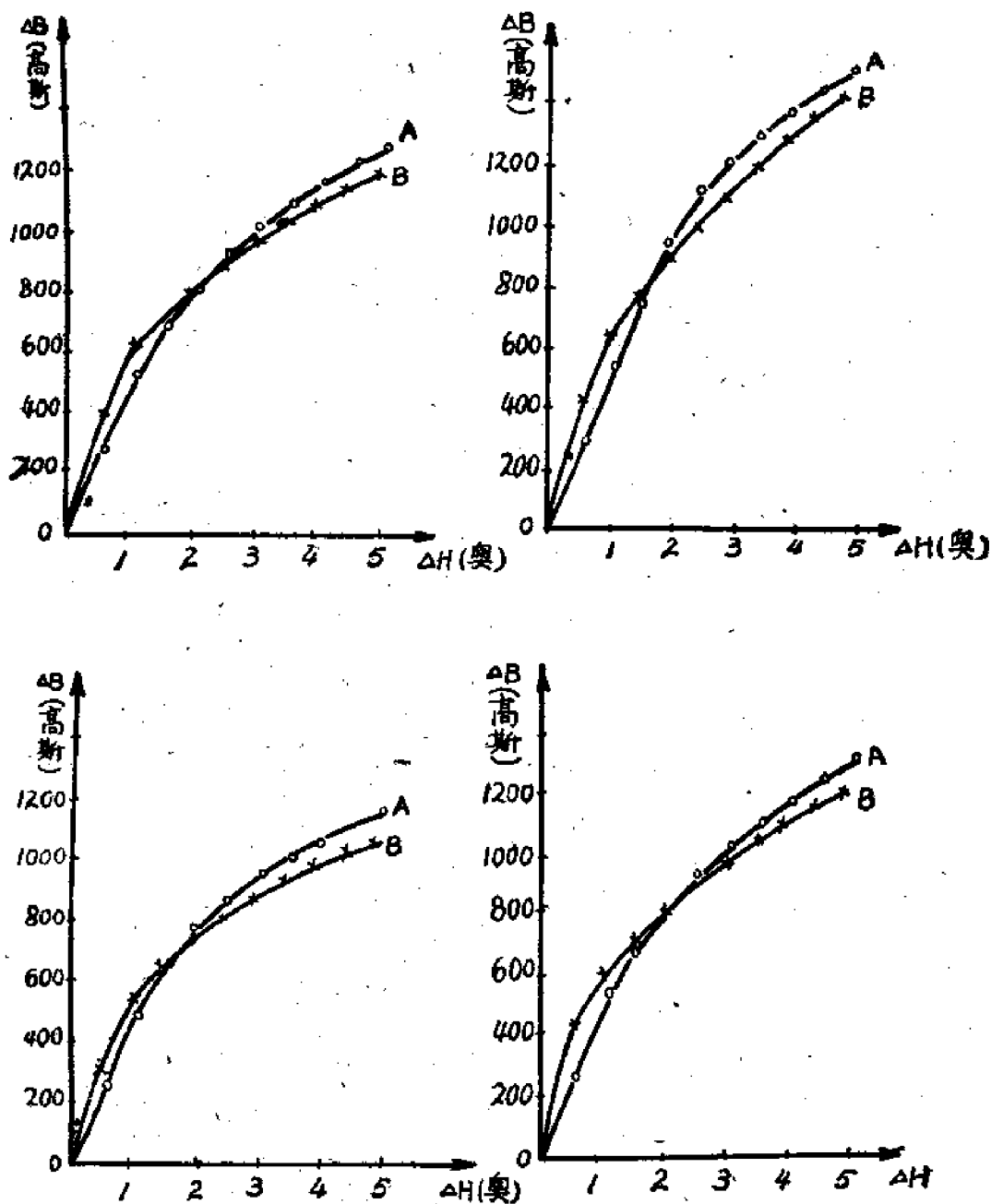


圖8—1118 常用鐵淦氧的 $\Delta B - \Delta H$ 曲線

A'—Ni—Zn鐵淦氧， $\mu_H=105$ 。B—Mn—Zn鐵淦氧， $\mu_H=760$ 。

4. 具有对脉冲磁化的时滞現象，其磁化过程如圖 3—1119a 所示，脉冲作用时按 $B_t = B_{\max} - B_r'$ 相应各点进行，而由 B_r' 降低到 B_r ，是在脉冲作用之后进行的，而且，这过程需要一定时间，称为恢复时间（用 t_n 表之）。显然，如果 t_n 大于 $T_n - t_n$ ，则下一个脉冲作用时，磁化将从 B_r' 开始，这就使得 μ_a 额外地降低了，为了避免这种現象，設計时，力求不工作在 $T_n - t_n > t_n$ 的情况下，这一点有时使鐵淦氧的采用受到限制。 t_n 之值除与材料品种有关以外，还与磁化强度及脉冲時間有关。圖 3—1119b 所示便是用試驗方法得到的这种关系曲線。可以用来确定不同工作状态下的 t_n 值。

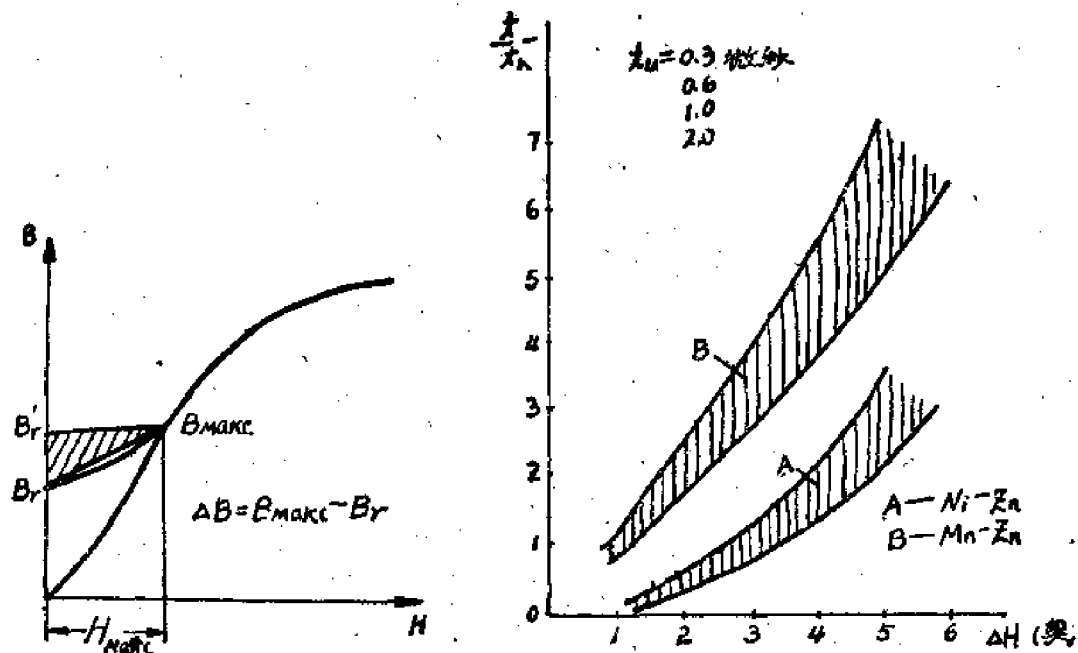


圖3—1119 a) 鐵淦氧由脉冲磁化的时滞現象

b) 表示 $\frac{t_n}{\Delta H}$ 与 ΔH 的关系的数据范围的試驗曲線

IV. 脉冲的頂部畸变：

矩形脉冲的頂部为緩慢变化过程，相当于低頻情况，等效电路的寄生參量可以忽略。又因我們所关心的是 $t = t_n$ 时总的电压降落 $\Delta U_{z'}$ ，其下降過程的变化規律不加考慮，因此，我們可以利用現在初級励磁电感 L_x 代替渦流的影响。此时，我們可将等效电路簡化为圖 3—1120a 所示形式。

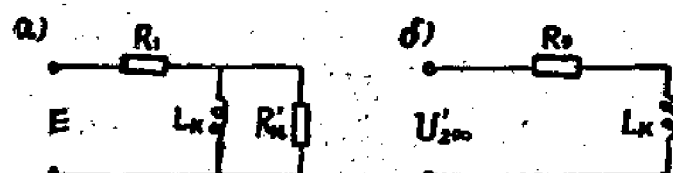


圖3—1120 分析脉冲頂部失真的等效电路

$$\text{圖中: } R_1 = R_a + r_1 \approx R_a$$

$$R_a' = \frac{R_a}{n^2} \quad (\text{因为脉冲变压器一般匝数很少, } r_1 \text{ 和 } r_2 \text{ 一般可略去。})$$

L_x ——视在励磁电感, 由 μ_x 确定。

$$L_x = \frac{0.4\pi w_1^2 \mu_x S_m \cdot 10^{-8}}{L_c} \quad (\text{亨}) \quad L_c \approx 35 \text{ 铁芯} \quad (8-1114)$$

利用戴维宁定理可得图 8-1120B 所示电路, 图中的 R_a 及图 8-1121 中的 U_{2a}' 为:



图 8-111 分析顶部畸变的波形图

$$R_a = \frac{R_a'}{R_a' + R_1},$$

$$U_{2a}' = \frac{R_a'}{R_1 + R_a'} E$$

分析图 8-1120B 电路, 最后得:

$$\Delta U_{2a}' = U_{2a}' \frac{R_a t_n}{L_x} \cdot 10^{-6}$$

因此,

$$\lambda = \frac{\Delta U_{2a}'}{U_{2a}'} = \frac{R_a t_n}{L_x} \cdot 10^{-6} \quad (8-1115)$$

(t_n 单位为微秒)。

利用已指出的式 (8-1101)、(8-1114) 和 (8-1115) 可解得:

$$S_m \cdot l_c = \frac{100 \mu_x t_n \lambda}{0.8 \Delta B_c^2} \cdot \frac{U_1^2}{R_a} \quad (8-1116)$$

式 (8-1116) 为计算变压器尺寸之基本公式, 当磁路的材料及其工作状态已选定时, 根据对变压器的顶部畸变要求, 按此式可计算所须之铁芯体积。

V 脉冲的前沿畸变:

考虑到涡流的影响, 变压器的等效电路如图 8-1122 所示:

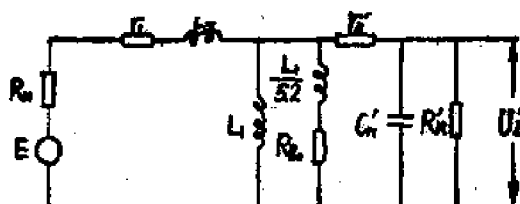


图 8-1122 计及涡流影响的脉冲变压器等效电路

在脉冲开始的瞬间，经过 L_1 的电流与流过负载 R'_H 的电流相比是很小的，因此，在分析前沿畸变时，可认为 L_1 所呈现的阻抗为无穷大（即开路）。涡流支路的总阻抗，按照同样理由也可以近似地认为开路（由于 $\frac{L_1}{C_2}$ 的存在，而且一般 R_{B0} 也相当大）。

为此，我们便得到了分析前沿畸变的等效电路（图8—1123）。

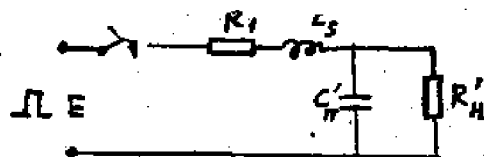


图8—1123 分析前沿畸变的等效电路。

利用运算法分析该电路，并引用以下符号，即可得解得电压的表示式。
引用的符号：

$$\delta_R = \frac{R'_H}{R_H} \quad (\text{电阻比}) \quad (8-1117)$$

$$U_{2\infty} = \frac{E}{1 + Y_R} \quad (\text{当 } t \rightarrow \infty \text{ 时的 } U_2) \quad (8-1118)$$

$$\rho = \sqrt{\frac{L_s}{C'_H}} \quad (\text{波电阻}) \quad (8-1119)$$

$$T_1 = \sqrt{\frac{L_s C'_H}{1 + Y_R}} \quad (\text{寄生时间常数}) \quad (8-1120)$$

$$\tau = \frac{t}{T_1} \quad (\text{相对时间}) \quad (8-1121)$$

$$\delta = \frac{1}{2\sqrt{1+Y_R}} \left(\frac{\rho}{R_H} + Y_R \frac{R'_H}{\rho} \right) \quad (\text{过渡特性参数或称衰减量}) \quad (8-1122)$$

表示式：

第一种情况：

当 $\delta < 1$ 时，具有振荡过程：

$$\frac{U_2'}{U_{2\infty}} = 1 - \frac{e^{-\frac{v}{\delta}}}{U} \sin(\nu\tau + \varphi) \quad (8-1123)$$

式中：

$$U = \sqrt{1 - \delta^2}; \quad \operatorname{tg} \varphi = \frac{\nu}{\delta} = \frac{\sqrt{1 - \delta^2}}{\delta}$$

第二种情况：

当 $\delta > 1$ 时，具有非周期过程：

$$\frac{U_2'}{U_{2\infty}} = 1 + A e^{-\alpha_1 \tau} + B e^{-\alpha_2 \tau} \quad (8-1124)$$

$$\text{式中: } A_1 = \frac{1}{2} \left(\frac{\delta}{\sqrt{\delta^2 - 1}} - 1 \right);$$

$$B = \frac{1}{2} \left(\frac{\delta}{\sqrt{\delta^2 - 1}} + 1 \right);$$

$$\alpha_1 = \delta - \sqrt{\delta^2 - 1};$$

$$\alpha_2 = \delta + \sqrt{\delta^2 - 1}.$$

按所得的上述这些式子, 可繪出表征不同 δ 值时脉冲前沿形状的曲綫圖 (圖8—1124)。

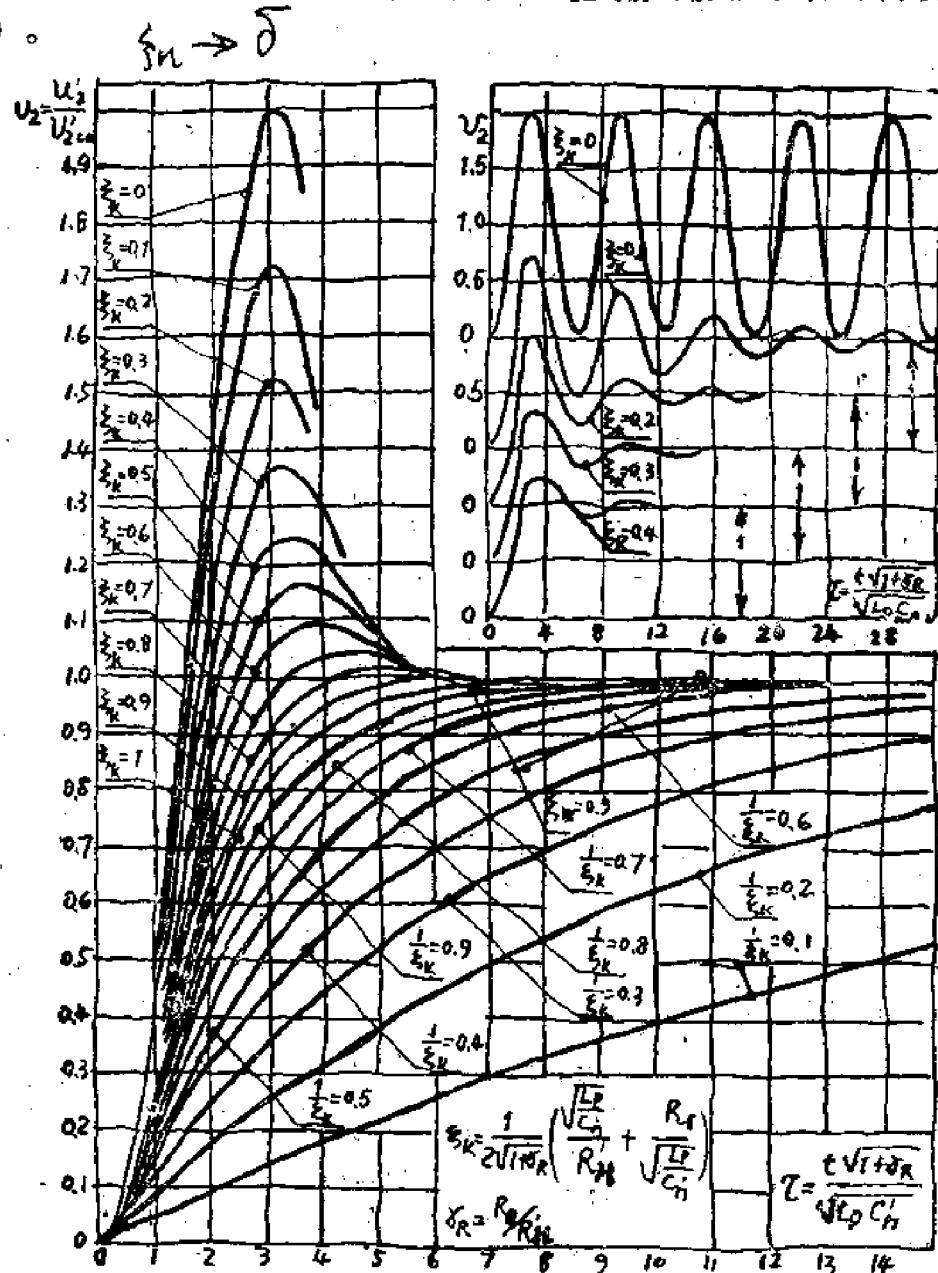


圖8—1124 不同 δ 值时的脉冲前沿形状

可直接求得某 δ 值的相对上升时间 t_ϕ ($= \frac{t_\phi}{T_1}$)，因而可求得 $t_\phi = t_\phi T_1$ ，
从曲綫

即当 δ 为一定时 t_ϕ 与 T_1 ($= \sqrt{\frac{L_s C_n'}{1 + Y_R}}$) 成正比，所以为了减小前沿畸变，应相应地减小 $L_s C_n'$ 乘积。此时，由圖可見 t_ϕ 也随 δ 而变， δ 愈小，则 t_ϕ 愈小，因而 t_ϕ 也愈小，但隨着 δ 的减小，出現了振蕩情况。 δ 愈小則超量愈大。

实际上当 $\delta \geq 0.5$ 时 $\frac{U_{2k}}{U_{2m}} \leq 0.15$ ，在一般情况下，这是允许的，如果选择 $\delta = 0.7$ ，則在一般情况下更为合理，所以一般的設計都取这个数据，这样，我們便得到进行粗略計算的基本关系式：

$$T_1 = \sqrt{\frac{L_s C_n'}{1 + Y_R}} \leq \frac{1}{3} t_\phi \quad (8-1125)$$

但是，分析式子 (8-1122) 的結果表明，当 Y_R 已定时， δ 与 $\frac{\rho}{R_n'}$ 的关系并不是任意的，其中当 $\frac{\rho}{R_n'}$ 为某值时， δ 具有最小值，因而，使我們选择小的 δ 值成为不可能，用数学方法可求得 δ_{min} 为

$$\delta_{min} = \sqrt{\frac{Y_R}{1 + Y_R}} \quad (8-1126)$$

此式可見，当 $Y_R < 0.35$ 时， $\delta_{min} < 0.5$ ，此时由于超量过大，应选 $\delta = 0.5$ （而不能选 $\delta = \delta_{min}$ ）。

当 $Y_R > 0.35$ 时， $\delta_{min} > 0.5$ ，为了减小 t_ϕ ，显然应取 $\delta = \delta_{min} = \sqrt{\frac{Y_R}{1 + Y_R}}$ ，由此式代入 δ 表示式 (8-1122) 并解出其中的 ρ ，此 ρ 值因为与最小 t_ϕ 相对应而称之为最佳 ρ 值；得

$$\rho_{opt} = \left(\sqrt{\frac{L_s}{C_n'}} \right)_{min} = \sqrt{R_1 R_n'} \quad (8-1127)$$

由于各參量关系的复杂性，从前沿失真要求出发計算变压器的結構比較困难，但以上基本关系式 (8-1125, 8-1126, 8-1127等) 可用来确定其中某些变压器結構參量。

VI 脉冲变压器的結構特点：

如前所述，为了减小前沿畸变，除了选择适当的 ρ 值以外，应力求减小寄生時間常数 T_1 ，即减小 L_s, C_n' 乘积。

总的动态电容，通常主要决定于繞組静态电容，因而 L_s, C_n' 乘积，是与 L_s, C_T 成比例的。从 L_s 和 C_T 的計算式中，不难导出，乘积正比于下列数值，

$$L_s \cdot C_T \text{ 正比于 } \xi / w^2 w_1^2 \left(1 + \frac{A_1 + A_2}{3s_{12}} \right)$$

也就是说，为了减小 t_ϕ ，必须相应地减小上述各結構參量 ($l_w, w, A_1 + A_2$ 等)，以及用 ξ 小的介質进行絕緣，

但是，为了减小顶部畸变，力求增加 L_x （因为， $\lambda = \frac{R_b t_a}{L_x}$ ）由前述可知：

$$L_x = \frac{0.4\pi w_1^2 \mu_x S_x}{l_c} \times 10^{-8}$$

因此，除了应力求减小 l_c 以外还必须尽量增大 w_1 ， S_x （应注意到 S_x 增加时， l_w 也相应增加）和 μ_x 。

可见满足前沿畸变和顶部畸变的要求，在结构上是有矛盾的。脉冲变压器的结构特点主要从这个矛盾的解决体现出来，此外，某些情况下，绝缘和散热问题也显得十分突出。

由于上述理由，脉冲变压器具有以下结构特征：

1. 对材料性能的要求较高。

选择高导磁率和厚度小的材料，是解决上述矛盾的重要途径，为此，脉冲变压器最常采用坡莫合金H79M4，冷轧钢3810，3840铁淦氧等磁性材料，厚度约为0.2—0.01毫米甚至为0.00几毫米。

选择较小的高绝缘的耐热材料，也是解决上述矛盾的重要措施，为此，最常采用漆绸，有时也采用高质量的塑料膜和氟塑料。大功率的脉冲变压器，为了在小尺寸情况下实现高的绝缘强度，常采用高质量的材料浸渍和灌注。

2. 对工艺和结构的要求较高。

制造脉冲变压器时，常采用效果较好的真空退火来提高材料的 μ 值，最常采用能提高磁性利用率的卷带型铁芯结构。在磁路中常采用非磁隙，预磁化。装配时，应特别考虑防止造成过应力的措施。

3. 匝数很少，特别是工作于短脉冲的变压器，为了有效地减小寄生参量，一般匝数只有几匝到几十匝。线组通常作成单层的或层数很少的。由于匝数很少，容许采用圈绕法来减小分布电容。

4. 铁芯尺寸小，这是因为铁芯尺寸 (S_x) 增大时，线组尺寸也相应地增大，为了使尺寸的减小不致使 L_x 降低，最好选择大的比值 $\frac{S_x}{l_c}$ ，为要做到这点，要求有大的钢占空系数和铜占空系数。此外在中小功率变压器中，铁芯截面作成矩形的，以便在满足截面尺寸要求和窗口尺寸要求下，减小 l_c 值。

VII. 脉冲变压器的计算方法。

脉冲变压器的计算比较复杂，因为对它有多方面的要求，例如，波形畸变的要求，功率的要求，和绝缘的要求等，变压器的结构参数，应该满足这些要求，要满足这些要求在结构上往往是有矛盾的，因此，我们应按照不同的情况拟定相应的步骤。

在一般情况下应该从最难满足的要求出发来确定变压器的基本尺寸，然后检验其他要求。

最常用和最方便的方法是先按大致要求，选定铁芯材料，选定 ΔB_c ，求出其相应的参数 ΔB 、 μ 、 μ_x 。

然后，按平顶部失真要求，确定所需铁芯体积，确定其尺寸，求出匝数，然后检验

繞組布置，檢驗前沿畸變發熱等等。

設計者在設計時，最好參考某些參考書給出的例子，按其步驟設計，或者參考現有的同類型脈沖變壓的結構數據來預先確定某些參量，以便使計算過程簡化。

由於上述理由，我們在這裡不討論具體計算步驟，只舉一簡單例子，以供參考。

例題：計算一脈沖變壓器，它的用處是：磁控管與調制器的匹配；調制器帶有開流管和仿真線。給出的條件是：

輸出電壓 $u_2 = 35$ 千伏；

次級繞圈里的脈沖電流 $i_2 = 100$ 安；

脈沖持續時間 $t_x = 3$ 微秒；

脈沖重複頻率 $F = 500$ 赫；

變換系數 $n = 2.4$ ；

雙次級繞圈，經過這繞圈的磁控管燈絲電流 $i_R = 15$ 安；

當輸入脈沖是理想矩形波時，輸出脈沖的前沿持續時間 $t_\phi \leq 0.4$ 微秒；

在脈沖時間內負載電流的容許下降率 $\frac{\Delta i_2}{i_2} \leq 0.05$ 。

解：變壓器鐵芯是用薄鋼帶卷繞成O型的，在鐵芯兩柱上等分地布置初次級繞組各一半，表示如圖3—1125。

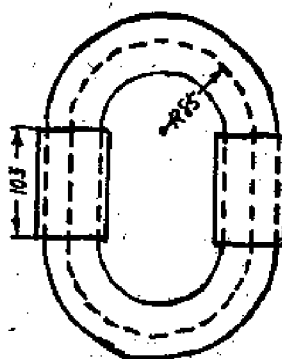


圖3—1125 繞組在脈沖變壓器O型鐵芯上的布置

在鐵芯每個柱上裝置上單層初級繞組，次級繞組分為四部份，分裝在兩個柱上。因為次級繞組是雙套的，因此鐵芯每柱上均有次級繞組四層。見圖3—1126。

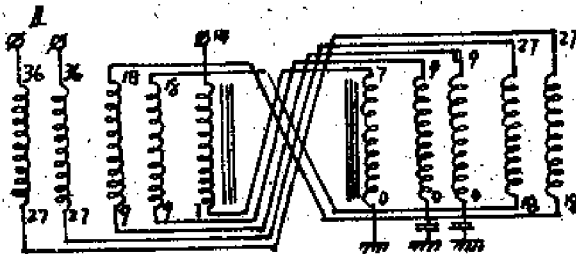


圖3—1126 脈沖變壓器繞組連接圖（數字表示繞組端對地的電壓）

脉冲变压器的铁芯及线包必需浸在油里，因为变压器是在高电压与大功率上工作。浸在油里的变压器沿绕组上可担负 3 千伏/厘米，为保险起见，可降低到 2 千伏/厘米使用。因为在绕组一层上的最高电压降是 9 千伏，因此线包的高度 $h_B = 4.5$ 厘米，见图8—1127

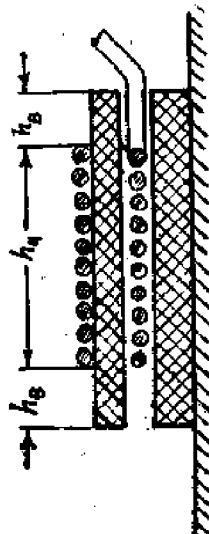


图8—1127 脉冲变压器层间绝缘的分布

层间绝缘材料要凸出线圈边沿部分，以防线圈边沿间发生击穿现象，第一与第四层间最大电压降为 22 千伏。浸在油中的绝缘材料表面上的容许的电压降是 10 千伏/厘米，所以各层间绝缘材料凸出线圈边沿部分，应有 $h_B = 3$ 厘米的长度，这还是保守的数值；这样，绕组与绝缘凸出部分的总长是 10.5 厘米。

为了两柱上绝缘好并包装好的绕组能安全工作，在铁芯半圆内径里两柱上绕组间的距离，选择为 5 厘米。因为这变压器传递这样高的功率，故铁芯截面积里边的柱间的距离应有 5~9 厘米，所以就将变压器铁芯半圆的半径定为 8.5 厘米。这样，在铁芯内磁力线的平均长度（即磁路长度）应为 $l_m = 70$ 厘米。

为制造脉冲变压器，采用冷轧钢（XBII）当做铁芯材料。因为这种钢带的特性，很适合脉冲变压器铁芯应用，例如，这种磁性材料可满足脉冲磁场的变化 $\Delta H = 4$ 奥斯特及铁芯磁感应的变化 $\Delta B = 4000$ ，那就是说，这种钢材具有好的导磁变化率 $\mu_\Delta = 900$ 。冷轧钢带的标准厚度是 $\delta = 0.08$ 毫米，它的比阻是 $\rho = 50 \cdot 10^{-6}$ 欧·厘米²/厘米，由此可以计算脉冲变压器铁芯内之需在导磁率应如：

$$\mu_K = \left(\frac{1}{\mu_\Delta} + \frac{\delta^2}{1000 \rho l_m} \right)^{-1} = 520.$$

允许的需在磁化电流，等于折算到初级绕组的负载电流的容许变化，这就可以算出负载电流的相对下降率，如

$$\frac{\Delta i_2}{i_2} \leq 0.05$$

并知 $i_2 = 100$ 安

故负载电流的变化是 $\Delta i_2 \leq 5$ 安。

变压器的变换系数是 2.4，故负载的负荷电流变换到初级时，是 $i_K = \Delta i'_2 = 5 \times 2.4 = 12$ 安。

i_K , l_m , μ_K 及 ΔB 为已知，初级绕组的匝数，可计算出如

$$W_1 = \frac{0.8 l_m \Delta B}{\mu_K i_K} = 36 \text{ 匝}$$

同时，次级绕组的匝数，是

$$W_2 = \frac{q_T}{K} W_1 = \frac{2.4}{0.94} W_1 = 92 \text{ 匝}$$

计算内 q_T 是变压器变换系数， K 是变压器的耦合系数，其值是 0.94，

又知 $u_1 = \frac{u_2}{2.4} = 14.6$ 千伏，冷轧钢的铁芯截面积是

$$S_m = \frac{125 u_1 t_m i_K \mu_K}{l_m (\Delta B)^2} = 30 \text{ 厘米}^2$$

初级绕组分做两个单层，叠置在铁芯两个柱上，每个 18 匝。次级绕组是双套，每套有四个层，也装置在两个铁芯柱上。每层 23 匝，这参阅图 8—1126 即知。

标准冷轧钢的宽度是 5.4 厘米，并知 l_m 之值是 70 厘米，所以铁芯截面积（纵向的）是 $54 \times 70 \text{ 厘米}^2$ 。

知绕组的高度为 4.5 厘米，这就是容许初级绕组的匝距是 2.4 毫米，而次级绕组的匝距是 2.0 毫米。

绕组导线直径，是按通过的电流来选择。脉冲矩形波电流是流经初级线圈的，矩形脉冲的空穴率是

$$Q = \frac{1}{I_{t_m}} = 667$$

脉冲电流的数值，是 $i_m = 240$ 安，在脉冲时间内，线圈内消耗的脉冲功率，表示如

$$P_m = i_m^2 R_{06m}$$

计算中的 R_{06m} 是初级线圈的电阻。线圈内的平均功率值是

$$P_{cp} = \frac{i_m^2 R_{06m}}{Q}$$

所以电流的有效值，是

$$I = \sqrt{\frac{P_{cp}}{R_{06m}}} = \frac{i_m}{\sqrt{Q}} = 9.3 \text{ 安}$$

由次级绕组流过脉冲电流和磁控管的灯丝电流，又因次级绕组是双的，所以次级绕组的每层中的电流应是 50 安。脉冲电流的有效值是 $I_1 = 1.9$ 安，灯丝电流有效值是 $I_H = 15$ 安，所以在初级绕组里的总流是

$$I_2 = \sqrt{I_1^2 + I_H^2} = 15.2 \text{ 安}$$

浸在油中的变压器的绕组的层数并不多，且容许的电流密度很大，所以应用的铜导线里的电流密度是要考虑的，平常采用 $j = 8 \sim 10$ 安/厘米²，这样初级绕组导线的直径，

应是1.2毫米，次級繞組的導線應是1.5毫米徑。

作為繞組間的絕緣，一般都是採用黃蠟綢，它的擊穿電壓是24千伏/毫米，由圖8—1126所示的繞組間的電壓，可以計算出絕緣材料厚度（圖8—1128）

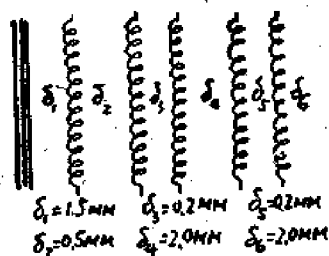


圖8—1128 層間絕緣厚度的計算

其中， $\delta_1=1.5$ 毫米， $\delta_2=0.5$ 毫米， $\delta_3=0.2$ 毫米， $\delta_4=0.2$ 毫米， $\delta_5=2$ 毫米。

畫出繞組的磁場分布圖（圖8—1129）。

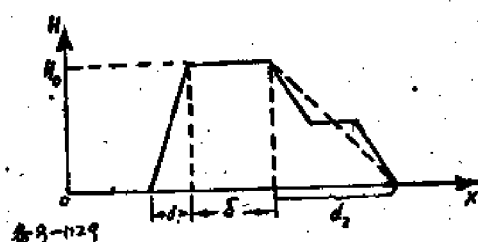


圖8—1129 變壓器中磁場的分布

為簡化計算起見，圖中有一段是拉直了的（圖上畫成了虛線），沿X軸繞的尺寸，是： $d_1=0.12$ 厘米， $\delta=0.05$ 厘米， $d_2=0.84$ 厘米，繞匝平均長度P似等於28厘米，由此可以算出柱上每一繞組的漏感 $L_{p1}=9.4$ 微亨，總漏感（兩個極上的） $L_{p2}=19$ 微亨。

寄生電容可用以前公式計算（見表8—4，所注繞組的符號，見圖8—1130）。

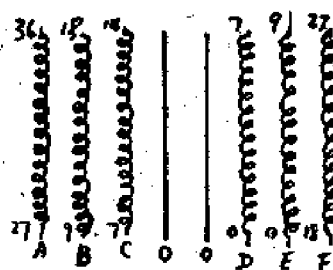


圖8—1130 變壓器繞組的符號

又知黃蜡布的介电常数是3，所以变压器的分布电容量是 $C_n = 660$ 微微法。

由于 δ 为已知，脉冲前沿波形，可由图8-1324查出。这个例题中，由于 $R_1 = R_2 = 61$ 欧，可得 $R = 17$ 欧， $r = 1$ ， $\delta = 1.1$ ，所以可断定输出电压中并不产生电振荡。

前沿时间，是脉冲达到0.8全高度时所经历的时间，此值等于 $\frac{T}{3.5}$ 。换算时间单位，则

$$t_d = \frac{\sqrt{L_p C_n}}{\sqrt{1+r}} T = 0.28\text{微秒} \text{，满足了要求。}$$

表8-4 寄生电容量的计算

饼形线圈	电位		MN	电位差		α_{MN}	δ_{MN}	$\frac{\alpha_{MN}}{\delta_{MN}}$
	$x=0$	$x=h_H$		U_A	U_K			
A	27	36	AB	18	18	1.63	0.20	8.25
B	9	18	BC	2	4	0.047	0.03	0.94
C	7	14	CO	7	14	0.58	0.15	3.86
D	0	7	OD	0	7	0.083	0.15	0.55
E	0	9	DE	0	2	0.007	0.05	0.14
F	18	27	EF	18	18	1.6	0.20	8.25

$$\sum \frac{\alpha_{MN}}{\delta_{MN}} = 21.99$$

§8-12 变压器和低频扼流圈的测试

低频扼流圈和变压器的测试特点与它们的用途及工作条件有关。它们具有下列的测试项目。

1. 低频扼流圈

- ① 在一定的磁化电流和频率下的电感值。
- ② 绕组的直流电阻。
- ③ 绕组之间和绕组与铁芯间的抗电强度。
- ④ 绝缘电阻。
- ⑤ 固有电容（这一测试对于调幅扼流圈是重要的）。

2. 电源变压器

- ① 空载及额定负载时的变压系数。
- ② 绕组的直流电阻。
- ③ 抗电强度。

④絕緣电阻。

⑤空載电流及損耗。

⑥高壓繞組的對稱性。

3. 低頻變壓器和寬波段變壓器

①在一定的磁化电流和頻率下初級繞組的電感值。

②繞組的直流电阻。

③抗電強度。

④絕緣电阻。

⑤變壓系数。

⑥漏感。

⑦固有電容。

⑧繞組的對稱性。

⑨頻率特性。

⑩相位特性。

⑪非線性失真。

⑫屏蔽系数。

4. 脉冲變壓器

①繞組的電感量。

②繞組的直流电阻。

③抗電強度。

④絕緣电阻。

⑤脈冲形状的決定。

除了上述測試外，低頻扼流圈和變壓器還要試驗耐熱性，耐潮性，密封性及其他。

短路匝的測試：

測試短路匝用的儀器電路圖示于圖 8—1201。

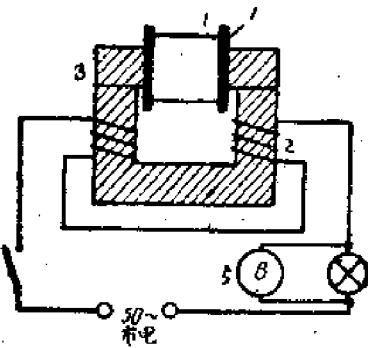


圖8—1201 測試變壓器線圈短匝的設備的簡圖

圖中： 1 — 被測線圈； 2 — 励磁圈； 3 — 可拆磁轭； 4 — 白熾燈； 5 — 伏特計；

把被測線圈套在可拆磁轭上。當存在短路匝時，被測線圈中的短路電流會降低勵磁

繞組的阻抗，这样从电源供給的电流增加了，用伏特計把它計录下来，更灵敏的仪器（用細的导線和匝数多的綫圈）做成桥式或平衡电路。

裝成的变压器的短路匝測試可按圖8—1202的电路来进行。

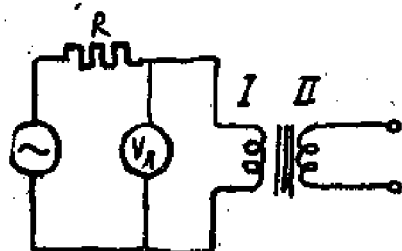


圖8—1202 發現低頻變壓器繞圈中短路匝用的儀器的電路

測試是在頻率400—500赫當电压为額定电压两倍的情况下进行的。电阻值 R 約为 5 千欧。当存在短路匝时用电子管伏特計測得的电压将与外加电压有很大的不同。

繞組匝數的測量：

繞組匝數的測量可用圖8—1203的电路来进行。圖中 y 是放大器，H是零位指示器（电子管伏特計）。

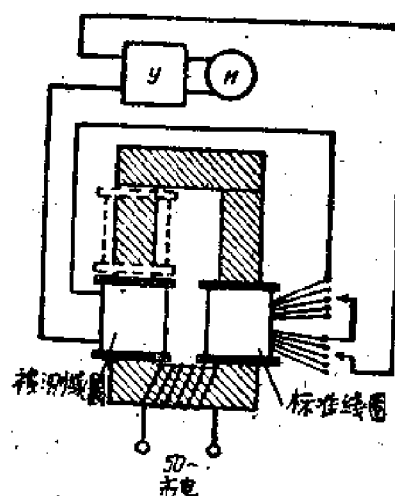


圖8—1203 測量綫圈匝數的儀表的電路

被測綫圈：（1）套在具有可拆磁轭的導磁体上。在導磁体的另一臂上裝有標準綫圈（2），被測綫圈的一端与標準綫圈的一端相串联，標準綫圈具有若干个抽头，以便于把测量范围内的任何匝数接入电路。两个綫圈是这样联接在一起的，即使其感应电动势的方向互相相反，改变接入电路的标准綫圈的匝数，使感应电动势达到平衡，当標準綫圈的匝数与被測綫圈的匝数相等时，两者的感应电动势相互抵消了，这时，接在线圈两端的真空管电压表讀数为零，被測綫圈的匝数可以根据標準綫圈抽头部分的匝数直接

讀出。为了提高测量的准确度，两个繞圈的尺寸和导綫直径最好尽可能地接近。

繞組直流电阻的測量：

繞組直流电阻是用欧姆表来测量的。在需要提高测量准确度的情况下繞組的电阻可以用直流电桥法来测量。

抗電强度的測試：

抗電强度的測試是在繞組間以及繞組与铁芯間来进行的。

測試的状态可采取如下：

(1) 滤波扼流圈： $U_{\text{ex}} = 2U_{\text{H}} + 500$ 伏。当 $U_{\text{H}} \leq 100$ 伏时，电压自 $\frac{1}{2}U_{\text{ex}}$ 升高到 U_{ex} 共10秒鐘，測試持續时间为60秒。

(2) 电源变压器： $U_{\text{ex}} = 2U_{\text{H}} + (5000 \div 1000)$ 伏。电压自 $U = \frac{1}{2}U_{\text{ex}}$ 开始升高共进行10秒鐘。測試持續时间为30秒。

(3) 低頻变压器： $U_{\text{ex}} = 2U_{\text{H}}$ 。电压均匀地升高到 U_{ex} 。測試时间为60秒。

(4) 脉冲变压器： $U_{\text{ex}} = 2U_{\text{H}} + (500 \div 1000)$ 伏。电压在10秒鐘內自200伏逐步升高。測試持續时间为60秒。

当采用交流来測試时，可采用圖8—1204所示的电路来进行。

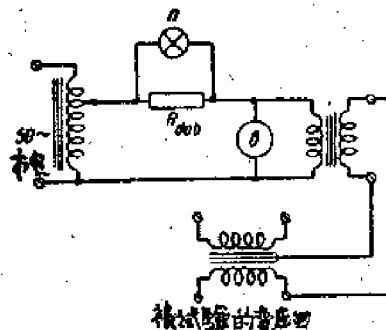


圖8—1204 變壓器电气强度試驗设备的线路圖

測試用的高压是用高压变压器来获得的，电压的数值可用接在高压变压器初級端的自耦变压器来調节。为了限制击穿时的短路电流，在电路中接入限流电阻 R_{906} 。击穿的現象是用伏特計的讀数迅速下降以及与电阻 R_{906} 联的小灯泡的發光来指示。

絕緣电阻的測量：

絕緣电阻在繞組間以及在繞組和鐵芯及屏蔽罩之間进行测量。絕緣电阻一般用兆欧表来測試。

一般認為，对于扼流圈、电流变压器和低頻扼流圈必須的絕緣电阻为100兆欧，对于脉冲变压器为500兆欧。

繞組对称性的測量：

繞組的对称性可用圖8—1205的电路来测量。

在需要测量对称性的繞圈上接上有具有中心头的电阻器 R_c ，电阻器两部分的对称性應該比变压器所必須的对称性大2—3奈貝(5—10倍)，在变压器的另一个繞圈加上

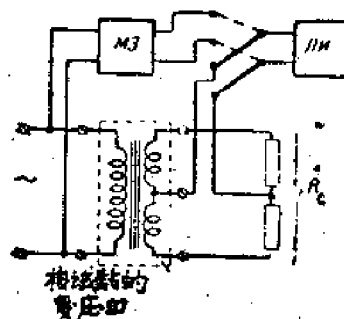


圖8—1205 測量對稱變壓器對稱性的線路

自振蕩器來的交流電壓，振蕩器的頻率是測量變壓器對稱性的所需要的頻率，在振蕩器上接上十進位的衰減器M3。

把灵敏的電子管指示器PII接入變壓器繞組與電阻的中點時讀出其讀數，再把它轉換到衰耗器上，調節衰耗器使伏特計達到同一指示，然後讀出衰耗器的指示 β_M (奈貝)，並按下式來計算繞組的對稱性

$$\beta = \beta_M + k_{nh} \quad \text{奈貝} \quad (8-201)$$

式中：n—變壓系數。

繞組電感量的測量：

當沒有磁化電流時，繞組的電感量可以用電橋法和伏特計安培計法來進行測量。測量必須在接近於最低工作頻率的頻率上進行。

當具有磁化電流時，繞組的電感量可以按圖8—1206的電路來測量。

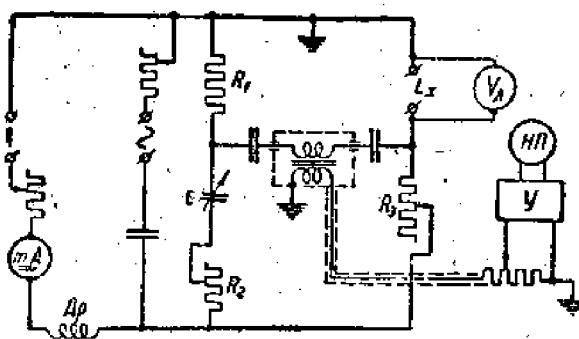


圖8—1206 用標準試驗法測量低頻變壓器(輸出變壓器)繞組的電感Lx用的電橋電路

Y—放大器；Vm—真空管電壓表；mA—一直流毫安表；Rp—抗流圈。

繞組上的交流電壓確定為 $0.01U_H$ ，但不小于0.1伏，電流的直流分量確定等於額定值。頻率取接近於最低工作頻率。

電感量的計算按下式進行

$$L_x = \frac{R_1 R_2 C}{1 + 4\pi^2 F^2 C^2 R_2^2} \quad (8-1202)$$

漏感的測量：

漏感用电桥法进行测量，其方法是当短路次級繞組时测出初級繞組的电感量。测量频率约为1千赫。

固有电容的测量：

测量固有电容有数种方法。

其中有一种方法是初級繞組开路时，固有电容按次級繞組方面的諧振頻率 f_p 来决定。在这种情况下，折算到初級端的固有电容量按下式来决定

$$C' = \frac{1}{4\pi^2 f_p^2 L_x} \quad (8-1203)$$

当另一种方法时按圖 8—1207 的电路进行测量。

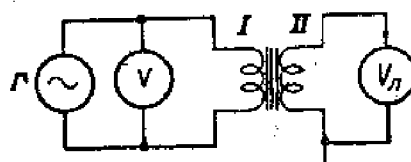


圖8—1207 测量变压器自电容值用的电路。

T ——具有小內阻的及具有均匀調節頻率的振蕩器。

具有低內阻的振蕩器接到变压器的初級繞組，在次級繞組中接入具有小輸电容和大輸入电阻的电子管伏特計。

固有电容按下式計算

$$C_{2i} = \frac{3}{4\pi^2 f_p^2 L_s''} \quad (8-1204)$$

其中：

f_p — 諧振頻率。

L_s'' — 从初級端测出的漏感（用以前所述的方法来测量）。

必須記住，这时要考慮到电子管伏特計的輸入电容：

$$C' = C_2'' K^2 \quad (8-1205)$$

$$C_2' = C_2 + C_B \quad (8-1206)$$

其中：

K — 变压系数。

C_B — 电子管伏特計的輸入电容。

C_L — 次級繞組的电容量。

变压系数的測量：

空載变压器的变压系数可以用电子管伏特計測量变压器的輸入端和輸出端的电压的方法来测量。

必須指出，变压系数与频率有关。

变压系数，空载电流及空载损耗（电源变压器需进行此项测量）可按图 8—1208 的电路进行测量。

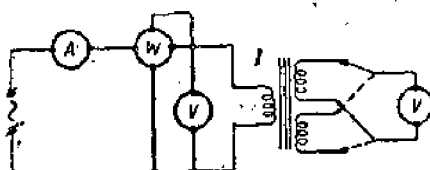


图8—1208 测量空载时的变压系数、空载损耗和空载电流用的电路

频率特性的测量：

变压器的频率特性可以按图 8—1209 的电路来测量。测量时在变压器的输入端加上恒定电压。这时取下输出电压对频率的关系。

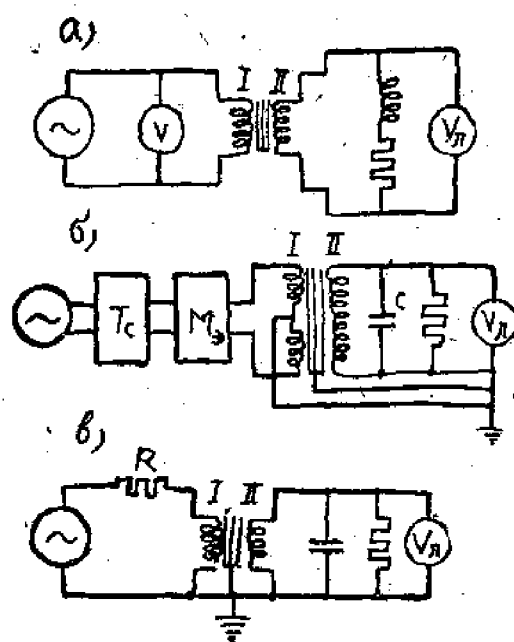


图8—1209 测量频率特性的电路

a) 适用于具有感性负载的输出变压器；B) 适用于对称的输入变压器；C) 适用于非对称的级间变压器

T_C——使之对称用的变压器，M₃——滤波器，V_L——电子管伏特计。

为了正确地测得变压器的频率特性，在变压器的电路中必须接上在正常工作条件下的输入阻抗和输出阻抗。

相位特性的测量：

变压器的相位特性可用圖 8—1210 所示的电路来测量。

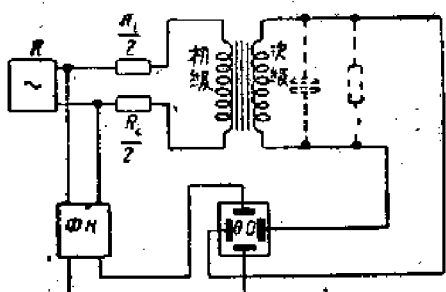


圖 8—1210 描繪變壓器相位特性曲線的路

圖中：I為內阻很小的可變頻率振盪器， R_s 為訊號電源的等效電阻， θ_0 為電子示波器。在示波器的一個放大器上加上移相電路 $\Delta\theta$ 的電壓，在另一個放大器上加上變壓器的輸出電壓，調整移相電路的相移，使在示波器的屏幕上出現一條傾斜直線，此時，變壓器產生的相移等於移相電路所產生的相移。相位特性應該由從相移接近於零的工作頻率的中點開始。

相位特性對於工作在反饋電路中的變壓器是必須的。

這一測量對於工作在這一反饋電路中的變壓器是必須的。

非線性失真系數的測量：

非線性失真可以按圖 8—1211 的電路來進行測量。

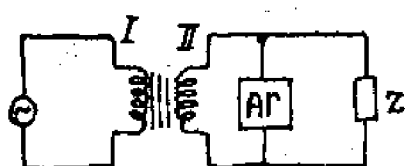


圖 8—1211 直接決定非線性失真的電路

Z —負載；AR—諧波分析器

非線性失真系數是利用一振盪器來測量的，這個振盪器具有嚴格的正弦波形和達到變壓器額定功率所須的足夠功率，變壓器負載應相應於額定負載。

在最低工作頻率時得到最大的非線性失真系數。

非線性失真系數按下式進行計算：

$$K = \sqrt{\frac{U_2^2 + U_3^2 + U_4^2 + \dots}{U_1^2}} \quad (8-1207)$$

屏蔽的測試：

为了测量变压器的屏蔽作用，把变压器放在弱的均匀的交变磁场中，交变磁场的频率取测量时所需要的频率。在变压器的次级绕组上接上具有高输入阻抗和足够灵敏度的电子管伏特计，屏蔽系数就是当变压器具有屏蔽时的感应电压和没有屏蔽时的感应电压的比值。

决定脉冲形状：

脉冲变压器的脉冲形状借助于矩形脉冲信号发生器和具有分辨能力的示波器来决定。

标准脉冲信号发生器必须具有与被变压器相同的参数。在这种情况下按图8—1212的电路进行测量。

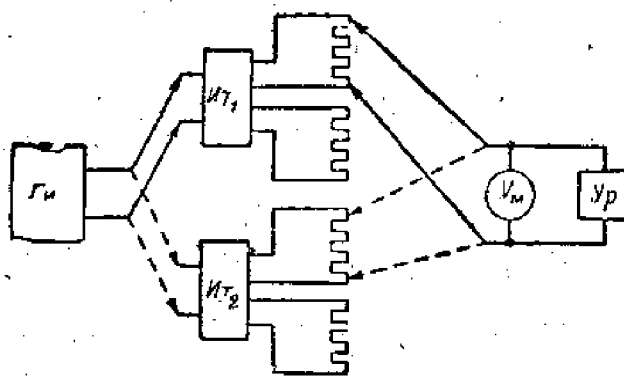


图8—1212 比较从被试变压器和标准变压器次级线圈上所得脉冲波形的示意图。

$\Gamma\pi$ —矩形脉冲发生器, IT_1 —标准变压器, IT_2 —被试变压器, VM —最大值电压表,
 Y_p —调整脉冲波形的设备。

标准变压器和被测变压器具有同样的负载。借助于频值伏特计和阴极示波器进行标准变压器输出脉冲的比较。

磁性材料数据

附表 1

材 料 名 称 规 格	起始导磁系数	电 阻 系 数 微欧一厘米	比 重 克/厘米 ³
变压器硅钢片 941, 0.3—0.5毫米	350	60	7.6
变压器硅钢片 942, 0.3—0.5毫米	400	60	7.6
高导磁硅钢片 946, 948, 0.35毫米	600	60	7.6
高频硅钢片 944, 0.1—0.2毫米	500	60	7.6
冲压硅钢片 9310, 9320, 0.25—0.5毫米	500	60	7.6
H80XC坡莫合金 0.05—0.08毫米	18,000	≥62	8.5
" 0.10—0.15 "	20,000	≥62	8.5
" 0.18—0.25 "	25,000	≥62	8.5
" 0.28—0.40 "	35,000	≥62	8.5
" 0.50—0.10 "	50,000	≥62	8.5
H50XC坡莫合金 0.05—0.08 "	1,000	≥85	8.3
" 0.10—0.15 "	2,000	≥85	8.3
" 0.18—0.25 "	2,000	≥85	8.3
" 0.28—0.40 "	3,000	≥85	8.3
H45坡莫合金 0.05—0.08 "	10,000	—	8.2
" 0.10—0.15 "	1,000	—	8.2
" 0.18—0.25 "	2,000	—	8.2
" 0.28—0.40 "	2,000	—	8.2
H79M4坡莫合金 0.05—0.08 "	12,000	55	8.6
" 0.10—0.15 "	15,000	55	8.6
" 0.18—0.25 "	18,000	55	8.6
" 0.28—0.40 "	20,000	55	8.6
78%中等质量坡莫合金 0.20—0.50 "	10,000	60	8.5
45% " " 0.20—0.50 "	2,000	45	8.2
波明陀合金 0.20—0.50 " "	700	5—30	8.5
铁淦氧 —400	400	10 ¹²	4.5
" —1,000	1,000	10 ¹²	5
" —2,000	2,000	10 ¹²	5

硅鋼片之新旧标号对照

附表 2

旧 标 号	新 标 号	旧 标 号	新 标 号
Φ3	Φ31	B4-1	Φ44
Φ3A	Φ31	B4-2	Φ44
Φ4	Φ41	XBII	Φ310
Φ4A	Φ41	XT-18	Φ320
Φ4AA	Φ42	XT-18.5	Φ330
BII-1	Φ45, Φ47		
BII-2	Φ45, Φ47		
BII-3	Φ46, Φ48		

附录3

毫米	无绝缘导线的重量 公斤	20°C时每 公里导线的电 阻	ПЭЛ, ПЭГ		ПЭЛУ		ПЭВ-1		ПЭВ-2		ПЭЛЮ		ПЭВО		ПЭЛ	
			带绝缘的 导线直 径 毫米	带绝缘的 导线每 公里的 重量 公斤												
0.05	0.0173	8920	0.065	0.019	0.075	—	—	—	0.12	0.026	—	—	—	—	—	—
0.06	0.0252	6200	0.075	0.027	0.085	—	—	—	0.13	0.034	—	—	—	—	—	—
0.07	0.0343	4550	0.085	0.036	0.095	—	—	—	0.14	0.045	—	—	—	—	—	—
0.08	0.0448	3480	0.095	0.047	0.105	—	—	—	0.15	0.057	—	—	—	—	—	—
0.09	0.0567	2750	0.103	0.059	0.115	—	—	—	0.16	0.070	—	—	—	—	—	—
0.10	0.0700	2230	0.120	0.073	0.135	0.12	0.13	0.175	0.089	—	—	—	—	—	—	—
0.11	0.0847	1840	0.130	0.088	0.145	0.13	0.14	0.185	0.105	—	—	—	—	—	—	—
0.12	0.101	1550	0.140	0.105	0.155	0.14	0.15	0.195	0.123	—	—	—	—	—	—	—
0.13	0.118	1320	0.150	0.122	0.165	0.15	0.16	0.205	0.141	—	—	—	—	—	—	—
0.14	0.137	1140	0.16	0.141	0.175	0.16	0.17	0.215	0.161	—	—	—	—	—	—	—
0.15	0.158	930	0.170	0.162	0.185	0.18	0.19	0.255	0.184	—	—	—	—	—	—	—
0.16	0.179	871	0.180	0.184	0.195	0.19	0.20	0.235	0.206	—	—	—	—	—	—	—
0.17	0.202	772	0.190	0.207	0.205	0.20	0.21	0.245	0.230	—	—	—	—	—	—	—
0.18	0.227	689	0.200	0.232	0.216	0.21	0.22	0.255	0.256	—	—	—	—	—	—	—
0.19	0.252	619	0.210	0.258	0.225	0.22	0.23	0.265	0.284	—	—	—	—	—	—	—
0.20	0.280	558	0.225	0.236	0.24	0.23	0.24	0.290	0.316	0.325	0.328	0.300	0.318	0.339	0.36	0.39
0.21	0.309	506	0.235	0.316	0.25	0.24	0.25	0.300	0.346	0.335	0.361	0.310	0.349	0.40	0.39	0.39
0.23	0.370	421	0.265	0.378	0.27	0.27	0.28	0.320	0.40	0.355	0.327	0.339	0.413	0.42	0.46	0.46
0.25	0.438	357	0.275	0.447	0.29	0.29	0.30	0.340	0.480	0.375	0.498	0.350	0.483	0.44	0.53	0.53
0.27	0.510	306	0.31	0.525	0.33	0.31	0.32	0.370	0.580	0.425	0.593	0.390	0.572	0.49	0.63	0.63
0.29	0.589	265	0.33	0.605	0.35	0.33	0.34	0.390	0.641	0.445	0.676	0.410	0.654	0.51	0.72	0.72

附表 3 (續)

无绝缘导线直径 毫米	20°C时每公里导线的电阻 欧	无绝缘导线每公里重量 公斤	ПЕЛ, ПЕЛ-II			ПЕВ-1			ПЕВ-2			ПЕЛ			СВЛН			СВЛН			ПВД				
			带绝缘的导线直径 毫米	带绝缘的导线每公里重量 公斤	毫米	带绝缘的导线直径 毫米	带绝缘的导线每公里重量 公斤	毫米	带绝缘的导线直径 毫米	带绝缘的导线每公里重量 公斤	毫米	带绝缘的导线直径 毫米	带绝缘的导线每公里重量 公斤	毫米	带绝缘的导线直径 毫米	带绝缘的导线每公里重量 公斤	毫米	带绝缘的导线直径 毫米	带绝缘的导线每公里重量 公斤	毫米	带绝缘的导线直径 毫米	带绝缘的导线每公里重量 公斤	毫米		
0.31	0.573	232	0.35	0.690	0.37	0.35	0.38	0.416	0.733	0.470	0.769	0.430	0.749	0.53	0.53	0.62	0.53	0.749	0.470	0.769	0.450	0.836	0.55	0.91	
0.33	0.762	205	0.37	0.780	0.39	0.37	0.38	0.435	0.826	0.480	0.863	0.450	0.836	0.55	0.55	0.62	0.55	0.834	0.47	0.863	0.447	0.934	0.57	1.01	
0.35	0.837	182	0.39	0.875	0.41	0.39	0.41	0.455	0.924	0.510	0.963	0.47	0.934	0.57	0.57	0.64	0.57	0.934	0.510	0.963	0.497	1.034	0.59	1.01	
0.38	1.01	154	0.42	1.03	0.44	0.42	0.44	0.490	1.09	0.545	1.13	0.50	1.10	0.60	1.18	0.60	1.18	0.545	1.13	0.50	1.10	0.60	1.18	0.60	1.18
0.41	1.18	133	0.45	1.20	0.47	0.45	0.47	0.520	1.27	0.575	1.31	0.53	1.28	0.63	1.36	0.63	1.36	0.575	1.31	0.53	1.28	0.63	1.36	0.63	1.36
0.44	1.36	115	0.49	1.39	0.51	0.48	0.50	0.650	1.45	0.605	1.49	0.56	1.47	0.66	1.55	0.66	1.55	0.605	1.49	0.56	1.47	0.66	1.55	0.66	1.55
0.47	1.55	101	0.52	1.58	0.54	0.51	0.53	0.580	1.64	0.635	1.69	0.59	1.67	0.69	1.75	0.69	1.75	0.635	1.69	0.59	1.67	0.69	1.75	0.69	1.75
0.49	1.68	92.9	0.54	1.71	0.56	0.53	0.55	0.600	1.78	0.655	1.83	0.61	1.80	0.71	1.89	0.71	1.89	0.655	1.83	0.61	1.80	0.71	1.89	0.71	1.89
0.51	1.82	85.7	0.56	1.83	0.68	0.56	0.58	0.625	1.93	0.68	1.97	0.63	1.95	0.73	2.03	0.73	2.03	0.625	1.93	0.68	1.97	0.63	1.95	0.63	1.95
0.53	1.97	79.2	0.58	2.01	0.60	0.58	0.60	0.645	2.08	0.70	2.14	0.65	2.10	0.75	2.19	0.65	2.19	0.645	2.08	0.70	2.14	0.65	2.19	0.65	2.19
0.55	2.12	73.7	0.60	2.16	0.62	0.60	0.62	0.665	2.23	0.72	2.29	0.67	2.26	0.77	2.34	0.67	2.34	0.665	2.23	0.72	2.29	0.67	2.26	0.67	2.26
0.57	2.28	68.6	0.62	2.32	0.64	0.62	0.64	0.685	2.39	0.74	2.46	0.69	2.42	0.79	2.51	0.69	2.51	0.685	2.39	0.74	2.46	0.69	2.42	0.69	2.42
0.59	2.44	64.0	0.64	2.49	0.66	0.64	0.66	0.705	2.53	0.76	2.62	0.71	2.58	0.81	2.68	0.81	2.68	0.705	2.53	0.76	2.62	0.71	2.58	0.71	2.58
0.62	2.69	58.0	0.67	2.74	0.69	0.67	0.70	0.735	2.82	0.79	2.89	0.74	2.85	0.84	2.95	0.84	2.95	0.735	2.82	0.79	2.89	0.74	2.85	0.74	2.85
0.64	2.86	54.4	0.69	2.92	0.71	0.69	0.72	0.755	3.01	0.81	3.07	0.76	3.03	0.86	3.13	0.86	3.13	0.755	3.01	0.81	3.07	0.76	3.03	0.76	3.03
0.67	2.14	49.7	0.72	3.20	0.74	—	—	—	—	0.785	3.30	0.84	3.36	0.79	3.42	0.83	3.42	0.785	3.30	0.84	3.36	0.79	3.32	0.83	3.42
0.69	3.33	46.8	0.74	3.38	0.76	0.74	0.77	0.805	3.50	0.86	3.56	0.81	3.51	0.91	3.60	0.91	3.60	0.805	3.50	0.86	3.56	0.81	3.51	0.91	3.60
0.72	3.63	43.0	0.78	3.68	0.80	—	—	—	—	0.845	3.80	0.90	3.88	0.84	3.92	0.94	3.92	0.845	3.80	0.90	3.88	0.84	3.88	0.94	3.92
0.74	3.83	40.7	0.80	3.88	0.83	0.80	0.83	0.865	4.01	0.92	4.08	0.86	4.04	0.96	4.12	0.96	4.12	0.865	4.01	0.92	4.08	0.86	4.04	0.96	4.12
0.77	4.15	37.7	0.83	4.21	0.86	0.83	0.86	0.895	4.34	0.95	4.42	0.89	4.37	0.96	4.46	0.96	4.46	0.895	4.34	0.95	4.42	0.89	4.37	0.96	4.46
0.80	4.48	34.8	0.86	4.55	0.89	0.86	0.89	0.925	4.67	0.98	4.77	0.92	4.70	1.02	4.81	1.02	4.81	0.925	4.67	0.98	4.77	0.92	4.70	1.02	4.81

附表3 (續)

无絶缘导 线直徑 毫米	无絶缘导 线每公斤重 量的公 斤	20°C时每 公里导线的电 阻欧		ПЭЛ, ПЭТ		ПЭВ-1		ПЭВ-2		ПЭМО		ПВО		ПВД	
		带絕緣的 导線的直 徑毫米	帶絕緣的 導線的直 徑毫米	带絕緣的 导線的直 徑毫米	帶絕緣的 导線的直 徑毫米										
0.83	4.82	32.4	0.89	4.79	0.92	—	—	0.955	5.02	1.01	5.12	0.95	5.03	1.05	5.17
0.86	5.17	30.2	0.92	5.25	0.95	0.02	0.95	0.985	5.38	1.04	5.48	0.98	5.42	1.08	5.53
0.90	5.67	27.5	0.96	5.75	0.99	—	—	1.025	5.89	1.08	5.98	1.02	5.94	1.12	6.06
0.93	6.05	25.8	0.99	6.13	1.02	0.99	1.02	1.053	6.27	1.11	6.38	1.05	6.32	1.15	6.45
0.96	6.45	24.2	1.02	6.53	1.05	—	—	1.085	6.69	1.14	6.79	1.08	6.74	1.18	6.85
1.00	7.00	22.3	1.07	7.08	1.10	1.08	1.11	1.135	7.25	1.21	7.35	1.14	7.30	1.27	7.42
1.04	7.57	20.6	1.12	7.65	1.15	—	—	1.175	7.83	1.25	7.95	1.18	7.90	1.31	8.00
1.08	8.16	19.1	1.16	8.26	1.19	1.16	1.19	1.215	8.43	1.29	8.57	1.22	8.49	1.35	8.63
1.12	8.78	17.8	1.20	8.30	1.23	1.20	1.23	1.255	9.07	1.33	9.20	1.26	9.12	1.39	9.24
1.16	9.41	16.6	1.24	9.55	1.27	1.24	1.27	1.295	9.71	1.37	9.85	1.30	9.79	1.43	9.91
1.20	10.1	15.5	1.28	10.2	1.31	—	—	1.335	10.4	1.41	10.6	1.34	10.5	1.47	10.7
1.25	10.9	14.3	1.33	11.0	1.36	1.33	1.36	1.385	11.2	1.46	11.4	1.39	11.3	1.52	11.5
1.30	11.8	13.2	1.38	12.0	1.41	1.38	1.41	1.435	12.1	1.51	12.3	1.44	12.2	1.57	12.4
1.35	12.8	12.2	1.43	13.0	1.46	1.43	1.46	1.485	13.1	1.56	13.3	1.49	13.2	1.62	13.4
1.40	13.7	11.4	1.48	13.9	1.51	1.48	1.51	1.535	14.1	1.61	14.2	1.54	14.1	1.67	14.3
1.45	14.7	0.6	1.53	14.9	1.58	1.53	1.56	1.685	15.1	1.66	15.3	1.59	15.2	1.72	15.4
1.50	15.8	9.90	1.58	16.0	1.61	1.58	1.61	1.685	16.2	1.71	16.4	1.64	16.3	1.77	16.5
1.56	17.0	9.16	1.64	17.2	1.67	1.64	1.67	1.715	17.4	1.77	17.6	1.70	17.5	1.83	17.7
1.62	18.4	8.50	1.71	18.6	1.74	1.70	1.73	1.775	18.8	1.83	19.1	1.76	18.9	1.89	19.2
1.68	19.8	7.89	1.77	20.0	1.80	—	—	1.835	20.2	1.89	20.5	1.82	20.4	1.95	20.6
1.74	21.2	7.37	1.83	21.4	1.86	—	—	1.895	21.6	1.95	21.9	1.88	21.8	2.01	22.0

附表 3 (續)

		ПЭЛ, ПЭГ		ПЭВ-1		ПЭВ-2		ПЭЛБО		ПЭВД		
无絶縁导线 直径 毫米	20°C时每 公里导线 的电阻 毫欧	带絶緣的 导线直徑 毫米	带絶緣每 公里的 重量 公斤	带絶緣的 导线直徑 毫米	带絶緣每 公里的 重量 公斤	带絶緣的 导线直徑 毫米	带絶緣每 公里的 重量 公斤	带絶緣的 导线直徑 毫米	带絶緣每 公里的 重量 公斤	带絶緣的 导线直徑 毫米	带絶緣每 公里的 重量 公斤	
1.81	22.9	6.80	1.90	23.1	1.93	1.93	1.965	23.1	2.02	23.7	2.08	23.8
1.88	24.8	6.31	1.97	25.0	2.00	—	2.035	25.2	2.09	25.6	2.15	25.7
1.95	26.6	5.83	2.04	26.8	2.07	—	2.105	27.0	2.16	27.4	2.22	27.6
2.02	28.6	5.45	2.12	28.9	2.15	—	2.175	29.1	2.23	29.4	2.29	29.6
2.10	30.9	5.03	2.20	31.2	2.23	2.20	2.255	31.4	2.31	31.7	2.37	31.9
2.26	35.8	4.33	2.33	36.1	2.39	—	—	—	—	—	2.59	36.9
2.44	41.7	3.74	2.54	42.1	2.57	2.54	—	—	—	—	2.77	43.0
2.63	—	—	3.23	—	—	—	—	—	—	—	2.96	49.7
2.82	—	—	2.78	—	—	—	—	—	—	—	3.16	57.6
3.05	—	—	2.40	—	—	—	—	—	—	—	3.38	66.7
3.28	—	—	2.07	—	—	—	—	—	—	—	3.61	77.0
3.53	—	—	1.78	—	—	—	—	—	—	—	3.88	89.3
3.80	—	—	1.54	—	—	—	—	—	—	—	4.13	103
4.10	—	—	1.33	—	—	—	—	—	—	—	4.43	120
4.50	—	—	1.10	—	—	—	—	—	—	—	4.83	145
4.80	—	—	0.97	—	—	—	—	—	—	—	5.13	164
5.20	—	—	0.82	—	—	—	—	—	—	—	5.53	192

附表4 槌形截面鋼導線的數據

附表4

a毫米	b毫米	(B,D)毫米											
		2.12, 2.26, 2.44, 2.63, 2.83, 3.05, 3.28, 3.53, 3.84, 4.14, 4.44, 4.75, 5.16, 5.55, 5.95, 6.43, 6.87, 7.48, 8.08, 8.69, 9.31, 10.01, 10.81, 11.61, 12.51, 13.51, 14.5	PBO	PBD									
0.90	x	x	x	x	x	x	x	x	x	x	x	x	x
1.00	x	x	x	x	x	x	x	x	x	x	x	x	x
1.08	x	x	x	x	x	x	x	x	x	x	x	x	x
1.18	x	x	x	x	x	x	x	x	x	x	x	x	x
1.25	x	x	x	x	x	x	x	x	x	x	x	x	x
1.35	x	x	x	x	x	x	x	x	x	x	x	x	x
1.45	x	x	x	x	x	x	x	x	x	x	x	x	x
1.55	x	x	x	x	x	x	x	x	x	x	x	x	x
1.68	x	x	x	x	x	x	x	x	x	x	x	x	x
1.81	x	x	x	x	x	x	x	x	x	x	x	x	x
1.95	x	x	x	x	x	x	x	x	x	x	x	x	x
2.10	x	x	x	x	x	x	x	x	x	x	x	x	x
2.26	x	x	x	x	x	x	x	x	x	x	x	x	x
2.44	x	x	x	x	x	x	x	x	x	x	x	x	x
2.68	x	x	x	x	x	x	x	x	x	x	x	x	x
2.88	x	x	x	x	x	x	x	x	x	x	x	x	x
3.05	x	x	x	x	x	x	x	x	x	x	x	x	x
3.28	x	x	x	x	x	x	x	x	x	x	x	x	x
3.53	x	x	x	x	x	x	x	x	x	x	x	x	x
3.8	x	x	x	x	x	x	x	x	x	x	x	x	x
4.1	x	x	x	x	x	x	x	x	x	x	x	x	x
4.4	x	x	x	x	x	x	x	x	x	x	x	x	x
4.7	x	x	x	x	x	x	x	x	x	x	x	x	x
5.1	x	x	x	x	x	x	x	x	x	x	x	x	x
5.5	x	x	x	x	x	x	x	x	x	x	x	x	x

注：打叉的表示標準尺寸；一划表示該種導線尚未生產

附表 5

1. 加寬類并用“無損耗”沖片量成，供最便宜的變壓器用的鐵心

鐵心型号	鐵心尺寸，毫米				變壓器輸出尺寸，毫米			用本表各種鐵心變成的變壓器的主要數據								
	y_1	y_2	y_3	b	H	B	γ	c_c 平方厘米	I_c 厘米	q_0 平方厘米	h_0 厘米	結構常數 A	鐵心重量 克	鐵圈重量 克	變壓器重量 克	
III-10×10	10	10	6.5	18	6.5	81	21	0.83	5.66	0.230	5.35	4.40·10 ⁻⁶	62	13	73	
III-10×15	10	15	6.5	18	6.5	91	36	1.92	5.66	0.226	6.85	5.50·10 ⁻⁶	93	15	108	
III-10×20	10	20	6.5	18	6.5	91	36	1.76	5.66	0.22	7.85	6.25·10 ⁻⁶	124	17	141	
III-12×12	12	12	8	22	8	38	44	26	1.27	6.74	0.36	1.00	6.97·10 ⁻⁶	111	23	138
III-12×18	12	18	8	22	8	38	44	32	1.90	6.74	0.35	8.20	8.65·10 ⁻⁶	167	28	195
III-12×24	12	24	8	22	8	38	44	38	2.54	6.74	0.34	9.40	9.80·10 ⁻⁶	222	31	253
III-14×14	14	14	9	25	9	43	50	30	1.73	7.92	0.48	8.24	9.15·10 ⁻⁶	167	39	206
III-14×21	14	21	9	25	9	43	50	37	2.59	7.92	0.47	9.64	11.5·10 ⁻⁶	251	44	295
III-14×28	14	28	9	25	9	43	50	41	3.45	7.92	0.46	11.0	13.1·10 ⁻⁶	335	50	385
III-16×16	16	16	10	28	10	48	53	33	2.25	9.03	0.64	9.28	12.4·10 ⁻⁶	240	58	298
III-16×24	16	24	10	28	10	48	56	41	3.88	9.03	0.62	10.9	15.3·10 ⁻⁶	360	66	426
III-16×32	16	32	10	28	10	48	56	49	4.50	9.03	0.60	12.6	17.2·10 ⁻⁶	480	74	554
III-19×19	19	19	12	33.5	12	57.5	67	40	3.18	10.6	1.00	11.0	19.6·10 ⁻⁶	407	103	515
III-19×28	19	28	12	33.5	12	57.5	67	49	4.68	10.6	0.98	12.8	24.3·10 ⁻⁶	610	123	733
III-19×38	19	38	12	33.5	12	57.5	67	59	6.35	10.6	0.95	14.8	27.6·10 ⁻⁶	814	193	952
III-22×22	22	22	14	39.0	14	67.0	78	46	4.26	12.4	1.45	13.0	27.6·10 ⁻⁶	640	185	825
III-22×33	22	33	14	39.0	14	67.0	78	57	6.39	12.4	1.40	15.2	34.1·10 ⁻⁶	960	210	1170
III-22×44	22	44	14	39.0	14	67.0	78	68	8.52	12.4	1.35	17.4	38.3·10 ⁻⁶	1280	230	1510
III-26×26	26	26	17	47.0	17	81.0	94	58	5.95	14.7	2.20	15.4	41.5·10 ⁻⁶	1100	380	1490
III-26×39	26	39	17	47.0	17	81.0	94	69	8.92	14.7	2.15	19.0	52.0·10 ⁻⁶	1650	380	2030
III-28×32	28	52	17	47.0	17	81.0	94	82	11.90	14.7	2.1	20.6	59.3·10 ⁻⁶	2200	420	2520
III-30×30	30	50	19	53.0	19	91.0	103	64	7.92	16.9	2.9	17.6	55.5·10 ⁻⁶	1610	505	2110

附表 6(續)

铁心型号	铁心尺寸, 毫米				变压器输出				用本表各种铁心装成的变压器的主要数据							
	y_1	y_2	y_3	h	b	H	B	Y	q_c 平方厘米	I_c 厘米	q_o 平方厘米	I_o 厘米	结构常数 A	铁心重量 克	线圈重量 克	变压器重量 克
III-30×45	80	45	19	53.0	19	91.0	106	79	11.9	16.9	2.8	20.6	$68.8 \cdot 10^{-6}$	2410	570	2980
III-30×60	80	60	19	53.0	19	91.0	106	94	15.8	16.9	2.7	23.6	$76.8 \cdot 10^{-6}$	3220	630	3850
III-35×35	85	35	22	61.5	22	105.5	123	75	10.8	19.8	4.0	20.4	$76.8 \cdot 10^{-6}$	2540	800	3340
III-35×52	35	52	22	61.5	22	105.5	123	92	16.0	19.8	3.9	23.8	$95.0 \cdot 10^{-6}$	3810	910	4720
III-35×70	95	70	22	61.5	22	105.5	123	110	21.6	19.8	3.8	27.4	$109 \cdot 10^{-6}$	5080	1020	6100

附表 6(續)

铁心型号	铁心尺寸, 毫米				变压器输出				用本表各种铁心装成的变压器的主要数据							
	y_1	y_2	y_3	h	b	H	B	Y	q_c 平方厘米	I_c 厘米	q_o 平方厘米	I_o 厘米	结构常数 A	铁心重量 克	线圈重量 克	变压器重量 克
III-4×4	4	4	2.5	14	5	19	19	13	0.140	3.90	0.134	3.2	$1.08 \cdot 10^{-5}$	6.2	4.2	10.4
III-4×6	4	6	2.5	14	5	19	19	15	0.210	3.90	0.130	3.6	$1.40 \cdot 10^{-5}$	9.3	4.6	18.9
III-4×8	4	8	2.5	14	5	19	19	17	0.280	3.90	0.126	4.0	$1.63 \cdot 10^{-6}$	12.5	4.9	17.4
III-4×10	4	10	2.5	14	5	19	19	19	0.350	3.90	0.122	4.4	$1.79 \cdot 10^{-5}$	15.6	5.3	20.9
III-5×5	5	5	3.5	17	6	24	24	16	0.220	4.50	0.205	3.9	$1.84 \cdot 10^{-5}$	13.1	7.8	20.9
III-5×7	5	7	3.5	17	6	24	24	18	0.310	4.50	0.200	4.3	$2.30 \cdot 10^{-5}$	18.3	8.4	26.7
III-5×10	5	10	3.5	17	6	24	24	21	0.440	4.50	0.194	4.9	$2.78 \cdot 10^{-5}$	6.2	9.3	35.5
III-5×12	5	12	3.5	17	6	24	24	22	0.530	4.50	0.187	5.3	$2.98 \cdot 10^{-5}$	31.3	9.7	41.0
III-6×6	6	6	4.0	20	7	28	28	18	0.320	5.44	0.297	4.5	$2.79 \cdot 10^{-5}$	21.2	13.1	34.3
III-6×9	6	9	4.0	20	7	28	28	21	0.475	5.44	0.280	5.1	$8.57 \cdot 10^{-5}$	31.8	14.5	46.3

2. 装置最轻的变压器用的铁心

附表 6(續)

铁心型号	铁心尺寸, 毫米				变压器轮廓尺寸, 毫米			用本表各种铁心卷成的变压器的主要数据								
	y_1	y_2	y_3	h	b	H	B	Y	q_1 平方厘米	l_c 厘米	l_o 厘米	结构常数 A	铁心重量 克	线圈重量 克	变压器重量 克	
II-6×12	6	-12	4.0	20	7	28	28	24	0.63	5.44	0.280	5.7	4.08·10 ⁻⁶	42.5	15.7	58.2
II-6×15	6	15	4.0	20	7	28	28	25	0.79	5.44	0.270	6.3	4.47·10 ⁻⁶	58.0	16.7	69.7
II-9×9	9	9	4.5	22.5	9	31.5	36	25	0.71	7.7	0.450	6.3	4.73·10 ⁻⁶	46.0	27.8	73.8
II-9×13	9	13	4.5	22.5	9	31.5	36	29	1.03	7.7	0.440	7.1	5.93·10 ⁻⁶	66.6	30.6	97.2
II-9×18	9	18	4.5	22.5	9	31.5	36	34	1.43	7.7	0.425	8.1	7.00·10 ⁻⁶	92.1	38.7	125.8
II-9×22	9	22	4.5	22.5	9	31.5	36	37	1.75	7.7	0.41	8.9	7.52·10 ⁻⁶	112	36	148
II-12×12	12	12	6.0	30.0	12	42.0	48	34	1.27	10.3	0.88	8.5	9.17·10 ⁻⁶	109	73	182
II-12×18	12	18	6.0	30.0	12	24.0	48	39	1.90	10.3	0.85	9.7	11.8·10 ⁻⁶	164	82	246
II-12×24	12	24	6.0	30.0	12	24.0	48	46	0.54	10.3	0.83	10.9	13.5·10 ⁻⁶	218	89	307
II-12×30	12	30	6.0	30.0	12	24.0	48	50	9.17	10.3	0.80	12.1	14.6·10 ⁻⁶	274	95	369
II-15×16	15	16	8.0	40.0	16	56.0	64	45	2.25	13.7	1.70	11.1	18.1·10 ⁻⁶	258	185	443
II-16×24	16	24	8.0	40.0	16	56.0	64	53	3.98	13.7	1.65	12.7	23.0·10 ⁻⁶	337	205	592
II-16×32	16	32	8.0	40.0	16	56.0	64	61	4.50	13.7	1.60	14.3	26.4·10 ⁻⁶	517	224	741
II-16×40	16	40	8.0	40.0	16	56.0	64	68	5.63	13.7	1.54	15.9	28.6·10 ⁻⁶	645	240	885
II-20×20	20	20	10.0	50.0	20	70.0	80	57	3.52	17.1	2.76	13.8	29.6·10 ⁻⁶	505	373	878
II-20×30	20	30	10.0	50.0	20	70.0	80	66	5.28	17.1	2.69	1.8	37.8·10 ⁻⁶	738	417	1175
II-20×40	20	40	10.0	50.0	20	70.0	80	76	7.04	17.1	2.60	17.8	43.1·10 ⁻⁶	1910	454	1464
II-20×50	20	50	10.0	50.0	20	70.0	80	85	8.80	17.1	2.51	19.8	45.9·10 ⁻⁶	1269	487	1747
II-25×25	25	25	12.5	62.5	25	87.5	100	71	5.50	21.4	4.48	17.4	47.5·10 ⁻⁶	990	765	1755
II-25×37	25	37	12.5	62.5	25	87.5	100	83	8.18	21.4	4.37	19.8	60.3·10 ⁻⁶	1460	850	310
II-25×50	25	50	12.5	62.5	25	87.5	100	95	11.0	21.4	4.22	22.4	69.5·10 ⁻⁶	1970	980	900
II-25×62	25	62.5	25	87.5	100	107	13.6	21.4	4.07	24.8	74.7·10 ⁻⁵	2440	990	9430		

附表 b (續)

铁心型号	铁心尺寸, 毫米			变压器器身			用本表各种铁心接成的变压器的主要数据									
	y_1	y_2	y_3	b	H	B	Y	q_{c_1} 平方厘米	l_{c_1} 厘米	l_o 厘米	结构常数 A	铁心重量 克	线圈重量 克	变压器重量 克		
III-32×32	32	32	16.0	80.0	32	112.0	128	92	9.0	27.4	7.60	22.2	$80 \cdot 7 \cdot 10^{-6}$	2070	1650	3720
III-32×48	32	48	16.0	80.0	32	112.0	128	107	13.5	27.4	7.42	25.6	$103 \cdot 10^{-6}$	3110	1850	4960
III-32×64	32	64	16.0	80.0	32	112.0	128	123	18.0	27.4	7.17	28.6	$118 \cdot 10^{-6}$	4140	2010	6150
III-32×80	32	80	16.0	80.0	32	112.0	128	139	22.5	27.4	6.90	31.8	$128 \cdot 10^{-6}$	5180	2150	7330

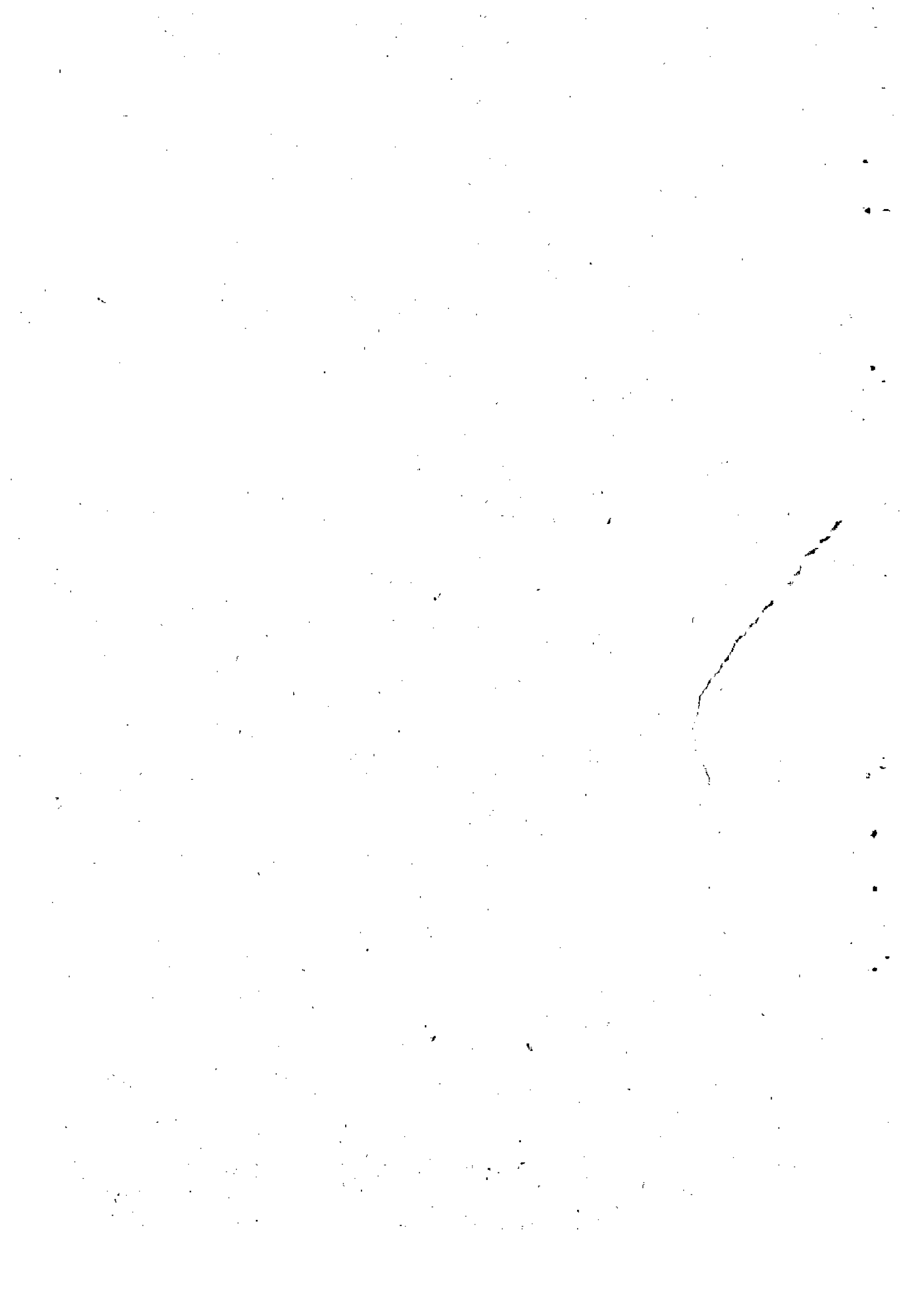
3. 用CT-360A規格的鐵片疊成的鐵心 (不建議採用, 本表列出其數據仅供参考)

铁心型号	铁心尺寸, 毫米			变压器器身			用本表各种铁心接成的变压器的主要数据									
	y_1	y_2	y_3	b	H	B	Y	q_{c_1} 平方厘米	l_{c_1} 厘米	l_o 厘米	结构常数 A	铁心重量 克	线圈重量 克	变压器重量 克		
III-10×10	10	10	5	15	5	23	80	19	0.88	5.57	0.137	5.5	$2.82 \cdot 10^{-6}$	42	7.5	50
III-10×15	10	15	5	15	5	25	80	24	1.82	5.57	0.134	6.5	$3.5 \cdot 10^{-6}$	63	8.5	72
III-10×20	10	20	5	15	5	25	80	29	1.73	5.57	0.129	7.5	$3.9 \cdot 10^{-6}$	84	9.5	94
III-12×12	12	12	6	18	6	30	36	22	1.27	6.68	0.208	6.5	$4.37 \cdot 10^{-6}$	73	13	83
III-12×18	12	18	6	18	6	30	36	28	1.80	6.68	0.203	7.7	$5.33 \cdot 10^{-6}$	109	15	124
III-12×24	12	24	6	18	6	30	36	34	2.54	6.68	0.193	8.9	$6.02 \cdot 10^{-6}$	146	17	163
III-14×14	14	14	7	21	7	35	42	26	1.73	7.8	0.297	7.6	$6.23 \cdot 10^{-6}$	116	22	138
III-14×21	14	21	7	21	7	35	42	33	2.53	7.8	0.29	9.0	$7.68 \cdot 10^{-6}$	174	26	200
III-14×28	14	28	7	21	7	35	42	40	3.45	7.8	0.28	10.4	$8.55 \cdot 10^{-6}$	232	29	261
III-16×16	16	16	8	24	8	40	48	39	2.25	8.9	0.0	8.6	$8.43 \cdot 10^{-6}$	173	34	207

附表 5 (續)

附表6(續)

铁心型号	铁心尺寸, 毫米				变压器输出容量, 毫米			用本表各种铁心装成的变压器的主要数据								
	y_1	y_3	y_5	h	b	H	B	Y	q_c 平方厘米	l_o 厘米	q_o 平方厘米	铁心重量 克	矽钢片重量 克	变压器重量 克		
III-16×24	16	24	8	24	8	40	43	83	3.39	8.9	0.39	10.2	$10.4 \cdot 10^{-5}$	239	39	298
III-16×32	16	32	8	24	8	40	48	46	4.50	8.9	0.38	11.8	$11.7 \cdot 10^{-5}$	346	44	390
III-18×18	13	18	9	27	9	45	54	33	2.83	10.0	0.54	9.8	$11.8 \cdot 10^{-5}$	246	52	298
III-18×27	18	27	9	27	9	45	51	42	4.28	10.0	0.53	11.6	$14.0 \cdot 10^{-5}$	339	60	429
III-18×33	18	33	9	27	9	45	54	51	3.71	10.0	0.51	13.4	$15.0 \cdot 10^{-5}$	492	67	559
III-20×20	20	20	10	30	10	50	60	60	3.32	11.1	0.70	10.9	$14.6 \cdot 10^{-5}$	337	75	412
III-20×30	20	30	10	30	10	50	60	46	5.28	11.1	0.68	12.9	$18.0 \cdot 10^{-5}$	603	83	592
III-20×40	20	40	10	30	10	50	60	56	7.04	11.1	0.63	14.9	$20.2 \cdot 10^{-5}$	875	97	772
III-24×24	24	24	12	35	12	60	72	45	5.07	13.4	1.11	13.0	$23.0 \cdot 10^{-5}$	589	140	720
III-24×36	24	36	12	36	12	60	72	57	7.31	13.4	1.07	13.4	$28.4 \cdot 10^{-5}$	870	160	1030
III-24×48	24	48	12	36	12	60	72	69	10.10	13.4	1.04	17.8	$31.6 \cdot 10^{-5}$	1160	180	1340
III-30×30	30	30	15	45	15	75	90	55	7.32	13.7	1.65	13.4	$36.4 \cdot 10^{-5}$	1140	360	1440
III-30×45	30	45	15	45	15	75	90	71	11.9	16.7	1.89	19.4	$47.5 \cdot 10^{-5}$	1710	340	2030
III-30×60	30	60	15	45	15	75	90	85	15.8	13.7	1.73	22.4	$53.0 \cdot 10^{-5}$	2280	380	260
III-40×40	40	40	20	60	20	100	120	76	14.1	22.3	3.60	22.2	$73.5 \cdot 10^{-5}$	2700	780	3480
III-40×60	40	60	20	60	20	100	120	93	21.1	22.3	3.50	23.2	$90.7 \cdot 10^{-5}$	4050	900	4950
III-40×80	40	80	20	60	20	100	120	116	23.2	22.3	3.40	30.2	$102 \cdot 10^{-5}$	5400	1000	6400



第九章

电 阻 器

各种类型的电阻器在无线电电子设备中得到广泛的大量的采用，它们被用来作为分压器和分流器，作为电路的负载，电路中的衰减元件，RC型调路元件等。

基于电阻器的大量应用，绝大部分电阻器已标准化。

按照电阻值的性质，电阻器有如下几种类型：

1. 固定电阻器：其阻值是固定的，使用时不改变。
2. 可变电阻器：在使用时，其阻值可以用移动可动触点的方法进行调节。
3. 非线性电阻器：其阻值随外加电流或电压的变化而非线性地变化。
4. 特殊的电阻器：其阻值在温度及光等的作用下发生变化，如热敏电阻、光敏电阻等。它们主要用于不同形式能量的变换器中。

后面两种电阻器将在其它课程中讨论。

按照电阻器本身导流元件的结构特征可分为线绕的和非线绕的两大类：其中非线绕电阻器又可分为薄膜型和合成型两种，所谓薄膜型，其导流元件为敷在介质基体上（例如瓷柱、瓷管的侧表面上或成形零件的表面上）的半导体（例如碳、硼碳、金属氧化物等）薄层或金属薄层。而所谓合成型，其导流元件是粉状导电物质与胶合介质的机械混合物，可以作成实心的或附着于任何基体表面的膜片状的。

按照用途，电阻器可归并为以下几种主要类别：

1. 通用电阻器：应用在小功率的各种电路中。例如小功率电子管的板极负载、栅漏电阻、电源电路中的吸收器与分压器以及滤波器的元件，振荡回路和变压器中的衰减调整，脉冲形成电路中的分流器附加电阻，精度不高的测量仪表中的附加电阻和分流器，以及音量控制或音色调整器等。

通用电阻的阻值范围由10欧到10兆欧。功率自0.1瓦到2瓦，在很少情况下为5瓦和10瓦。工作电压不超过数百伏。所有类型的线绕和非线绕电阻均可用作通用电阻。

2. 兆欧电阻器：主要用于电流很小的测量装置及各种类型的射线测量仪内。阻值可大到 10^{13} 欧，由于工作电压小（一般为数十伏），因而耗散功率极小，用微瓦来计量，功率值的标准未规定。兆欧电阻多数制成合成型的。

3. 大功率电阻器：用作负载，附加电阻及吸收器。功率可达数千瓦，为此目的采用线绕和实心电阻器（吸收器）。这样电阻常具有强制冷却。

4. 高压电阻器：用于高压装置中的分压器和吸收器，以及供整流器中滤波电容器的放电和消灭火花用等。阻值一般很大（达 10^{11} 欧）工作电压达100千伏，功率达100瓦，

通常采用合成漆膜电阻器。

5. 高频电阻器：在工作频率高于10兆赫的无线电电子设备中作为匹配负载，衰减器等效天线等元件。阻值不大于数千欧，功率在300瓦以下，但在人工冷却时则可达数千瓦。通常采用薄膜型电阻器。

6. 精密和半精密的（测量用的）电阻器：用于精密测量装置、计算设备、电气信号时间控制器、继电系统、电阻箱、衰减器及其它等等装置内。阻值由数分之一欧到1兆欧，在很少情况下达10兆欧，阻值标准未规定。功率不大于2瓦。这类电阻器的特点是具有很高的制造精确度和使用稳定性。在许多情况下采用密封的结构。为此目的采用线绕及薄膜电阻器。

7. 小型电阻器：用于晶体管的小型设备中。其特点是：除尺寸小外，阻值有一定界限（0.5—1兆欧以下），工作电压小（在60—100伏以下）。其功率小于0.1瓦，为此目的，可采用各种类型的电阻器。

§ 9—1. 电阻器的基本参数

按不同的用途，对电阻器可提出不同的要求。下面来讨论表征这些要求的基本参数：

1. 电阻值：无线电电子设备中所应用的阻值范围很广，可自十分之几欧（用于测量技术）到 10^{13} 欧（也用于测量技术）。

通用电阻器得到了广泛的应用，因而通用电阻器已标准化，其标准额定值列于表9—1。

表 9—1 非线绕电阻的标准额定值级数

苏联 和 美 国					德 国	
10	18	27	43	68	10	30
11	18	30	47	75	12.5	40
12	20	33	51	82	16	50
13	22	36	56	91	20	60
15	24	39	62	100等	25	80
						100等

阻值可由10欧到10兆欧。

电阻器的阻值有四个精确度等级，即0级（±2%）、I级（±50%）、II级（±10%）、III级（±20%）。

额定阻值及其精确度等级一般在电阻器的表面上标出。有时也采用彩色符号表示

(当电阻器尺寸較小时)。

用彩色表示电阻值时，标记的方法如表 9—2 所示。

表 9—2

顏 色	棕	紅	橙	黃	綠	藍	紫	灰	白	黑
所表示数字或 另的个数	1	2	3	4	5	6	7	8	9	0

表示公差的点：金色为 I 級，銀灰色为 II 級，本色（無色）为 III 級。

2. 領定功率及極限工作电压領定功率：即电阻器长时间工作而不损坏以及不根本地改变本身电参数的允許最大負荷功率。

电阻器的領定功率由最大容許温度确定并依賴于它的結構（散热表面和材料的耐热性等等）。加热温度由周围介質温度和电阻器的过热温度（它超过周围介質温度的度数）組成。

对于各种型号的电阻，存在着最大的周围介質温度極限，在这个極限温度下，电阻器可以負荷于領定功率状态而不致过热。当周围介質的温度較高时，为避免电阻器的过分加热，耗散于电阻上的直流或交流功率应降低。例如：对于BC电阻，周围介質在40°C以上每升高温度1°C必須降低功率1.5%。当电阻器工作于稀薄大气中时（此时散热条件比正常大气压时坏），功率还需要降低。

此外，对于每种型号的非綫繞电阻器还有最大工作温度極限，超过此極限是不推荐使用的。

应当指出，如果非綫繞电阻所負荷功率超过領定功率或电阻器工作于温度超过所推荐的最大温度，则电阻器的寿命将縮短。可是，如果采用电阻器的强制冷却或者把它放入油中，它便可以长期地工作在超过領定功率9倍（或更大）的直流或交流功率中。

电阻器的極限工作电压是长时间（例如10,000小时）工作而不發生过热和过量放电（电弧、火花放电）的直流和交流电压（有效值）。也就是说，在極限工作电压下，电阻器所耗散的直流或交流功率不超过領定功率并远离过量放电状态。

为了不超过領定功率 P_H ，加于电阻器上的电压不应超过由下式所确定的电压值 U ：

$$U = \sqrt{R P_H}$$

为了不在电阻各部分間产生过量放电，各种結構的电阻器中，对所加电压也有一个極限值。这个極限值电压除依賴于电阻器本身的結構（如电阻器长度）外，还与周围大气压力有关，大气压降低时，其極限电压减小。

电压 U 和極限电压所依賴的因素不同，并常常具有不同数值，而極限工作电压 U_P 应由其中数值最小的一个确定。对于低阻值电阻器來說，电压 U 常低于極限电压，因此，其極限工作电压 $U_P = U$ ，也就是说， U_P 由 P_H 确定，对于高阻值（例如 $R > 1$ 兆欧）的电阻器，由于 R 数值很大而使 U ($U = \sqrt{R P_H}$) 可能为很大数值，因而 U 常接近（而不是远离）于極限电压，而 U_P 应受到極限电压的限制。

为了使电阻器可靠地工作于脉冲负荷下，在电阻器上所耗散的平均功率应小于额定功率（例如：对于BC电阻为小于1倍，对MJT电阻应小于9倍）。尽管在这种情况下脉冲功率可以大大地超过额定功率，但脉冲电压的幅度（以试验电压为限）只可能大于极限工作电压几倍，例如，BC电阻和MJT电阻容许的脉冲功率大于额定功率1,000倍，但脉冲电压幅度仅大于连续工作的极限电压的0.7—2.4倍。

基于上述原因，在电阻器的规格中同时地列出额定功率极限工作电压以及试验电压。

3. 电阻与频率的关系：当电阻器使用在频率较高的电路中时，必须考虑到其固有电容和固有电感、集肤效应，以及其保护层和骨架的介质高频损耗等所引入的影响。在这种情况下，电阻器不能简单地由其标称阻值表征，而表现为一个具有附加耗损的回路系统。

一个额定阻值为 R 的电阻器在高频时的等效电路可粗略地表示为图(9—102)。

图中 L 为电阻体的分布电感的等效值（可以由集中参数表示）。 L_p 表示引线电感及 L_s 的大小决定于电阻本身结构及引线的结构。



图9—102

C 为电阻的固有电容（没有考虑对地的电容）的等效值（以集中参数表示）， C_0 为引出端之间的电容，其大小也决定于电阻及其引出端的结构。

大家知道，集肤效应将引起的电阻导流体阻值的增大，图中以 r_B 表示其绝对增大的部分， r_B 的大小与电流的透入深度成反比关系，而透入深度又随频率的增高而减小。薄膜型中电流分布可认为不受集肤效应的影响， r_B 接近于零。合成型（实心型）和线绕电阻导流体为实心导体，当频率较高时其阻值强烈地受集肤效应的影响，对线绕电阻还受邻近效应的影响。

图中的 R_m 表示保护涂层骨架介电绝缘电阻和高频损耗所引入的分路电阻，在一般情况下，这个电阻相当大，只有当电阻额定值相当大时才须考虑其影响。当工作于超高频段时，额定阻值虽小，但绝缘材料中的损耗可能使分路电阻 R_m 大大减小，为此在这种情况下采用高频损耗特别小的陶瓷作为电阻基体，并且不用保护层。

这样一个包括很多元件的复杂电路，在分析时十分困难。在大多数情况下，实际上某些寄生参量的影响可以忽略。

对于一般用于短波以下的电阻，其中的分布电感 L 和分布电容 C 相当大，引线电感和引出端间电容与此相比可以忽略。由于阻值和使用频率不太高，实际上， R_m 很大， r_B 很小（实心电阻例外），也可以忽略，等效电阻可简化为图 9—103 所示。

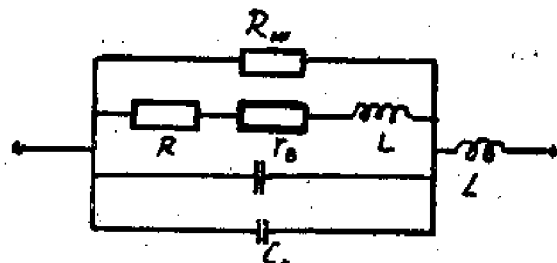


圖 9—102

对于角频率为 ω 的交流电流所呈现的阻抗为：

$$Z = R \frac{1 + j\omega(\frac{L}{R} - CR - \frac{L}{R}\omega^2 LC)}{(1 - \omega^2 LC)^2 + \omega^2 C^2 R^2}$$

此电路具有谐振特性，其谐振频率为 $\omega_0 = \frac{1}{\sqrt{LC}}$ 。在这种情况下，显然工作在远小于谐振频率范围之内，一般为工作频率 $f_p < \frac{1}{10} \frac{\omega_0}{2\pi}$ 即得：

$$\omega^2 LC < 0.01$$

此时：

$$Z \approx R \left[1 + j\omega \left(\frac{L}{R} - CR \right) \right] = R(1 + j\omega\tau)$$

式中 $\tau = \frac{L}{R} - CR$ 称谓时间常数(秒)，用它来估计L及C对电阻的影响最为方便。

从式可見， τ 可以为零，此时 $R = \sqrt{\frac{L}{C}}$ ，似乎在这种情况下 Z 与频率无关，但实际上不存在的，因为 L 本身就与 f 有关。

当 $\tau = \frac{L}{R} - CR < 0$ 时，阻抗 Z 呈容性，此时 $R > \sqrt{\frac{L}{C}}$ ，符合于此条件的电阻列入高阻电阻。(对于圆柱体电阻此值约为300欧，对于螺旋刻槽电阻约为3,000欧，对于线绕电阻几乎全部的额定值都不能满足)。

研究结果表明，在这种情况下(低于几百兆赫)的等效电路可简化如图 9—104 所示，其中 C_f 表示随频率而变的有效分路电容。

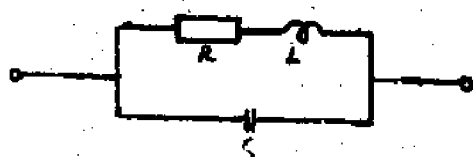


圖 9—103

分析結果表明，如果 $f \leq \frac{0.1}{CR}$ 时，該电路的等效电路与頻率無关，并等于总分布电容 C 的 $\frac{1}{6}$ ，同时，有效电阻 R_e 也与頻率無关而等于直流时的电阻 R。

当 $f > \frac{0.1}{CR}$ 时， R_e 和 C 随頻率的增高而降低。其中有效电阻与頻率的关系可用通用曲線(圖9—105)表之。

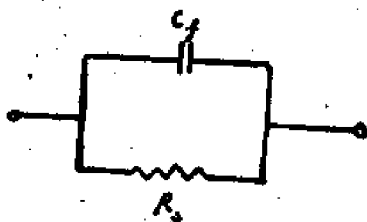


圖9—104

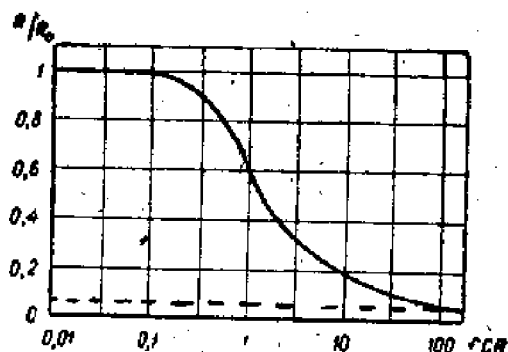


圖9—105 高阻值电阻有效电阻与頻率关系的通用曲線 (根据胡威的数据)

为了求得电阻值与頻率無关的頻率，需要知道 C，C 值可用 Ω 表用失調方法測得总电容 C_Σ 后減去 C_0 来获得， C_0 可用無导流層的电阻器測得。

当 $\tau = \frac{L}{R} - CR > 0$ 时，阻抗呈感性，此时 $R < \sqrt{\frac{L}{C}}$ 电阻的等效电路可簡化如圖 9—106 所示。L 和 R 都不依賴于頻率，但阻抗将随頻率的升高而升高。在实际中，当 $\omega L = 0.1R$ 时，可不考慮頻率的影响。对于無刻槽电阻器(一般低阻值时都無刻槽)，当电阻长度为 l (厘米) 时，可用下式近似地确定 R 与頻率無关的范围。

$$f \leq 5 \frac{R}{l}$$

由此可见，当 R 值给定时，l 越小则可使用的頻率范围越宽。

例題：已知碳膜电阻 BC—1 长度 l = 2.6 厘米，額定阻值为 200 欧，求其極限工作頻率；当額定阻值为一兆欧时，用 Ω 表測得其总电容 $C_\Sigma = 1.2$ 微法，引出端無导流膜时的电容 $C_0 = 0.2$ 微法，求其極限工作頻率及使用在頻率为 1 兆赫时的有效电阻 R_e 。

$$R = 200 \text{ 欧时}, f = 5 \frac{R}{l} = 5 \times \frac{200}{2.6} = 388 \text{ 兆赫}.$$

$R = 100$ 兆欧时：

$$f = \frac{1}{CR} = \frac{0.1}{1 \times 10^{-12} \times 10 \times 10^{12}} = 0.01 \text{ 兆赫。}$$

当 $f = 1$ 兆赫时：

$$fCR = 1 \times 10 \times 1 = 10$$

$$\frac{R_0}{R_o} = 0.2 \quad \therefore R_0 = 0.2 \times 10M\Omega = 2M\Omega$$

4. 稳定性：在无线电设备中（特别在测量仪器中）的电阻器，一般应具有很高的稳定性，电阻的稳定性与温度、湿度、电压、时间等因素有关。

温度的变化，常引起阻值的可逆变化，这种变化一般由电阻导流体的材料及其结构所产生的，在阻值很高时（特别在高温时），这种变化也取决于绝缘基体，粘合介质或保护层电导率与温度的关系。

电阻器的温度稳定性由电阻温度系数TKR表征，TKR的定义为：

$$TKR = \frac{1}{R} \frac{dR}{dT} [\text{度}^{-1}]$$

但是电阻值对温度的关系，只有对金属及其合金是线性的，对于非线性电阻器的材料，具有非线性关系。在这种情况下，对于不同温度，TKR并不是常数。在制造厂所给出的数据中，一般为20°C和70°C时测得的平均数值。

某些最常用的材料和非线性电阻的TKR列于表9—3。

高的温度，常引起电阻值的不可逆变化。一般来说如果电阻器使用于制造厂所规定的温度范围内，这种变化是不大的。

制造厂所生产的固定电阻和可变电阻的阻值对温度的变化（在-60—60°C范围内）是很敏感的。某些电阻耐热系数可能达到20%。为此，在选用时应给予充分的注意。

对无保护层的合成电阻器防潮系数可达到10—15%，对于质量较高的炭膜和金属膜的涂敷电阻则不超过2—5%。

表9—3 某些材料和各种非线性电阻的TKR

电阻或材料的类型	$TKR \times 10^4$	电阻或材料的类型	$TKR \times 10^4$
金属	40—62	BC 电阻	由-2 到 -20
锰铜	0.1—0.3	MJLT 电阻	±10
康铜	-0.5—2.5	TOKIM 电阻	±20
镍铁合金	10	EPL 电阻	-1
镍铬合金	1.2—4	MJII 电阻	±1
多晶石墨	-10		

潮气可以加速电阻金属导流部分的腐蚀，薄膜型电阻受潮后，防护层将变形，引起

导流层从基体上分裂或脱离，水份进入导流层的微小孔隙后，将使导流层膨胀而增加导电粒子間的距离，所有这些都使电阻值增加，而对于高欧电阻來說，表面上凝聚的水份将形成一个分路，使阻值降低。为了防止潮气影响尽可能采用防潮涂复和密封。对于温度的稳定性取决于所采用的防潮措施，制造厂按结构的防潮程度規定各种类型电阻器的允许工作湿度極限。

衡量电阻器对潮湿稳定性的准则是防潮系数，此系数表示电阻器在相对湿度較高的环境下放置一定时间后阻值的相对变化。如果在正常条件下的阻值为 R_1 ，受潮后为 R_y ，則防潮系数 K_y 为：

$$K_y = \frac{R_y - R_1}{R_1} \cdot 100\%$$

試驗的状态（湿度和时间）根据型号和用途选择，在24—400小时以及相对湿度为85—98%之内。

对無保护層的合成电阻防潮系数可达10—15%，对于質量較高的炭膜和金屬膜的塗紗电阻則不超过2—5%。

如果电阻导流部分所通过的电流不引起大量發热而使电阻器阻值随温度而变化的話，那么，以金屬为导体的电阻器的阻值与外加电压無关。

以非金屬导体的电阻器，由于非金屬导体有粒状结构，而颗粒之間相互接触的地方所形成的接触区的过渡电阻与外加电压有关。因而这种电阻器的限值随外加电压而变。此时，电阻器的伏安特性由某一电压值开始为一曲线，阻值随电压的升高而降低，在这一电压范围內的电阻称非綫性电阻，如圖9—107曲线所示。

非綫性的程度由电压系数表征，所謂电压系数 K_H 即电压改变时阻值的相对变化：

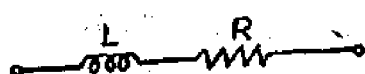


图9—106

$$K_H = \frac{R_2 - R_1}{R_1} \cdot 100\%$$

其中 R_2 和 R_1 ——分别为 U_2 和 U_1 时的阻值，而且 $U_2 > U_1$ ，因为 $R_2 < R_1$ ，所以 K_H 为负值。

实际上， K_H 值是在 U_2 等于最大工作电压以及 $U_1 = 0.1U_2$ 的条件下测定的。

K_H 值可由电阻的伏安特性曲线（圖9—107）来确定。

$$K_H = \frac{U_2 \operatorname{tg} \varphi}{U_1} - 1$$

φ ——在綫性区域內伏安特性的倾斜角，当电压很低时 $I = U \operatorname{tg} \varphi$ ，因而 $K_H = 0$ 。

非綫性电阻器在存放和負荷的过程中，由于电阻器的导电材料，粘合剂或接触元件逐渐产生不可逆的物理变化和化学变化，其阻值也随時間而变化，这种变化通常称为老化。

电阻器的老化决定于許多因素，不仅与电阻器本身的結構及阻值有关，同时与电阻器所处的条件有关。

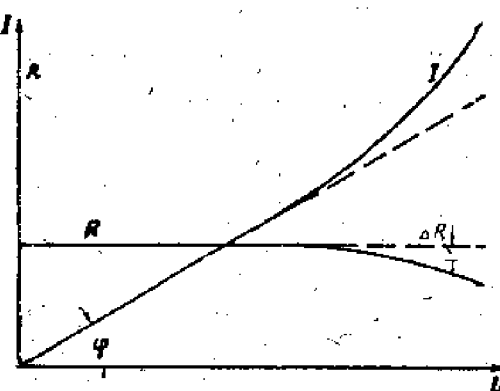


圖9—107 电流及阻值与电压的关系曲线

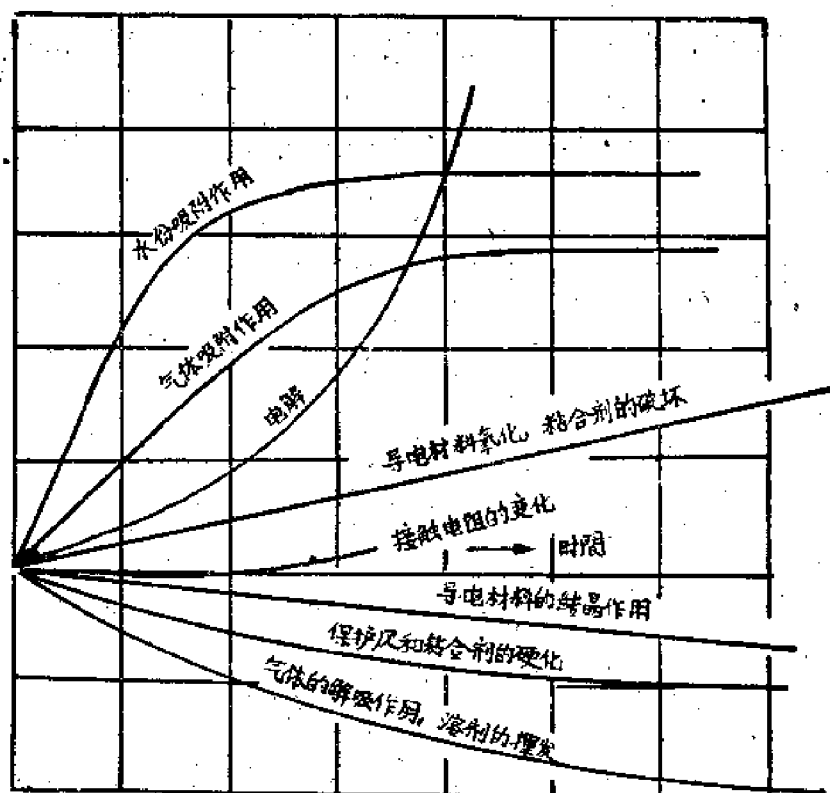


圖9—108 非綫繞电阻的老化过程的組成要素

圖9—108表示能引起非綫繞电阻器老化过程的各种組成要素、阻值变化的总和以及随时间变化的过程是由这些組成要素所确定的。

綫繞电阻对时间很稳定，在一般要求不高的情况下可以不考虑。

在存放情况下，电阻器对时间的稳定性用“存放系数”表示。如果在正常条件下，阻值为 R_1 的电阻器在温度为 $+10^{\circ}\text{C}$ 到 $+35^{\circ}\text{C}$ 及相对湿度50—80%条件下保存6个月后的

电阻值为 R_x ，則存放系数 K_x 应为：

$$K_x = \frac{R_x - R_1}{R_1} \cdot 100\%$$

在非室内存放条件下（即野外条件），电阻器的 K_x 值可达百分之几。

在负荷作用下，电阻器对时间的稳定性用老化系数表示。老化系数为在额定功率（或极限工作电压）下长期负荷几千小时，试验时用150%的额定功率（不超过极限电压时）负荷100小时，老化系数 K_o 可由下列公式来计算：

$$K_o = \frac{R_o - R_1}{R_1} \cdot 100\%$$

考虑到电阻器在使用时由于过负荷产生的局部破坏所引起的阻值不可逆变化，也须以负荷系数来表示电阻器阻值对时间的稳定性，一般负荷系数用相当于额定功率200%（但不超过试验电压）的负荷进行试验。

质量优良的非线绕电阻器的老化系数不超过2—5%。

5. 固有噪声：

在所有导体中，由于电子不规则的热运动而产生了热噪音电动势，其频谱是连续的，而且频谱的各分量具有相等强度。

在通频带 f_2-f_1 内，阻值 R 的电阻器上所产生的热噪音电压 U_T （均方根值）可按下式算得：

$$U_T = \sqrt{4KTR(f_2-f_1)} \text{ (伏)}$$

其中： K ——波尔兹曼常数，等于 1.37×10^{-16} 尔格/度。

T ——绝对温度 $^{\circ}\text{K}$ 。

式中可见，热噪音电压 U_T 与材料和导体的形状无关，而仅仅与温度和阻值有关。

由上式计算可知，在正常条件($T=300^{\circ}\text{K}$)下，五千赫频带(广播的典型频带)内，阻值为1兆欧的电阻的 U_T 等于10微伏。这个数值已大大超过了好的电子管输入端的固有噪音电平。在有效讯号很小的情况下，为了减小电阻的热噪音，必须使输入端电阻很小，但却同时损失了设备的灵敏度。

热噪音与导体中通过的电流无关，而是一种无法消除的物理现象。

在颗粒状结构的导体中，除了热噪音外，当电流通过时，还会出现所谓“电流”噪音，这是由于导体微粒的非正常振动使微粒间的接触面积发生变化，因而引起接触电阻值的起伏变化，通过电阻的电流受到阻值起伏变化的调制而出现起伏变化的电压。

研究结果表明，在导体结构均匀的情况下，电阻器的电流噪音电动势 e_R 可由下式来计算。

$$e_R = C_2 U^\alpha \left(\frac{D}{l} \right)^\lambda \sqrt{\frac{R}{r_K} \lg \frac{f_2}{f_1}}$$

式中： C_2 ——与电阻器导流体材料有关的系数。

U ——外加电压。

α ——系数，约等于0.8—0.9。

D ——电阻器基体的直径。

l ——电阻器导流体的长度。

r_k ——导体微粒間的接触电阻。

f_2 及 f_1 ——通頻帶的界限。

从此式可以看出，电流噪音与导体材料和电阻器的结构有关。除正确地选择导电材料外，还可以用加长导流元件，减小导体微粒尺寸和提高导体微粒电阻的方法来减小噪音。

此外，从式中可見，由于 α 接近 1，因而 e_R 几乎与外加直流电压成正比。电流噪音具有連續頻譜，如通帶 f_2-f_1 不变， f_2/f_1 比值仍隨頻率的增高而減小，但是却使 e_R 的幅度隨頻率的升高而減少。

除此以外，金屬附件（如引出端或可变电阻器的可动接触件）与导流体之間的接触电阻也会产生接触噪音电压，即使在接触点电阻較小的情况下也是相当可观的。

当温度降低时，接触噪音电平也随着降低，但降的程度比热噪音小。

綫繞电阻器的噪音电平比非綫繞电阻器小得多，而且主要是內热效应所引起的。

技术上，噪音电平用此值 $\frac{e_R}{U}$ 来表征的（不包括热噪音，因它与电阻器本身无关），并采用单位[微伏/伏]。因为 α 小于 1，所以比值 $\frac{e_R}{U}$ 仅是一个相对于 U 值給定情况下的参考标准。

对于質量較好的电阻器（金屬膜电阻器，碳膜电阻器）來說，在50—10,000赫帶內的 $\frac{e_R}{U}$ 比值，当 R = 1 兆欧时为0.2—0.5微伏/伏。在这种情况下，当外加电压为20—40伏时，电流噪音就达到热噪音电平。对于無螺紋槽的合成电阻（TO, TOM型）來說，其噪音电平比其他电阻高一个数量級。电流噪音电压仅有几伏时就已超过上述数值。

噪音的存在将对有用信号产生干扰、降低设备对弱信号的工作能力。

§ 9-2 線繞电阻器

綫繞电阻器有最高的參量稳定性，可以制成大的耗散功率，高的額定值精确度和小的噪音电平。它的主要缺点是当电阻值大时有大的体积，大的固有电感和固有电容（这将限制它的应用频段）以及价格昂贵。

因此綫繞电阻器应用于要求有高的精确度和稳定性的测量仪器中和要求有大耗散功率的电路中。

I. 線繞固定电阻器：

按照电阻器的结构可分成：

1. 单層裸露式。

2. 单層封閉式。

3. 多層的。

4. 特殊高頻的。

1. 单層裸露式綫繞电阻器：

一般缠绕在陶瓷骨架上，在骨架两端具有黄铜夹紧装置，作为电阻器的引出端，电

阻絲纏繞後，將兩個端頭熔接到引出端上（圖9—201）。



圖9—201

可用表面進行過氧化處理的裸導線進行密繞或間繞。導線的直徑根據允許電流密度（達10安/毫米²）選擇。此時相鄰繞匝間的電位差不超過2—5伏（按氧化層的絕緣強度）。可以作為電阻絲的高阻合金的基本特性列于表9—4中。

對於線繞固定電阻器錳銅鎳合金、康銅及鎳鉻合金的導線得到了最廣泛的應用。對於特別穩定的電阻器採用預先經受人工老化（加熱到120—150°C，在此溫度下持續30—40小時，而後在室溫下補充持續）的錳銅鎳導線。

錳銅鎳合金、鎳鉻合金和康銅的繞制導線的數據列于表9—5及9—6中。
有時也可採用漆包線或絲包線來繞制，但耐熱性要壞得多，一般允許電流密度為4安/毫米²。

單層線繞電阻器的計算進行如下：

(1) 导線直徑：

$$d = \sqrt{\frac{1.27 I_0}{j}} \text{ 毫米} \quad (9-201)$$

對於氧化導線的電流密度 $j = 10$ 安/毫米²。

對於帶絕緣導線 $j = 4$ 安/毫米²。

(2) 导線長度：

$$L = \frac{R d^2}{\rho} 0.785 = \frac{R}{R_1} \text{ 米} \quad (9-202)$$

其中： R —— 純定的電阻值，

ρ —— 材料的比電阻（歐·毫米²/米）。

R_1 —— 純定直徑導線一米長的電阻值。

(3) 繞制匝數：

$$n = \frac{L \cdot 10^3}{\pi D} \quad (9-203)$$

D —— 骨架直徑（毫米）。

表 9—4

某些高阻合金的基本特性

合 金	化 学 成 分 (%)	比电阻当 20°C时 (欧·毫米 ²)	电 阻 温 度 系 数 (1/°)	对 于 铜 的 热 电 势 (微伏/°C)	允 许 的 发 热 温 度 (°C)	抗 力 极 限 (千克/毫米 ²)	相 对 伸 长 (%)
康铜	Cu54±67; Ni37±45; Mn1±3	0.48—0.52	-0.000063	-30±4	400	40±50	15±35
铬铜合金	Cu82±86; Mn11±15; Ni2±4; Fe; Ae	0.42—0.48	+0.00004	0	300	50±65	25
镍铬合金	Ni55±80; Cr14±20; Fe14±8; Mn1±2	1.06±1.12	-0.00013	—	1100	70±75	30
铂铑合金	Pt33±95; Ni5±7	0.11—0.50	+0.00022±0.00071	-0.5±5	—	—	—
铂铜合金	Pt90±98; Cu2±0.5	0.15±0.57	+0.00020±0.00183	-0.5±5	—	—	—
纯银合金	Pd30±60; Ag63±70	0.14±0.16	+0.00032±0.00041	-1.2±1.4	—	—	—
金镍合金	Au89±95; Ni4±10	0.984±0.5	+0.00023±0.00094	-3±5	—	—	—
铂铱合金	Pt90±0.4; Ir10±0.6	0.23	-0.00133	—	32.2	26	—
铂钛合金	Pt75±0.5; Jr25±1	0.315	-0.00095	—	36	21	—

表9—5 錳鎳銅合金和鎳鉻合金電阻絲的數據

錳鎳銅合金絲				鎳鉻合金絲			
額定直徑 (毫米)	電阻 (歐/米)	最大外直徑(毫米)		額定直徑 (毫米)	電阻 (歐/米)	額定直徑 (毫米)	電阻 (歐/米)
		ПЭШОМТ	ПШДМТ	МНТ			
0.03	606	0.09	—	0.03	0.09	1530	1.80
0.05	220	0.135	—	0.05	0.05	551	1.14
0.06	152	0.145	—	—	0.07	281	0.95
0.07	112	0.155	—	—	0.08	215	0.91
0.08	81.9	0.165	—	—	0.10	168	0.70
0.10	54.8	0.21	0.25	0.10	0.15	61.2	0.61
0.12	38.9	0.23	—	—	0.20	34.4	0.54
0.15	24.3	0.26	0.30	—	0.25	22.0	0.47
0.18	16.9	0.29	—	—	0.30	15.3	0.42
0.20	13.7	0.31	—	0.2	0.35	11.2	0.38
0.25	8.93	0.38	0.40	—	0.40	8.58	0.34
0.30	6.22	0.43	0.46	—	0.45	6.78	0.27
0.40	3.50	0.54	—	0.4	0.50	5.51	0.22
0.50	2.24	0.63	0.67	0.5	0.60	3.82	0.18
0.60	1.52	0.76	—	—	0.70	2.91	0.15
0.80	0.851	0.97	—	—	0.80	2.13	—
1.00	0.548	1.19	—	—	0.90	1.70	—

ПЭШОМТ——單絲漆包硬錳鎳銅合金線。

ПШДМТ——雙絲包硬錳鎳銅合金線。

МНТ——錳鎳銅硬裸線。

注1.錳鎳銅合金在0到100°C溫度範圍內之溫度系數。

对于A類電阻絲……由 3×10^{-5} 到 4×10^{-5} 歐/1°C

对于B類電阻絲…… 6×10^{-5} 歐/1°C

注2.在2.0°C下長為1米截面積為1平方毫米電阻絲的電阻應在0.49—0.5歐之間。

表 9-6 康銅電阻線之數據

額定直徑 (毫米)	電 阻 (歐/米)	最 大 外 直 徑 (毫米)				
		ПК	ПЭК	ШДК	ЛЭШОК	ШНОК
0.03	6.930	0.03	—	—	—	0.08
0.05	249.0	0.05	0.075	0.17	0.135	—
0.06	163.0	0.06	—	0.18	0.145	—
0.07	127.0	0.07	0.095	0.19	0.155	—
0.08	95.0	0.08	0.105	0.20	0.165	—
0.09	73.2	—	—	—	0.175	—
0.10	61.8	0.10	0.140	0.23	0.20	—
0.12	41.1	0.12	0.160	0.25	0.22	—
0.14	30.4	0.14	—	—	—	—
0.15	26.82	0.15	0.190	0.28	0.26	—
0.16	21.9	0.16	—	0.29	—	—
0.18	18.3	0.18	0.225	0.31	0.285	—
0.20	14.5	0.20	0.245	0.35	0.315	—
0.22	12.2	0.22	—	0.37	—	—
0.25	9.47	0.25	0.310	0.49	0.38	—
0.28	7.55	0.28	—	—	—	—
0.30	6.678	0.30	0.360	0.45	0.43	—
0.35	4.88	0.35	0.420	—	0.46	—
0.40	3.70	0.40	0.470	0.54	0.54	—
0.45	2.905	0.45	0.530	—	0.60	—
0.50	2.380	0.50	0.580	0.64	0.65	—
0.60	1.645	0.60	0.690	—	0.76	—
0.65	1.393	0.65	—	—	—	—
0.70	1.210	—	0.80	—	0.87	—
0.75	1.100	0.75	—	—	—	—
0.80	0.9251	0.80	0.90	0.94	0.97	—
1.0	0.5921	1.00	0.12	—	1.19	—
1.2	0.411	1.20	—	—	—	—
1.3	0.301	1.30	—	—	—	—
1.5	0.268	1.50	—	—	—	—
1.8	0.183	1.80	—	—	—	—
2.25	0.123	2.25	—	—	—	—
2.5	0.095	2.50	—	—	—	—
3.0	0.066	3.00	—	—	—	—

ПК——康銅線

ПЭК——漆包康銅線

ШДК——双絶縁包康銅線

ПЭМОК——单絲漆包康銅線

ПМОК——单絲包康銅線

注1：在 20°C 下长为1米截面积为1平方毫米康銅电阻絲的电阻应在0.44到0.49欧之間

注2：溫度系数每 1°C 应介于 10×10^{-5} 到 30×10^{-5} 之間

注3：最高工作溫度达 500°C

注4：ПЭК 导線两种絞合样品的平均击穿电压应为

直徑0.1毫米以下……不小于250伏（有效值）

直徑由0.12到0.3毫米……不小于350伏（有效值）

直徑0.35毫米以上……不小于450伏（有效值）

(4) 繞組長度：

$$l = n d_0 K + d_0 \quad (9-204)$$

其中： d_0 ——带絕緣导線的直徑。

K——稀疏度系数。

(5) 冷却的檢驗：

$$\pi(D+d)l \times 10^3 = SW \quad (9-205)$$

S——比耗散功率，对于氧化物 $S = 10 - 12 \text{ 厘米}^2/\text{瓦}$ 。对于带絕緣导線 $S = 20 - 25 \text{ 厘米}^2/\text{瓦}$ 。

W——电阻器的頻定功率。

裸露式綫繞电阻器的主要缺点是电阻絲受周圍介質的化学作用将使电阻值随时間而增加（主要是加热时受氧化）。但工艺上較简单，这种电阻器只使用在正常条件下和稳定性要求不高的設備中。

2. 单層封閉式綫繞电阻器：

将单層裸露式电阻涂以保护層即成封閉式。这种保护層用来防止外界因素的影响（即防潮，防止氧化，以及防止机构上的损伤等），也用来固定繞匝，避免發生短接，保护層最常采用釉層，但近来已开始采用硅有机涂复来代替更为耐久。

在我国这种电阻器主要按苏联的标准生产，其中最常用的为ПЭ型和ПЭВ型两种，外形如图9—202所示。

ПЭ型电阻的引出端做成軟多股絞合線的形式。ПЭВ型电阻采用黃銅片的引出端。

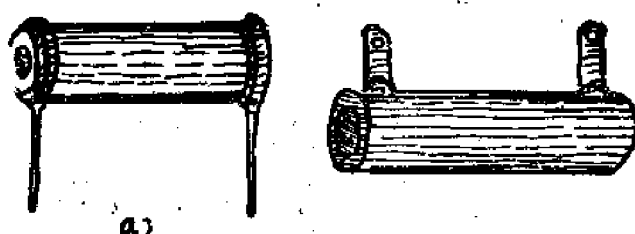


圖9—202 固定漆包綫繞电阻器 a) — ПЭ b) — ПЭВ

ПЭВ-X属于可变电阻，它具有可移动的接触卡箍和除去釉层的部分（图9—203），但其电气性能与ПЭВ完全相同。

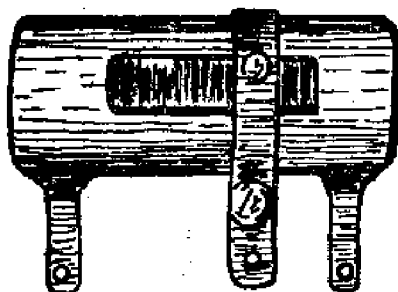


图9—203可调节的除釉绕线电阻器 ПЭВ-X型

所有这些电阻都按Ⅰ、Ⅱ级精确度生产。

周围介质的极限工作温度：对ПЭ型为-60°C到+70°C，而对ПЭВ和ПЭВ-X为-60到+100°C，当温度超过+40°C时，每升高一度实际负荷功率必须降低额定功率的0.32%。当大气压力为40毫米水银柱的条件下工作时，必须降低功率不小于20%。

ПЭ型电阻允许在相对湿度不超过80%的条件下使用，ПЭВ和ПЭВ-X型电阻的主要数据列如表9—7。

这种电阻器经常使用在无线电设备的供电电路中。

我国华北无线电器材厂按德国标准生产的这种绕线电阻器与上述种类相比特点为：体积小、耐热，并能在各种恶劣的环境下使用，在额定负载下，电阻表面温度不超过400°C。其详细规格可参考该厂的产品说明。

以上所述各型号的电阻器都具有深褐色或青色的外表，着以的颜色有助于辐射散热。为此，某些工厂生产的类似电阻器具有黑色粗糙不反光的表面。

最近，苏联制成了精密的ПКВ型绕线固定电阻器和可调带的ПКВ型电阻器（类似于ПЭВ-X型）其额定功率为1—5瓦。不降低功率时能工作于周围介质温度达100—125°C的条件下，而降低功率时可达250°C。这些电阻器均采用硅有机物的涂复层（有助于耐热性）。

3.多层绕线电阻器：

当采用多层绕法时，分布电容增加，散热条件和抗电强度都变坏，但可用较小的尺寸实现较高的阻值及高的精确度，宜用作小功率的精密电阻器。

带绝缘的（丝包的或漆包的）电阻丝缠绕在附有引出端的塑料骨架或陶瓷骨架上。一般采用分层绕法或万用绕法，有时为了得到较小的电感量采用双层绕法（当频率为20—30千赫时），为了提高抗电强度和减小固有电容采用分段绕法。

工业生产的ПТ型电阻器是这种结构形式的一种，如图9—204所示。按额定功率有ПТ-0.5（0.5瓦）、ПТ-1（1瓦）和ПТ-2（2瓦）三种，各种的阻值范围和尺寸列于表9—8中。

表 9-7 ПЭВ和ПЭВ-X电阻的主要数据

型 号	额定 功率 瓦	有效额定阻值范围	管的尺寸(毫米)			重量 (不大于) 克
			外径 (不大于)	内径 (不小于)	长度 (不大于)	
ПЭ-7.5	7.5	5欧—5千欧	12	3.5	41.5	12
ПЭ-15(Тип I)	15	5欧—5千欧	18	5.5	51.5	16
ПЭ-20(Тип II)	20	2.5欧—5千欧	20	9.5	51.5	30
ПЭ-25(Тип III)	25	5欧—5.6千欧	25	12.4	51.5	40
ПЭ-50(Тип IV)	50	1欧—15千欧	25	12.4	92.0	60
ПЭ-75(Тип V)	75	1欧—30千欧	25	12.4	16.4	110
ПЭ-150(Тип VI)	150	0.9欧—50千欧	32	17.0	21.9	300
ПЭВ-2.5	2.5	48欧—430欧	14.5	3.5	27.5	14
ПЭВ-7.5	7.5	5欧—3.3千欧	1	3.0	37.5	23
ПЭВ-10	10	5欧—10千欧	16	5.0	42.5	27
ПЭВ-15	15	5欧—15千欧	19	7.5	46.5	33
ПЭВ-20	20	10欧—20千欧	19	7.5	53.0	44
ПЭВ-25	25	10欧—24千欧	23.5	11.4	53.0	57
ПЭВ-30	30	10欧—30千欧	23.5	11.4	73.2	80
ПЭВ-40	40	20欧—51千欧	23.5	11.4	89.2	93
ПЭВ-50	50	20欧—51千欧	32	18.9	93.4	132
ПЭВ-75	75	51欧—51千欧	32	18.9	143.2	233
ПЭВ-100	100	51欧—56千欧	32	18.9	173.5	286
ПЭВ-100X	10	5欧—200欧	16	5.0	42.5	34
ПЭВ-15X	15	20欧—220欧	19	7.5	46.5	42
ПЭВ-20X	20	20欧—430欧	19	7.5	53.0	52
ПЭВ-25X	25	10欧—510欧	23.5	11.4	53.0	67
ПЭВ-30X	30	20欧—1千欧	23.5	11.4	73.2	90
ПЭВ-50X	50	24欧—5.5千欧	32	18.9	93.4	144
ПЭВ-100X	100	51欧—2.7千欧	32	18.9	173.5	296

表 9-8 HT型电阻的阻值范围和尺寸

型 号	阻 值 范 围	尺 寸 (毫米)			
		长 度 L	高 度 H	外 径 D	骨 架 直 径 D
HT-0.5	1—150,000欧	18	23	16	3.6
HT-1	1—560,000欧	26	24	18	3.6
	0.62—1兆欧	28	25	20	3.6
HT-2	20—1000千欧	32	34	28	6

使用条件为：环境温度自 -60 至 $+70^{\circ}\text{C}$ ，相对湿度达98%，大气压力达41毫米水银柱，振动达加速度为 6g 。

工作电压达400伏，电阻温度系数不大于 $25 \times 10^{-4}^{\circ}\text{C}^{-1}$ ，阻值的误差不大于 $\pm 1\%$ 。

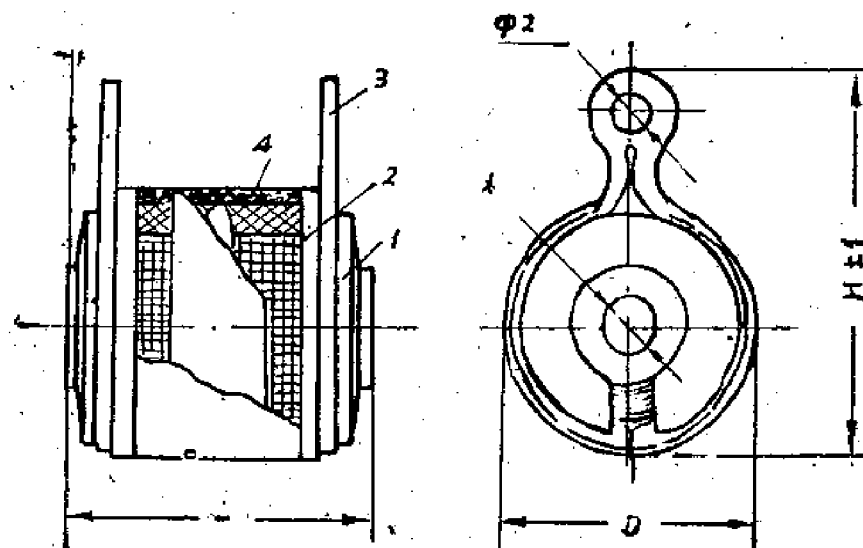


图9—204 DT型精密绕线电阻器

1.陶瓷骨架 2.电阻线绕组 3.引出端 4.外绝缘保护层。

多层绕线电阻的计算可进行如下：

(1) 导线直径：

$$d = \sqrt{\frac{1.27 I_0}{j}} \text{ 毫米} \quad (9-206)$$

其中 $j = 2 - 4 \text{ 安}/\text{毫米}^2$ 。

(2) 导线长度

$$L = 0.785 \frac{R d^2}{\rho} = \frac{R}{R_1} \text{ 米} \quad (9-207)$$

(3) 平均匝距长度：

$$l_{cp} = \frac{\pi(D_o + 0.5t)}{100} \text{ 米} \quad (9-208)$$

其中： D_o —— 骨架的外径。

t —— 绕制深度。

(4) 匝数：

$$n = \frac{L}{l_{cp}} \quad (9-209)$$

(5) 绕组在芯子内分布的检验：

在一層內的匝數

$$n_1 = \frac{l}{d_o}$$

其中： l ——繞組長度。

$$\text{层数 } m = \frac{n}{n_1} \quad (9-210)$$

繞制深度

$$t' = md_0 \quad (9-211)$$

如果繞制深度 t' 大大地小於 t ，則應增加導線直徑。如果 t' 大於 t ，則應選用具有大芯子的其它骨架。

(6) 冷却的檢驗：

$$\pi(D_o + t)l \leq SW \quad (9-212)$$

其中： $S = 20-25\text{ 厘米}^2/\text{瓦}$

多層電阻器在繞線機上繞制。為了提高耐潮性，在繞制後用浸漬材料來浸漬。

4. 高頻綫繞電阻器：

前面已經述及一般的綫繞電阻器只能應用在工業頻率以及很有限的音頻範圍內，當頻率接近20千赫時，就需要用雙綫繞法，而當採用特殊繞法時，可使綫繞電阻在數百千赫的範圍內只具有很小的電抗分量。

為了在較高的頻率下具有較好的質量，通常必須同時減小其固有電感和固有電容，雙綫繞法可使電感減小，但固有電容仍可能相當大，採用直徑尽可能小的骨架以及應用高比阻（鎳鉻合金）的細電阻絲也有助于電感的減小，分段繞法或單綫繞法以及採用介電系數小的材料作骨架有助于減小分布電容，而單綫繞法和雙綫繞法同時採用，再正確選擇兩種繞法的匝數比，可使電阻在頻率達100千赫時仍有相當好的質量。

為了同樣目的，可採用圖9—205所示的幾種電阻器的繞制型式。

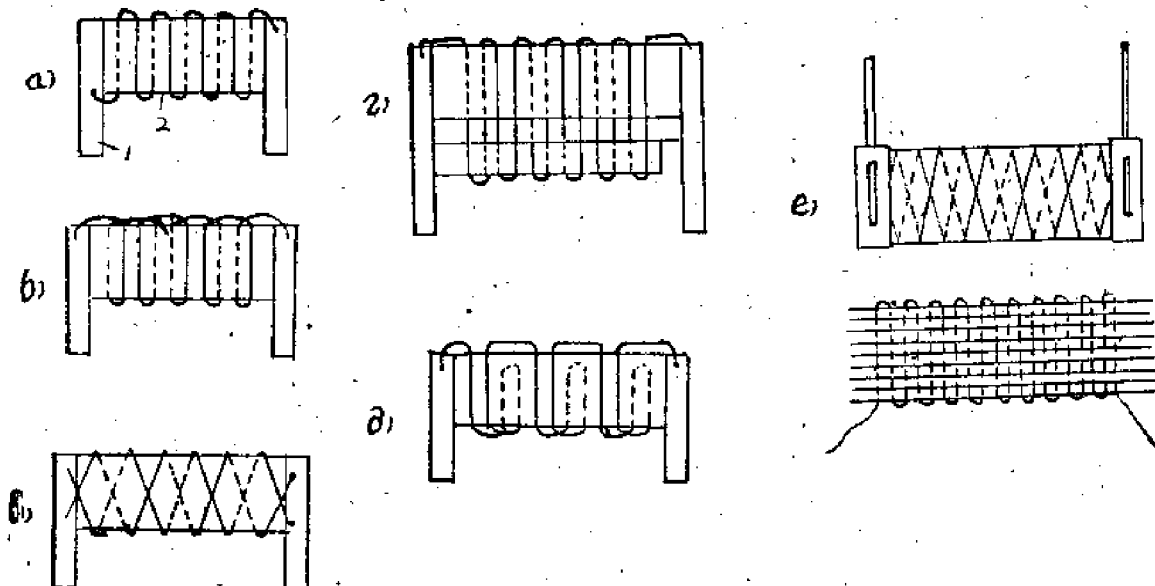


圖9—205 高頻綫繞電阻的繞組類型

1——引出端 2——云母片作成的骨架

- a) 簡單捲法
- b) 6) 銀鍍法捲法
- c) 由兩個互相反繞並聯組成的並聯捲法
- d) "8"字形捲法
- e) 串聯双線無感捲法
- f) 在棉紗帶徑線上編織成的

其中的 a) b) c) d) 和 e) 适应于低欧电阻，而 f) 和 g) 适应于较高欧电阻，这种繞法的电阻可用于 1—1.5 兆赫以下的频率。

用于更高频率（10 兆赫以下）的电阻是由布置在金属薄片上很细的导线来制成的，由于金属片的去磁作用，导线的电感可以降低。

制造高頻电阻的高阻合金絲的直徑尽可能选得小一些，以便减弱趋肤效应和邻近效应的影响，表 9—9 中列出了当各种高欧合金線的高頻电阻 R_1 高于该导线直流电阻 R_0 1% 时的最大直徑之值。

为了获得电阻值对频率的最高恒定性，应当选取直徑尽可能小的导线。

高頻綫繞电阻的最实际的应用是作为测量相应频率的设备回路的等效负载电阻，

表 9—9 在 $\frac{R_1}{R_0} = 1.01$ 时导线直徑之值（毫米）

频率（千赫）	100	200	400	600	1000	1400	2000	3000
锰镍合金	1.78	1.26	0.89	0.73	0.56	0.48	0.39	0.35
铜镍合金	1.89	1.39	0.95	0.77	0.60	0.51	0.42	0.35
镍 絲	1.94	1.37	0.97	0.79	0.64	0.52	0.43	0.35
镍铬合金	2.60	1.75	1.30	1.00	0.805	0.70	0.585	0.475

II. 線繞可变电阻器：

线繞可变电阻器应用于电子管电路和电机械計算设备中，按结构线繞可变电阻可分成三类：

1. 具有接触系统的可变电阻器：在接触系统的各接点上接有固定电阻器，它具有高的計数准确度，用于测量技术中，可变电阻箱就是其中的一种应用。

2. 具有直线运动的活动接触件的可变电阻器。前述的 II9B-X 型线繞电阻就是其中的一种型式，此外，这类电阻可用扁平型长骨架做成，还可具有裸露式的。这种电阻器常用来调整电子管的灯絲电流，管状结构的电阻器由于在设备中安装很方便而得到了最广泛的应用。

圖 9—206 示出这种类型的敞开式变阻器的一种结构形式，其额定功率为达 0.75 瓦，可工作于温度从 -60°C 到 $+70^{\circ}\text{C}$ ，相对湿度达 93% 以及大气压力达 41 毫米水銀柱的情况下。

当轉动调节螺钉 11 时，带有滑动触点 5 的滑块 10 可以沿导杆 13 移动，为了改善滑板 10 与夹板 12 的接触，滑块具有专门的附加可动接触件 16，它也沿着与夹板 12 相連接的导杆 13 滑动。变阻器用带螺母 15 的螺栓 7 固定到设备的底板上，此时，为了使夹板 12 与底板 1 绝緣，可用两个介質套筒 6 和 14，在同一圖上也示出底板 1 上定位孔 2 的分布。

3. 具有旋转运动的活动接触臂的可变电阻器：按阻值对接触臂轉角的变化规律可

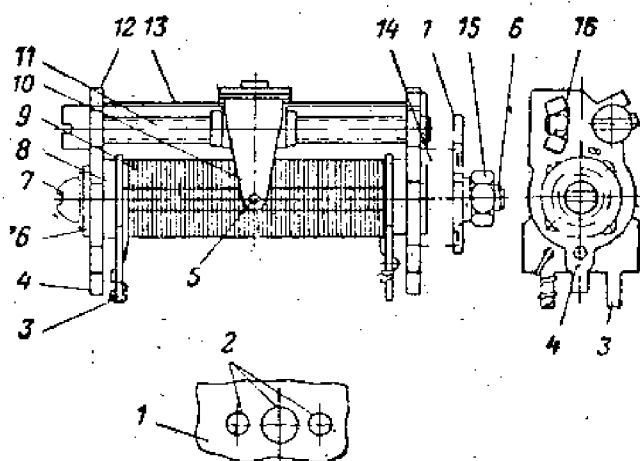


图 9—206 线绕电阻器

1.底板 2孔 3.4連接外部導線處 5.滑動触点 6.11介質套筒 7.螺栓 8.陶瓷
骨架 9.电阻絲 10.滑塊 11.螺釘 12.夾板 13.导杆 14.15.螺母 16.可动触点。

分为两类，即线性的和函数式的。

这种可变电阻器的结构很多，现在我们来讨论某些典型的例子：

苏联工业生产的III1型线绕可变电阻器，其额定功率为1瓦，额定阻值有47、5.6、6.8、8.2、10、12、15、18、20、22及24欧等数种。可工作于温度由-60°C到+85°C，相对湿度达98%，以及大气压力达15毫米水银柱的情况下，耐磨性为5000次迴轉，保证的使用期限为1000小时，III1型电阻器的结构示于图9—207。

如图所示，高阻合金丝8缠绕在塑料板片9上，板片9折弯成圆弧形并装固在塑料的基座10上，沿着电阻丝具有可以滑动的小滑臂7，小滑臂固定在具有起子槽的轴13上，小滑臂的主部19具有与固定的引出端5相连接的滑动触点。小轴可以在嵌入塑料基座10内的轴承（黄铜套筒）18内转动，用开口垫圈5对轴作轴向固定。整个电阻器用旋子套筒18上的螺母12固定在设备底板的圆孔1内，螺母12与底板2之间垫入用来制止转动的弹性开口垫圈11。为了避免在震动和冲击的情况下小滑臂7的偶然位移，预先用螺母17对轴进行附加制转，其中的螺母17具有与套筒18弹性构件14（由套筒终端的纵向切口得到）的锥形表面相接触的锥形面。该图旁边示出没有紧固螺母17的轴端头的较为简单的结构型式，这种型式在不移动式设备中采用。电阻器壳体上的凸部6插入设备底板2的附加定位孔3内，以防止在运用时电阻器产生转动。

从这种典型的结构中可以看出，这种可变电阻器结构的基本部分为：电阻元件，接触臂以及机械固定零件，其中电阻元件的结构形状决定了阻值与转角的关系，对于线性的可变电阻器，电阻元件的骨架具有沿长度的均等的截面，对于函数式的可变电阻，其截面是不均等的。图9—208示出了骨架不均等的函数式线绕可变电阻器电阻元件结构的例子。

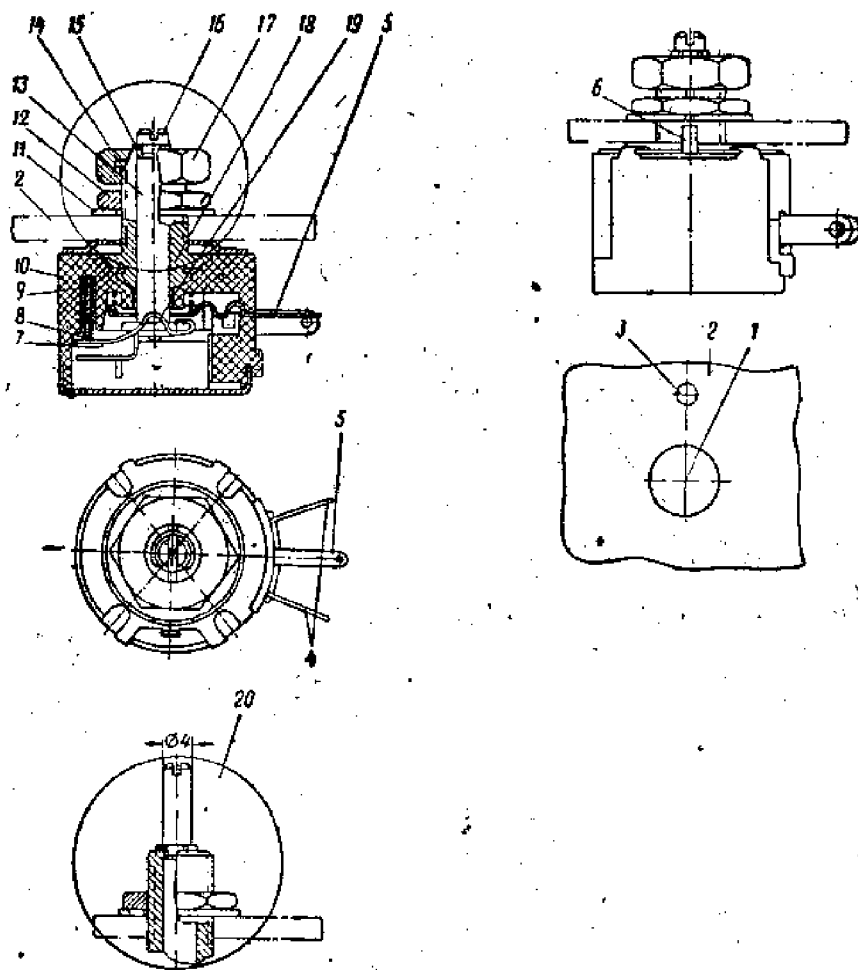


图9—207 线捲可变电阻器

- 1.8—设备的底板上的孔 2—底板 4.5—引出端 6—固定用的凸部
- 7—小滑臂 8—电阻丝 9—片形骨架 10—基座 11—锁紧垫圈
- 12—螺母 13—轴 14—弹性构件 15—开口垫圈 16—起子槽
- 17—螺母 18—套筒 19—滑臂的主部 20—轴端头的另一种结构形式

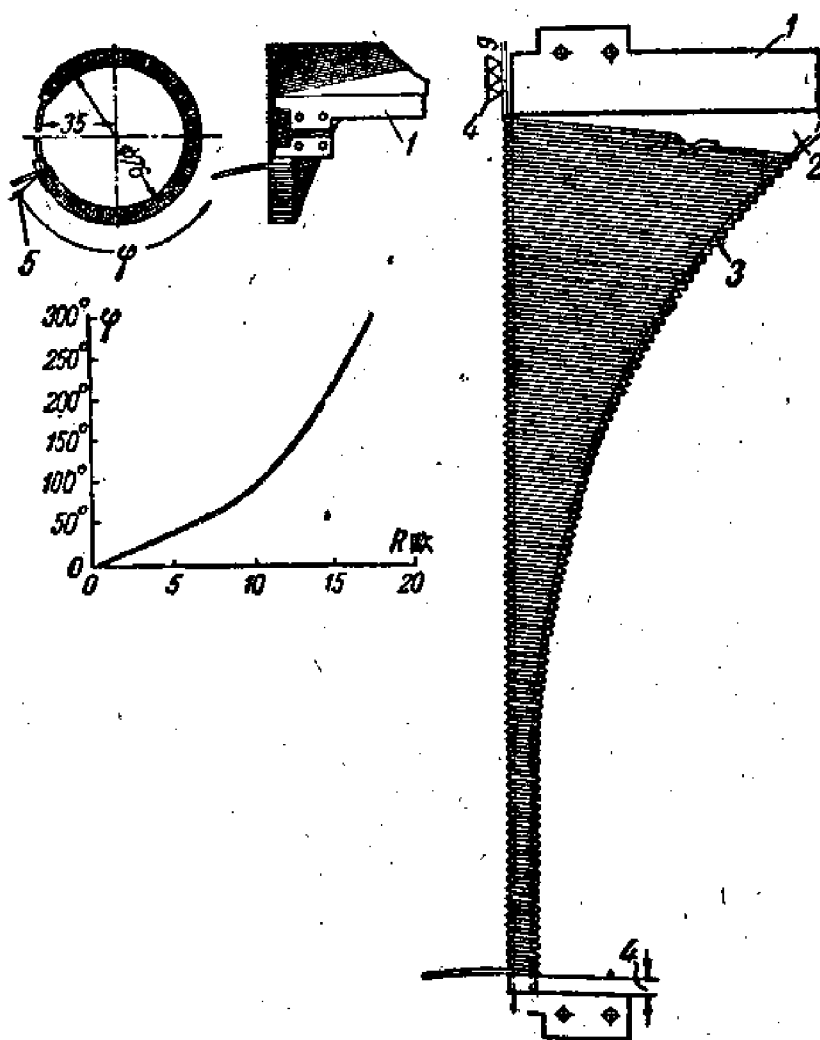


图9—208 不等长匝距的可变电阻器

1—骨架(金属的); 2—石棉衬垫; 3—氧化的康铜导线, 直径0.86公厘;
4—磨去0.1—0.15公厘深; 5—相当R最小的位置。

在这个例子中结构的其余部分和III型电阻器类似。

缠绕可变电阻器的可动触点在调整时，通常由一匝跑到相邻的一匝（或几匝），因而阻值与转角的关系并不是平滑的曲线，如图9—209所示。

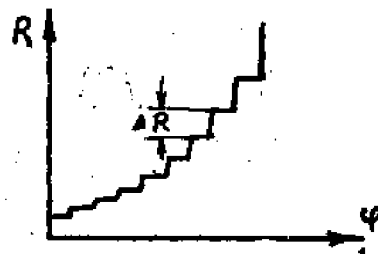


圖9—09 阻值变化曲線圖

但是，在要求阻值精确度較高的設備中使用时，要求具有良好的平滑性，阻值变化的平滑性，除了与活动接触点的結構和纏繞工作的好坏有关外，还决定于电阻元件的結構。当电阻元件骨架的截面較小（即每匝长度較短），电阻絲很細、而骨架長度很长时，由于一匝（或几匝）的电阻 ΔR 很小，因而可获得較好的平滑性。“弦形可变电阻器”就是基于这个原理設計的。它的电阻元件骨架是細长的圓柱体（形状与“弦綫”相似），細的电阻絲纏繞于其上，圖9—210示出具有二圈的弦形电位器，它具有較小的阻值变化范围，圖9—211示出具有数圈的弦形电位器，它具有較大的阻值变化范围。这种电位器的基本优点是阻值的精确度較高，缺点是尺寸較大。

在某些設備中有时也采用正弦或余弦变化規律的电阻器。

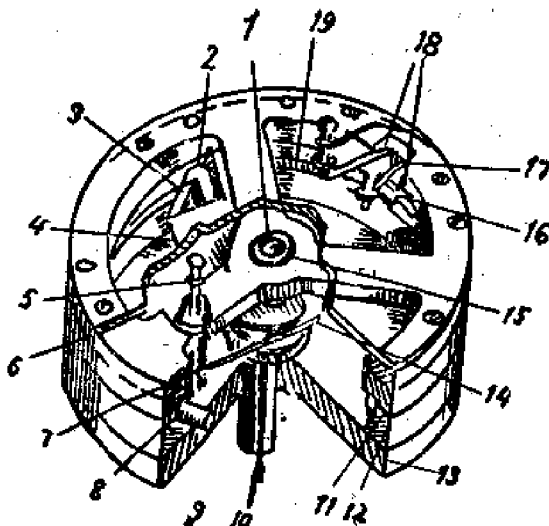


圖9—210 RL—210型弦型电位器圖

- 1——具有轴承的上底座 2——纵向棒形鉻銀合金接触刷子直徑为0.5毫米 3——接触弹簧 4——接触臂 5——刷子的引出端 6——外壳 7——集流环 8——集流环的固定装置 9——嵌压入的轴承装置 10——不锈钢的电位器轴 11——紧固弦形骨架用的上绝缘垫圈 12——紧固弦形骨架用的下绝缘垫圈 13——具有轴承的下底座 14——集流脚 15——嵌压入的轴承 16——连接桥 17——电阻元件的引出端 18——繞組的引出端螺柱 19——弦形电阻元件。

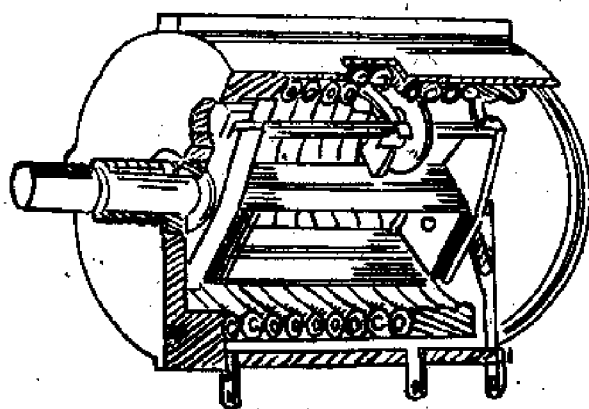


圖9—211 “Геншот”型的多圈旋轉電位器的略圖

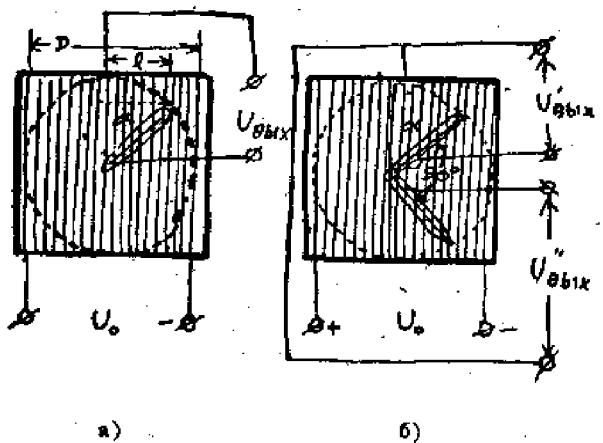


圖9—212 旋轉觸臂的正弦函數電位器示意圖

最簡單的获得正弦（或余弦）关系的电位器的原理圖示于圖 9—212 中，它們的電阻元件是繞有均匀繞組的絕緣平板，輸出电压由滑动臂接触点和电位器繞組的中点 0 引出。

在圖 9—212a 的电位器中，輸出电压 U_{BMX} 与輸入电压 U_o 之間是按正弦規律变化的。由圖可見輸出电压是由滑动接触点与电位器繞組中点 0 引出的。由于滑动接触点繞支点而作圓周旋轉，圓周的直徑为 D 。因而，距離 l 与直徑 D 之間滿足正弦关系，即 $l = \left(\frac{D}{2} \right) \sin \alpha$ ，所以輸出电压 U_{BMX} 与加于电位器的总电压 U_o 的比值为

$$\frac{U_{BMX}}{U_o} = \frac{l}{\frac{D}{2}}$$

$$\text{即 } U_{BMX} = \left(\frac{U_o}{2} \right) \sin \alpha.$$

在圖 9—2126 的电位器中，具有二个滑动接触点，它们彼此偏移 90° 角度。这种电位器可同时得到正弦电压与余弦电压的变化规律。

$$U_{\text{sinx}} = \left(\frac{U_0}{2} \right) \sin \alpha$$

$$\text{与 } U_{\text{cosx}} = \left(\frac{U_0}{2} \right) \sin (90^{\circ} + \alpha) = \left(\frac{U_0}{2} \right) \cos \alpha$$

在圖 9—213与圖 9—214中示出了函数式电位器（正弦型或余弦形的）的结构。前一种电位器的变化是当固定刷子时，转动骨架而得到的，在后一种电位器中是用当固定骨架时，转动刷子的方法来达到的。

从上述的线绕可变电阻器与电位器的结构可见，其结构的基本部分为：电阻元件、接触刷及固定零件。

(1) 电阻元件：

电阻元件是由绕于各种骨架上的导线组成。绕组导线一般采用镍铬合金导线或康铜导线，锰铜镍合金导线由于易于腐蚀而很少采用。在重要场合下，为提高耐蚀性采用以贵金属为基体的合金制造的导线（见表 9—4）。

为了制造准确的电阻器，必须采用沿长度具有很小电阻线性误差的导线。沿导线长度电阻的线性误差决定于两个原因：导线直径的不准确性及导线材料沿长度的不均匀

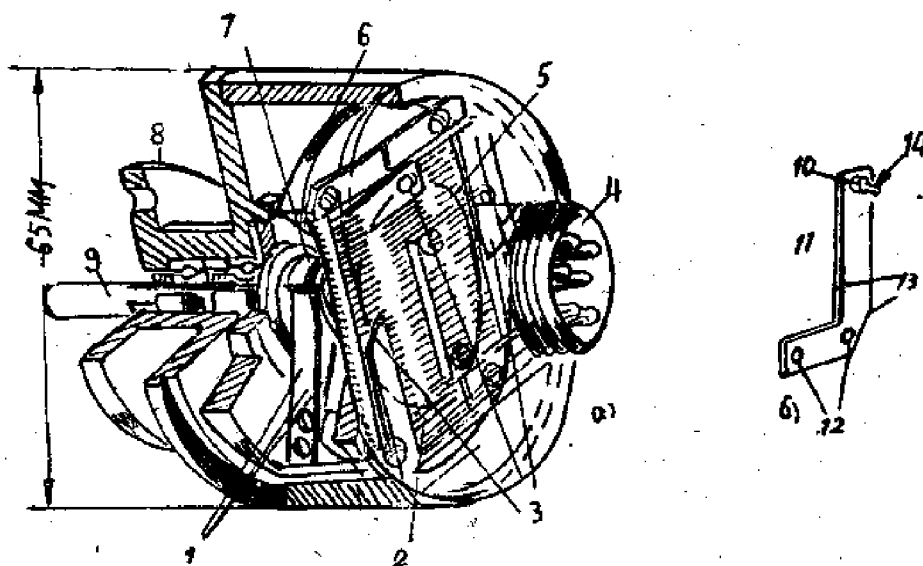


图 9—213 RL—11型电位器的略图

a) 电位器的剖视图 b) 接触刷的略图

- 1—馈给电位器的接触刷 2—接触路径 3—四个接触刷 4—电端插头
- 5—电位器的绕阻缠在弯曲片形骨架上 6—胶木转子，其上固定有骨架
- 7—集流环（第二个环未示出） 8—固定电位器用的凸缘 9—电位器轴
- 10—焊到接触杠杆上的铜套管 11—两块焊在一起的平面磷青铜弹簧片为了增加接触杠杆的刚度 12—把接触杠杆紧固到胶木外壳上的孔 13—一片磷青铜给接触杠杆以可弯曲性 14—焊在铜套管上的炭刷

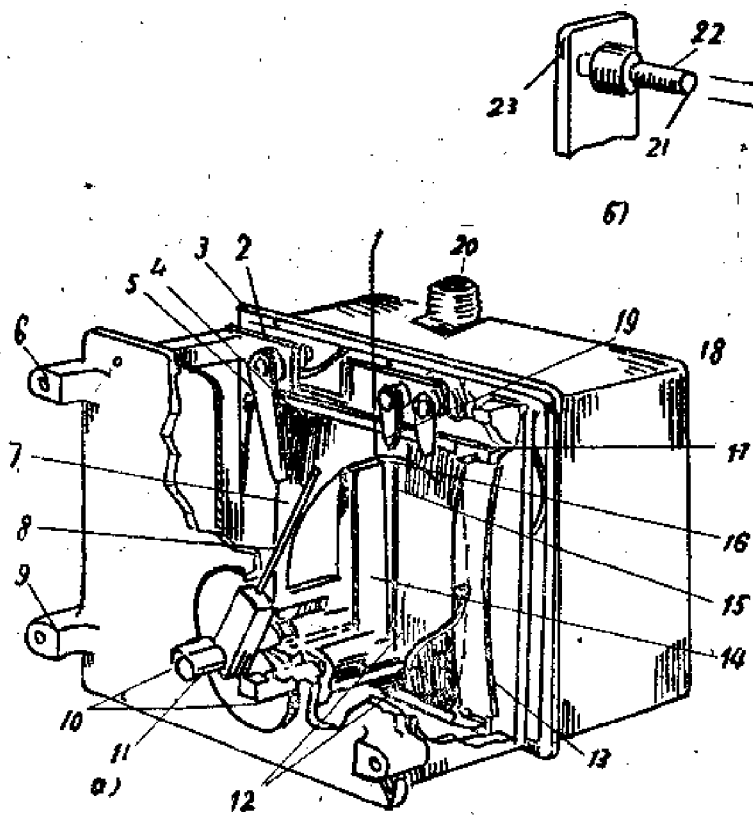


圖 7 —— 214 RL-294型非線性電位器的略圖

- 1—電位器的剖視圖 6—接觸刷略圖
- 1—接觸路徑 2—固定電阻元件的膠木板
- 3—不透水塗層 4—電位器繞組繞在彎曲的膠木片狀骨架上
- 5—具有 10° 頃角的引出端 6—緊固電位器用的凸耳
- 7—位於骨架凸出邊的線面上面部分 8—用手轉動刷子的杠杆
- 9—緊固電位器用的凸耳 10—限制刷子轉角的制動器 11—電位器軸
- 12—把電流引到接觸刷的軟導線 13—線面的下面部分被彎曲骨架拉緊
- 14—制動器，限制當電位器抖動時接觸杠杆的擺動
- 15—接觸杠杆 16—接觸刷 17—具有 10° 頃角的引出端
- 18—金屬外殼 19—具有 0° 頃角的引出線端
- 20—電線插頭 21—鉛鎳合金的仔細‘光的半球形接觸頭’
- 22—黃銅絲，其上焊有接觸頭 23—黃銅接觸杠杆。

性，为了减小沿导线长度的电阻线性误差，常对导线采取校准。其中电抛光法得到了良好的效果。这个方法的本質仍是使被校准的导线通过电解槽，在槽内按导线电阻的不均匀性溶解掉金属的方法使沿导线整个长度具有相同的电阻。电解液对镍铬合金采用硫酸；对康铜是正磷酸、硫酸、铬酐和水的混合液。

绕组的骨架也决定着电阻器的准确度和质量。骨架应具有准确的尺寸与足够的机械强度。

按骨架的形状可分成环形的、扁平的、柱型的及弧形的。(圖9—215)

环形骨架(圖9—215。a, b, c, d)在繞制时比較复杂，但在繞制后不要經受任何变形，并允許不限制接触刷的圓形运动。环形骨架也可以具有阶梯形截面，以得到必要的函数关系(圖9—216)。

圖9—215d的平面形骨架得到广泛应用，这种骨架繞制比較方便，但是在繞制后要經受弯曲可能引起变形。有时平面形骨架的弯曲在繞制前进行。但是由于有剩余变形，它的質量是比环形的要差。

圖9—217中示出几种平面形骨架的形状。圖9—217a是用于綫性电位器的。圖9—217b及c是用于函数式电位器的。圖9—217d所示的骨架最小与最大高度之比不应小于1:10。否则将使骨架变脆并使其固定复杂化。骨架中切口的最大傾斜角不应超过15°，因为在大的傾斜角时会使繞組線匝發生滑动。

圖9—217e的骨架是用于余弦或正弦函数式电位器。

骨架材料可利用塑料、陶瓷与金属。

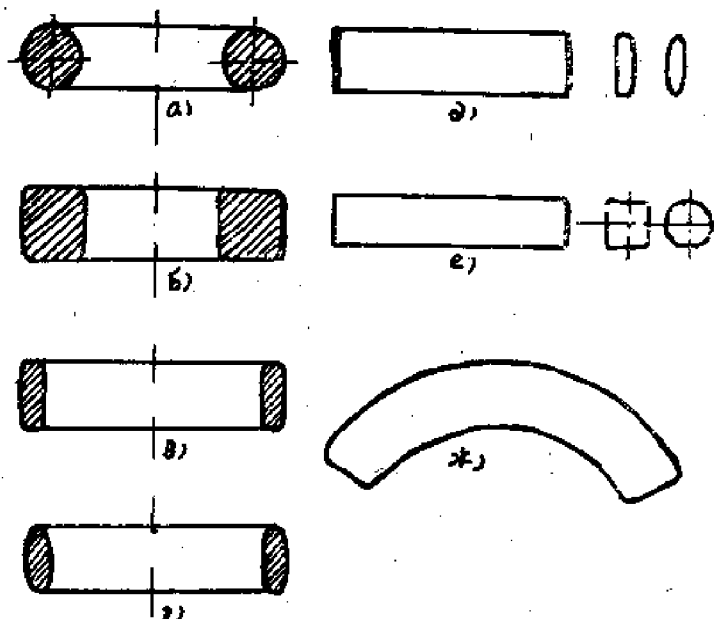


圖9—215 电位器骨架的形状

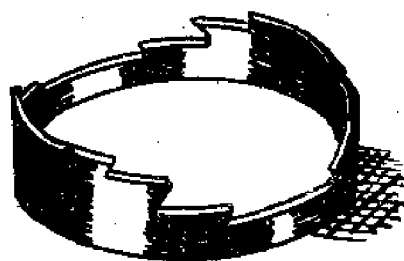


圖9—216

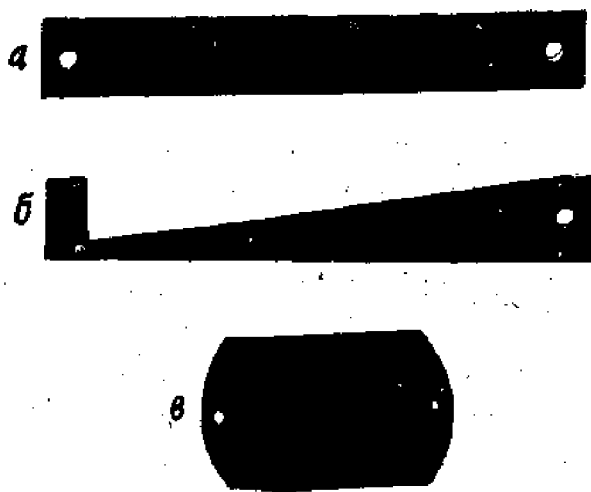


图9—217 电位器平面骨架的形状

塑料骨架最常采用的是纸胶板或布胶板，厚度为0.5—1.2毫米。主要用来制造平面形骨架，这类骨架是用冲压的方法来制造。

用压塑粉制的骨架一般是带有各种截面的环形。它们是用压制法或压铸法来制造。

陶瓷骨架一般制成环形的骨架，它们主要用于低准确度与大功率的线性电位器中。

金属骨架用于制造高准确度的电位器，一般制成环形或弦形。环形金属骨架是在车床上或铣床上进行加工，表面光洁度不应低于7级。在骨架表面要涂复上绝缘层并用漆来浸渍。

弦形骨架一般用带聚乙烯绝缘的铜导线来制造。为了得到直径均匀的骨架，导线先要进行校准。

导线的绕制是在专门的绕线机上进行的。

导线与引出端的连接采用夹紧、钎焊或熔焊的方法。

电位器的接触路径可用三种方法来清洁：机械的、化学的及超声波的。

(2) 接触刷：

接触刷的作用是从接触路径上集流，对于接触刷的基本要求是：接触的可靠性，小的和在时间上恒定的过渡电阻，小的骨架绕组磨损。

接触刷可以具有极为多样的形式，在图9—218示出了最常采用的接触头形式，

实践指出，对于线绕电位器的最好的接头是圆柱体，其轴与绕组导线的轴平行，在这种形状下接触头同时不与多于两根线匝相接触，因此只短路一匝。

在图9—219示出了圆柱形接头的形状。

圆柱形接触头的最佳直径在自0.25到1毫米的范围内，而且对于具有小绕距的细绕组导线选择较小的圆柱体直径，对于具有大绕距的粗导线选择大的直径，制造接触头的材料对于接触质量具有很大的意义，

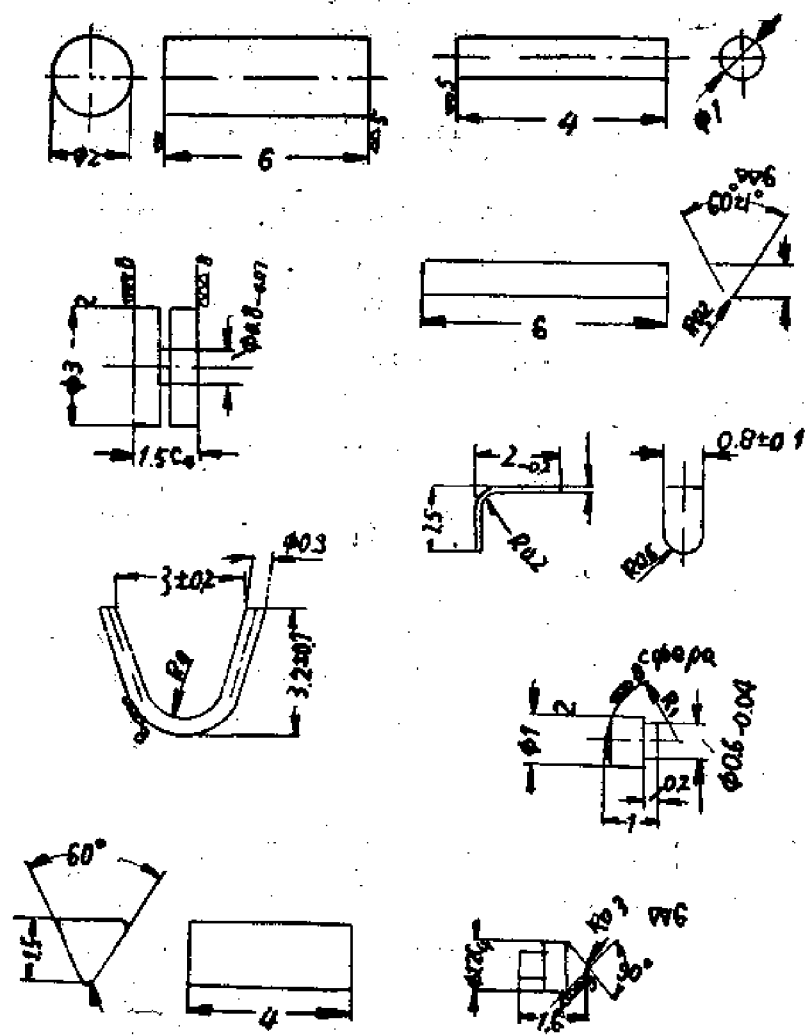


图9—218 最常采用的接触头形状

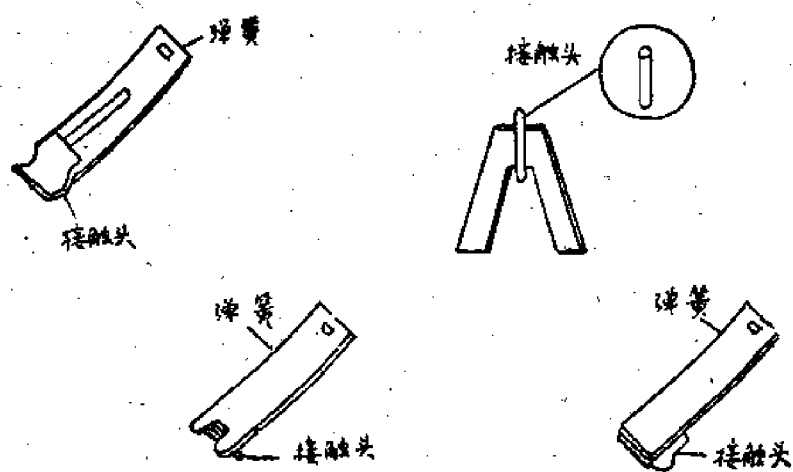


图9—219 圆柱形接触头的形状

在表 9-10 中列出了滑动接触头的材料数据。

在表 9-11 中给出了最常采用的贵金属成分的百分含量；在表 9-12 中给出了这些金属的物理性能和接触性能。

对于青铜类导线必须采用较软的合金作为接触头，对于镍铬类的导线采用较硬的合金。

在某些不很重要的电位器中采用磷青铜接触头，这种接触头质量低。

过渡电阻与接触材料、工作条件及压力有关，过渡电阻与压力有关只有在小于某压力时才出现，大的压力实际上并不改变接触电阻。（对于贵金属的导线和接触点比压在 1—4 克范围内）在很多情况下，接触头的压力值确定等于 40—50 克（导线是镍铬合金或康铜的，接触头是贵金属合金的）。

表 9-10 滑动接触头的材料

材 料	符 号	成 分 的 百 分 比	合 金 的 类 形	熔 点 ($^{\circ}$ C)	密 度 (克/厘米 3)	退火过材 料的硬度		比 电 阻 10^{-6}	导 热 度 $^{\circ}$ C	电 弧 成 参数 U (伏)	
						布 氏	维 氏			在短路时	在断路时
铂	Pt	—	纯金属	1733	21.4	50	39	10.6	0.7	15.5 1.0	0.16 0.02
钯	Pd	—	同 上	1534	—	501	—	10.78	0.41	—	—
铱	Ir	—	"	2454	—	1705	—	4.30	0.59	—	—
钴	Co	—	"	1490	—	1252	—	6.80	0.70	—	—
银	Ag	—	"	961	10.5	25	23	1.58	4.16	12.3 0.48	0.39 0.003
铂—铱	ПИ-25	25	固熔体	1849	21.75	270	250	33.5	—	15.2 1.0	0.014 —
同 上	ПИ-10	10	同 上	1780	21.5	150	120	24.5	0.31	29.0 0.74	—
钯—铱	ПДИ	—	"	1580	12.6	—	110	27.0	—	—	—
钯—银	ПДС	—	"	1330	11.0	22	95	35.8	0.31	—	—

表 9-11 最常采用的接触合金的成分含量 (%)

合 金 的 牌 号	铱	铑	银	钴	钯
ПДИ-10	10±0.5	—	—	—	其余的
ПДСК-35	—	—	85±1.5	5-10	"
ПДС-20	—	—	40±1.0	—	"
ПДС-60	—	—	80±1.0	—	"
ПДР-10	—	10±0.5	—	—	"

表9—12 接触合金的物理性能和接触性能

合 金 的 特 性	ПДИ—10	ПДСК—35	ПДС—20	ПДС—80	ПДР—10
1.比重	72.6	11.1	11.2	10.7	12
2.比电阻(欧毫米 ² /米)	0.27	0.30	0.44	0.06	0.25
3.维氏硬度，当负荷为5公斤时(在900°C退火后)	110	1792	120	62	93
4.当负荷为50公斤时的平均过渡电阻(样品3毫米，接触球面的半径10毫米)(欧姆)	$7 \cdot 10^{-3}$	$14 \cdot 10^{-3}$	$9 \cdot 10^{-3}$	$2 \cdot 10^{-3}$	$7 \cdot 10^{-3}$

关于过渡电阻可按图9—220的曲线来判断。

接触头是由校准过截面的导线用冲压的方法制造的，在制好接触头后，沿着绕组匝移动的接触表面要磨光。

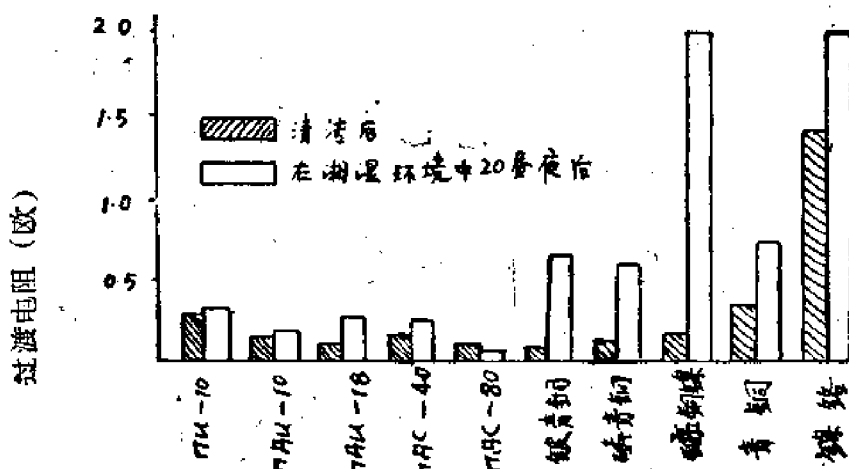


图9—220 过渡接触电阻值

在绕组匝上的必要的接触压力是以接触弹簧来保证的，接触弹簧一般是平面形的，用弹性材料制造，最常采用磷青铜。

接触头与接触弹簧的连接可以用夹紧钎焊或熔焊的方法来进行。

3. 固定零件：

电位器的外壳应该制造成具有必要的准确度，外壳用金属，最常用铝合金来制造，对于精度要求低的电位器外壳用塑料制造。

电位器的轴用软钢或黄铜来制造，在制成后轴要经热处理。

对于电位器最常利用滑动型的轴承，在某些情况下用滚珠轴承。

在某些特别重要的情况下，电位器放在充有惰性气体的密封壳内。

4. 电位器的计算：

(1) 线性电位器：用下列基本数值来表征（参见图9—211）

R_0 ——总电阻（欧）。

$l_0 (\alpha_0)$ ——最大位移（毫米或度）。

d ——不带绝缘的绕组导线直径（毫米）。

ρ ——比电阻（欧·毫米/米）。

H ——骨架的高度（毫米）。

B ——骨架的厚度（毫米）。

l ——线匝的长度（毫米）。

n ——匝数。

L ——绕组导线长度（米）。

t ——绕距（毫米）。

$\Delta R = R_0/n$ ——计数能力（欧）。

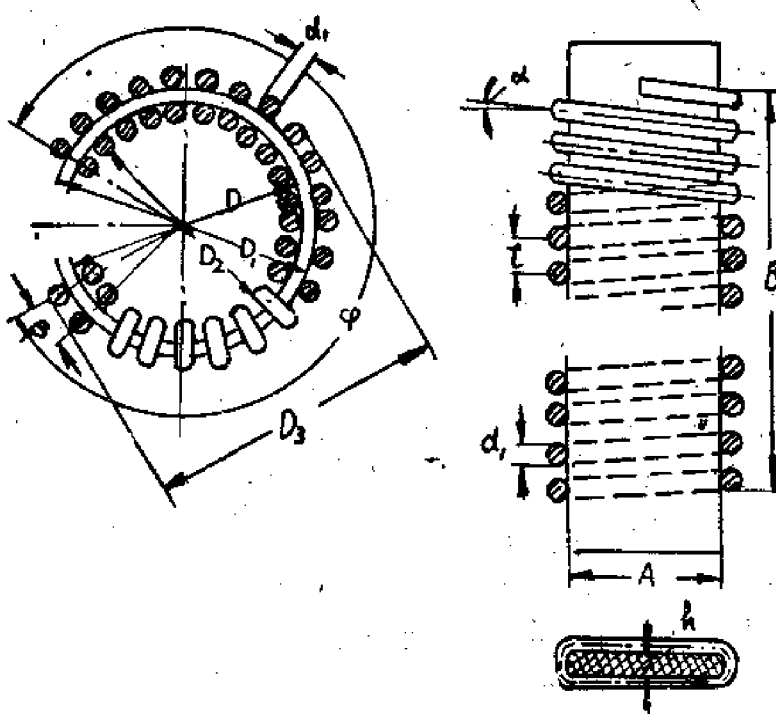


图9—221 在弯成环形的平面骨架上的电阻器的绕制

对于绕制在平面骨架上而后弯成环形的电位器可以用下列公式：

$$l = \frac{2H + 2B + \pi d_1 f}{\cos \alpha} = \frac{10^3 L}{nk} = \frac{78 s d^2 \Delta R}{\rho k} \quad (9-213)$$

其中： d_1 ——带绝缘导线直径。

f ——考虑到导线在骨架上弯曲特点的系数，对于用比导线软的材料的骨架

$f=0.82$ ，对于硬材料的骨架 $f=1.05$ 。

k ——考虑到在绕制时导线拉长的系数， $k=0.97$ 。

匝数:

$$n = \frac{R_o}{\Delta R} = \frac{10^3 L}{k t} = \frac{\varphi}{B} = \frac{785 R_o d^2 \cos \alpha}{\rho k (2H + 2b + \pi d_1 f)} = \frac{l_o - d_1}{t} \quad (9-214)$$

繞組導線長度 (米) :

$$L = l_o k t \cdot 10^{-3} = 0.785 \frac{R_o d^2}{\rho} = \frac{(2H + 2b + \pi d_1 f) k n}{\cos \alpha} \quad (9-215)$$

繞組長度 (毫米) :

$$\begin{aligned} l_o &= n t + d_1 = 785 \frac{R_o d^2 t}{\rho k} + d_1 = \frac{(D+B)\pi\varphi}{360} + d_1 \\ &= \frac{L \cos \alpha \cdot 10^3}{K(2H + 2b + \pi d_1 f)} + d_1 \end{aligned} \quad (9-216)$$

繞距 (毫米) :

$$\begin{aligned} t &= \frac{l_o - d_1}{n} = \frac{(l_o - d_1) \rho k}{785 R_o d^2} = \frac{(D+b)\pi\varphi}{360 n} \\ &= \frac{(D+B)\pi\beta}{360} \end{aligned} \quad (9-217)$$

$$\tan \alpha = \frac{t}{2H + 2b + \pi d_1 f}$$

$$\beta = \frac{\varphi}{n}$$

有效轉角範圍:

$$\phi = \frac{(l_o - d_1) \cdot 60}{(D+B)\pi} = \frac{785 R_o d^2 t \cdot 360}{\rho k \pi (D+b)} = \beta n \quad (9-218)$$

$$D = \frac{(l_o - d_1) \cdot 360}{\pi\varphi} - b = \frac{785 R_o d^2 t \cdot 360}{\rho k \pi \varphi} \quad (9-219)$$

$$D_1 = D + 2b$$

$$D_2 = D - 2d_1$$

$$D_3 = D + 2b + 2d_1 = D_1 + 2d_1$$

为了能把骨架变成环形，必须满足下列条件:

$$t \geq \frac{(D+b)d_1}{D-d_1} \quad n \leq \frac{\pi\varphi(D-d_1)}{36d_1} \quad (9-220)$$

(2) 函數式電位器:

在計算函數式電位器的基本任务是求出骨架的截面，即求出骨架高度 H_x 与骨架长度 l_x 的关系。

这一任务可以解决如下。令给出决定关系 $R_x = \psi(l_x)$ 或另一关系式 $H_x = \psi(l_x)$ 的截面 (图9-222)。

导线在骨架上均匀绕制，而且在单位骨架长度上的匝数等于 n/l_{10} 。

当从位置 l_x 移动电位器的接触头以不大的区段 dl_x 时，电阻值的增量 dR_x 等于：

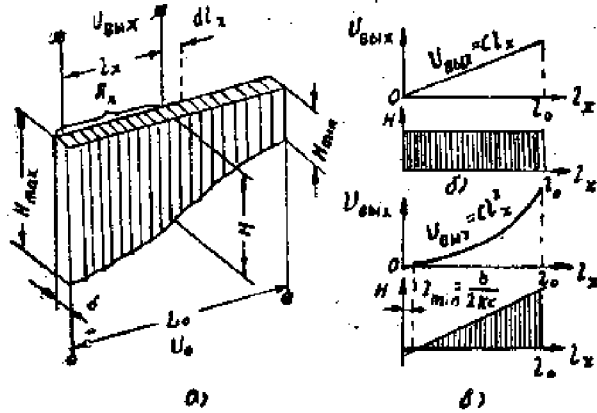


图 9—222

$$dR_x = \rho \frac{n}{l_0} \frac{dl_x k_{cp}}{q} \approx \frac{\rho n}{k_0 q} 2(H_x + B) dl_x \quad (9-221)$$

其中： ρ ——导线的比电阻，

q ——导线横截面的面积，

k_{cp} ——在距绕组始端为 l_x 时绕组匝数的平均长度。

H_x ——在距绕组始端为 l_x 时骨架的高度。

B ——骨架的厚度。

变换公式 (9-221) 我们得到：

$$H_x = c \frac{dR_x}{dl_x} - b \quad (9-222)$$

其中： $c = k_0 q / 2 \rho n$

因此当给定电阻值对骨架长度的变化规律 $R_x = \varphi(l_x)$ 时，骨架高度的关系决定于下列表示式：

$$H_x = c \varphi'(l_x) - b \quad (9-223)$$

如果给定电压对骨架长度的变化规律 $U_x = \psi_1(l_x)$ ，则骨架高度对长度的关系决定于下列表示式：

$$H_x = c_1 \psi_1'(l_x) - b \quad (9-224)$$

其中： $c_1 = l_0 q R_0 / 2 \rho n U_0$

这里： R_0 ——电位器的总电阻 (欧)。

U_0 ——外加在电位器绕组两端的电位值 (伏)。

如果决定电位器截面的曲线斜度超过 15° 则为了防止在绕制时线匝滑落，应作成阶梯形的骨架截面，如图 9-223。

在遵循满足函数关系必须的准确度的范围内，可以用阶梯截面来代替骨架的光滑截面。

为了避免线匝掉落，当把导线绕在阶梯式骨架上时，在骨架的阶梯中应做成凸部如图9—224所示。

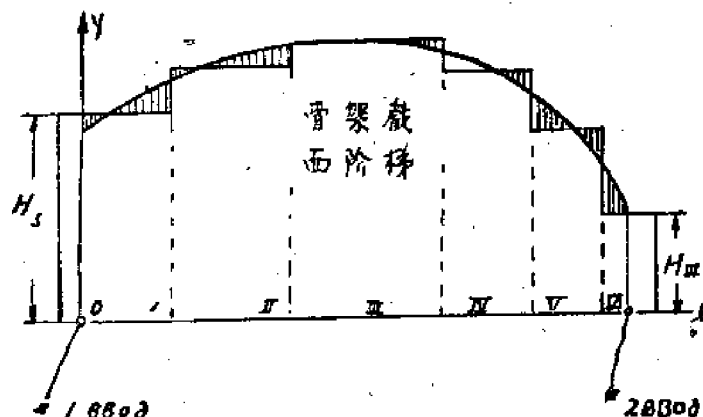


圖9—223 变阻器——电位器

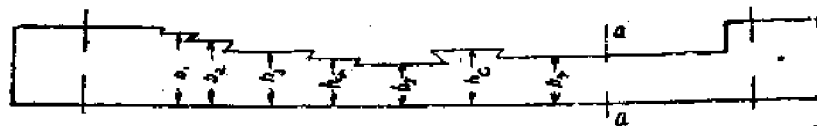


圖9—21

§ 9—3 非线绕电阻器

非线绕电阻器可以分成两种类型：

1. 以导体薄膜为基体的电阻器。这种薄膜是用沉积的方法、用氧化物还原的方法或用蒸發金屬的方法在絕緣骨架表面上获得的。

2. 合成体电阻器。是用粉状导体与胶合介质的混合物为基体。

I. 非线绕固定电器

1. 碳膜及硼碳膜电阻器

把陶瓷基体放入高温分解室（真空的或具有氧气含量不超过0.3%的中性气体中）内，使气态碳氢化合物 C_xH_y （例如庚烷蒸汽、汽油蒸汽或甲烷等）在足够高的温度下（900°C以上）进行热分解并发生去氢作用。这时，碳以石墨状结晶的均匀薄膜的形式沉积在基体表面上，形成碳膜电阻器的导流膜。

如果工艺过程正确，则该碳膜具有密实“光澤碳”的结构。因碳所组成的导流膜本身还具有耐热性、化学稳定性、高分散性、較大的电阻率，并且可用控制碳膜厚度的方法来获得不同阻值。

由于上述原因，碳膜电阻器具有一系列宝贵的特性，即比較良好的稳定性、受电压和频率的影响很小（实际上不受电压的影响）。固有噪声电平較低（相对于合成型来说）脉冲负荷稳定，温度系数不大并且是单值（負的），以及可以很精密地調整阻值等等。

因此，碳膜电阻器得到了最广泛的应用，它不仅可以作为一般用途的固定电阻器，也可以作为精密与半精密固定电阻和高频或特高频的固定电阻。

当阻值较高时，要求碳膜具有很小的厚度，这时其稳定性将降低。因此，最大额定值被限制为兆欧，对于小尺寸的电阻器，在恶劣的使用条件下，最好不采用阻值达兆欧的电阻。

碳膜不能耐受磨擦，因此不能用作具有可动触点的可变电阻器。

利用硼有机化合物，例如，最常采用的一硼三丙烷（丙基础） $(C_3H_7)_3B$ 或一硼三丁烷（丁基础） $(B_4H_9)_3B$ 等代替碳氢化合物，用同样热分解的方法可形成硼碳薄膜，在外形方面与碳膜区别很小，但比碳膜具有更小的温度系数（接近于线绕电阻），硬度较大、电阻率较大以及稳定性较高（在阻值与碳膜电阻相同的条件下）。

当阻值很高时，要求硼碳膜很薄，在这种情况下，硼碳膜的电阻温度系数也相应地增加到接近于碳膜的电阻温度系数，硼碳膜电阻的优点实际上已不存在。

为了增加电阻值，碳膜或硼碳膜电阻器常要用刻槽。对于高值电阻器用螺旋槽，对低值电阻器采用纵向刻槽（见图9—301）。有时为减小电阻器的固有电感，采用了特殊的刻槽方法（见图9—302）。

现在让我们讨论几种主要类型的碳膜及硼碳膜电阻器的结构及基本特性。

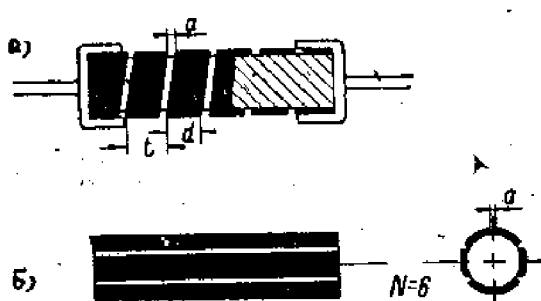


图9—301 薄膜电阻器刻槽的形式 a) 螺旋式的; b) 纵槽式的

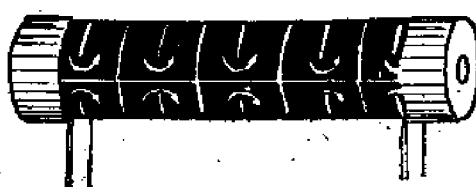


图9—302 具有小电感量刻槽的电阻器

(1) 一般用途的碳膜及硼碳膜电阻器：

BC型电阻器属于一般用途的电阻器，在无线电设备中的应用最广泛。其结构图示于图9—303中。

小功率（2瓦以下）电阻的基本是陶瓷棒（瓷柱）。对于大功率的电阻器，为了减轻其重量和改善其散热利用管状基体。为了减小碳层与金属附件之间的接触电阻，与引出端接触的地方涂复上胶状石墨或分子银的悬浮体，干燥后形成中间接触层。这一点对于低欧大功率电阻器来说特别重要。

表9—13

BC型电阳的主要参数

类 别	40°时的额定功率(瓦)	基体的最大尺寸(毫米)		单位负荷瓦/平方厘米	电 阻 值 欧	电 阻 值 瓦	最 大 电 阻 值 瓦	最 大 电 阻 值 瓦		最 大 电 阻 值 瓦		最 大 計 算 的 电 流 密 度 安/平方毫米		
		长	直 径					方 形 虚 阻 千 欧/平方厘米	螺 旋 膜 层 非 故 / 平 方 厘 米	連 續 電 壓 (有 效 電 壓) 銀 柱 以 下 在 20 毫 米 水 銀 柱 以 下 在 40 毫 米 水 銀 柱 以 下	脈 冲 電 壓	連 續 電 流		
BC—0.12 (YHM)	0.12	7	1.7	0.3	.90	20	1	17.5	5	100	400	400	12500	
BC—0.25	0.25	16	4.5	0.1	.95	27	6	35	4.5	350	750	750	450	14000
BC—0.5	0.5	24	4.5	0.13	.50	27	10	20	4.4	500	1000	1000	310	10000
BC—1	1	30	6.5	0.18	.65	47	10	27	8	700	1500	1500	950	11000
BC—2	2	48	8.5	0.165	.90	47	10	17.5	1.06	1000	2000	2000	205	63000
BC—5	5	75	15	0.1(0.16)*	.95	47	10	8.5	1.46	1500	5000	3000	275	85000
BC—10	10	120	25	0.07(0.1)*	.80	75	10	8.2	0.13	8000	10000	6000	155	5000

*括号内的数值包括没管内表面的单位负荷值。
叠棒的单位负荷根据整个表面计算，并包括其端表面。

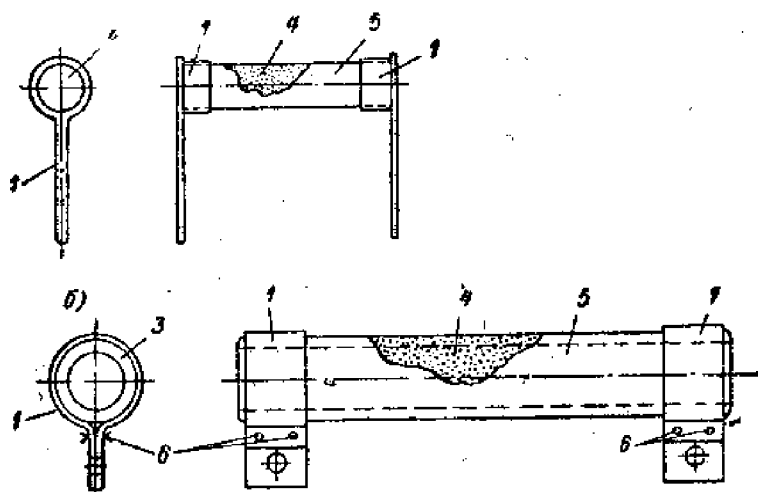


圖 9-303 BC型的結構圖

- 1—柱形 BC—0.25; BC—0.5; BC—1; BC—2
- 6—管状的 BC—5; BC—10; BC—15; BC—20; BC—60; BC—100
- 1—接触附件 2—基体(柱杆) 3—基体(圆管)
- 4—基体的碳表面; 5—保护涂层; 6—电点焊处

为了制造较高阻值的电阻，在导流表面层上做出螺旋形刻槽（因为未刻槽的阻值不超过15—25千欧，阻值小于500—1000欧的电阻器一般不刻槽）。

为了防止碳层受损伤和防潮起见，电阻器上要涂两层耐热的甘油邻苯二甲酸酯油基磁漆。阻值大于100—200千欧的电阻预先要涂以特别耐潮的甲酚甲醛漆，使用在热带条件下的电阻，保护层要更加加强。

BC型电阻器的参数列于表9-13，它们的主要定额列于表9-302。BC型电阻器的公差等级分为5%、10%及20%。

表9-14 BC 电 阻 的 主 要 规 格

規 格	阻值的最大 变 更 %	試 驗 条 件
负荷系数	由+2到-6	2%及200%的额定功率
老化系数	由+4到-6	100小时; 1.5—3PH; 20°C
耐湿系数		
在1兆欧以下	6	} 400小时; 温度98%; 40°C
大于1兆欧	10	
耐热系数	3	由-85到-60°C 两次循环
存放系数	3	仓库保存6个月
脉冲负荷系数	2	平均功率等于额定功率1000倍的脉冲电压条件下2小时
耐振系数	2	3小时; 加速度6g
噪声电动势	5微伏/伏	工作电压在10000赫频率带的条件下

温 度 系 数	$\frac{10^{-4}}{^{\circ}\text{C}}$	由 +20 到 +100 ^{\circ}\text{C}		由 +20 到 -60 ^{\circ}\text{C}	
		由 +20 到 +100 ^{\circ}\text{C}	由 +20 到 -60 ^{\circ}\text{C}	由 +20 到 +100 ^{\circ}\text{C}	由 +20 到 -60 ^{\circ}\text{C}
10千欧以下	BC-0.12; BC-0.25; BC-0.5 BC-1; BC-2 BC-5及 BC-10	6 5	8 6	8 12 10 16	12 10 16
由11到910 千欧	BC-0.12; BC-0.25; BC-0.5; BC-1; BC-2 BC-5; BC-10	8 7 10	12 10 16	10 20 12 16	
1兆欧以上	BC-0.25; BC-0.5; BC-1; BC-2 BC-5; BC-10	10 12	20 16		

BC型电阻可使用在相对湿度达98%以及温度从-60°C到+100°C的条件下，这时平均使用期限为3000小时。低阻值电阻的使用期限要长得多，每平方厘米的工作表面阻值超过1—2兆欧的高阻电阻，在湿度很高的环境中长期负荷的条件下，在个别情况下可能在规定期限以前损坏。

BC型电阻的额定功率是根据周围温度40°C，总发热温度不超过130°C计算的。但是在额定负荷下各种BC电阻的过热温度也是不相同的，如图9-304所示，BC-2及BC-3型电阻的过热温度最大达90°C，而BC-0.25及BC-0.12型电阻却不超过40°C，这说明了小功率电阻尺寸的选择并不是按热力计算，而是按极限阻值。

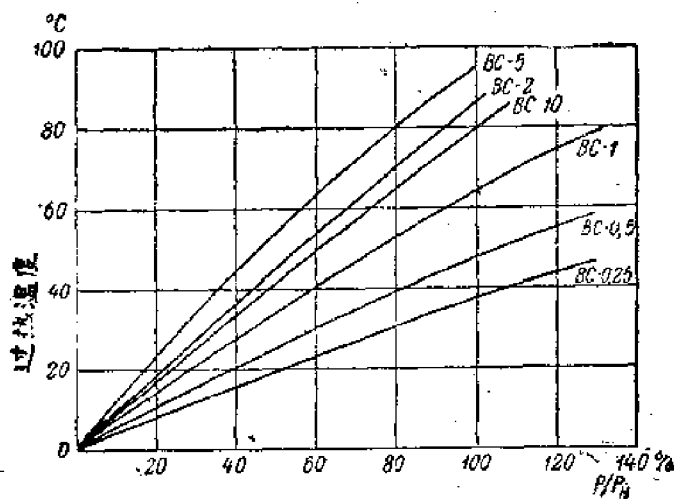


图9-304

图9-305所示是BC型电阻在不同环境温度下与总发热温度130°C相应的负荷曲线。当已知电阻使用的环境温度（大于40°C）时，按此曲线可确定该环境下电阻器的允许负荷功率，此曲线是根据BC电阻的标准对各类电阻统一规定的负荷限制曲线，由于容

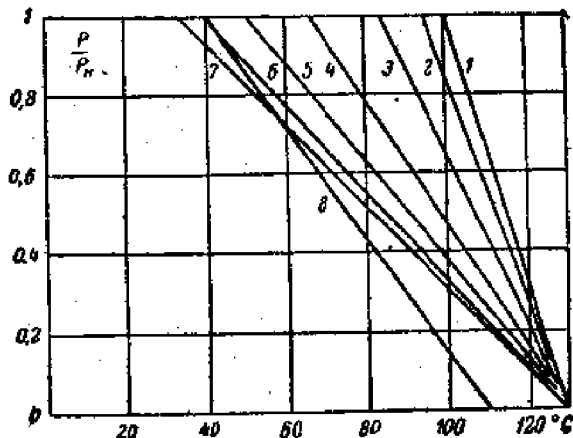


圖9—305

許电压是根据額定阻值計算的，故該曲綫預計了一定的安全系数，以免負公差較大的电
阻过負荷。

利用圖9—306的圖表可以确定与額定負荷相适应的电压，該圖也示出了脉冲負荷状
态的容許电压曲綫，同样也可利用它来确定与額定負荷不同的負荷条件下的容許电压，
这时只需与負載成比例地改变电阻值后，就可讀出相应的电压。

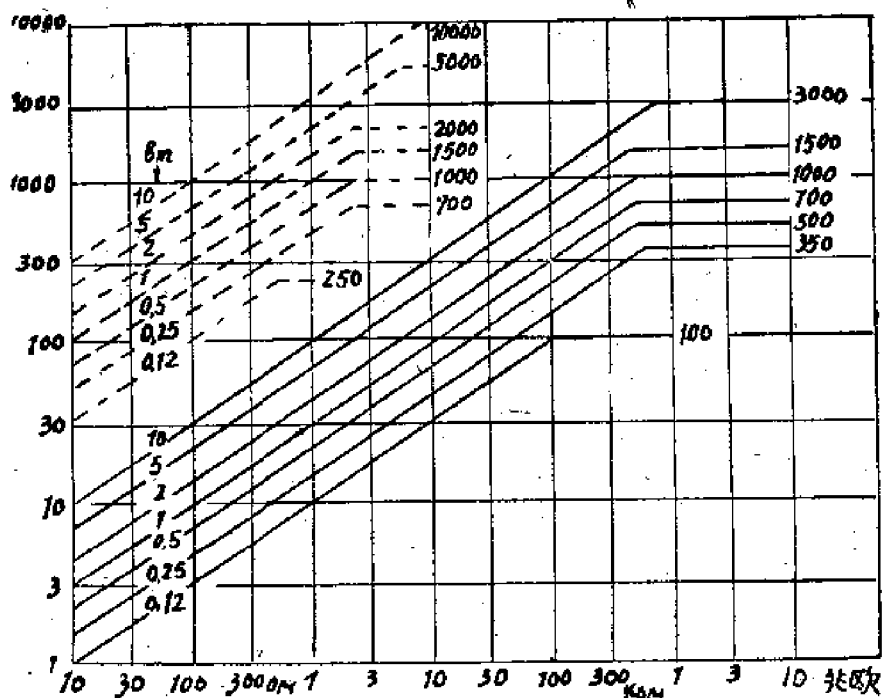


圖9—306 BC电阻在連續負荷（實線）及脉冲負荷（虛線）条件下的容許电压标准

在短期使用的条件下（在500小时以下），電阻器允許發热到160°C，在周圍介質溫
度不同的条件下，相應于該种状态的負荷曲綫如圖9—307所示。

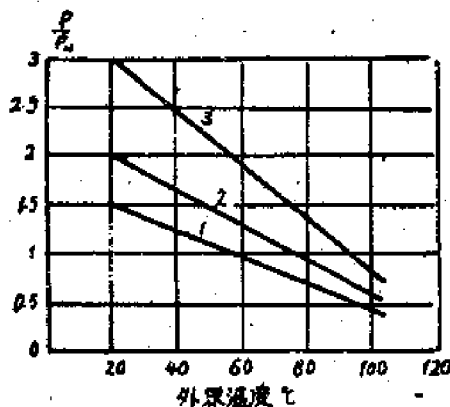


图9—307 BC型电阻允许短时过负(500小时以下)曲核图

1—BC-2, BC-3 及 BC-10; 2—BC-0.5, BC-1; 3—BC-0.12, BC-0.25。

BC电阻阻值与电压的关系实际上不存在。

除表9—13所列的一般用途的BC电阻外，也制造专门用途的一定阻值范围内的大功率电阻器，其主要参数列于表9—15。

表9—15 大 功 率 的 BC 电 阻

类 别	定额功率 (瓦)	尺 寸 毫 米		阻 值 范 围	
		长	直 径	欧	千 欧
BC-15	15	160	27	51	1000
BC-20	20	160	37	51	5
BC-30	30	230	42	51	5
BC-60	60	300	52	51	1
BC-100	100	500	62	51	1

(2) 高稳定性的碳膜及硼碳膜电阻器：

精密及半精密的碳膜及硼碳膜电阻器均供测量仪表使用，其制造公差由0.5%到3%。该种电阻器所必需的稳定性由其结构及制造工艺上的某些特点来保证。这些特点如下：

1. 电阻器要在不大的过负荷(2—5倍)的情况下进行电气老炼，并在正常条件下进行人工老化(保持3个月)。在某些情况下可以在不太高的温度下(50—70°C)进行热老炼，以便缩短人工老化的时间。

2. 降低单位表面上的最大阻值，这样可以避免采用稳定性不良和温度系数较大的膜层。

3. 限定最小阻值并改进与低值电阻器稳定性有很大关系的接触件。为此有时对导电层两端敷以金属并研磨基体，使其两端帽盖可以紧密配合。

4. 降低单位负荷，以减小老化系数及负荷系数。

- 5.采用塑压及密封。
- 6.对于有保护漆层的电阻，有时在涂漆后（或在第一层涂复后）进行补充刻槽然后再用手给切槽补涂漆，以提高调整精度。

УЛИ型电阻器：

УЛИ型电阻器属于半精密电阻，使用在低精度等级（1.5—2.5）的测量仪器中。所生产的电阻器，其功率在1瓦以下，额定阻值未规格化，一般在1欧到1兆欧的范围内。额定值的公差为±1.2%及3%。УЛИ型电阻的主要参数列于表9—16及表9—17中。

表9—16 УЛИ型电阻的主要参数

型 号	额定功率 (瓦)	尺寸毫米		单位负荷 瓦/平方厘米	P ₀ 时的 过热温 度 °C	阻值范围		最大换算 电 兆欧/平方厘米	最大工作 电压 伏
		长	直径			欧	兆欧		
УЛИ—0.	0.1	16	4.5	0.05	20	1	0.6	0.45	250
УЛИ—0.25	0.25	16	6.5	0.07	35	1	10欧	—	—
УЛИ—0.25	0.25	24	4.5	0.07	30	10	1	0.44	350
УЛИ—0.5	0.5	16	8.5	0.11	45	1	10欧	—	—
УЛИ—0.5	0.5	30	6.5	0.09	35	10	1	0.28	500
УЛИ—1	1	25	19	0.11	50	1	10欧	—	—
УЛИ—1	1	48	8.5	0.08	55	10	1	0.1	700

表9—17 УЛИ及БЛП电阻的主要规格

規 格	技术条件的标准		試驗件条
	УЛИ	БЛП	
老化系数	0.5%+0.01欧	0.5%+0.01欧	100小时：БЛП—1.5Р ₀ ， УЛИ—3Р ₀ 以下
耐湿系数 (平均值)	1%—2千欧以下 2%—2千欧以上	0.5	24小时：温度20°C 湿度98%
存放系数	0.5%+0.01欧	0.5%+0.01%	六个月
溫度系数	3—10欧以下		
10 ⁴ °C ⁻¹	5—200千欧以下 10—200千欧以上	1—对于1級精度 2—对于2級精度	在温度+20到+80°C的 范围

УДИ型电阻的结构与BC型电阻相同，只是额定阻值在10欧以下的电阻，其基体的长度較短，而直径較大，以便在膜層不太厚的情况下得到低阻值。然而从表9—16可見，УДИ型电阻的额定功率比同尺寸的BC电阻小一半，降低了加热温度，并相应地減小了老化系数及負荷系数。此外，由于采用某些特別工艺（老炼、加厚膜層涂端头石墨或被銀等），使УДИ的稳定性比BC电阻提高了。

БЛШ型硼碳膜电阻器：

БЛШ型电阻器属于精密电阻，可以在精密的測量仪器中代替繞綫电阻。其主要特点是电阻温度系数非常小（接近于高阻合金的）。最小阻值可作到1欧，最高阻值較小（100千欧），额定电阻值仍未标准化。可以制或小公差（0.5%及1%）并保証其稳定性（見表9—17），在结构及制造工艺上与УДИ相似，尺寸也与同等功率的УДИ电阻相符合。

为了改善电阻器的稳定性采用密封的方法，密封电阻器可以完全耐潮，存放系数在1年内不大于0.2%。有些电阻器装在玻璃壳内，并充满氮气，其稳定性可达到万分之几。

（3）超高頻碳膜电阻器：

超高頻电阻器的结构特点是按不同用途而有各种各样的形状。

在超高頻装置中的电阻器往往不仅是电路中的一个元件，而且是超高頻裝置（例如波导系統、衰減器等）结构中的构件（有时是主要部分）。因此，在大多数情况下，其固定方式根据裝置的結構来确定。

除一般最通用的柱杆形（圖9—308,в）和管形外，还采用圓盤式（圖9—308,a）及

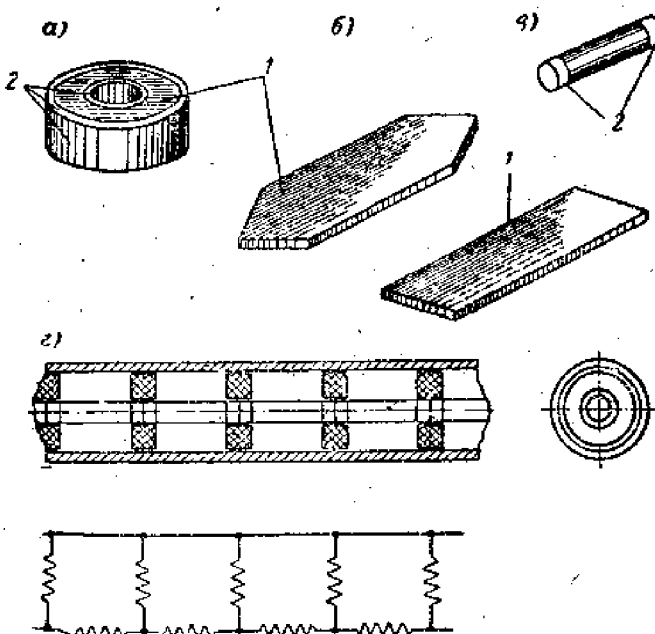


圖9—308 超高频电阻器

a)圆盤形（垫圈式） b)平板形 c)柱杆式

d)用垫圈式电阻构成的超高頻裝置及其电路圖

1 — 碳層

2 — 接触層

平板式（圖9—308,6）超高頻電阻器，圖9—308,r示出用柱杆式電阻構成的超高頻衰減器及其電路圖，而圖9—308,6所示的平板式電阻器也用作衰減器，直接放入波導管中，一般在基體的中心固定。

超高頻電阻器通常沒有保護層，為的是減小分布電容以及消除能引起電阻過熱的多餘的介質損耗。從另一方面說，因為用於超高頻裝置的通常都是阻值很低的電阻（100歐以下），所以沒有必要用保護層來防止外界的影響。同時，厚度較大的導電層可以保證具有小的電阻溫度系數（不大於 $-3 \times 10^{-4} \text{ }^{\circ}\text{C}^{-1}$ ）並使其能在 $150\text{ }^{\circ}\text{C}$ 以下的溫度和穩定性不顯著惡化的條件下負荷。

超高頻電阻大部分使用在脈沖電路中，而且需經受得住很大的脈沖過負荷，導電層的不均勻，可能使局部的過負荷達到不能容許的程度，對於大尺寸電阻，在波長與電阻器長度相差不大的情況下，阻值按長度分布的不均勻性，可能產生波的反射現象，因此，導電層的均勻性具有很大意義，獲得均勻性的方法是陶瓷基體表面的精細加工，採用均勻細致的被碳工藝過程，以及精細地檢驗。

製造超高頻電阻的主要困難是被碳後的調準阻值只容許採用縱向刻槽（只能實現小調整）和重複被碳（只能向小的一方面調準）。

YHY型電阻器：

YHY型電阻器為圓柱形，碳膜被在陶瓷柱杆 ($P_H \leq 2$ 瓦) 上或陶瓷管 ($P_H > 2$ 瓦) 上。其引出觸點為燒滲在電阻器兩端碳膜上的銀層。這樣銀層也可以小圈狀被復于需要抽頭的部位的碳膜上。

YHY—III型電阻器：

YHY—III型電阻器為盤圓形，如圖9—308,a所示。被碳後在凸緣 2 燒滲銀層，作為電阻器的引出觸點。

這兩種超高頻電阻器的主要參數列於表 9—18。

表9—18所列當降低功率使用時YHY的允許環境溫度可達 $130\text{ }^{\circ}\text{C}$ ，YHY—III可達 $70\text{ }^{\circ}\text{C}$ ，高於 $40\text{ }^{\circ}\text{C}$ 時每 $10\text{ }^{\circ}\text{C}$ 應降低功率1%。在 20 — $100\text{ }^{\circ}\text{C}$ 範圍內YHY的TKR不大於 $-4 \times 10^{-4} \text{ }^{\circ}\text{C}^{-1}$ ，YHY—III不大於 $-5 \times 10^{-4} \text{ }^{\circ}\text{C}^{-1}$ ，在 -10 — $+120\text{ }^{\circ}\text{C}$ 範圍內兩種電阻都不大於 $-6 \times 10^{-4} \text{ }^{\circ}\text{C}^{-1}$ 。

表9—18所列的功率是在正常冷卻條件下的額定功率，當採用強制風冷時，功率大於10瓦的電阻器可以工作於5—10倍的過負荷條件下，可保持碳膜的溫度不超過 $140\text{ }^{\circ}\text{C}$ 。

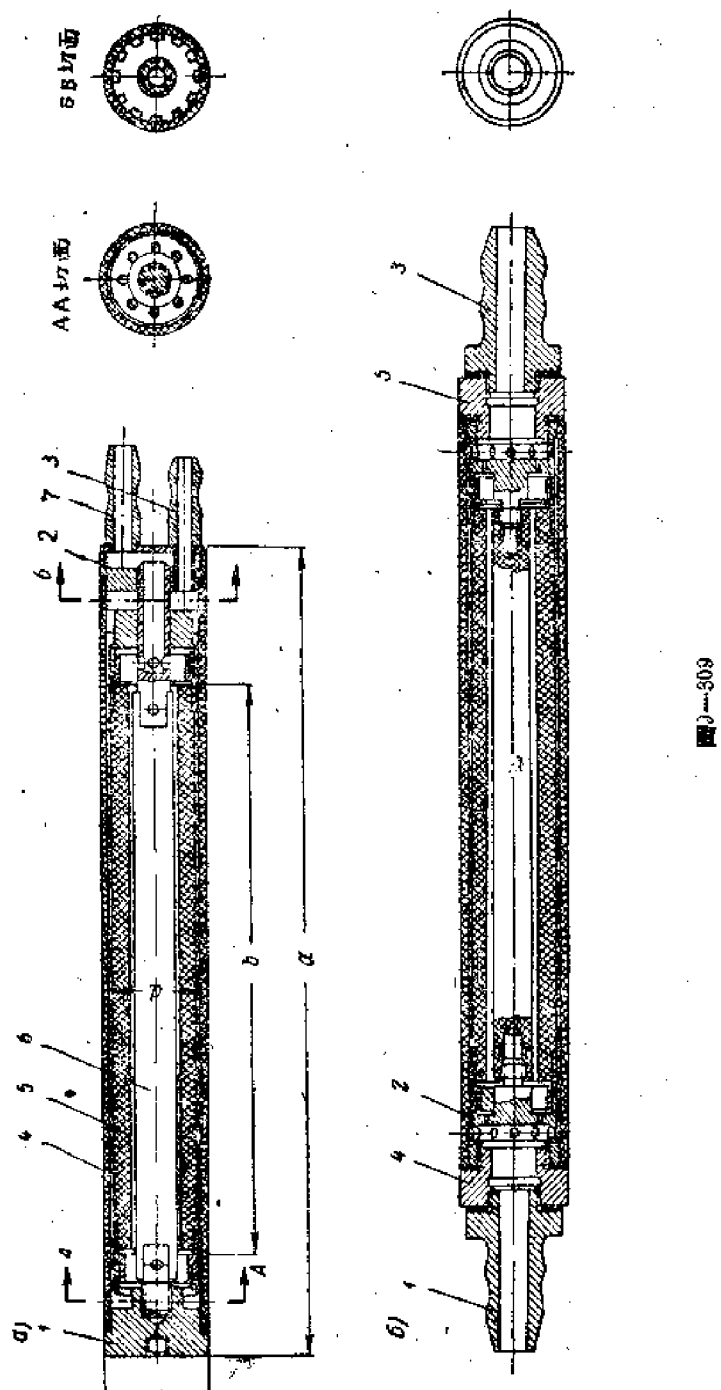
YB型電阻器：

YB型電阻器是水冷式高頻碳膜電阻器，它們制成功率大於1千瓦，阻值不超過几百歐，用來作為頻率達100兆赫的等效負荷，圖9—309示出YB型水冷碳膜電阻器的兩種結構形式，其製造工藝及主要規格與上述的YHY型電阻相同。

圖9—309,a所示的水冷電阻用作非對稱負荷，整個電阻裝入同軸線的外導體內，並將接觸環 2 連接到同軸線的外導體上，另一端的塞接頭 1 與同軸線的內導體連接，其中的接觸環 2、塞頭 1 分別與電阻導流膜連接，冷卻水由管接頭 3 進入環形槽B—B，並由此流入有機玻璃保護套 4 與電阻本身 5 之間的厚度為0.5毫米的空隙中，到達電阻另一端的環槽A—A後，再經過孔（示於A—A斷面上）進入電阻基體的管（管內放有夾布塑膠

表 9—18 高频碳膜电阻的主要参数

型 号	额定功率在 40°C的条件下 (瓦)	尺 寸 (毫米)		阻 值 (欧)	在 $\tau = 1$ 微秒 时的最大电压 (伏)	最大试验 脉冲功率 (千瓦)
		长	直 径			
1. УНУ型电阻 (圆柱形) 100						
УНУ-0.1	0.1	8	1.8	由15到175	100	0.37
УНУ-0.15	0.15	9	3	由7.5到75	250	0.71
УНУ-0.25	0.25	15	4.5	由7.5到75	450	8.2
УНУ-0.5	0.5	25	4.5	62; 75	500	32.5
УНУ-1	1	28.5	6.5	62; 75	750	4.0
УНУ-2	2	48.5	8.5	75	750	7.5
УНУ-5	5	78	16	50; 75	4000	7.5
УНУ-10	10	122	25	50; 75	6500	212
УНУ-25	25	182	29	50; 75	8700	570
УНУ-50	50	252	45	50; 75	12500	1000
УНУ-100	100	352	64	75		2000
2. УНУ-III型电阻 (垫圈式)						
УНУIII-0.1	0.1	—	8	由6到28	55	0.11
УНУIII-0.15	0.15	—	12	由6到28	65	0.15
УНУIII-0.25	0.25	—	16	15	70	0.33



拉杆6) 内, 最后由管头7流出。

圖9—309,6所示的电阻器用作对称负荷, 它以自己的接触环4和5分别接到对称双线上, 其中的接触环4和5与电阻体的引出端相连接。冷却水由管头1流入分流活门2, 经分流活门同时进入电阻基体的内部及外部, 并在电阻另一端会合由出水管接头3流出。

由于水冷电阻内的电流很大, 必须保证电阻引出之元件与导流膜精密结合。为此, 管状基体的两端在被碳前要进行研制, 在两端的碳层上用烧渗方法敷上银层, 再将车制的黄铜盖蒙在上面。

由于阻值低, 水的旁路影响不显著, 所以冷却可用普通的自来水, 管道内所需的压力不得小于4.5大气压, 此时, 在经电阻流出的水的温升不得大于15°C。

通常在使用水冷电阻器的设备中装有该电阻的自动开关, 当水压低于规定值和流出水的温度超过规定温度时, 开关自动断开。

YB型电阻的主要参数列于表9—19内, 该表还列出了民主德国生产的水冷碳膜电阻器(HLS型)及水冷硼碳膜电阻器(HLBSW型)的主要参数, 该种电阻器的结构如图9

表9—19 水冷却式电阻的主要参数

型 号	功 率 (千瓦)	尺 寸 (毫米)				水消耗量 公升/小时
		a	b	c	d	
HLSW1	1	141	176	83	42	300
HLSW2	2	179	152	45	54	830
HLBSW2	2	141	173	86	42	600
HLBSW3	3	229	152	45	54	420
HLBW3	3	179	152	45	54	720
HLSW6	6	335	245	56	70	480
HLBSW6	6	229	152	45	54	840
HLSW10	10	458	251	65	78	720
HLBSW10	10	335	245	56	70	860
HLSW20	20	698	251	65	78	900
HLBSW20	20	458	251	65	78	1 000
HLBSW40	40	698	251	65	78	1800
YB-5	5	352	250	45	87	300
YB-20	20	458	300	72	58	1200

—310所示，其阻值公差为2%。从表中数据可见，HLBSW型的允许单位负荷比HLSW型大（在相应的水消耗量较大的情况下）。

2. 金属膜电阻器：

金属膜电阻器和碳膜电阻器一样也是薄膜型电阻器。其导流部分是金属或合金薄膜（厚度约为0.1微米或更厚）。这层薄膜是采用真空蒸發法或陰極飛射法沉积于介质基体上制取的。在制造工艺上，金属膜比碳膜具有更大的灵活性。不仅易于变更薄膜厚度，而且可以变更其成分，同时还以采用金属与半导体的合金，这样一来，在控制薄膜电气性能方面开辟了非常广阔的前景。此外，更可贵的是可以更广泛地选择基体材料（不仅用陶瓷，而且可用易熔玻璃、层状塑料等），因为在沉积薄膜过程中，基体实际上不经过加热。但是，在制造工艺上也有缺点，即由于沉积过程所引起的薄膜不均匀性，以及对绝缘基体表面的要求太高。

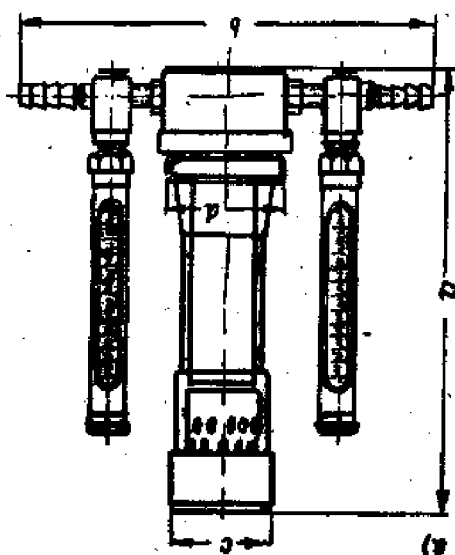


图9—310 HLSW型水冷却式电阻

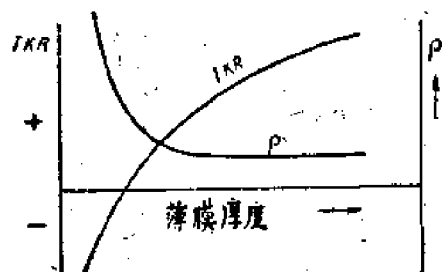


图9—311 金属膜电阻率和电阻温度系数与厚度的典型关系曲线

所沉积的金属薄膜的电性与原来金属的电性能有很大区别，随着厚度的减小，薄膜的比电阻增加，而TKR减小并在某一厚度通过零值而转入负值区域（见图9—311）。

当厚度达到数层分子的厚度时，其导电性几乎完全消失。

薄膜的比电阻和TKR除与其厚度有关外，还与金属种类（或合金的成分），形成薄膜的方法有关。

按照A.I.福建克尔等学者的解释，当沉积金属很少时，金属薄膜以零散微粒的形式分布于基体表面上，在颗粒之间未形成桥接以前，导电率和电阻温度系数仅取决于金属微粒之间的间隙大小其电子的逸出功，而与金属的其它性能无关（并因此而与原金属性能有区别），随着沉积金属的增多，微粒间的间隙减小，则导电率增高而电阻温度系数的负值减小，当厚度约大于0.01微米时，形成了结晶核和晶体的导电链，此时，薄膜的电导率将大大增高，再将薄膜进行热处理，能促使其结晶，因而其性能将进一步接近于具有结晶结构的金属。基体表面的显微结构影响其结晶条件，并因此而影响薄膜的均匀性，这便是对基体表面质量要求特别高的原因。

微粒的电子接受了外界能量（如电场，温度，光能）后可以达到（或接近）逸出功的数值，也就是说其导电率受外界的影响，因此，极薄的（小于0.01微米）金属层要获得电性能对外界因素的高稳定性是十分困难的，所以，在金属膜电阻器中采用厚度大于0.1微米的金属制造，这种具有接近于结晶金属的薄膜如果用贵金属或难氧化的金属制造，可以在不需密封的条件下获得高稳定性。

金属膜电阻器可以用碳膜电阻器相同的刻槽方法来调整阻值。同时，由于沉积的金属膜具有很高内聚力，当用作可变电阻时，其耐磨性良好，但这种性能使它不能用碳膜电阻生产中广泛采用的机械磨去膜层方法来精密调整阻值。

基于上述的金属膜本身的特性及其工艺特点，所产生的金属膜电阻器与碳膜电阻相比较，具有如下优点：

1. 稳定性较高—耐湿性高，防潮系数小与电压的关系较小、老化性小及温度系数较小。
2. 阻值上限较高。
3. 噪音电平稍低。
4. 尺寸小——由于耐温性较高的结果。
5. 薄膜耐磨性好，可制造可变电阻器。

它的主要缺点为：

1. 难于获得均匀的金属薄膜（不均匀性使产生局部过负荷），不能制造大功率的电阻。
2. 材料成本及工艺要求较高，价格昂贵。

因此，金属膜电阻器也和碳膜电阻器一样可作为一般用途的精密与半精密的以及超高频的电阻器，此外还可作为可变的通用电阻器。

下面将分别讨论几种主要类型金属膜电阻的结构及基本特性。

MJT型电阻器：

MJT型电阻器属于一般用途的电阻器。

MJT型电阻器的结构如图9-312所示，各种电阻的基体都为陶瓷管（由于工艺上的要求）其中小于5瓦的电阻的引线为轴向的，对于小尺寸电阻来说，轴向引线更便于

使用，5瓦和10瓦的电阻则为径向引线。

表9—20列出了MIT型电阻器的基本参数。

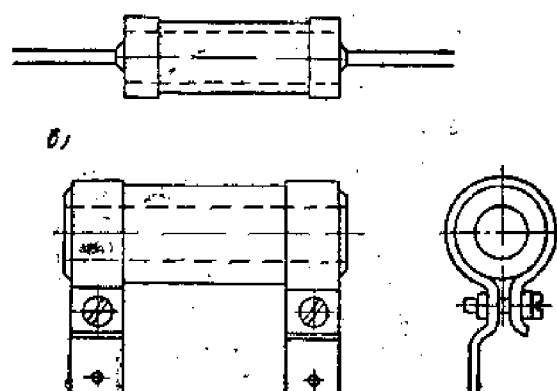


图9—312 MIT型电阻的结构

a)0.5, 1和2瓦 b)5和10瓦

表9—20 MIT型电阻的基本参数

电阻类别	温度在 70°C时的 额定功率		基体尺寸 (毫米)	单位负荷 瓦/平方厘米	阻值范围		在40毫米水银柱条件 下的极限电压	
	1	D			欧	兆欧	连续电压 伏(有效值)	脉冲电压 伏
MIT-0.5	0.5	10	3.2	0.42	100	5.1	350	750
MIT-1	1	12	5	0.39	100	10	500	1000
MIT-2	2	17	7	0.4	100	10	750	1200
MIT-3*	5	46	15	0.22	510	10	1000	5000
MIT-10*	10	66	26	0.19	510	10	1800	10000

注 有*符号的是工业上暂时还没有生产的。

由于利用不易氧化的金属膜作为导流元件并涂有耐热保护漆层，所以MIT型电阻与BC型电阻器相比具有较高耐温性，因而在相同额定功率下具有较小的尺寸，以及在较高的周围介质温度(+70°C)时能够在满额定功率的负荷下工作，此外，它比BC电阻具有更好的耐潮性。

当MIT型电阻器在高于70°C的环境温度下使用时，其容许的额定功率可从图9—313曲线中求得。

当压力降至40毫米水银柱时，由于散热条件恶化，各种MIT型电阻器的容许负荷功率应相应降低40%。

所有MIT型电阻器对于额定阻值的容许电压，无论是连续负荷或脉冲负荷，均可从

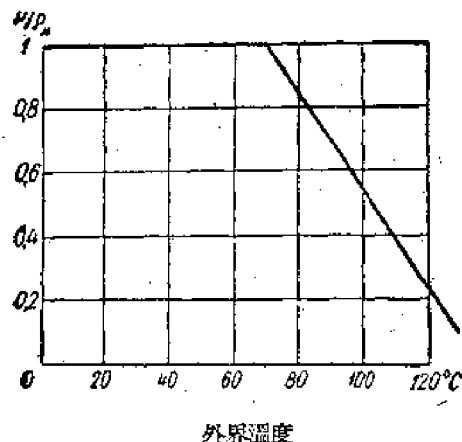


圖9—313 在外界溫度不同的條件下，MJT型電阻的容許負載（用與額定功率的比表示）

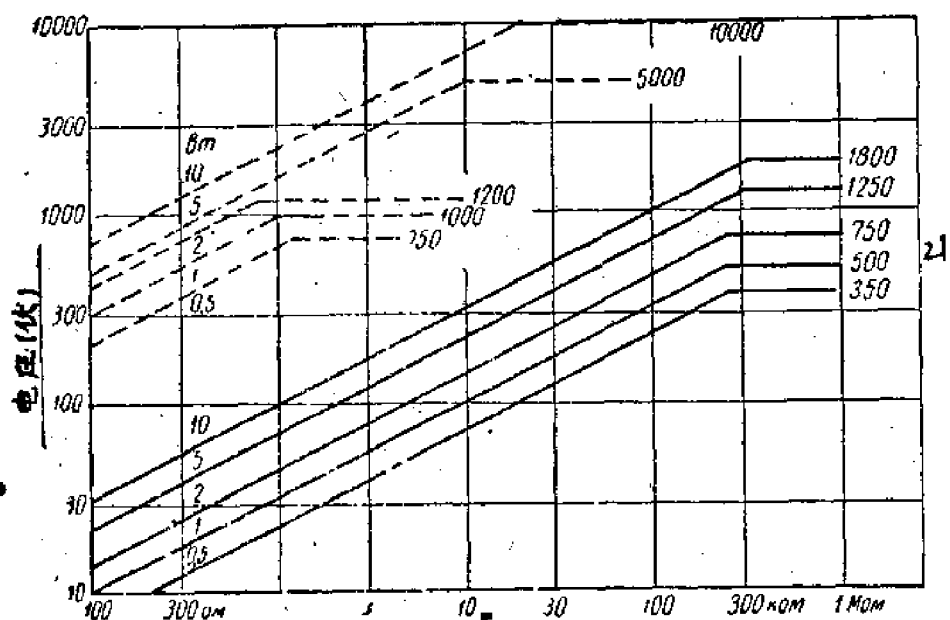


圖9—314 連續負荷（用實線表示）和脈衝負荷（用虛線表示）時MJT型電阻的容許電壓

圖9—314中求出，由於尺寸小，MJT型電阻器的極限電壓比同樣功率的BC型電阻器小，但比長度相等的BC型電阻器大。

MJT型電阻器對溫度循環性變化比較穩定，MJT型的高阻值電阻器的溫度系數較小，但在一批電阻中可能有正有負。因此，只有按照溫度系數符號進行分選後，這一優點才表現出來，反之，必須估計到溫度系數容許有兩倍數值的變化範圍。

MJT電阻的基本特性列于表9—21

MJT電阻的主要缺點是脈衝負荷下穩定性較低，主要是由於導流膜不均勻所致，脈衝負荷下容許的平均功率降至額定值的20%，因此在脈衝電路里使用BC型電阻器更為恰當。

MJT型電阻器的導流膜的電阻率大，容易用較厚的導膜層獲得較高的阻值，但同時

表9—21

MJT型电阻的基本特性

特 性	定額 %	試 驗 規 范
老化系数		
对于0.5、1和2瓦的电阻	±4	在20°C时加以1.5-3Pr条件下經100小时
对于5和10瓦的电阻	±6	
负载系数	±6	1%和100%阻
防潮系数		
1兆欧以下的电阻	-3+6	400小时 相对湿度98% 温度10°C
1兆欧以上的电阻	-2+9	
耐热系数		
0.5、1和2瓦的电阻	±2.5	在-60到+20°C范围内加负荷經三次循环
5瓦和10瓦的电阻	±3	
存放系数	±3	在库内存放6个月
脉冲负荷系		
0.5、1和2瓦的电阻	±3	在平均功率为额定功率20%下，加1000倍 额定功率的脉冲电压經0.5小时
5瓦和10瓦的电阻	±3	在平均功率为额定功率30%下，加500倍的 额定功率的脉冲电压經0.5小时
耐震系数		
0.5、1和2瓦的电阻	±2	加速度15g
5到10瓦的电阻	±2	加速度6g
噪声电动势	5微伏/伏	在最大电压下10千赫的
0.C的温度系数(%)		
1兆欧以下的电阻	±7	+20到+100°C
1兆欧以上的电阻	±10	+20到+100°C
于所有额定值电阻	±12	+20到-10°C

由于接触件与导流膜之间的接触电阻较大，却妨碍了稳定低值电阻（100欧以下）的制造。

MJII型电阻器：

由于MJII电阻所采用的结构的改变，现在MJII电阻已改称为MII（金属膜的、密封的、精密的）型电阻器，但同时由于使用上的习惯，某些资料中仍称MJII电阻。

MII电阻制造上不同于MJT的地方是精确地选择合金和毛坯加工规范，严格地检验，高压老练，剔选以及密封等，并且降低单位负荷和温升，因此，它的电阻温度系数很小（在 $\pm 1.6 \times 10^{-4}^{\circ}\text{C}^{-1}$ 内），稳定性高，这种电阻制造成公差为1和0.5%，额定功率是根据外界最高温度为+50°C计算的。

这种电阻的结构如图9—315所示，电阻的基体采用MJT—2的尺寸，其中图9—315.a是密封在陶瓷管内，图9—315B密封在金属管内，内部用环氧树脂浇铸封口。

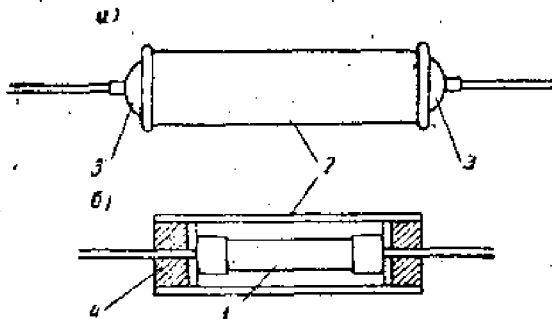


圖 9—315 MII型密封電阻的結構

1—電阻； 2—金屬保護管； 3—玻璃絕緣子； 4—灌注環氧樹脂

表9—22 MII型電阻的基本特性

特 性	T ₃ 的标准 %	試 驗 規 范
老化系数	0.5	在20°C下加額定負荷經100小時
防潮系数（整批的平均值）	0.5	在20°C时，98相对湿度下放置24小時
存放系数	0.5	在庫內存放6個月
溫度系数°C ⁻¹		
1級品	±1×10 ⁻⁴	
2級品	±2×10 ⁻⁴	从+20到+80°C

MII型電阻的主要特性見表 9—22

3. 金屬氧化膜電阻器：

近几年來由金屬氧化物及其合成的導電薄膜在工業生產中也得到了發展。雖然這些氧化物都是半導體，但在一定條件下仍能製成電阻率很高和電阻溫度系數很小的薄膜，在大多數情況下，兼有半導體和導體兩種性能是由於在氧化物成分內的過剩金屬引起化學計算值的偏差所造成的。

金屬氧化膜電阻類似於金屬膜電阻，不同的是金屬氧化膜電阻的製造工藝比較簡單，而且在許多情況下耐熱性較高。

目前二氧化錫薄膜電阻（即“錫酸鹽”電阻）得到了最廣泛的實際應用。這種電阻的製造過程不需要特別的溫度，也不需要特殊的氣體介質或真空。

二氧化錫薄膜可用化學方法沉積在玻璃或陶瓷的表面上的方法製得（用氯化物SnCl₂或SnCl₄作原料），也可用逐漸加熱錫金屬膜（到400°C）以使其氧化方法製得。

用上述方法獲得的二氧化錫薄膜與基體結合得很牢固，很堅硬，能耐酸，耐鹼，並能耐高溫（400°C以下）。然而，如果有電解液時加上直流電壓，二氧化錫薄膜會很快的破壞。

純二氧化錫薄膜的電阻溫度系數是負的，並且也和金屬膜和碳膜一樣，隨薄膜厚度

的减小而增大，因此，为了保证稳定，薄膜最小容许厚度要在0.01—0.1微米范围内。

改变制造过程的条件及薄膜成分（加入不同制剂，如三氧化二锑），能在保持温度系数很小的条件下获得阻值范围较宽的薄膜电阻，沉积好的薄膜在400°C以上的温度下进行热处理，可使其导电率在某种范围内变更。

这种电阻的应用暂时还受着限制，因为在容许的外形尺寸的条件下还不能得到阻值大于 10^5 欧的电阻，然而，可以断定，若在提高极限阻值方面能够进一步的改进，将促使这种电阻使用范围扩大，特别是对于在高温条件下工作的设备。

4. 合成型电阻器：

作为成型型电阻器导流元件的合成体是一个多相系统，其中的一相是导电相，作为导电相的是另散粉状的导电物质（例如，常采用碳黑和细磨的石墨形形态的碳素）。非导电相的成分是：

1. 胶合用的介质材料——用来使合成体从机械上结合成密实的固体。分为有机的（如酚醛树脂）和无机的（陶瓷、玻璃）。

2. 粉状惰性材料——用来获得所要求的合成体结构以及机械性能。多数是采用矿物作填料，例如，二氧化钛、二氧化铝、硅酸、滑石粉、硫酸钡、云母粉、石英粉、磨碎的玻璃和其他材料等。

为了使合成物的电性能接近导电相的性能，必须使非导电成分不参与总的电导率，因此，导电相应当是连续的，同时非导电相的电导率应大大小于导电相的电导率。

制成的合成体的结构如图9—316所示，填料填充了合成体内的某些体积并相对地增加了分布在粘合介质材料内的导电成分的密度。



图9—316 具有惰性填料的合成物的结构图。黑色的点是导电体，白色的是填料。

改变各种成分的含量，可以改变导电物质的密度，因而可以改变合成物的电导率，导电成分含量小于某一极限，则导电率急剧下降，因为此时导电成分的连续链已为介质切断。但是，由于很薄的隔离介质层的电导率可能大大地大于介质的电导率。所以，导电颗粒间不能看作是完全绝缘的。

与上述物理概念相符的合成物的等效电如圖 9—317 所示：

圖中 γ_B ——导电微粒的电阻；

γ_R ——微粒間的接触电阻；

γ_a ——微粒間隔介質層电阻；

R_c ——粘合介質的电阻；

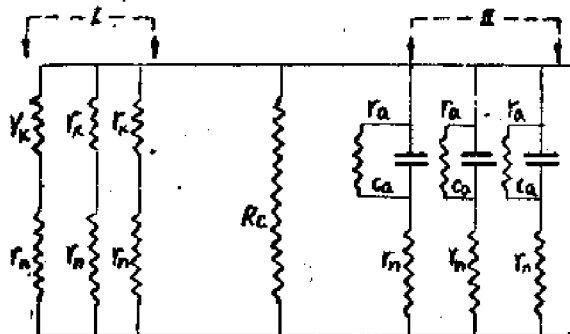


圖 9—317 合成导体的等效电路

1——导电成分的連續鏈

2——导电成分的断續鏈

C_a ——微粒間層的电容。

电路的左面部分 I 是导电结构的連續（链状）部分，右面部分 II 是断續部分或“粒状”部分。

断續部分具有介質的性能，这是电阻所不容許的，所以，实际上必須使合成物的链状结构起决定的作用。在链状部分中，除了在大压力下制成而且粘合介質含量少的低阻值合成物外，在大多数情况下，接触电阻起着决定性作用。

由于这个原因，使合成电阻的电压系数和接触噪音变得很大。同时也促使电阻器在长期负荷（局部加热）的条件下产生显著的老化。

微粒間層电容（“内部”电容）的存在，还限制了电阻器的使用頻率。粘合介質的高頻损耗和表面效应也同样限制了电阻器工作頻率上限。

此外，含有机粘合介質（树脂）的电阻易受水份和高温的影响，但無机粘合介質（玻璃、陶瓷）的电阻却可达到較高的耐热性和防潮性。

由于上述的缺点，合成电阻不能使用在精密的高頻设备中，但并不妨碍該种电阻在一般用途电阻中的广泛应用。其主要原因是合成电阻的价格較低（只为薄膜电阻的几分之一）而且在使用上非常可靠，仅在电阻本身受到机械损伤时才可能损坏（由于导流元件断面較大）。

如上所述，合成物的电阻率可以輕易地用改变混合物的材料及其比例的方法在很寬的范围内进行調整，有机粘合材料的合成物其数值可由 1 到 10 欧·厘米。因而，可能在导流元件断面很大的情况下得到高欧电阻而保証一定可靠性和稳定性（特別是实心結構时）。有机粘合介質的合成电阻器可作兆欧电阻器，無机粘合介質的合成物的电阻率較

低，只能达到 10^3 — 10^6 欧一厘米，不能用作兆欧电阻。

在工艺上，合成物便于制成任何形状（块状的或在任何基体表面上形成均匀薄膜片状的）的导流元件，这一点在薄膜型电阻器的沉积方法是做不到的，因而合成电阻可作成印制电阻、小型高欧电阻、大功率高压电阻等。

对最广泛应用的有机粘合剂来说，生产工艺上比较简单，不需复杂设备，贵重材料以及高温或真空过程，这是成本低的原因，但是对无机粘合介质的合成电阻却完全相反。

形成的合成体具有一定的耐磨性，也可作一般用途的可变电阻器。

除此之外，合成电阻还有一个特点，是可用改变合成物成分和工艺规程的方法在一定范围内控制电阻器的其它某些电气参数，例如，可改变电阻温度系数的大小及符号，其原理如下：

合成物的电阻温度系数TKR主要决定下面两个因素：（由其粒状结构特征确定的）。

1. 导电材料的电阻温度系数TKP_o；

2. 当温度改变时，由于导电微粒上压力改变导致导电微粒间接触表面变形所引起的与接触电阻有关的温度系数TKR_p，它不决定于粘合介质的成分和成型件的压力。

可用下式表示：

$$TKR = TKP_o + TKR_p$$

在大多数情况下，TKP_o为负值。

对于无机粘合介质的合成电阻，一般成型压力很大，TKR_p非常小，而TKR实际上只由TKP_o决定。

对于不用压缩而自由形成漆膜方法获得的薄膜合成物（称合成漆膜），由于压力很小TKR值可以达到相当大的正值，因而可用改变压力（在容许范围内）或根据相应的TKP_o值选择导体的方法来达到规定的特别是接近于零的TKR值。但这种补偿的可能性只能局限在一定的温度范围内。

在了解合成电阻一般特别的基础上，让我们进一步讨论某些类型的合成电阻。

（1）一般用途的实心固定电阻器：

在苏联已很少采用一般用途实心电阻器，我国和其他国家仍广泛地采用。

这种电阻一般作成图9—318所示的结构，导流部分是合成体压成的圆柱体，金属

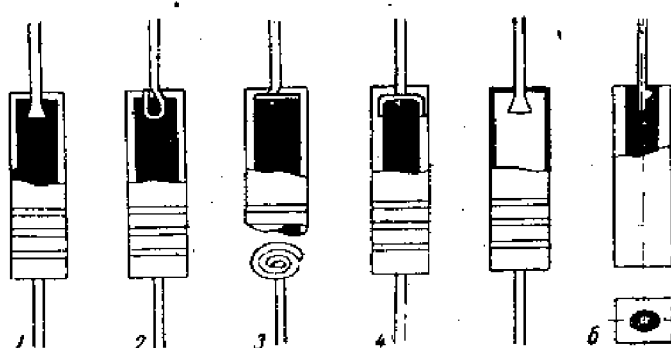
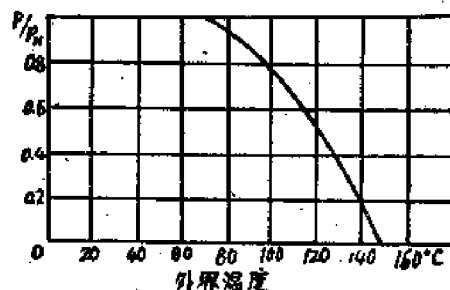


图9—318 实心电阻的结构

1, 2, 3, 4, 6—外壳绝缘 5—漆绝缘

引出線嵌压在合成為內部，用接觸膠粘合上的引出線的結構（圖中的3）和帽蓋式引線結構（圖中的4）使用得不太普遍。因為製造過程較複雜，以及接觸膠可能引起電阻特性的變壞。導流部分一般具有塑料的，玻璃釉的保護絕緣外殼或塗漆的絕緣層。



圖—319 美國實心電阻的負載曲線

實心電阻的額定功率相應於外界溫度70°C的最大工作溫度允許達150°C。當外界溫度增高時，容許負荷可按圖9—319求得。該種電阻器具有這種種寶貴優點是因為，壓制的合成物比薄膜電阻具有較高的耐熱性，以及導流體為實心結構，內層的氧化極微，這種情況也有助於防潮性和耐鹽水性的提高。

表9—23

實心電阻的主要參數

70°C時的額定功率 瓦	尺 寸 (毫米)		單位負荷 瓦/厘米 ²	阻 值 范 圍		最大電壓 (伏)
	長 度	直 徑		歐	兆 欧	
0.5	9.5	3.5	0.4	10	22	850
1	14	5.5	0.4	10	22	500
2	17.5	8	0.4	10	22	1000

這種電阻器的規格符合於表9—23所列標準。

TBO型實心電阻器是用玻璃釉作為粘合介質的，功率由0.25瓦到100瓦，結構如圖9—318中6所示，該電阻被封在玻璃殼內。這種電阻的穩定性大大超過有機膠合劑的實心電阻，而且具有很高的防潮性，在極限阻值不超過數百千歐時，能製成阻值一致的和性能良好的電阻。功率為0.5瓦的電阻的尺寸為2.5×18毫米。

(2) 一般用途的合成漆膜固定電阻器。

這種電阻器的結構示於圖9—320中，基體是細玻璃管（外徑是1.5—2毫米），其外表面涂復合成物的是浮體。鍍銀的銅引出端用專門的導電膠粘合到基體上，具有引出端的基體嵌壓在塑料保護外殼內並有復合物浸漬。

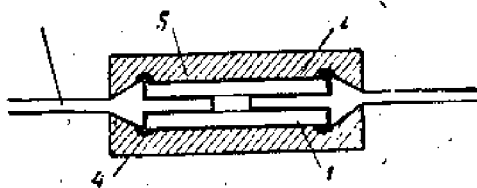


图9—310 BT和TO型电阻结构

1—玻璃基 2—导电膜 3—引线 4—接触胶 5—防护外壳

苏联生产的这类电阻为 TO型和 TOM型电阻。这些电阻器的主要参数列于表 9—24 中。

表9—24 TO、TOM和BT型电阻的主要参数

型 号	额定功率 (瓦)	尺 寸 (毫米)		单位负载 (瓦/厘米 ²)	过热温度 °C	阻 值 范 围		最大电压 (伏)
		长 度	直 径			欧	兆欧	
BTR	1/8	10	2.4	0.4	40	80	22	250
BTS	1/2	10	3.2	0.44	40	10	22	350
ETA	1	13	6.4	0.25	52	100	22	500
ETB	2	31	6.4	0.25	72	300	22	500
TO—0.25	0.25	17	5	0.03	25	300	10	200
TO—0.75	0.75	33	7	0.1	40	750	1.5	400
TOM	0.1	10	3.2	0.11	20	300	6.8	200

TO、TOM型电阻器比 EC、MJT型电阻器便宜，但它们的性能坏些，电压系数为 20%，噪音电平达60微伏/伏在负荷及保存时的不稳定性最大。

(3) 大功率合成电阻

功率大于2瓦的合成电阻器，在高压装置中和高频电路中用作负载电阻。这种电阻器绝大部分是用合成漆膜制成的。这样就保证了很小的电压梯度和极微的集电效应。

高压漆膜电阻的特点首先是具有较大的额定阻值和耗散功率。为了得到满意的伏安特性，导电膜呈螺旋状，其长不得小于2厘米/千伏。

高压电阻的极限电压由电气强度确定，因其电阻值可达100—1000兆欧。

苏联生产的这种电阻器的型号为KJB，其结构如图9—321所示；

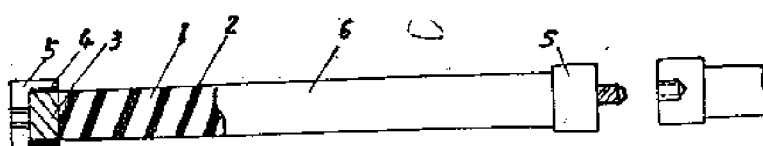


图9—321 KJB-3型高压电阻器

1—陶瓷衬体 2—导流的漆膜螺旋线 3—石墨层 4—接触胶
5—金属帽 6—涂漆保护层

KJB 电阻器采用瓷棒基体，电阻器的引出端做成特殊的帽形，便于几个电阻进行串联（当必须提高允许电压时）。这种电阻制成额定阻值由47到1000兆欧，误差在15%以内，电压系数不超过 15×10^{-6} ，温度系数平均不超过 25×10^{-6} 。

KJB型电阻的主要参数列于表9—25

表9—25 高压电阻的主要参数

型 号	25°C时额定 功率(瓦)	尺 寸 (毫米)		阻 值 范 围		最大电压 (千伏)
		长 度	直 径	千 欧	兆 欧	
KJB—10	1	46	8	47	1000	10
KJB—35	3.5	140	10	100	1000	35

(4) 高欧电阻器

图9—322所示为高欧漆膜电阻器的几种结构。

KJM型电阻的结构与BC型电阻相同，额定阻值为 10^4 — 10^{12} 欧范围内，公差为20%，10%与5%。TKR不超过 $\pm 20 \times 10^{-6}$ 。最大工作电压为300伏，电压系数不大于10%，相对湿度在85%以下时电阻变化在5%以内，98%时防潮系数达15%。

KBM型电阻是高欧电阻器中一种比较完善的结构，电阻焊封在真空中约0.1—0.05毫米水银柱的玻璃管内，管的表面用防水物质处理，这样几乎可以完全免除水的浸润，因此能在100%的相对湿度下稳定地工作。管内的真空也有助于电阻的稳定性，特别是在较高的温度下，因为它可消除清漆胶合体的氧化破坏。为了同样目的也可充惰性气体。

KBM型电阻器制成两种结构。

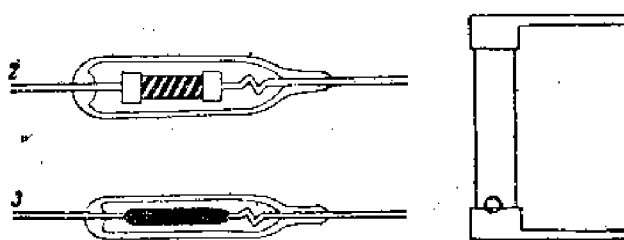


图9—322 碳黑漆膜高阻值电阻的结构

1—KJM型(涂漆的)；2，3—KBM型(真空的)

第一种结构(2)电阻器的基本是瓷棒，尺寸与KC—0.25型电阻器相同，制造工艺与KJM型电阻器相类似。在制造及保存后把电阻器封焊在玻璃管内，并在管内建立约0.1—0.05毫米水银柱的真空。

第二种结构(3)中，基本是玻璃棒。在其内部焊入金属引线。

KJM和KBM电阻主要參量列于表 9—26

表9—26 漆膜高阻值电阻主要參数

型 号	尺 寸 (毫米)		阻值范围 (兆欧)	最大电压 (伏)
	长 度	直 径		
KJM—1	31	6.5	10—10 ⁵	300
KJM—2	28	4.5	10 ⁵ —10 ⁶	100
KBM	50	6	10—10 ⁶	100

(5) 小型电阻器

在小型电阻中，由于直径小和热量通过引线的传导相当大，因而具有很大的散热系数，所以，小型电阻的尺寸往往不决定于负荷功率，而决定于容许电压梯度和生产可能。生产上最大的困难是引出线的固定，引线占去电阻有效体积。

该电阻的特性与该型号的一般尺寸的电阻器相同，误差为20%，通常用清漆或瓷漆保护，并用颜色标志。玻璃棒的端面及焊接引线处的基本体用烧渗法烧上银，然后再涂上导电膜，这种电阻同样也放在建立真空的玻璃管内。

KMM型小型电阻器的结构图示于图9—323中电阻器的基本体是玻璃棒，棒内熔接入金属引线，用烧渗法在棒的两端面涂银，并使银层包复部分引线，然后再滚压导电膜和涂保护瓷漆。小型电阻器的参量列于表9—27中。

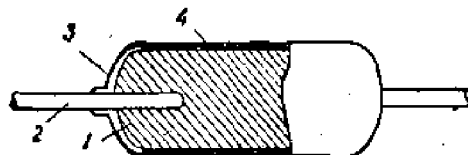


图9—323 KMM小型电阻的结构

1—玻璃基体 2—金属引线 3—用燒滲法得的銀層
4—導電膜(清漆數層來表示出)

(6) 印制电路用的电阻器：

在介质底板的必要部位采用喷雾法或反复滚压法敷上一定形状合成悬浮体，便形成了“印制电阻”，这种电阻属于漆膜电阻器的类型，具有与前述相立漆膜电阻相似的特性，但由于依靠底板散热，单位负荷更好。

在一个公共的底板上同时涂敷许多电阻时，不能保证所需的阻值精确度，特别是对于高值电阻，因为在这种情况下，每个电阻单独地进行热处理实际上是不可能。因此，在要求精确度优于25%时，必须采用从外表面磨擦摸及或切割的方法单独地调整，欲减

小电阻时，可用低阻物质按其需要长度涂敷其两端，因为印制电路的主要优点是生产的自动化和机械化，所以单独调整电阻的方法影响了其整个生产过程的效率。

表9—27

小型电阻的主要参数

型 号	功 率 (瓦)	导 体 种 类	生 产 者	尺 寸 (毫米)		阻 值 范 围
				长 度	直 径	
KMM	0.1	薄膜式	苏 联	7	2	0.5兆欧-100兆欧
TR	0.1	实心式	美国阿林布来德里公司	3.5	1.7	1千欧-22兆欧
—	—	薄膜式	意大利西哥公司	5.1	1.9	10兆欧以下
HWK	0.1	薄膜式	德意志民主共和国	12	2.4	1兆欧-10兆欧
HWK	0.05	薄膜式	德意志民主共和国	8	2.4	—#—
WBN	—	实心式(陶瓷胶合剂)	德意志民主共和国	7.5	1.5	100欧-0.5兆欧
—	0.12	薄膜式(线状)	美国国际电阻公司	7.5	1.25	100欧-0.3兆欧

最近，美国已开始生产专用的带式“粘合”电阻，它可以成品形式粘贴在印制电路中。这种电路是在硅树脂漆浸渍过的专用石棉纸带上，用喷雾法经多次涂敷上导电合成悬浮体制成的。导电合成物中含有硅有机漆和特别耐热炭黑和石墨，因此，就保证了电阻能够在200°C以内的温度下工作。

将厚度0.25毫米、宽32毫米的石棉纸带通过专用箱在其内部进行涂敷，干燥和局部聚合。涂上的薄膜经局部聚合后在某种程度上仍保持着粘性，为了防止互相粘合，在带上涂敷一层聚乙烯薄膜以防止粘合，然后再绕成圈，即为成品，使用时，把它剪切成需要的尺寸。标准尺寸通常为3.2×10毫米，为了精确调整阻值，可以稍微改变其宽度，把薄片带粘性的一面粘在电路中预先准备好接触引线的相应位置后，在250—300°C的温度下聚合3—4小时。聚合后即牢固地粘合在底板上，得到所需的阻值，所需的宽度的精确尺寸用预先试验方法确定。

上述尺寸的电阻，用改变合成物成份的方法，可以得到10欧-10兆欧范围的各阻值，低于150欧的电阻，采用含分子银(与石墨混合)的合成物。

这种电阻在负荷功率相当于1瓦/厘米²和温度为200°C的条件下经过500小时后，其变化不大于6%。

电阻粘在底板上后，用耐热敷层保护。

I. 非线绕可变电阻器

非线绕可变电阻器具有多种类型，但它们的结构全部(或主要部分)按如下型式制成，如图9—324所示：

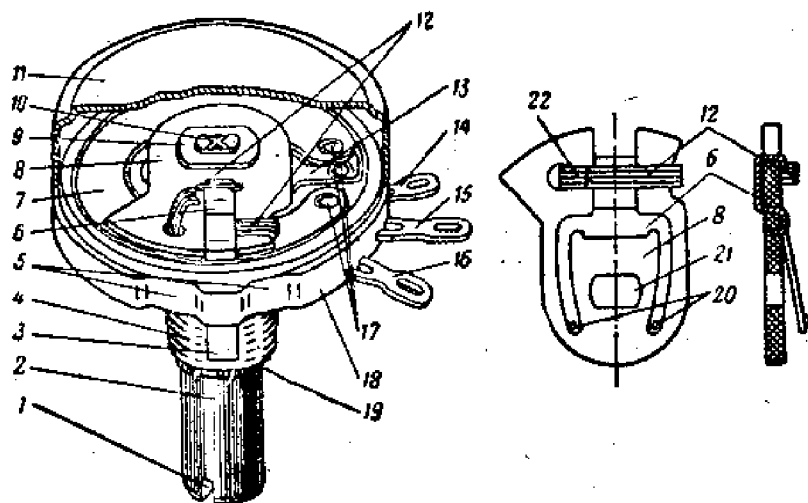


圖 9—321 470歐，1瓦的可變非繞線電阻器

- | | |
|-------------|-------------------------|
| 1.起子槽 | 13.固定的接触环 |
| 2.軸 | 14.16.弧形电阻 7 端头的引出端 |
| 3.固定其方位角的内部 | 15.固定接触环的引出端 |
| 4.套筒轴承 | 17.引出端14.15.16与电阻元件连接铆钉 |
| 5.安装盖子和軸的凹部 | 18.塑料基座 |
| 6.滑动触点 | 19.开口小 |
| 7.平面弧形电阻元件 | 20.可动触点85固定接触环13的接触处 |
| 8.可动支板 | 21.固定轴的孔洞 |
| 9.成形的垫片 | 22.弹簧与电阻元件的接触处。 |
| 10.触点的接触点 | |
| 11.盖子 | |
| 12.触点的弹簧 | |

带有导流层的平面弧形板 7 装在金属或塑料的基座 18 上，板的导流层两个（或一个）末端有不动的引出端。轴承 4 内装有转动轴 2，它带动可动的滑动触点 12，以改变电阻元件的工作长度。固定有滑动触点的可动支板 8 具有辅助触点 20，用它来保证与固定引出端 15 的电气连接，轴上可装上旋钮或具有起子槽 1。在可动机械的上面戴上金属或塑料的保护盖 11。套筒轴承 4 的外表面具有螺纹，借助于旋于其上的螺母，可将电位器固定到设备的底板上，为了防止在震动和冲击时可动触点发生位移，某些类型电位器具有伸长的并带锥槽的套筒（制动轴套），借助于附加的锁紧螺母可将轴锁紧。

I. 漆膜可变电阻器：

这是一般用途可变电阻器中最常用的一种。

CHI型可变电阻器是供一般的直流或交流电路中调整电压之用。

按阻值随转角的变化规律分三种：如曲线图（图9—325）所示，这种电阻器的转角约为 250° 。

图中，A一直线式，常用来调整电路中的直流电压，以便得到所需的工作状态。

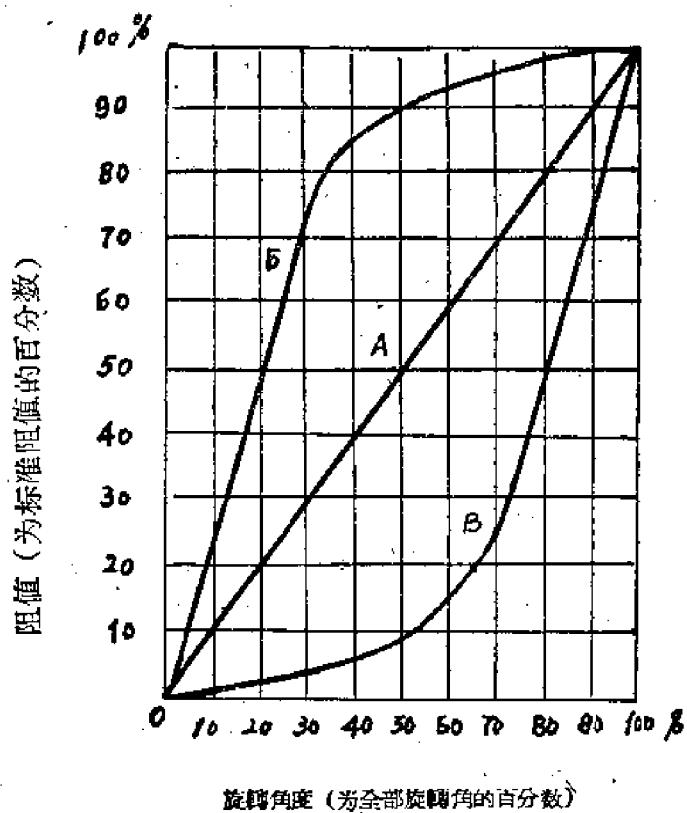


图9—325 阻值与旋转角的关系曲线

▲一直线式 ●一对数式 ▨—指数式

B——对数式，主要用在滤波器中，作为接收和放大设备中的音质调节。

B——指数式，主要用作音量调节。

非线性的变化规律是通过漆膜电阻率（成分）随电阻元件长度的变化实现的。

按结构CII型电阻器又分为四种类型，即：

CII—I——单联电位器。

CII—II——带有制动轴套的单联电位器。

CII—III——双联电位器。

CII—IV——带有制动轴套的双联电位器。

BK型及TK型可变电阻器——与CII—I型结构相类似。主要区别是额定值的等级不同（自2500欧至75兆欧），其中TK型电阻上还附带装有一个开关（在收音机中常用作电源开关）。不同的变化规律电阻器制成不同的额定功率和额定阻值，如表6所列：

2. 实心可变电阻器：

实心可变电阻器主要应用在要求具有很高可靠性和耐磨性的专门设备中，因为实心合成体具有比漆膜合成更大的耐磨性，在使用上更为可靠。

按苏联规格生产的实心可变电阻器具有如下型号：

表9-28

型 类	額定功率	額定阻值范围
直線式	<0.5瓦	2500欧—7.5兆欧
对数式	<0.2瓦	15000欧—2.0兆欧
指數式	<0.2瓦	36000欧—2.0兆欧

СПО型——基体是陶瓷質(皂石瓷)，蓋子是金屬的，導流層采用無機膠合劑(玻璃釉)，壓入陶瓷基體的弦形沟槽內。与СИ型漆膜电阻器相比較具有相当大的厚度(0.3—0.5毫米)，但与固定实心电阻器相比，这个厚度仍相当薄，因而阻值可能达到几兆欧(达到有机胶合介质时的阻值)，由于采用了無机胶合剂，这种电阻具有优良的防潮性和耐热性。

实心可变电阻器可用分段裝料方法获得电阻率沿长度的变化，并可用磨的方法进行精密的阻值調整，但是，由于工艺較复杂，目前国产的СПО型电阻器只生产直线式变化規律的。

СПО型的结构与СИ型相似，СПО型电阻器又具有两种。即СПО-0.5(額定功率<0.5瓦，小尺寸，260°轉角)和СПО-2(額定功率≤2瓦，較大的尺寸，290°轉角和高的耐震性)。

按结构形状СПО-2型电又分四类，其中：

СПО-2-I：单联可变电阻器(分軸端带起子槽、無起子槽、带銑平面三种)。

СПО-2-II：单联可变电阻器(只有軸端不带起子槽一种)。

СПО-2-III：双联可变电阻器(有軸端带起子槽、無起子槽及带銑平面三种)。

СПО-2-IV：双联可变电阻器(只有軸端不带起子槽一种)。

漆膜及实心两种可变电阻都属于合成型的，它的电特性与同类固定电阻器特性相同，为了便于比較和选择，将基本參量列于表9-29，

其它电气参数使用时可參閱产品目录。

国产的合成型可变电阻器还具有其它型号，如华北無線电器材厂按德国标准生产的224-1、224-2、224-3及224-4型漆膜可变电阻器等，其结构性能可参考該厂产品目录。

3. 金屬膜可变电阻器：

如果正确地选择制造薄膜的合金，沉积在玻璃板基体上的金屬膜具有較高的耐磨性，再基于金屬膜的其它方面优良的性能(稳定性高、耐热高，噪音低等等)，最近已开始采用金屬膜可变电阻器，但由于阻值受限制(要求較大厚度)，制造工艺比較复杂，要求选择有限品种的貴金属合金(耐磨性要求很高)等原因，这种电阻器暂时还未得到广泛应用，在苏联和我国現仍未生产这种可变电阻器。

表9—29 合成型可变电阻的某些数据

型 号	阻值范围	额定功率(瓦)	容许温 度 %	容许气 压 mmHg	容许环境温度 °C	容许工作电压
C II	470欧 —4.7兆欧	0.5—2	98(20°C)	40	-60 +70	400—500
BK; TK	2.5千欧 —1.5兆欧	0.2—0.5	98(20°C)	760	-60 +60	200—350
СПО-0.5	100欧 —1.0兆欧	0.15 0.3	100(40°C)	40	-60 +80	250
СПО-2	47欧 —4.7	1 2	58—100 (40°C)	5	-60 +130	600(当10mmHg) 200(当5mmHg)

可用弧形玻璃板基体的宽度和合金的成分来获得不同阻值的电阻器，按不同阻值范围可采用表9—30所列的三种合金。

同样，用控制宽度和合金成分的方法也可制成非线性变化规律的，在直线式可变电阻器中，采用提高厚度均匀性并使宽度公差减小的措施之后，可制成直线性精确度达±5%的可变电阻器，这种电阻器可用在对直线性要求很高的测量仪器和计算装置中。

表9—30 可变金属膜电阻用的合金

合 金	阻 值 (欧)	
	平方表面的电阻	成品电阻
1. 钨—42%，金—40%，铑—18%	100—500	20000以下
2. 钨—65%，铑—28%，锰—6%，镍—1%	500—900	36000以下
3. 铑—35.5%，钌—9.5%，锰—5%	2000—7000	280000以下

为了获得必要的耐磨性，采用了迂迴刻槽方法（用某种腐蚀法去掉不需要的金属部分，以形成细致清晰的迂迴槽纹），并用金属将接触路径部分加厚，试验结果表明，阻值为300千欧的这种电阻，在70°C时加交直流负荷，在4克的接触压力下经300,000次旋转后其阻值变化小于0.6%。

4. 金屬氧化膜可變電阻器：

由於金屬氧化膜具有牢固性，也開始用作可變電阻器，它在許多方面比金屬膜可變電阻器具有較大的發展可能性。

金屬氧化膜電位器的主要優點是阻值較高，可改變化學成分來控制阻值範圍，溫度系數低，耐熱性好。它比金屬膜更適合大量生產，其缺點之一是接觸電阻較高，因而需要較大的接觸壓力，技術上的困難是在所有工作條件下（尤其是在工作溫度下）難以保持穩定而良好的電接觸。

由於膜層具有良好的機械強度，除可作成具有加厚的迂迴式可變電阻器，還可作成加厚的連續導電窄紋的可變電阻器，而保證一定的耐磨性（例如：100,000次迴轉）。

這種電位器目前尚在發展中。

§9—4 電阻器的選用：

掌握了前面所述的電阻器基本用途、分類、基本參量及各類型電阻器的主要特性之後，便能正確和合理地選用電阻器。

選定的任務是確定電阻器的型號和結構。

選用電阻器的類型是根據電路工作狀態需要和要求，設備的使用條件和要求，電阻器的價格等進行的，具體地說，應遵循以下基本要點：

1. 電阻器額定值及其誤差應符合計算電路的要求，除了對電阻值有特別高要求的測量儀器和計算裝置應按計算阻值特別製造的電阻器或借助於高精度測量儀進行挑選以外，大多數情況下應從標準化的額定阻值中選擇最接近計算數值的額定阻值的電阻器。

只有對精確度要求特別高的場合才選擇其誤差等級為1%以下的電阻器，普通的無線電設備應按電路的不同要求選擇5%、10%、20%精度級的電阻器，應考慮到精度等級愈高則價格愈昂。

例如：推挽式放大器倒相電路中分壓電阻和前一級的板極負荷電阻，推挽放大級的兩個柵極電阻，以及反饋電路的分壓電阻等，應選用誤差為5%級的電阻器，功率管的陰極電阻，一般電子管的負荷電阻、一般降壓電阻分壓電阻，等可選擇誤差為10%級的電阻器，而一般電子管柵漏電阻、去耦電阻、低放管的陰極電阻等則可選用20%級的。

2. 電阻器的額定功率 P_{n0} 和級限工作電壓 U_{p06} 必須高於電路中計算的負荷值。在一些較重要的設備以及裝配得很緊湊的設備中，為了增長電阻器的壽命和避免燒壞鄰近零件，有時選用 P_{n06} 比實際負荷值大（1倍到2倍）的電阻器。工作於脈衝電路的電阻器應遵從本參量中所提到的原則，並要用有利於脈衝電路的類型（如碳膜電阻等）。

3. 在工作頻段內，電阻器阻值對頻率的關係應為電路的要求所容許（特別在高頻電路中）。

4. 電阻器的噪音電平應大大地低於設備的靈敏度。

5. 電阻器對外界影響的穩定性應符合電路的要求。為此，應首先充分了解設備的應用條件，以及設備的結構（如果需要採用整體密封，強迫冷卻、恒溫、防震裝置等）。對於裝置在活動容體上的無線電設備，這一準則特別重要，在大多數情況下，這一點是選擇電阻器類型的最主要根據。

第十章

固定电容器

§10—1 固定电容器的应用及类别

固定电容器用于振荡器及放大器的回路中来获得调谐与跟踪的温度补偿，以及作为隔直流、旁路之用，也可作为滤波器的元件，作为电能的储存器。

由于需要大量的固定电容器，在无线电工业中，除特殊应用者外，已将最常用的类型加以标准化，并组织大量生产。在应用中，选择所需要的电容器的类型，是根据其特性和使用条件的要求来进行的。

因为，电容器的特性，基本上是决定于分隔电容器極片的介質，所以电容器按它的介質来分类是很方便的，电容器按介質的不同，可以分类如下：

- I. 气体介質电容器，有空气、充气及真空的三种。
- II. 液体介質电容器，有充油和充合成液体的二种。
- III. 無机固体介質电容器，有石英、玻璃、玻璃釉、云母、陶瓷及硫介質的六种。
- IV. 有机固体介質电容器，有紙質及薄膜的二种。
- V. 工作在和电解質有接触的固体介質电容器（电解电容器），有有極性的和無極性的二种。

學習本章的目的在于掌握常用的固定电容器的特性，并能够按照无线电设备所提出的技术要求来正确地选用固定电容器，并能了解主要类型的结构設計和制造工艺的基本情况。

§10—2 电容器的基本參量

I. 电容量：电容量就是在电容器的两極間每单位电压所能储积电荷的能力，常用的电容量通常是在几个微微法到几千微微法的范围内。这里：

$$1 \text{ 法拉} = 10^6 \text{ 微法} = 10^{12} \text{ 微微法} = 9 \cdot 10^{11} \text{ 厘米}$$

标准固定电容器是在专业化了的无线电器材制造厂生产的，电容器的額定电容量，是根据需要由国家标准化了的。各个电容器的电容量与額定电容量的容許误差由精确度来决定。通常分为四个基本等級；即Ⅰ級，Ⅱ級，Ⅲ級及Ⅳ級，此外对于电解电容器又增设了三个級，即Ⅴ級，Ⅵ級及Ⅶ級。它们所代表的精确度如下：

Ⅰ級容差士2%

Ⅱ級容差士5%

Ⅲ級容差士10%

III級容差士20%

IV級容差 +20~-10%

V級容差 +30~-20%

VI級容差 +50~-20%

特別精确的电容器，例如，云母电容器，它的容許容差要求很高，采用士0.1%到士0.25%；但电解电容器的精确度，因特性及应用上的关系，并不需高容差的上限，通常可达+50%。

必須按照無綫电设备所提出的技术要求，正确选择电容器的精确度等級，因为提高精确度的等級要求，要增加价格，从而提高了成本。

II. 抗电强度

1. 工作电压：工作电压有时称为耐压，即电容器能可靠地工作很長時間（例如10,000小时以上）的最大电压，当电容器在更高的电压下工作时，会显著地縮短它的使用期限（耐久性）。

2. 試驗电压：試驗电压是电容器在一定的短時間內（通常是5秒鐘，有时为1分鐘），应能耐受而不致击穿的电压。根据实际要求，一般試驗电压与工作电压的关系为：

$$\text{試驗电压} \approx (1.5 \sim 3.0) \text{ 工作电压} \quad (10-201)$$

3. 击穿电压：击穿电压是电容器被击穿的最小电压。

抗电强度的大小，决定于分隔極片所用的介質厚度和品質，并且决定于它的結構，例如極片的形状面积和散热情况。

击穿电压也与外界条件有关。温度、湿度和气压的变化，都对介質的击穿电压有影响。击穿电压与工作电压的关系，根据实际需要，是：

$$\text{工作电压} \approx \left(\frac{1}{3} \sim \frac{1}{10} \right) \text{ 击穿电压} \quad (10-202)$$

III. 絶緣电阻：电容器的絶緣电阻，是加于电容器上的直流电压和漏泄电流的比值：

$$R_{uz} = \frac{U}{I_{ym}} \quad (10-203)$$

应当注意，漏泄电流通常是在电容器加上直流电压数分鐘后讀出的。

电容器的絶緣电阻，基本上决定于通过介質層的漏泄电流，因此，絶緣电阻与介質的体积电阻系数 ρ_v （欧·厘米），極片面积 S （厘米²）和介質厚度 d （厘米）有关：

$$R_{uz} = \rho_v \cdot \frac{d}{S} \cdot 10^6 \quad (10-204)$$

絶緣电阻的数值，通常是很大的，云母电容器在5,000兆欧以上，紙解电容器在100兆以上，电解电容器在1.0兆欧以上，才能在电路上应用。

为了判別大电容量的电容器的品質优劣，往往用絶緣电阻与电容量的乘积，即电容器的时间常数来衡量：

$$T = R_{uz} \cdot C = 0.884 \cdot 10^{-13} \cdot \varepsilon \cdot \rho_v \text{ (秒)} \quad (10-205)$$

由式(10—205)可见，电容器的优劣(即电容器的时间常数的大小)与电容器的形状和尺寸无关，而只决定于介质的品质。

必须了解，绝缘电阻降低时，会引起漏泄电流的增大，从而，可能破坏线路各部分的工作。

绝缘电阻与温度及湿度有关，当温度和湿度升高时，绝缘电阻会显著地下降，所以，在设计及制造固定电容器时，为了降低它的损耗，浸渍与密封工作，一定要做好，务使 R_{uz} 不变。

IV. 损耗：电容器中的损耗，由下列成份组成：

1. 电容器介质中的损耗 P_g 。它是由下面这些情况引起的：(1)由于离子的移动(电导和层间极化)。(2)由于偶极子的旋转或极根位移。(3)由于介质中的空气的电离作用。(4)由于极片边缘外空气的电离的作用。

2. 电容器金属部分中的损耗 P_m 。它是由下面这些情况引起的：(1)由于电流使极片发热。(2)由于电流使触点和端线发热。(3)由于极片的振动。

在单位时间内，电容器中的能量总损耗：

$$P_A = P_g + P_m \quad (10-206)$$

在电容器中所失去的能量，基本上变成电容器的发热，因此使它的特性变坏，有时也会引起电容器的击穿。

具有损耗的电容器，可用并联的(图10—201)或串联的(图10—202)的等效电路来表示。

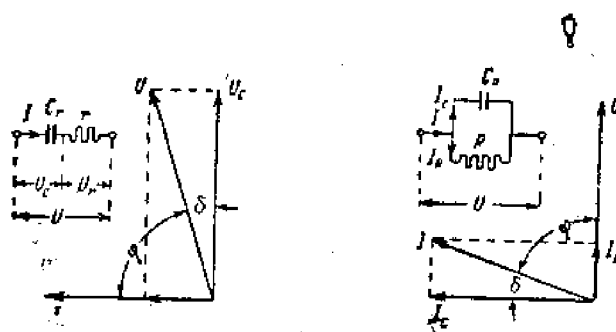


图10—202相当于有损失的电容器的串联电路。 图10—201相当于有损失的电容器的并联电路。

因此，电容器的损耗，通常由损耗角的正切值来表征。

对于串联电路：

$$\operatorname{tg}\delta = \frac{U_r}{U_c} = \frac{I \cdot Y}{I} = \frac{r \omega C_r}{\omega C_r} \quad (10-207)$$

对于并联电路：

$$\operatorname{tg}\delta = \frac{I_R}{I_c} = \frac{\frac{U}{R}}{\omega C_R U} = \frac{1}{R \omega C_R} \quad (10-208)$$

并联电路与串联电路参数间的关系可由下列公式确定：

$$R = r \left(1 + \frac{1}{\operatorname{tg}^2 \phi} \right) \quad (10-209)$$

$$C_R = \frac{C_r}{1 + \operatorname{tg}^2 \phi} \quad (10-210)$$

在无线电工程中，判别电容器的品质，有时采用损耗角正切的倒数，即品质因数来表征。

$$Q = \frac{1}{\operatorname{tg} \phi} \quad (10-211)$$

既知电容器的 $\operatorname{tg} \phi$ 值，就可算出它所损耗的有功功率：

$$P_A = UI \cos \phi = U^2 \omega C \operatorname{tg} \phi = P_R \operatorname{tg} \phi \quad (10-212)$$

式中： P_A ——有功功率（瓦）

U——电压（伏）

C——电容量（法）

P_R ——无功功率（乏）

在小功率电容器中的损耗，主要由介质的缓慢极化和介质的电导所引起的，这种电容器的极片和引线的损耗，通常可以略去不计。

回路中所用电容器的品质因数，通常自200到1,000左右。

温度和湿度对电容器损耗值有重大的影响，当温度和湿度升高时，损耗增加。

强力发射机及高频工业装置中的电容器，工作在高频、高压和大功率下。对于这类电容器引入无功功率的概念：

$$P_R = -\frac{1}{2} UI \sin \phi \quad (10-213)$$

因为高质量电容器的损耗角很小，所以， $\phi \approx 90^\circ$ ，因此 $P_R = -\frac{1}{2} UI$ 。每一个电容器都有在使用过程中不应超过最大容许的无功功率 $P_{R\text{son}}$ （相当于每个电容器的 P_R 的值，在产品目录中可以查得）。此无功功率 $P_{R\text{son}}$ 决定了电容器对交流电压的抗电强度。在电容器上容许的交流电压，等于：

$$U_{\text{son}} = \sqrt{\frac{2P_{R\text{son}}}{\omega C}} \quad (10-214)$$

当交流电压高于容许电压时，介质就会发热，损坏电容器。所以，应用在高频和无功功率很大的情况下的电容器，应采取如下的降低温度的措施：(1)在电容器外壳上焊散热片，以增加电容器的散热面积，(2)用风扇进行强制的通风冷却。(3)采用水冷。强制风冷可以使电容器的额定无功功率提高3至4倍，而用水冷法，则可提高到20至30倍。

在小功率的设备中，电容器总是在不大的交流电压下工作，因此，无功功率这个参数，不是表示电容器特征的参数。

V. 固有电感：电容器的固有电感，是由电容器极片本身的电感和外部与内部的接线电感所构成的。电容器本身的电感与极片的面积以及极片和引线联接的方式有关，电容器尺寸愈小且引线和内部接线愈短，则固有电感也愈小。

在具有焊头的云母、陶瓷和纸解电容器的固有电感，大约等于和电容器大小相当的铜导线的电感。

固有电感的存在，会在电容器中引起谐振现象，使得电容器的总阻抗依赖于频率。图10—203给出了电容器的近似等效电路。



图10—203 具有固有电感的电容器的等效电路

在谐振时，亦即 $f_0 = \frac{1}{2\pi\sqrt{CL}}$ 时，这个电路的阻抗最小，并等于损耗电阻。对于其他频率来说，电容器的总阻抗增大，并具有电抗特性，在较 f_0 低的频率时呈电容性，而在较 f_0 高的频率时呈电感性。电容器总阻抗与频率的关系绘于图10—204。

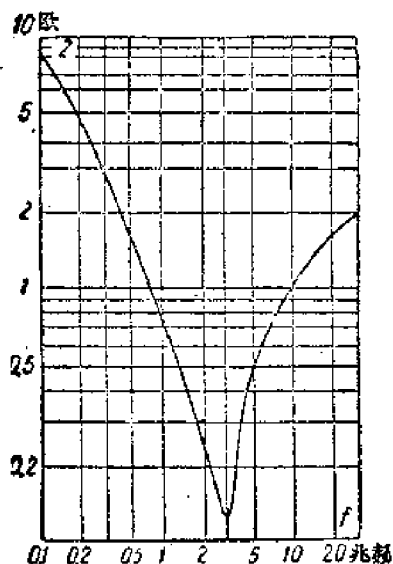


图10—204 电容器总阻抗随频率变化的曲线 ($C=0.1$ 微法, $L=11\times 10^{-3}$ 微亨)

只有在低于谐振频率的频率上，才能获得电容器的正常的运用，在这些频率上，它才能具有容性的电抗。为了工作稳定起见，必须使最高工作频率为电容器谐振频率的 $\frac{1}{2} \sim \frac{1}{3}$ 。当接近谐振频率时，总阻抗对频率的依从性显著的增长，这就限制了电容器在超短波波段的应用。

特殊结构的云母和陶瓷电容器的固有电感很小，因而，具有高的谐振频率。这些电容器可以有效地用于1,000兆赫至2,000兆赫以下的频率。标准化电容器的固电感和某些类型电容器的最高工作频率，列于表10—1中。

表10—1

电 容 器 的 电 感

表10—1

电 容 器 类 型	$L \cdot 10^{-3}$ (微亨)	f_{max} (兆赫)
小尺寸云母电容器(КСО—1—КСО—7)	4—6	150—250
中尺寸云母电容器(КСО—11—КСО—13)	15—25	75—100
大尺寸云母电容器(隔直流KB)	50—100	1—1.5
小尺寸陶质圆盘式电容器КДК—3)	1—1.5	2000—3000
中尺寸陶质圆盘电容器(КДК—1, КДК—2)	2—4	200—300
小尺寸陶质圆管形电容器(КТК—1, КТК—2)	3—10	150—200
中尺寸陶质圆管形电容器(КТК—3, КТК—5)	20—30	50—70
圆柱形外壳具有焊头的小尺寸纸质电容器(КВ—И)	6—11	50—80
圆柱形外壳、无焊头的中尺寸纸质电容器(КБГ—И, КБ)	30—60	5—8以下
大容量纸质电容器.....	50—100	1—1.5
空气介质、中尺寸、可变电容器.....	10—50	50—100
小尺寸可变电容器.....	6—20	300—350

II. 稳定性：电容器的稳定性，是以它的基本参数的变化，主要是电容量在温度、湿度、周围空气压力等的影响下，所发生的变化来表示的。

在温度的影响下，极片的面积，间隙的大小，电介质的介电常数值发生变化，这些原因，就引起电容器电容量的改变。

温度影响所引起的电容量的变化，以电容温度系数(TKE)和电容不稳定系数(TKHE)来表示。

电容器的电容温度系数：

$$\alpha_c = \frac{\Delta C}{C \cdot \Delta t} \quad (1/\text{度}) \quad (10-215)$$

其中： ΔC ——电容量在 Δt 温度变化下的增量。

C ——室温下的电容量。

Δt ——温度的增量。

电容器的TKE和所采用的材料，在结构中，这些材料的排列以及制造工艺有关。

电容器电容不稳定系数：

$$\beta_c = \frac{C_1 - C_2}{C_1} \quad (10-216)$$

其中： C_1 ——在室温下的电容量。

C_2 ——在温度升高或降低到工作温度极限值之后再恢复到室温时测得的电容

电容器的电容不稳定系数，主要决定于介質的老化和結構在电容器中，当温度多次变化情况下，所發生的殘留变形。电容器的稳定性，可查用表中的数据。依从于温度稳定性的不同，标准化的固定电容器分为数組，見表10—2 和表10—3。

1. 电容器的类型在下面討論； 2. 对于 $C \leq 4700$ 微微法來說。

新式电容器的稳定性

表10—2

电容器类型	α_c	β_c	应用范围
高质量空气电容器	$20-50 \times 10^{-6}$	$0-0.1 \times 10^{-2}$	高稳定度的振蕩器和本机振蕩器
中等质量空气电容器	$100-200 \times 10^{-6}$	$0.1-0.5 \times 10^{-2}$	中等和低稳定度的振蕩器和本机振蕩器
温度稳定的陶瓷电容器①	$\leq 10 \times 10^{-6}$	$0.05-0.15 \times 10^{-2}$	各种不同稳定度的振蕩器和本机振蕩器
温度补偿的陶瓷电容器	$(50-1500) \times 10^{-6}$	$0.05-0.15 \times 10^{-2}$	各种不同稳定度的振蕩器和本机振蕩器
极板镀有金属的云母电容器	$\leq 50 \times 10^{-6}$	$\leq 0.1 \times 10^{-2}$	中等稳定度的振蕩器和本机振蕩器
金属箔极板的云母电容器	$100-500 \times 10^{-6}$	$0.1-0.2 \times 10^{-2}$	各种不同的放大器及直流通电容器，滤波器
纸质电容器	$1-3 \times 10^{-3}$	$0.5-2.0 \times 10^{-2}$	各种不同的隔直流通电容器，滤波器

①下面将解釋这些术语

标准电容器溫度穩定性的組別

表10—3

組 別	α_c	β_c	外 壳 颜 色
A	未注	明	—
B	$\pm 200 \times 10^{-6}$	0.005	—
B	$\pm 100 \times 10^{-6}$	0.002	—
F	$\pm 50 \times 10^{-6}$	0.001	—
—	$-(1500 \pm 300) \times 10^{-6}$	—	—
II	$-(730 \pm 100) \times 10^{-6}$	0.0015	紅 色
Ж	$-(600 \pm 70) \times 10^{-6}$	0.0015	橙黃色
M	$-(50 \pm 30) \times 10^{-6}$	0.0005	深蓝色
P	$+(30 \pm 30) \times 10^{-6}$	0.0005	灰 色
C	$+(110 \pm 30) \times 10^{-6}$	0.0005	兰 色
Ц	$+(200 \pm 50) \times 10^{-6}$	—	綠 色

在湿度的影响下，空气和吸湿性介质的介电常数发生变化，绝缘电阻和损耗角也就发生变化。在电容器零件上凝结成薄膜状的潮气，引起电容器参数特别大的变化。

为了防止湿度的影响，固定电容器要用不吸潮的材料来浸渍和涂复，用瓷漆复盖或用塑料压制而成。主要的固定电容器要密封起来。压在塑料中的电容器，可在周围空气的相对湿度达65~70的情况下正常工作。而密封式的电容器则可在相对湿度达95~98%和更高的情况下正常工作。

周围空气压力的降低，会使电容器的电容量和抗电强度减小。

防止电容器随周围空气压力变化的可靠的方法，也是采取密封。密封式电容器可在压力低至50~100毫米水银柱的情况下正常工作。

在颠簸、振动和加速运动等等情况下，电容中所产生的机械应力，会引起各个结构元件的移动，从而影响电容器的电容量。

用无弹性材料制成厚的极片，增加间隙并且加固电容器的全部结构，可以消除机械振动的影响。

残留变形和介质老化，将引起电容器的参数随时间而变化。

III. 比容和比电容：减小无线电设备的尺寸，亦即向每个元件提出减小尺寸的要求，就向电容器提出了一重要的参数：

$$V'_{yg} = V/C \quad \text{及} \quad C_{yg} = C/V \quad (10-217)$$

其中 V'_{yg} —— 比容（厘米³/微微法或厘米³/微微法）。

C_{yg} —— 比电容（微微法/厘米³或微微法/厘米³）

C —— 电容量（微微法或微微法）。

V —— 电容器的体积（厘米³）。

§ 10-3 气体介质固定电容器

概述：气体介质电容器有空气固定电容器，真空气定电容器和充气固定电容器等。

利用气体做介质的电容器具有下列特点：

(1) 损耗角小 ($\operatorname{tg}\delta < 1 \cdot 10^{-5}$)，损耗是由支持住零件的固定介质和接触电阻所引起的。

(2) 温度改变时，具有高的稳定性（因为空气的介电常数的温度系数很小 $\alpha_{\epsilon_0} \approx -2 \cdot 10^{-6}/\text{度}$ ）。

(3) 电容量和抗电强度随着周围空气的压力的改变而变化(高度改变±0.1千米时，引起 ϵ_0 的变化平均为± $9 \cdot 10^{-6}$)。亦即电容量和抗电强度受周围空气的压力的影响而不稳定(真空气充气的电容器没有这个缺点)。

(4) 电容量也随空气湿度的变化而变化，在极片上及电容器的固定介质上形成水汽薄膜时，会强烈地影响电容量，在干燥之后，才能恢复到原来的值(真空气充气的电容器也没有这个缺点)。

(5) 比容小，这是因为空气的抗电强度低。因此，大于1,000微微法的空气电容器是几乎不制造的。

I. 空气固定电容器：

空气固定电容器仅可用在工作电压较低和额定容量较小的場合，也就是在需要高度的电容稳定性和極小的損耗角的場合，所以，这种电容器有特別精确測量上用來作为标准电容，在小功率的無線电發送机中也用。如圖10—301示出了小功率無線电發送机用的空气固定电容器結構概圖。

1. 低压标准空气电容器：供用在工作电压为500伏以下的直流电路中，其額定电容量在10微微法至0.1~0.2微微法之間。这类电容器需要电容量的高度准确性，电容量对时间的高度稳定性，电容的温度系数小，电容随频率变动小，絕緣电阻高和損耗角小。

标准空气电容器的額定电容的上限是0.1~0.2微微法，这样大电容的电容器十分笨重，例如，在容量0.1微微法时，容积約为0.1立方米，重約在30千克以上。所以，現代电容在0.01微微法以上时，已由云母电容器所代替。

圖10—302示出了低压空气标准电容器的結構概圖。

2. 高压标准空气电容器：

有电容为100微微法，工作电压10千伏，50赫（試驗电压为15千伏）的电容器，其外壳直徑为310毫米，高570毫米。由于过笨重已被充气电容器所淘汰，不再使用。

3. 無線电發送机回路中，空气固定电容器用于波长在100米 ($\lambda > 3 \cdot 10^6$ 赫) 以下，功率比較不大之处。現代用的电容器，通常不超过数十或数百微微法，工作电压不超过数千伏。真空固定电容器比它更适宜用于短波。

II. 充气固定电容器：用高压气体(气体常用氮 N_2 或六氟化硫 SF_6 ，或弗利昂 $Cl_2 F_2$)，可以使气体介質电容器的抗电强度大为增加，并使尺寸减小。

充气固定电容器的外形，结构如圖10—303所示。

这种充气电容器在频率为1.2兆赫时，工作电压达40千伏(峰值)，額定电容为1,200微微法，充氮气达15~18大气压而加以試驗时在周围温度为20°C时，100%調制，無功率負荷达2,000千伏，电容器發热溫度为70°C。

这种电容器密封的结构很好，一般說來，电容器的补加充气每年不超过一，二次。

充气电容器在 $10^3 \sim 10^6$ 赫频率范围内应用較为适宜，频率更高时用充气电容是不适宜的。

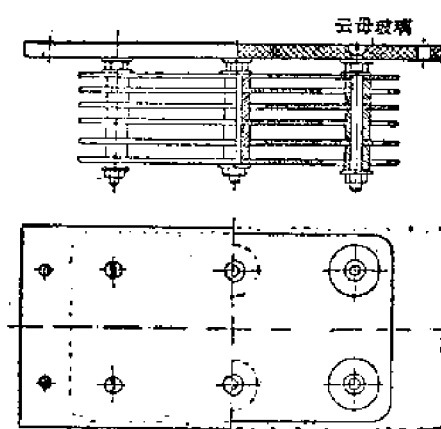


圖10—301 小功率無線电發送机用的空气固定电容器結構概圖。

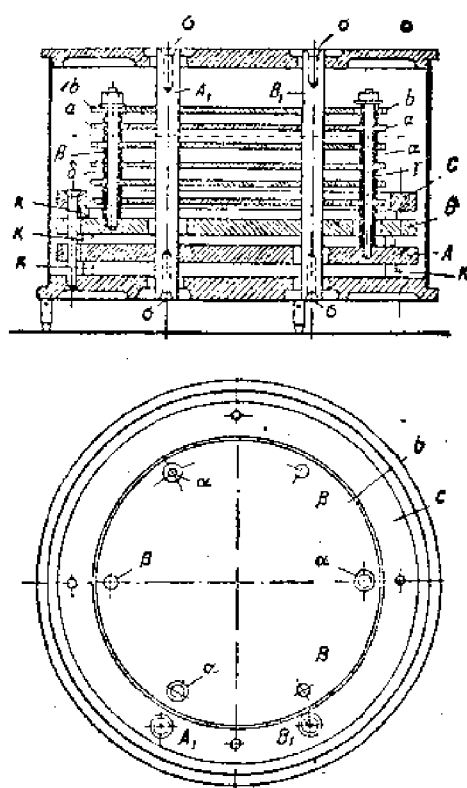


圖10—302 低压试气标准电容器的结构图
A、B—主屏蔽；C—固定环；d、e—正极板；
f、g—负极板；h—确定螺栓；i—接触柱；
j—一节英特雷（固体介質）；k—一节玻璃管；
—一节玻璃管的端口

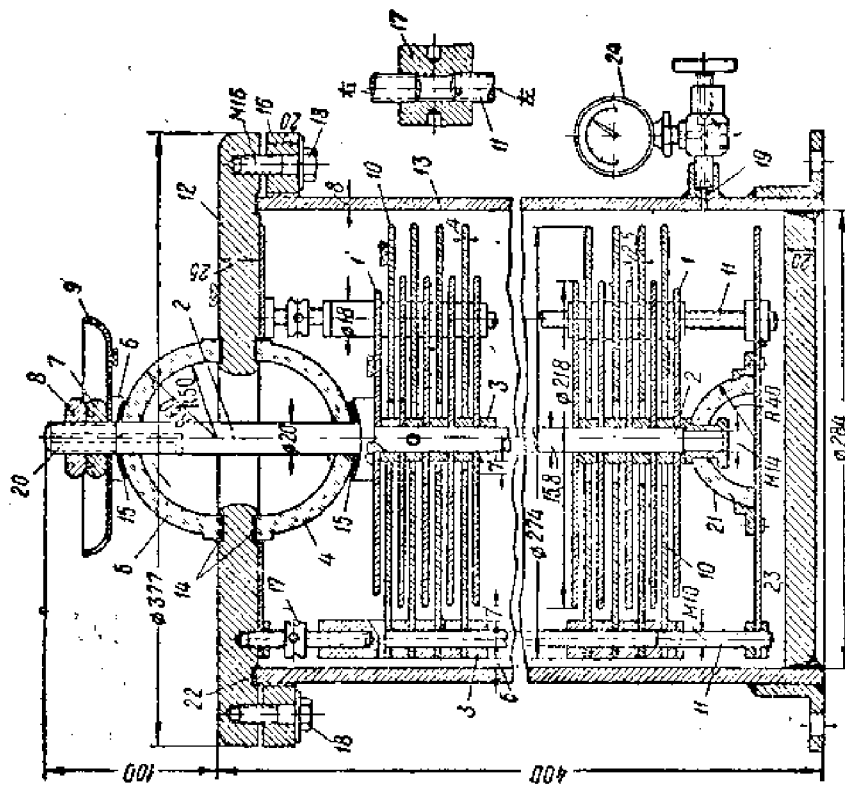


圖10—303 气气式高压试电容器的结构图：5—500KV瓷头，125千伏，0.0兆欧。
1—高压触片 (矩形)；2—中心轴；3—隔膜盒；4—波纹管；5—放电上半球；6和7—将半球压紧在电容器盖上的螺栓和加紧螺母；8—引出螺钉；9—便引出螺钉；10—低正触片 (矩形, 中央打孔以便于中心轴2通过)；11—供微低电压调节的三个开关；12—盖子；13—外壳壁 (底座钢管)；14—橡胶套, 使半球与盖分离；15—橡胶垫圈, 使半球与中心轴隔开；16—引线；17—螺栓, 用以调整低电压片对于高压源片的移动 (使绝缘与螺子相联)；18—转中心孔, 气压表与螺子联接；19—气压表小孔 (有塞子塞住)；20—气压表；21—气压表；22—波纹管, 外壳与外壳盖 (后来上做活塞代替)；23—外壳盖部；24—气压表 (充有“电出汗”的7至8大气压)。

III. 真空固定电容器：在气体的压力极低时，即在高度真空时，抗电强度急剧增加，因此，可以利用制成真空的电容器，用在高频高压上。其结构如图10—304所示。现代的圆筒形真空电容器尺寸较小，而且有很高的抗电强度 ($U_{pa\delta}$ 达 $20 \sim 30$ 千伏) 和极小的损耗角 ($\operatorname{tg}\delta < 1 \cdot 10^{-4}$)。这就使得它能在高频和超高频时有很大的无功功率单位负荷，而不致有过度过热的危险，在 $10^6 \sim 10^8$ 赫的频率范围内，这类电容器与充气电容器不同，它们较适宜于制成小电容的额定容量 $C_{nom} = 5 \sim 10$ 以至 $100 \sim 250$ 微微法， C_{nom} 更大时，这种真空电容器结构繁复，不易制造。品质优良的真空电容器，在 $10 \sim 20$ 兆赫以下的频率时，具有 $\operatorname{tg}\delta \approx 5 \sim 8 \cdot 10^{-5}$ 。频率再高时，由于电容器金属部分中的损耗， $\operatorname{tg}\delta$ 可能升高。在低频率（50千赫时）， $\operatorname{tg}\delta \approx 1 \cdot 10^{-4}$ ，可是在这样的频率时，就不需要用真空电容器了。真空电容器的无功功率的额定数值，一般在 $200 \sim 300$ 千乏以下。

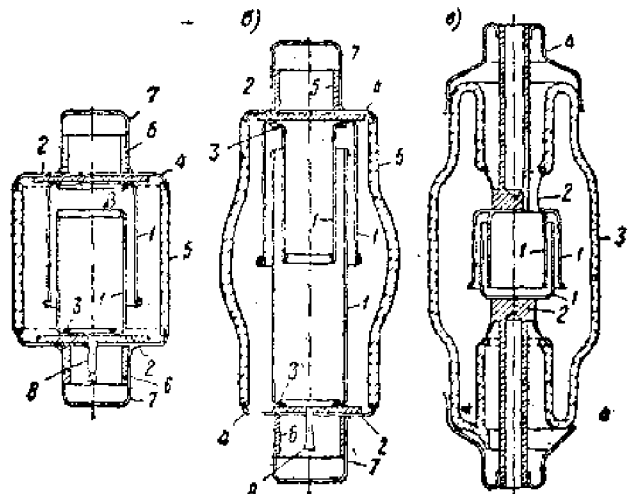


图10—304 真空电容器的结构方式

(a) 用镍铁合金制端盖封盖着的玻璃管：

1—圆筒形黄铜电极；2—支承电极的铁盘；3—将电极接牢（焊接）在铁盘上的螺环；4—镍铁合金制的圆盘，其边缘焊入玻璃内；5—玻璃管；6—套管，用来装牢引出盖；7—镀银黄铜制的引出盖；8—抽气管（密封并浇注）。

(b) 与上相同：

不过用于较高的电压（10千伏）。数目符号同上。

(c) 装有结构繁复的巨大引出端的玻璃管：

1—圆筒形电极；2—由红铜精密车成的引出端；5—玻璃管；4—引出盖。

§10—4 液体介質固定电容器

液体介質比气体介質的优点在于 ϵ 較大，約大4—6倍（弱極性介質液体）。液体介質与在正常压力下的气体比較，抗電强度更大，所以，用液体介質代替气体介質可使电容器的比容积大为減小。但是，液体介質的損耗角較大，即使仔細提淨的無極性液体，其 $\text{tg}\delta = 1 \cdot 10^{-4}$ ，而气体则 $\text{tg}\delta < 1 \cdot 10^{-5}$ 。有極性的液体通常具有更大的損耗角，液体介質的介电常数，也与气体的不同，即使無極性的液体介質， ϵ 的数值也随温度而有显著变化，有極性介質的 ϵ 值与温度的关系可以非常巨大。此外，液体介質只有在經過仔細的干燥，除气和提淨后，才有大的抗電强度和小的損耗角，这就使得制造困难。为了防止液体漏出和免除周围空气中的湿气和灰塵侵入，这种电容器必須加以密封。

有机液体的重大缺点又在于它們当受热和受电場作用时，漸致老化，液体介質的电气性能变坏，由于上述缺点的存在，所以，在無綫电设备中，充油电容器不久就被云母电容器所淘汰，而云母电容器在現代又被充气电容器所代替。

不过，液体介質电容器仍然有新的用途，例如，在金属加热用的工业高頻率的电路中，其工作频率为150赫，在这种情况下，因为对于频率稳定度的要求比無綫电發送机电路中的大为降低，因此，即使 ϵ 較大也沒有关系。

这种电容器供有 $2 - 3 \times 10^5$ 赫的频率时，用于10千伏的工作电压下，电容有850微法（無功功率为1500千瓦），电容器的尺寸为 $400 \times 2500 \times 490$ 毫米。

§10—5 固体无机介質电容器

固体介質电容器，在結構及性能上有以下特点：

(1) 固体介質用在电容器上时，与气体或液体不同之点是，可以得到简单的结构，因为可以将極片裝固在介質上，而不必用其他机构来支持。

(2) 無机介質具有高的耐热性、机械稳定性和化学稳定性，因此可以保証电容器極片間距离不变，从而，使电容器在长时期內有極大的稳定性，能在电場和高温度的长期作用下不發生老化現象。

(3) 無机固体介質的介电常数要比气体和液体介質的介电常数大，大多数的固体介質的 $\epsilon > 5$ ，也有許多具有 $\epsilon > 10$ 的。为制造电容器专用的無机介質的 ϵ ，可达80—90。最近几年制造了強性介質陶瓷，它的 ϵ 可大于1000，但是，它的 $\text{tg}\delta$ 較大，稳定性低。

(4) 許多無机介質的介电常数的溫度系数 α_ϵ 及其線脹系数較小，因此，可以得到很小的电容溫度系数。

(5) 訸多無机介質的 $\text{tg}\delta$ 極小，因此，可使以固体無机介質制成的电容器应用在高頻上。

(6) 固体無机介質不大适宜做成大容量的电容器，因为，欲使介質做得厚度極薄，是非常困难的。

(7) 抗電强度不高，在較大的介質厚度中，击穿电場强度难得超过 15—20千伏/毫米。

綜合以上所述，無机介質电容器主要用在需要額定电容較小而电容穩定度必須極高

的高頻電路中。

1. 陶瓷電容器：陶瓷電容器由於電氣參數好，價格低，而得到廣泛的使用。其優點是穩定性高，幾乎沒有老化現象。溫度系數可因材料的不同而加以控制，能應用在相當高的工作溫度。固有電感小，因此，可在短波和超短波迴路中，也可作隔直流及級間耦合用。

其缺點是，陶瓷不能做得很薄，因此，大容量的陶瓷電容器是不製造的。

陶瓷電容器製造上用的陶瓷材料的標準規格，如表10—4所示。

由表10—4可見，由於材料的不同，可以得不同的電容溫度系數(TKE)的類別，而且，這類別是用電容器上的所復蓋的漆的顏色來標志的。

現在，分別來說明各種不同TKE的陶瓷電容器的用途。

1) TKE為正且小 $(+(30\sim 50)\cdot 10^{-6})$ 的電容器，叫溫度穩定電容器，用於高穩定的振蕩器及本機振蕩器的回路中。

2) TKE為正且大的 $(+(100\sim 200)\cdot 10^{-6})$ ，用於低穩定的振蕩器及本機振蕩器的回路中，以及作為級間耦合、隔直流之用。

3) TKE為 $+(100\sim 1200)\cdot 10^{-6}$ 和 $-(40\sim 60)\cdot 10^{-6}$ 的，用於作為溫度補償。兩者配合起來，以達到給定的電容溫度系數。

4) TKE為 $-(500\sim 1500)\cdot 10^{-6}$ 用於隔直流及級間耦合，也可用於溫度補償。

除了上述的陶瓷材料之外，還有用強性介質陶瓷(賽格涅特陶瓷)等來做電容器的介質。這種介質，由於 ϵ 值很大(几百，几千，甚至達到幾萬)可以來做大電容量的電容器，它在工作條件下，通常具有顯著的非線性的特性。因此，可以用於低頻濾波之用。也有在工作條件下具有高的非線性的材料叫可變康的來製造電容器，由於可變康的耐久性，價廉，結構簡單及在工作中可靠，所以，可以在各種電路中用於代替電子管，可以用於作為倍頻器、電壓穩定器和放大器(即所謂介質放大器)等。強性介質也有压電效應的性能，因此，也可用於做壓電變壓器及機電變換器。

應該注意的是，強性介質陶瓷的 ϵ 與溫度和電場都有很大的關係，因此，應用時，應該加以密切注意。除此之外，它還有老化現象，電容量隨時間增長而減小，電容量與頻率也有關係。因此，這種介質除了上述特殊用途外，由於穩定性差，只能用於隔直流或濾波，也用於做超小型電容器和印刷電容之用。

現在，我們來介紹一般常用的陶瓷電容器的類型及其結構與工藝。

1. 低壓陶瓷電容器：

低壓陶瓷電容器廣泛地應用在無線電設備中，其額定電容很小，從幾個微微法到几百微微法，其良好特性不下于云母電容器。

常用的類型，有如表10—5所列出的數種。

表10—4與表10—5列出製造低壓陶瓷電容器的陶瓷材料的性能及低壓陶瓷電容器的規格與要求。型式KDK是表示圓片形的陶瓷電容器，型式KTK是表示管形的陶瓷電容器，圖10—501內3是圓片形陶瓷電容器，5與6表示管形陶瓷電容器。此外，圖內1表示珍珠式陶瓷電容器，2表示圓盤式陶瓷電容器，及4表示杯式陶瓷電容器。在圖中，詳細示出了它們的結構尺寸。

表10-4

电容器制造上用的陶瓷材料的标度規格

特 性 名 称	等 級 和 漂 割 的 符 号			V _B			
	I _a	I ₅	II		III	IV _a	IV ₅
介电常数的温度系数($\alpha_E \times 10^6$, 每度)	-730(±100)	-600(±80)	-50(±30)	+40(±20)	+110(±30)	+130(±50)	+200(±50)
介电常数	70~90	50~55	20~30	12~30	1, F 7.5	小, F 7	小于 7
损失角的正切tgδ, $\times 10^4$, 在20°C和1兆赫时, 不大于	9	9	9	9	20	20	35
损失角的正切tgδ, $\times 10^4$, 在50°C和1兆赫时, 不大于	13.5	13.5	13.5	13.5	16	30	49
体积电阻系数, 欧·厘米在100°C时, 不小于	10 ¹¹	10 ¹¹	10 ¹¹	10 ¹¹	10 ¹²	10 ¹²	10 ¹²
击穿电场强度, 千伏/毫米(直流)不小于	8	8	8	8	15	15	15
极限弯曲强度, 千克/平方厘米不小于	800	800	650	650	1,200	1,200	600
密度, 克/立方厘米, 不大于	4	4	4.2	4	3.2	3	2.7
膨胀系数 $\alpha_3 \times 10^{-6}$ 每度	6	8	7.5	7.5	8	3.5	4.5
导热系数, 瓦/厘米·度	0.030	0.030	0.035	0.040	0.050~0.050	0.060	0.015
类别符号(按照TKE)	Ⅰ	ⅡK	M	P	C	Ⅳ	Ⅳ
电容器的颜色标志	红	棕	浅蓝	灰	兰	—	绿

表10—5

低压电瓷电容器常用的类型

表10—5

低 压 陶 瓷 电 容 器 型 式	主 要 尺 寸 (毫 米)	容 訸 无 功	額定电容器的极限值(微微法)			
			KDK—直徑 功率	J类(T-60) TKE=570×10 ⁻⁶	M类(TK-M)	P类(TK-II) TKE=+30×10 ⁻⁶
			KTK—長 度 (毫 米)	TKE=50×10 ⁻⁶	TKE=+110×10 ⁻⁶	C类(皂石或超瓷) TKE=+110×10 ⁻⁶
KDK-1	8	25	2~20	1~7	1~5	1~3
KDK-2	10	25	20~62	3~10	1~7	1~5
KDK-3	16	75	20~100	7~20	5~15	3~10
KTK-1	11	25	2~150	2~39	2~15	2~15
KTK-2	20	50	100~300	30~91	10~39	10~100
KTK-3	30	75	240~430	82~150	35~62	24~51
KTK-4	40	100	390~620	130~200	56~82	43~68
KTK-5	50	125	560~750	180~240	75~120	62~100

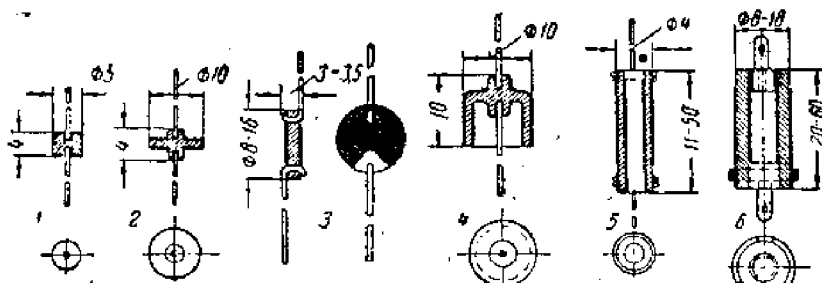


图10—501 低压陶瓷固定电容器

1—“珍珠”式；2—“圆盘”式（圆片与垂直于电容器平面的引出端相连）；
3—“圆片”式（引出端在电容器平面内）；4—“杯”式；5—“管”式。
6—“管”式，用于略高工作电压。

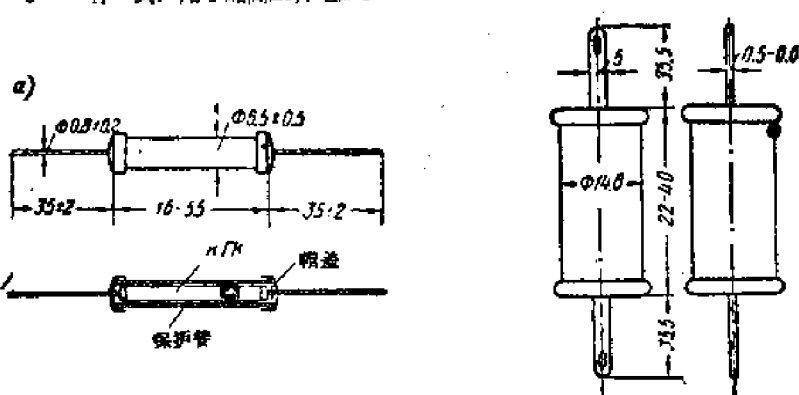


图10—502 陶瓷密封电容器：a—KTK型，b—KTK6型

图10—502表示密封陶瓷电容器，a)表示KTK型，b)表示KTKE型，这些电容器都是密封在保护管内，所以这两种陶瓷电容器的抗气候的性能很高。

圖10—503，圖10—504及圖10—505表示了各种类型的超短波用的陶瓷电容器的结构。

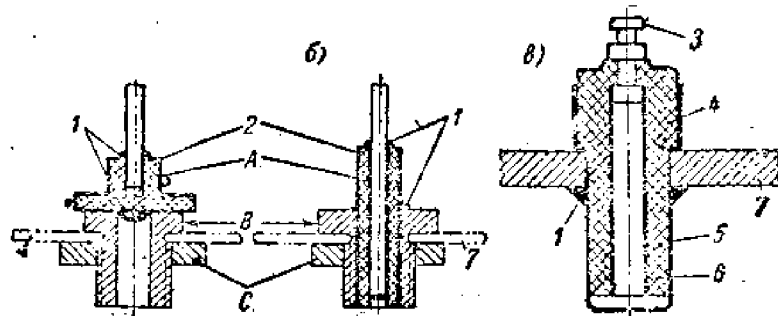


圖10—503 超短波陶瓷高直流电容器

1—焊接点；2—涂金层；3—引出端；4—陶管；5—外片；6—内片；7—机壳。

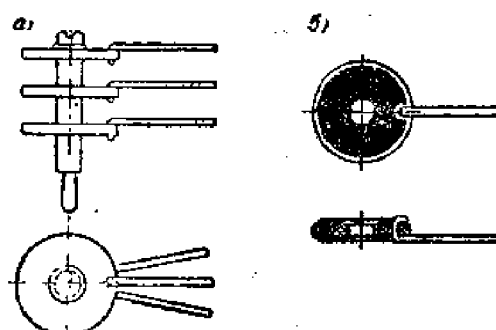


圖10—504 超短波高直流电容器组 a—一般组合形式；b—单段的。

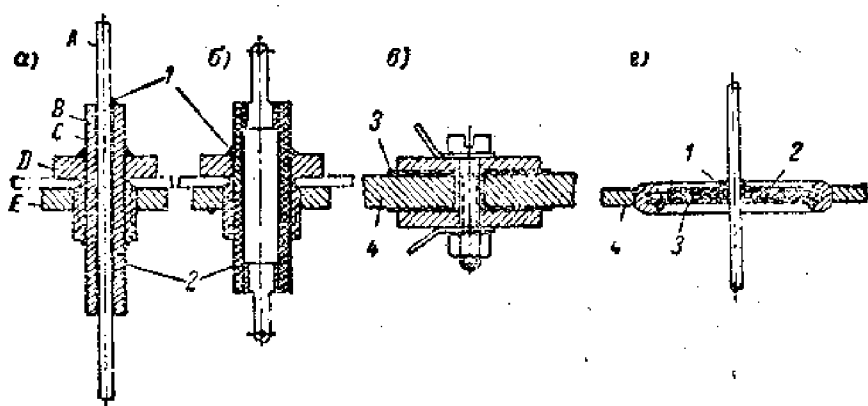


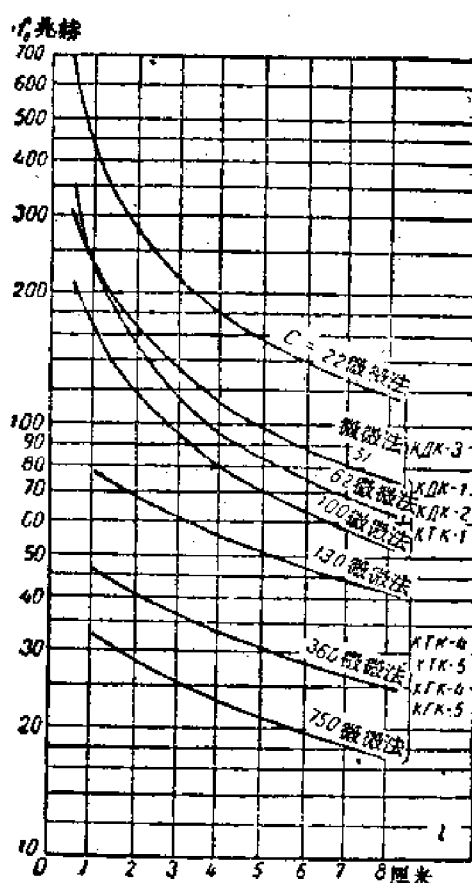
圖10—505 用于超短波的旁路电容器

1—焊接点；2—涂金属层；3—云母；4—机壳。

圓片形低壓瓷介電容器 (КДК) 管形低壓瓷介電容器 (КТК) 及珠形低壓瓷介電容器等，主要應用在振蕩回路、隔直流電路和柵極電路中，其工作電壓為高頻有效值250伏或直流500伏。筒形密封瓷介電容器和管形密封瓷介電容器，採取了密封的結構，能比前述的在更高的溫度下（達相對濕度98%）長期工作。由於採取了密封結構，它的外形尺寸也要大一些，固有電感也大一些。

圖10—506的曲線大體上決定了КДК，КТК和КПК這三種類型的陶瓷電容器的諧振曲線。

上面所說的電容器都是以陶瓷為介質，以燒滲銀的金屬層作為極片。由於燒滲在介質上，使得極片與介質之間沒有其他介質的存在，從而提高了穩定性，由於外表採取了保護性的複蓋，使得潮濕的影響小，採取了密封之後的就更能耐高的溫度。



电陶瓷的特性。

穿心式瓷介电容器 (KTII) , 采取了特殊的结构形式, 如图所示, 其外电极线上一有螺纹的套管, 可以用来固定在机架的螺母上, 而内电极则用一金属层载流导体穿过而锯牢, 这样的结构, 使得固有电感非常小, 可以用在1000—1600兆赫上作为隔直流电容器, 和旁路电容器以及作为电源输入滤波之用。

2. 高压陶瓷电容器:

高压陶瓷电容器广泛应用于无线电设备的高压部分, 由于应用在高压而采取了特殊的结构。

高压陶瓷电容器有如下几种类型:

CCY-P	瓶形罐状高压瓷介电容器	(原型号KBKG)
CCY-T	筒形桶状高压瓷介电容器	(原型号KBKB)
CCY-G	管形高压瓷介电容器	(原型号KBKT)
CCY-B	板形(片状)高压瓷介电容器	(原型号PKO)
CCY-G	棱管形(圆筒状)高压瓷介电容器	(原型号WKO)

其结构如图10-507、图10-508所示。

由于这些电容器都用在高压, 因而必须注意它的无功功率和散热状况, 及从结构上来保证耐受高电压。因此, 下面分别来阐明。

a. 从散热条件来看:

(1) 罐状的: 从自然通风散热的观点来看, 罐状的最劣, 因为其中的热量实际上只有从外侧的表面来散出, 封闭的底部也阻碍着内侧表面上空气的流通。

(2) 管状的: 除了外侧能散热外, 内侧表面也有散热的作用, 虽然内侧的散热作用较逊于外侧,

(3) 桶状的: 散热条件特别良好, 热量不仅可以从极片上散出, 还可以从没有极片掩盖的相当大的侧面散出去。

(4) 片状的: 在垂直安装时, 两侧表面同等地发挥散热作用。

b. 从工作电压来看:

(1) 罐状的: 成绩最好, 因为这种电容器是有底部的, 所以, 凸缘只有一个, 而为了加长沿凸缘的放电路径, 只须在一边做出。

(2) 管状的: 用来加长放电是凸缘, 这些凸缘是由磨去管壁做成。因此, 这些凸缘不能凸起很高, 要得到高值的放电电压, 就必须增多凸缘的数目, 并且, 在管子的两端都有这些凸缘, 在高值工作电压下, 对于产生电容起着作用的管长有效部分大为减少, 因此, 在高工作电压时, 也就不宜采用管状电容器。

(3) 罐状的: 它是模压制的, 在压制时, 就可在二端压出凹口, 制造较为方便。

(4) 片状的: 也是先用模压, 然后作出凹入部分。其缺点是, 面积大, 周围凸缘又高(用于高工作电压时), 故需磨去大量材料, 在焙烧薄而大的片子, 也相当困难。

综合以上所述, 可得结论如下: 当电压高而高频电流负荷不大时, 采用罐状电容器较为适宜, 尤其是在额定电容较大时, 当高频电流负荷大时, 则用管状和片状电容器较为有利。当电压高时, 可将几个电容器串联起来。在同样情形下, 如果所需的额定电容

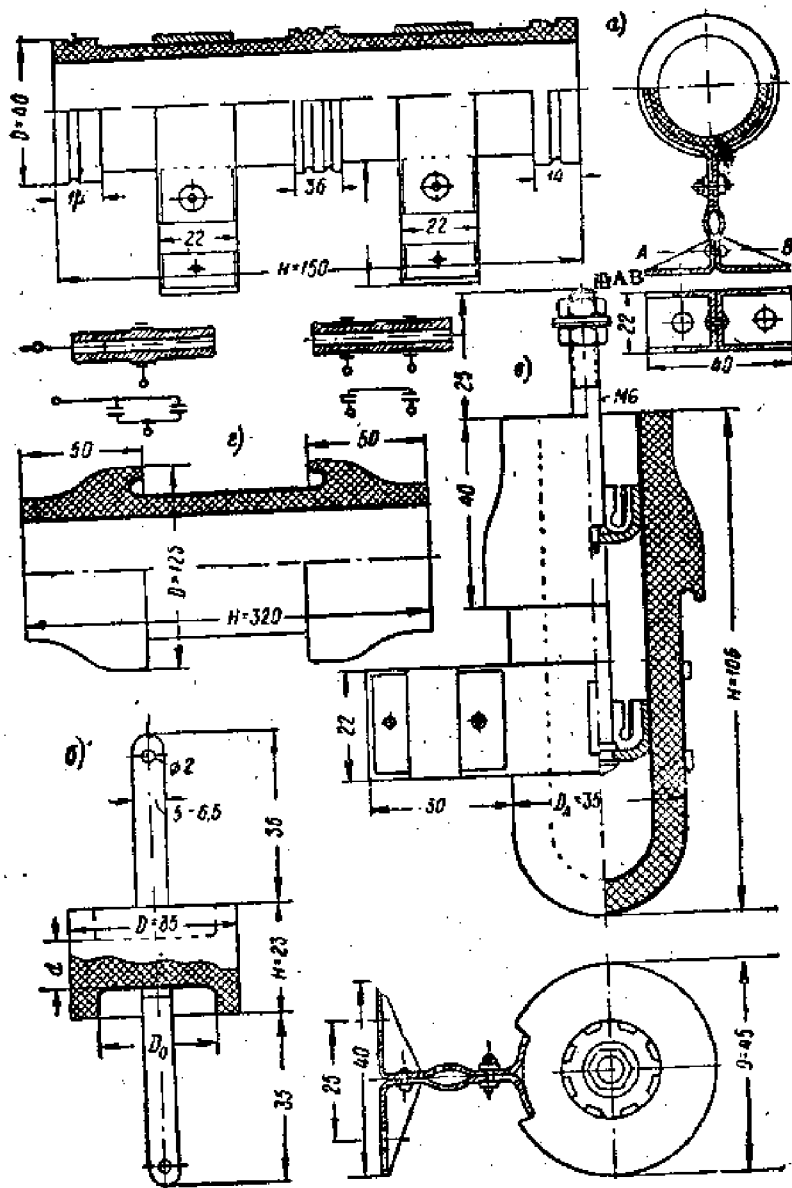


圖10—507高壓陶瓷電容器
 a—管狀，330攝微法，6千乏，12千伏（試驗，直
 流）；
 b—桶狀，47攝
 微法，5千乏，20千伏（試驗，直流）；
 c—桶狀，47攝
 微法，5千乏，30千伏（試驗，直流）；
 d—圓筒狀，470攝微法，8千乏，40
 千伏（試驗，直流）。

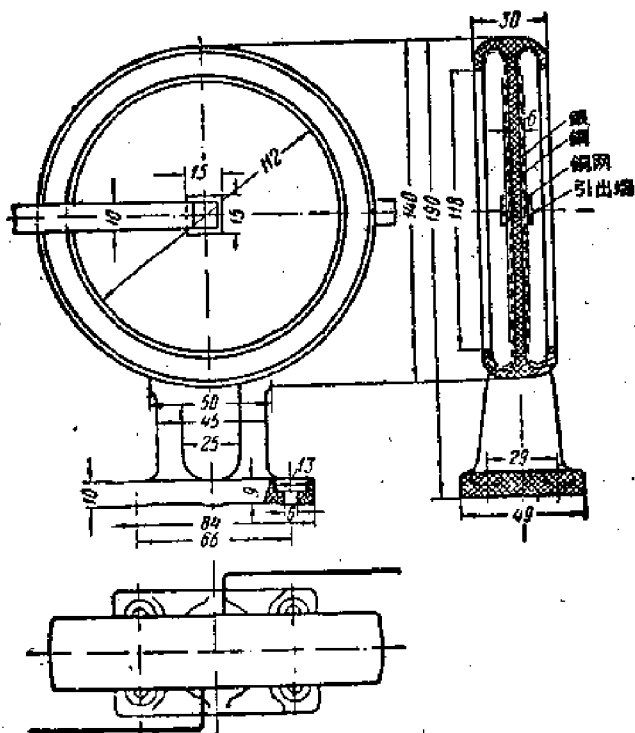


图10—508 陶瓷片状电容器

150微微法，20千伏，20千伏（试验，50赫）。

不大，则宜用桶状电容器。

2. 云母电容器：

云母电容器的特点，是电气指标高(高的抗电强度和小的损耗角)，尺寸不大，易于大量生产，成本不高。

云母电容器广泛地作为回路、跟踪，耦合，分压和隔直流电容器，也用作高频滤波之用。应该注意的是，由于云母的缺少，所以，在不重要的电路中，现在用陶瓷电容器来代替云母电容器。

(1) 低压云母电容器：有如下几种常用的类型：

CY型云母电容器

(原型号KCO)。

CYM型密封云母电容器

(原型号KCT)。

CYMK型小型密封云母电容器

(原型号CTM (图10—511))。其结

构如图10—509，图10—510和图10—511所示。

CY (KCO) 型云母电容器，是压塑在高频塑料中的，电容器采用具有良好电气性能的白云母来做介质，在云母介质的薄片(20—25微米)的两面上烧渗银作为极片，这样就比过去用铅锡箔等来做极片的云母电容器提高了稳定性。因为消除了层间的空气层，这就消除了由于空气层的不稳定的因素。

在图10—512中示出了CY(KCO)型云母电容器的谐振频率与电容量及引线长度l的关系。

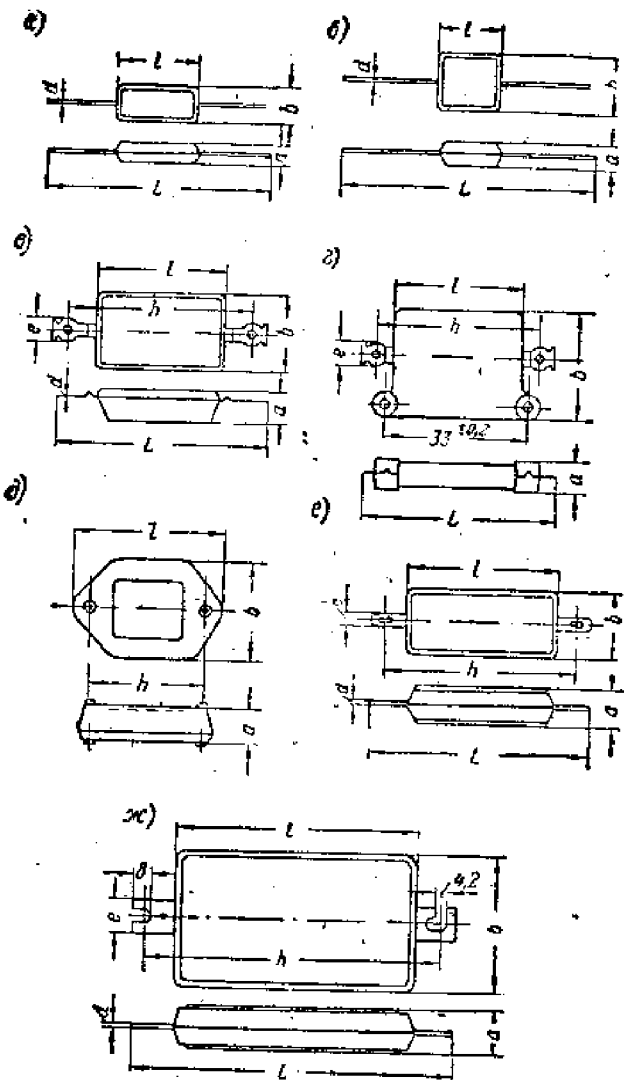


图10—509 KCO型真空接触器

1—KCO—1—KCO—4; 2—KCO—5; 3—KCO—6; 4—KCO—7—KCO—8;
5—KCO—9—KCO—10; 6—KCO—11—KCO—12; ж—KCO—13.

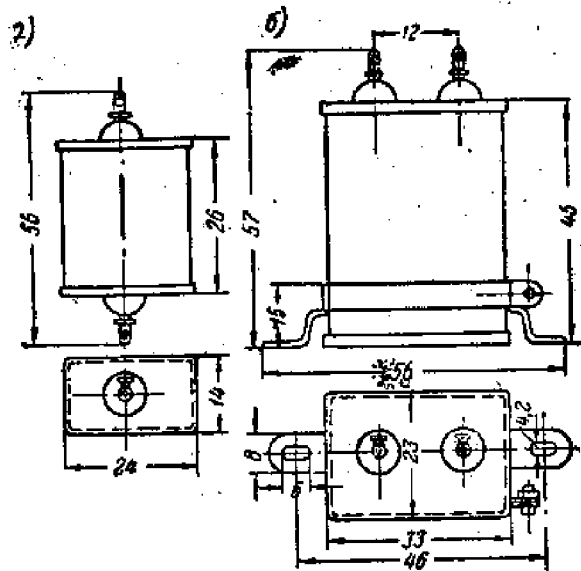


图10—510 云母镀银密封电容器 ■—KCT—1型，■—KCT—2型。

关系曲线。根据这些曲线可以确定它所能用到的最高频率。

CYM(KCT)密封云母电容器，和CYMX(ETM)小型密封电容器都采取了密封的结构，能在98%的相对湿度下长期工作，不过采取了这样的结构，价格提高了，因此，仅应用在重要的机件中。

(2) 高压云母电容器：

高压云母电容器，应用于发射机的振荡回路中（在这种情况下必须考虑到大的功率），及作为隔直流电容器和旁路电容器（此时耐压要求高，功率大）。

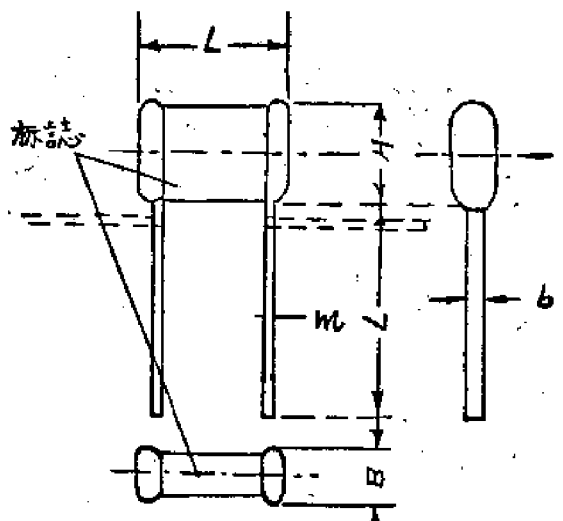


图10—511 CTM—3 云母电容器的外形

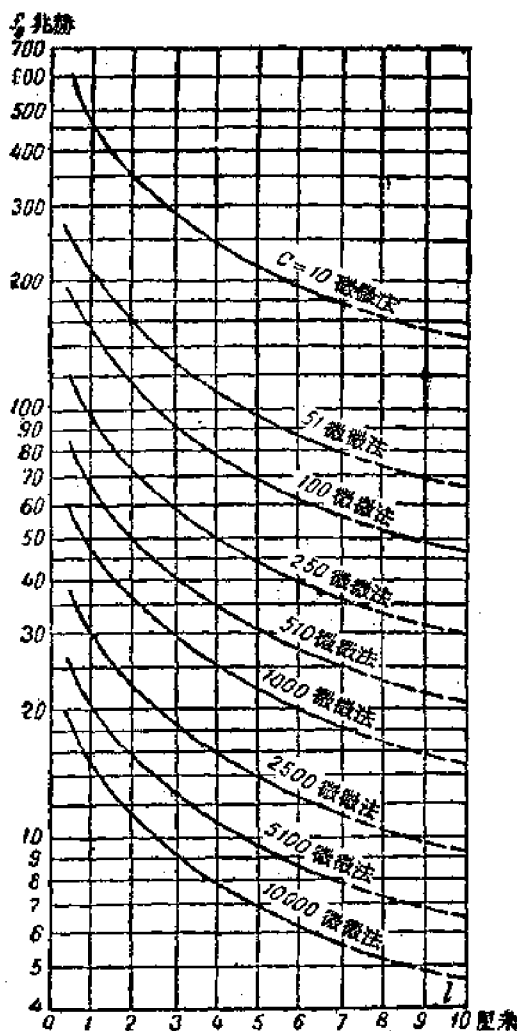


图10—512 云母电容器的谐振频率曲线图

高压云母电容器大都是由几个芯子（电容的分部）串联而得到的，这样就防止了在极片边缘上产生气体游离的可能性，芯子的数量是这样的，即使得加在每个芯子上的工作电压小于开始游离的电压。

高压云母电容器有以下类型：

CYY型高压云母电容器（原器号KB）

（未定型号）高压云母电容器（原型号KP）。

CYY(KB)型和KP型的电容器如图10—513和图10—514所示。

CYY(KB)型高压云母电容器，应用在高频回路中，具有陶瓷外壳，并在盖上装有黄铜杆的放电器，它保护当电压超过试验时电容器不损坏。

KP型高压云母电容器，用来隔直流，它的云母介质的品质较坏。

应当指出，除了当要求的电容量等于及大于0.1微法的情况下，这两种高压电容器已有效地被陶瓷电容器所代替。

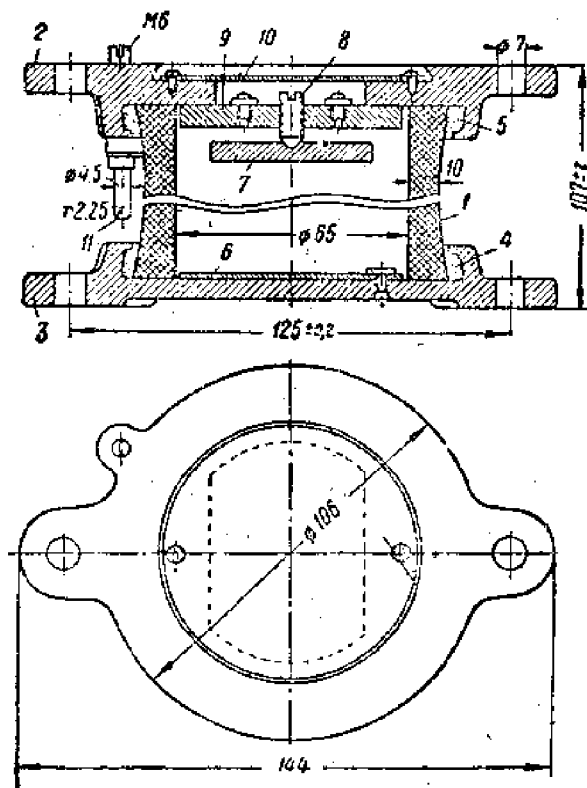


图10—513 装在陶瓷外壳中的电路云母电容器的结构。额定数据：0.03微法；35千伏；100千赫。1～陶瓷外壳；2～铝硅合金制的顶盖；3～铝硅合金制的底盖；4、5～胶合剂；6～红铜制的圆盘（作为到下侧引出端的接触片）；7～铜垫板；8～压紧螺栓；9～铜撑板；10～记有牌号的护板；11～保护放电器（置在圆盘6与垫板7之间的整组串联分部，图中未画出；外壳内的空间施注漆青）。

3. 玻璃釉电容器：玻璃釉电容器是近年来生产的新产品，由于能使生产自动化，所以，价格不高，不仅能与云母电容器竞争，还能与价格较廉的陶瓷电容器相对抗，玻璃釉现在应用很广，特别在印刷电路中。它之所以能与云母电容器竞争，是由于它的材料要比云母容易制成，而云母却是产量少且价格高的。无线电工业现正在着手玻璃釉电容器的全自动化的生产。玻璃釉电容器的型号为CYBL（原型号KC）。其外形图如图10—515所示。

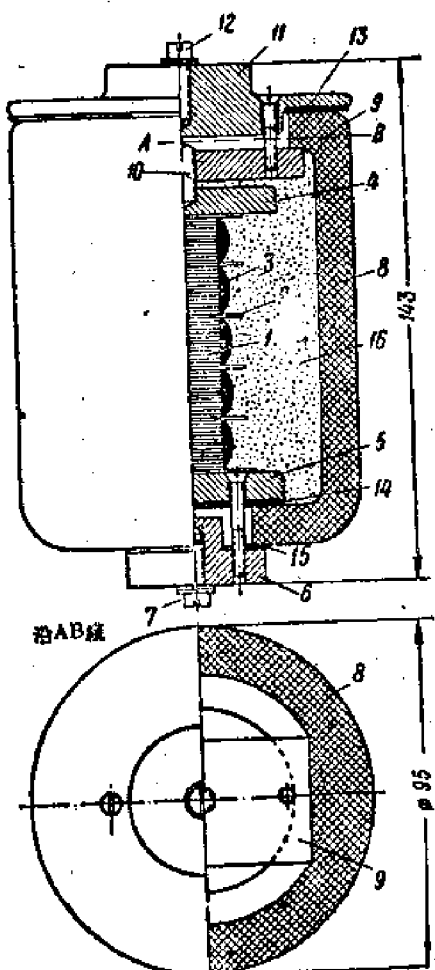


圖14—514 KP型云母电容器的結構。額定数据：0.001微法，15千伏。

1—分部；2—分隔片；3—分部的焊結處；4—上墊板；5—下墊板；6—底蓋；
7—下端引出螺栓；8—陶瓷外殼；9—擡板；10—壓緊螺絲；11—頂蓋；12—上端引
出螺栓；13、14、15—紙板衬片；16—潤滑劑。

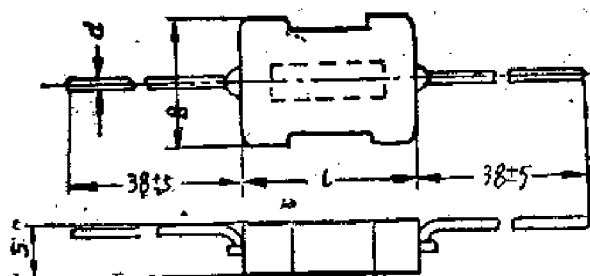


圖10—515 XC电容器的尺寸及某些电气参数

§10—6 固体有机介質电容器

概述：

优点：

(1) 有机固体介質可以做成厚5—6微米的薄片，同时，还具有足够的机械强度，而一般無机固体介質最薄仅能达200—300微米，再薄时，机械强度不够，脆性大了（云母例外，也只达20—30微米）。

(2) 抗电强度高，在短时試驗中能达到200—300千伏/毫米，这数值已比最好的陶瓷材料高出10倍。

(3) 对用某些浸漬材料处理过的紙來說，介电常数也能达到10—11的数值。

(4) 由于有机介質在很薄时仍能有高的拉伸强度和大的弯曲性，就可以在制大电容时可使过程机械化。

由于上述原因，就可以制成工作电压不高，电容量大而体积小的廉价电容器。

缺点：

(1) 化学稳定低，有老化現象，随着时间延长而抗电强度逐渐降低。

(2) 有机介質电容器，即使用在平常湿度，一般也要灌注或密封，这样就增大了体积。

(3) 有机介質的綫胀系数比無机介質的大(平均达10—20倍)，因而使电容随湿度的变动更为强烈，以及在湿度循环作用下和长期保存时电容器稳定性恶化。

(4) 因为有机介質的耐热性低，在許多情形下，电容器容許工作温度的上极限就受到限制。

1. 紙介电容器：

在制造廉价而电容量高于0.1微微法的小型电容器时，常用紙做介質，从电的指标來說，紙質电容器远逊于云母和陶瓷电容器，因为它的电容量强烈地依从于温度，湿度、周围空气压力和频率，并随时間而变。此外，紙介电容器的介質損耗也大，固有电感也大；这就限制了它在短波和超短波的应用（不能在高于3—4兆赫的頻率下工作）。由于上述原因，紙介电容器一般主要用在低頻，隔直流和旁路及滤波之处。

圖10—601示出了紙介电容器的諧振頻率和电容量及引線长度的关系曲綫。

由这些曲綫可知，紙介电容器只能适用于較低頻率范围的电路中。

常用的紙介电容器有以下几种类型：

CZM-L 立式 短形 密封紙介电容器（原型号КБГ—МН）。

CZM-W 臥式 短形 密封紙介电容器；原型号КБГ—МII）。

CZM-J 金屬管 密封紙介电容器（原型号КБГ—М）。

CZM-C 瓷管 密封紙介电容器（原型号КБГ—И）。

CZЧ-L 立式 短形高密封紙介电容器（原型号КБГ—II）。

CZЧ-T 筒形 高压 密封紙介电容器（原型号КБГ—Д）。

CZC-L (螺紋固定) 穿心式密封紙介电容器（原型号КБГ—Р）。

CZC-B (扁盤固定) 穿心式密封紙介器容器（原型号КБГ—Ф）。

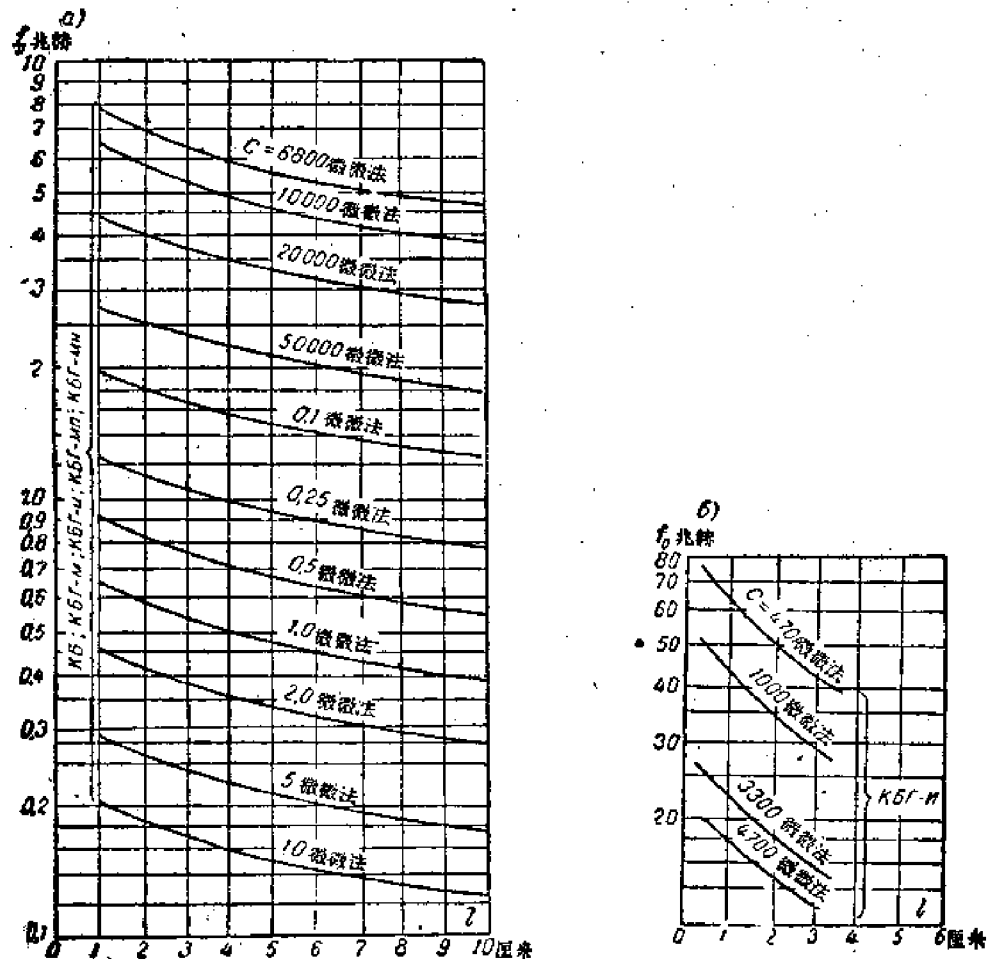


圖10—301 紙質電容器的諧振頻率曲線圖

CZC—J (托板固定) 穿心式 密封紙介電容器 (原型号КВП—G)。

CZR 耐热 密封紙介電容器 (原型号БПТ)。

CZB 保护 密封紙介電容器 (原型号КЗ)。

CZX 小型紙介電容器 (原型号БГМТ)。

CZRX 小型耐热密封紙介電容器 (原型号БГМТ)。

CZMX 小型密封紙介電容器 (原型号БТМ)。

其外形結構如圖10—602至圖10—605所示。

紙質電容器中, CZM (КБГ) 型和 CZY (КВГ—I, КВГ—У) 都是用液体和半液体浸漬過的密封式的電容器, 在密封盒子內往往裝有幾個芯子 (或稱分部)。其接法如圖10—606所示。

CZC (КВП) 型穿心式電容器, 又叫旁路電容器, 它是用来作為電源電路的濾波電容器和各種隔直流通電器 (其作用應在極寬的波段內有效)。這種電容器的裝置法如圖10—607。

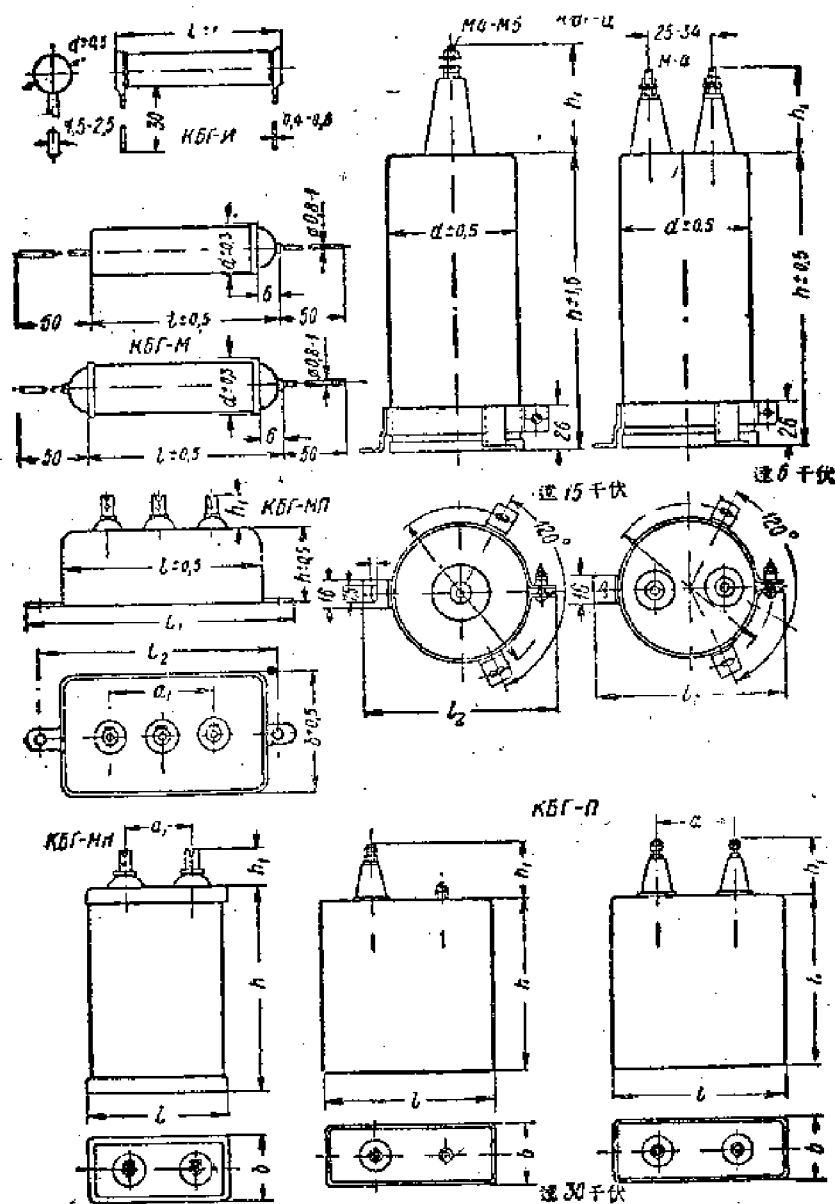


图10—602 液体或半液体及漆的KBG型直流电压密封式电容器

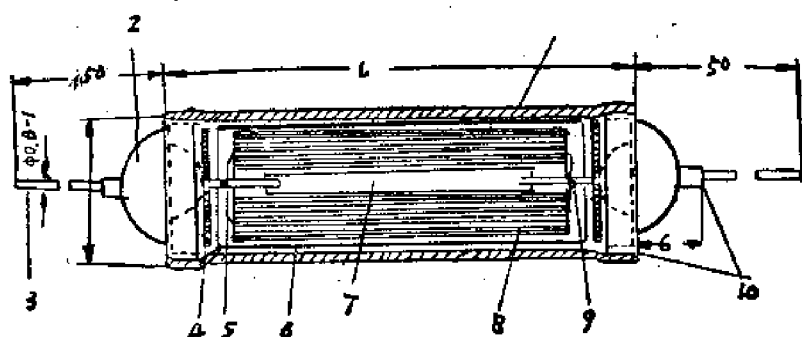


图10—603 KBG-M型电容器的剖面

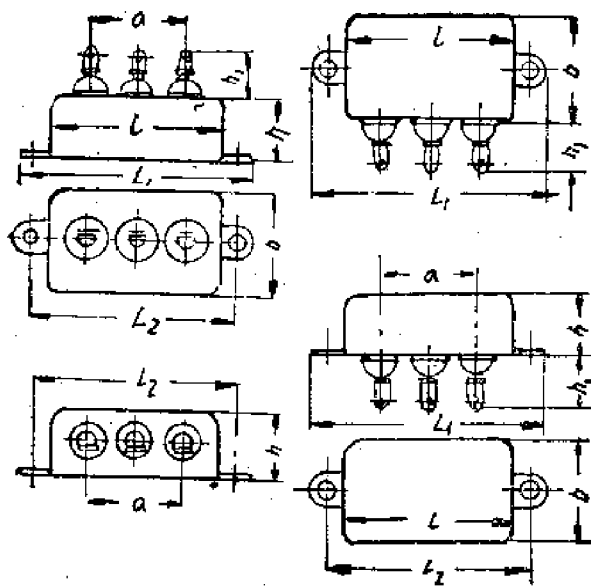


图10—601 KBG—MH型电容器

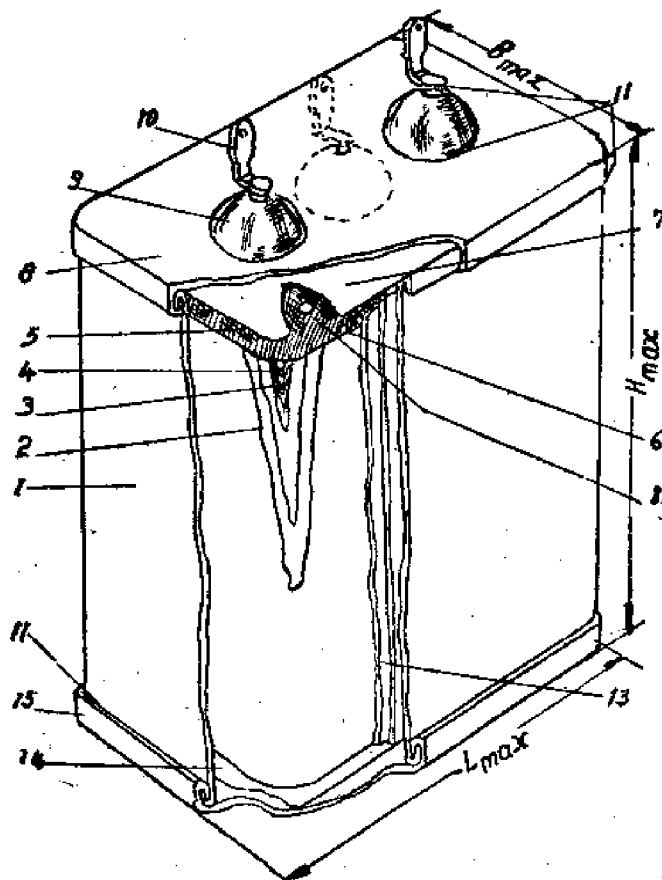


图10—605 KBG—MH型电容器之装配

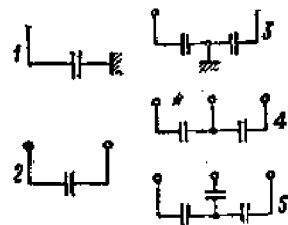


圖10—606 KBT—MII型電容器中分部的接法

1——一个分部，一个絕緣引出端，另一引出端就是外殼；2——一个分部，二个引出端都絕緣；3——二个部分，二个絕緣引出端，而第三个引出端就是外殼；4——二个分部，三个絕緣引出端（其中一个公用）；5——三个分部，三个絕緣引出端。

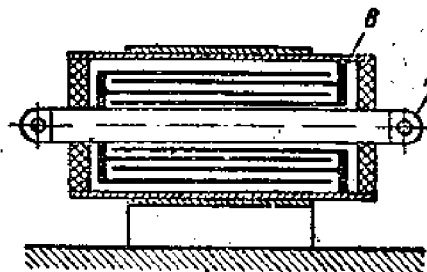


圖10—607 旁路電容器的裝置

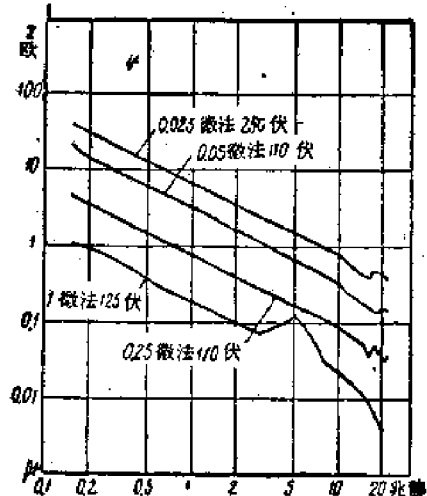


圖10—608 旁路電容器的總阻抗Z與頻率間的關係

圖中A是與一組極片相聯接且穿過中心的導線，而另一組極片連到金屬的外殼上，這外殼就直接安裝在機架上。由於接線長度很短，穿心式電容器具有很小的電感，因而儘管其電容量大到幾個微法，也可順利地工作於50—60兆赫的頻率上。旁路電容器的總阻抗與頻率間的關係示於圖10—608中。

CZX (BM) 和 CZMX (BTM) 型紙介電容器，其尺寸要較前述的小，不過它的工

作电压也較低，CZM (EM) 的工作电压仅为直流 100 伏，CZMX (EM) 的工作电压为 400 伏。

C2R (EM) 型电容器的耐热要較其他的紙介电容器好，它的工作温度上限到 100°C ，而其他的仅为 70° — 85°C 。

2. 金屬化紙介电容器

金屬化紙介电容中，極片是一層厚約 0.1 微米的金屬蒸發層。这样薄的金屬層，当受到电压冲击时，通过电容器紙介質中的导电微粒的电流强度，足以使导电微粒附近的金屬層熔解、蒸發，而把导电微粒与極片絕緣（見圖10—609）。

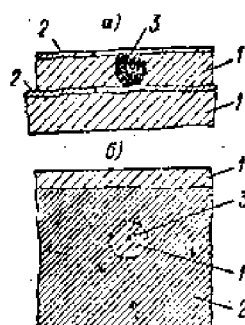


图10——609 单層金属紙質电容器中的导电微粒：a—側面形状（放大很多）；b—从金属層的一面看紙面。1—紙，2—金属層，3—导电微粒。

在运用中受到瞬时电压作用和被击穿时，也發生与此相同的現象，击穿的地方，也变成与極片絕緣而不致造成短路，这种現象，我們称之为“自愈”。

在一般紙介电容器的制造时，为了避免紙上的导电微粒以及孔洞和某些弱点，我們都用二層到三層紙来絕緣（作为介質），这样就使介質層加厚而增大了紙介电容器的体积，而在金屬化紙介电容器中就可以由二層紙改为一層紙，得以减小介質厚度到一半，因此，其比容就可以减少到四分之一，而其工作电压則保持与用二層紙时相同。由于这种电容器的極片，从用平常厚 7—8 微米（鋁箔）减小为 0.1 微米厚的金屬化层，这就使得它的比容更为減。

由于金屬化層很薄，故在高湿度下其抗腐蝕的性能也極小，因此金屬化紙介电容器都是采用密封的結構。

紙介电容器的芯子有几种繞法如圖10—610所示。

普通繞法如圖 10—610，①所示，它具有特別大的电感，限制了电容器在高頻上的应用。

无感繞法是使二極片在相反的二端各伸出少許，使同一極片的各圈間互相短路，这样就可成为無感（圖10—610，②）。

普通繞法也可使电感减到很小，办法是使二个極片的引出接头，尽可能互相接近（如圖 10—611）。实际上，在繞制的电容器中，电感的大小，大部分决定于引出綫接头間所包括極片的长度。在被包括的部分中，二極片內的电流方向始終一致，其所产生

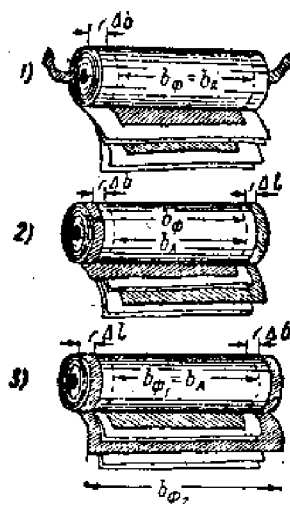


图10—510 螺卷形电容器的各式卷法:

1—普通的; 2—無电感的; 3—有对穿穿片的; Δb —凸缘闊度, Δl —沿边伸出的闊度, b_Φ —箔片的总闊度, b_A —箔片的有效闊度。

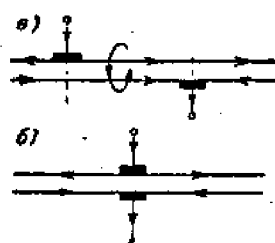


图10—511 螺卷形电容器的展开图:

a—引出点互相离开, b—引出点互相接近

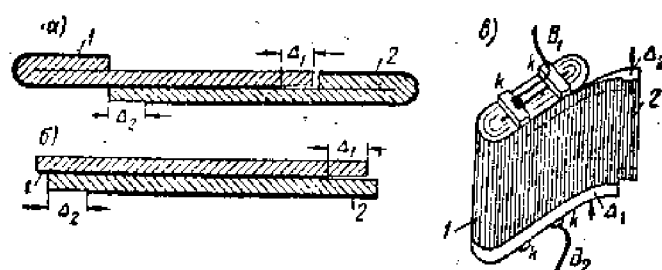


图10—512 金属纸質电容器分部的卷繞和加装触头法:

a—紙条边缘折轉的卷繞法; b—沒有折轉而有位移的卷繞法; c—用噴霧法在端头加装触头并用焊接法将引出线焊在触头上之后的电容器分部。

1—第一纸条的金属层; 2—第二纸条的金属层; Δ_1 —第一条的凸缘; Δ_2 —第二条的凸缘; k—分部端头上的触头; B_1 —由第一条接出的引出线; B_2 —由第二条接出的引出线。

的磁场也彼此相加，这就是发生电感的原因；在二极片上的电流方向相反时，其磁场也就互相抵消，就可成为无感的了。

金属化纸介电容的卷绕法，又与一般的不同（见图10—612），这样的卷绕法也是无感的，同时它的引出线采取了特殊的在其两端用金属喷雾法喷上金属条，再从金属条件上焊出引线。

金属化纸介电容器有如下的类型：

CZj—L 立式 矩形 密封 金属化纸介电容器（原型号МБГЦ）。

CZj—L 筒形 密封 金属化纸介电容器（原型号МВГЦ）。

CZjD 单层 密封 金属化纸介电容器（原型号МВДО）。

CZjJ 交流用 密封 金属化纸介电容器（原型号МВГИ）。

CZjR 耐热 密封 金属化纸介电容器（原型号МВГТ）。

CZjX 小型 密封 金属化纸介电容器（原型号МВДМ）。

CZjMX 小型 密封 金属化纸介电容器（原型号МВГМ）。

3. 薄膜电容器

薄膜电容器的介质是一种薄膜，它是由合成的或其他高质量的绝缘材料制成的。薄膜电容器的极片有采用金属箔片的，亦有采用直接涂复在薄膜上的金属层的。

介质的高绝缘性能，使薄膜电容器可以制成具有高的电气参数，它们接近于云母电容器的参数。薄膜介质的缓慢老化，可以使薄膜电容器比纸介电容器获得更稳定的参数。

制造薄膜介质的材料，有聚苯乙烯，聚四氟乙烯等。

薄膜电容器的主要缺点是低的耐热性。除了有机介质薄膜电容器外，现在还进行着无机介质薄膜的试制，以大大地提高工作温度（500°C）。

薄膜电容器有如下类型：

CB 聚苯乙烯电容器（原型号ПМ/2nCO, ПО）。

CBV 高压聚苯乙烯电容器（原型号ПСВ）。

CF 聚四氟乙烯电容器（原型号ФТ, ФТН）。

CFY 瓷管高压密封聚乙烯电容器（原型号ФРТ—И）。

§10—7 电解电容器

电解电容器利用薄的金属氧化层作为介质，带有这氧化层的金属就作为阳极，电容器的另一极片阴极是电解质。这种电解质的作用，是预备形成和恢复金属氧化层用的。

通过电解质的作用，可以使金属氧化层有很高的抗电强度（要比其他介质的抗电强度大数十倍到数百倍）。由于有这样高的抗电强度，使得可以制造成比其他类型电容器的电容大数百倍的电容器。

氧化层与其他固体介质不同之处在于具有单向导电性，因此，电解电容器是有极性的，即带有氧化层的极片是为阳极片，应接在正电位，若不按极性连接，就会通过强大的电流，以致发生过热而损坏了电容器。

由于以电解质作为电容器的极片，又产生了与其他电容器不同的特点。因为电解质

比普通电容器金属极片具有更高的电阻，就使得电解电容器的损耗角较大，而且，随着频率的升高而急剧地加大，同时，老化作用也大。

综合上面所述的特点：电解电容器的主要优点是比电容大、重量轻、成本低，在较低的工作电压下可以获得极大的额定电容。缺点是大的损耗角，低的绝缘电阻，有极性，电容量在时间上和温度变化时没有足够的稳定性，电容量与频率有关，以及有限的工作电压上限。

因此，电解电容器基本上应用在电源滤波电路，去耦电路及自给偏压电路中，最近特殊类型的电解电容器成功地用于半导体电路中。

在无线电设备中，铝质电解电容器得到了最广泛的应用。其结构示于图10—701。

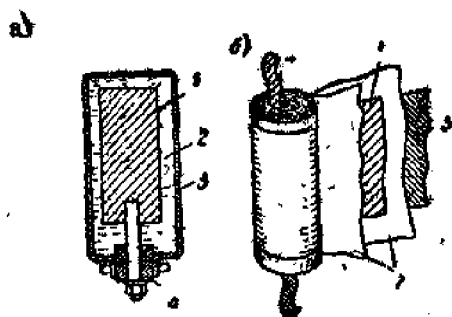


图10—701. 电解电容器的结构方式。

- (a)液体电容器：1—阳极板；2—电解液；3—外壳(阴极)；4—橡皮封口。
 (b)干式电容器：1—阳极；2—电解液浸渍的碳推片；3—阴极。

a)表示一液体铝质电解电容器。其中，1表示带有 Al_2O_3 膜的铝合金阳极，2表示电解液，3表示阴极铝金属。b)表示一干式电解电容器的结构，其中除电解糊与液体电解电容器的电解液不同外，其余部分都是相同的。现在液体电解电容器已被淘汰而被干式电解电容器代替了。

其外形如图10—702所示。

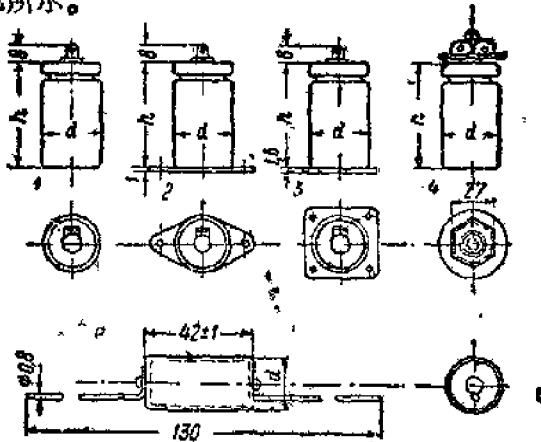


图10—702 K3型干式电解电容器。

1—无装固附件的K3—1a型电容器；2、3—有装固板(椭圆形或正方形)
 的K3—16型电容器；4—有装固螺纹座的K3—2型电容器；5—用引出键的K3—3型电容器。

铝质电解电容器的结构要求与制造工艺：

1. 铝质电解电容器的结构要求：氧化膜 (Al_2O_3) 形成在阳极片上，它是电解电容器的“心脏”部分，它是半导体性质的，正负直流电阻的比数约为100—10000倍，所以，电解电容器的两极是分为正负而不能互换的。这氧化膜的厚度，在制造过程中形成后，有0.001—0.10微米，介电常数是7.5—10。

电解电容器的阳极片金属铝的纯度，是制造电解电容器能否成功的关键问题。它的主要杂质是Fe, Si与Cu等，如果纯度达不到99.99%，这样的铝箔是不能用来做阳极片的。阳极铝箔的厚度，因为它的面层要制造成氧化膜，必须是60—100微米。阳极铝片的有效面积，也是电解容量要大而比容要小的重要问题，所以，为了要扩大阳极片的有效面积，在制造氧化膜前，阳极片一定要经过腐蚀，以加大它的有效面积。腐蚀前后的面积比值，约为2—4倍。图10—703就表示这腐蚀好了的阳极片一面的形状。

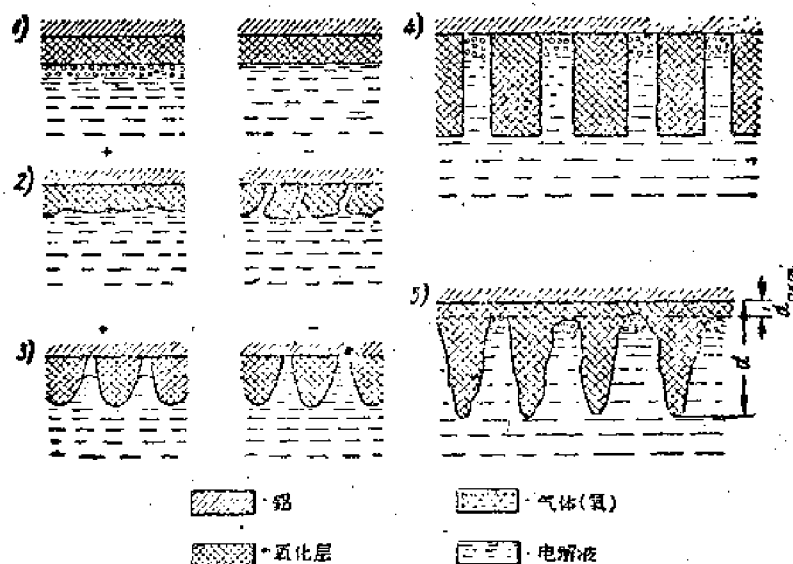


图10—703 电解质电容器中介质的结构图

- 1—氧化层由导电的氢氧化铝形成，接阳极时气体层作为介质。
- 2—氧化层由有海绵状结构的绝缘性氢氧化铝形成，接阳极时膜层被压向金属而细孔被封閉。
- 3—氧化层由固体氧化铝——有对穿细孔的介质形成；接阳极时电解液被电渗压力从孔中挤出。
- 4—氧化层由固体氧化铝——有对穿细孔的介质形成；在孔中金属铝的表面上有气体层。
- 5—氧化层由固体氧化铝——介质形成；细孔并非对穿，在铝的表面上有厚度为 d_{axm} 的密实薄层。

电解电容器阴极片的厚度，只要20—30微米就可，因为它在电容器工作中是不消耗的，且阴极铝箔纯度也不象对阳极片要求的那样严格，但也不能低于99.35%。

在干式电解电容器里，电解糊及保存这电解糊的纖維質的选择，也是重要問題。阳极片上氧化膜在生产工厂制完成后，在运输及运用这电解电容器的过程中，极易破坏，因为它的结构并不是坚固的，而且是很薄的一层，所以，在阳阴两极片之间一定要预备上

电解液，原氧化膜有破坏之处，即刻再补充上，当氧化膜完整无缺时，电解液就静候待工。当阳极片上氧化膜破坏时，电解液即发生作用，来补充这氧化膜，电解糊的配方及电化过程，大致如下：

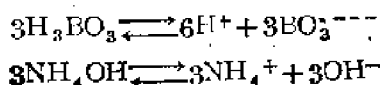
干式电解电容器电解糊的配方，示如表10—6。表内乙二醇及甘油都是用来当溶剂的。用乙二醇时，电解电容器的工作温度可由-40°C到+60°C；而甘油只能由-10°C到+60°C。氨水在电解糊内的功用是消除氢气的损害。正硼酸是电解液。

电解电容器电解糊的配方

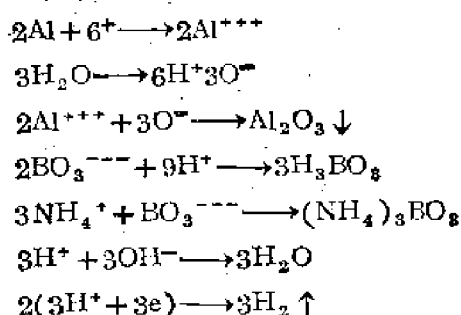
表10—6

材料名称及配制条件	50—100伏工作电压电解糊配方	300~450伏工作电压电解糊配方
乙二醇[C ₂ H ₄ (OH) ₂]	—	1115克
甘油[C ₃ H ₈ (OH) ₃]	92克	—
正硼酸(H ₃ BO ₃)	100克	600克
氨水(NH ₄ OH)	120毫升 (22°C)	167克 (比重: 0.91)
煮沸温度	96°C	128°C
蒸發量	12.5~13.5%	21~21.5%
电解比阻	—	900~1100欧·厘米

当没有直流电压在电容器上时，硼酸和氨水即自行游离，如：



当直流电压使用在电容器上时，氧化膜即形成在阳极铝片上，且氢气与氧气化合而变为水，其反应如：



由化方程式中，可理解到氧化膜(Al_2O_3)是补充到阳极片上去了，大部分的氢离子变化为水了，但还有一小部分氢离子没有地方交代，结果是当直流电压应用到电容器时，它们就游离到阴极上去放电，而变为少量的氢气保留在电容器内。只因在电容器内氧化膜的补充，并不是经常的，且氢气的变成是少量的。所以，在电解电容器应用的最初数年内，不会发生问题，但日久天长若干年后，这少量的氢气会积少成多，而使电容器破坏了（有时似鞭炮爆破开）。

电解糊是需要浸渍到纸里去不许它在电容器内随便流动，这样对纸的问题就需要研

究它的特性了。

現在采用的电糊紙，主要是国产的毛邊紙，湘毛邊紙最好，这种紙在溫度由 -10°C 到 $+60^{\circ}\text{C}$ 是好用的，它的性能是：

Cl^- 离子=0.003—0.008%（起腐蝕作用）；

SO_4^{2-} 离子=0.005%（增大电容器 $t_{\text{g}}\delta$ ）；

F_e^{+++} 离子=0.0025%（增大电容器的漏電电流）；

灰份=0.1%（此值愈小，紙吸收电解糊愈多）；

吸油率=60mm（此值愈大愈好）。

自湘毛邊紙这些特性，可断定这类紙在电解电容器內当做隔極紙及电糊紙用是够条件的，所以，现在国内很多工厂采用了这类紙来制造电解电容器。

2. 鋁質电解电容器的制造工艺

(1) 陽極鋁箔的情况及腐蝕：

在陽極鋁箔未賦能前（即未做氧化膜前），鋁箔一定先进行清洗及腐蝕，以除去油脂、污浊及氧化物等，并借腐蝕办法，以增加陽極鋁片的有效面积，这数步工艺是自动化的（当然为小量生产，可用手工操作）。表示如圖10—704。

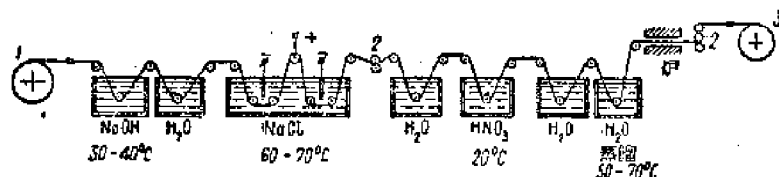


圖10—704 动浸蝕过程概圖：——电化学法

1—未处理的箔片；2—牵引触；3—处理过的箔片

圖10—704內， NaOH 槽是去掉鋁箔片上的油脂及污浊等用的； NaCl 是用以把鋁箔正电位化，以便加大它的腐蝕速度，所采用的直流电源，只数伏特即可； HNO_3 槽是把正电位化过的鋁箔表面腐蝕，以增加它的有效面积，其余的槽都是为清洗及煮沸清潔用的。

2) 陽極鋁片賦能（即制造氧化膜）

在制造电解电容器的工艺过程中，陽極片之賦能，是一步关键性的工艺，与电容器的电容量，效用及寿命等都有关系。圖10—705就表示这套賦能系統。可理会到，陽極鋁

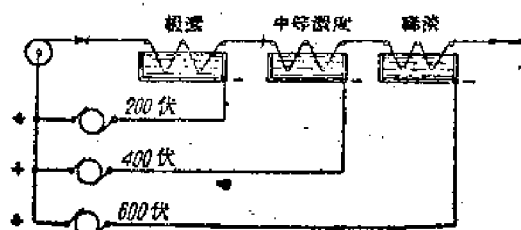


圖10—705 陽 極鋁片賦能系統

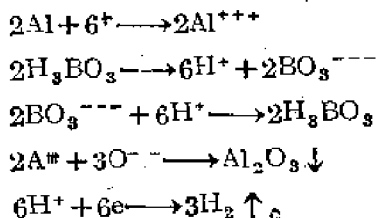
片上制造氧化膜是分为三步手續，第一次賦能是用極濃的电解液，而賦能电压是低的（仅200伏），目的是使氧化膜在陽極片上打下一个坚固的基础，再在这基础上加厚至規

定的厚度，这氧化膜加厚加固的过程，是在中等浓度电解槽与稀淡浓度电解槽而在将赋能电压逐渐增高的情况下进行的。成型电解槽内电解液的配制法，如表 10—7 所表示的。表内 H_3BO_3 (正硼酸) 是电解液的主要成分， $Na_2B_4O_7$ (硼砂) 是提高电解液导电率的，所以，在 400 伏形成电压以下，硼砂的量最低。阳极铝片上氧化膜形成时，在电解槽内化学变化情形如下：

成型电解槽内电解液的配制法

表 10—7

成型电压(伏)	一立方升水中的含量(克)	
	H_3BO_3	$Na_2B_4O_7$
600—850	150	0.00
600	100	0.20
500—600	120	0.42
560	100	0.80
510	100	2.50
420	100	15.60
400 以下	100	25.00



由电化学方程式看出，氧化膜在阳极铝片上是沉积了，氢气是在电负极上放出了。形成电压愈高，氧化膜形成得愈厚，但制造成的比电容愈小，这个关系表示如下式：

$$C_{\text{v}} U_{\Phi} = R_{\Phi} = \text{常数} \approx 10-12 \text{ 微法·伏/厘米}^2 \quad (10-601)$$

式内 C_{v} 是比电容， U_{Φ} 是形成电压。由此式看出，形成电压用高了，氧化膜层加厚了，但比电容减少了，所以氧化膜层的厚度应适合要求为度，不能太厚，否则，电容量就会减小；因此，最高形成电压不能超过 600 伏。

阳极铝片上氧化膜形成的过程中，在高压槽内，形成电流的初值是 5—8 毫安/厘米²，电流逐渐减小，至形成完畢时，形成电流降至约 15 微安/厘米²。这形成电流与形成电压及电容量的关系，应如：

$$I (\text{毫安/厘米}^2) = KCU_{\Phi} \cdot 10^{-3} \quad (10-602)$$

式内 K 系一常数，其值在 0.15—0.2 之間， C 值即形成的电容量。

(3) 电容器芯子装配与再赋能：

阳极铝片氧化膜形成完畢后，即按电容量要求裁剪。裁剪后，装訂接电極接头。也

同样裁剪及装订接负极铝片。最后将裁剪好的隔极纸（毛边纸）与阳阴极铝片按一定工艺规范迭起、卷起，并紧扎成电容器芯子。

将扎好的电容器芯子成批地在浸渍罐内浸渍电解糊，这是真空式的浸渍，先将芯子里空气抽出，以后再将电解糊吸收到芯子里，有时遇到的困难是芯子里吸收电解糊不够充分，致使芯子里有的地方吸收不到电解糊，在此情形下，就应用压力把电解糊压到芯子里去。但制造电解电容器的手工业者，芯子里的电解糊，不是用真空浸渍法做成的，而是预先将隔极纸在电解糊内蘸好的，这样的做法，当然不合标准，但也解决了浸糊的问题。

电容器芯子浸电解糊后，即行再赋能，这次的赋能，是用电容器的工作电压做的，目的是补充并老化阳极片上的氧化膜。

4) 再赋能好的电容器芯子的密封与检验：

再赋能好的芯子，放在准备好的硬纸盒或纸管内，或铝制盒壳内，再将密封材料灌注进去。为高级品，安放电容器芯子的密封金属盒壳与接出导线，也是采取密封办法的，这就保证密封永久完善。

电容器密封好后，下步的工序就是按照规格检验了。

除了铝质电解电容器外，近来已有采用钽来制造电解电容器。

钽的氧化层具有更好的特性并较易形成，但由于钽的缺乏及价格高昂，只有在特殊的情况下，才采用钽质电解电容器。钽氧化层和铝氧化层不同之处在于，有较高的介电常数（ $\Sigma = 11.6$ ）及较大的抗电强度（几乎2倍）。这就允许建立具有较大的比电容的电解电容器。

钽电解电容器与铝电解电容器比较，其主要优点是：

- (1) 在小的工作电压下较小的尺寸（当 U_{pA6} 小于150伏时体积几乎小两倍）。
- (2) 大的工作温度范围（60°—+125°C）。
- (3) 较小的损耗。
- (4) 电气参数对温度的较小的依赖性。
- (5) 较大的绝缘电阻（比铝电解电容器大2—7倍）。

它的缺点是：

- (1) 较小的工作电压范围（6伏到150伏）。
- (2) 价值昂贵。

为了设计一个电解电容器，下边的例题是有帮助意义的。

例题：氧化膜的厚度，可做到 0.07 — 0.7μ ，取 0.1μ ，当做氧化膜厚度（d），氧化膜的介电常数是 $7.5 \sim 10$ ，取 7.5 （ Σ ）。如果，要求的电解电容器的电容量是 $8\mu F$ ，问阳极片的长宽尺寸应是多少？

解：

$$\text{由 } C = \frac{\epsilon S}{4\pi d},$$

$$\text{得 } S = \frac{4\pi d C}{\epsilon}$$

$$= \frac{4\pi \times 0.1 \times 10^{-3} \times 8 \times 10^{-6} \times 9 \times 10^{14}}{7.5}$$

$$= 120 \text{ 厘米}^2$$

所以，陽極片的尺寸，可以是

長 = 30 厘米，

寬 = 4 厘米。

第十一章

可变电容器

可变电容器广泛地应用在无线电发射机、接收机及各种无线电测量仪器的可调振荡回路中，所以它对无线电设备的质量有着极其重要的影响。

由于对可变电容器有各种各样的要求，其结构也是多种多样的，所以常常根据具体要求及用途进行设计，并根据设计来拟订制造工艺。

§11—1 可变电容器的分类及其主要参数

I 可变电容器的分类：按照各种特征，可变电容器有以下几种主要分类方法，现列表于下：

可变电容器的分类

表11—1

按动片和定片之间的介质类型分类	按应用范围分类	按结构特征分类	按制造或装合动片及定片的工艺特征分类	按电容量的变化规律分类
1. 气体介质的	1. 用于无线电接收机、测量设备及小功率发射机的振荡回路中	1. 单连可变电容器	1. 用敲打法制成的	1. 容量直线式的
2. 液体介质的	2. 用于功率振荡器的振荡回路中	2. 多连可变电容器	2. 用焊接法制成的	2. 波长直线式的
3. 固体介质的			3. 用隔离垫圈法制成的 4. 用压铸法制成的 5. 用组合法制成的（也就是同时使用了敲打法、压铸法和焊接法）	3. 频率直线式的 4. 容量对数式的

其中最常用的是按容量变化規律來分类。

II 可变电容器的主要參量：

1. 最大电容量值与最小电容量值：

最大电容量值和最小电容量值，决定着無綫電設備在某一工作波段內的頻率变化范围。

某一工作波段內最高頻率 f_{maxc} 对最低頻率 f_{min} 的比值称为波段復盖系数，可用下式算出：

$$\tau = \frac{f_{maxc}}{f_{min}} \quad (11-101)$$

电感量L 和电容量C 所組成的迴路，其諧振頻率 f 为：

$$f = \frac{1}{2\pi\sqrt{LC}} \quad (11-102)$$

假定电感量L 是一个常数，則 (11-101) 式可轉化成下式：

$$\tau = \sqrt{\frac{C_{maxc}}{C_{min}}} \quad (11-103)$$

其中： $C_{maxc} = C'_{maxc} + C_0$

$C_{min} = C'_{min} + C_0$

C'_{maxc} ——可变电容器之最大电容量。

C'_{min} ——可变电容器之最小电容量。

C_0 ——振蕩迴路的分布电容量，其中包括：安装电容，电子管的極間电容，电感线圈的固有电容等。

在实际生产中，常把可变电容器的最大电容量，做得比所要求的 C'_{maxc} 值要大一些，原因是防止当 C_0 变得比預先估計的数值稍小时（例如：在更換电子管或电感线圈时），可变电容器就不能滿足所提出的波段復盖系数要求了。

2. 可变电容器容量变化規律的准确性和恒定性：

可变电容器电容量的实际变化規律，是否符合所提出的电容量变化規律（即：可变电容器容量变化規律的准确性），直接决定着無綫電設備是否能正常的工作。而所謂变化規律的恒定性，即第一次和第n次旋转时，角度和容量的关系都應該始終如一。有时，在变化过程中有如圖 (11-101) 所示之抖动情况，亦是不允許的。

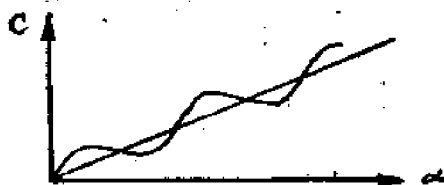


圖11—101

3. 工作电压：

为了保证可变电容器在正常工作情况下不被击穿，对于高压状态下工作的电容器，必須考慮到它的耐压問題，并由此确定空气隙的大小。

对于在正常压力及干燥空气中工作的电容器，其空气隙的大小，可以按空气的容許电位梯度为500—700伏/毫米进行考虑。如果电容器是装在距离海面極高处的机器中，则必須考慮到空气的容許电位梯度与气压的关系。高度为10千米时，空气电容器的抗电强度几乎要降低到三分之二。（見圖11—102）

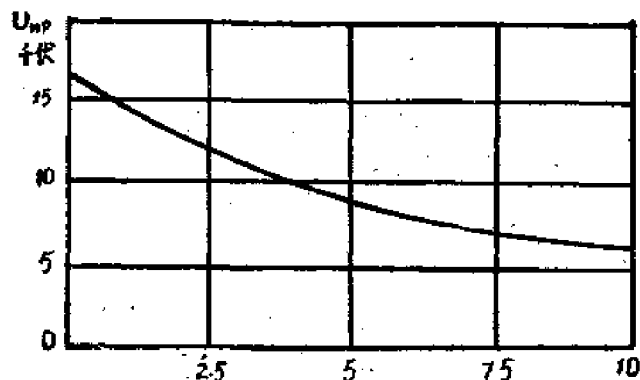


圖11—102 击穿电压与拔海高度 (H) 间的关系

用于一般接收机中的可变电容器，由于加在电容器两端的工作电压很低，在制造上所能达到的动定片之間的空隙（一般为0.15毫米）就完全能保証不被击穿。因而对这类电容器将不考虑工作电压这项參量，而極片間的空隙是由工艺水平和稳定性来决定的。（关于空隙大小和稳定性的关系，后面将进行詳細討論）。

4.容許損耗:

可变电容器与电感线圈的总损耗，决定着工作迴路的 Ω 值，因而直接影响着迴路工作的稳定性和選擇性。故对可变电容器的损耗应有一定的要求。

5.温度系数及其恒定性:

可变电容器的容量温度系数的大小，直接影响着迴路频率的稳定性。而温度系数是否恒定，却决定着进行温度补偿是否困难。因此应对該參量給予極大的重視，否則将使無線电设备無法正常的工作。

6.集流元件的阻抗值及其恒定性:

集流元件就是把电流引导到动片組的元件。由于动片須要轉動，因而它与动片組的接触是滑动式的接触。所以很易引入較大的接触电阻和感抗，从而使 Ω 值下降，稳定性变坏，故应設法使集流元件的阻抗值作到最小，并使該数值具有高度的恒定性，特別是用在超短波时更应注意。

7.連的数目及在各連中电容量变化的统一性:

因为在某些设备中，要求同时調諧數个迴路，所以常常需要把可变电容器作成多連的。各連电容器的动片組，均裝在同一根軸上，当旋轉动片軸时，要求各連电容量的变化具有所要求的统一性，这样才能准确的按一定关系同时調諧數个迴路。

8.各連的屏蔽:

为了减弱电路各部份間的寄生电容耦合，以保証無線电设备能正常工作，要求各連

間應該有很好的屏蔽。

9. 耐震性：

可变电容器按照工作条件的要求，應該具有足够的耐震性，否則由电容器所引起的微音效应，可能会破坏无线电设备的正常工作。

为了消除或减弱机械振动的影响，最好用厚而無彈性的材料来制造动片，并增加动片和定片之間的空隙，以及設法加固电容器的全部結構等。

10. 动片旋转力矩的大小及其恒定性：

动片旋转力矩的数值及其恒定性，决定于使用条件，它們應該保証旋转方便。力矩过大，往往不易旋转到预定的角度；力矩过小，则在旋转到某角度后，稍有振动或冲击时，就可能使动定片的相互位置发生变化，从而产生迴路失諧，故旋转力距应严格按照要求给予滿足。

11. 重量和尺寸：

这个要求对于小型及移动式设备特別重要。

§11—2 可变电容器結構另件的設計和制造工艺

任何类型的可变电容器，都包括下列基本构件：动片組，定片組，軸承，集流器和壳体等。而每一个基本构件，又由許多另件組成。

某些可变电容器的結構，如圖11—201，圖11—202，圖11—203所示。

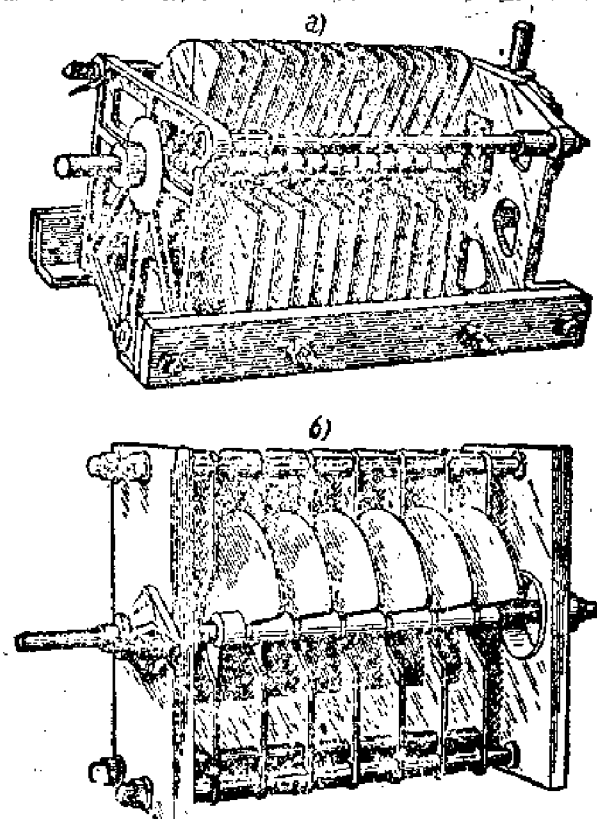


圖11—201 电容器的典型构造

a. 無繩电发射机用可变电容器； b. 高頻率高电压可变电容器。

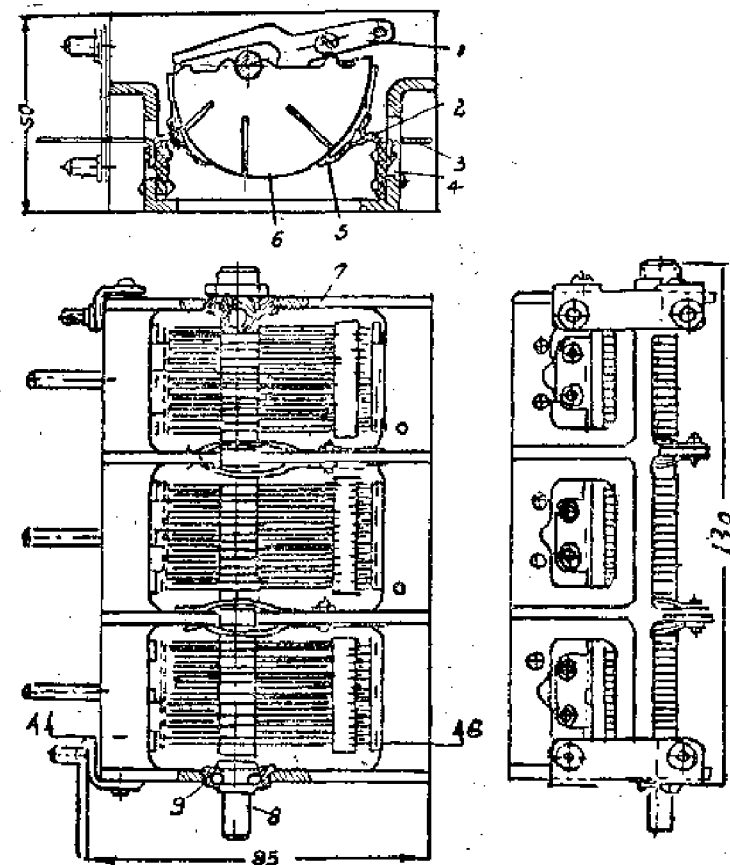


圖11—202 三連可變電容器

- | | |
|-----------------|-----------------|
| 1.用硬黃銅板料製成的集流導片 | 6.鋁片 |
| 2.焊錫 | 7.鋁合金片鑄成的外殼 |
| 3.黃銅的定片引入線 | 8.黃銅製成的動片組的軸 |
| 4.紙膜板絕緣體 | 9.銅制軸承 |
| 5.定片支持器(黃銅造的) | 10.電容器裝到底板上用的螺栓 |

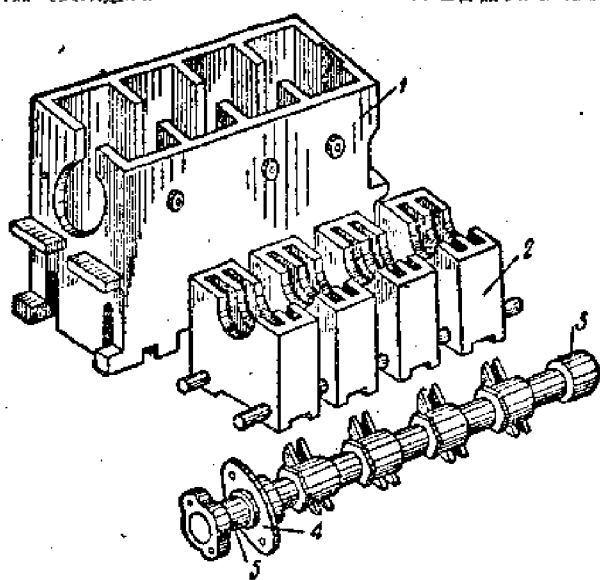


圖12—18 超短波用四連電容器(拆散時的情形)。

1—壳体，2—定片组，3—动片组，4—钢珠轴承；5—陶瓷轴。

1. 可变电容器的壳体：

壳体是可变电容器的基架，在它上面安装着所有构件和零件。

1. 对壳体的要求：

1) 足够的机械强度，以保证可变电容器工作的可靠性。

2) 足够的尺寸准确度。否则将使装配困难，甚至使电容器的电性能变得很差。例如：轴承孔和抵触螺钉孔的同心度不准，则很可能造成动片和定片碰片，至少会使电容量变化规律受到破坏。

3) 易于固定到机器上去。

4) 工艺性、经济性好，即易于制造且成本低。

5) 有一定的温度稳定性，即线胀系数小，不存在残余的内应力等。

6) 其他要求。如有时要求体积小，重量轻、美观等。

2. 外壳制造工艺：

目前我国制造壳体，主要使用以下材料：铝合金、锌合金、钢、铜合金等。

制造壳体通常用的方法有：

1) 冲压法：

即先用冲压法冲成壳体的零件，然后再用歛缝法或焊接法装合成完整的壳体。

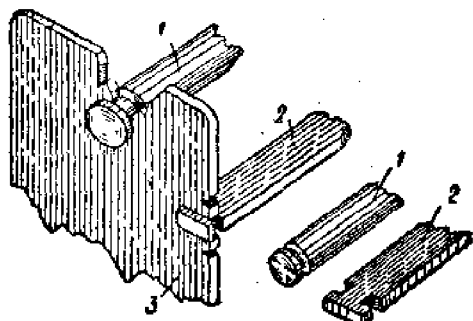


圖11—204a 用歛縫法裝合多連电容器之結構

1—联接軸； 2—联接条； 3—端板。

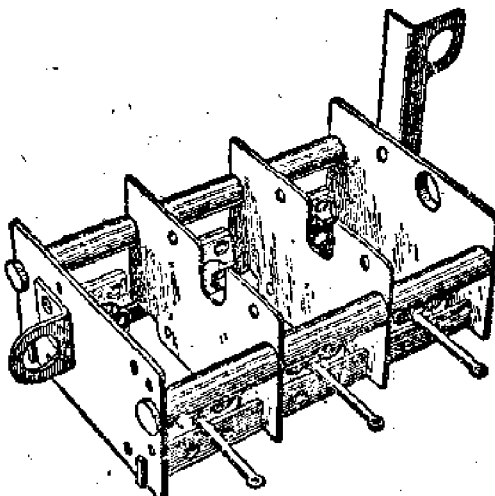


圖12—204b 三連可变电容器壳体

圖(11—204)所示是一用歛缝法装合成的外壳，为了保证外壳有足够的准确性，装合时应当使用专门的模夹具，端板一般是应用1.5—2毫米厚的软钢作为材料，为了固定到设备的底座上去，端板上具有装接上的带孔的支持板。

用歛缝法装合外壳，因在装合过程各组成部分受了外力的作用，所以常使外壳存在残余变形，严重影响着可变电容器工作的稳定性，但可用退火的方法克服此缺点。

该法制成的骨架，总的说来质量较差。目前仅使用在广播接收机和一般民用产品中。

該法在制造工艺上，也比压鑄法复杂。在大量生产中，目前我国許多工厂已逐步用压鑄法来代替歛縫法。但是，当生产的数量較少时，由于压鑄模很貴，故仍用此法。

高稳定性可变电容器之外壳，需要用線脹系数小的殷鋼制造时，则用焊接法裝合。此时避免了外力对外壳的作用，故不会产生殘余的內应力。

2) 壓鑄法：

适用于大量生产，常用材料是鋅合金、銅合金和鋁合金。

后两者均是国防材料，只有在特殊需要时才使用，一般普通的民用产品，尽可能选用鋅合金。

压鑄壳体一般用底部或側壁上的螺孔裝固到底板上去。

圖(11—205)示出压鑄壳体的例子。

在这种結構中，前后壁板軸孔周圍具有加厚部分，以增加軸承的安装机构强度。

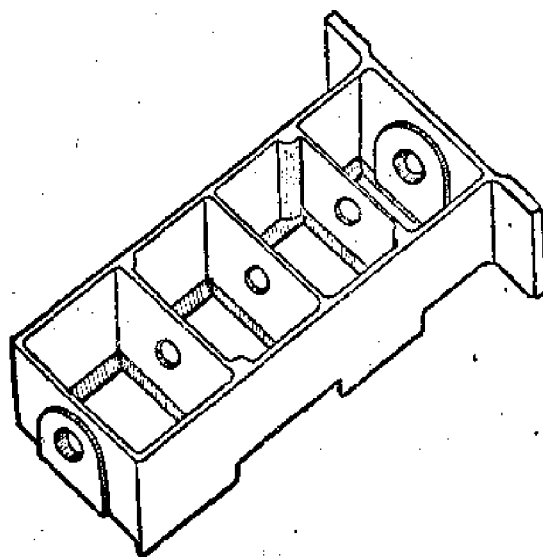


圖11—205 壓力模鑄成的多通電容器身架

3) 銑制法：

用軟鋼、黃銅、銅合金、鋅合金、鋁合金直接銑出。

后面两种方法在质量上能得出相同的結果，即穩定性和机构强度，可靠性，准确性等都比冲压法高，常用来制造超短波或測量设备中的电容器外壳。

銑制法比压鑄法加工的材料范围更广，但銑制法浪費材料較大，制造效率低，故只适用于小量生产，单件生产和不能使用压鑄法加工的情况下。

4) 可拆式裝合結構：

在發射机中使用較大的可变电容器的壳体，由于体积較大，用上述三种方法制造比較困难，所以只得用螺栓、螺母裝合成可拆式的壳体結構。

如圖(11—206)所示，端板是用鋁合金鑄成的，支杆是車出來的。

又如圖(11—207所示，端板用陶瓷制成，这样则可不用絕緣子而直接固定到机器中去。

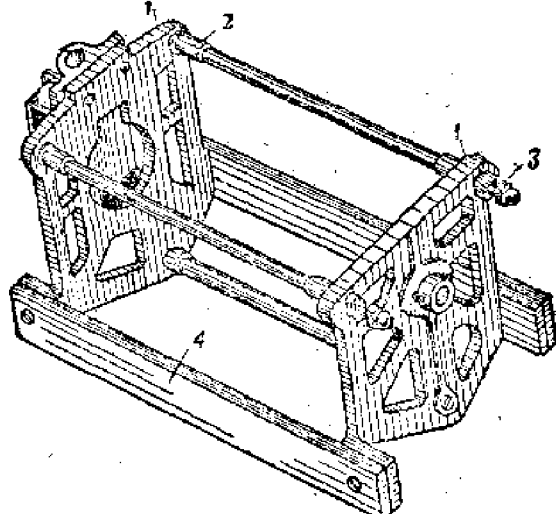


圖11—203 無線電發射機用，以鑄造鐵板裝合的身架

1—以砂鋁合金鑄成的牆板；2—門緊螺絲；3—圓頭螺母；4—云母帶制條。

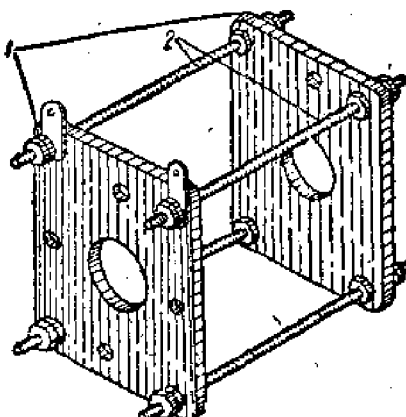


圖11—207 陶瓈牆板裝合的身架

1—陶瓈牆板；2—門緊螺栓。

II. 动片和定片：

1. 基本要求：

1) 足够的尺寸准确性。因为动片和定片的形状直接影响着电容器的变化规律，所以这个要求特别重要（关于动片和定片的计算，参见§11—4）。

2) 足够的厚度准确性。因为厚度直接影响着动片和定片之间空隙的大小，故可造成电容量的误差。

在大量生产中，为了不对片子厚度提出过于严格的要求，在装配前先将片子按厚度分成甲，乙，丙三类：

甲……0.593—0.597毫米

乙……0.598—0.603毫米

丙……0.601—0.609毫米

在装配时，由乙类的动片与乙类的定片，甲类的动片和丙类的定片，丙类的动片与甲类的定片相配合，这样将保证空隙的准确，同时也大大降低制造成本和减少了制造的困难。

3)足够的平整度：

这样才能保证容量的准确和稳定，保证动片组旋转时不会发生动片与定片短接，并保证电容器在规定的工作电压下不被击穿。

2. 动片和定片的制造工艺：

1) 冲制：

一般使用的材料是铝、铜、黄铜、殷钢。

首先应检验金属薄板的厚度，或在无线电工厂中用精确的辗压机，压制所需的厚度。一般厚度为0.5—1.5毫米，误差应小于0.01毫米。极片愈厚机械强度愈高，耐震性愈好，但成本和重量也随之加高。

因极片所用材料均是有色金属或合金钢，价格较贵，所以在冲压排样时应该尽可能节约材料；图(11—208)中表明(甲)种排样方法比(乙)种排样能节省原料。

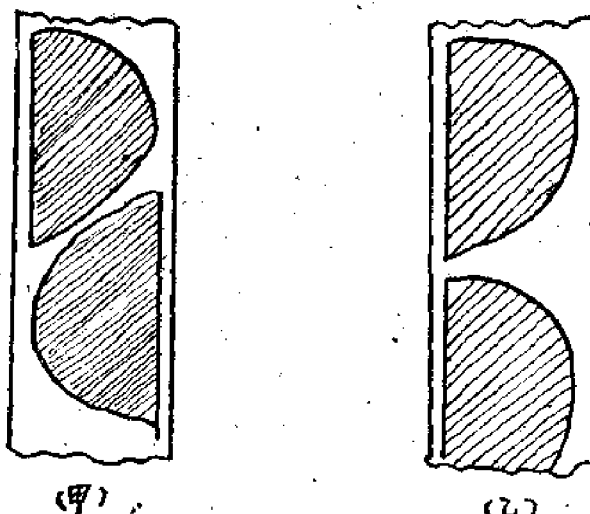


圖11—208動定片的排樣

(甲) 正確 (乙) 不正確

由于冲压时极片将会稍有弯曲，所以冲出的板片，一般均须经过麻压平或光压平，前者效果较好。因为前者是塑性压平，而后者是弹性压平，所以后者仍有弹性还原的可能性，在压平时，对于较软的金属料，应在下模底部垫以橡皮，防止板片被压薄，而影响板片厚度之准确性。在制造过程中，由于不可避免的某些制件不一致的情形，将影响电容量的准确度。因此，有时须把动片组外面两片切出几个缺口（俗称花片），以便在几个转角上进行容量的校准（参见图11—209）。在多连电容器中，为了获得各连电容量变化的统一性，这种校准显得特别重要。

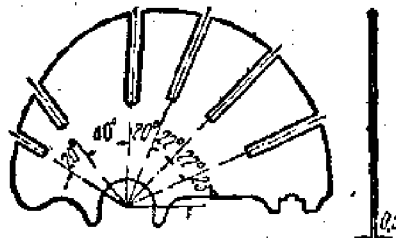


圖11—209 动片上的狹槽。

缺口深度一般为半徑的 $2/3$ ，切口間角距一般为 20° — 40° 。

为使极片容易和在叠片后不再彈回，或者說为了維持塑性变形，极片均需經過退火处理。有时为了消除动片和定片在冲压时所产生之內应力（这种內应力在使用環境的作用下，可能使板片产生不允许的变形）。也須要进行退火。退火时把極片疊在一起，并夹紧在專門的夹具中，然后放进退火炉中，在三小时到四小时内升到退火温度（对于鋁是 240° — 280°C ）；对于銅是 350 — 400°C ），保持一小时，然后打开炉子，随炉冷却。在退火后，黃銅片必須經受腐蝕处理，以除去表面之氧化層（这种氧化銅層，电阻很大，会引入附加損耗），腐蝕后須仔細清淨，否則極片在殘余的腐蝕液长期作用下，可能被腐蝕坏。

2) 壓鑄或銑出整個動片組和定片組：

采用动片和定片的整組銑制（如圖11—210），可以得到电容的高度稳定性，这种电容器的定片和动片的毛胚，一般是由鋁合金鑄成的，經車削后用整套的專門薄片銑刀在胚子中銑出隙縫。这种电容器中的極片，厚度达 2 — 3 毫米，故重量大为增加。并且由于金屬材料消耗較多，制作手續又較复杂，所以价格也大为增加。現在除極少數的情况之外，整銑式电容器片已不再制造。

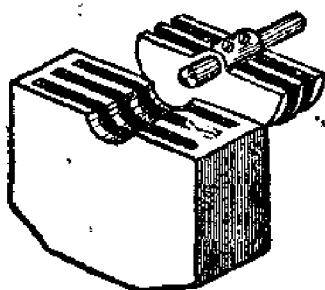


圖11—210 用鑄造法制成的動片組和定片組。

单个的銑制动片和定片亦只在高稳定性、高准确度和高压可变电容器中才使用，例如：主振，超短波及大功率發射机用可变电容器，因为該法所获得片子的外形和厚度都較准确，而且不会产生形变。为了提高其抗电强度，工作在高压情况下的电容器，应把片的边缘作成圆角，以使在边缘处电場分布比較均匀（如圖11—211所示）。

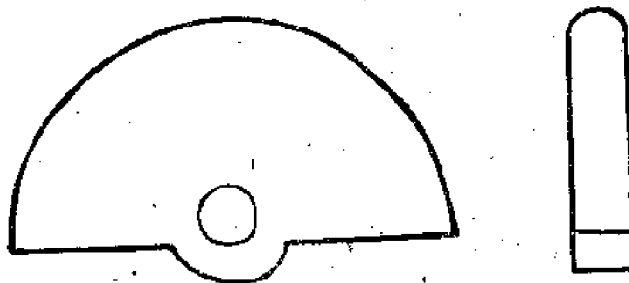


圖11—211

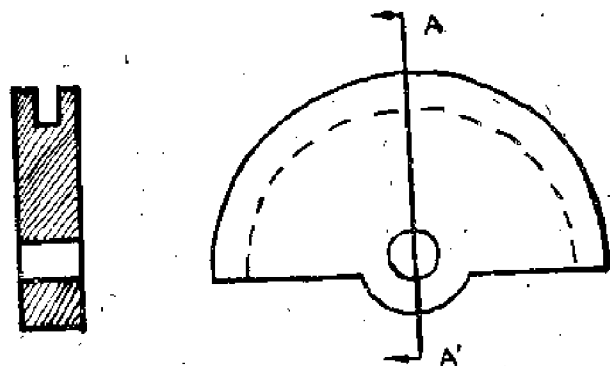


圖11—212

对于銑出或鑄出的動片，為了調整容量，在邊緣做有2—3毫米深的環槽（如圖11—212所示）。

如果準確度要求很高，則不應用撥片來調整容量，以免產生隨溫度變化的非循環性變形，因為在撥片時會產生剩餘應力。

III. 動片軸：

動片軸常用的材料是軟鋼，黃銅或陶瓷。為了使軸有一定的機械強度，軸的直徑一般選用5—10毫米。為了固定動片，當用金屬軸時，常在軸上做有小槽（如圖11—213所示），槽寬與動片厚度應為滑配合，槽距應準確的等於定片的厚度和動定片間空隙2倍的總和（一般要求達到3—10微米的準確度）。在實際製造時常用樣板刀車出。

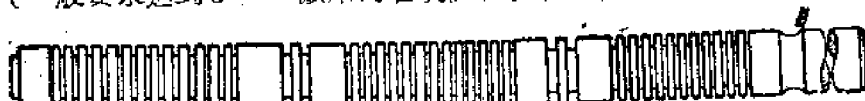


圖11—213 可變電容器動片組的軸

此外，為了配合止推軸承的滾珠，通常在軸的一個端面作有圓錐穴，在另一端頭為了在軸承中安置滾珠，常作有凹槽。圓錐穴和凹槽均要求有較高之光潔度，以降低摩擦力。

對於超短波用多連電容器，為了防止連間的電感耦合，則用高頻陶瓷軸。

為了保證可變電容器製造之準確性，對於動片軸應進行以下項目的檢驗：

1) 滾珠窩之錐度。

2) 各部分的同心度。

3) 尺寸檢驗：如槽寬、槽距、直徑、長度等。

IV. 軸承：

軸承在可變電容器中是一個重要的組成部分，它影響到電容器的穩定性，因而在選擇材料和製造時都應滿足一定的要求，這就是需要選擇具有較好耐磨性和耐溫性的材料，並要求所製得的軸承保證動片軸能均勻的旋轉和具有恰當的旋轉力矩。

可變電容器使用的軸承可分為兩大類：

1) 滑動摩擦軸承；

2) 滾動摩擦軸承（即滾珠軸承）。

以上每一大類又分為很多種（如圖11—214所示）。滑動軸承如圖（a,b,c），只能

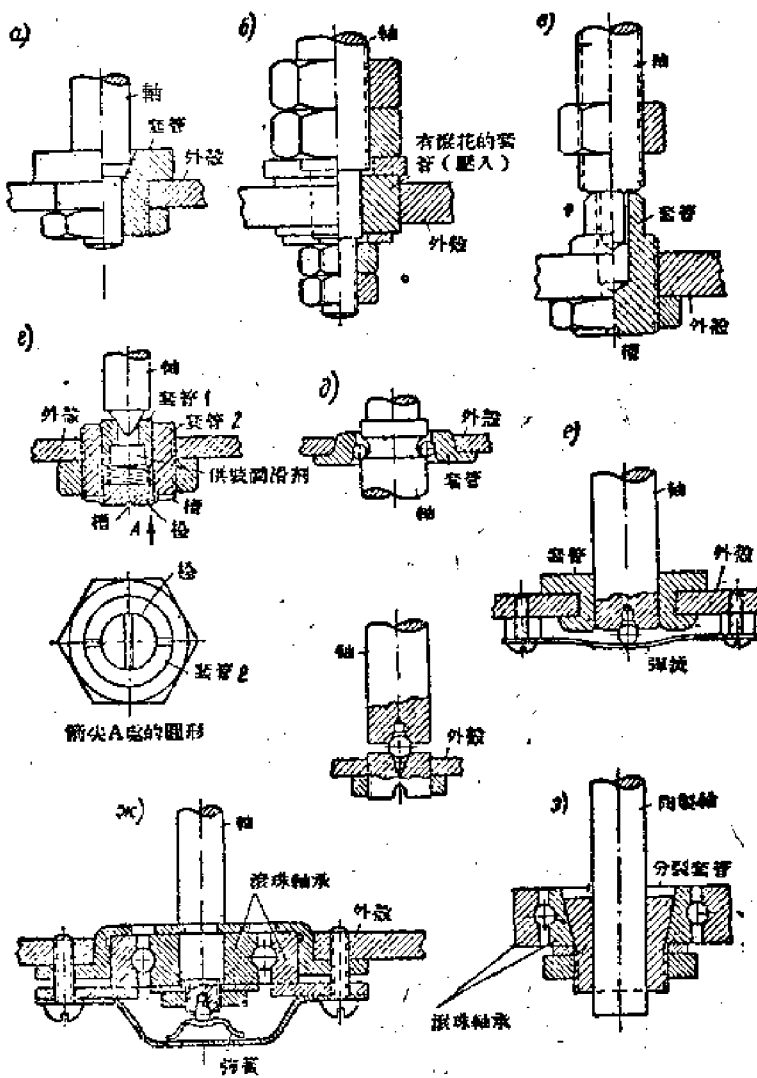


圖11—214 可變電容器的各種軸承結構：a—最簡單的下滑動軸承（動片有自由的軸向移動）；b—下軸承（動片的軸向移動受到限制）；c—下軸承（動片的軸向移動可以調整）；d—下軸承（動片的軸向移動可以調整，且有潤滑裝置）；e—特殊滾珠軸承，有滾珠壓軸（軸向移動可以調整）；f—滾珠軸承，有消除軸向空隙的裝置；g—標準滾珠軸承有消除軸承本身空隙的裝置；h—標準滾珠軸承，固定裝牢在軸上的。

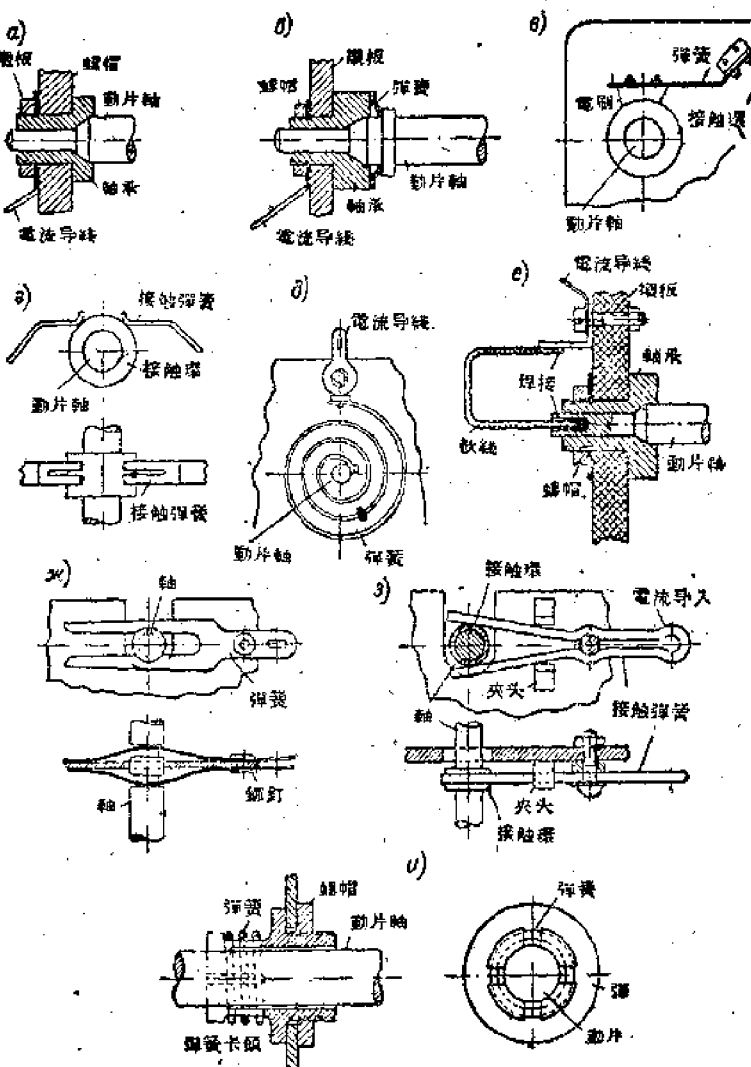


圖11—215 可變電容器中引導電流到動片的方法：a—經過軸承；b—用彈簧
墊圈經過軸承；c—經過接觸環和電刷；d—經過接觸環和二個彈簧；e—經過螺
絲彈簧；f—用固定在鐵板上的平彈簧；g—經過用硬導線彎成
的叉狀彈簧；h—經過有縫彈簧卡頭。

用于最简单的电容器中，也就是普通的民用产品中。因为他們不能保証装配具有較高的准确度，并且在使用中很不可靠、散裝的滾珠軸承（參見圖11—214中r），此种軸承运用方便，成本較低，已获得了最广泛的采用。標準滾珠軸承有許多优点，如精确度高，稳定性好，旋转均匀，但成本較高，因此仅用于要求較严格的电容器中。

为了消除軸和壳体間产生不可逆变形的可能性，軸承常常通过專門的彈簧固定在外壳上，軸承的这种固定方法，当热膨胀时，可以允許軸承有不大的縱向伸长，而不致产生不可逆的变形，參看圖11—214中d), e), g)。

V. 集流器：

集流器是用来使可变电容器的动片組与电路进行电气连接的零件。在大多数情况下，可变电容器的动片是接地的。因而集流器一端在电气上往往和壳体相連接，另一端則与动片組發生滑动接触。滑动接触点的接触电阻，应当尽可能的小（一般要求小于0.01欧），并且在使用过程中不发生变化。导电零件的总阻抗应当小（一般可在集流器上镀銀来减小阻抗）。对于多連可变电容器，为了减小相互間的耦合，各連均应有自己单独的集流器。

集流器的结构如圖(11—215)所示，其中“K”及“3”型的集流器在一般短波可变电容器中，得到了最广泛的应用。

彈簧卡头集流器“II”具有較好的指标，它具有小的过渡电阻約(0.0001欧)及不大的电感。

在超短波电容器中，常采用电容式集流器，虽然它們在很大的程度上增加了电容器的尺寸，但它們的主要优点，是具有極小的电感（參見圖11—216）

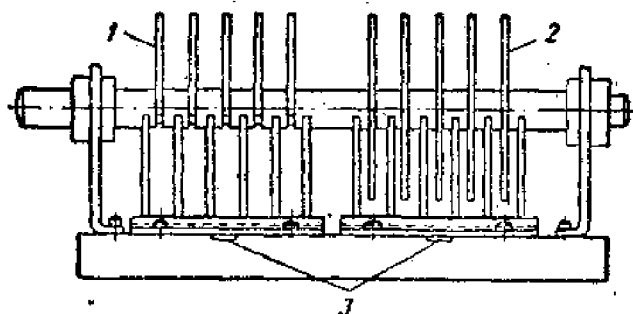


圖11—216 具有电容式集流器的电容器

1—工作联；2—电容式集流器；3—自定片引出的引出端。

几种广泛应用的集流器（如圖11—215中的“K”和“3”），都是用冲压法制造。因此，在排样上应注意节约原料。圖(11—217)为平彈簧式集流器的排样，这样可进行無废料冲压。



圖11—217 平彈簧式集流器的排样

§11—3 电容器组件的装配：

电容器组件的装配主要指动片組，定片組的装配，即把动片裝在套管（或軸心）上，和把定片裝在支持零件上。現在常用以下方法进行装配：

I. 用易熔合金澆注 (圖11—3016)

将整組冲成的極片嵌入特制的模子中，注以熔化了的合金，当这合金凝固时，就成为动片的套管或定片的支柱。用这种方法制成的动片組或定片組，最大的优点，是定片与支柱間和动片与套管間接触良好，可减少电容器的接触电阻，减小tg6，因而使电容器

适用于超短波电路中。

II. 錫焊裝配法：(圖11—301B)

将極片安装在定片支柱或軸心上，用錫焊牢。这样的結構，重量較澆注法为輕，并且也适用于超短波。

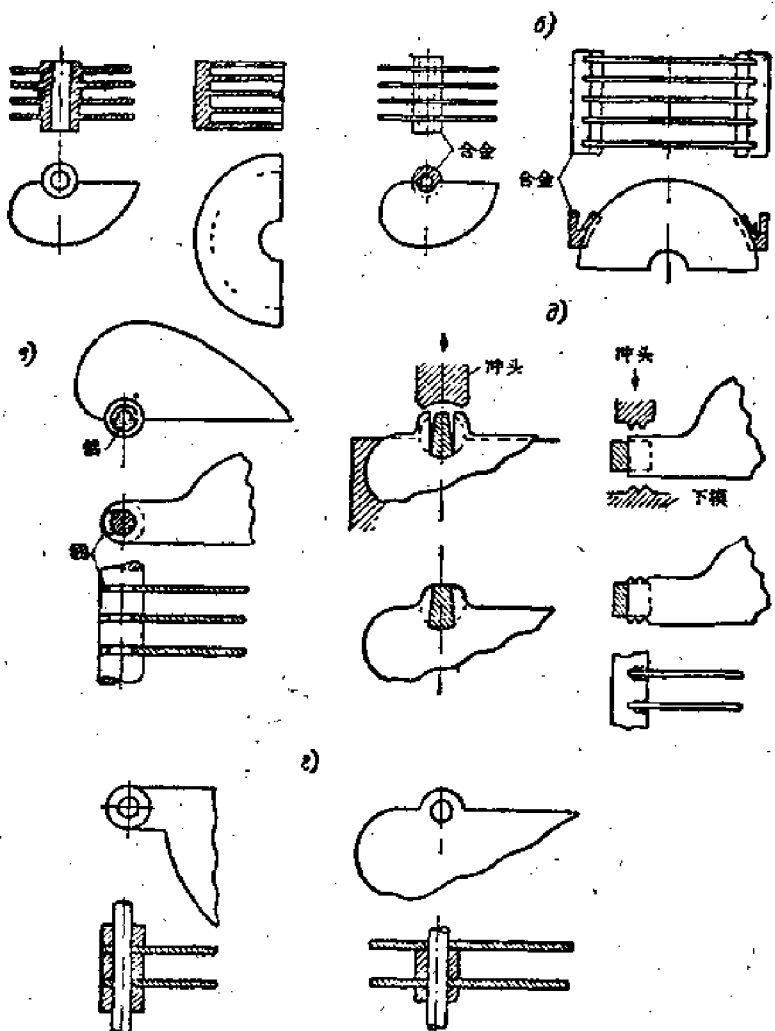


圖11—301 定片和动片的各种裝固法：

■—整粗銑出；6—用易熔合金澆注；B—用錫焊；F—裝固在套管上；A—冲压。

有时为了易于焊接，在焊接前先預热动片，軸做成空心的，以降低热容量。

用空心鑄鐵焊接的方法如圖 (11—302) 所示。

III. 用隔离垫圈裝固在心軸上：

这种結構可以得到电容的高度稳定性，制作标准可变电容器时，用之尤为适宜。陶瓷軸心可变电容器亦常用此法装配。垫圈的制作必須有很高的精确度（一般只允許相差0.01—0.02毫米以下），否则極片間的縫隙大小，可能与給定的数值相差很大，尤其在

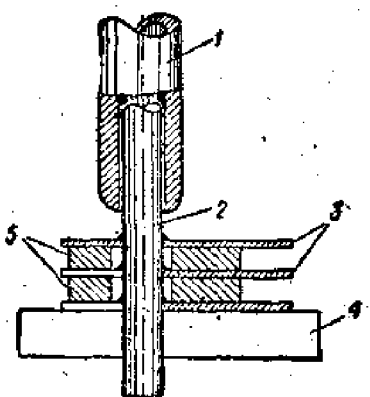


圖11—302 用空心烙鐵把動片焊到軸上的方法。
1—音式烙鐵頭；2—動片軸；3—動片；4—夾具；5—間隔墊。

片數較多時，誤差更大。

此種裝合方法，由於接觸電阻較高，故不能用于超短波電容器中。

IV. 冲压或歛缝装固法：

与焊接装固一样，这里也是把定片和动片嵌入定片支柱和动片轴心（或套管）的槽中，然后在专门的冲床上，将极板上的小耳被压挤紧缩，挤满于轴上的槽内和极片的小孔内如图（11—303）所示。

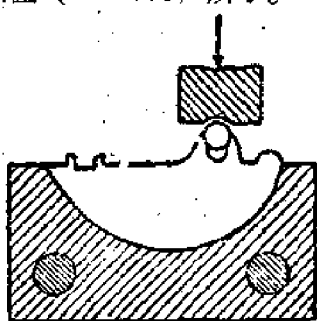


圖11—303a 用手扳压力把軸勒住動片組上。

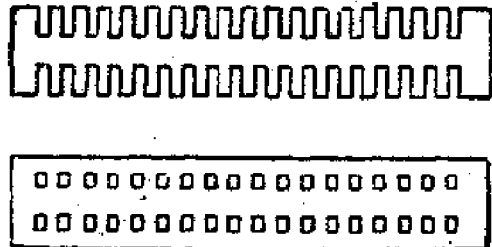


圖11—303b 固定動片用的梳片或小平片。

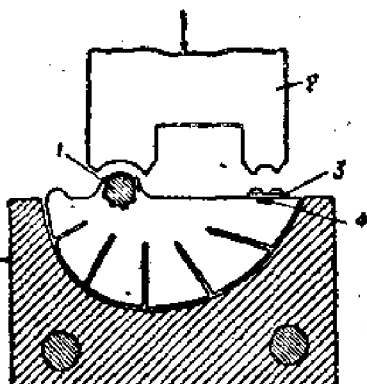


圖11—303c 動片組壓印操作的情形。

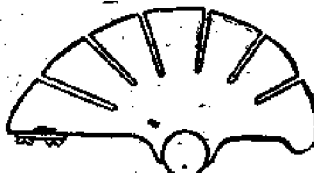


圖11—303d 動片組路印後的情形。

1—動片軸；2—上頭；3—梳片；4—絕緣墊片。

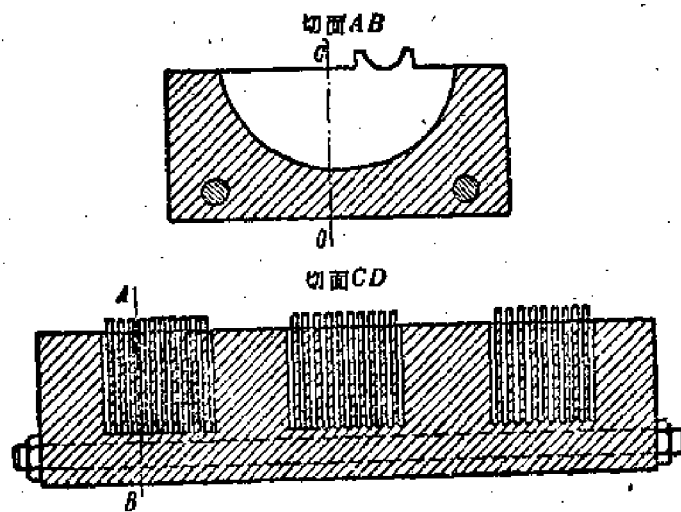


图11—303д 装合动片组用的夹具。

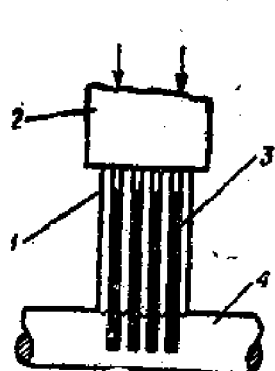


图11—304а 在轴身上压印卡紧动片的方法。

1—扩涨盘；2—上冲；3—片子；4—轴。

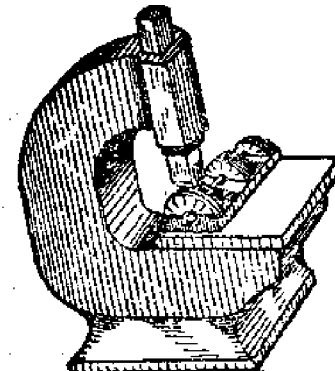


图11—304б 轴身压印用的手扳压力机。

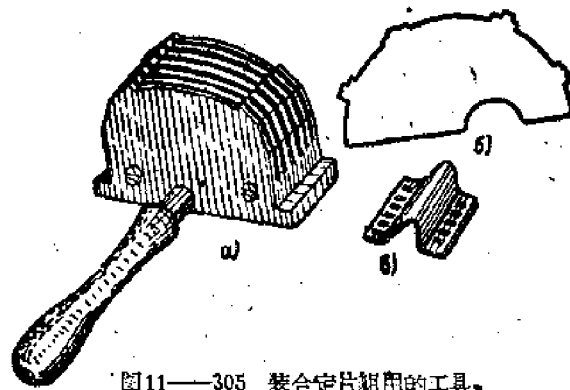


图11—305 装合定片组用的工具。

a—装配用的工具；6—定片；b—锁片。

另一种方法是在轴身上压印，从而卡紧动片如图（11—304）所示。

图11—305所示工具，乃是一个钢制的带狭缝槽的样子，片子则插在槽内。在片子上

的凸出部分，放置黃銅質的鎖片，鎖片中部鼓出，是为了增加它的剛性，

組合好的定片，連同工具一起放入具有1、2和3的三个冲头的冲模上，（圖11—306）一經冲压，凸出部分就被皺，嵌在鎖片孔中，而固定起来。

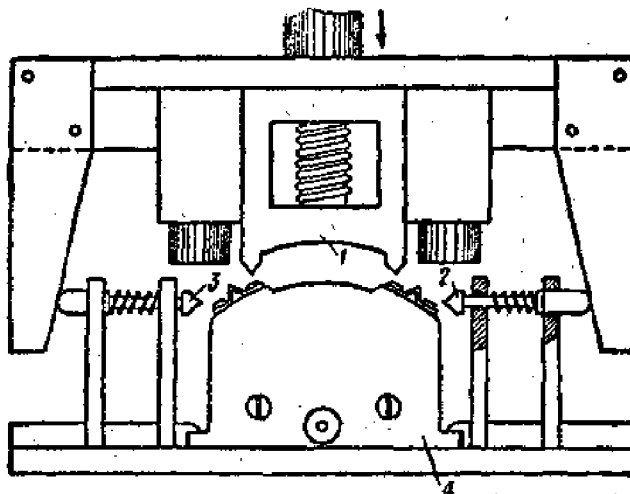


圖11—306 扩張定片粗的三冲头冲模。

1.2.3—冲头；4——組合好的定片（連同工具）。

§11—4 可变电容器的計算

在設計和生产过程中，需要把动片做成某些特定的形状，以满足可变电容器所要求的电容量变化規律，可变电容器的計算就是为了确定动片（有时也是定片）的形状和尺寸。

为了达到这个目的，可以通过两种方法：近似計算法和圖解法。

I. 具有 180° 轉角的可变电容器的近似計算：

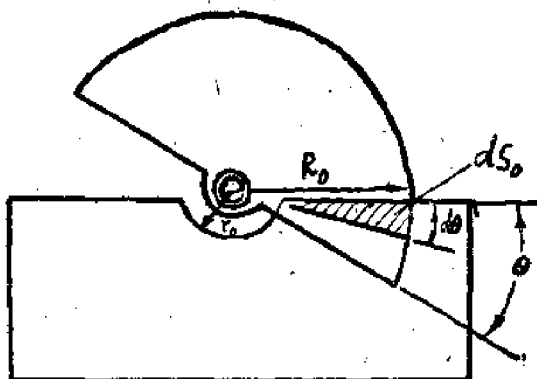


圖11—401

如圖11—401当动片轉入定片 θ 角时，其电容量为 C_{θ} 可用下式表示：

$$C_{\theta} = \frac{8S_0(n-1)}{3.6\pi d} + C_{\text{max}} \quad (11-401)$$

其中：

S_θ ——动片的作用（复盖）面积（厘米²），

n——極片的总数（根据电容器所需的结构尺寸，来加以选定），

d——相邻动片和定片間的距离（厘米），

C_{\min} ——动片完全旋出时，电容器的最小电容（微微法）。θ角以弧度表示。

ϵ =介質常数。

由公式(11-401)得：

$$S_\theta = \frac{3.6\pi d(C_\theta - C_{\min})}{\epsilon(n-1)} \quad (11-402)$$

設角度θ有一微小的增量dθ时，则作用面积的增量：

$$ds_\theta = \frac{3.6\pi d}{\epsilon(n-1)} \cdot \frac{dC_\theta}{d\theta} \cdot d\theta \quad (11-403)$$

大家知道，有效面积的增量，亦可用下式表示：

$$ds_\theta = \frac{1}{2} (R_\theta^2 - r_0^2) d\theta \quad (11-404)$$

其中：

R_θ ——动片可变半徑，

r_0 ——定片可变半徑（一般为軸的半徑与2—3倍片距之和）

令以上二式相等，得

$$\frac{3.6\pi d}{\epsilon(n-1)} \cdot \frac{dc_\theta}{d\theta} = \frac{1}{2} (R_\theta^2 - r_0^2) \quad (11-405)$$

設空气中的 $\epsilon=1$ ，則得到

$$R_\theta = \sqrt{\frac{7.2\pi d}{n-1} \cdot \frac{dc_\theta}{d\theta} + r_0^2} \quad (11-406)$$

将θ角改用度数表示：

$$R_\theta = 10.7 \sqrt{\frac{3.6\pi d}{n-1} \cdot \frac{dc_\theta}{d\theta} + \frac{r_0^2}{114.6}} \quad (11-407)$$

当知道 $c_\theta=f(\theta)$ 的关系时，即可通过上式，求得动片的輪廓曲綫 $R_\theta=f(\theta)$ 。

現在举几个例子，來說明可变电容器的計算方法：

1. 直線电容式电容器的計算：

直線电容式电容器的电容随轉角的变化，是直線規律的，可用直線方程来表示：即

$$C_\theta = a\theta + b$$

当 $\theta=0$ 时 $C_\theta=C_{\min}=b$

$\theta=180^\circ$ 时 $C_\theta=C_{\max}=180a+b$

$$a = \frac{C_{\max} - C_{\min}}{180}$$

将a和b值代入則得：

$$C_\theta = \frac{C_{\max} - C_{\min}}{180} \theta + C_{\min}$$

$$\frac{dc_\theta}{d\theta} = \frac{C_{\max} - C_{\min}}{180}$$

将此式代入(11-407)式，得：

$$R_\theta = 10.7 \sqrt{\frac{3.5\pi d}{n-1}} \cdot \frac{C_{\max} - C_{\min}}{180} + \frac{\gamma_0^2}{114.6} \quad (11-408)$$

上式說明直線電容式電容器的動片半徑，是個常數。

2°直線頻率式電容器的計算：

直線頻率式電容器的頻率，隨 θ 變化的規律，可用直線方程 $f_\theta = a'\theta + b'$ 来表示。

因 $f_\theta \propto \frac{1}{\sqrt{C_\theta}}$ ，即 $f_\theta = K \frac{1}{\sqrt{C_\theta}}$ (K 為常數)，

$$\text{代入, } C_\theta = \frac{K^2}{f_\theta^2} = \frac{K^2}{(a'\theta + b)^2} = \frac{1}{(a\theta + b)^2} \quad (11-409)$$

當 $\theta=0$ 時

$$b = \frac{1}{\sqrt{C_{\max}}} = \frac{1}{\sqrt{C_{\min}}}$$

$\theta=180^\circ$ 時

$$a = \frac{\frac{1}{\sqrt{C_{\max}}} - \frac{1}{\sqrt{C_{\min}}}}{180}$$

代入(11-409)式得：

$$C_\theta = \frac{1}{\left[\frac{1}{\sqrt{C_{\max}}} - \frac{1}{\sqrt{C_{\min}}} \theta + \frac{1}{\sqrt{C_{\min}}} \right]^2} = \frac{C_{\min}}{\left[\frac{\theta}{180} \left(\sqrt{\frac{C_{\min}}{C_{\max}}} - 1 \right) + 1 \right]^2}$$

$$\text{令: } \frac{1}{180} \left(1 - \sqrt{\frac{C_{\min}}{C_{\max}}} \right) = \frac{1}{A}$$

$$\text{則: } C_\theta = \frac{A^2 C_{\min}}{(A-\theta)^2} \text{对此式取導數}$$

$$\text{得: } \frac{dc_\theta}{d\theta} = \frac{2A^2 C_{\min}}{(A-\theta)^3}; \text{ 把此導數代入(11-407)式}$$

則得直線頻率式電容器的動片的半徑對轉角的關係：

$$R_\theta = 10.7 \sqrt{\frac{3.6\pi d}{n-1}} \cdot \frac{2A^2 C_{\min}}{(A-\theta)^3} + \frac{\gamma_0^2}{114.6} \quad (11-410)$$

直線波長式及對數電容器，都可用相同的推導方法，得到 R_θ 隨 θ 變化的規律。現僅將結果寫出：

直線波長式：

$$R_\theta = 10.7 \sqrt{\frac{3.6\pi d}{n-1}} \cdot 2(a\theta + b)b + \frac{\gamma_0^2}{114.6} \quad (11-411)$$

其中：

$$a = \frac{\sqrt{C_{\max}} - \sqrt{C_{\min}}}{180}$$

$$b = \sqrt{C_{\max}}$$

对数电容式：

$$\begin{aligned} R_\theta &= \sqrt{114.6ka \cdot e^{a\theta} e^{b\theta} + Y_0^2} \\ &= \sqrt{114.6ka \cdot e^{a\theta} C_{\min} + Y_0^2} \end{aligned} \quad (11-412)$$

其中：

$$k = \frac{3.6\pi d}{n-1}$$

$$a = \frac{1}{180} \ln \frac{C_{\max}}{C_{\min}}$$

$$b = \ln C_{\min}$$

以上这些公式指出，电容器的动片半径，除直线电容式外，均不是常数，它与 θ 有关。要计算这些半径，需取一系列的角度（一般每隔 10° ），繪出电容器片子的形状。應該指出， $\Delta\theta$ 取得越小，准确度越高。下面是根据計算，划出各种电容器片子的形状（見圖11-403）及 $C_0 - F(\theta)$ 和 $f - \varphi(\theta)$ 的关系曲綫（見圖11-402）。

直线频率式电容器的动片根据計算，片子的最大半徑与最小半徑差得很多，因而使电容器的尺寸增大和机械强度降低。为了免除这个缺陷，动片的形状常要改变一些（如圖11-403b的实綫所示）。这样做虽然电容量的变化規律稍許改变了一些，但电容器工作的稳定性却变好了，且片子的形状簡化了（电容器变化的規律的稍許改变对于有些情况常常是允許的）。从而使加工容易，成本降低。

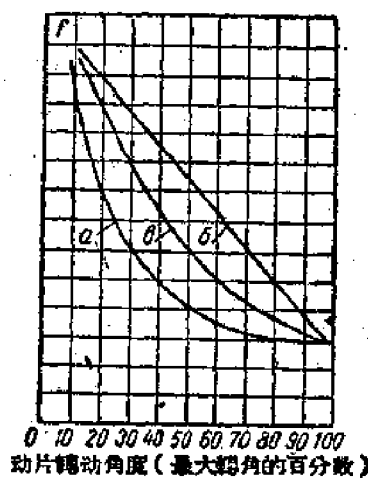


图11—402a 回路频率变化曲线圖：a—直线电容式 b—直线频率式 c—对数式电容器

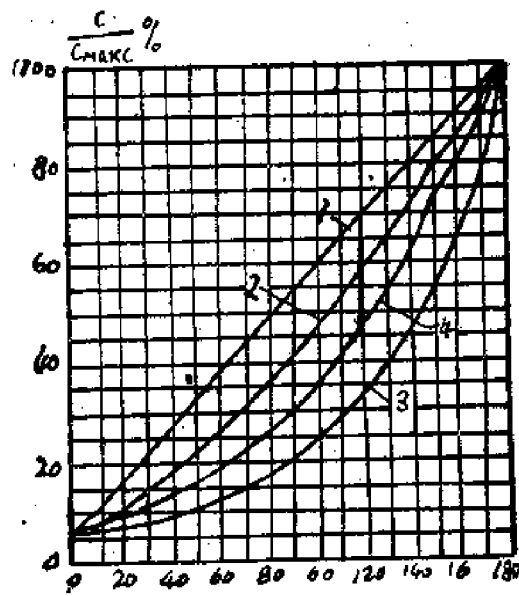


圖11—4026 容量变化对于轉角的关系

1. 直线电容式 2. 直线波长式 3. 直线频率式 4. 容量对数式

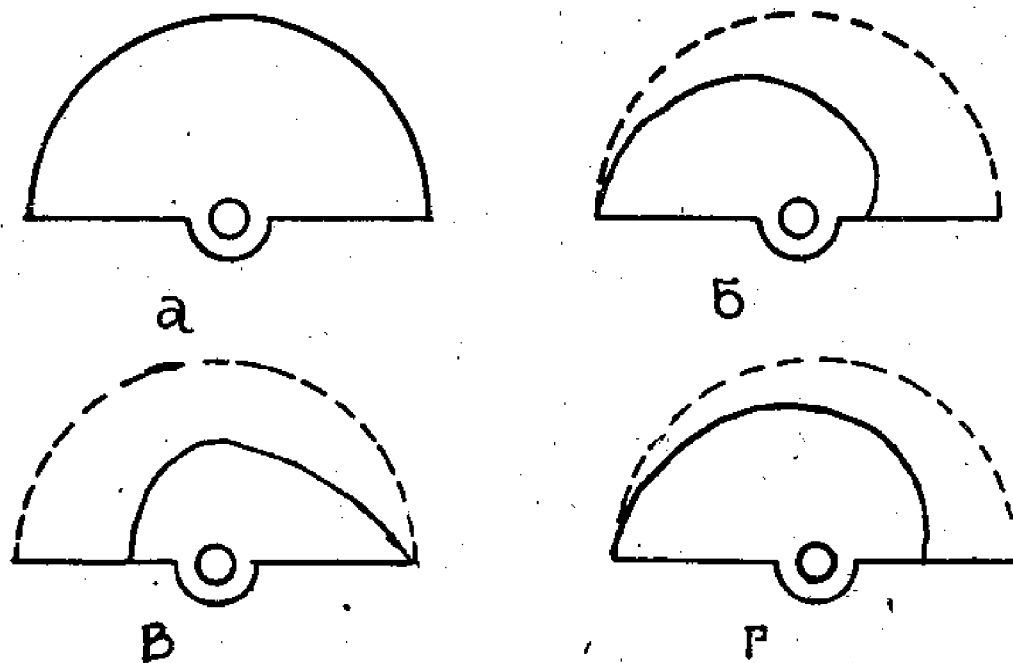


圖11—403 各種空氣可變電容器的動片

a) 直線電容式
b) 直線波長式

6) 直線頻率式
7) 対數式

I. 转角大于180°的可变电容器的计算：

转角大于180°的可变电容器，可以使读数精确度提高。所以这种电容器，常用于高频和测量仪器中。

设计角度为270°范围的电容器，是最普通的。角度范围更宽的电容器，如330°，其尺寸很大，而且不能使读数精确度比270°的增加很多，故很少采用。

要达到上述提高精确度的目的，可通过两种做法：

1. 动片的工作角 θ_B 大于180°，而定片具有工作角 $\theta_{cr} = 360^\circ - \theta_B$ ，如图11—404，
2. 动片具有较小角度，而定片具有大于180°之角度。

在通常情况下，都采用第一种做法，因为在动片具有大角度时可变电容器的尺寸可以做得较小。

现在我们先写出，为计算角度范围为270°的可变电容器所引入的符号：

θ_{cr} ——定片角，

r_o ——定片切口的起始半径，

$r_{o\text{cr}}$ ——定片切口的最后半径，

θ ——瞬时角，

r_θ ——定片中切口的瞬时半径 ($0 < \theta < \theta_{cr}$)，

R_o ——定片的起始半径，

R_θ ——动片的瞬时半径。

现分两部来进行计算：

1. 当 $0 < \theta < \theta_{cr}$ ，如图11—405a所示。

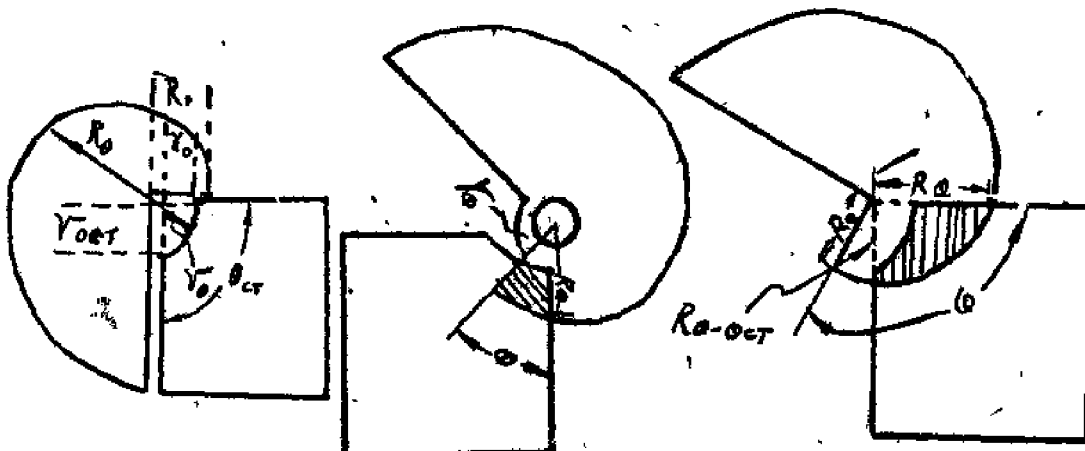


图11—404

图11—405a

图11—405b

在角度为 θ 时引入电容器的有效面积：

$$S_\theta = \int_0^\theta \frac{1}{2} R_\theta^2 d\theta - \int_0^\theta \frac{1}{2} r_\theta^2 d\theta = \frac{1}{2} \int_0^\theta \left(R_\theta^2 - r_\theta^2 \right) d\theta$$

取导数

$$\frac{ds_\theta}{d\theta} = \frac{1}{2} (R_\theta^2 - \gamma_\theta^2)$$

由公式 (11-403)

$$\frac{ds_0}{d\theta} = \frac{3.6\pi d}{\varepsilon(n-1)} \cdot \frac{dc_\theta}{d\theta}$$

令此二式相等，以度数代替弧度，并認為空气的 $\varepsilon = 1$

則得：

$$R_\theta^2 - \gamma_\theta^2 = \frac{3.6\pi d \cdot 114.6}{n-1} \cdot \frac{dc_\theta}{d\theta} \quad (11-413)$$

切口半徑 γ_θ 之變化規律是沒有意義的，因為可以由動片形狀適當的變化，即可把它考慮進去，為了計算簡單起見，應當取：

$$r_\theta^2 = \gamma_0^2 \left[1 + (P^2 - 1) \frac{\theta}{\theta_{cr}} \right]$$

$$\text{其中: } P = \frac{r_{cr}}{r_0}$$

γ_0 是根據結構的考慮來選出的。為了使電容量均勻，常取 $r_0 = \gamma_{cr}$ ，故可根據公式 (11-413) 計算出在 $0 < \theta < \theta_{cr}$ 時 $R_\theta = f(\theta)$ 的關係。

R_θ 由下面的計算確定：

假定 $\theta = 0$ 時 $R_\theta = R_0$

由式 (11-413) 得：

$$R_\theta^2 = \gamma_0^2 + \frac{3.6\pi d \cdot 114.6}{n-1} \cdot \frac{dc_\theta}{d\theta} \Big|_{\theta=0}$$

2. 當 $\theta > \theta_{cr}$ 如示意圖 11-405d

此時電容器極片的有效面積等於：

$$S_\theta = \int_0^\theta \frac{1}{2} R_\theta^2 d\theta - \int_{\theta-\theta_{cr}}^\theta \frac{1}{2} R_\theta^2 d\theta - \int_0^{\theta_{cr}} \frac{1}{2} \gamma_\theta^2 d\theta$$

式中最後一項是常數，故求得導數為：

$$\frac{ds_\theta}{d\theta} = \frac{1}{2} [R_\theta^2 - R_{\theta-\theta_{cr}}^2]$$

由公式 (11-413) 得：

$$R_\theta^2 - R_{\theta-\theta_{cr}}^2 = \frac{3.6\pi d \cdot 114.6}{n-1} \cdot \frac{dc_\theta}{d\theta} \quad (11-414)$$

其中 $R_{\theta-\theta_{cr}}^2$ 在 $\theta = 2\theta_{cr}$ 處，已由 (11-413) 求得。

這樣由式 (11-414) 即可求得 $\theta_{cr} < \theta < 2\theta_{cr}$ 時 R_θ 的輪廓曲線。

對於 $2\theta_{cr} < \theta < 3\theta_{cr}$ 的 R_θ 值，亦可用上述方法算出，從而得到整個動片的輪廓形狀。

當 $\theta = \theta_{cr}$ 時，為得到電容量的均勻改變，根據式 (11-413) 和式 (11-414) 應該

使：

$$R_\theta^2 - \gamma_\theta^2 = R_\theta^2 - R_{\theta-\theta_{cr}}^2$$

当 $\theta = \theta_{cr}$ 时： $r_\theta^2 = r_{\theta cr}^2$ ，而 $R_{\theta-\theta_{cr}} = R_{\theta_0}$ 。

$$\therefore R_\theta = r_{\theta cr}$$

由此可见，前面假定的 $R_\theta = \gamma_{\theta cr}$ 之正确性，否则当 $\theta = \theta_{cr}$ 时，会产生容量之跳跃。

III 可变电容器的图解计算法：

现在我们来研究，当电容变化规律不是用分析式绘出，而是用曲线图绘出时，电容器的动片外形的计算。为了进行这种计算，将电容量曲线分为 m 个相等的小段（ m 越大，则计算越精确），如图11-406所示，每一小段的容量变化规律，大致可认为是直线电容式的。因此动片相当于每段的小扇形的平均半径，可根据直线电容式的公式来决定。

$$R_\theta = 10.7 \sqrt{\frac{3.6 \pi d}{n-1} \cdot \frac{C_{max} - C_{min}}{180} \cdot m + \frac{\gamma_\theta^2}{114.6}}$$

或者取用另一形式

$$R_\theta = \sqrt{A \cdot \Delta C + \gamma_\theta^2} \quad (11-415)$$

ΔC ——是从一个扇形转到另一个扇形时，电容量的增量，可按曲线来决定（如图11-406所示）

$$A = \frac{114.6 \times 3.6 \pi d \cdot m}{180(n-1)} = 7.2 \frac{d \cdot m}{n-1} \quad (11-416)$$

根据最后一段（第 m 段）的 ΔC 值，可以很方便的求得常数 A 。在给定最大的动片半径 R_{max} 之后，从(11-415)式可得：

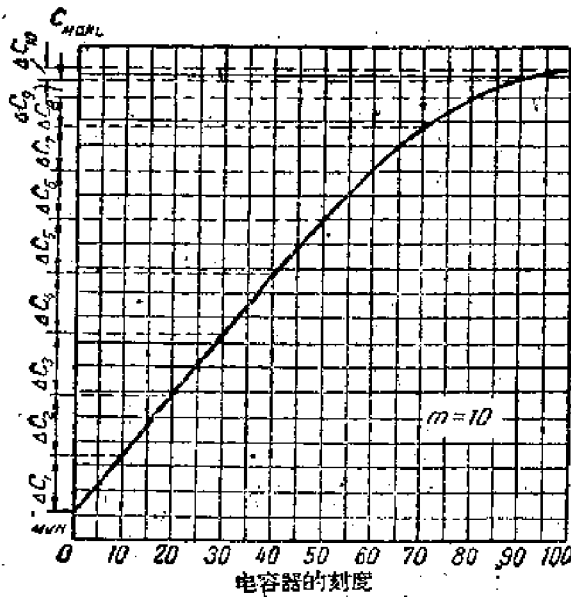


图11—406 依照已知的电容器变化规律的曲线($m=10$)来计算电容器

$$A = \frac{R_{\max c} - r_0}{\Delta C_m} \quad (11-417)$$

由公式(11-414)式可求出(薄片的)总片数。

$$n = \frac{7.2m \cdot d}{A} + 1$$

最大半径 $R_{\max c}$ 必须选择得使 n 为整数。其余的扇形半径的计算可按公式(11-415)进行，然后根据所得数据，绘出动片的形状图。

实际上的 $R_{\max c}$ 要比给定的 $R_{\max c}$ 大一些，这是因为在绘图时，给定的 $R_{\max c}$ 是绘在 m 和 $(m-1)$ 两线之间，当用曲线板连接圆点时，延长到线上的点，就会比给定的 $R_{\max c}$ 值稍大。与此相反实际的 R_{\max} 要比计算出的 R_{\max} 要小一些（如图11-407所示）。

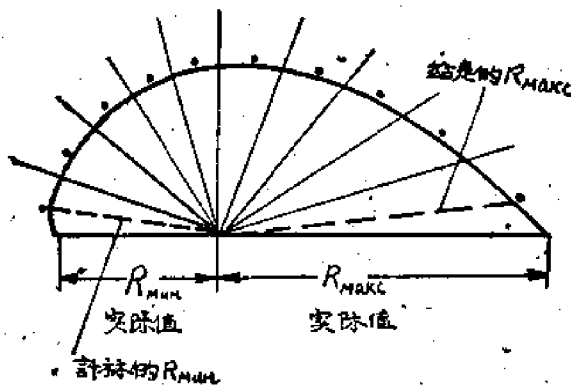


圖11—407

§ 11—5 空气可变电容器的温度稳定性：

前面已经讲过，可变电容器容量的稳定性，是其中最重要的参数之一，特别是使用在频率稳定度要求很高的设备或回路中时，稳定性这项指标，就显得更为重要。从经验知道，在小功率的主振回路中，电感线圈很容易做得比较稳定（例如：使用在瓷管上烧渗银的线圈）。一般电感温度系数能达到 10×10^{-6} 度 $^{-1}$ ，而可变电容器电容温度系数一般却只能做到几十至一百 $\times 10^{-6}$ 度 $^{-1}$ 。由此可见，可变电容器对回路的稳定性起着主要作用，所以应当引起特别的注意。

大家知道 可变电容器的容量可写成：

$$C = C_1 + C_{\min}$$

其中：

C_1 ——可变电容器容量的可变部分。

C_{\min} ——最小电容量或固定部分。

根据上式知道：可变电容器的温度系数等于

$$\alpha_c = \frac{\alpha_b C_{\min} + \alpha_1 C_1}{C_{\min} + C_1} \quad (11-501)$$

其中：

α_h ——固定部分的温度系数。

α_i ——可变部分的温度系数。

由此可見，可变电容器的电容温度系数是个非固定的数值，下圖（圖11—501）中指出 α_c 值隨容量改变的曲線。

只有使各分量电容的温度系数降低，才能使总的容量温度系数降低。

从式 (11—501) 和曲線知道，当容量愈小时， α_c 則愈大，所以在电容器的全部轉角內，应避免使用 $C < C_{\min}$ 的一段。

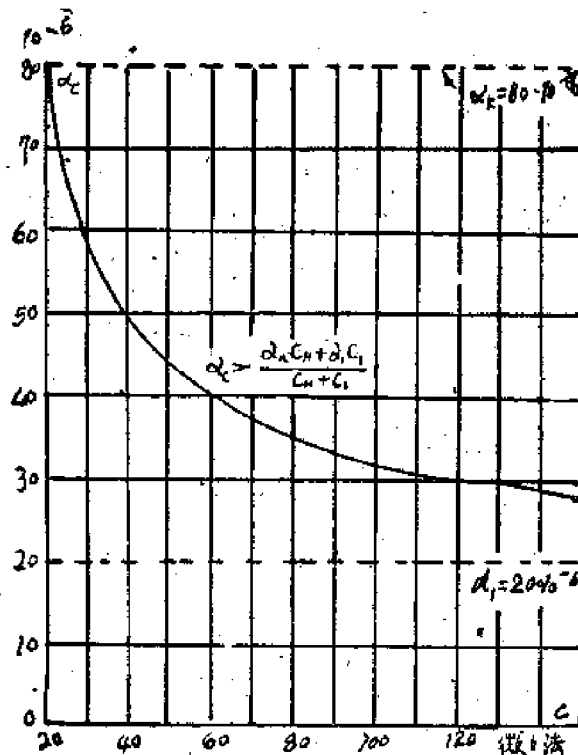


圖11—501

其中假設： $\alpha_h=60 \cdot 10^{-61}/\text{度}$

$\alpha_i=20 \cdot 10^{-61}/\text{度}$

$c_{\min}=15 \text{ 微法}$

$c_{\max}=150 \text{ 微法}$

大家知道，容量的可变部分可以用下式表示：

$$C_i = -\frac{\epsilon S}{3.6 \pi d} \frac{(n-1)}{} \quad (11-502)$$

由此可見， ϵ ， S 和 d 的温度系数的大小，直接影响着 C_i 的温度系数大小。
近似的可以認為：

$$\alpha_c = \alpha_e + \alpha_h - \alpha_d \quad (11-503)$$

其中：

α_s ——空气介电常数的温度系数。

α_a ——极片复盖面积的温度系数。

α_d ——动片和定片之間空隙的温度系数。

I. 空气介电常数的温度系数：

对高稳定性的可变电容器，应考虑到温度、湿度及大气压力对于空气介电常数的影响。

空气的相对解电常数可由下式求得：

$$\frac{\epsilon}{\epsilon_0} = 1 + \frac{P}{T} \left[224 + \frac{e - 96000}{P} \right] 10^{-6} \quad (11-504)$$

其中：

P——大气压力（毫米、水银柱）。

e——水蒸气压力（毫米、水银柱）。

T——绝对温度。

由于空气介电常数变化的非线性和复杂性，在实际计算中，常利用如图11-502所示的曲线。

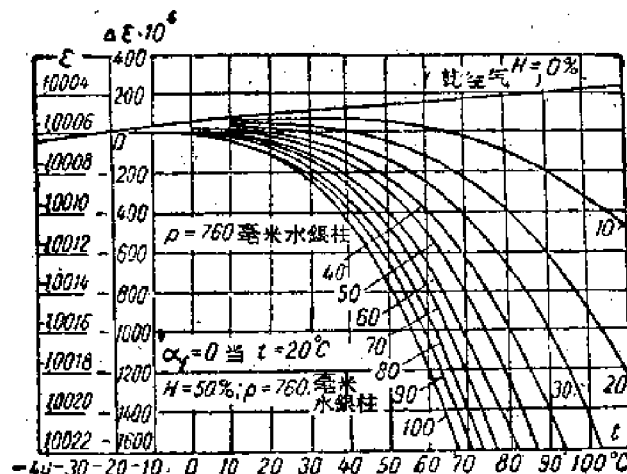


图11—502 潮湿空气的 $\Delta\epsilon$ 和 ϵ 与温度和相对湿度的关系

这些曲线给出的空气介电常数的相对增量值，是在温度为20°C和相对湿度为50%时，取空气的电常数为1，及大气压力为760毫米水银柱时绘出的。由于空气的介电常数近于1，所以用绝对值代替相对增量。

$$\frac{\Delta\epsilon}{\epsilon} \approx \Delta\epsilon \quad (11-505)$$

从上述曲线查得的数值，没有包括大气压力的变化对 ϵ 值的影响，当考虑到大气压力有变化时，应按下式修正，

$$\Delta\alpha_{\epsilon} = \frac{224}{T^2} - (760 - P) \cdot 10^{-6} \quad (11-506)$$

从图11-502的曲线可以看出，温度愈高，相对湿度愈大，则同样的温度变化，所引

起的介电常数变化也愈大。所以引起的容量相对变化也很大，而且不恒定。在要求可变电容器稳定性很高时，为了减少温度、湿度和压力对电容量的影响，常采用恒温和密封措施，可使 α_s 值少到 $-0.35 \cdot 10^{-6}$ 。

如果采用了吸水剂，当轴的引出端没有密封而外壳其余部分均加密封时， α_s 可达 $2 \cdot 10^{-6}$ 。

II. 極片工作面积的温度系数：

由于温度的改变而引起的極片作用面积的改变，是由两部分组成的。因此極片作用面积的温度系数 α_s 可用下式表示：

$$\alpha_s = \alpha_{sn} + \alpha_{scm} \quad (11-507)$$

其中：

α_{sn} ——極片自身面积的温度系数。

α_{scm} ——定片和动片間徑向位移的温度系数。

如果定片和动片是同一种金属材料制造的，那么極片本身面积的温度系数则等于：

$$\alpha_{sn} = -\frac{\Delta S}{S \Delta t} = 2\alpha_{ln} \quad (11-508)$$

其中：

ΔS ——由于極片自身膨胀，所引入的有效面积增量。

S——复盖面积，

α_{ln} ——極片材料的綫性膨胀系数。

由上式可見，要想减少 α_{sn} 值，必須选用綫膨胀系数較小的材料，来制造極片。

决定極片的徑向位移温度系数 α_{scm} 要复杂得多，它决定于动片和定片在結構上固定的点数和材料。

为了計算 α_{scm} 值，应暫不考慮定片和动片所产生軸向位移，及可能發生的極片折弯現象。

关于动片和定片間的徑向位移温度系数，可用下式表示：

$$\alpha_{scm} = (\alpha_{lc} - \alpha_{ln}) \frac{x_1 \sin \beta}{S} \quad (11-509)$$

其中：

α_{lc} ——外壳材料的綫性膨胀系数。

α_{ln} ——極片材料的綫性膨胀系数。

x——动片固定点和定片固定点間的距离，在圖11-503中定片均假定只在 B 点固定，即 $x = \overline{OB}$

β ——位移方向和定子边缘之間的夹角。（如圖所示）

l——定片和动片交線的长度，即圖中的 \overline{OA} 線。

由上式和圖11-503可見：

1. 当电容量改变时，即动片轉角改变时， \overline{OA} 及 S 均随之改变，所以 α_{scm} 是个常数。

2. 欲减小 α_{scm} 值，应选用綫膨胀系数相同或相似的材料做極片和壳架，即使

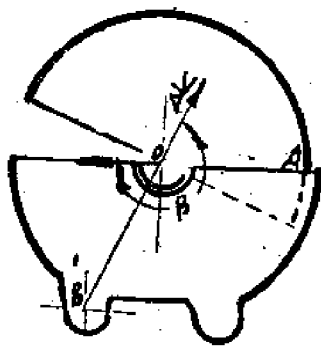


圖11—503a在一般结构的电
容器中定片和动片相互間的徑
向位移

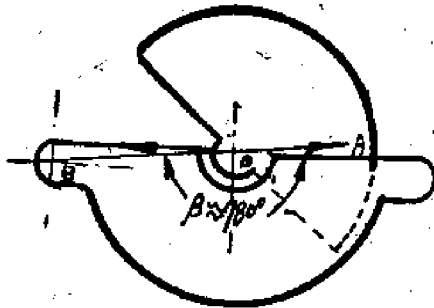


圖11—503 b. 使 α_{scm} 最小甚至消除的
定片固定方法

$$(\alpha_{Lc} - \alpha_{Ln}) = 0.$$

3. 欲减小 α_{scm} 值, 应把定片的固定点尽可能放在近于軸的水平线上, 即使 $\sin\beta = 0$ 。(如圖11—503)

III. 極片間距离的温度系数:

圖11—504中:

d_m ——垫圈的厚度, 即相邻两同性極片間距离。

d ——动片和定片間的空隙

d_n ——極片的厚度

显而易见,

$$2d = d_m - d_n$$

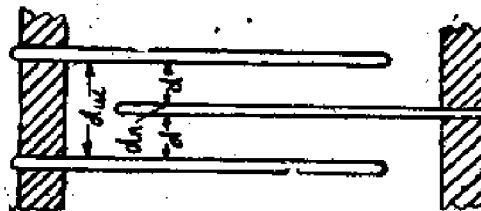


圖11—504

現在我們來決動片和定片間距離的溫度系數 α_d 的數值。

根据溫度系數定义知道:

$$\alpha_d = \frac{\alpha_{endm} - \alpha_{endn}}{d_m - d_n} \quad (11-510)$$

其中:

α_{Ln} ——極片材料的線性膨脹溫度系數。

α_{lm} ——垫圈材料的線性膨脹溫度系數。

如果: $\alpha_{lm} = \alpha_{Ln}$

則： $\alpha_d = \alpha_{cu}$

即當極片和墊圈是用同一種材料製成時，空隙的溫度系數就等於製造該零件所用材料的溫度系數。

由此可見，為了減少 α_d 的數值，必須選用線脹系數小的材料來製造極片和墊圈。

製造的準確性，對 α_d 值也產生影響，如圖11—505所示。

如果片間的距離為 d_x 和 $(d_m - d_x)$ 則片間電容量為：

$$C_A = K \frac{S}{d_x} \text{ 和 } C_B = K \frac{S}{d_m - d_x} \quad (11-511)$$

式中 K 為常數。

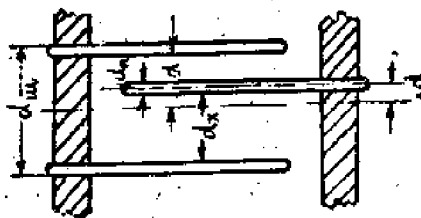


圖11—505

C_A ——片距為 d_x 的兩片間電容。

C_B ——片距為 $(d_m - d_x)$ 的兩片間電容。

d_x, d_m 為圖11—505所示，這裡忽略了極片的厚度。

將 (11—511) 改寫為；（因設 d_m 為一常數）

$$C_A = K \frac{S}{d_m} \cdot \frac{1}{d_x/d_m} = K' \frac{1}{d_x/d_m}$$

$$C_B = K \frac{S}{d_m} \cdot \frac{1}{d_m/d_m - d_x/d_m} = K' \frac{1}{1 - \frac{d_x}{d_m}} \quad (11-512)$$

圖11—505所示總電容量為：

$$C_\Sigma = C_A + C_B \quad (11-513)$$

根據式 (11—512)，和式 (11—513) 繪得曲線 (圖11—506)

從圖 11—506 可見， $\frac{d_x}{d_m} = 0.5$ 時（即片距很均勻），片距的變動所引起的電容量

C_Σ 的變化甚小。當 $\frac{d_x}{d_m}$ 異 0.5 較遠時，則片距的變動將引 C_Σ 很大的變化，例如，對於

相等的片距變化量 ($\frac{\Delta d_x}{d_m} = 0.1$)， $\frac{d_x}{d_m} = 0.5$ 時的 ΔC_Σ 遠小於 $\frac{d_x}{d_m} = 0.7$ 時的 $\Delta C'_\Sigma$ 。

一般當 $d_x = 0.5$ 毫米時，希望 Δd_x 小於 0.01—0.02 毫米， $d_x = 10$ 毫米時， Δd_x 可相應的放寬到 0.02—0.04 毫米。

IV. 起始電容的溫度系數：

可變電容器的起始電容量，是由幾個分量組成的。例如，對於動片接地的可變電容

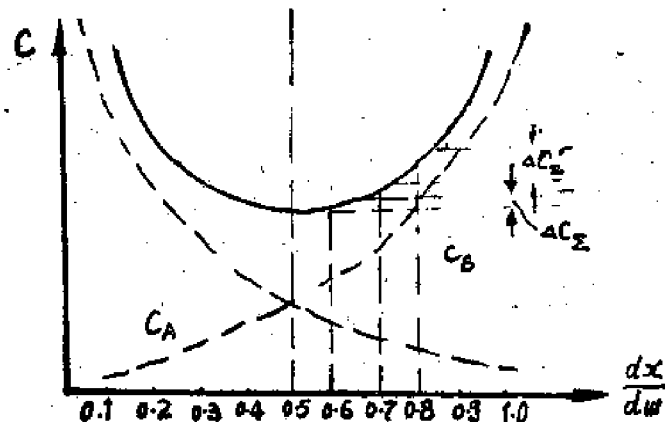


圖11—506

器，起始电容量可用下式表示：

$$C_{\text{max}} = C_1 + C_2 + C_s$$

其中：

C_1 ——定片經過支撑的絕緣体，对壳体的电容量。

C_2 ——定片經過空气介質，对壳体的电容量。

C_s ——当动片完全从定片中旋出时，动片和定片之間的电容量。

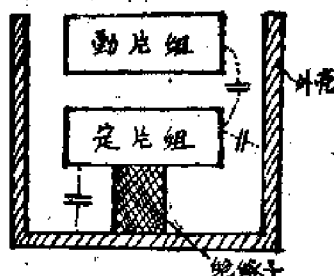


圖11—507

实际上，想計算出 C_{max} 是非常困难的。因为每一部分电容量都与复杂的几何形状有关。

而起始电容量的容量温度系数，由各分量的电容温度系数所組成。因而要計算起始电容的温度系数，也是非常困难的。

为了降低起始电容量的温度系数，将采取以下措施。

- 1) 選擇介电常数的温度系数小的絕緣子，为定片的絕緣支撑。例如选用熔凝石英、高頻陶瓷，以降低 C_1 分量的温度系数。
- 2) 使定片的固定点，尽量在动片的軸的水綫上，以减小温度变化所引起的动片与定片之間的徑向位移，从而使起始电容量的温度系数减少。
- 3) 从圖 11—501 可見在容量較小 ($C < C_H$) 的一段中电容温度系数較大，并且变化

較劇烈，所以在實際中常常不選擇 C_{max} 為電容器使用時的起始量，而是比 C_{max} 稍大一些。這樣，起始電容的影響相對減小了，並保持了電容器在工作的波段範圍內電容溫度系數的比較小和比較穩定。

實際上，可變電容器的溫度穩定性問題，要比上述的分析複雜得多。

例如：上面談到了，為了要減小電容量溫度系數，應選擇用線脹系數相同的材料製造其結構零件，實際上由於各種結構零件所用材料體積不同，則熱容量亦不相同。即使體積相同，但由於散熱狀態不同，也會在電容器開始工作不久時容量發生變化，往往要經過一段時間後才能穩定下來。

類似這些深入的問題，在實際工作中，很難全面考慮，只要最後穩定後的電容溫度系數在規定範圍內即可。但應設法縮短電容器從不穩定狀態過渡到穩定狀態所需的時間。

例如：在電容器附近適當的位置上，安置一個電子管，利用電子管所發出的熱量，迅速使電容器升到穩定的工作溫度。

二、可變電容器的不穩定溫度系數：

可變電容器的不穩定溫度系數，與電容器的結構和材料有關，為了降低電容器的不穩定溫度系數，應使電容器的結構和材料不會產生殘余的變形和老化。為此，一般採取以下措施：

1. 壳體和軸應用線脹系數相近或相等的材料做成，譬如，外殼用鎳銅制成，軸用高頻陶瓷制成。

2. 采用的製造工藝，應使電容器不會產生內應力，例如用鑄造（如圖11—508），焊接等方法製造可變電容器元件。

3. 采用不易溶化和軟化的介質材料，如高頻陶瓷，石英等來做支持零件。

4. 在結構上應保證可變電容器各零件（特別是軸）在受熱後能自由的膨脹，如當把動片組固定到線脹系數不同的陶瓷軸上時，只在一端固定而另一端能允許其自由膨脹（見圖11—509）。

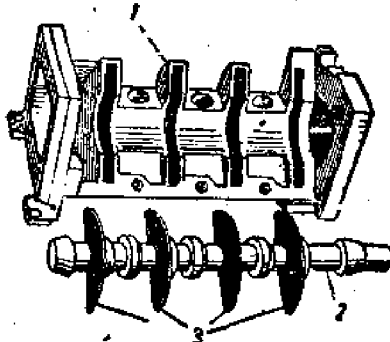


圖11—508 超短波可變電容器的鑄造支架和動片的外形

1—定片；2—陶瓷軸；3—動片組

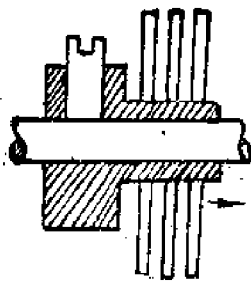


圖11—509 發熱後能自由膨脹的固定方法

又如圖11—510所示軸承通過一彈簧外環裝固到壳體上去，這時當軸與壳體的膨脹系數不同時，在受熱後軸就無不會發生變曲，甚至折斷的情況。

5.當在施工過程中，不得不采用會使電容器零件產生內應力的工藝方法時，必須在制成可變電容器後，進行人工老化，以消除內應力。

容量不穩定溫度系數很大的可變電容器，有時比具有相當大的電容溫度系數的可變電容器更危險，因為它常常使溫度補償無法規定。

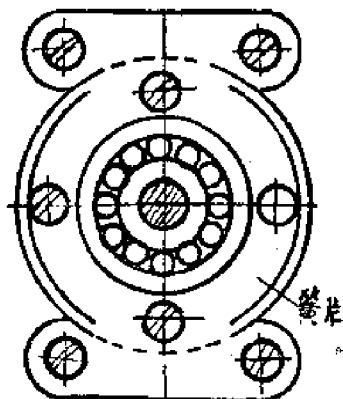


圖11—510 滾珠軸承的裝置及彈簧外環裝固法

VI.溫度補償：

為了製造穩定的可變電容器，有時也採用溫度補償的方法。圖11—511a和11—511b示出具有溫度補償的結構例子。

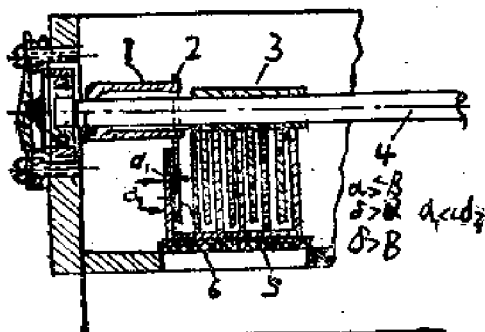


圖11—511a

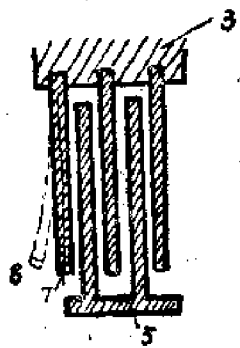


圖11—511B

圖11—511a所示的方法，是在电容器温度系数为正时，在电容器中装上一补偿片2，片2尽量偏向左边，当温度升高时，由于套筒1向右膨胀，则使得片2向所在空隙的中心位置移动，使容量减少，从而补偿了可变电容器由于温度升高而增加的容量。

圖11—511b所示的方法是为了补偿电容温度系数是正值的情况。在可变电容器中，装入一片双金属片（青铜，因钢），装置方法应该是，当温度升高时，双金属片向左偏转，从而使总容量减少。

§11—6 固体和液体介质的可变电容器

我們常常要求可变电容器，在具有大的容量和高的工作电压情况下，同时须要有較小的体积。尤其当无线电设备向小型化方向发展时，就显得更加重要，因而就利用介电常数和抗电强度都比空气大的固体或液体来做为介质。

I. 固体介质可变电容器：

1. 结构与普通空气可变电容器相似，仅在动片与定片的空隙中填入固体介质。

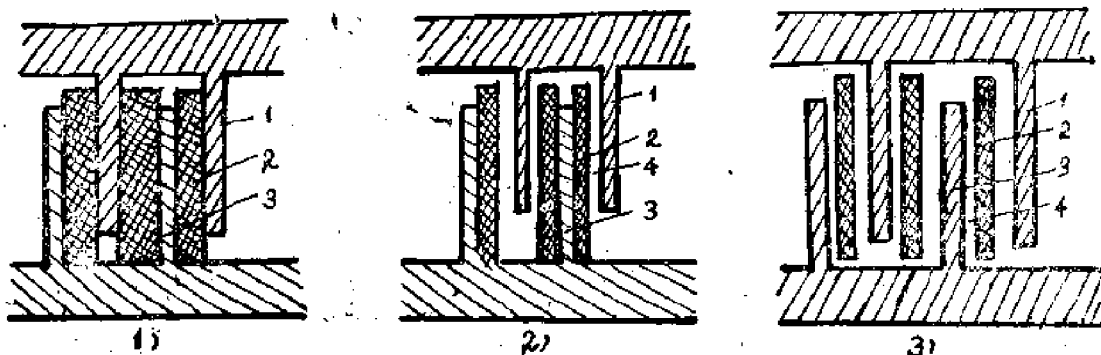


圖11—601 1) 理想固体介质可变电容器
 2) 固体介质空气隙中占有一定空间并紧贴着定片的情况
 3) 由于各种影响使固体介质弯曲，因而在空气隙中所占的空间不固定的情况
 1. 动片 3. 定片
 2. 固体介质 4. 空气隙

在实际情况中，圖 11—601 的第三种类型最为普遍，而这种形式固体介質可变电容器具有極低的稳定性，并且在使用过程中，由于介質被磨損或弯曲，常引起电位梯度的改变，故很易被击穿。这种电容器过去曾在可变的耦合線路中，現在已几乎完全不用了。

2. 圆柱形固体介質可变电容器：

最近出現一种鎳的金屬氧化物的固体介質电容器，如圖11—602所示。使的鎳表面生成一層金屬氧化物（即固体介質）。

这种电容器的最大电容量，可以做到 360 微微法，但由于鎳的綫脹系数較大，所以这种电容器的稳定性較差。目前仅在小型民用無綫电設備中应用。

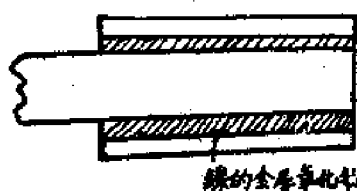


圖11—602

由此可見，寻找一种好的固体介質和好的结构来提高固体介質可变电容器的稳定性，正是我們應該努力的方向。

3. 液体介質可变电容器：

这种电容器主要用于發射机中，以提高可变电容器的抗电强度，减小体积。常用的液体介質，有变压器油等。其主要的缺点，是目前所用的介質較易老化，尤其是当浸入某些杂质后，将使其电容温度系数大大增加，所以其稳定性亦很差。因而寻找一种稳定性高的液体介質亦是目前需要解决的問題。

§11—7 微調电容器

微調电容器是用于諧振迴路及須要調整的耦合迴路中，以調整迴路的諧振频率。

在大多数情况下，調整电容量后，即把动片牢靠的固定住。一般是在活动部分涂以磁漆来把动片固定住。

对微調电容器，提出的最重要的要求之一就是固定的可靠性，亦即在长时间的工作中及在各种不同的机械作用下，保持已調准的电容量。关于損耗、穩定度、抗电强度等方面的要求，不应低于和它在一起工作的固定电容器或可变电容器的要求。

現在我們來討論最常用的微調电容器的結構。

上圖表示具有轉动片的空气介質微調电容器，它在结构上与普通小型直線电容或可变电容器相同，这种微調电容器的特点是具有相当高的电指标，如 $t g \delta \leq 0.001$, $\Delta_c = 10^{-4} - 10^{-5}$, $R_{\infty} \geq 50000 M\Omega$ 。但是，由于生产复杂，这种电容器只用在重要的仪器中，最小电容量为 4 — 5 微微法，最大电容量在 100 微微法以下的电容器用得最多。这种电容器在我国已經大批生产。

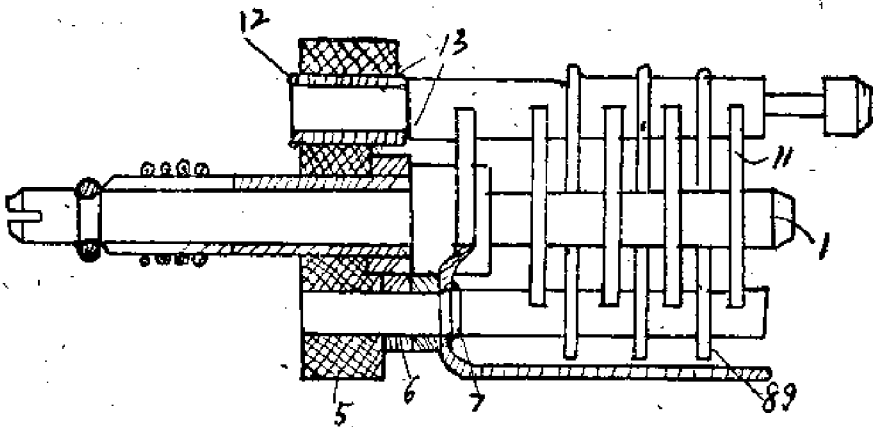


圖11—701 具有轉動片的空氣介質微調電容器

- | | | | |
|----------|---------|---------|---------|
| 1.卡圈 | 4.半空心铆钉 | 7.铆紧处 | 10.动片轴 |
| 2.弹簧 | 5.座板 | 8.弹簧接触片 | 11.动片 |
| 3.驱动套 | 6.垫圈 | 9.定片 | 12.空心铆钉 |
| 13.铜焊料焊接 | | | |

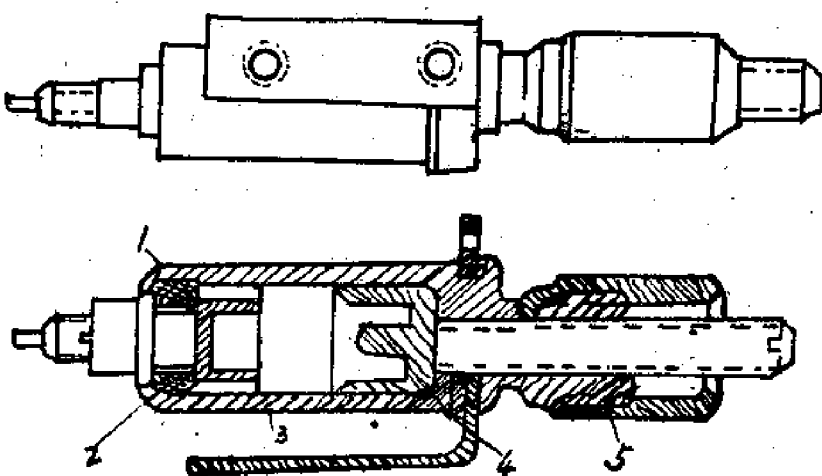


圖11—702 圓柱式微調電容器

- | | | |
|-------|------------|--------|
| 1.收口 | 3.微调电容器外壳圈 | 5.专用螺母 |
| 2.定子组 | 4.动子组 | |

圖11—702是圓柱形式微調電容器，其特点是在机壳上所占的面积小，为了提高其工作之稳定性，须要加以密封，所以結構比較复杂。常用工作在超短波的设备中。

圖11—703表示出标准垫圈式陶瓷微调电容器(KMK型)。这种电容器的特点，是制造简单，尺寸小，电指标高， $\Omega \geq 500$ ， $\lambda_c = (300-700) \cdot 10^{-3}$ ， $\operatorname{tg}\delta < 0.008$ ， $R_{\text{ins}} \geq 10000$ 兆欧， $U_{p05} = 2500$ 伏，其固定的可靠性約为±0.008。这种电容器是由同时是定片的陶瓷机座及陶瓷圆盘的动片所构成的。用专门的扁平弹簧来消除动定片間的间隙，極片是用燒渗銀方法制成的。

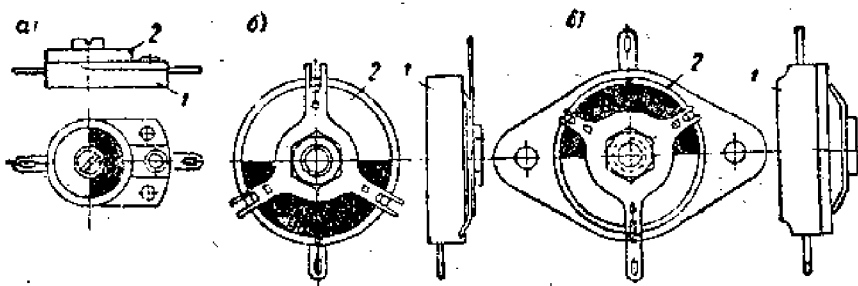


圖11—703 陶瓷微調整電容器

a—KPK-1型; b—KPK-2型; c—KPK-3型

1—定片, 2—動片。

下面列出KPK型微調電容器的電容量的数据。

KPK型微調電容器的電容量

表11-2

类 型	电 容 量, 微 微 法	备 注
KPK-1	2—7*; 4—15; 6—25; 8—30	
KPK-2 和KPK-3	6—60; 10—100; 25—150 75—200; 125—250; 200—325 275—375; 350—450	注: 有星号(*)的 类型的电容温 度系数不是规 定的标准值

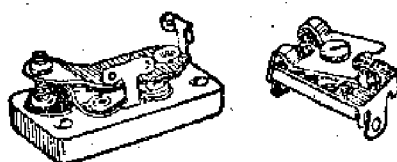


圖11—704 彈簧式微調電容器

圖11—704为彈簧式微調電容器。这种電容器結構、制造简单，它用兩片極板組成，在極板間放有云母絕緣垫片，動片由彈性材料磷銅做成，为了节约起見，下極板可以用較便宜的材料（如紫銅或黃銅）来代替，上極可借螺絲釘之助，与下極板离开或靠近，从而使電容改变。

这种类型的電容器的容量是不稳定的，特別是容易受湿度的影响，故仅用于要求不太高的設備中。

§11-8 可变电容器的測試

对可变电容器測試的項目和条件，完全决定于电容器的结构和它的用途。对可变电容器，一般要經過机械的，气候的和电气的試驗。机械測試包括：确定动、定片組有没有

有橫的縱向的搖動、耐震和抗衝擊強度，動片軸的轉矩，以及耐磨試驗等。

鑿定動片組有沒有橫向和縱向的松動，是用手的感覺來判斷的。凡是用手能感覺到的松動，都是不允許的，逢到這種情況，就必須退回車間，重新調整。

有些電容器是用在常受震動的設備中，對於這些電容器，須進行耐震性和耐撞性的試驗。

耐震性試驗，是把電容器放在震動設備上以每分鐘1000次擺動的震率和1公厘的震幅作30分鐘的試驗。

耐撞性試驗，是把電容器放在震動設備上，以每分鐘200次以下的頻率和5—10公厘的自由跌落高度試驗。

試驗動片的轉矩，要使用測力計，構造最普通的電容器，正常轉矩約為500—1500克公分之間。

耐磨試驗，是使用一種特殊機械來轉動電容器的動片軸，在使軸經受10,000次反復旋轉（在 180° 轉幅範圍內）後，要求不發生手能感覺到的松動現象。

氣候試驗包括：加熱，冷凍，潮濕對電容器的影響。這些試驗，都分別在相應的試驗箱中進行。

準備使用在高穩定、高頻率電路中的電容器，特別是用殷鋼製的電容器，要在加熱箱中，經人工的老化試驗。試驗時把電容器加熱到 70 — 80°C 以後，再慢慢冷卻到正常的溫度，如此反復冷熱若干次；最後鑿定其結果。

在潮濕箱中要試驗各個零件表面反抗銹蝕的能力，並測定潮濕對於動定片間絕緣電阻的影響。

在冷凍箱中試驗的目的是要鑿定低溫對動片軸轉動的影響。在此試驗中電容器從冷凍箱取出，應在二分鐘內進行轉矩測量。上述之氣候試驗只需進行抽驗，即每一批產品中抽一些進行測試。

電氣絕緣強度試驗，是所有制品都要進行的。無線電發射設備中用的電容器，一般要作兩倍于工作電壓的直流或交流（50周）耐壓試驗。在接收設備中用的電容器，其空氣隙在0.5公厘以下的，要以500伏的直流或400（50周）伏的交流作耐壓試驗。試驗時動片要做全程轉動。

電容器在接受空氣絕緣強度試驗前，先用干燥壓縮空氣，把片子上的灰塵吹掉。在試驗中，片子間若產生火花，即把電路切斷，用小刀把相應地位的片子拔動，以增加空氣隙的大小。

電容器在直流電壓的試驗中所用的設備如圖11—705。

對於多連電容器來說，各連電容器的電容量變化都能準確地與變化規律曲線相符合。

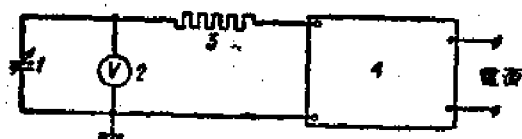


圖11—705 電容器作直流耐壓試驗的電路

1—試品電容器；2—電壓表；3—電阻器；4—整流器暨電壓調節器

是很重要的，只有达到了这个要求，才能达到若干个迴路同軸調諧的目的。要达到这个目的，須利用一个能指示出極微电容量变化的仪器，来做細致的統調校正，这个装置原理事于圖(11—706)中。

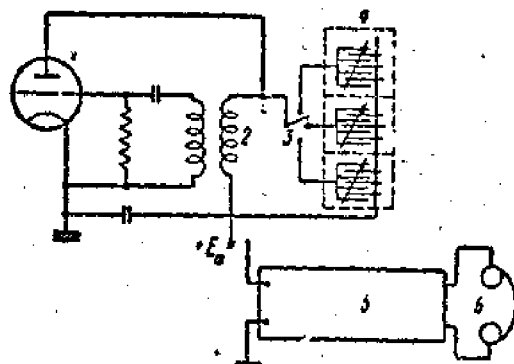


圖11—706 多連電容器共軸性的校准裝置

1—电子管；2—外差變壓；3—轉換器；4—試品多連電容器；5—再生式接收机；6—耳机

从上圖电路得知，試品(多連电容器)的动片組接到电路接地端，而各連电容器的定片組則輸流接到电路中去。差頻的效果，可用再生式接收机5借听觉来控制，它在接入第一連时就对准到另差地位，在不变动动片組位置的情况下，撥动花动片来进行校准，这样就可达到当任何一連电容器接到电路中去时，再生式接收机所听到的总是另差。

多連电容器共軸性的校准，要在度盤的180度範圍內若干点上进行，一般校准点的数量和花动片上所切割的裂縫数相同，这就可把这些扇形片搬开或搬回，以达到多連电容器的共軸統調的目的。

利用圖(11—707)的装置，可以得到更准确的統調效果。

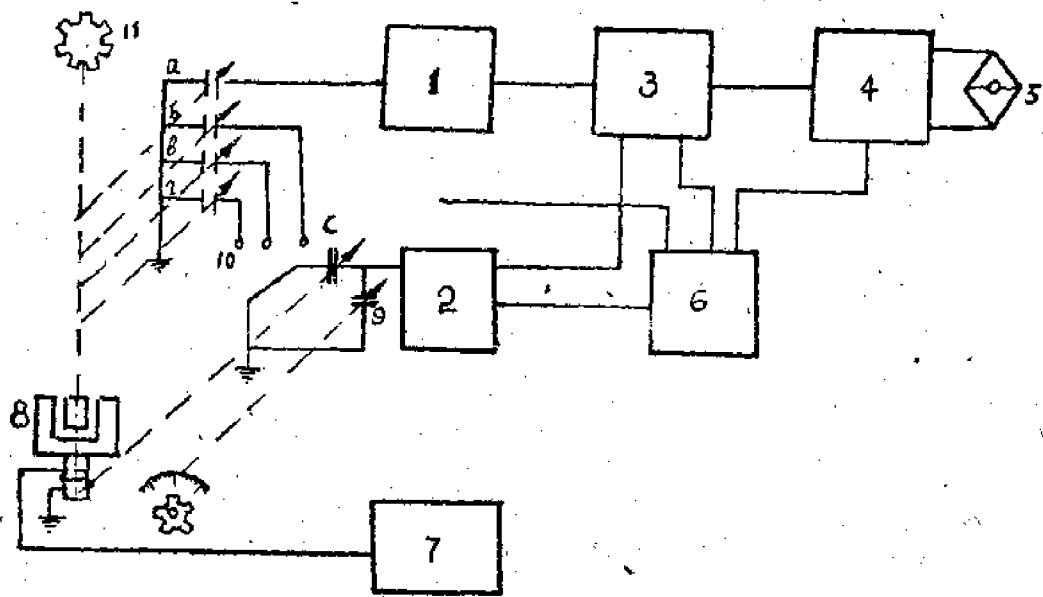


圖11—707

这种装置是两个振荡器 1 和 2，混频器 3，低频放大器 4，指示器 5，两个整流器 6 及 7，和电磁离合器 8 所组成。

在其中的一个振荡回路 2 中，接入标准电容器 c，而在另振荡器的回路中接入被调整可变电容器的第一连 a，从两个振荡器来的高频电压经过隔离电容器传到混频器 3 中，从混频器负载的电压经过滤波器到低频放大器电子管 4，在电子管的板极电路中接入扬声器和另拍指示器。

被调谐电容 a 利用电磁离合器 8，在机械上与标准电容器 c 连接起来，在动片旋转前，电路调谐到另拍，然后进行被调电容器第一连的微调。

为了估计电容的差值，在振荡器 2 的回路中，接入公差电容器 9，它的刻度是微微法。

在调整微调电容器组件的第一连后，利用转换开关，把须调谐的其余连代替标准电容器 c 顺序接入，它们的微调以可变电容器的一连为标准来进行。

用这种仪器调好的电容量误差很小，当电容量为 15—50 微微法时为 ± 0.1 微微法，当电容量大于 50 微微法时为 ± 0.2 微微法。

有一些电容器还需作微音效应的测试，微音效应的测试装置如图 11—703 所示



图 11—703 电容器的微音效应试验设备

1—音频振荡器；2—低频放大器；3—扬声器；4—试品电容器；
5—差频振荡器；6—差频接收机；7—电子管电压表

无线电广播收音机中所用的空气介质可变电容器就需要鉴定有无微音效应。这种效本質上是極片的机械振荡。电容器片子經受扬声器傳出的音波的激励，即按其固有频率产生振动，这振动使振荡器發生了調頻作用，于是收音机扬声器就发生了一种低沉声音，扬声器的音波再度作用到电容器的片上，如此循环下去，就可能长久地在收机的扬声器中发出低沉的声音。

消灭这种微音效应的方法一般有：

1. 对电容器片子进行热处理(退火)。
2. 多连电容器中用于振荡回路的一连，用厚实的材料造片子或增大片間空隙。
3. 采用整块铸成的梳形片，用软合金铸出的空心轴，使动片具有较大衰减作用。

用图(11—703)测试时，试品电容器连同扬声器放在接收机箱中，电容器接到差频振荡电路中，扬声器用可以均匀变动频率的音频振荡器，经过低频振荡放大器来振动。试验时如果接在差频振荡器的可变电容的片子发生了振动，那么差频振荡器就受到调频振荡，讯号被调频接收机接收，在扬声器的输出端产生了电压，这电压可用电子管电压表测出。电子管电压表的指数是同试品电容器片子振动的振幅成正比例的，所以从电压上读数的大小就可以知道电容器片子的微音效应程度了。

